



# The Journal of Industrial Technology

วารสารวิชาการเทคโนโลยีอุตสาหกรรม ปีที่ ๒๑ ฉบับที่ ๒ ประจำปี ๒๕๖๘

# กองบรรณาธิการวารสารวิชาการเทคโนโลยีอุตสาหกรรม

## ที่ปรึกษา

ศาสตราจารย์ ดร.สุชาติ เชียงวนิ

รองศาสตราจารย์ ดร.สมิตร ส่งพิริยะกิจ

มหาวิทยาลัยเทคโนโลยีพระจอมเกล้าฯ พระนครเหนือ  
มหาวิทยาลัยเทคโนโลยีพระจอมเกล้าฯ พระนครเหนือ

## บรรณาธิการ

รองศาสตราจารย์ ดร.อรรถพล แก้ววิลัย

มหาวิทยาลัยเทคโนโลยีพระจอมเกล้าฯ พระนครเหนือ

## รองบรรณาธิการ

รองศาสตราจารย์ ดร.บุญลือ สวัสดิ์คง

มหาวิทยาลัยเทคโนโลยีพระจอมเกล้าฯ พระนครเหนือ

## กองบรรณาธิการ

ศาสตราจารย์ ดร.ประยุทธ อัครเอกผลalin

มหาวิทยาลัยเทคโนโลยีพระจอมเกล้าฯ พระนครเหนือ

ศาสตราจารย์ ดร.สุทธิศักดิ์ พงศ์ธนาพาณิช

มหาวิทยาลัยเทคโนโลยีพระจอมเกล้าฯ พระนครเหนือ

ศาสตราจารย์ ดร.นవดล เหล่าศิริพจน์

มหาวิทยาลัยเทคโนโลยีพระจอมเกล้าฯ นนบุรี

ศาสตราจารย์ ดร.พิเชษฐ์ ลิ้มสุวรรณ

มหาวิทยาลัยเทคโนโลยีพระจอมเกล้าฯ นนบุรี

ศาสตราจารย์ ดร.สำเริง จักรใจ

มหาวิทยาลัยเทคโนโลยีพระจอมเกล้าฯ นนบุรี

ศาสตราจารย์ ดร.ประณัฐ โพธิยะราช

จุฬาลงกรณ์มหาวิทยาลัย

ศาสตราจารย์ ดร.ทัยกานต์ มันสปิยะ

จุฬาลงกรณ์มหาวิทยาลัย

ศาสตราจารย์ ดร.ผุดศักดิ์ รัตนเดโช

มหาวิทยาลัยธรรมศาสตร์

ศาสตราจารย์ ดร.ปริญญา จินดาประเสริฐ

มหาวิทยาลัยขอนแก่น

ศาสตราจารย์ นาวาอากาศโท ดร.สรวยฤทธิ์ สุจิตรา

มหาวิทยาลัยเทคโนโลยีสุรนารี

รองศาสตราจารย์ ดร.ธนดชัย กุลวรรณิชพงษ์

มหาวิทยาลัยเทคโนโลยีสุรนารี

รองศาสตราจารย์ ดร.อภิรัตน์ เลาหบุตรี

มหาวิทยาลัยเกษตรศาสตร์

รองศาสตราจารย์ ดร.สุริรัตน์ ผลศิลป์

มหาวิทยาลัยเกษตรศาสตร์

รองศาสตราจารย์ ดร.ดวงฤทธิ์ ฉายสุวรรณ

มหาวิทยาลัยเกษตรศาสตร์

## กองบรรณาธิการนานาชาติ

Professor Dr.Athanasiros Thanos Tsolakis

University of Birmingham, United Kingdom

Professor Dr.Cristina Leonelli

University of Modena and Reggio Emilia, Italy

Professor Dr.Greg Heness

University of Technology Sydney, Australia

Professor Dr.Michiya Matsusaki

Osaka University, Japan

Professor Dr.Kannan Venkatramanan

SCSVMV University, India

## หัวหน้าฝ่ายจัดการ

รองศาสตราจารย์ ดร.กัมปนาท เทียนน้อย

มหาวิทยาลัยเทคโนโลยีพระจอมเกล้าฯ พระนครเหนือ

## ฝ่ายจัดการ

ผู้ช่วยศาสตราจารย์ ดร.ประเสริฐศักดิ์ เดียววงศ์สมบัติ

มหาวิทยาลัยเทคโนโลยีพระจอมเกล้าฯ พระนครเหนือ

ผู้ช่วยศาสตราจารย์ ดร.ปานพิพิญ บุญส่ง

มหาวิทยาลัยเทคโนโลยีพระจอมเกล้าฯ พระนครเหนือ

## ผู้จัดการสาร

นางสาวชลดา เชื้อประดิษฐ์

มหาวิทยาลัยเทคโนโลยีพระจอมเกล้าฯ พระนครเหนือ

# **Editorial Board of The Journal of Industrial Technology**

## **Advisory Board**

Professor Dr.Ing.Suchart Siengchin

King Mongkut's University of Technology North Bangkok

Associate Professor Dr.Smith Songpiriyakij

King Mongkut's University of Technology North Bangkok

## **Editor-in-Chief**

Associate Professor Dr.Attaphon Kaewvilai

King Mongkut's University of Technology North Bangkok

## **Associate Editor**

Associate Professor Dr.Boonlue Sawatmongkhon

King Mongkut's University of Technology North Bangkok

## **Editorial Board Members**

Professor Dr.Prayoot Akkaraekthalin

King Mongkut's University of Technology North Bangkok

Professor Dr.Sutthisak Phongthanapanich

King Mongkut's University of Technology North Bangkok

Professor Dr.Navadol Laosiripojan

King Mongkut's University of Technology Thonburi

Professor Dr.Pichet Limsuwan

King Mongkut's University of Technology Thonburi

Professor Dr.Sumrerng Jugjai

King Mongkut's University of Technology Thonburi

Professor Dr.Pranut Potiyaraj

Chulalongkorn University

Professor Dr.Hathaikarn Manuspiya

Chulalongkorn University

Professor Dr.Phadungsak Ratanadecho

Thammasat University

Professor Dr.Prinya Chindaprasirt

Khon Kaen University

Professor Wing Commander Dr.Sarawut Sujitjorn

Suranaree University of Technology

Associate Professor Dr.Thanatchai Kulworawanichpong

Suranaree University of Technology

Associate Professor Dr.Apirat Laobuthee

Kasetsart University

Associate Professor Dr.Sureerat Polsilapa

Kasetsart University

Associate Professor Dr.Duangrudee Chaysuwan

Kasetsart University

## **International Editors**

Professor Dr.Athanasis Thanos Tsolakis

University of Birmingham, United Kingdom

Professor Dr.Cristina Leonelli

University of Modena and Reggio Emilia, Italy

Professor Dr.Greg Heness

University of Technology Sydney, Australia

Professor Dr.Michiya Matsusaki

Osaka University, Japan

Professor Dr.Kannan Venkatramanan

SCSVMV University, India

## **Head of Administrative Management**

Associate Professor Dr.Kampanart Theinnoi

King Mongkut's University of Technology North Bangkok

## **Administrative Management**

Assistant Professor Dr.Prasertsak Tiawongsombat

King Mongkut's University of Technology North Bangkok

Assistant Professor Dr.Pantip Boonsong

King Mongkut's University of Technology North Bangkok

## **Journal Manager**

Miss Chonlada Chueapradit

King Mongkut's University of Technology North Bangkok

## วัตถุประสงค์

วารสารวิชาการเทคโนโลยีอุตสาหกรรมเป็นวารสารที่พิมพ์เผยแพร่บทความวิจัยและบทความวิชาการ เพื่อเป็นสื่อกลางในการเผยแพร่องค์ความรู้ งานวิจัย สิ่งประดิษฐ์และนวัตกรรม ของภาคการศึกษาและ อุตสาหกรรม โดยบทความมีเนื้อหาที่เกี่ยวข้องกับสาขาวิชาทางด้านเทคโนโลยีวิศวกรรมศาสตร์ อาทิเช่น วิศวกรรมเครื่องกล วิศวกรรมโยธา วิศวกรรมเคมี วิศวกรรมไฟฟ้าและอิเล็กทรอนิกส์ วิศวกรรมวัสดุ และ กระบวนการผลิต วิศวกรรมอุตสาหการ วิศวกรรมสิ่งแวดล้อม วิศวกรรมพลังงานและพลังงานทดแทน วิศวกรรมคอมพิวเตอร์และแบบจำลอง เป็นต้น

ทั้งนี้ บทความจะผ่านขั้นตอนการประเมินเบื้องต้นถึงคุณภาพและขอบเขตของเนื้อหา ความถูกต้อง ของรูปแบบการเตรียมบทความ ความซ้ำซ้อน และการคัดลอกวรรณกรรม (Duplication and Plagiarism) โดย กองบรรณาธิการวารสารฯ จากนั้น บทความจะได้รับการประเมินคุณภาพทางวิชาการโดยผู้ทรงคุณวุฒิใน สาขาวิชาที่เกี่ยวข้องอย่างน้อย 3 ท่าน ซึ่งเป็นบุคคลภายนอกจากหลักสภานั้น ทั้งนี้ ผู้พิพากษา (Author) และ ผู้ประเมิน (Reviewer) จะไม่ทราบข้อมูลของกันและกัน (Double-Blinded Peer Reviews) และไม่ได้สัมภัติ หน่วยงานเดียวกัน โดยบทความที่ผ่านการรับปรุงตามผลการประเมินจะได้รับพิจารณาอนุมัติให้พิมพ์บบทความ ขั้นตอนสุดท้าย กองบรรณาธิการจะดำเนินการตรวจสอบบทความและพิสูจน์อักษรก่อนที่จะเผยแพร่บทความแบบ ออนไลน์ และจัดพิมพ์บบทความทั้งหมดรวมเล่มเพื่อดำเนินการเผยแพร่ต่อไป

อนึ่ง ผลงานวิจัยและผลงานทางวิชาการที่ปรากฏเผยแพร่ในวารสารฯ เป็นความคิดเห็นอิสระของผู้แต่ง โดยผู้แต่งเป็นผู้รับผิดชอบต่อผลทางกฎหมายใด ๆ ที่อาจจะเกิดขึ้นจากบทความเผยแพร่นั้น ซึ่งกองบรรณาธิการ และคณะผู้จัดทำวารสารฯ ไม่จำเป็นต้องเห็นด้วยเสมอไป

## กำหนดของการสาร

วารสารวิชาการเทคโนโลยีอุตสาหกรรมมีกำหนดการออกปีละ 3 ฉบับ โดยฉบับที่ 1 จะจัดพิมพ์ ระหว่างเดือนมกราคม – เมษายน ฉบับที่ 2 จะจัดพิมพ์ระหว่างเดือน พฤษภาคม – สิงหาคม และฉบับที่ 3 จะ จัดพิมพ์ระหว่างเดือนกันยายน – ธันวาคม ของทุกปี

## ผู้จัดพิมพ์

หน่วยวิจัยและส่งเสริมวิชาการ วิทยาลัยเทคโนโลยีอุตสาหกรรม มหาวิทยาลัยเทคโนโลยีพระจอมเกล้า พระนครเหนือ ชั้น 3 อาคาร 63 เลขที่ 1518 ถนนประชาธิรักษ์ 1 แขวงวงศ์สว่าง เขตบางซื่อ กรุงเทพฯ 10800 โทร. 02-555-2000 ต่อ 6249, Email: JIT.journal@gmail.com

## **Objectives**

The journal of industrial technology is an academic publication which devotes to be a medium to disseminate knowledge, research, invention, and innovation for academics. The article provides and reports of interest to the field of engineering technology such as mechanical engineering, civil engineering, electrical and electronic engineering, chemical engineering, materials engineering, production engineering, industrial engineering, environmental engineering, energy and renewable energy engineering, computational engineering and etc.

For publication, the submitted articles will be reviewed through a preliminary assessment process for the quality and scope of the content, duplication, and plagiarism by the editorial board and then evaluated for an academic quality for academic quality by at least 3 experts in related fields, who are outsiders from various institutions. The authors and reviewers do not know each other's information (double-blinded peer reviews) and are not affiliated with the same institution. The high quality-reviewed manuscript will be considered to be accepted for publication. For the last step, the editorial board will verify and proofread the articles before online publishing and printing out all in the journal for further publication.

In addition, the research and academic works published in this journal are considered the independent opinions of the author. The author is responsible for any legal consequences that may result from the published articles with which editorial members do not always necessarily agree.

## **Publishing Schedule**

The journal of industrial technology is published in 3 issues per year. Issue 1 will be published between January and April of every year. Issue 2 will be published between May and August of every year. Issue 3 will be published between September and December of every year.

## **Publisher**

Research and Academic Supports Division College of Industrial Technology, King Mongkut's University of Technology North Bangkok, Building 63, 3<sup>rd</sup> Floor, 1518, Pracharat 1 Road, Wongsawang, Bangsue, Bangkok, Thailand, 10800, Tel. +66 2 555-2000 ext. 6249, Email: JIT.journal@gmail.com

## บทบรรณาธิการ

วารสารวิชาการเทคโนโลยีอุตสาหกรรม (The Journal of Industrial Technology, ISSN Online: 2697-5548) ปีที่ 21 ฉบับที่ 2 กองบรรณาธิการมีความยินดีเป็นอย่างยิ่งที่จะเรียนให้ทุกท่านได้ทราบว่า วารสารวิชาการเทคโนโลยีอุตสาหกรรมได้รับการประเมินคุณภาพวารสารจัดอยู่ในฐานข้อมูล TCI กลุ่มที่ 1 ด้าน วิทยาศาสตร์และเทคโนโลยี โดยคุณยศัชนีการอ้างอิงวารสารไทย (Thai Citation Index: TCI) มีผลรับรองตั้งแต่วันที่ 1 มกราคม พ.ศ. 2568 ถึงวันที่ 31 ธันวาคม พ.ศ. 2572

การดำเนินงานของวารสารฯ ฉบับนี้ ทางกองบรรณาธิการและคณะกรรมการผู้จัดทำวารสารฯ ได้ดำเนินการพิจารณาและเผยแพร่องรับบทความด้วยระบบ Online Journal Submission (OJS) ทั้งนี้ วารสารฯ ได้ดำเนินการขอเลขรหัสทรัพยากรสานтехดิจิทัล (Digital Object Identifier: DOI) ผ่านระบบ CrossRef และ Digital Object Identifier System ให้กับทุกบทความที่ได้รับการตีพิมพ์ รวมถึงนำเข้าข้อมูลบทความสู่ฐานข้อมูล TCI แบบ Fast Track (Fast-track Indexing System) และฐานข้อมูล Google Scholar ซึ่งทำให้การสืบค้นและการอ้างอิงข้อมูลบทความด้วยระบบออนไลน์นั้นถูกต้องและรวดเร็วยิ่งขึ้น

วารสารวิชาการเทคโนโลยีอุตสาหกรรม ได้จัดพิมพ์ 3 ฉบับต่อปี คือฉบับที่ 1 เดือนมกราคม - เดือนเมษายน ฉบับที่ 2 เดือนพฤษภาคม - เดือนสิงหาคม และฉบับที่ 3 เดือนกันยายน - เดือนธันวาคม สำหรับการเผยแพร่องรับบทความแบบออนไลน์นั้นได้ดำเนินการผ่านทางเว็บไซต์ [ojs.kmutnb.ac.th/index.php/jointtech](http://ojs.kmutnb.ac.th/index.php/jointtech) และ [ph01.tci-thaijo.org/index.php/jit\\_journal](http://ph01.tci-thaijo.org/index.php/jit_journal) ที่อยู่ในระบบ Thai Journals Online (ThaiJO)

นับจัยหลายประการที่มีความสำคัญเป็นอย่างยิ่งต่อคุณภาพวารสารคือคุณภาพของบทความที่มีคุณค่าทางวิชาการเป็นที่ยอมรับ กระบวนการคัดกรองและการตรวจสอบที่มีมาตรฐาน โดยผู้ทรงคุณวุฒิเฉพาะสาขาวิชา ข้อเสนอแนะที่ทรงคุณค่า รวมทั้ง การจัดการที่มีประสิทธิภาพเพื่อดำเนินการจัดพิมพ์และการเผยแพร่องรับบทความให้เป็นไปตามระยะเวลาที่กำหนด ส่งผลให้วารสารฯ มีความน่าเชื่อถือและผ่านการรับรองโดย TCI

ทางคณะกรรมการผู้จัดทำวารสารฯ ขอกราบขอบพระคุณที่ปรึกษาวารสารฯ กองบรรณาธิการ ผู้ทรงคุณวุฒิ พิจารณาบทความ ที่สละเวลาและใช้ความรู้ความสามารถในการทำให้คุณภาพของวารสารฯ เป็นที่น่าเชื่อถือและมีคุณค่าเป็นประโยชน์ต่อวงการวิชาการ และขอขอบคุณนักวิชาการทุกท่านที่ส่งบทความที่มีคุณค่าทางวิชาการเข้าร่วมทำให้วารสารฯ ดำเนินการสำเร็จตามวัตถุประสงค์ ทางคณะกรรมการผู้จัดทำวารสารฯ พร้อมที่จะรับฟังข้อเสนอแนะจากทุกภาคส่วนเพื่อทำให้วารสารฯ มีการพัฒนามากยิ่งขึ้น และเป็นที่ยอมรับในระดับสากลต่อไป

บรรณาธิการ



## สารบัญ

หน้า

กองบรรณาธิการวารสารวิชาการเทคโนโลยีอุตสาหกรรม  
(Editorial Board of The Journal of Industrial Technology)

A

วัตถุประสงค์ (Objectives)

C

บทบรรณาธิการ

E

บทความวิจัย

การประยุกต์ใช้ระบบสารสนเทศทางภูมิศาสตร์วิเคราะห์ผลกระทบจากสารเบนซีนเพื่อกำหนด  
มาตรการเชิงพื้นในกรุงเทพมหานคร (Application of Geographic Information System for Benzene  
Impact Analysis and Spatial Measure Development in Bangkok Metropolitan Area)

1-15

Chakkrit Sela, Seree Tuprakay, Piyarat Premanoch, Nannapasorn Inyim

การปรับปรุงกระบวนการผลิตเพื่อลดจุดบกพร่องในขนมปังแฮมเบอร์เกอร์โดยการประยุกต์ใช้เทคนิค  
DMAIC: กรณีศึกษาบริษัทเพรสซิเดนท์เบเกอรี่จำกัด(มหาชน)  
(The Production Process Improvement to Reduce Defect in Hamburger Buns by Applying  
DMAIC Technique: A Case Study of President Bakery Public Company Limited)

16-29

Thananya Phansuwan, Thanawan Boonyarattanakornkit, Prachayapon Shingpun,  
Ketinun Kittipongpittaya, Nattakan Jakkranuhwat

สมบัติทางกายภาพและทางกลของมอร์ตาร์ผสมขยะทะเลเพื่อพัฒนาเป็นผลิตภัณฑ์ (Physical and  
Mechanical Properties of Mortar Containing Marine Waste for Product Development)

30-41

Wunchock Kroehong, Samart Nipunram, Pruchaya Yoddumrong, Sattawat Haruehansapong,  
Prachoom Khamput

การจำแนกโควิด 19 จากภาพ CT Scan ด้วยการเรียนรู้แบบรวมกลุ่ม (Classification of COVID-19  
from Chest CT Images Using Ensemble Techniques)

42-58

Pongsathorn Chedsom

การออกแบบและพัฒนาเครื่องมือสอบเทียบมาตรฐานสำหรับเครื่องวัดระนาบชนิดมีระดับน้ำ  
(Design and Development of Standard Calibrator for Horizontal Spirit Level)

59-75

Wissarut Kongsagul, Ruephuwan Chantrasa



## สารบัญ (ต่อ)

## บทความวิจัย (ต่อ)

หน้า

- การพัฒนาสมบัติการทนความร้อนของอิฐจีโอโพลิเมอร์จากถ่านหินและดินขาวเผาโดยการเติม  
ถ่านหินอ้อย (Development of Heat Resistance Properties of Geopolymer Bricks from  
Fly Ash and Metakaolin by Bagasse Ash Addition)

76-90

*Pisit Tippayasem และ Paijit Pawan*

- ค่อนกรีดบล็อกกลวงกันความร้อนมวลรวมมากกว่าถ่านหินปูนสำหรับใช้ในหน้ากากอนามัยและ  
หน้ากาก KF94 (Thermal Insulation Hollow Concrete Blocks using Palm Oil Clinker  
Containing Surgical Face Masks and KF94 Masks as Aggregate)

91-106

*Preecha Salaemae, Krittiya Ongwuttiwat, Abideng Hawa*

- การปรับปรุงประสิทธิภาพการผลิตในกระบวนการผลิตแผ่นท่ออย่างร้อน  
(Improving Production Efficiency in Hot Coil Plate Production Process)

107-122

*Suchadee Tumrongsuk*

- การหาสภาวะที่เหมาะสมสำหรับการทำจัดโคลิฟอร์มแบบที่เรียกว่าดินโดยใช้ถังปฏิกรณ์แบบ  
ไฮโดรไดนามิกส์ cavity เดี่ยววิธีพื้นผิวน้ำทึบสนอง (Optimization of Coliform Bacteria Removal in  
Surface Water using a Hydrodynamic Cavitation Reactor with the Response Surface  
Methodology)

123-137

*Thanakrit Nonchana, Nopparat Amattirat, Kulachate Pianthong, Ittipon Worapun*

- สายอากาศพื้นผิวแก้วสุดจัดเรียงกระแซลแล้วลำดับสำหรับเก็บเกี่ยวพลังงานไร้สายจากการสื่อสาร 5G  
(Metasurface Rectenna Array for Wireless Energy Harvesting from 5G Communications)

138-150

*Komkris Boonying, Patharawadee Boonying, Komyuth Chaiwong*

- การออกแบบการทดลองเพื่อวิเคราะห์ปัจจัยการปรับตั้งค่าเครื่องย่อยในโตรเจนที่มีผลต่อการเกิดของ  
เส้นของหลอดกลั่นในโตรเจน (Design of Experiments to Analyze Factors for Block Digestion  
Affecting the Defect of Nitrogen Tubes)

151-165

*Yossawat Cheewaworanontree , Kridtharit Thongsin , Piya Rontlaong*

- ประเภทเส้นใยพลาสติกต่อสมบัติเชิงกลของชิ้นส่วนขึ้นรูปด้วยเครื่องพิมพ์ 3 มิติ (Effect of Plastic  
Filament Type on Mechanical Properties of 3D-printed Parts)

166-179

*Thanate Ratanawilai, Pornnappa Nuttabut, Arisa Prommai, Noppanat Jaturonlux*



## สารบัญ (ต่อ)

## บทความวิจัย (ต่อ)

หน้า

- การพัฒนาชุดฝึกปฏิบัติด้วยระบบสมองกลผังตัวarduinoสำหรับควบคุมอุปกรณ์นิวแม่ติกส์ไฟฟ้า  
(Development of the PLC Practical Set with the Arduino Embedded System for Electro-pneumatic Device Control)

180-195

*Surachai Nampromma, Rachan Udomkham, Thaitot Kaewngao*

- การเพิ่มผลิตภาพและลดต้นทุนการขนถ่ายสินค้าด้วยการกำหนดเวลา มาตรฐาน และ  
การศึกษาการเคลื่อนไหว: การณ์ศึกษาธุรกิจบริการคลังสินค้า  
(Enhancing Productivity and Reducing Handling Cost through Standard Time and Motion  
Study: A Case Study of a Warehouse Service Business)

196-212

*Sugris Limphothong, Komkrit Pitiruek*

- ประสิทธิภาพในการต้านทานความล้าของแผ่นพื้นคอนกรีตผสมยางรถยนต์เก็บดละเอียดขนาด  
เสมือนจริง (Fatigue Performance of Full-scale Crumb Rubber Concrete Slabs)

213-225

*Supanatchai Khieorod, Kittipoom Rodsin*

- ข้อมูลสำหรับผู้เขียนและการเตรียมต้นฉบับ (Authors Guideline and Manuscript Preparation) S1

- แบบฟอร์มนำส่งบทความ (Manuscript Submission Form) S2



# การประยุกต์ใช้ระบบสารสนเทศทางภูมิศาสตร์วิเคราะห์ผลกระทบจากสารเบนซีนเพื่อกำหนดมาตรการเชิงพื้นในกรุงเทพมหานคร

จักรกฤษ เสลา<sup>1\*</sup> เสรีย์ ตู้ประกาย<sup>2</sup> ปิยะรัตน์ ปริย์มาโนช<sup>2</sup> และ นันท์กัสร อินยิ่ม<sup>2</sup>

<sup>1</sup> หลักสูตรหลักสูตรปรัชญาดุษฎีบัณฑิต, สาขาวิชากรรมความปลอดภัย, อาชีวอนามัยและสิ่งแวดล้อม, คณะวิศวกรรมศาสตร์, มหาวิทยาลัยรามคำแหง

<sup>2</sup> สาขาวิชาชีววิศวกรรมสิ่งแวดล้อม, คณะวิศวกรรมศาสตร์, มหาวิทยาลัยรามคำแหง

\* ผู้ประสานงานเผยแพร่ (Corresponding Author), E-mail: chakkrit.s@rumail.ru.ac.th

วันที่รับบทความ: 4 มีนาคม 2568; วันที่ทบทวนบทความ: 13 พฤษภาคม 2568; วันที่ตอบรับบทความ: 26 พฤษภาคม 2568

วันที่เผยแพร่อนไลน์: 19 สิงหาคม 2568

**บทคัดย่อ:** การวิจัยนี้มีวัตถุประสงค์เพื่อประยุกต์ใช้ระบบสารสนเทศภูมิศาสตร์ (GIS) ในการวิเคราะห์ผลกระทบจากการแพร่กระจายของสารเบนซีนในพื้นที่กรุงเทพมหานคร การศึกษาดำเนินการโดยการเก็บรวบรวมข้อมูลความเข้มข้นของสารเบนซีนจากสถานีตรวจวัดคุณภาพอากาศในพื้นที่กรุงเทพมหานครจำนวน 4 สถานี กรมควบคุมมลพิษ ในช่วงปี พ.ศ. 2562-2566 วิเคราะห์ข้อมูลด้วยเทคนิคการประมาณค่าเชิงพื้นที่ (Spatial Interpolation) และการวิเคราะห์ซ้อนทับ (Overlay Analysis) ผลการศึกษาพบว่า พื้นที่มีความเสี่ยงสูงจากการได้รับผลกระทบของสารเบนซีนกระจายตัวอยู่ในเขตอุตสาหกรรมและพื้นที่การจราจรหนาแน่น โดยเฉพาะในเขตบางนา ลาดกระบัง และคลองเตย จากผลการวิเคราะห์นำไปสู่การเสนอมาตรการเชิงพื้นที่ 3 ระดับ ได้แก่ มาตรการเร่งด่วนในพื้นที่เสี่ยงสูง มาตรการป้องกันในพื้นที่เสี่ยงปานกลาง และมาตรการเฝ้าระวังในพื้นที่เสี่ยงต่ำ ผลการวิจัยนี้สามารถนำไปใช้เป็นกรอบแนวทางเบื้องต้น ในการกำหนดนโยบายและมาตรการจัดการคุณภาพอากาศในกรุงเทพมหานคร โดยเน้นการจัดการเชิงพื้นที่ตามระดับความเสี่ยงจากการแพร่กระจายของสารเบนซีน อย่างไรก็ได้ จำเป็นต้องมีการทดลองประยุกต์ใช้ในพื้นที่จริงและประเมินประสิทธิภาพของมาตรการต่อไป เพื่อให้เกิดความหมายสมกับบริบทการดำเนินงานจริง

**คำสำคัญ:** ระบบสารสนเทศภูมิศาสตร์; สารเบนซีน; การวิเคราะห์เชิงพื้นที่



# Application of Geographic Information System for Benzene Impact Analysis and Spatial Measure Development in Bangkok Metropolitan Area

**Chakkrit Sela<sup>1\*</sup>, Seree Tuprakay<sup>2</sup>, Piyarat Premanoch<sup>2</sup> and Nannapasorn Inyim<sup>2</sup>**

<sup>1</sup> Doctor of Philosophy Program in Safety Engineering, Occupational Health and Environmental Engineering, Faculty of Engineering, Ramkhamhaeng University

<sup>2</sup> Environmental Engineering, Faculty of Engineering, Ramkhamhaeng University

\* Corresponding author, E-mail: chakkrit.s@rumail.ru.ac.th

Received: 4 March 2025; Revised 13 May 2025; Accepted: 26 May 2025

Online Published: 19 August 2025

**Abstract:** This research aims to apply Geographic Information Systems (GIS) to analyze the impacts of benzene dispersion in Bangkok. The study collected benzene concentration data from four air quality monitoring stations under the Pollution Control Department between 2019 and 2023. The data were analyzed using spatial interpolation and overlay analysis techniques. The results revealed that high-risk areas for benzene exposure were concentrated in industrial zones and high-traffic areas, particularly in Bang Na, Lat Krabang, and Khlong Toei districts. Based on the findings, the study proposed three-tiered spatial mitigation measures: urgent actions in high-risk zones, preventive measures in moderate-risk areas, and monitoring protocols in low-risk zones. The research provides a preliminary framework for developing air quality management policies in Bangkok, emphasizing spatially targeted interventions based on benzene dispersion risks. However, further field implementation and efficacy assessments are required to ensure the proposed measures align with real-world operational contexts.

**Keywords:** Geographic Information System; Benzene; Spatial Analysis



## 1. บทนำ

ปัจจุบันกรุงเทพมหานครประสบปัญหามลพิษทางอากาศที่รุนแรง โดยเฉพาะสารเบนซีน (Benzene) ซึ่งเป็นสารประกอบอินทรีย์ระเหยง่าย (Volatile Organic Compounds: VOCs) ที่เกิดจากการเผาไหม้เชื้อเพลิงจากยานพาหนะและกิจกรรมอุตสาหกรรม จากรายงานสถานการณ์มลพิษของประเทศไทย ปี พ.ศ. 2565 พบว่าปริมาณสารเบนซีนในพื้นที่กรุงเทพมหานครมีค่าเฉลี่ยรายปีสูงถึง 2.5 ไมโครกรัมต่อลูกบาศก์เมตร ซึ่งเกินค่ามาตรฐานที่องค์กรอนามัยโลกกำหนดไว้ที่ 1.7 ไมโครกรัมต่อลูกบาศก์เมตร สารเบนซีนเป็นสารก่อมะเร็งที่ส่งผลกระทบโดยตรงต่อสุขภาพของประชาชน โดยเฉพาะผู้ที่อาศัยในพื้นที่ที่มีการจราจรหนาแน่นและใกล้แหล่งกำเนิดมลพิษ [1]

สารเบนซีนในอากาศยังคงเป็นปัญหาสำคัญของมลพิษทางอากาศในกลุ่มสารอินทรีย์ระเหยง่าย เนื่องจากมีแหล่งกำเนิดที่หลากหลาย การวิเคราะห์สาเหตุจำเป็นต้องพิจารณาตามประเภทของกิจกรรมและการใช้ที่ดินในแต่ละจุดตรวจวัด โดยแบ่งเป็น 3 ประเภทหลัก คือ พื้นที่ท่าวาปิหรือที่อยู่อาศัยในเมืองใหญ่ พื้นที่ริมถนนที่มีการจราจรคับคั่ง และพื้นที่ชุมชนที่อยู่โดยรอบเขตอุตสาหกรรม จากข้อมูลระหว่างปี 2557-2566 พบว่าระดับสารเบนซีนบริเวณริมถนนที่มีการจราจรหนาแน่นในกรุงเทพมหานครยังคงเกินค่ามาตรฐานที่กำหนดไว้

การจัดการปัญหามลพิษจากการเบนซีนจำเป็นต้องอาศัยข้อมูลเชิงพื้นที่ที่ถูกต้องและแม่นยำ ระบบสารสนเทศภูมิศาสตร์ (Geographic Information System: GIS) เป็นเครื่องมือที่มีประสิทธิภาพในการ

วิเคราะห์การกระจายตัวของมลพิษและผลกระทบที่เกิดขึ้น รัฐวุฒิรัตน์ ไชยราม และคณะ [2] ได้ประยุกต์ระบบสารสนเทศภูมิศาสตร์เพื่อการวิเคราะห์พื้นที่เสี่ยงภัยสารอินทรีย์ระเหยง่าย จังหวัดระยอง พบร้า ผลกระทบจากสารอินทรีย์ระเหยง่ายในบรรยากาศเป็นระยะเวลา 1 ปี พบว่ามี 158 หมู่บ้านที่ต้องอยู่ในพื้นที่เสี่ยงภัยระดับสูงสุด โดยมีสารอินทรีย์ระเหยง่ายเกินค่ามาตรฐานถึง 4 ชนิด คิดเป็น 38.92% ของจำนวนหมู่บ้านทั้งหมด ระดับความเสี่ยงที่สูงนี้ถือเป็นประเด็นสำคัญที่หน่วยงานท้องถิ่นในจังหวัดระยองควรให้ความสำคัญและดำเนินการเฝ้าระวังอย่างใกล้ชิด

ในด้านนโยบายและการจัดการ กรุงเทพมหานครได้กำหนดแผนแม่บทด้านการจัดการคุณภาพอากาศ พ.ศ. 2566-2570 โดยมีเป้าหมายเป้าหมายการพัฒนากรุงเทพมหานครในปี 2570 มุ่งเน้นให้มีระบบและเครื่องมือในการจัดการสิ่งแวดล้อมที่มีประสิทธิภาพเพียงพอ เพื่อควบคุมคุณภาพสิ่งแวดล้อมเมืองและแหล่งกำเนิดมลพิษในพื้นที่ตามหลักวิชาการ โดยมุ่งสร้างผลกระทบเชิงบวกต่อระบบน้ำเสียและคุณภาพชีวิตที่ยั่งยืนของประชาชนทุกกลุ่ม ทั้งนี้ การบริหารจัดการด้านสิ่งแวดล้อมจะดำเนินการอย่างบูรณาการและมีความคล่องตัว ผ่านการประสานความร่วมมือกับเครือข่ายภาคีต่าง ๆ อย่างต่อเนื่อง อย่างไรก็ตาม การขับเคลื่อนการจัดการสิ่งแวดล้อมที่ผ่านมาประสบข้อจำกัดด้านความครอบคลุมและข้อมูลเชิงพื้นที่ดังนั้น การนำระบบสารสนเทศภูมิศาสตร์ (GIS) มาประยุกต์ใช้ในการวิเคราะห์และติดตามสถานการณ์จึงเป็นเครื่องมือสำคัญที่จะช่วยผลักดันให้บรรลุเป้าหมายการพัฒนาที่วางไว้ได้อย่างมีประสิทธิภาพ



## 2. ทบทวนวรรณกรรม

### 2.1 ที่ตั้งและอาณาเขตของกรุงเทพมหานคร

กรุงเทพมหานคร เมืองหลวงของประเทศไทย ตั้งอยู่ในภาคกลางที่ละติจูด  $13^{\circ}44'$  เหนือ และลองจิจูด  $100^{\circ}34'$  ตะวันออก [3] พื้นที่ 1,568.737 ตารางกิโลเมตร แบ่งการปกครองเป็น 50 เขต (รูปที่ 1) ดังนี้ ที่ราบสูมสามเหลี่ยมปากแม่น้ำเจ้าพระยา มีความลาดเอียงจากทิศเหนือลงสู่อ่าวไทยทางทิศใต้ ระดับความสูงเฉลี่ย 1.5-2 เมตรเหนือระดับน้ำทะเลปานกลาง [4] สภาพภูมิอากาศได้รับอิทธิพลจากลมรสุมตะวันออกเฉียงเหนือในฤดูหนาว และลมรสุมตะวันตกเฉียงใต้ในฤดูฝน มีอุณหภูมิเฉลี่ยตลอดปี 28-30 องศาเซลเซียส และปริมาณน้ำฝนเฉลี่ยรายปี 1,400-1,600 มิลลิเมตร [5] ประชากรตามทะเบียนราษฎร์ ณ มกราคม 2568 มีจำนวน 5,451,191 คน ความหนาแน่นประชากรเฉลี่ย 3,526 คนต่อตารางกิโลเมตร [6]

### 2.2 คุณภาพอากาศในกรุงเทพมหานคร

คุณภาพอากาศในกรุงเทพมหานครยังคงเป็นประเด็นที่น่ากังวล โดยเฉพาะในช่วงฤดูแล้งที่มักพบปัญหามลพิษทางอากาศรุนแรงขึ้น จากรายงานของกรมควบคุมมลพิษ (2566) พบว่าค่าสารอินทรีย์ระเหยง่าย (Volatile Organic Compounds: VOCs) ซึ่งเป็นสารมลพิษทางอากาศที่สำคัญยังคงเป็นปัญหาในบางพื้นที่ของประเทศไทย โดยเฉพาะในเขตเมืองใหญ่ เช่น กรุงเทพมหานคร ซึ่งแหล่งกำเนิดหลักมาจากการจราจร โรงงานอุตสาหกรรม และการเผาไหม้ที่ไม่สมบูรณ์

### 2.3 พื้นที่เฝ้าระวัง

กรมควบคุมมลพิษได้ดำเนินการตรวจ VOCs ในบรรยากาศครอบคลุมพื้นที่ 7 จังหวัด ได้แก่ กรุงเทพมหานคร ปทุมธานี เชียงใหม่ ขอนแก่น สงขลา ราชบุรี และอ่างทอง โดยมีการติดตามสารประกอบอินทรีย์ระเหยง่าย (VOCs) 9 ชนิดตามมาตรฐานคุณภาพอากาศของประเทศไทย (ประกาศคณะกรรมการสิ่งแวดล้อมแห่งชาติ พ.ศ. 2564) ได้แก่ เบนซีน (1.7 ไมโครกรัมต่อลูกบาศก์เมตร, ค่าเฉลี่ยรายปี) 1,3-บิวทาไอกอีน (2.0 ไมโครกรัมต่อลูกบาศก์เมตร, ค่าเฉลี่ยรายปี) คาร์บอนเตตระคลอไรด์ (62 ไมโครกรัมต่อลูกบาศก์เมตร, ค่าเฉลี่ยรายปี) คลอโรฟอร์ม (490 ไมโครกรัมต่อลูกบาศก์เมตร, ค่าเฉลี่ยรายปี) ไฮคลอโรเมธีлен (1,600 ไมโครกรัมต่อลูกบาศก์เมตร, ค่าเฉลี่ยรายปี) เอทิลเบนซีน (1,000 ไมโครกรัมต่อลูกบาศก์เมตร, ค่าเฉลี่ยรายปี) ไฮคลอโรเอทิลีน (1,350 ไมโครกรัมต่อลูกบาศก์เมตร, ค่าเฉลี่ยรายปี) โกลูอีน (1,000 ไมโครกรัมต่อลูกบาศก์เมตร, ค่าเฉลี่ย 24 ชั่วโมง) และไซเลน (870 ไมโครกรัมต่อลูกบาศก์เมตร, ค่าเฉลี่ย 24 ชั่วโมง) ซึ่งต้องดำเนินการตรวจสอบอย่างเคร่งครัด เนื่องจากเป็นสารอันตรายที่มาจากแหล่งกำเนิดสำคัญ ได้แก่ การขนส่งและจราจร กระบวนการผลิตทางอุตสาหกรรม โดยเฉพาะอุตสาหกรรมปิโตรเคมี และการใช้พลิตภัณฑ์ปิโตรเลียมต่าง ๆ จากการศึกษาการเปลี่ยนแปลงของระดับสารเบนซีนในอากาศที่เกิดจากการจราจรและสถานีบริการน้ำมันในกรุงเทพฯ เพื่อประเมินผลกระทบต่อสิ่งแวดล้อมและสุขภาพของประชาชนโดยใช้เทคโนโลยี



ระบบสารสนเทศภูมิศาสตร์ [7] การศึกษานี้พบว่าความเข้มข้นของเบนซีนในอากาศเขต 1 ของเดช茫然สูงเกินมาตรฐาน EPA (1.56 ppb) โดยเฉพาะบริเวณสถานีบริการน้ำมันที่มีค่าเฉลี่ยสูงถึง 29.01 ppb ตามด้วยจุดตัดการจราจร (14.98 ppb) และถนนการจราจรหนาแน่น (13.85 ppb) ในขณะที่เขตที่อยู่อาศัยมีค่าต่ำสุดที่ 3.26 ppb สาเหตุหลักมาจากการนำมันเชื้อเพลิงคุณภาพดีและระบบควบคุมการระบายของน้ำมันในบ้านน้ำมันไม่มีประสิทธิภาพ ผลการศึกษาชี้ให้เห็นถึงความเสี่ยงด้านสุขภาพจากมลพิษทางอากาศที่ประชาชนในเดช茫然

#### 2.4 ผลการตรวจวัด

ผลการตรวจวัดในปี พ.ศ. 2566 พบว่า ส่วนใหญ่ของพื้นที่ตรวจวัดมีค่า VOCs (สารอินทรีย์ระเหยง่าย) อยู่ในเกณฑ์มาตรฐาน อย่างไรก็ตาม บังคับพนักงานในบางพื้นที่ โดยเฉพาะในกรุงเทพมหานครและจังหวัดระยอง [8] โดยในกรุงเทพมหานครพบสารเบนซีนเกินมาตรฐานทึ้งในพื้นที่ริมถนนและพื้นที่ทั่วไป สาเหตุหลักมาจากการจราจรที่คับคั่งและการปล่อยมลพิษจากยานพาหนะ ซึ่งสารเบนซีนเป็นสารก่อมะเร็งที่อันตรายและส่งผลกระทบต่อสุขภาพในระยะยาว

#### 2.5 โปรแกรม Quantum GIS (QGIS)

Quantum GIS (QGIS) เป็นซอฟต์แวร์ระบบสารสนเทศภูมิศาสตร์แบบตั้งโต๊ะที่มีประสิทธิภาพสูง จัดเป็นซอฟต์แวร์หัสดี เปิดที่ใช้งานได้ง่ายผ่านส่วนติดต่อผู้ใช้แบบกราฟิก สามารถจัดการข้อมูลภาพข้อมูลตาราง วิเคราะห์และนำเสนอข้อมูลในรูปแบบ

แผนที่ รองรับการทำงานกับข้อมูลทั้งแบบเวกเตอร์และรัสเตอร์ เช่น Shapefile และ GeoTIFF รวมถึงความสามารถในการวิเคราะห์ข้อมูลเชิงพื้นที่ การสร้างและแก้ไขข้อมูลเชิงพื้นที่และข้อมูลเชิงบรรยาย ผ่านเครื่องมือที่ออกแบบมาอย่างเป็นระบบ [9]

### 3. ขั้นตอนการวิจัย

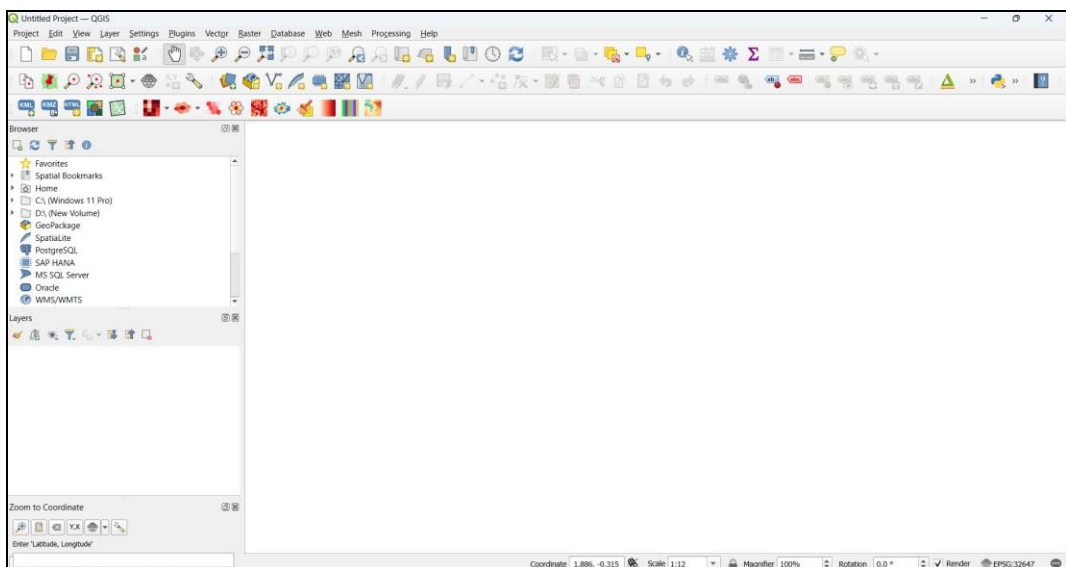
#### 3.1 อุปกรณ์ที่ใช้ในการศึกษา

การศึกษานี้ใช้เครื่องคอมพิวเตอร์ที่มีประสิทธิภาพเหมาะสม พร้อมระบบปฏิบัติการและโปรแกรมพื้นฐานที่จำเป็น เพื่อรับรับการประมวลผลข้อมูลเชิงพื้นที่ที่มีความซับซ้อน โดยใช้โปรแกรม QGIS Desktop 3.34.11 (รูปที่ 2) ซึ่งเป็นซอฟต์แวร์หัสดี (Open Source) ที่มีความสามารถสูงในการวิเคราะห์และจัดการข้อมูลเชิงพื้นที่ (Geospatial Data) โปรแกรมนี้ได้รับการยอมรับอย่างกว้างขวางในการภูมิสารสนเทศ (Geoinformatics) เนื่องจากมีพัฒนาการทำงานที่ครอบคลุมและรองรับการทำงานกับข้อมูลหลากหลาย

รูปแบบการศึกษานี้ยังใช้ระบบกำหนดพิกัดภูมิศาสตร์ที่เป็นมาตรฐานสากล (Global Coordinate System) ในการระบุตำแหน่ง เช่น ระบบ WGS84 (World Geodetic System 1984) ซึ่งเป็นระบบที่ใช้กันอย่างแพร่หลายในงานด้านภูมิสารสนเทศและระบบนำทางด้วยดาวเทียม (GPS) การใช้ระบบมาตรฐานนี้ช่วยให้การวิเคราะห์ข้อมูลมีความสอดคล้องและสามารถเปรียบเทียบกับข้อมูลจากแหล่งอื่นได้อย่างถูกต้องแม่นยำ



รูปที่ 1 แผนที่กรุงเทพมหานคร [10]



รูปที่ 2 หน้าต่างของโปรแกรม QGIS Desktop 3.34.11



### 3.2 การจัดการข้อมูล

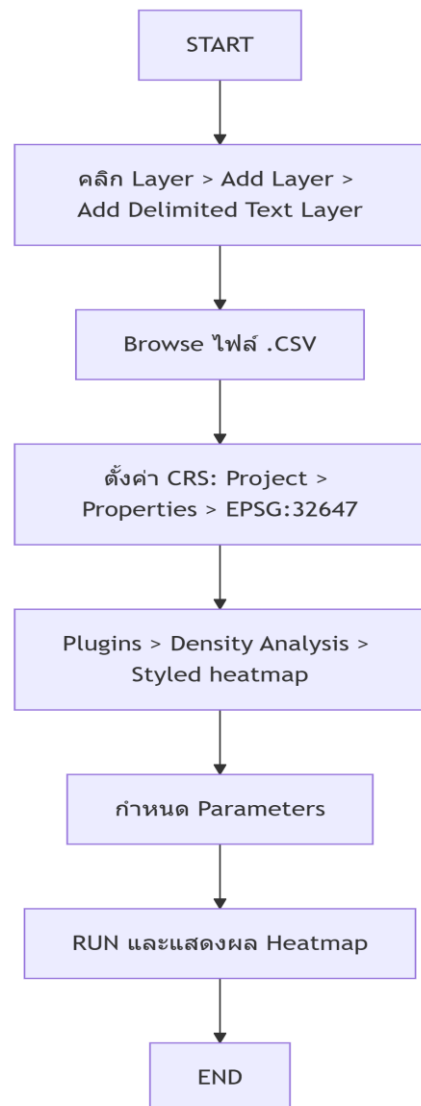
Microsoft Excel ใช้สำหรับนักทึกและจัดเก็บข้อมูลพื้นฐาน ได้แก่ ข้อมูลสถานีตรวจวัด พิกัดตำแหน่ง และค่าความเข้มข้นของสารเบนซีน การแปลงข้อมูลโปรแกรม Python ใช้สำหรับแปลงไฟล์ Excel ให้อยู่ในรูปแบบ CSV นำเข้าไฟล์ CSV สู่โปรแกรม QGIS Desktop 3.34.11 ในรูปแบบ Vector Layer แสดงผลข้อมูลในรูปแบบ Point

### 3.3 ขอบเขตการศึกษา

การวิจัยนี้ทำการศึกษาในพื้นที่กรุงเทพมหานคร การกำหนดชื่ออย่างน่าเข้า ข้อมูลคุณภาพอากาศการตรวจน้ำมูลความเข้มข้นของมลพิษทางอากาศ รวมรวมชื่ออย่างความเข้มข้นของสารเบนซีนจากสถานีตรวจวัดคุณภาพอากาศอัตโนมัติ (Automated Air Quality Monitoring Station) ในพื้นที่กรุงเทพมหานคร โดยได้รับความอนุเคราะห์ข้อมูลสารเบนซีน จากกรมควบคุมมลพิษ ทั้งหมด 4 สถานี ที่ทำการตรวจวัดค่าสารเบนซีน ดังนี้ 1. สถานีตรวจวัดคุณภาพอากาศเขตธนบุรี (ราชภัฏบ้านสมเด็จเจ้าพระยา) 2. สถานีตรวจวัดคุณภาพอากาศเขตปทุมวัน (ถนนพระราม 4 เขตปทุมวัน) 3. สถานีตรวจวัดคุณภาพอากาศเขตดินแดง (ถนนดินแดง เขตดินแดง) 4. สถานีตรวจวัดคุณภาพอากาศเขตวังทองหลาง (ถนนลาดพร้าว เขตวังทองหลาง) ลักษณะข้อมูลเป็นค่าเฉลี่ยรายเดือน ระหว่างปี พ.ศ. 2562-2566 จัดเก็บในรูปแบบไฟล์ดิจิทัลที่มีข้อมูลพิกัดตำแหน่ง ( $X, Y$ ) ของแต่ละสถานี ศึกษาในกลุ่มประชากรที่อาศัยในรัศมี 5 กิโลเมตร จากการเก็บข้อมูลของสถานีตรวจวัดคุณภาพอากาศ ของกรมควบคุมมลพิษ

### 3.4 ขั้นตอนการนำเข้าข้อมูล

ขั้นตอนการนำเข้าข้อมูลและการใส่ค่าตัวแปรในโปรแกรม QGIS Desktop 3.34.11 ที่ใช้สำหรับแสดงผล แสดงดังรูปที่ 3 และตารางที่ 1



รูปที่ 3 ขั้นตอนการนำเข้าข้อมูล



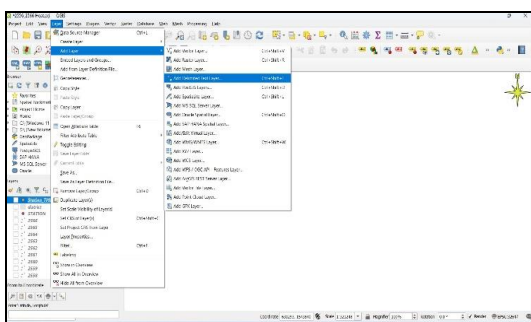
## ตารางที่ 1 การใส่ค่าตัวแปรในโปรแกรม QGIS Desktop 3.34.11 ที่ใช้สำหรับแสดงผล

ลำดับที่

ขั้นตอนการใส่ค่าตามพารามิเตอร์

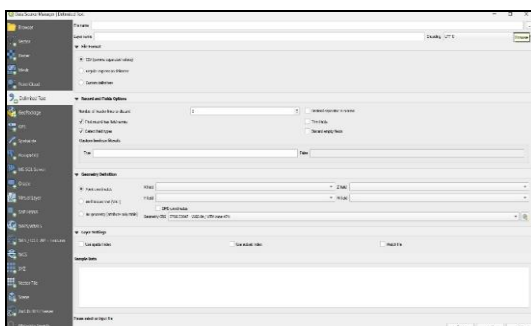
คำอธิบาย

1



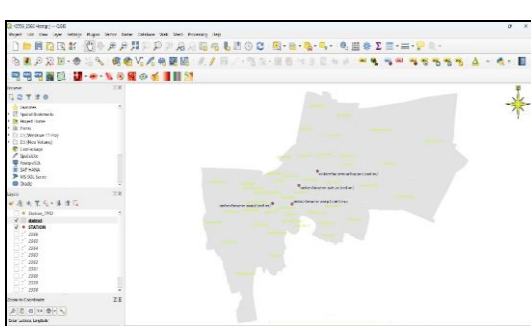
1. คลิกที่ไอคอน Layer > Add Layer > Add Delimited Text Layer

2



2. กดค้างสั้น Browse (3 จุดมุมขวาบน) เพื่อนำไฟล์งานที่สร้างไว้ กลุ่มไฟล์ .CSV (comma separated values)

3



3. เมื่อไฟล์เข้าสู่โปรแกรม ให้ตั้งค่า CRS (Coordinate Reference System) คลิกที่ไอコン Project > Properties



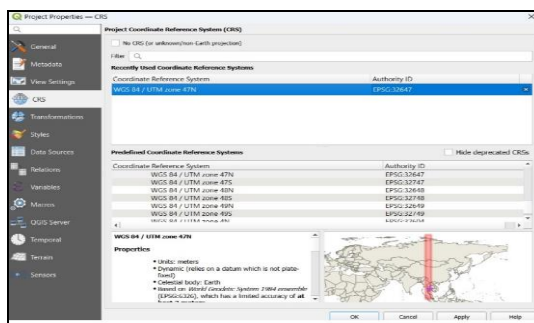
## ตารางที่ 1 (ต่อ)

ลำดับที่

ขั้นตอนการใส่ค่าตามพารามิเตอร์

คำอธิบาย

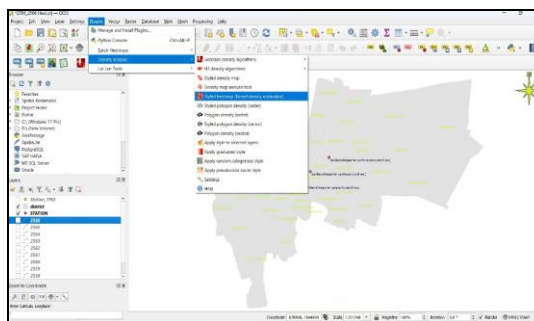
4



4. เลือก WGS 84 / UTM zone 47N

(Authority ID &gt; EPSG:32647)

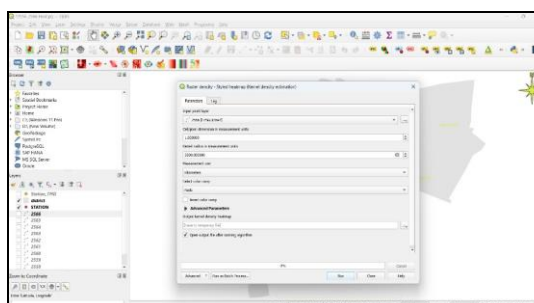
5



5. เลือก Plugins &gt; Density Analysis &gt;

Styled heatmap

6

6. ใส่ค่า ตาม parameters เพื่อให้  
โปรแกรม Run เพื่อดูผลการประเมิน  
โดย โปรแกรม QGIS Desktop

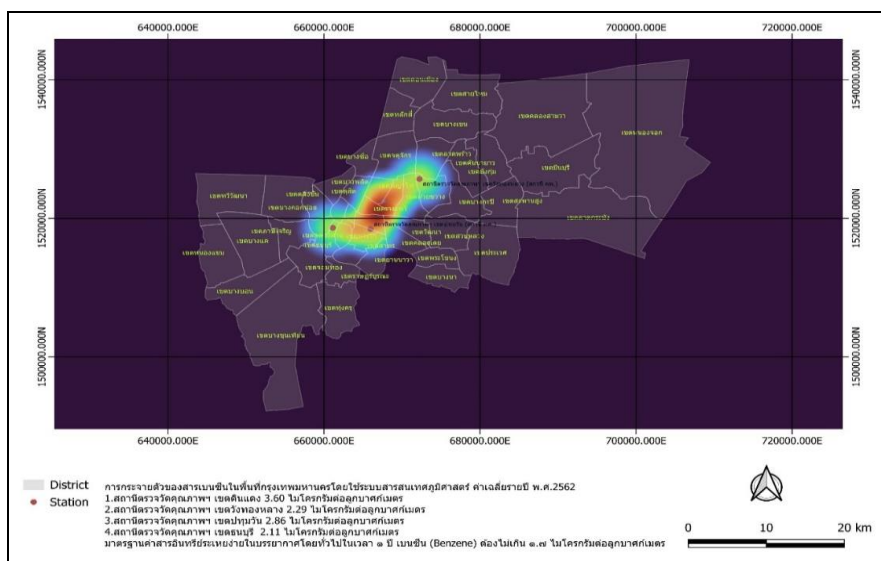
3.34.11



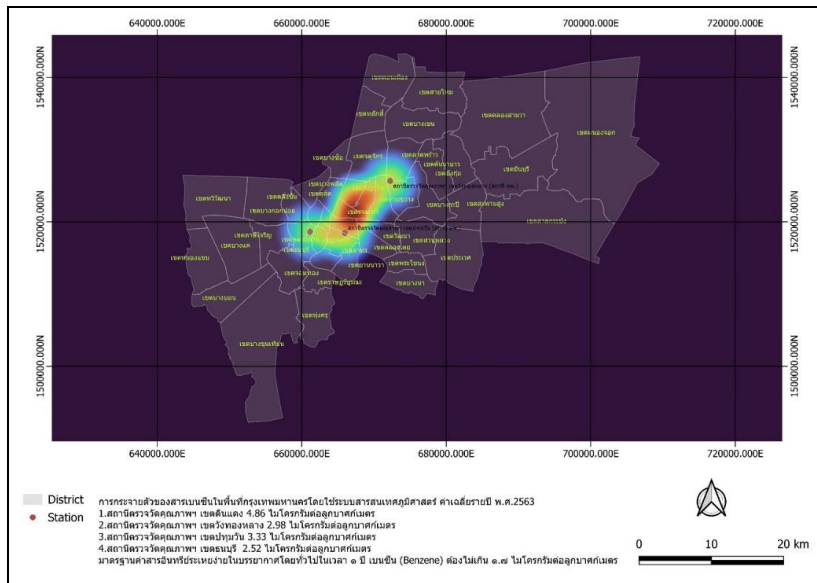
#### 4. ผลการวิจัย

การศึกษาการกระจายตัวของสารเบนซีนในพื้นที่กรุงเทพมหานคร ระหว่างปี พ.ศ. 2562-2566 แสดงดังรูปที่ 4-8 พบว่า ค่าเฉลี่ยรายปีของสารเบนซีนในทุกพื้นที่ศึกษาส่วนใหญ่มีค่าเกินมาตรฐานที่กำหนดไว้ ( $1.7 \text{ ไมโครกรัมต่อลูกบาศก์เมตร}$ ) โดยเขตดินแดงมีค่าสารเบนซีนสูงที่สุดอย่างต่อเนื่องตลอด 5 ปี และมีค่าสูงสุดในปี 2563 ที่  $4.86 \text{ ไมโครกรัมต่อลูกบาศก์เมตร}$  ขณะที่เขตปทุมวัน วังทองหลาง และธนบุรี มีค่าสารเบนซีนเกินมาตรฐานในระดับที่ต่ำกว่า โดยมีเพียงเขตธนบุรี ในปี 2565 เท่านั้นที่มีค่าต่ำกว่า  $2 \text{ ไมโครกรัมต่อลูกบาศก์เมตร}$  ( $1.82 \text{ ไมโครกรัมต่อลูกบาศก์เมตร}$ ) การวิเคราะห์แนวโน้มพบว่าค่าสารเบนซีนในทุกพื้นที่มีความผันผวน โดยเฉพาะในช่วงปี 2562-2564 และเริ่มมีแนวโน้มลดลงในปี

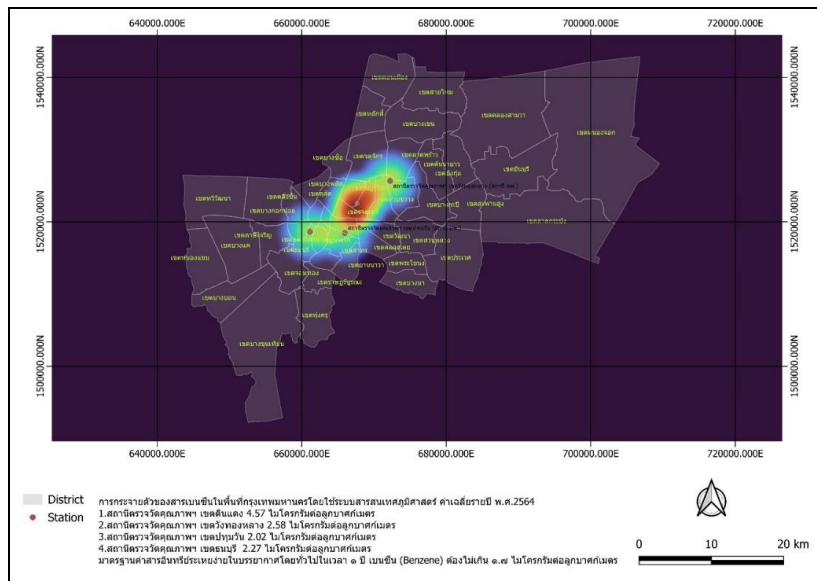
2565 แต่กลับเพิ่มขึ้นอีกครั้งในปี 2566 (รูปที่ 9) ทั้งนี้ เนื่องจากเป็นพื้นที่ที่มีความเสี่ยงสูงสุด โดยมีค่าเฉลี่ยสารเบนซีนสูงกว่าพื้นที่อื่นๆ อย่างมีนัยสำคัญ และมีค่าสูงกว่ามาตรฐานมากกว่า 2 เท่าในทุกปีที่ทำการตรวจวัด ซึ่งสารเบนซีนเป็นสารอันตรายที่ส่งผลกระทบต่อสุขภาพทั้งระยะสั้นและยาว การสัมผัสสารนี้ในความเข้มข้นสูงหรือต่อเนื่องอาจทำให้เกิดอาการระคายเคืองตาและระบบทางเดินหายใจ ปวดหัว วิงเวียน คลื่นไส้ และในระยะยาวเพิ่มความเสี่ยงมะเร็ง เม็ดเลือดขาว ทำลายไขกระดูก และระบบภูมิคุ้มกัน บกพร่อง แหล่งกำเนิดหลักของสารเบนซีน ได้แก่ การเผาไหม้เชื้อเพลิงฟอสซิลจากยานพาหนะและโรงงานอุตสาหกรรม กระบวนการผลิตในโรงกลั่นน้ำมันและปิโตรเคมี รวมถึงควันบุหรี่และการเผาขยะ [11]



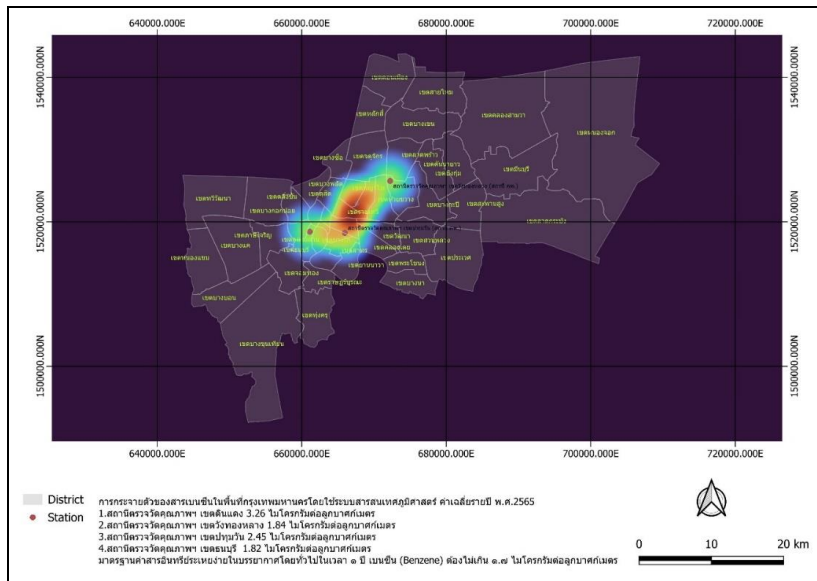
**รูปที่ 4 การกระจายตัวของสารเบนซีนในพื้นที่กรุงเทพมหานครโดยใช้ระบบสารสนเทศภูมิศาสตร์ ค่าเฉลี่ยรายปี พ.ศ.2562**



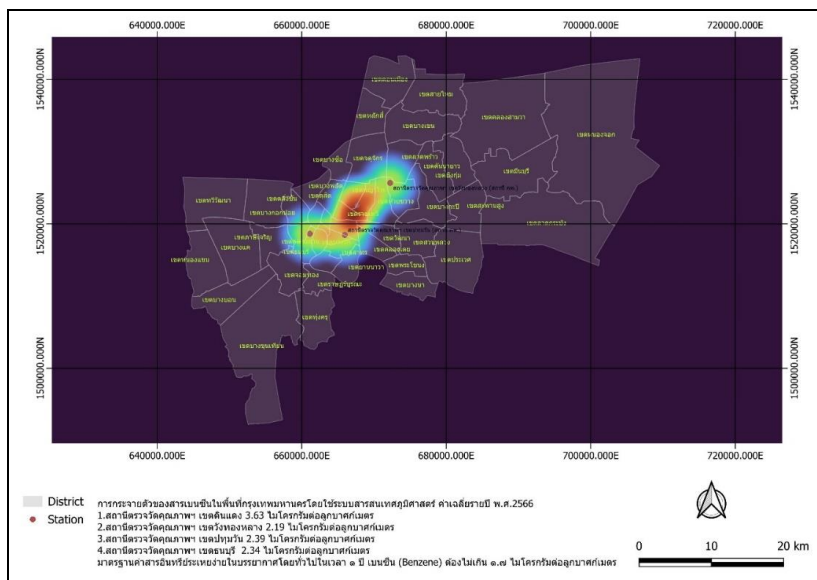
รูปที่ 5 การกระจายตัวของสารเบนซีนในพื้นที่กรุงเทพมหานครโดยใช้ระบบสารสนเทศภูมิศาสตร์ ค่าเฉลี่ยรายปี พ.ศ.2563



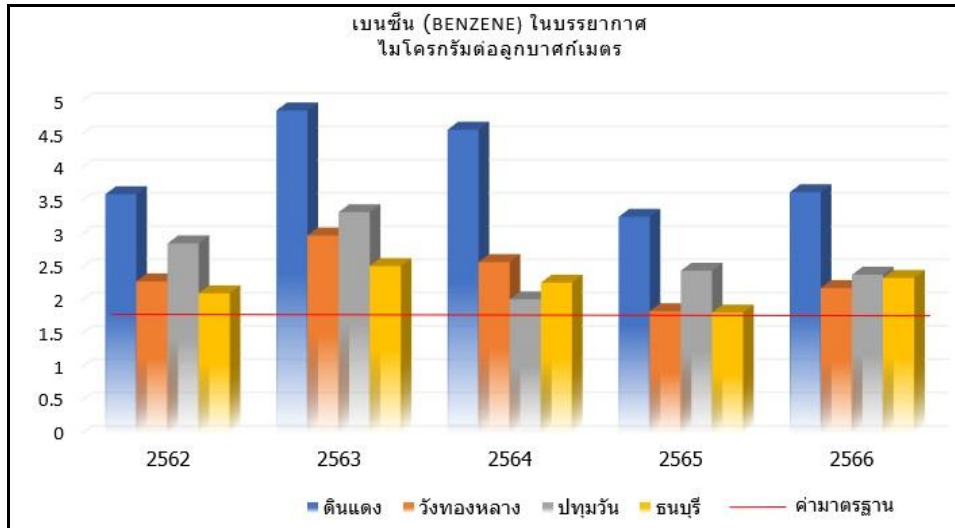
รูปที่ 6 การกระจายตัวของสารเบนซีนในพื้นที่กรุงเทพมหานคร โดยใช้ระบบสารสนเทศภูมิศาสตร์ ค่าเฉลี่ยรายปี พ.ศ.2564



รูปที่ 7 การกระจายตัวของสารเบนซีนในพื้นที่กรุงเทพมหานครโดยใช้ระบบสารสนเทศภูมิศาสตร์ ค่าเฉลี่ยรายปี พ.ศ.2565



รูปที่ 8 การกระจายตัวของสารเบนซีนในพื้นที่กรุงเทพมหานคร โดยใช้ระบบสารสนเทศภูมิศาสตร์ ค่าเฉลี่ยรายปี พ.ศ.2566



รูปที่ 9 ปริมาณสารเบนซีนในพื้นที่กรุงเทพมหานคร ค่าเฉลี่ยรายปี พ.ศ.2562 ถึง พ.ศ.2566

## 5. สรุปผลการวิจัย

จากการศึกษาการกระจายตัวของสารเบนซีนในพื้นที่กรุงเทพมหานครระหว่างปี 2562-2566 พบว่าเขตที่ได้รับผลกระทบกระจากตัวอยู่ในพื้นที่ใจกลางเมืองและเขตเศรษฐกิจสำคัญอย่างต่อเนื่อง โดยเฉพาะในเขตดินแดง วังทองหลาง ปทุมวัน และชนบุรี ซึ่งเป็นพื้นที่ที่มีการจราจรหนาแน่น มีอาคารสูง และมีกิจกรรมทางเศรษฐกิจสูง การมีสถานีตรวจจับเพียง 4 สถานีอาจเป็นข้อจำกัดสำคัญในการติดตามและประเมินสถานการณ์มลพิษอย่างครอบคลุม เนื่องจากไม่สามารถสะท้อนการกระจายตัวของสารเบนซีนในพื้นที่ทั้งหมดได้อย่างแม่นยำ ทำให้อาจมีพื้นที่เสี่ยงอื่น ๆ ที่ไม่ได้รับการตรวจจับและติดตาม

ข้อเสนอแนะเชิงนโยบายในการควบคุมสารเบนซีน

- เพิ่มจำนวนสถานีตรวจจับคุณภาพอากาศให้ครอบคลุมพื้นที่มากขึ้น โดยเฉพาะในเขตที่มีความเสี่ยงสูง และพื้นที่ที่มีแนวโน้มการพัฒนาทางเศรษฐกิจในอนาคต

- มาตรการควบคุมการปล่อยสารเบนซีนจากแหล่งกำเนิดควรดำเนินการในหลายมิติพร้อมกัน โดยเฉพาะอย่างยิ่งในสถานีบริการน้ำมันเชื้อเพลิงซึ่งเป็นแหล่งการรับสัมผัสที่สำคัญ จากการศึกษาพบว่าผู้ประกอบอาชีพในสถานีบริการน้ำมันมีการรับสัมผัสสารเบนซีนในระดับที่เกินค่าแนะนำปลดภัยของACGIH (American Conference of Governmental Industrial Hygienists) ถึงร้อยละ 30 [12] โดยเฉพาะในกลุ่มผู้ประกอบการร้านค้า ดังนั้นจึงควรมีการปรับปรุงมาตรฐานน้ำมันเชื้อเพลิงควบคู่กับการเข้มงวดตรวจสอบการระเหยของสารเบนซีนจากสถานีบริการน้ำมัน การส่งเสริมการใช้ระบบขนส่งมวลชนและยานพาหนะไฟฟ้า ตลอดจนการจัดทำระบบเฝ้าระวังสุขภาพและการศึกษาปัจจัยที่ส่งผลต่อการสัมผัสสารเบนซีนในกลุ่มผู้ประกอบอาชีพ [13] เหล่านี้อย่างต่อเนื่อง เพื่อลดผลกระทบต่อสุขภาพในระยะยาว

- การพัฒนาระบบเฝ้าระวังและแจ้งเตือนออนไลน์แบบ



Real-time ที่ประชาชนสามารถเข้าถึงข้อมูลได้ทันที ควบคู่กับการสร้างเครือข่ายการเฝ้าระวังร่วมกับภาคประชาชนและภาคเอกชนเพื่อให้เกิดการมีส่วนร่วมในการติดตามสถานการณ์ พร้อมทั้งกำหนดแผนรองรับที่ชัดเจนสำหรับกรณีที่ระดับสารเบนซีนเกินค่ามาตรฐาน เพื่อให้สามารถจัดการสถานการณ์ได้อย่างทันท่วงทีและมีประสิทธิภาพ

4. การส่งเสริมการวิจัยและพัฒนาต้องมุ่งเน้นการศึกษาความสัมพันธ์ระหว่างปัจจัยต่าง ๆ ที่ส่งผลต่อการแพร่กระจายของสารเบนซีนเพื่อเข้าใจกลไกการเกิดและการสะสมของมลพิษ ควบคู่ไปกับการพัฒนาเทคโนโลยีการตรวจวัดที่มีประสิทธิภาพและต้นทุนต่ำเพื่อขยายพื้นที่การตรวจวัดให้ครอบคลุมมากขึ้น รวมถึงการวิจัยผลกระทบต่อสุขภาพในระยะยาวของประชาชนในพื้นที่เสี่ยงเพื่อนำไปสู่การกำหนดมาตรการป้องกันและดูแลสุขภาพที่เหมาะสม

## 6. เอกสารอ้างอิง

- [1] Pollution Control Department, Summary report of surveillance for preparation of industrial air emission standards, Ministry of Natural Resources and Environment, 2023, 1-2. (in Thai)
- [2] T. Chaiyakhom and S. Jirakajornkul, Application of geographic information system for volatile organic compounds risk area analysis in Rayong Province, Thai Journal of Science and Technology, 2014, 3(3), 160-172. (in Thai)
- [3] <https://apps.bangkok.go.th/info/m.info/nowbma>. (Accessed on 05 February 2025)
- [4] [https://webportal.bangkok.go.th/public/user\\_files\\_editor/354/aboutcpud](https://webportal.bangkok.go.th/public/user_files_editor/354/aboutcpud). (Accessed on 05 February 2025)
- [5] Thai Meteorological Department, Climate of Bangkok Metropolis climatological report, Climate Center, Meteorological Development Division, Bangkok, 2023, 1-3. (in Thai)
- [6] <https://stat.bora.dopa.go.th/stat/statnew/statmonth/statmonth/#/displayData>. (Accessed on 05 February 2025)
- [7] F. Atabi, F. Moattar, N. Mansouri, A. Alesheikh and S. Mirzahosseini, Assessment of variations in benzene concentration produced from vehicles and gas stations in Tehran using GIS. International Journal of Environmental Science and Technology, 2023, 10, 283-294.
- [8] Pollution Control Department, Summary of volatile organic compounds (VOCs) air quality monitoring according to ambient air quality standards, Ministry of Natural Resources and Environment, Bangkok, Thailand, 2023. (in Thai)
- [9] Quantum GIS User Manual, Geoinformatics unit, Information Division Faculty of Environment and Resource Studies, Mahidol University, Thailand, 2013, 1-5. (in Thai)



- [10] <https://district.bangkok.go.th/SEDPortal/map1>. (Accessed on 05 February 2025)
- [11] World Health Organization (WHO), IARC Monographs on the evaluation of carcinogenic risks to humans, International Agency for Research on Cancer, Lyon, France, 2018, 120.
- [12] N. Songpun, V. Pruktharathikul and S. Chaikleng, Benzene exposure among occupations at gasoline service stations, KKU Journal for Public Health Research, 2020, 13(1), 60-66. (in Thai)

- [13] W.K. Jo and K.B. Song, Exposure to volatile organic compounds for individuals with occupations associated with potential exposure to motor vehicle exhaust and/or gasoline vapor emissions, *Science of the total Environment*, 2001, 269(1-3), 25-37.



# การปรับปรุงกระบวนการผลิตเพื่อลดจุดบกพร่องในขั้นตอนปั้งแม่เมล์เบอร์เกอร์โดยการประยุกต์ใช้เทคนิค DMAIC: กรณีศึกษาบริษัท เพรสซิเดนท์ เบเกอรี่ จำกัด (มหาชน)

ธนัญญา พันธ์สุวรรณ<sup>1</sup> ธนวรรณ บุญรัตนกรกิจ<sup>1</sup> ปรัชญพนธ์ สิงห์ปัน<sup>2</sup> เกตินันท์ กิติพงศ์พิทยา<sup>1</sup> และ นาฏกาณูจน์ จักรานุวัฒน์\*

<sup>1</sup> ภาควิชาเทคโนโลยีอุตสาหกรรมเกษตรและการจัดการ, คณะอุตสาหกรรมเกษตรจิตรจัลล์ มหาวิทยาลัยเทคโนโลยีพระจอมเกล้าพระนครเหนือ วิทยาเขตปราจีนบุรี

<sup>2</sup> บริษัท เพรสซิเดนท์ เบเกอรี่ จำกัด (มหาชน)

\* ผู้ประสานงานเผยแพร่ (Corresponding Author), E-mail: nattakan.c@agro.kmutnb.ac.th

วันที่รับบทความ: 16 ธันวาคม 2567; วันที่ทบทวนบทความ: 2 พฤษภาคม 2568; วันที่ตอบรับบทความ: 28 พฤษภาคม 2568  
วันที่เผยแพร่อนไลน์: 19 สิงหาคม 2568

**บทคัดย่อ:** การผลิตขั้นตอนปั้นแม่เมล์เบอร์เกอร์ให้มีคุณภาพสูง ปราศจากข้อบกพร่องถือเป็นความท้าทายที่สำคัญในกระบวนการผลิตอาหาร งานวิจัยนี้จึงมีวัตถุประสงค์เพื่อใช้เทคนิค DMAIC ในการตรวจสอบและปรับปรุงการผลิตขั้นตอนปั้นแม่เมล์เบอร์เกอร์อย่างเป็นระบบ สำหรับลดความแปรปรวนในการผลิตและยกระดับคุณภาพของผลิตภัณฑ์ โดยเริ่มจากศึกษาลักษณะจุดบกพร่องของผลิตภัณฑ์สุดท้าย พบว่าลักษณะเบี้ยวของผลิตภัณฑ์เป็นจุดบกพร่องที่พบมากที่สุด (ร้อยละ 21) แต่เกิดจากแม่พิมพ์เสื่อมสภาพและได้รับการแก้ไขด้วยการเปลี่ยนแม่พิมพ์เรียบร้อย ดังนั้นผู้วิจัยจึงมุ่งเน้นการแก้ปัญหาลักษณะหน้าด่าง (ร้อยละ 20) ซึ่งมีสัดส่วนของเสียรองลงมาและมีสาเหตุจากการผลิต จากนั้นวิเคราะห์สาเหตุที่แท้จริงของสาเหตุดังกล่าวโดยการใช้แผนผังสาเหตุ และผลพบว่า ปัจจัยด้านปริมาตรหน้าเย็นในขั้นตอนสปองจ์และความเร็วของการบีบผสมในกระบวนการหมักได้ส่งผลต่อการเกิดลักษณะหน้าด่างในผลิตภัณฑ์อย่างมีนัยสำคัญทางสถิต ( $p \leq 0.05$ ) ภายหลังจากการปรับปรุงกระบวนการผลิต พบว่า อัตราของเสียของขั้นตอนปั้นแม่เมล์เบอร์เกอร์ที่มีลักษณะหน้าด่างลดลงร้อยละ 77.29 โดยผลการวิจัยนี้ถือเป็นการนำเสนอการดำเนินการสำหรับผู้ผลิตในการปรับปรุงประสิทธิภาพการดำเนินงานลดความแปรปรวนของผลิตภัณฑ์ และปรับกระบวนการผลิตให้สอดคล้องกับมาตรฐานคุณภาพ ซึ่งสามารถใช้เป็นแนวทางเชิงกลยุทธ์ในการปรับปรุงการผลิตผลิตภัณฑ์ขั้นตอนปั้นรวมถึงขยายผลไปยังการผลิตอาหารอื่นๆ ไป

**คำสำคัญ:** การปรับปรุงกระบวนการผลิต; จุดบกพร่อง; ขั้นตอนปั้นแม่เมล์เบอร์เกอร์, เทคนิค DMAIC



บหคવมวจชย

วารสารวิชาการเทคโนโลยีอุตสาหกรรม (The Journal of Industrial Technology)

ISSN (online): 2697-5548

DOI: 10.14416/j.ind.tech.2025.08.002

# The Production Process Improvement to Reduce Defect in Hamburger Buns by Applying DMAIC Technique: A Case Study of President Bakery Public Company Limited

Thananya Phansuwan<sup>1</sup>, Thanawan Boonyarattanakornkit<sup>1</sup>, Prachayapon Shingpun<sup>2</sup>,  
Ketinun Kittipongpittaya<sup>1</sup> and Nattakan Jakkranuhwat<sup>1\*</sup>

<sup>1</sup> Department of Agro-Industry Technology and Management, Faculty of Digital Agro-Industry,  
King Mongkut's University of Technology North Bangkok Prachinburi Campus, Prachin Buri, Thailand

<sup>2</sup> President Bakery Public Company Limited., Bangkok, Thailand

\* Corresponding author, E-mail: nattakan.c@agro.kmutnb.ac.th

Received: 16 December 2024; Revised 2 May 2025; Accepted: 28 May 2028

Online Published: 19 August 2025

**Abstract:** Producing hamburger buns that meet high-quality standards and are free from defects remains a critical challenge in the food production industry. This research aims to apply the DMAIC technique to systematically investigate and improve hamburger bun production processes, with the goal of reducing manufacturing variability and enhancing product quality. An initial defect analysis identified warpage (21%) as the most frequent defect, attributed to mold deterioration and resolved through mold replacement. Therefore, efforts focused on reducing color variation (20%), the second most prevalent defect, linked to process instability. Root cause analysis using a cause and effect diagram identified that the volume of cooling water in the sponge process and the mixing velocity during the dough process significantly influenced the occurrence of discoloration ( $p \leq 0.05$ ). Following process improvements, the defect rate of hamburger buns with discoloration decreased by 77.29%. This study proposes a structured framework to enhance operational efficiency, reduce product variability, and ensure quality compliance, thereby offering a strategic approach for improving hamburger bun production and extend its applicability to other food manufacturing processes.

**Keywords:** Process improvement; Defect; Hamburger Buns; DMAIC Technique



## 1. บทนำ

ขนมปัง (Bread) เป็นผลิตภัณฑ์อาหารที่ได้จากการนำแป้งสาลีมาผสมกับน้ำตาล น้ำ และเกลือ รวมถึงวัตถุกิจบิน ฯ จนได้แป้งโด (Dough) ที่มีความเหนียว ยืดหยุ่น และสามารถกักเก็บแก๊สได้ จากนั้นจึงนำไปผ่านกระบวนการอบ (Baking) เพื่อให้เนื้อสัมผัสเป็น มีรูพรุน และเหมาะสมต่อการบริโภค [1, 2] ในบรรดาขนมปังชนิดต่าง ๆ ขนมปังแฮมเบอร์เกอร์ (Hamburger Buns) เป็นผลิตภัณฑ์ที่มีความต้องการสูงในร้านอาหารฟาสต์ฟู้ดและเบเกอรี่ โดยเฉพาะในกลุ่มตลาดค้าปลีกและบริการอาหารแบบเร่งด่วน ซึ่งต้องการสินค้าที่มีคุณภาพคงที่และรูปลักษณ์สม่ำเสมอ ดังนั้นขนมปังแฮมเบอร์เกอร์จึงต้องใช้แป้งที่มีโครงสร้างแข็งแรงเพื่อทนต่อการขีนพูของโด มีลักษณะหนืด และต้องสามารถกักเก็บแก๊สสม่ำเสมอ ทั่วทั้งชั้นขนมปัง [3]

สำหรับการผลิตอาหาร ปัจจัยด้านคุณภาพและความปลอดภัย รวมถึงความสม่ำเสมอของสินค้า ล้วนเป็นสิ่งสำคัญต่อการตัดสินใจของผู้บริโภค ดังนั้นผู้ผลิตจำเป็นต้องรักษาลักษณะทางกายภาพ เช่น ไข่ และจุลทรรศน์ของสินค้าที่ส่งผลต่อการตัดสินใจซื้อของผู้บริโภค รวมถึงต้องมีกระบวนการควบคุมคุณภาพ สินค้าผลิตตั้งแต่วัตถุกิจ กระบวนการผลิต และการเก็บรักษา เพื่อให้สินค้าเป็นไปตามข้อกำหนดด้านกฎระเบียบหรือมาตรฐานความปลอดภัยและความต้องการของผู้บริโภคมากที่สุด โดย Chen et al. [4] ระบุว่า รูปลักษณ์และสีของขนมปังเป็นปัจจัยแรกที่ผู้บริโภครับรู้และใช้ในการตัดสินใจซื้อ ซึ่งทำให้คุณลักษณะเหล่านี้กลายเป็นตัวชี้วัดสำคัญของคุณภาพผลิตภัณฑ์ หากขนมปังมีสีหรือรูปลักษณ์

ไม่สม่ำเสมอ อาจถูกตีความว่าไม่สดใหม่หรือไม่ได้มาตรฐาน ส่งผลให้ผู้บริโภคปฏิเสธการซื้อและก่อให้เกิดความสูญเสียทางเศรษฐกิจอย่างมีนัยสำคัญ ดังนั้นเพื่อควบคุมคุณภาพด้านกายภาพของผลิตภัณฑ์ ผู้ประกอบการจำเป็นต้องพัฒนาและปรับปรุงกระบวนการผลิตอย่างต่อเนื่อง เพื่อลดความเสี่ยงในการเกิดข้อบกพร่อง (Defects) โดยเฉพาะการวิเคราะห์สาเหตุของข้อบกพร่องการดำเนินการอย่างเป็นระบบ ด้วยการใช้เทคนิคหรือเครื่องมือที่เชื่อถือได้เพื่อระบุสาเหตุที่แท้จริงและดำเนินการแก้ไขอย่างตรงจุด ป้องกันสินค้าที่มีจุดบกพร่องถึงมือผู้บริโภค

เทคนิค DMAIC เป็นขั้นตอนการวิเคราะห์และแก้ไขปัญหาอย่างเป็นระบบ ภายใต้แนวทางการปรับปรุงการทำงานให้มีประสิทธิภาพของซิกม่า (Six Sigma) ซึ่งถูกนำมาใช้อย่างกว้างขวางในหลายภาคส่วนรวมถึงอุตสาหกรรมอาหาร เพื่อเพิ่มประสิทธิภาพกระบวนการผลิต ลดจุดบกพร่อง และเพิ่มคุณภาพของผลิตภัณฑ์ให้สูงสุด โดย Widiwati et al. [5] พบว่าเทคนิค DMAIC ช่วยเพิ่มประสิทธิภาพกระบวนการผลิตขึ้นไปทั้งพระจันทร์ โดยสามารถลดของเสียจากการกระบวนการผลิตลงได้ร้อยละ 50.26 และลดเวลาที่สูญเปล่าระหว่างการผลิตจาก 194 นาที เหลือเพียง 87 นาที ส่งผลให้ประสิทธิภาพโดยรวมของกระบวนการเพิ่มขึ้นร้อยละ 4.79 ในขณะที่ Arifin et al. [6] ศึกษาการปรับปรุงคุณภาพมันฝรั่งทอดของบริษัท SME แห่งหนึ่งในประเทศไทยโดยนีเชีย โดยมุ่งลดข้อบกพร่องด้านความกรอบและความสม่ำเสมอของขนาดผลิตภัณฑ์ ด้วยการประยุกต์ใช้เทคนิค DMAIC เพื่อวิเคราะห์และแก้ไขปัญหาเชิงระบบ ผลการวิเคราะห์พบว่า ปัญหาด้านความกรอบมีสาเหตุหลักจากจำนวนแรงงานไม่เพียงพอ



## บทความวิจัย

รวมถึงพนักงานขาดการอบรมคุณภาพวัตถุดิบและการทดสอบที่ได้มาตรฐาน ส่วนปัญหาด้านความสม่ำเสมอของขนาดผลิตภัณฑ์เกิดจากแรงงานจำ กัดและการขาดเครื่องคัดขนาด

โดยทั่วไป เทคนิค DMAIC ประกอบด้วย 5 ขั้นตอน ได้แก่ การกำหนดขอบเขตของปัญหา (Define), การวัดผลกระทบ (Measure), การวิเคราะห์ (Analyze), การปรับปรุง (Improve) และการควบคุม (Control) ซึ่งถือเป็นแนวทางเชิงระบบที่ช่วยให้สามารถระบุสาเหตุของปัญหาได้อย่างเป็นรูปธรรม และสนับสนุนการออกแบบแนวทางแก้ไขที่มีประสิทธิภาพ รวมถึงสามารถประยุกต์ใช้ได้จริง โดยเฉพาะในกระบวนการผลิตอาหารที่ต้องอาศัยข้อมูลและการควบคุมคุณภาพอย่างแม่นยำ [5-7]

จากข้อมูลการผลิตของบริษัทกรณีศึกษาพบว่า แม้กระบวนการผลิตขั้นตอนปั้งแ昏เบอร์เกอร์จะได้รับการออกแบบมาอย่างเป็นระบบ แต่ยังคงพบข้อบกพร่องในผลิตภัณฑ์ที่สะสมเป็นอัตราของเสียในระดับที่ไม่สามารถมองข้ามได้ในเชิงต้นทุน โดยเฉพาะข้อบกพร่องที่เกี่ยวข้องกับลักษณะทางกายภาพของผลิตภัณฑ์ ซึ่งจำเป็นต้องได้รับการวิเคราะห์สาเหตุอย่างเป็นระบบ เพื่อสนับสนุนการตัดสินใจปรับปรุงกระบวนการอย่างตรงจุด ดังนั้นงานวิจัยนี้จึงมีวัตถุประสงค์เพื่อประยุกต์ใช้เทคนิค DMAIC ใน การวิเคราะห์และปรับปรุงข้อบกพร่องที่เกิดขึ้นในกระบวนการผลิตขั้นตอนปั้งแ昏เบอร์เกอร์ โดยมุ่งลดอัตราของเสียในสายการผลิต ผ่านการศึกษาสาเหตุ เชิงเทคนิคและออกแบบแนวทางควบคุมที่สามารถประยุกต์ใช้ได้จริงในระดับอุตสาหกรรม เพื่อสนับสนุนการควบคุมคุณภาพผลิตภัณฑ์ให้เป็นไปตาม

มาตรฐาน ลดต้นทุนความสูญเสีย และยกระดับความสามารถในการแข่งขันของธุรกิจในระยะยาว

## 2. วิธีการดำเนินงานวิจัย

### 2.1 ศึกษากระบวนการผลิตขั้นตอนปั้งแ昏เบอร์เกอร์

ศึกษาส่วนผสมและขั้นตอนที่ใช้ในการผลิตตั้งแต่กระบวนการเตรียม การผลิต การบรรจุ และการจัดส่งสินค้า

### 2.2 การประยุกต์ใช้กระบวนการ DMAIC เพื่อวิเคราะห์และปรับปรุงข้อบกพร่องของผลิตภัณฑ์

การประยุกต์ใช้กระบวนการ DMAIC ดำเนินภายใต้กรอบการวิเคราะห์ตามแนวทางการนำเสนอของ Monday [7] ซึ่งประกอบด้วยขั้นตอน Define Measure Analyze Improve และ Control โดย มีรายละเอียดดังนี้

ขั้นตอนที่ 1 การกำหนดขอบเขตปัญหา (D: Define Phase) คือ การกำหนดขอบเขตปัญหาที่ก่อให้ขึ้นปั้ง แ昏เบอร์เกอร์เป็นของเสีย โดยศึกษาจากปริมาณการผลิตตั้งแต่เดือนสิงหาคมถึงเดือนตุลาคม ด้วยวิธีการสังเกต จากนั้นนำข้อมูลมาจัดลงในรูปแบบ SIPOC (Supplier Input Process Output Customer) เพื่อจำแนกองค์ประกอบที่เกี่ยวข้องกับข้อบกพร่องและเข้าใจขอบเขตงานมากขึ้น

ขั้นตอนที่ 2 การวัดผลกระทบ (M: Measure Phase) เป็นการกำหนดตัวชี้วัดสำหรับวัดผลกระทบที่เกี่ยวข้อง โดยสังเกตการทำงานของพนักงานและทำการเก็บข้อมูลปริมาณสินค้าที่ผลิตได้จากนั้นนำมาคำนวณหาค่าร้อยละผลผลิตที่ได้ (Yield) เพื่อวิเคราะห์ประเมินการเกิดลักษณะจุดบกพร่องของ



## บทความวิจัย

ขั้นตอนที่ 3 การวิเคราะห์ (A: Analyze Phase) คือ การพิสูจน์ตัวแปรสำคัญที่เป็นสาเหตุของปัญหามากที่สุด โดยงานวิจัยนี้ใช้แผนผังสาเหตุและผล (Cause and Effect Diagram) หรือที่รู้จักกันว่า “แผนผังก้างปลา (Fishbone Diagram)” ซึ่งเป็นเครื่องมือที่ได้รับความนิยมในภาคอุตสาหกรรม เนื่องจากช่วยให้สามารถวิเคราะห์ปัญหาได้อย่างเป็นระบบและครอบคลุม โดยมีหลักการแบ่งสาเหตุออกเป็นหมวดหมู่หลัก เช่น บุคลากร (Man) วิธีการทำงาน (Method) เครื่องจักร หรืออุปกรณ์ (Machine) วัตถุดิบ หรือวัสดุที่ใช้ (Material) และสิ่งแวดล้อมในการผลิต (Environment) เพื่อนำไปสู่การระบุสาเหตุที่มีผลกระทบมากที่สุดต่อปัญหา และเป็นแนวทางสำหรับการปรับปรุงที่มีประสิทธิภาพในขั้นตอนต่อไป

ขั้นตอนที่ 4 การปรับปรุง (I: Improve Phase) เป็นขั้นตอนของการปรับปรุงกระบวนการผลิตโดยอ้างอิงจากผลการวิเคราะห์ในขั้นตอนที่ 3 ซึ่งระบุปัจจัยที่มีผลต่อข้อบกพร่องของขั้นตอนปัจจุบันที่ไม่เป็นไปตามมาตรฐานที่กำหนดไว้ จากนั้นดำเนินการเก็บข้อมูลเชิงปริมาณเพื่อเปรียบเทียบความแตกต่างของอัตราของเสียงจากข้อบกพร่องก่อนและหลังการปรับปรุง โดยใช้การวิเคราะห์ทางสถิติเพื่อประเมินประสิทธิผลของแนวทางที่นำมาใช้

ขั้นตอนที่ 5 การควบคุม (C: Control Phase) เป็นขั้นตอนการวางแผนและออกแบบ โดยนำข้อปฏิบัติในขั้นตอนการปรับปรุงกระบวนการมาจัดทำเป็นคู่มือให้พนักงานศึกษาและปฏิบัติตาม เพื่อป้องกันไม่ให้เกิดปัญหาซ้ำเดิมอีกในอนาคต

## 2.3 การวิเคราะห์ข้อมูลทางสถิติ

ข้อมูลที่ได้ถูกนำมาวิเคราะห์ด้วยเทคนิคการวิเคราะห์ความแปรปรวนของข้อมูล (ANOVA) ที่ระดับความเชื่อมั่นร้อยละ 95 โดยเปรียบเทียบความแตกต่างของค่าเฉลี่ยโดยวิธี t-test และวิเคราะห์ความสัมพันธ์โดยวิธี Pearson Correlation ด้วยโปรแกรม SPSS version 25.0

## 3. ผลการวิจัยและการอภิปรายผล

### 3.1 ข้อมูลที่นำไปของกระบวนการผลิต

บริษัท เพรสซิเดนท์ เบเกอรี่ จำกัด (มหาชน) เป็นหนึ่งในกลุ่มธุรกิจอาหารของบริษัท สหพัฒนพิบูล จำกัด โดยดำเนินการผลิตและจำหน่ายขนมปังและเบเกอรี่ภายใต้แบรนด์ “ฟาร์มเข้าส์” ด้วยกำลังการผลิตประมาณ 36,000 ชิ้นต่อชั่วโมง โดยใช้ระบบเครื่องจักรเป็นหลัก จากการศึกษากระบวนการผลิต ขั้นตอนปัจจุบันพบว่า แม้ผลิตภัณฑ์ส่วนใหญ่จะได้มาตรฐานที่กำหนดสำหรับการจำหน่ายแก่คู่ค้าแต่ยังมีบางส่วนที่ไม่ผ่านเกณฑ์ เช่น ลักษณะเมี้ยวน้ำยาบูร ขนาดไม่สม่ำเสมอ ก้นใหม่ สีไม่เหมาะสม หรือมีลักษณะหน้าด่าง รวมถึงกรณีสองชั้นติดกันเป็นชั้นเดียว ซึ่งผลิตภัณฑ์เหล่านี้จะถูกคัดแยกออกและนำไปจำหน่ายเป็นขนมปังเลี้ยงปลาต่อไป

### 3.2 ผลการประยุกต์ใช้กระบวนการ DMAIC เพื่อวิเคราะห์และปรับปรุงข้อบกพร่องของผลิตภัณฑ์

#### 3.2.1 ขอบเขตของปัญหา

จากรูปที่ 1 เป็นกระบวนการผลิตขนมปังและเบเกอร์เบเกอร์ เพื่อแสดงลำดับขั้นตอนของการผลิตโดยรวม ทั้งนี้เพื่อให้สามารถระบุขอบเขตของปัญหาได้อย่างชัดเจนและเป็นระบบ ผู้วิจัยได้จำลอง



## บทความวิจัย

## กระบวนการในรูปแบบ SIPOC ดังตารางที่ 1 ซึ่งมีรายละเอียด ดังนี้



รูปที่ 1 กระบวนการผลิตขนมปังเบอร์เกอร์

กระบวนการผลิตเริ่มจากวัตถุที่ดูถูกสิ่ง เช้าสู่ โรงงาน ผ่านการตรวจรับคุณภาพแล้วนำวัตถุที่ดูบ่ม ผสมกันในขั้นตอนสpong (Sponge) โดยแป้งสาลีผสม กับน้ำเพื่อพัฒนาโครงสร้างกลูเตน (Gluten) ซึ่งช่วย ให้แป้งมีความเหนียวและยืดหยุ่น จากนั้นเติมยีสต์ เพื่อเริ่มกระบวนการหมัก ซึ่งยีสต์จะย่อยสลายน้ำตาล ให้เกิดแก๊สคาร์บอนไดออกไซด์ ( $\text{CO}_2$ ) ที่แทรกตัว ในโครงสร้างแป้ง ทำให้ปริมาตรแป้งเพิ่มขึ้นและ

ตารางที่ 1 SIPOC ของการผลิตขนมปังเบอร์เกอร์

Supplier	Input	Process	Output	Customer
ผู้ส่ง	ยีสต์	เตรียมสpong	ขนมปัง	ลูกค้าที่รับ
วัตถุที่ดีบ	น้ำตาล	บ่มสpong	แมมเบอร์-	ผลิตภัณฑ์
	แป้ง	ปั่นผสมแป้งโด	กลอเรียบสูก	ที่มีคุณภาพ
	น้ำมัน	ตัดตอกแต่งแป้งโด	มีสีและ	ตรงตาม
	น้ำ	รีดอากาศ	รูปสักขีน์	ข้อกำหนด
	น้ำแข็ง	บ่มแป้งโด	ตามมาตรฐาน	
	เกลือ	ตอกแต่งหน้า	คุณภาพ	
			บรรจุในถุง	
			สุกข์- กาก	
			บรรจุและปิดฝีก	

เกิดรูอากาศ (Air Cells) กระจายอยู่ทั่วภายใน ส่งผลให้ แป้งมีลักษณะเบาและนุ่มคล้ายฟองน้ำ จึงเรียกว่า “สpong” เมื่อสpong หมักเสร็จสมบูรณ์ จะถูกนำไป ผสมกับแป้งสาลี น้ำ เกลือ และไขมัน เพื่อเตรียมเป็น แป้งโด (Dough) จากนั้นนำแป้งโดตัดแบ่งเป็นชิ้นและ รีดเป็นแผ่น เพื่อนำไปบ่มในตู้ควบคุมอุณหภูมิและ เวลาที่ต้องการ เพื่อให้เนื้อแป้งนุ่ม ยืดหยุ่น และไม่ ขาดง่าย ขั้นตอนต่อไปแป้งโดจะถูกตอกแต่งหน้าด้วยยา ขาว ก่อนเข้าสู่กระบวนการอบ (Baking) ซึ่งจะทำให้ ขนมปังสุกขึ้นฟูตามโครงสร้างที่กำหนด หลังจากอบ เสร็จจะมีการนำข้นมันปังออกจากพิมพ์ด้วยเครื่องดูด จากนั้นจึงสไลด์ข้นมันปังออกจากเบื้องสองส่วน บรรจุและปิด ฝีกแบบสูญญากาศด้วยเครื่องอัตโนมัติ (Packing) และลำเลียงเข้าสู่กระบวนการเก็บรักษาในคลังสินค้า (Storing) เพื่อรักษาความสดใหม่ สำหรับการจัดส่งสู่ลูกค้าต่อไป

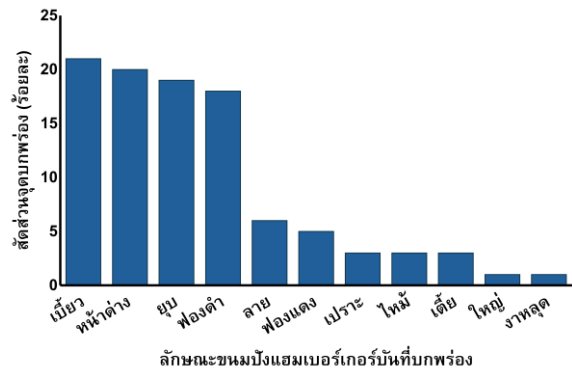


บทความวิจัย

### 3.2.2 การวัดผลกระทบจากการเพื่อได้ปัญหาที่ควรปรับปรุง

จากการศึกษากระบวนการผลิตขั้นตอนปั้งและเบอร์เกอร์และการวิเคราะห์ลักษณะข้อบกพร่องของผลิตภัณฑ์โดยใช้กราฟแท่ง (Bar Chart) เพื่อแสดงสัดส่วนของข้อบกพร่องแต่ละประเภท และใช้เป็นแนวทางเบื้องต้นในการกำหนดประเด็นที่ควรปรับปรุงในกระบวนการผลิต พบว่าอัตราของเสียจากการกระบวนการผลิตคิดเป็นร้อยละ 2.81 ของปริมาณผลิตทั้งหมด โดยข้อบกพร่องที่พบมากที่สุดคือผลิตภัณฑ์ที่มีลักษณะเบี้ยว ซึ่งคิดเป็นสัดส่วนร้อยละ 21.34 ของของเสียทั้งหมด (รูปที่ 2)

อย่างไรก็ตาม ขั้นตอนปั้งและเบอร์เกอร์ที่มีลักษณะเบี้ยวนั้นไม่ได้เกิดจากกระบวนการผลิตที่ผิดพลาด แต่เกิดจากแม่พิมพ์ที่เสื่อมสภาพ ซึ่งสามารถแก้ไขปัญหาได้โดยการเปลี่ยนแม่พิมพ์ทันที จึงไม่ถือเป็นปัญหาที่ต้องดำเนินการปรับปรุงกระบวนการผลิตในระยะยาว ผู้วิจัยจึงมุ่งเน้นการปรับปรุงข้อบกพร่องที่เกี่ยวข้องกับลักษณะหน้าด่าง ซึ่งเป็นของเสียที่พบร่องลงมา (คิดเป็นร้อยละ 20.17) และมีสาเหตุจากความไม่สม่ำเสมอของกระบวนการผลิตที่สามารถวิเคราะห์และควบคุมได้ แม้ว่าข้อบกพร่องบางประเภท เช่น บุบตัว หรือ พองตัว มีสัดส่วนของเสียใกล้เคียงกับหน้าด่างแต่ผู้วิจัยเลือกปรับปรุงหน้าด่างก่อนเนื่องจากเป็นข้อบกพร่องที่สามารถสังเกตเห็นได้อย่างชัดเจนจากลักษณะภายนอกของผลิตภัณฑ์ รวมถึงสามารถวิเคราะห์และดำเนินการแก้ไขได้อย่างเป็นระบบภายในได้ทันท่วงที ในการปรับปรุงในระยะแรกนี้ เกิดผลลัพธ์ที่ชัดเจน

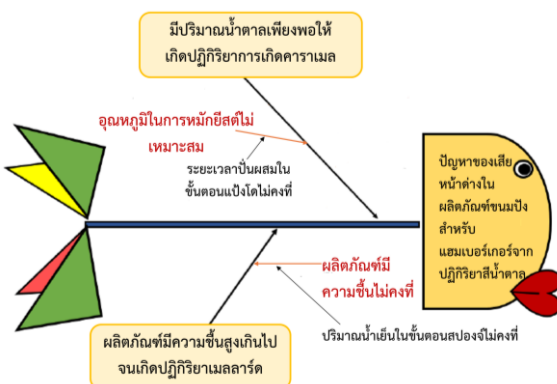


รูปที่ 2 ลักษณะจุดบกพร่องของขั้นตอนปั้งและเบอร์เกอร์ และวางแผนสำหรับการพัฒนาประเด็นอื่นในลำดับถัดไป

### 3.2.3 การวิเคราะห์ปัจจัยที่มีผลต่อปัญหา

ผู้วิจัยใช้แผนผังแสดงเหตุและผล (Fishbone Diagram) เป็นเครื่องมือในการวิเคราะห์สาเหตุเบื้องต้นของปัญหาขั้นตอนปั้งและเบอร์เกอร์ที่มีลักษณะหน้าด่าง อ้างอิงจากการสังเกตการณ์ในกระบวนการผลิตจริง ร่วมกับการระดมความคิดเห็นจากผู้จัดการหัวหน้างาน ร่วมกับพนักงานฝ่ายผลิตและควบคุมคุณภาพ เพื่อระบุปัจจัยที่อาจเกี่ยวข้องกับปัญหาดังกล่าว ผลการวิเคราะห์ชี้ให้เห็นว่า 2 ปัจจัยหลักที่สามารถควบคุมได้ในระดับกระบวนการผลิตและมีแนวโน้มส่งผลโดยตรงต่อการเกิดลักษณะหน้าด่าง ได้แก่ ปริมาตรร้าบานที่เติมในขันตอนสปองจ์ และระยะเวลาในการบีบผื่นผสมแป้งโด (รูปที่ 3) มีรายละเอียดดังนี้

1. ปริมาตรร้าบานที่เติมในขันตอนสปองจ์ที่อาจทำให้เกิดปฏิกิริยาเมลลาร์ด โดยปริมาณน้ำเย็นที่ใช้ในกระบวนการสปองจ์มีผลโดยตรงต่อระดับความชื้น



**รูปที่ 3** แผนผังแสดงเหตุและผลของปัญหาของเสียที่มีลักษณะหน้าด่างในผลิตภัณฑ์ขนมปังแฮมเบอร์เกอร์

ของแบงค์ ซึ่งความชื้นที่มากหรือน้อยเกินไปจะส่งผลต่อสภาพแวดล้อมภายในแบงค์โดย และกระบวนการถ่ายเทความชื้นระหว่างการอบ โดยทั่วไปกระบวนการอบขนมปังจะเกิดการถ่ายเทความร้อน (Heat Transfer) และการถ่ายเทมวล (Mass Transfer) พร้อมกัน กล่าวคือความร้อนจากแหล่งความร้อนจะถ่ายเทเข้าสู่เนื้อขนมปัง ขณะที่ความชื้นภายในผลิตภัณฑ์จะเปลี่ยนสถานะเป็นไอน้ำ และระเหยออกจากผิวชั้นงานอย่างรวดเร็ว [8]

ในช่วงท้ายของการบวนการอบ (ความชื้นสุดท้ายของผลิตภัณฑ์เหลือประมาณร้อยละ 4 - 5) จะเกิดปฏิกิริยาเมลลาร์ด (Maillard Reaction) ซึ่งเป็นปฏิกิริยาเคมีแบบไม่มีเอนไซม์มาเกี่ยวข้อง เกิดเมื่อส่วนผสมที่มีน้ำตาลรีดิวซ์ เช่น กลูโคส (Glucose) จากน้ำตาลทรัพยากรับประทานกับโปรตีนในแบงค์ถูกทำปฏิกิริยากับโปรตีนในแบงค์ถูกทำปฏิกิริยากับกลูโคส (Carbonyl Group) ในน้ำตาลจะทำปฏิกิริยากับกลูโคส (Free Amino Group) ของโปรตีน ส่งผลให้เกิดการเปลี่ยนแปลงทางเคมีและกายภาพ และเกิด

สารเมลานอยด์ din (Melanoidin) ซึ่งเป็นสารสีน้ำตาลที่มีน้ำหนักโมเลกุลสูง [9] ที่เป็นลักษณะสำคัญของการเกิดสีของขนมปัง โดยหากมีความชื้นที่ไม่สม่ำเสมอในเนื้อขนมปังจะทำให้การเกิดปฏิกิริยาเมลลาร์ดกระจายตัวไม่เท่ากัน ส่งผลให้ผลิตภัณฑ์มีสีผิวไม่สม่ำเสมอ หรือเกิดลักษณะหน้าด่าง

2. ระยะเวลาในการบันผสมแบงค์เป็นปัจจัยที่ถูกเลือกนำมาศึกษา เนื่องจากอาจก่อให้เกิดปฏิกิริยาカラเมล (Caramelization) ซึ่งเกิดเมื่อน้ำตาลสัมผัติความร้อนสูงเป็นเวลานานจนถลายตัว ถลายเป็นพอลิเมอร์ของสารประกอบคาร์บอนที่มีสีเข้ม เรียกว่าカラเมล (Caramel) [10] หากกระบวนการนี้ไม่สมบูรณ์ อาจส่งผลให้การเปลี่ยนแปลงสีที่ผิวขนมปังไม่สม่ำเสมอ

### 3.2.4 แนวทางการปรับปรุงปัญหาที่เกิดขึ้น

จากการวิเคราะห์ปัจจัยที่มีผลต่อบัญหาของเสียหน้าด่างในผลิตภัณฑ์ขนมปังสำหรับแฮมเบอร์เกอร์ พบว่า มีสาเหตุมาจาก 2 ปัจจัย ได้แก่ ปริมาตรน้ำเย็น และระยะเวลาการบันผสมแบงค์โดยทุกสาเหตุถูกนำมาพิสูจน์สมดุลฐานโดย ดังนี้

**สาเหตุที่ 1: การทดลองปัจจัยปริมาตรน้ำเย็นในชั้นตอนสปอง:** การทดลองครั้งนี้ออกแบบโดยใช้แผนการทดลองแบบสุ่มสมบูรณ์ (Completely Randomized Design: CRD) เพื่อศึกษาผลของปริมาตรน้ำเย็นในชั้นตอนสปองต่อการเกิดลักษณะหน้าด่างในขนมปังแฮมเบอร์เกอร์ โดยกำหนดปริมาตรน้ำเย็นที่ใช้ในการทดลอง 7 ระดับ ได้แก่ ปริมาตรน้ำเย็นตามสูตรมาตรฐาน (ด้วยย่างควบคุม) และปริมาตรน้ำเย็นที่ปรับเพิ่มขึ้นร้อยละ 5 10 และ 15



## บทความวิจัย

รวมถึงปริมาตรน้ำเย็นที่ปรับลดลงร้อยละ 5 10 และ 15 โดยตัวอย่างแต่ละระดับถูกนำไปผลิตขั้นบังคับภายใต้สภาวะการผลิตเดียวกัน แล้วถูกประเมินลักษณะของผิวน้ำหน้าขั้นบังหลังการอบด้วยสายตาจากผู้เชี่ยวชาญฝ่ายควบคุมคุณภาพจำนวน 3 ท่าน ผลการทดลองแสดงดังตารางที่ 2 และถูกนำมาวิเคราะห์ผลทางสถิติภายใต้สมมติฐานดังนี้

**สมมติฐานของปริมาตรน้ำเย็น**

- $H_0$ : ปริมาตรน้ำเย็นไม่ส่งผลต่อการเกิดลักษณะหน้าด่างในขั้นบังคับเอมเบอร์เกอร์ ที่ระดับนัยสำคัญ 0.05
- $H_1$ : ปริมาตรน้ำเย็นส่งผลต่อการเกิดลักษณะหน้าด่างในขั้นบังคับเอมเบอร์เกอร์ ที่ระดับนัยสำคัญ 0.05

จากตารางที่ 2 พบว่า การลดปริมาตรน้ำเย็นในขั้นตอนสปองเจ็ส์ส่งผลต่ออัตราการเกิดลักษณะหน้าด่างของขั้นบังคับเอมเบอร์เกอร์ลดลงอย่างมีนัยสำคัญโดยเฉพาะในกรณีที่ลดลงร้อยละ 15 ให้ผลตี่ที่สุด (อัตราของเสียงเท่ากับร้อยละ 0.01) อย่างไรก็ตาม สภาวะนี้พบข้อบกพร่องใหม่ คือ กันขั้นบังคับไม่เต็มเนื่องจากแบ่งมีความชื้นไม่เพียงพอต่อการพัฒนาโครงสร้าง ดังนั้นมีอิทธิพลต่อการลดปริมาตรน้ำเย็นลงร้อยละ 10 เป็นระดับที่เหมาะสมที่สุด เนื่องจากสามารถลดลักษณะหน้าด่างลงได้มาก (เหลือร้อยละ 0.55) โดยไม่กระทบต่อโครงสร้างของผลิตภัณฑ์ และเมื่อวิเคราะห์ทางสถิติพบว่า ค่า P-Value เท่ากับ 0.014 ( $p < 0.05$ ) จึงปฏิเสธ  $H_0$  สรุปได้ว่าปริมาตรน้ำเย็นส่งผลต่อการเกิดลักษณะหน้าด่างในขั้นบังคับเอมเบอร์เกอร์

**ตารางที่ 2** สัดส่วนของเสียงบังคับเอมเบอร์เกอร์ที่มีลักษณะหน้าด่างจากการศึกษาปัจจัยปริมาตรน้ำเย็น

สภาวะการทดลอง	ลักษณะหน้าด่างที่เกิดขึ้น (%)
ปริมาตรน้ำเย็นตามสูตรมาตรฐาน (ตัวอย่างควบคุม)	21.01
ปริมาตรน้ำเพิ่มขึ้นร้อยละ 5	25.57
ปริมาตรน้ำเพิ่มขึ้นร้อยละ 10	32.82
ปริมาตรน้ำเพิ่มขึ้นร้อยละ 15	34.11
ปริมาตรน้ำลดลงร้อยละ 5	14.15
ปริมาตรน้ำลดลงร้อยละ 10	0.55
ปริมาตรน้ำลดลงร้อยละ 15	0.01

โดยทั่วไปการเกิดลักษณะสีน้ำตาลในผลิตภัณฑ์ขั้นบังคับถือเป็นการเพิ่มลักษณะปราภูมิที่ดีให้ผลิตภัณฑ์ที่มีผลเชิงบวกต่อการยอมรับของผู้บริโภค โดยลักษณะสีน้ำตาลที่เกิดขึ้นมีสาเหตุมาจากการใบไออกเดต โปรดีน และนำที่ใช้เป็นส่วนผสมในการผลิตขั้นบังคับ เช่นถูกเร่งปฏิกิริยาภายใต้สภาวะที่มีความชื้นระดับต่ำถึงปานกลาง (ร้อยละ 0-20) ปริมาณน้ำอิสระ ( $a_w$ ) น้อยกว่า 0.6 รวมถึงการมีอุณหภูมิสูงที่ผิวตัวอย่างอาหาร จากการให้ความร้อนตั้งแต่ 120 องศาเซลเซียส [8-11] โดย Soleimani Pour-Damanabet et al. [12] อธิบายว่า เมื่อขั้นบังคับร้อน ความชื้นของตัวอย่างจะเคลื่อนที่จากใจกลางตัวอย่างสู่ผิว และเปลี่ยนสถานะกล้ายเป็นไอที่ผิวของตัวอย่าง ซึ่งก่อให้เกิดก่อสร้างเปลือกแข็ง (Crust) ปกคลุมขั้นบังคับและเกิดปฏิกิริยาสีน้ำตาลที่ผิวตามลำดับ ดังนั้นปริมาณความชื้นในตัวอย่างอาหาร



## บทความวิจัย

จึงมีผลต่อการเกิดเปลี่ยนแปลงและเปลี่ยนเป็นสีน้ำตาลอ่อนชัดเจนภายในได้ปฏิริยาเมลล์ลาร์ด นอกจากนี้ Wong et al. [9] พบว่าปฏิริยาสีน้ำตาลประเภทเมลล์ลาร์ด จะเกิดขึ้นได้เมื่อผิวของผลิตภัณฑ์มีความชื้นต่ำกรรรมกับไดร์บความร้อนเพียงพอ ดังนั้น การทดลองโดยการใส่น้ำเย็นในขันตอนสปอร์จในงานวิจัยนี้ ถือเป็นแนวทางที่สามารถควบคุมความชื้นเริ่มต้นของแป้งให้เหมาะสมต่อการเกิดปฏิริยาเมลล์ลาร์ดได้ อย่างไรก็ตามการเพิ่มปริมาณน้ำที่สูงเกินไป (ความชื้นเกินร้อยละ 60) อาจส่งผลให้ขนมปังแอมเบอร์เกอร์เกิดสีเข้มมากเกินไป ผลการวิจัยสอดคล้องกับ Soleimani Pour-Damanabet et al. [12] ที่อธิบายว่าความชื้นเริ่มต้นในแป้งมีความสัมพันธ์โดยตรงกับลักษณะของเปลือกขนมปังที่เกิดขึ้นหลังการอบ กล่าวคือ ยิ่งความชื้นของแป้งสูง เปลือกที่เกิดขึ้นจะมีความหนามากขึ้น และสีของผิวผลิตภัณฑ์จะเข้มขึ้นตามลำดับ

**สาเหตุที่ 2 การทดสอบปัจจัยระยะเวลาในการบันผสมในขันตอนแป้งโด:** การทดลองครั้งนี้ออกแบบโดยใช้แผนการทดลองแบบ CRD เพื่อศึกษาผลของระยะเวลาในการบันผสมในขันตอนแป้งโดยการเกิดลักษณะหน้าด่างในขนมปังแอมเบอร์เกอร์ โดยกำหนดระยะเวลาที่ใช้ในการทดลอง 7 ระดับ ได้แก่ ระยะเวลาในการบันผสมจากสูตรมาตรฐาน (ตัวอย่างควบคุม) ระยะเวลาในการบันผสมที่เพิ่มขึ้น (ร้อยละ 8 16 และ 24) และระยะเวลาในการบันผสมที่ลดลง (ร้อยละ 8 16 และ 24) โดยตัวอย่างจากแต่ละระดับถูกนำไปผลิตขั้นตอนปังภายในได้สภาวะการผลิตเดียวกัน และประเมินลักษณะสีผิวนมปังหลังการอบด้วยสายตาจากผู้เชี่ยวชาญฝ่ายควบคุมคุณภาพจำนวน 3 ท่าน ผลการ

ทดลองแสดงดังตารางที่ 3 และถูกนำมาวิเคราะห์ผลทางสถิติภายใต้สมมติฐานดังนี้

สมมติฐานของการบันผสมโด

$H_0$ : ระยะเวลาบันผสมโดยไม่ส่งผลต่อการเกิดลักษณะหน้าด่างในขนมปังแอมเบอร์เกอร์ ที่ระดับนัยสำคัญ 0.05

$H_1$ : ระยะเวลาบันผสมส่งผลต่อการเกิดลักษณะหน้าด่างในขนมปังแอมเบอร์เกอร์ ที่ระดับนัยสำคัญ 0.05

ตารางที่ 3 สัดส่วนของเสียงขนมปังแอมเบอร์เกอร์ที่มีลักษณะหน้าด่างจากการศึกษาปัจจัยระยะเวลาในการบันผสม

ระยะเวลาการทดลอง	ลักษณะหน้าด่างที่เกิดขึ้น (%)
ระยะเวลาในการบันผสมจากสูตรมาตรฐาน (ตัวอย่างควบคุม)	21.01
ระยะเวลาเพิ่มขึ้นร้อยละ 8	7.49
ระยะเวลาเพิ่มขึ้นร้อยละ 16	0.17
ระยะเวลาเพิ่มขึ้นร้อยละ 24	0.02
ระยะเวลาลดลงร้อยละ 8	35.19
ระยะเวลาลดลงร้อยละ 16	68.37
ระยะเวลาลดลงร้อยละ 24	72.33

จากตารางที่ 3 พบว่าการเพิ่มระยะเวลาในการบันผสมโดยส่งผลต่อการลดลงของลักษณะหน้าด่างในขนมปังแอมเบอร์เกอร์อย่างมีนัยสำคัญ โดยเฉพาะการเพิ่มระยะเวลาการบันขึ้นร้อยละ 24 มีอัตราของเสียงต่ำที่สุด (ร้อยละ 0.02) อย่างไรก็ตามการใช้ระยะเวลาบันผสมโดยที่นานเกินไปส่งผลให้ผลผลิต



## บทความวิจัย

ต่อวันลดลง ถือเป็นต้นทุนในเชิงปฏิบัติ ดังนั้น เมื่อพิจารณาทั้งด้านคุณภาพและประสิทธิภาพการผลิตพบว่า การเพิ่มระยะเวลาในการบันผสมร้อยละ 16 เป็นทางเลือกที่เหมาะสมที่สุด เนื่องจากสามารถลดของเสียจากหน้าด่างลงเหลือร้อยละ 0.17 โดยไม่กระทบต้นทุนการผลิตมากนัก และเมื่อวิเคราะห์ทางสถิติพบว่าค่า P-Value เท่ากับ 0.037 ( $p \leq 0.05$ ) จึงปฏิเสธ  $H_0$  ดังนั้นการเพิ่มระยะเวลาในการบันผสม แบ่งโดยสังพลให้เกิดลักษณะหน้าด่างในขنمบัง และเมอร์เกอร์ลดลง

การใช้เวลาในการบันผสมโดยที่นานขึ้น ช่วยให้ส่วนผสมเข้ากันได้ดี โดยเฉพาะหน้าตาน้ำที่เป็นตัวแปรสำคัญต่อการพัฒนาสีน้ำตาลในขنمบัง นอกจากนี้การสร้างแบ่งโดยที่สมบูรณ์ต้องอาศัยกระบวนการหมักที่มีประสิทธิภาพ โดยยิสต์จะย่อขยายน้ำตาลเพื่อผลิตแก๊สคาร์บอนไดออกไซด์ ซึ่งมีบทบาทต่อการขึ้นฟูของขنمบัง จากงานวิจัย Verheyen et al. [13] พบว่าปริมาณแก๊สคาร์บอนได-ออกไซด์ที่ผลิตได้แปรผันตรงกับระยะเวลาในการหมักหรือบ่มแบ่ง อย่างไรก็ตามอัตราการผลิตแก๊สจะลดลงเมื่อระยะเวลาผ่านไป 120 นาที [14] เนื่องจากยิสต์เกิดภาวะเครียดอสโนติก (Osmotic Stress) หรือภาวะซื้อกจากอสโนติก ซึ่งเกิดขึ้นเมื่อมีน้ำตาลสะสมมากเกินไปภายในเซลล์ ดังนั้นหากระยะเวลาในการบันผสมไม่เหมาะสม อาจส่งผลให้กระบวนการหมักยิสต์ไม่สมบูรณ์ ขنمบังขึ้นฟูไม่สม่ำเสมอ และเกิดการตกค้างของน้ำตาลที่ผิวแบ่ง เมื่อเข้าสู่กระบวนการอบ น้ำตาลที่ตกค้างจะเกิดการสลายตัวจากความร้อนผ่านปฏิกิริยาการเมาล ส่งผลให้สีผิวของขنمบังไม่สม่ำเสมอและเกิดลักษณะหน้าด่าง

จากการศึกษากระบวนการผลิตข้างต้นพบว่า ปริมาตรน้ำเย็นในขันตอนสปองจ์และระยะเวลาในการบันผสมแบ่งโดยเป็นปัจจัยที่เกี่ยวข้องกับการเกิดปฏิกิริยาการเกิดสีน้ำตาลที่ไม่มีเงื่อนไขมีมา เกี่ยวข้องเป็นกลไกหลัก ซึ่งมีบทบาทหลักในการสร้างสีที่พึงประสงค์ แต่พบว่าผลลัพธ์ที่ได้มีความไม่สม่ำเสมอโดยปรากฏบริเวณสีเข้มและสีอ่อนกระจายไม่เท่ากัน ส่งผลให้ผิวผลิตภัณฑ์มีลักษณะหน้าด่าง ซึ่งไม่เป็นไปตามเกณฑ์คุณภาพที่กำหนด เพื่อเป็นการกำหนดแนวทางการปรับปรุงที่มีประสิทธิภาพ ผู้วิจัยจึงวิเคราะห์ความสัมพันธ์ระหว่างปริมาตรน้ำเย็นและระยะเวลาในการบันผสมแบ่งโดยที่มีผลต่อการเกิดลักษณะหน้าด่างในขنمบังและเมอร์เกอร์ โดยวิธี Pearson Correlation ซึ่งมีรายละเอียดดังนี้

**สมมติฐานความสัมพันธ์ของทั้ง 2 ปัจจัย**

$H_0$ : ปริมาตรน้ำเย็นในขันตอนสปองจ์กับระยะเวลาในการบันผสมโดยไม่มีสัมพันธ์กัน ระดับนัยสำคัญ 0.05

$H_1$ : ปริมาตรน้ำเย็นในขันตอนสปองจ์กับระยะเวลาในการบันผสมโดยมีสัมพันธ์กัน ระดับนัยสำคัญ 0.05

จากรูปที่ 4 พบว่า ทั้ง 2 ปัจจัยมีความสัมพันธ์เชิงบวก โดยมีค่าสัมประสิทธิ์การกำหนด ( $R^2$ ) เท่ากับ 0.8137 ซึ่งหมายความว่า ร้อยละ 81.37 ของความแปรปรวนในปริมาตรน้ำเย็นสามารถอธิบายได้ด้วยระยะเวลาในการบันผสม และเมื่อคำนวณค่าสัมประสิทธิ์สหสัมพันธ์ของเพียร์สัน (Pearson's Correlation Coefficient:  $r$ ) พบว่าเท่ากับ 0.9021 แสดงถึง 2 ปัจจัยมีความสัมพันธ์เชิงบวกอย่างมาก และผลการทดสอบสมมติฐานมีนัยสำคัญทางสถิติที่



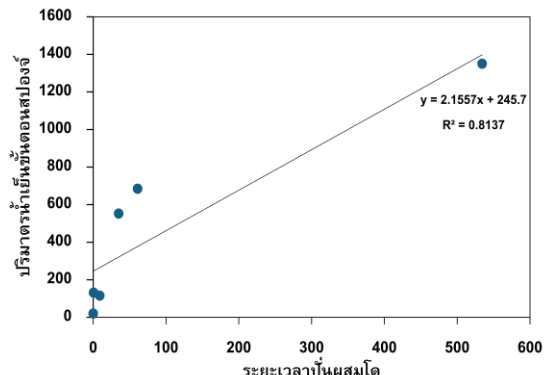
## บทความวิจัย

ระดับ  $p \leq 0.05$  จึงปฏิเสธสมมติฐาน  $H_0$  ได้อย่างมีนัยสำคัญ

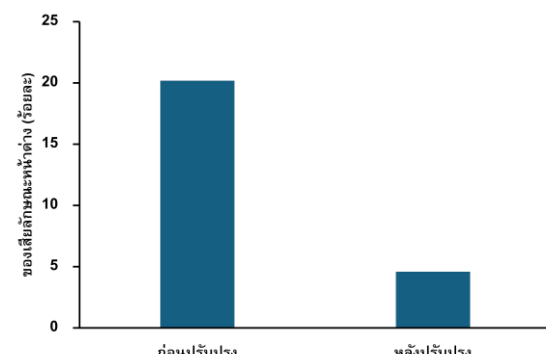
ดังนั้น การปรับปรุงกระบวนการผลิต จำเป็นต้องพิจารณาทั้ง 2 ปัจจัยควบคู่กัน กล่าวคือ ในกรณีที่เพิ่มปริมาตรน้ำเย็น ควรปรับระยะเวลาในการบันให้เหมาะสม เพื่อป้องกันไม่ให้แบ่งมีความชื้นสูงเกินไปจนและขณะเดียวกันหากลดปริมาตรน้ำ จำเป็นต้องเพิ่มระยะเวลาในการบันผสม เพื่อให้ส่วนผสมเป็นเนื้อเดียวกันมากที่สุด มีผลทำให้เกิดโครงสร้างแบ่งที่เหมาะสมต่อการพัฒนานิสัยผัสดและสีผิวที่สม่ำเสมอของผลิตภัณฑ์

### 3.2.5 ผลการปรับปรุง

การปรับปรุงกระบวนการผลิตในครั้งนี้ ดำเนินการภายใต้เงื่อนไขที่สามารถควบคุมได้และมีความสัมพันธ์กัน โดยเน้นการปรับระดับปริมาตรน้ำเย็นในขั้นตอนสปองเจร์ร่วมกับการปรับเวลาในการบันผสมแบ่งโด เพื่อควบคุมความชื้นเริมต้นของแบ่งและลดโอกาสการสะสมของความชื้นบริเวณผิว ซึ่งเป็นปัจจัยสำคัญที่ก่อให้เกิดลักษณะหน้าด่างของผลิตภัณฑ์ จากรูปที่ 5 แสดงให้เห็นว่าการใช้ปริมาตรน้ำเย็นลดลงร้อยละ 10 ร่วมกับการเพิ่มระยะเวลาในการบันผสมโดยร้อยละ 16 ส่งผลให้ขั้นบันแบ่งแอมเบอร์เกอร์ที่มีลักษณะหน้าด่างลดลงอย่างมีนัยสำคัญ โดยก่อนการปรับปรุงพบของเสียจากลักษณะหน้าด่างคิดเป็นร้อยละ 20.17 และหลังการปรับปรุงลดลงเหลือเพียงร้อยละ 4.58 (อัตราของเสียของขั้นบันแบ่งแอมเบอร์เกอร์ที่มีลักษณะหน้าด่างลดลงร้อยละ 77.29)



รูปที่ 4 ความสัมพันธ์ของปริมาณของเสียระหว่างปัจจัยปริมาตรน้ำเย็นในขั้นตอนสปองเจร์และระยะเวลาในการบันผสมแบ่งโด



รูปที่ 5 สัดส่วนของเสียที่เกิดจากลักษณะหน้าด่างก่อนและหลังการปรับปรุงกระบวนการผลิต

อย่างไรก็ตาม เพื่อให้การปรับปรุงที่ได้ในครั้งนี้ มีความยั่งยืนและไม่กลับไปสู่สภาพเดิม จึงทำการกำหนดแนวทางควบคุมกระบวนการอย่างเป็นระบบ ได้แก่ การกำหนดค่าควบคุมมาตรฐานสำหรับปริมาตรน้ำเย็นและเวลาการบันผสมแบ่งโดย รวมถึงจัดทำเป็นคู่มือและอบรมให้ผู้ปฏิบัติงานปฏิบัติตามมาตรฐานการผลิตที่ปรับปรุงใหม่ ตลอดจนการติดตามและ



## บทความวิจัย

บันทึกผลการผลิตอย่างสม่ำเสมอผ่านการตรวจสอบเชิงสถิติ นอกจากนี้เพื่อรับรู้การเปลี่ยนแปลงที่อาจเกิดขึ้นในอนาคต เช่น การเลื่อนสภาพของอุปกรณ์สภาพแวดล้อมการผลิต หรือการเปลี่ยนแปลงของสูตรวัตถุดิบ จำเป็นต้องมีการทบทวนและปรับปรุงแผนการควบคุมอย่างต่อเนื่อง โดยอาศัยความร่วมมือจากทุกฝ่ายที่เกี่ยวข้องในองค์กร เพื่อเสริมสร้างความเสถียรของกระบวนการผลิต และรักษาคุณภาพผลิตภัณฑ์ในระยะยาว

## 4. บทสรุป

งานวิจัยนี้ประยุกต์ใช้กระบวนการ DMAIC เพื่อปรับปรุงคุณภาพขนมปังแมมเบอร์เกอร์ โดยมุ่งเน้นลดปัญหาหน้าด่างซึ่งเป็นข้อบกพร่องด้านลักษณะผิวที่พบบ่อยที่สุด ผลการวิเคราะห์ชี้ว่าปริมาณหน้าเย็นในขันตอนสปองจ์และระยะเวลาในการบันผสมแบ่งโดยเป็นปัจจัยสำคัญที่สามารถควบคุมได้ในระดับกระบวนการ เมื่อดำเนินการปรับระดับทั้งสองปัจจัยอย่างเหมาะสม พบร่วมอัตราของเสียจากหน้าด่างลดลงถึงร้อยละ 77.29 เมื่อเทียบกับสภาวะการผลิตเดิม นอกจากนี้ได้มีการเสนอแนวทางควบคุมกระบวนการผลิต เช่น การกำหนดค่ามาตรฐานของปริมาณหน้าและเวลาการผสม พร้อมจัดทำเป็นคู่มือและอบรมให้ผู้ปฏิบัติงานเข้าใจ รวมถึงการติดตามผลอย่างต่อเนื่องเพื่อรักษาเสถียรภาพของคุณภาพในระยะยาว

ผลการศึกษาแสดงให้เห็นว่า DMAIC เป็นเครื่องมือที่สามารถประยุกต์ใช้ได้อย่างมีประสิทธิภาพในบริบทการผลิตอาหาร โดยเฉพาะในกรณีที่มีข้อจำกัดด้านทรัพยากร อย่างไรก็ตามงานวิจัยยังมีข้อจำกัดในด้านการควบคุมตัวแปรภายใต้บริบทของโรงงานเพียงแห่งเดียว ในอนาคตควรขยายขอบเขต

การศึกษาไปยังปัจจัยที่ซับซ้อนยิ่งขึ้น เช่น สภาพอากาศในเตาอบ การออกแบบแม่พิมพ์ และระบบควบคุมอัตโนมัติ รวมถึงควรบูรณาการการวิเคราะห์เสียงของลูกค้า (Voice of Customer: VOC) และประเมินผลตอบแทนการลงทุน (Return on Investment: ROI) เพื่อยืนยันความคุ้มค่าและความยั่งยืนของการปรับปรุงในเชิงเศรษฐศาสตร์ต่อไป

## 5. กิตติกรรมประกาศ

คณะผู้วิจัยขอขอบคุณบริษัทเพรสซิเดนท์ เบเกอรี่ จำกัด (มหาชน) ที่ให้ความอนุเคราะห์สถานที่ในการปฏิบัติงาน รวมถึงอุปกรณ์ เครื่องมือต่าง ๆ ในการเก็บข้อมูล ตลอดจนขอขอบคุณพนักงานของบริษัททุกท่านที่ให้ความร่วมมือและช่วยเหลือตลอดการดำเนินงานวิจัย

## 6. เอกสารอ้างอิง

- [1] J. Pico, J. Bernal, and M. Gómez, Wheat bread aroma compounds in crumb and crust: A review, *Food Research International*, 2015, 75, 200-215.
- [2] M. Onishi, M. Inoue, T. Araki, H. Iwabuchi, and Y. Sagara, Characteristic coloring curve for white bread during baking, *Bioscience Biotechnology Biochemistry*, 2011, 75(2), 255-260.
- [3] L.Tebben, Y. Shen and Y. Li, Improvers and functional ingredients in whole wheat bread: A review of their effects on dough properties and bread quality, *Trends in Food Science and Technology*, 2018, 81(2), 10-24.



- [4] W. Chen, X. Wu, Z. Liu, Y. Lui, Q. Lui, M.R. Pointer, J. Liang and T.Q. Khanh, The impact of illuminance level, correlated colour temperature and viewing background on the purchase intention for bread and cakes, *Food Quality and Preference*, 2022, 98(3), 104537.
- [5] I.T.B. Widiwati, S. D. Liman and F. Nurprihatin, The implementation of Lean Six Sigma approach to minimize waste at a food manufacturing industry, *Journal of Engineering Research*, 2025, 13(2), 611-626.
- [6] M.H.F. Arifin, S.A. Mustaniroh, and S.Sucipto, Application of the six sigma DMAIC in quality control of potato chips to reduce production defects, *IOP Conference Series: Earth and Environmental Science*, 2021, 924(1), 012056.
- [7] L. M. Monday, Define, measure, analyze, improve, control (dmaic) methodology as a roadmap in quality improvement, *Global Journal on Quality and Safety in Healthcare*, 2022, 5(2), 44-46.
- [8] E. Purlis, Browning development in bakery products – A review, *Journal of Food Engineering*, 2010, 99(3), 239-249.
- [9] C. Wong, H. Wijayanti and B. Bhandari, Water stress in biological, chemical, pharmaceutical and food systems: Maillard reaction in limited moisture and low water activity environment, Springer Nature, NY, USA, 2015.
- [10] J. Lukinac, D.K. Komlenić, M.L. Čolić, G. Nakov and M. Jukić, Modelling the browning of bakery products during baking: a review, *Ukrainian Food Journal*, , 2022, 11(2), 217-234.
- [11] Y. Dong and S. Karboune, A review of bread qualities and current strategies for bread bioprotection: Flavor, sensory, rheological, and textural attributes, *Comprehensive Reviews in Food Science and Food Safety*, 2021, 20(2), 1937-1981.
- [12] A. Soleimani Pour-Damanab, A. Jafary and S. Rafiee, Kinetics of the crust thickness development of bread during baking, *Journal of Food Science and Technology*, 2014, 51(11), 3439-3445.
- [13] C. Verheyen, A. Albrecht, D. Elgeti, M. Jekle and T. Becker, Impact of gas formation kinetics on dough development and bread quality, *Food Research International*, 2015, 76(3), 860-866.
- [14] N. Struyf, J. Laurent, B. Lefevere, J. Verspreet, K. Verstrepen and C. Courtin, Establishing the relative importance of damaged starch and fructan as sources of fermentable sugars in wheat flour and whole meal bread dough fermentations, *Food Chemistry*, 2017, 218, 89-98.



บทความวิจัย

วารสารวิชาการเทคโนโลยีอุตสาหกรรม (The Journal of Industrial Technology)

ISSN (online): 2697-5548

DOI: 10.14416/j.ind.tech.2025.08.003

## สมบัติทางกายภาพและทางกลของมอร์ตาร์ผสมขยะทะเลเพื่อพัฒนาเป็นผลิตภัณฑ์

วันโฉด เครือหงษ์<sup>1\*</sup> สามารถ นิพันธ์รัมย์<sup>1</sup> ปรัชญา ยอดดำรงค์<sup>1</sup> ศตวรรษ หญูธรรมพงษ์<sup>1</sup>  
และ ประชุม คำพูด<sup>2</sup>

<sup>1</sup> สาขาวิชาวิศวกรรมโยธา, คณะวิศวกรรมศาสตร์และสถาปัตยกรรมศาสตร์ เขตพื้นที่อุเทนถวาย,  
มหาวิทยาลัยเทคโนโลยีราชมงคลตะวันออก

<sup>2</sup> ภาควิชาวิศวกรรมโยธา, คณะวิศวกรรมศาสตร์, มหาวิทยาลัยเทคโนโลยีราชมงคลธัญบุรี

\* ผู้ประสานงานเผยแพร่ (Corresponding Author), E-mail: wunchock\_kr@rmutto.ac.th

วันที่รับบทความ: 19 สิงหาคม 2567; วันที่ทบทวนบทความ: 9 พฤษภาคม 2568; วันที่ตอบรับบทความ: 30 พฤษภาคม 2568  
วันที่เผยแพร่อนไลน์: 19 สิงหาคม 2568

**บทคัดย่อ:** งานวิจัยนี้นำเสนอสมบัติทางกายภาพและทางกลของมอร์ตาร์ผสมขยะทะเลเพื่อพัฒนาเป็นผลิตภัณฑ์ โดยทำการเก็บขยะริมทะเลและคัดเลือกเศษพลาสติกมาทำการบดด้วยเครื่องบด สำหรับอัตราส่วนผสมซีเมนต์มอร์ตาร์ต่อหินฟุ่นในอัตราส่วน 1: 4 โดยนำหัก ผสมขยะพลาสติกบดในอัตราอัตร้อยละ 3.6 และ 9 โดยนำหักหงด และใช้อัตราส่วนน้ำต่อปูนซีเมนต์เท่ากับ 0.4 จากนั้นทดสอบหน่วงน้ำหนัก การดูดซึมน้ำ ความพรุน กำลังอัด การทดสอบด้วยกล้องจุลทรรศน์อิเล็กตรอนแบบส่องการดูดและเลือกอัตราส่วนที่เหมาะสมขึ้น รูปเป็นผลิตภัณฑ์ จากการศึกษาพบว่า หน่วงน้ำหนักของซีเมนต์มอร์ตาร์ผสมพลาสติกบดมีค่าลดลงด้วยการแทนที่เพิ่มขึ้นของขยะพลาสติกบด การใช้ขยะพลาสติกบดผสมในซีเมนต์มอร์ตาร์ส่งผลให้การดูดซึมน้ำและความพรุนเพิ่มด้วยการแทนที่เพิ่มขึ้นของปริมาณขยะพลาสติก การใช้ขยะพลาสติกบดร้อยละ 6 ของน้ำหนักหงดผสมในซีเมนต์มอร์ตาร์และหินฟุ่นสามารถพัฒนาขึ้นรูปกระถางต้นไม้ การใช้ประโยชน์จากขยะพลาสติกจากทะเลพัฒนาเป็นผลิตภัณฑ์ที่ยั่งยืน เป็นการสร้างเศรษฐกิจหมุนเวียนและช่วยลดปัญหาผลกระทบต่อสิ่งแวดล้อม

**คำสำคัญ:** ขยะทะเล; พลาสติก; โครงสร้างระดับจุลภาค; เศรษฐกิจหมุนเวียน



บหคณวิจัย

วารสารวิชาการเทคโนโลยีอุตสาหกรรม (The Journal of Industrial Technology)

ISSN (online): 2697-5548

DOI: 10.14416/j.ind.tech.2025.08.003

## Physical and Mechanical Properties of Mortar Containing Marine Waste for Product Development

Wunchock Kroehong<sup>1\*</sup>, Samart Nipunram<sup>1</sup>, Pruchaya Yoddumrong<sup>1</sup>,  
Sattawat Haruehansapong<sup>1</sup> and Prachoom Khamput<sup>2</sup>

<sup>1</sup> Department of Civil Engineering, Faculty of Engineering and Architecture, Uthenthawai Campus,  
Rajamangala University of Technology Tawan-ok

<sup>2</sup> Department of Civil Engineering, Faculty of Engineering, Rajamangala University of Technology Thanyaburi

\* Corresponding author, E-mail: wunchock\_kr@rmutt.ac.th

Received: 19 August 2024; Revised 9 May 2025; Accepted: 30 May 2025

Online Published: 19 August 2025

**Abstract:** This paper presents the physical and mechanical properties of mortar mixed with marine waste for product development. Marine debris was collected from coastal areas, and only plastic bottles were selected and crushed using a grinding machine. The cement-to-stone dust ratio was fixed at 1:4 by weight, with crushed plastic waste added at 3%, 6%, and 9% by total weight. The water-to-cement ratio was maintained at 0.4. The unit weight, water absorption, porosity, compressive strength, and microstructural analysis using a Scanning Electron Microscope (SEM) were tested. The most suitable mixture ratio was then used to form a prototype product. The study found that the unit weight of cement mortar decreased as the replacement level of crushed plastic waste increased. The incorporation of crushed plastic waste also led to higher water absorption and porosity with increasing plastic content. Using 6% crushed plastic waste by total weight in the cement mortar and stone dust mixture proved suitable for producing plant pots. This utilization of marine plastic waste to develop sustainable products promotes a circular economy and helps mitigate environmental impacts.

**Keywords:** Marine waste; Plastic; Microstructure; Circular economy



## 1. บทนำ

ปัจจุบันขยะพลาสติกทั่วโลกเป็นปัญหาสิ่งแวดล้อมที่เพิ่มขึ้นอย่างรวดเร็วในทศวรรษที่ผ่านมา จากการศึกษาพบว่า โลกลดิตย์พลาสติกมากถึง 350 ล้านตันต่อปี สำหรับประเทศไทยมีขยะพลาสติกประมาณ 2 ล้านตันต่อปี หรือประมาณร้อยละ 12 ของปริมาณขยะทั้งหมด การนำขยะพลาสติกกลับไปใช้ประโยชน์เฉลี่ยประมาณปีละ 0.5 ล้านตัน ส่วนที่เหลือ 1.5 ล้านตัน การกำจัดโดยวิธีการฝังกลบใช้เวลาอยู่อย่างยาวนาน เป็นขยะลอยในแม่น้ำ ลำคลอง บางส่วนให้ลงสู่ทะเลเกือบให้เกิดผลกระทบต่อสิ่งแวดล้อมทางทะเล จากข้อมูลของกรมทรัพยากรทางทะเลและชายฝั่ง พบว่าชายทะเล 3 อันดับแรก ได้แก่ ขยะพลาสติก ถุงพลาสติก และขวดแก้วร้อยละ 22.00, 19.42 และ 10.96 ตามลำดับ ขยะทะเลโดยเฉพาะขยะพลาสติกมีผลกระทบต่อระบบนิเวศน์ทางทะเลในหลายด้านดังต่อไปนี้ ผลกระทบต่อระบบนิเวศน์ทางทะเล โดยขยะพลาสติกสามารถเข้าไปแทรกแซงและทำลายที่อยู่อาศัยของสิ่งมีชีวิตทางทะเล เช่น ปะการัง หญ้าทะเล และไขดหิน [1] ขยะพลาสติกที่แทรกตัวเป็นไมโครพลาสติก สามารถถูกกินโดยแพลงก์ตอนและสิ่งมีชีวิตขนาดเล็ก ซึ่งจะเข้าสู่ห่วงโซ่ออาหารและสะสมในตัวสัตว์ ทำให้มีการสะสมสารพิษในระบบนิเวศน์ทางทะเล ผลกระทบต่อสัตว์มีผลต่อกระบวนการสืบพันธุ์ของสัตว์ทะเล โดยทำให้สัตว์บางชนิดไม่สามารถถ่ายไข่ได้และผลกระทบต่อคุณค่าทางการท่องเที่ยวในพื้นที่ชายฝั่งที่มีขยะทะเลปริมาณมาก [2] และไมโครพลาสติกที่ปนเปื้อนในอาหารทะเลสามารถเข้าสู่ร่างกายมนุษย์และมีผลกระทบต่อสุขภาพ [3] การจัดการขยะพลาสติกใน

ประเทศไทยด้วยนโยบาย 3Rs คือการลดการใช้พลาสติก การใช้พลาสติกซ้ำ และการรีไซเคิลพลาสติก [4] เพื่อแก้ปัญหาดังกล่าวจึงมีนักวิจัยการใช้ประโยชน์ขยะพลาสติก

บรรนการ ขันตา และคณะ [5] ศึกษาがらังและความต้านทานการขัดสีของคอนกรีตที่ใช้เศษขยะพลาสติกโดยใช้ขยะพลาสติก PVC PP และ PET แทนที่มวลรวมละอี้ด้วยร้อยละ 10 20 และ 30 โดยปริมาตรพบว่ามีがらังอัด がらังดัดและがらังดึงแบบผ่าซีกต่ำกว่าคอนกรีตควบคุมที่ใช้มวลรวมธรรมชาติ และเมื่อเพิ่มปริมาณการแทนที่มวลรวมละอี้ด้วยมวลรวมเศษพลาสติกมากขึ้นทำให้がらังอัด がらังดัดและがらังดึงแบบผ่าซีกยึดลิดต่ำลง Prachoom Khamput และ คณะ [6] การใช้ขยะพลาสติกเป็นส่วนผสมในคอนกรีตสำหรับทำกระถางต้นไม้พบว่าอัตราส่วนที่เหมาะสมใช้ขยะพลาสติกร้อยละ 0.2 โดยน้ำหนักเป็นการสร้างมูลค่าเพิ่มให้กับเศษขยะพลาสติกของโรงงาน ช่วยลดปริมาณขยะพลาสติกที่ต้องนำไปกำจัดทิ้ง และลดการก่อมลพิษต่อสิ่งแวดล้อม และในปี 2024 งานวิจัยของ Prachoom Khamput และ คณะ [7] ศึกษาพัฒนาบล็อกประสานจากเศษขวดน้ำพลาสติกผสมพื้นโดยนำพลาสติกที่ย่อยแทนที่มวลรวมร้อยละ 2, 4, 6, 8 และ 10 โดยปริมาตรมวลรวมพบว่าการแทนที่ทรายด้วยพลาสติกที่ย่อยร้อยละ 2 โดยปริมาตรกำจัดอัดมากกว่า 40 เมกะปาสคัล ผ่านเกณฑ์มาตรฐานคอนกรีตบล็อกประสานปูพื้น

การศึกษาการใช้ประโยชน์ของทะเลเมืองการศึกษาขยะทะเลเพื่อประโยชน์ใช้กับงานแอสฟัลต์คอนกรีตโดยนำขยะทะเลมาอยู่ให้มีขนาดเล็กและนำมาร่อนผ่านตะแกรงเบอร์ 30 และค้างบนตะแกรงเบอร์ 50 แล้วนำพลาสติกและเศษแก้วซึ่งเป็นขยะทะเลผสมไว้ด้วย



## บทความวิจัย

รวมจะเอี่ยดในแอสฟัลต์คอนกรีตพบว่าคุณสมบัติของ แอสฟัลต์คอนกรีตเป็นไปตามข้อกำหนดมาตรฐานการทดสอบของกรมทางหลวงและสามารถนำมาใช้เป็นทางเลือกในการลดปริมาณขยะทะเลในงานทางวิศวกรรมได้อีกด้วย [8] และในปี 2567 มีนักวิจัย Soares et al. [9] ศึกษาความเป็นไปได้ในการใช้บล็อกคอนกรีตที่ผลิตจากขยะพลาสติกทางทะเล สำหรับใช้งานในการก่อสร้าง โดยใช้พลาสติกร้อยละ 5 และ 10 โดยนำหันพนบวบล็อกที่มีส่วนผสมของพลาสติกร้อยละ 5 มีความแข็งแรงในการรับแรงอัดที่ดี และมีน้ำหนักเบา มีความเหมาะสมสมสำหรับการก่อสร้างบ้านชั้นเดียว

จากการวิจัยที่ผ่านมาส่วนใหญ่เป็นการศึกษาสมบัติทางกายภาพและทางกลของผสมมอร์ตาร์หรือคอนกรีตผสมขยะพลาสติก แต่การศึกษามอร์ตาร์ผสมขยะพลาสติกเพื่อพัฒนาผลิตภัณฑ์ยังมีน้อยมาก ดังนั้นในงานวิจัยนี้ศึกษาสมบัติการดูดซึมน้ำ ความพรุน หน่วยน้ำหนัก กำลังอัด และวิเคราะห์โครงสร้างระดับจุลภาคของมอร์ตาร์ผสมขยะพลาสติกจากทางเลือกเพื่อพัฒนาเป็นผลิตภัณฑ์กระถางต้นไม้ที่ชุมชนสามารถขึ้นรูปได้ง่ายและวิเคราะห์ต้นทุนการผลิตเพื่อให้ชุมชนทราบสามารถจำหน่าย อย่างไรก็ตาม แผนกลยุทธ์การจัดการขยะพลาสติก พ.ศ. 2561 – 2573 โดยมุ่งเน้นการลดการใช้พลาสติกแบบใช้ครั้งเดียว การส่งเสริมการรีไซเคิล และการนำเทคโนโลยีและนวัตกรรมมาใช้ในการจัดการขยะพลาสติก เพื่อสร้างความยั่งยืนในการใช้ทรัพยากรและลดผลกระทบทางลบต่อสิ่งแวดล้อม

## 2. วิธีการวิจัย

### 2.1 วัสดุ

1. ปูนซีเมนต์ไฮดรอลิกตามมาตรฐานคุณภาพ มอก.2594-2556

2. หินฝุ่นมีขนาด 3-4 มิลลิเมตร จากเหมืองหินจังหวัดสระบุรี

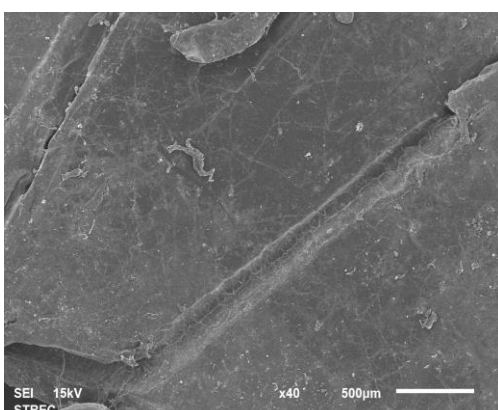
3. ขยะทะเล ร่วมเก็บขยะทะเลโดยกรรมรักษ์ทะเลวันสิ่งแวดล้อมโลก จ. ชลบุรี แสดงดังรูปที่ 1 ขยะทะเลที่เก็บแล้วคัดเลือกเฉพาะเป็นขวดพลาสติกประเภท Polyethylene Terephthalate (PET) มาล้างด้วยน้ำสะอาดแล้วย่อยลดขนาดด้วยเครื่องบดพลาสติก โดยขยะส่วนที่เหลือทางหน่วยงานท้องถิ่นนำไปกำจัดต่อแสดงในรูปที่ 2 ขยะทะเลที่ผ่านการย่อย เมื่อพิจารณาจากสภาพถ่ายขยายมีลักษณะผิวน้ำเรียบดังแสดงในรูปที่ 2 (ข) มีขนาด 3-4 มิลลิเมตร



รูปที่ 1 ขยะทะเลที่เก็บมาบดย่อย



(ก) ขยะพลาสติกที่ผ่านการย่อย



(ข) ภาพถ่ายขยายขยะพลาสติก

รูปที่ 2 ขยะพลาสติกที่ผ่านการย่อย

ตารางที่ 1 สมบัติทางกายภาพของหินฝุ่นและขยะพลาสติกว่าความถ่วงจำเพาะ หน่วยน้ำหนักและโมดูลัสความละเอียดของหินฝุ่นเท่ากับ 2.69, 1,654 และ 3.63 ตามลำดับ สำหรับขยะพลาสติกมีความถ่วงจำเพาะ หน่วยน้ำหนักและโมดูลัสความละเอียดเท่ากับ 1.31, 562 และ 2.87 ตามลำดับ

## 2.2 อัตราส่วนผสม

ตารางที่ 2 อัตราส่วนของตัวอย่างโดยน้ำหนัก โดยผสมปูนซีเมนต์ไฮดรอลิกต่อหินฝุ่นในอัตราส่วน 1 ต่อ 4 โดยน้ำหนักและผสมขยะพลาสติกในอัตราส่วนร้อยละ 3 6 และ 9 โดยน้ำหนักทั้งหมดของส่วนผสม [7] กำหนดอัตราส่วนผสมห้าต่อปูนซีเมนต์เท่ากับ 0.4 ที่มีความข้นเหลวสามารถเขียนรูปผลิตภัณฑ์แบบการกระทุบอัดแน่น

ตารางที่ 1 สมบัติทางกายภาพของหินฝุ่นและขยะพลาสติก

Properties	Specific	Unit	Fineness
	Gravity	Weight	Modulus (kg/m <sup>3</sup> )
Stone Dust	2.69	1,654	3.63
Marine Plastic	1.31	562	2.87

ตารางที่ 2 อัตราส่วนของตัวอย่าง

Mix	Cement	Stone dust	Plastic	W/C
	(g)	(g)	(g)	
CT	1000	4000	0	0.4
3MP	1000	4000	150	0.4
6MP	1000	4000	300	0.4
9MP	1000	4000	450	0.4



## 2.3 การทดสอบ

### 2.3.1 หน่วยน้ำหนักการดูดซึมหน้าและความพรุน

ตัวอย่างทรงลูกบาศก์ขนาด  $100 \times 100 \times 100$  มิลลิเมตร หลังจากบ่มตัวอย่างที่อายุ 28 วัน การทดสอบหน่วยน้ำหนักทดสอบตามมาตรฐาน ASTM C138 การดูดซึมน้ำและความพรุนทดสอบตามมาตรฐาน ASTM C 642

### 2.3.2 กำลังอัด

หล่อตัวอย่างทรงลูกบาศก์ขนาด  $100 \times 100 \times 100$  มิลลิเมตร บ่มตัวอย่างในสภาวะอุณหภูมิห้องทดสอบกำลังอัดที่อายุการบ่ม 7 และ 28 วัน ตามมาตรฐาน ASTM C109

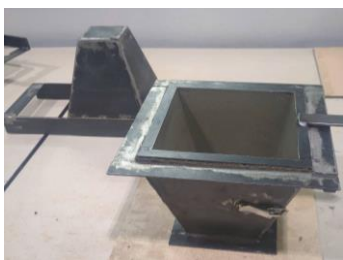
### 2.3.3 โครงสร้างระดับจุลภาค

การทดสอบโครงสร้างจุลภาคของมอร์ตาร์ที่อายุการบ่ม 28 วัน เพื่อพิจารณาโครงสร้างจุลภาคการรีดเกาและรอยต่อของซีเมนต์เพสต์กับพลาสติกเพื่อเป็นฐานข้อมูลในการทำวิจัย โดยนำตัวอย่างขนาดเล็กๆ ที่อยู่ตรงกลางของก้อนตัวอย่าง แล้วนำตัวอย่างหยุดปฏิกิริยาไฮเดรชัน โดยนำตัวอย่างอบแห้งที่อุณหภูมิ 60 องศาเซลเซียส เป็นเวลา 24 ชั่วโมงไปทดสอบโครงสร้างจุลภาคด้วยวิธีกล้องจุลทรรศน์อิเล็กตรอนแบบส่องกราด (Scanning Electron microscopy หรือ SEM)

โดยนำชิ้นตัวอย่างไปเคลือบผิวด้วยทองคำ และนำไปทดสอบถ่ายภาพขยายอนุภาคกำลังสูง

## 2.4 การขึ้นรูปผลิตภัณฑ์

การขึ้นรูปผลิตภัณฑ์สำหรับในงานวิจัยนี้เป็นกระบวนการดันไม้เพราซุ่มชนสามารถทำเองได้ไม่ยุ่งยาก ต่อการขึ้นรูปผลิตภัณฑ์และสามารถนำไปใช้งานได้โดยเลือกรูปแบบและขนาดของผลิตภัณฑ์ที่มีน้ำหนักไม่มากไม่ต้องใช้เครื่องจักรสามารถขึ้นรูปด้วยแรงงานคน สำหรับอัตราส่วนที่เหมาะสมทำการขึ้นรูปเป็นกระบวนการดันไม้ทำการเลือกจากผลการทดลองรูปที่ 3 (ก) แสดงแบบหล่อกระบวนการดันไม้ทำด้วยแผ่นเหล็กประกอบด้วย 2 ชิ้นคือแบบภาชนะออกแบบภายใน สำหรับขั้นตอนการขึ้นรูปสมปุนซีเมนต์ หินฝุ่น และอะไบทะเลเข้ากันให้ดี การขึ้นรูปกระบวนการดันไม้ให้หาง่ายแบบหล่อขึ้นแล้วนำซีเมนต์มอร์ตาร์ที่ผสมเทใส่ในแบบหล่อแบ่งออกเป็น 3 ชั้น แล้วอัดแน่นด้วยการกระทุบด้วยไม้โดยรอบจนกระทุบตึงเต็มแบบหล่อแล้วปิดให้เรียบร้อยแสดงในรูปที่ 3 (ข) ส่วนการตัดแบบหล่อให้กลับด้านของกระบวนการดันไม้โดยให้ด้านปากกระบวนการหงายขึ้นแล้วจึงกดแบบหล่อแสดงในรูปที่ 3 (ค) นำกระบวนการดันไม้บ่มในสภาวะอุณหภูมิห้อง



(ก) แบบหล่อกระบวนการดันไม้



(ข) การอัดขึ้นรูปด้วยการกระทุบ



(ค) แบบหล่อกระบวนการดันไม้

รูปที่ 3 การขึ้นรูปเป็นกระบวนการดันไม้



บทความวิจัย

### 3. ผลและการอภิปรายผล

#### 3. หน่วยน้ำหนัก

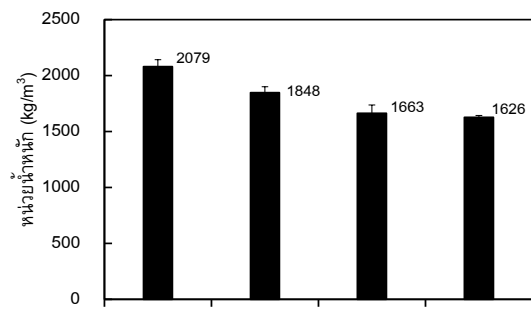
หน่วยน้ำหนักของซีเมนต์มอร์ตาร์ผสานขยะทะเลแสดงในรูปที่ 4 พบว่าหน่วยน้ำหนักของซีเมนต์มอร์ตัร์ CT 3MP 6MP และ 9MP มีค่าเท่ากับ 2,079, 1,848, 1,663 และ 1,626 กก./ม.<sup>3</sup> ตามลำดับ การผสานขยะทะเลในซีเมนต์มอร์ตัร์ซึ่งส่วนใหญ่เป็นพลาสติกมีค่าความถ่วงจำเพาะต่ำกว่าปูนซีเมนต์นำไปสู่การลดลงของหน่วยน้ำหนักของซีเมนต์มอร์ตัร์ผสานขยะทะเลลดลงคล้องกับการศึกษาของ Kunthawatwong et al. [10]

#### 3.2 การดูดซึมน้ำ

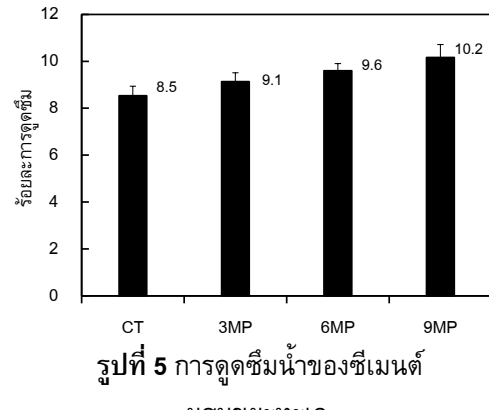
การดูดซึมน้ำของซีเมนต์มอร์ตัร์ผสานขยะทะเลแสดงในรูปที่ 5 พบว่าซีเมนต์มอร์ตัร์ CT 3MP 6MP และ 9MP มีค่าการดูดซึมน้ำที่อายุการบ่ม 28 วันเท่ากับ 8.5, 9.1, 9.6 และ 10.2 ตามลำดับ การดูดซึมน้ำของซีเมนต์มอร์ตัร์ผสานขยะทะเลมีค่าเพิ่มขึ้นตามการแทนที่ด้วยขยะทะเล การเพิ่มขึ้นของการดูดซึมน้ำเนื่องจากขยะทะเลซึ่งเป็นพลาสติกจะมีรูปร่างเรียบทำให้การยึดเกาะต่ำระหว่างพลาสติกและซีเมนต์นำไปสู่ปริมาณโพรงที่มากขึ้น [11] อีกประการหนึ่งพลาสติกจะมีรูปร่างแบบการแทนที่ในปริมาณเพิ่มขึ้นทำให้ความสามารถในการทำงานได้ลดลงส่งผลให้มีความพรุนสูงและความสามารถในการดูดซึมน้ำของซีเมนต์มอร์ตัร์ผสานขยะทะเลมีค่าเพิ่มขึ้น [10]

#### 3.3 ความพรุน

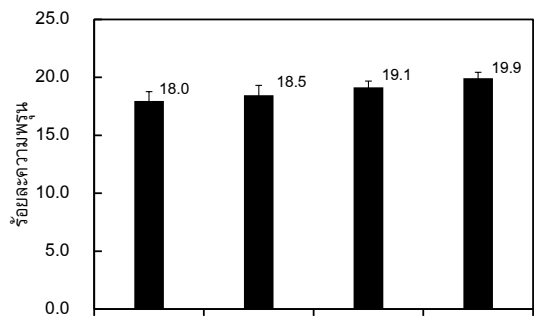
รูปที่ 6 ความพรุนของซีเมนต์ผสานขยะทะเลพบว่าความพรุนของซีเมนต์ควบคุมมีค่าเท่ากับ 18.0 และเมื่อผสานขยะทะเลอย่าง 3, 6 และ 9 ของน้ำหนักทั้งหมดมีค่าความพรุนเท่ากับ 18.5, 19.1 และ 19.9 ตามลำดับ



รูปที่ 4 หน่วยน้ำหนักของซีเมนต์มอร์ตัร์ผสานขยะทะเล



รูปที่ 5 การดูดซึมน้ำของซีเมนต์ผสานขยะทะเล



รูปที่ 6 ความพรุนของซีเมนต์มอร์ตัร์ผสานขยะทะเล

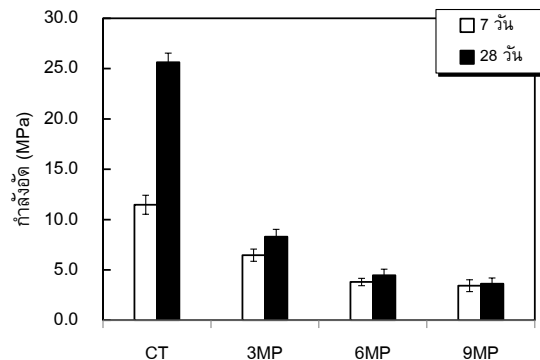


## บทความวิจัย

เนื่องจากการทดสอบพลาสติกในปริมาณมากส่งผลให้การยึดเกาะระหว่างพลาสติกและซีเมนต์เพสต์ต้านทานไปสู่การเกิดช่องว่างในซีเมนต์เพสต์ทำให้ปริมาณความพรุนเพิ่มขึ้น สอดคล้องกับการศึกษาของ Kunthawatwong et al. [10] ศึกษาพลาสติกจากขาดน้ำมายอยสมในซีเมนต์มอร์ต้าร์ทำให้ปริมาณความพรุนมีค่าเพิ่มขึ้น

### 3.4 กำลังอัด

รูปที่ 7 กำลังอัดของซีเมนต์ผสมขยะทะเลพบว่าซีเมนต์มอร์ต้าร์ควบคุมโดยใช้อัตราส่วนปูนซีเมนต์ เมนต์ต่อหินฝุ่น 1 ต่อ 4 มีกำลังอัดที่อายุการบ่ม 7 และ 28 วัน มีค่าเท่ากับ 11.5 และ 25.6 เมกะปาสคัล สำหรับกำลังซีเมนต์มอร์ต้าร์ผสมขยะทะเลกำลังอัดที่อายุ 7 วันของ 3MP 6MP และ 9MP เท่ากับ 6.5 3.8 และ 3.4 เมกะปาสคัล ตามลำดับ ส่วนการบ่มที่อายุ 28 วัน ของ 3MP 6MP และ 9MP เท่ากับ 8.3 4.5 และ 3.6 เมกะปาสคัล ตามลำดับ กำลังอัดมีค่าลดลงด้วยการผสมขยะทะเลในปริมาณที่เพิ่มขึ้น การลดลงของกำลังอัดเนื่องจากการใช้ขยะทะเลซึ่งเป็นพลาสติกทำให้การยึดเหนี่ยวระหว่างพลาสติกและเพสต์มีค่าต่ำ [12, 13] และการใช้อัตราส่วนน้ำต่อปูนซีเมนต์ที่ต่ำ ส่งผลให้ความสามารถในการทำงานได้ต่ำจึงจำเป็นต้องมีการกระหุ้นซีเมนต์มอร์ต้าร์เพื่อลดช่องว่าง อย่างไรก็ตามมาตรฐาน ASTM C129 คองกรีตบล็อกควบคุมที่ไม่รับน้ำหนักกำหนดกำลังอัดไว้ต้องไม่น้อยกว่า 4.14 เมกะปาสคัล ดังนั้นสามารถสรุปได้ว่าการใช้ขยะทะเลอยละ 6 โดยน้ำหนัก สามารถพัฒนาเป็นผลิตภัณฑ์ได้



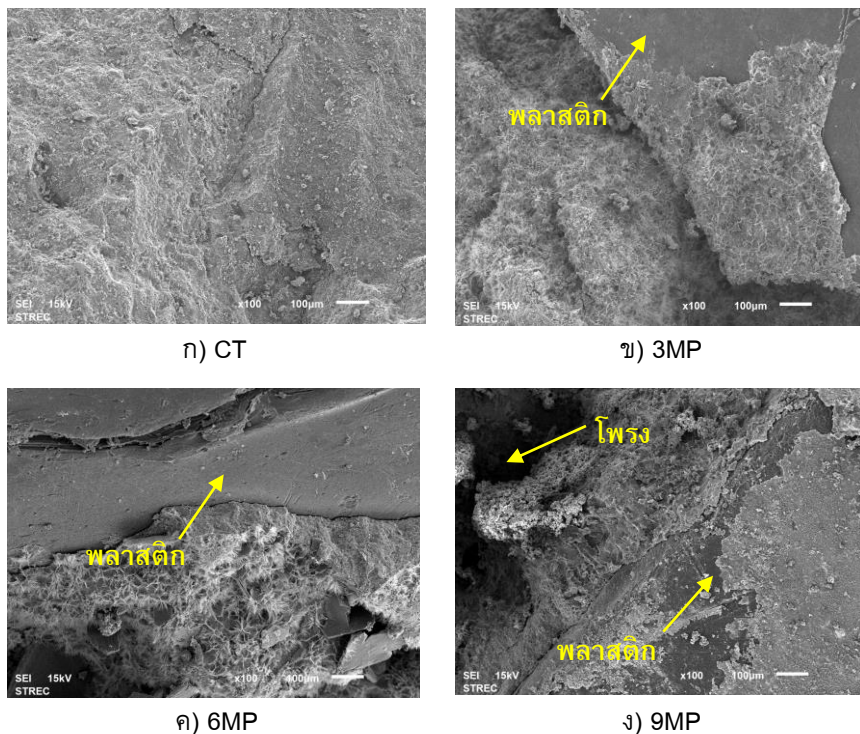
รูปที่ 7 กำลังอัดของซีเมนต์มอร์ต้าร์ผสมขยะทะเล

### 3.5 โครงสร้างจุลภาค

รูปที่ 8 ภาพถ่ายขยายของซีเมนต์มอร์ต้าร์ผสมขยะทะเลพบว่าซีเมนต์มอร์ต้าร์ควบคุมมีความแน่น จากการสังเกตพบแคลเซียมไฮดรอกไซด์ ( $\text{Ca}(\text{OH})_2$ ) มีลักษณะเป็นแผ่นและแคลเซียมดรอกไซด์และแคลเซียมซิลิกेट ไฮเดรต ( $\text{Calcium Silicate Hydrate}$ ; C-S-H) ทำหน้าที่เป็นวัสดุประสานเป็นผลิตภัณฑ์ที่สำคัญของปฏิกิริยาไฮเดรชันส่งผลต่อกำลังอัด แสดงในรูปที่ 8 (ก) สำหรับซีเมนต์มอร์ต้าร์ผสมขยะทะเลแสดงใน รูปที่ 8 (ก)-(ง) มีลักษณะความพรุนสูงกว่าคอนกรีตบล็อกควบคุม นอกจากนั้นพบผลิตภัณฑ์คล้ายกับเข็มเป็นส่วนของเอกทอริงไกต์ ( $\text{Ettringite}$ ) เมื่อพิจารณาการยึดเกาะระหว่างพลาสติกขยะทะเลซึ่งมีผิวเรียบและซีเมนต์เห็นได้อย่างชัดเจนว่าจะมีรอยต่อของการยึดซึ่งเป็นปัจจัยหลักต่อกำลังอัดที่ลดลง และเมื่อพิจารณา รูปที่ 8 (ง) เป็นอัตราส่วนที่พลาสติกในปริมาณมากที่สุดจะพบว่าปริมาณโพรงที่ค่อนข้างมากและมีขนาดใหญ่ส่งผลให้การดูดซึมน้ำและความพรุนมีค่าเพิ่มขึ้น ในทางกลับกันทำให้หน่วยน้ำหนักและกำลังอัดของซีเมนต์มอร์ต้าร์มีค่าลดลงสอดคล้องกับผลการทดสอบ



บทความวิจัย

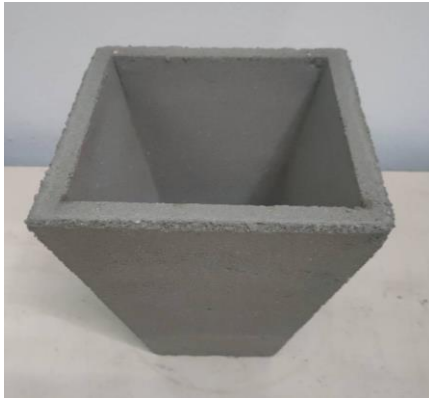


รูปที่ 8 ภาพถ่ายขยายของซีเมนต์มอร์ต้าร์ผสมขยะทะเล

### 3.6 การขึ้นรูปกระบวนการตันไม้

การวิเคราะห์ข้อมูลผลการทดสอบหน่วยน้ำหนัก การดูดซึมน้ำ ความพรุน กำลังอัด และโครงสร้างจุลภาค พบว่าอัตราส่วนที่เหมาะสมของซีเมนต์มอร์ต้าร์ผสมขยะทะเล โดยใช้อัตราส่วน ปูนซีเมนต์ต่อหินฝุ่น 1:4 ผสมขยะทะเลเรื่อยละ 6 โดยนำหินก้อนทั้งหมดของวัสดุผสมแสดงในรูปที่ 9 สำหรับการวิเคราะห์ต้นทุนราคากองกราถางตันไม้ผสมพลาสติกทะเล กราถางตันไม้ 1 กก. กองจะมีน้ำหนัก 3.65 กิโลกรัม โดยใช้ปูนซีเมนต์ 0.686 กิโลกรัม หินฝุ่น 2.74 กิโลกรัม และขยะทะเล 0.219 กิโลกรัม ส่วนค่าแรงงานมีค่าอยู่ขยะทะเลและ การขึ้นรูปกระบวนการตันไม้ใช้แรงงานเพียง 1 คน ได้

ส่วนระบบการผลิตขึ้นรูปเป็นแบบการกระทุบยัดแน่นโดยอัตราการผลิต 1 ชั่วโมงสามารถผลิตได้ 10 ชิ้นต่อ 1 แบบหล่อ ตารางที่ 3 การวิเคราะห์ทั้นทุนราคากองกราถางตันไม้ผสมขยะทะเลพบว่าค่าวัสดุประมาณ 2 บาทต่อชิ้นค่าแรงประมาณ 5 บาทต่อชิ้นและงานวิจัยที่ผ่านมา [14] ต้นทุนน้ำประปาใช้ล้างพลาสติกและไฟฟ้าสำหรับย่อยพลาสติกทำผลิตภัณฑ์บล็อกปูพื้นซึ้งมีน้ำหนักต่อชิ้นใกล้เคียงกับงานวิจัยนี้ประมาณ 0.25 บาทต่อชิ้น รวมราคาต่อชิ้นประมาณ 7.25 บาทต่อชิ้น อย่างไรก็ตามการสนับสนุนให้ชุมชนใช้ขยะทะเลผสมซีเมนต์มอร์ต้าร์พัฒนาเป็นกระบวนการตันไม้สามารถสร้างเศรษฐกิจหมุนเวียน (Circular Economy) การออกแบบ



(ก) ภาชนะด้านบน



(ข) ภาชนะด้านข้าง

รูปที่ 9 ตัวอย่างกระถางต้นไม้ผสมขยะทะเล

ผลิตภัณฑ์ที่ยั่งยืน (Sustainable Design): สร้างระบบการจัดเก็บและรีไซเคิลที่มีประสิทธิภาพ โดยเฉพาะในพื้นที่ที่มีความเสี่ยงสูงต่อการเกิดขยะพลาสติกในทะเล เช่น พื้นที่ชายฝั่งและแหล่งน้ำต่าง ๆ การจัดการขยะพลาสติกอย่างมีประสิทธิภาพ (Efficient Waste Management) พัฒนาระบบการจัดการขยะที่สามารถเก็บรวบรวมและจัดการขยะพลาสติกก่อนที่จะหลุดออกสู่สิ่งแวดล้อม โดยเฉพาะการจัดการขยะในเขตเมืองและพื้นที่ชายฝั่ง การพื้นฟูสิ่งแวดล้อม (Environmental Restoration): ดำเนินโครงการเก็บขยะพลาสติกจากทะเล และพื้นฟูพื้นที่ทางทะเลที่ได้รับผลกระทบจากการพลาสติก เช่น การจัดตั้งกลุ่มอาสาสมัครเพื่อทำความสะอาดชายหาดและแหล่งน้ำ การนำหลักการเศรษฐกิจหมุนเวียนมาใช้ในการจัดการพลาสติกในทะเล จะช่วยลดปริมาณขยะพลาสติกในทะเล พื้นฟูสภาพแวดล้อมทางทะเล และสร้างระบบการใช้ทรัพยากรที่ยั่งยืนมากขึ้น [15]

ตารางที่ 3 การวิเคราะห์ต้นทุนราคากลางกระถางต้นไม้ผสมขยะทะเล

วัสดุต่อชิ้น [กก.(บาท)]	ค่าแรง ไฟฟ้า/ ราคาต่อชิ้น ประจำ ต่อชิ้น					
ปูนซีเมนต์	พื้นผื้น	ขยะ				
0.69(2.2)	2.74(0.0625)	0.22(-)	5	0.25	7.25	

#### 4. สรุปผล

1. หน่วยน้ำหนักของซีเมนต์มอร์ตาร์รับสมขยะทะเลลดลงด้วยการแทนที่เพิ่มขึ้นของขยะทะเลเนื่องจากความถ่วงจำเพาะต่ำกว่าปูนซีเมนต์

2. การใช้ขยะทะเลผสมในซีเมนต์มอร์ตาร์ส่งผลให้การดูดซึมน้ำ และความพรุนเพิ่มด้วยการแทนที่เพิ่มขึ้นของปริมาณขยะทะเล

3. การใช้ขยะทะเลอยร้อยละ 6 ของน้ำหนักทั้งหมดผสมในซีเมนต์มอร์ตาร์และพื้นผื้นสามารถพัฒนาขึ้นรูปกระถางต้นไม้



บทความวิจัย

4. การให้ชุมชนเก็บขยะทะเลสามารถพัฒนาเป็นผลิตภัณฑ์ที่สามารถจำหน่ายได้เป็นการสร้างเศรษฐกิจหมุนเวียน เป็นกระบวนการต้นไม้ช่วยแก้ปัญหาของทะเลและปัญหาผลกระทบต่อสิ่งแวดล้อม นอกจากนั้นสร้างรายได้ให้กับชุมชนเป็นการส่งเสริมเศรษฐกิจหมุนเวียนให้กับชุมชน

## 5. กิตติกรรมประกาศ

งานวิจัยนี้ได้รับการสนับสนุนจากมหาวิทยาลัยเทคโนโลยีราชมงคลวันออก งบประมาณภายในอกรเลขที่ สัญญาทุน น.สกสฯ 31/2566 คณะวิศวกรรมศาสตร์ และสถาบัตยกรรมศาสตร์ เขตพื้นที่ อุเทนถวาย สาขาวิศวกรรมโยธาที่อนุเคราะห์วัสดุและเครื่องมือในการดำเนินการวิจัย

## 6. เอกสารอ้างอิง

- [1] M.R. Gregory, Environmental implications of plastic debris in marine settings—entanglement, ingestion, smothering, hangers-on, hitch-hiking and alien invasions, *Philosophical Transactions B*, 2009, 364(1526), 2013-2025.
- [2] S. Newman, E. Watkins, A. Farmer, P.t. Brink and J.-P. Schweitzer, *The economics of marine litter*, *Marine Anthropogenic Litter*, Springer, Cham, Switzerland, 2015.
- [3] K.D. Cox, G.A. Covernton, H.L. Davies, J.F. Dower, F. Juanes and S.E. Dudas, Human Consumption of Microplastics, *Environmental Science and Technology*, 2019, 53(12), 7068-7074.
- [4] N. Wichai-utcha and O. Chavalparit, 3Rs Policy and plastic waste management in Thailand, *Journal of Material Cycles and Waste Management*, 2019, 21(1), 10-22.
- [5] B. Khanta, B. Kaewprachum, A. Kittanan and L. Prak, T. Chueasawat and T. Samranwanit, Strength and abrasion resistance of concrete using plastic waste as partially fineaggregate replacement, *The 27<sup>th</sup> National Civil Engineering Conference, Proceeding*, 2022, 1-6. (in Thai).
- [6] R. Khamput, K. Somna, T. Tochai and R. Somna, Using plastic waste from the curtain assembly plant as an ingredient in concrete for plant pots, *The 27<sup>th</sup> National Civil Engineering Conference, Proceeding*, 2022, 1-7. (in Thai).
- [7] P. Khamput, S. Haruehansapong, W. Sittigool, T. Prasertsri, P. Yoddumrong and P. Sanit-in, Development of paving interlocking block from plastic bottle wastes with dust stone, *The Journal of King Mongkut's University of Technology North Bangkok*, 2024, 34(3), 1-13. (in Thai).
- [8] C. Yaibok, P. Suwanno and P. Jitpitchkan, Properties of asphaltic concrete mixed with marine debris, *The 27<sup>th</sup> National Civil Engineering Conference, Proceeding*, 2022, 1-9. (in Thai).



บทความวิจัย

- [9] H.L.C. Soares, P.K.G. Choueri and A.R. Santos, Feasibility study of the use of concrete blocks produced from plastic marine garbage for use in civil construction, *Environmental Science and Pollution Research*, 2024, 31(19), 28418-28427.
- [10] R. Kunthawatwong, L. Sylisomchanh, S. Pangdaeng, A. Wongsa, V. Sata, P. Sukontasukkul and P. Chindaprasirt, Recycled non-biodegradable polyethylene terephthalate waste as fine aggregate in fly ash geopolymers and cement mortars, *Construction and Building Materials*, 2022, 328, 127084.
- [11] E.A. Ohemeng and S.O. Ekolu, Strength prediction model for cement mortar made with waste LDPE plastic as fine aggregate, *Journal of Sustainable Cement-Based Materials*, 2019, 8(4), 228-243.
- [12] M. Hacini, A.S. Benosman, N. Kazi Tani, M. Mouli, Y. Senhadji, A. Badache and N. Latroch, Utilization and assessment of recycled polyethylene terephthalate strapping bands as lightweight aggregates in Eco-efficient composite mortars, *Construction and Building Materials*, 2021, 270, 121427.
- [13] M.J. Islam, M.S. Meherier and A.K.M.R. Islam, Effects of waste PET as coarse aggregate on the fresh and hardened properties of concrete, *Construction and Building Materials*, 2016, 125, 946-951.
- [14] S. Suntararak, T. Sorson and P. Jeawram, The utilization of stone dust as cement substitution with mixed plastic to develop an environmentally friendly paving block product, *The 18<sup>th</sup> Ubon Ratchathani University Research Conference (UBRC): Green-Growth-Gate, 2023, Proceeding*, 180-188. (in Thai).
- [15] D. Marks, M.A. Miller and S. Vassanadumrongdee, Closing the loop or widening the gap? The unequal politics of Thailand's circular economy in addressing marine plastic pollution, *Journal of Cleaner Production*, 2023, 391, 136218.



บทความวิจัย

สารสารวิชาการเทคโนโลยีอุตสาหกรรม (The Journal of Industrial Technology)

ISSN (online): 2697-5548

DOI: 10.14416/j.ind.tech.2025.08.004

## การจำแนกโควิด 19 จากภาพ CT Scan ด้วยการเรียนรู้แบบรวมกลุ่ม

พงษ์ศธร เชิดสม\*

งานวิชาการและวิจัย, คณะสถาปัตยกรรมศาสตร์, มหาวิทยาลัยขอนแก่น

\* ผู้ประสานงานเผยแพร่ (Corresponding Author), E-mail: pongche@kku.ac.th

วันที่รับบทความ: 8 มีนาคม 2568; วันที่ทบทวนบทความ: 19 พฤษภาคม 2568; วันที่ตอบรับบทความ: 6 มิถุนายน 2568

วันที่เผยแพร่อนไลน์: 19 สิงหาคม 2568

**บทคัดย่อ:** การระบาดใหญ่ของเชื้อไวรัสโควิด 19 ได้เน้นย้ำถึงความจำเป็นอย่างยิ่งในการพัฒนาเครื่องมือวินิจฉัยที่มีประสิทธิภาพซึ่งสามารถช่วยบุคลากรทางการแพทย์ในการประเมินผู้ป่วยได้อย่างรวดเร็วและแม่นยำมากยิ่งขึ้น งานวิจัยนี้นำเสนอการพัฒนาแบบจำลองสำหรับการจำแนกเชื้อไวรัสโควิด 19 จากภาพเอกซเรย์คอมพิวเตอร์ทรวงอก (CT Scan) ด้วยเทคนิคการเรียนรู้แบบรวมกลุ่ม (Ensemble Method) ด้วยชุดข้อมูล COVID-19 Radiography จำนวน 7,232 ภาพ แบ่งเป็นเชื้อโควิด 3,616 ภาพ ไม่มีเชื้อโควิด 3,616 ภาพ แบ่งชุดข้อมูลสำหรับการทดลองเป็นชุดสำหรับเรียนรู้อยละ 70 (Training Set) จำนวน 2,531 ภาพ ชุดสำหรับการทดสอบการเรียนรู้อยละ 20 (Validation set) จำนวน 723 ภาพ ชุดสำหรับการทดสอบการเรียนรู้อยละ 10 (Test set) 362 ภาพ และใช้ร่วมเทคนิคการแบ่งข้อมูล (K-Fold Cross Validation) จำนวน 5 ชุด (K=5) การทดลองได้แบ่งออกเป็น 3 กลุ่ม กลุ่มที่ 1 ใช้แบบจำลองที่ได้รับความนิยม 38 แบบจำลอง เลือกแบบจำลองที่ได้รับค่าความถูกต้อง (Accuracy) มากที่สุด 3 ลำดับนำไปใช้กับกลุ่มการทดลองที่ 2 และ 3 กลุ่มที่ 2 เชื่อมแบบจำลองโดยใช้เทคนิค Bagging ร่วมกับชุดข้อมูล 5 ชุด จำนวน 3 รูปแบบการทดลอง กลุ่มที่ 3 เชื่อมแบบจำลองโดยใช้เทคนิค Bagging โดยใช้แบบจำลองที่มีค่าความถูกต้องมากที่สุดในแต่ละแบบจำลอง จำนวน 2 รูปแบบการทดลอง พบว่า การทดลองในกลุ่มที่ 3 แบบจำลอง MobileNet ร่วมกับ DenseNet121 มีค่าความถูกต้องร้อยละ 99.30 เมื่อเปรียบเทียบกับแบบจำลองพื้นฐานในกลุ่มที่ 1 มีค่าความถูกต้องร้อยละ 97.23 พบร่วมค่าความถูกต้องที่สูงขึ้นร้อยละ 2.07

**คำสำคัญ:** การจำแนกโควิด 19; ภาพเอกซเรย์ CT Scan; เทคนิคการเรียนรู้แบบรวมกลุ่ม; โครงข่ายประสาทเทียม



บพคภาฯวจชย

วารสารวิชาการเทคโนโลยีอุตสาหกรรม (The Journal of Industrial Technology)

ISSN (online): 2697-5548

DOI: 10.14416/j.ind.tech.2025.08.004

## Classification of COVID-19 from Chest CT Images Using Ensemble Techniques

Pongsathorn Chedsom\*

Academic Affairs and Research, Faculty of Architecture, Khon Kaen University

\* Corresponding author, E-mail: pongche@kku.ac.th

Received: 8 March 2025; Revised: 19 May 2025; Accepted: 6 June 2025

Online Published: 19 August 2025

**Abstract:** The COVID-19 pandemic has emphasized the critical need for effective diagnostic tools that can assist medical personnel in evaluating patients more rapidly and accurately. This research presents the development of a model for classifying COVID-19 from chest computed tomography (CT) scans using ensemble learning methods. The study utilized the COVID-19 Radiography dataset containing 7,232 images, evenly divided between 3,616 COVID-19 positive images and 3,616 COVID-19 negative images. The dataset was split data to a training set (70%, 2,531 images), a validation set (20%, 723 images), and a test set (10%, 362 images), with 5-fold cross-validation ( $K=5$ ). The experimental methodology was divided into three groups: Group 1 involved testing 38 popular deep learning models and selecting the three highest-accuracy models for further experimentation. Group 2 combined these models using bagging techniques across the five cross-validation data folds in three different experimental configurations. Group 3 utilized bagging to combine the highest-performing versions of each selected model in two experimental configurations. The results show that the experiment group 3 using MobileNet and DenseNet121 together achieved an accuracy of 99.30%, compared to the baseline model in group 1 with an accuracy of 97.23%, which is 2.07% higher.

**Keywords:** Classification of COVID-19; Chest CT scan; Ensemble Techniques; Deep Learning



## 1. บทนำ

การระบาดใหญ่ของเชื้อไวรัส COVID-19 ส่งผลกระทบต่อระบบสาธารณสุข เศรษฐกิจ และสังคมทั่วโลกอย่างรุนแรง โดยเฉพาะอย่างยิ่งในกลุ่มประชากรที่มีความเสี่ยงสูง [1] เช่น ผู้สูงอายุ ผู้มีโรคประจำตัว และบุคลากรทางการแพทย์ แม้จะมีงานวิจัยจำนวนมากเกี่ยวกับเชื้อไวรัส COVID-19 เพื่อตอบสนองต่อความต้องการในหลาย ๆ ปัจจัยรวมทั้งการการรักษา การคัดกรองหาเชื้อไวรัสโดยกระบวนการต่าง ๆ

ปัจจุบันมีการพัฒนาแบบจำลองหรืองานวิจัยที่เกี่ยวข้องเพิ่มมากขึ้นปัจจุบันการใช้เทคโนโลยีปัญญาประดิษฐ์ (Artificial Intelligence: AI) ในทางการแพทย์ได้รับความนิยมมากยิ่งขึ้น โดยเฉพาะโครงข่ายประสาทเทียมเชิงลึก (Convolutional Neural Networks: CNN) กำลังปฏิวัติวงการแพทย์ด้วยความสามารถในการวิเคราะห์ภาพทางการแพทย์ได้อย่างรวดเร็วและแม่นยำสูงทำให้การวินิจฉัยโรคเบื้องต้นหรือการวินิจฉัยโดยละเอียดเป็นไปอย่างมีประสิทธิภาพมากขึ้น

การนำเทคโนโลยีปัญญาประดิษฐ์มาใช้ช่วยให้แพทย์ตรวจพบความผิดปกติหรือแนวโน้มของโรคได้ด้วยระบบเริ่มต้น สามารถเพิ่มโอกาสในการรักษาที่ประสบความสำเร็จและยกระดับคุณภาพชีวิตของผู้ป่วยมากยิ่งขึ้นการจำแนกประเภทของเชื้อไวรัส COVID-19 จากภาพเอกซเรย์คอมพิวเตอร์ (CT) ของทรวงอกโดยใช้แบบการเรียนรู้แบบกลุ่ม (Ensemble) เป็นความก้าวหน้าในด้านการถ่ายภาพทางการแพทย์ และปัญญาประดิษฐ์ เนื่องจากการระบาดใหญ่ของ COVID-19 จำเป็นต้องมีวิธีการวินิจฉัยที่รวดเร็วและแม่นยำเทคนิคการเรียนรู้แบบกลุ่มจึงเป็นเครื่องมือที่มีประสิทธิภาพในการปรับปรุงความถูกต้องและ

ประสิทธิภาพของการตรวจจำแนกเชื้อไวรัส COVID-19 โดยการใช้ประโยชน์จากแบบจำลอง (Model) หรืออัลกอริทึมหลายตัวในการวิเคราะห์ภาพ CT Scan จากภาพทรวงอกซึ่งแบบจำลองหรืออัลกอริทึมนี้ช่วยเพิ่มประสิทธิภาพการจำแนกและพยากรณ์เชื้อไวรัสเบื้องต้น ซึ่งมีความสำคัญอย่างยิ่งสำหรับการวินิจฉัยและรักษาโรคเรียบร้อยขึ้นเทคนิคการเรียนรู้แบบกลุ่มแบ่งออกเป็น 3 ประเภทหลัก ๆ ได้แก่ แบ็กเกจิ้ง (Bagging) บูสติ้ง (Boosting) และสเตกเกจ (Stacking) รวมการทำงานของแบบจำลองและของอัลกอริทึมต่าง ๆ เข้าด้วยกันเพื่อให้ได้ผลลัพธ์จากการพยากรณ์ที่มีความน่าเชื่อถือและมีความเสถียรมากขึ้น เมื่อเทียบกับแบบจำลองเดียวในบริบทของ COVID-19 ได้แสดงให้เห็นว่าวิธีการแบบกลุ่มนั้นสามารถแก้ไขปัญหา เช่น ความไม่สมดุลของข้อมูล (Data Imbalance) ซึ่งเกิดจากการที่ตัวอย่างของโรคหรือความผิดปกติมักมีจำนวนน้อยกว่าตัวอย่างปกติอย่างมากและมีต้นทุนสูง (High Dimensionality) โดยภาพทางการแพทย์มีความละเอียดสูง เช่น ภาพ CT scan หรือ MRI ที่มีขนาดใหญ่พิเศษในแต่ละมิติหรือภาพสามมิติทำให้มีพารามิเตอร์จำนวนมากที่ต้องนำมาใช้ในการเรียนรู้ของแบบจำลอง (Training) ซึ่งปัจจุบันการนำเทคโนโลยีปัญญาประดิษฐ์มาใช้เกิดขึ้นอย่างเผยแพรายมากยิ่งขึ้นการวินิจฉัยนี้จึงมีวัตถุประสงค์เพื่อการจำแนกเชื้อไวรัส COVID-19 จากภาพ CT Scan โดยใช้เทคนิคการเรียนรู้แบบรวมกลุ่มเพื่อให้ประสิทธิภาพในการจำแนกมากยิ่งขึ้นอีกทั้งยังเป็นการลดความเสี่ยงในการตัดสินใจของแบบจำลองเดียว กระจายความเสี่ยงและเพิ่มความมั่นใจในการจำแนกโรคของแบบจำลอง



บทความวิจัย

## 2. ทฤษฎีและงานวิจัยที่เกี่ยวข้อง

### 2.1 ทฤษฎี

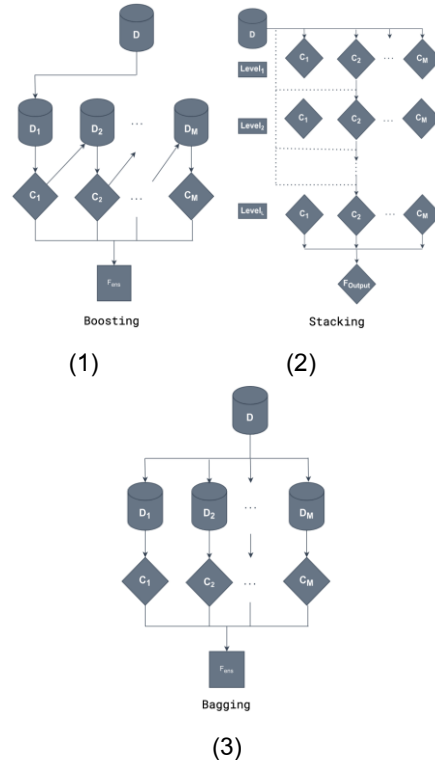
#### 2.1.1 เทคนิคการเรียนรู้แบบรวมกลุ่ม

เทคนิคการเรียนรู้แบบรวมกลุ่ม (Ensemble Method) เป็นเทคนิคในการเรียนรู้ของเครื่อง (Machine Learning) ที่ใช้การรวมผลลัพธ์จากการพยากรณ์ของแบบจำลองหลาย ๆ ตัว (Weak Learners) เพื่อสร้างแบบจำลองที่มีความแม่นยำที่ดีขึ้น (Strong Learner) หลักการพื้นฐานของการเรียนรู้แบบรวมกลุ่มคือการที่แบบจำลองแต่ละตัวอาจมีข้อผิดพลาดที่แตกต่างกัน โดยใช้การรวมผลลัพธ์ของแบบจำลองเหล่านี้เข้าด้วยกันจะช่วยลดข้อผิดพลาด และเพิ่มความน่าเชื่อถือในการพยากรณ์ผลลัพธ์ซึ่งมีความแม่นยำสูงกว่าการใช้แบบจำลองเดียว [2]

#### 2.1.2 รูปแบบเทคนิคการเรียนรู้แบบรวมกลุ่ม

การแบ่งเทคนิคการเรียนรู้แบบกลุ่มสามารถแบ่งออกเป็น 3 ประเภทหลัก ๆ ได้แก่

Boosting เป็นเทคนิคการเรียนรู้ของเครื่องที่มุ่งเน้นการพัฒนาแบบจำลองที่อ่อนแอก (Weak Learner) ให้กลายเป็นแบบจำลองที่แข็งแกร่ง (Strong Learner) โดยการฝึกโมเดลแบบตามลำดับ (Sequentially) แบบจำลองใหม่แต่ละตัวจะถูกฝึกสอนเพื่อแก้ไขข้อผิดพลาดของแบบจำลองก่อนหน้า โดยให้ความสำคัญกับข้อมูลที่ถูกจำแนกผิดในรอบก่อนหน้ามากขึ้น การปรับน้ำหนักของข้อมูลในลักษณะนี้ช่วยให้กลุ่มโมเดลเรียนรู้จากข้อผิดพลาดของตนเอง ส่งผลให้ได้โมเดลสุดท้ายที่มีประสิทธิภาพสูงขึ้น อัลกอริทึม Boosting ที่ได้รับความนิยม ได้แก่ AdaBoost และ Gradient Boosting ดังแสดงในรูปที่ 1 (1) [2, 3]



รูปที่ 1 รูปแบบเทคนิคการเรียนรู้แบบรวมกลุ่ม 3 ประเภท Boosting (1) Stacking (2) Bagging (3) [2]

Stacking หรือ Stacked Generalization เป็นเทคนิคการเรียนรู้ของเครื่องที่แตกต่างจาก Bagging และ Boosting โดยอนุญาตให้ใช้แบบจำลองที่มีความหลากหลาย (Diverse Algorithms) แทนที่จะใช้เพียงแบบจำลองประเภทเดียวกันในเทคนิคแบบจำลองตั้งต้น (Base Models) จะถูกฝึกสอนบนชุดข้อมูลฝึกสอนจากนั้นโมเดลเม塔 (Meta-Learner) จะถูกฝึกสอนบนผลลัพธ์การทำนายของโมเดลฐาน เพื่อรวมผลลัพธ์การทำนายเหล่านั้นให้เหมาะสมที่สุด ความยืดหยุ่นนี้มักจะนำไปสู่ประสิทธิภาพของแบบจำลองที่ดีขึ้นโดยใช้ประโยชน์จากจุดแข็งของอัลกอริทึมการเรียนรู้ที่หลากหลาย ดังแสดงในรูปที่ 1 (2) [2, 4]



บทความวิจัย

Bagging (Bootstrap Aggregating) เป็นเทคนิคการเรียนรู้ของเครื่องที่ช่วยลดความแปรปรวน (Variance) ของแบบจำลอง โดยสร้างแบบจำลองย่อยหลาย ๆ ตัว ขึ้นมาจากการดูข้อมูลฝึกสอนที่สุ่มเลือกแบบมีการแทนที่ (With Replacement) ซึ่งหมายความว่าข้อมูลบางส่วนอาจถูกเลือกซ้ำหลายครั้ง ขณะที่บางส่วนอาจไม่ได้ถูกเลือกเลย หลังจากฝึกสอนโน้มเดลย์อย่างแล้ว ผลลัพธ์การทำนายของแต่ละโมเดลจะถูกรวบเข้าด้วยกัน โดยทั่วไปจะใช้การหาค่าเฉลี่ยสำหรับงานทดแทน (Regression) และการตรวจสอบข้างมากสำหรับงานจำแนกประเภท (Classification) ตัวอย่างที่รู้จักกันดีของเทคนิค Bagging คือ Random Forest Algorithm ดังแสดงในรูปที่ 1 (3) [2, 5] จุดเด่นและข้อดีของ Ensemble Learning เป็นการเพิ่มความแม่นยำในการทำนายผลที่ให้ดีมากยิ่งขึ้น อีกทั้งยังช่วยลดทั้ง Bias (ความลำเอียงในการทำนาย) และ Variance (ความแปรปรวนของการทำนาย) ซึ่งเป็นปัญหาสำคัญในการสร้างโมเดล Machine Learning และช่วยลดความเสี่ยงที่จะเกิด Overfitting (โมเดลจำข้อมูลฝึกมากเกินไป) หรือ Underfitting (โมเดลไม่สามารถจับรูปแบบของข้อมูลได้) และเพิ่มความสามารถในการจัดการกับข้อมูลที่ซับซ้อน สามารถคำนวนและเรียนรู้ความสัมพันธ์ที่ซับซ้อนของข้อมูลได้ดีกว่าการเลือกใช้แบบจำลองเดียว รวมทั้งการเรียนรู้แบบรวมกลุ่มสามารถจัดการกับข้อมูลที่มีสัญญาณรบกวน (Noise) หรือข้อมูลที่ขาดหายไป (Missing Data) ได้ดี เนื่องจากข้อผิดพลาดจากโมเดลหนึ่งอาจถูกชดเชยด้วยโมเดลอื่น

## 2.2 งานวิจัยที่เกี่ยวข้อง

Chaurasia et. al. [6] นำเสนอวิธีการใหม่ในการตรวจจับโรค COVID-19 โดยใช้เทคนิค Ensemble

Learning ร่วมกับการปรับปรุงคุณภาพภาพถ่ายเอกสารเรียบร้อยจากโดยใช้เทคนิคการปรับปรุงภาพ 2 วิธี คือ CLAHE และ BCET เพื่อเพิ่มคุณภาพของภาพเอกสารเรียบร้อยและพัฒนาโมเดล Ensemble Learning โดยรวมโมเดล CNN หลายตัวเข้าด้วยกัน ได้แก่ Inception V3, ResNet50, Xception และ VGG16 ทำการจำแนกภาพเป็น 3 ประเภท คือ ปกติ, ติดเชื้อ COVID-19 และปอดบวม ทดสอบกับชุดข้อมูลขนาดใหญ่ที่มีภาพ 7,045 ภาพ ผลการทดสอบพบว่า การใช้ CLAHE และ BCET ร่วมกันช่วยเพิ่มความแม่นยำได้อย่างมีนัยสำคัญ และแบบจำลอง DSENek (Xception + ResNet50) ให้ความแม่นยำสูงสุดที่ 95% มีประสิทธิภาพดีกว่าการใช้แบบจำลองเดียวและวิธีการอื่นๆ ที่มีอยู่เดิม

Chandrika et. al. [7] พัฒนาแบบจำลองการเรียนรู้เชิงลึกสำหรับการวินิจฉัยโรค COVID-19 จากภาพเอกสารเรียบร้อย ใช้ชุดข้อมูลภาพเอกสารเรียบร้อยจำนวน 16,000 ภาพ ประกอบด้วยทั้งผู้ป่วย COVID-19 และผู้ที่ไม่ได้ติดเชื้อ ใช้โครงข่ายประสาทเทียมแบบ convolutional neural network (CNN) ที่ผ่านการเรียนรู้มาก่อนจำนวน 4 แบบจำลอง นำผลลัพธ์จากทั้ง 4 แบบจำลองมารวมกันด้วยเทคนิคการเรียนรู้แบบรวมกลุ่ม (Ensemble Learning) ใช้เทคโนโลยีในการเพิ่มข้อมูล (Data Augmentation) เพื่อปรับปรุงความสามารถในการทำนายของแบบจำลอง แบ่งการจำแนกเป็น 5 ประเภท (แบคทีเรีย, ติดเชื้อ COVID-19, ไม่ติดเชื้อ COVID-19, ผ้าขาวในปอดและไรวัส) มีความแม่นยำร้อยละ 97.30 การจำแนก 3 ประเภท (ติดเชื้อ COVID-19, ไม่ติดเชื้อ COVID-19 และสุขภาพดี) มีความแม่นยำร้อยละ 98.20 การจำแนก 2 ประเภท (ติดเชื้อ COVID-19, ไม่ติดเชื้อ COVID-19) มีความแม่นยำร้อยละ 97.60



Geroski et. al. [8] พัฒนาวิธีการจำแนกความรุนแรงของ COVID-19 จากภาพเอกซเรย์ทรวงอก โดยใช้เทคนิคการถ่ายโอนการเรียนรู้ (Transfer Learning) กับโครงข่าย DenseNet121 จำแนกความรุนแรงของ COVID-19 เป็น 4 ระดับ เล็กน้อย ปานกลาง รุนแรง และวิกฤต ทดสอบการใช้น้ำหนักเริ่มต้น (Initial Weights) 3 แบบ ได้แก่ ImageNet น้ำหนักจากการเรียนรู้ภาพทั่วไป CheXNeXT น้ำหนักจากการเรียนรู้ภาพโรคปอดต่าง ๆ (ไม่รวม COVID-19) DeepCOVID-XR น้ำหนักจากการเรียนรู้ภาพ COVID-19 โดยเฉพาะ พบว่า ImageNet ให้ผล yay ที่สุด (ค่าเฉลี่ย AUC = 0.700) DeepCOVID-XR ให้ผลดีขึ้น (ค่าเฉลี่ย AUC = 0.774) ให้ผลดีที่สุดอย่างมีนัยสำคัญ (ค่าเฉลี่ย AUC = 0.917) เมื่อรวมระดับ รุนแรง และวิกฤตเข้าด้วยกันพบว่า ImageNet ได้ค่า AUC เพิ่มเป็น 0.867 CheX-NeXT ได้ค่า AUC เพิ่มเป็น 0.900 DeepCOVID-XR ได้ค่า AUC เพิ่มเป็น 0.974 จากการทดลองการใช้น้ำหนักเริ่มต้นที่มีลักษณะใกล้เคียงกับชุดข้อมูลใหม่ให้ผลลัพธ์ที่ดีกว่า โดยเฉพาะในกรณีที่มีชุดข้อมูลขนาดเล็กและไม่สมดุล

Kumar et. al. [9] ได้พัฒนาแบบจำลองในการจำแนกโรค COVID-19 จากภาพเอกซเรย์ทรวงอกโดยใช้เทคนิค Machine Learning (ML) และ Transfer Learning (TL) ใช้ชุดข้อมูล COVID-Xray-5k ขนาดภาพ 224 X 224 ในการทดลอง ใช้ Gaussian blur เพื่อจัดการความเบลอ-ชัดและใช้เทคนิค CLAHE เพื่อปรับปรุงความคมชัดและความสว่างของภาพ แบ่งสัดส่วนของชุดข้อมูลออกเป็น 3 รูปแบบได้แก่ 80:20, 75:25 และ 70:30 พบว่าแบบจำลอง Efficient-VGG16 (สถาปัตยกรรม EfficientNet-B0 และ VGG16) ที่ใช้เทคนิค Ensemble ได้ค่าความแม่นยำร้อยละ 99.46 และการแบ่งชุดข้อมูล 80:20 ได้ผลค่าความแม่นยำ

ที่ดีที่สุด Asif et. al. [10] ได้นำเสนอแบบจำลอง LSWE (Lightweight Stacked Ensemble) เป็นแบบจำลองแบบ Stacked Ensemble ที่รวมแบบจำลอง MobileNet และ Lightweight CNN เพื่อปรับปรุงประสิทธิภาพการจัดประเภทโดยมี MLP (Multi-Layer Perceptron) เป็นการเรียนรู้จากการเรียนรู้ (Meta-learner) โดยใช้ชุดข้อมูล 3 ชุดข้อมูล ขนาด 224 X 224 และเพิ่มข้อมูลโดยใช้เทคนิคการเพิ่มข้อมูล (Data Augmentation) ชุดข้อมูลที่ 1 แบ่งออกเป็น 3 ประเภท ได้แก่ ติดเชื้อโควิด ไม่ติดเชื้อโควิด ปอดบวม พบว่าแบบจำลองที่นำเสนอด้วย LSWE มีความแม่นยำร้อยละ 96.40 ชุดข้อมูลที่ 2 แบ่งออกเป็น 4 ประเภท ได้แก่ ติดเชื้อโควิด ไม่ติดเชื้อโควิด วัณโรค ปอดบวม พบว่าแบบจำลองที่นำเสนอด้วย LSWE มีความแม่นยำร้อยละ 97.90 ชุดข้อมูลที่ 3 ติดเชื้อโควิด ไม่ติดเชื้อโควิด พบร่วมแบบจำลองที่นำเสนอด้วย LSWE มีความแม่นยำร้อยละ 98.30 ทั้งสามชุดข้อมูลแบบจำลองที่นำเสนอด้วย LSWE ให้ประสิทธิภาพและมีความแม่นยามากที่สุด

Wang et. al. [11] งานวิจัยนี้นำเสนอบรรบจำลองวินิจฉัย โควิด-19 จากภาพถ่ายเอกซเรย์ทรวงอกโดยใช้เครือข่ายน้ำหนักเบา (Lightweight Network) MobileNetV3 ที่ได้รับการปรับปรุงเพิ่มเติมด้วยโครงสร้าง Dense Block และ Layer สำหรับลดขนาดและจำนวนช่อง (Transition Layer) เพื่อลดจำนวนพารามิเตอร์ของแบบจำลอง นอกจากนี้ยังประยุกต์ใช้ loss แบบ label smoothing เพื่อแก้ปัญหาความเหมือนหรือคล้ายคลึงระหว่างข้อมูลแต่ละประเภทผลการทดลองพบว่ามีค่าความถูกต้องร้อยละ 98.71 และมีจำนวนพารามิเตอร์ 5.94 ล้านพารามิเตอร์ (ลดจำนวนพารามิเตอร์ได้สูงสุดถึง 5 เท่าเมื่อเทียบกับ Inception-V3 ที่ใช้ 24 ล้านพารามิเตอร์)



บทความวิจัย

### 3. วิธีดำเนินการวิจัย

#### 3.1 เครื่องมือและซอฟต์แวร์ในการทดลอง

- GPU: Nvidia RTX 4070 SUPER (12GB)
- CPU: Intel Core i9-13900KS
- RAM: 32GB
- Operation System: Ubuntu 22.04 LTS
- Deep Learning Framework: Keras (TensorFlow)
- Programming Language: Python

#### 3.2 การเตรียมข้อมูลและจัดการชุดข้อมูล

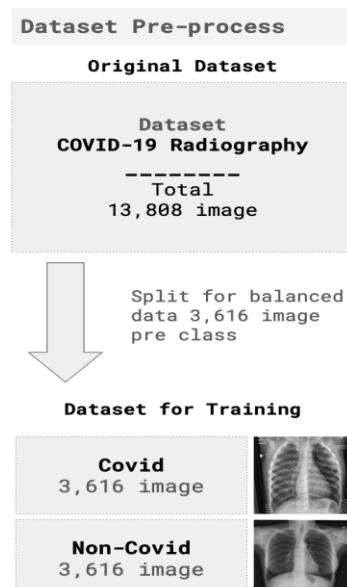
##### 3.2.1 ชุดข้อมูล

การทดลองได้นำชุดข้อมูล COVID-19 Radiography [12] มาใช้ในกระบวนการพัฒนาแบบจำลองซึ่งชุดข้อมูลประกอบไปด้วยภาพจาก CT Scan จำนวน 13,803 ภาพ (เฉพาะ 2 ประเภท มีเชื้อโควิด 3,616 ภาพและไม่มีเชื้อ 10,192 ภาพ) นำมาแบ่งเพื่อสร้างแบบจำลองโดยใช้จำนวนประเภทที่มีน้อยที่สุดเป็นตัวกำหนด คือมีเชื้อโควิด 3,616 ภาพ ไม่มีเชื้อโควิด 3,616 ภาพ (สุ่มคัดเลือกจาก 10,192 ภาพ) และในการทดลองได้ใช้ข้อมูลที่ทั้งสองกลุ่มข้อมูลที่เท่ากันคือ 1,252 ภาพ ดังแสดงในรูปที่ 2 และภาพตัวอย่างชุดข้อมูลในรูปที่ 3

##### 3.2.2 การเตรียมชุดข้อมูล

การแบ่งชุดข้อมูลสำหรับการทดลองแบ่งเป็น 70:20:10 ชุดข้อมูลสำหรับการเรียนรู้ (Training Set) 70% สำหรับชุดข้อมูลการประเมิน (Validation Set) 20% และชุดข้อมูลสำหรับการทดสอบ (Test Set)

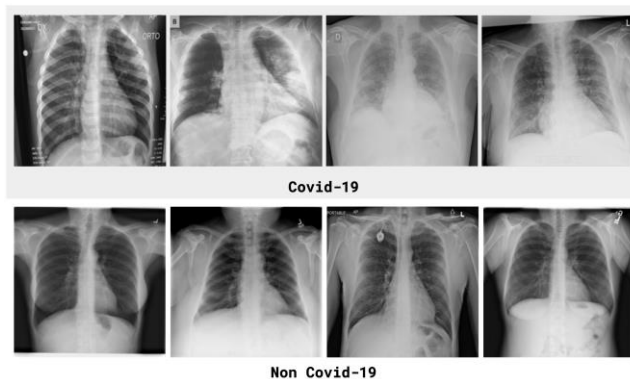
10% และใช้เทคนิคการแบ่งข้อมูลด้วย K-Fold Cross Validation ( $K=5$ ) [1] มาใช้ในการทดสอบประสิทธิภาพแบบจำลองและเพื่อให้ข้อมูลในการพัฒนาแบบจำลองกระจายตัวอย่างสม่ำเสมอ ช่วยให้การประเมินค่าความถูกต้อง (Accuracy) หรือค่าความผิดพลาด (Error) ของโมเดลมีความสอดคล้องกับข้อมูลทั้งหมด ไม่เอิงกับ Train/Test ชุดเดียวและทำให้การประเมินจะมาจากค่าเฉลี่ยของแต่ละ Fold ลดโอกาสที่จะเกิดกรณีผลลัพธ์ผิดปกติจากการแบ่งข้อมูลแบบสุ่มครั้งเดียวดังแสดงในรูปที่ 4 รูปแบบการแบ่งข้อมูลด้วยเทคนิค K-Fold Cross Validation. ( $K = 5$ ) และการแบ่งข้อมูลในการพัฒนาแบบจำลองในการวิจัยนี้แสดงดังรูปที่ 5



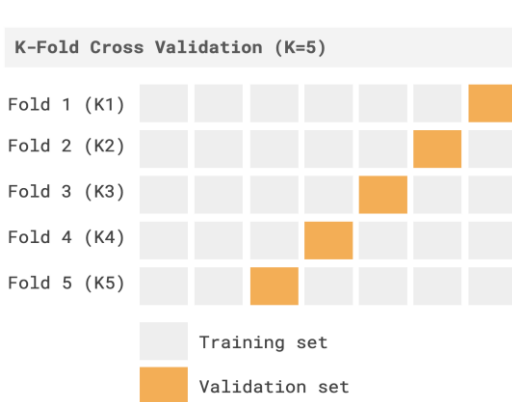
รูปที่ 2 การเตรียมชุดข้อมูลสำหรับการพัฒนาแบบจำลอง



บทความวิจัย



รูปที่ 3 ตัวอย่างชุดข้อมูล ภาพพอดีเชื้อโควิด 19 (บน) ภาพไม่ติดเชื้อโควิด 19 (ล่าง) [11]



รูปที่ 4 รูปแบบการแบ่งข้อมูลด้วยเทคนิค K-Fold

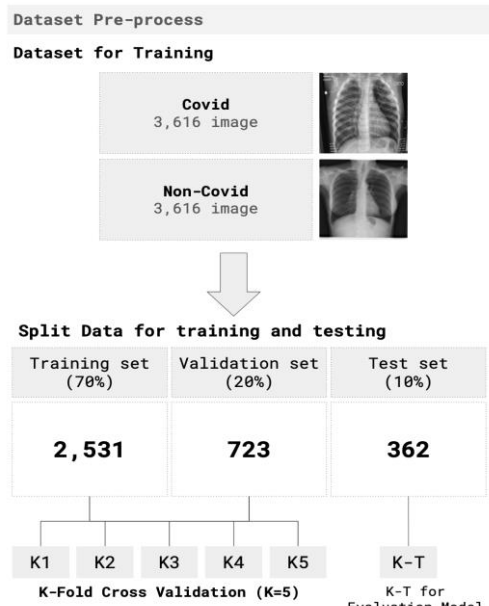
Cross Validation. (K = 5)

### 3.3 การประเมินประสิทธิภาพแบบจำลอง

#### 3.3.1 การวัดค่าความถูกต้อง (Accuracy)

การวัดประสิทธิภาพของการเรียนรู้แบบจำลองได้ใช้การวัดค่าความถูกต้อง (Accuracy) ความถูกต้อง ระหว่างสิ่งที่ทำนายกับสิ่งที่เกิดขึ้นจริงโดยมีสมการใน การคำนวณดังนี้ [1] [13]

$$\text{Accuracy} = \frac{TP + TN}{TP + TN + FP + FN} \quad (1)$$



รูปที่ 5 การแบ่งข้อมูลของชุดข้อมูลในการพัฒนาแบบจำลอง

โดย TP คือค่าที่พยากรณ์ถูกต้องเชิงบวก  
TN คือค่าที่พยากรณ์ถูกต้องเชิงลบ  
FP คือค่าที่พยากรณ์ผิดพลาดเชิงบวก  
FN คือค่าที่พยากรณ์ผิดพลาดเชิงลบ



### 3.3.2 การวัดความสูญเสีย (Loss Function)

ฟังก์ชันที่ใช้ในการวัด "ความผิดพลาด" หรือ "ความแตกต่าง" ระหว่างค่าที่โมเดลทำนายได้กับค่าจริงในการฝึกแบบจำลองทาง Machine Learning หรือ Deep Learning เน้นไปที่การลดค่า Loss Function ให้น้อยที่สุด เป็นการทำให้แบบจำลองมีความแม่นยำในการทำนายมากยิ่งขึ้น [1, 13]

### 3.4 พารามิเตอร์พื้นฐาน (Hyper-Parameters)

ในการทดลองได้กำหนดพารามิเตอร์พื้นฐานเพื่อให้สภาพแวดล้อมมีสภาวะที่เหมือนกันได้แก่

- Batch size 32
- Learning rate 0.001 (ค่าพื้นฐานของ Adam optimizer) [10]
- Epoch 15
- Optimizer Adam [13, 14]

### 3.5 การออกแบบการทดลอง

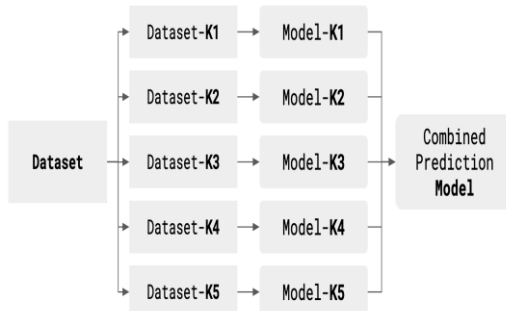
การทดลองแบ่งออกเป็น 3 กลุ่ม กลุ่มที่ 1 สร้างแบบจำลองพื้นฐานจาก keras 38 แบบจำลองที่ได้รับความนิยมดังแสดงในตารางที่ 1 กับชุดข้อมูล COVID-19 Radiography [12] และนำแบบลงที่ได้ค่าความถูกต้องมากที่สุด 3 ลำดับไปใช้ในการทดลองกลุ่มที่ 2 และ 3

กลุ่มที่ 2 ทดลองด้วยวิธีการเชื่อมต่อแบบจำลองโดยใช้เทคนิค Bagging (Bootstrap Aggregating) ร่วมกับชุดข้อมูล 5 ชุด ดังแสดงในรูปที่ 11 ขั้นตอนการพัฒนาแบบจำลองในการวิจัย แบ่งออกเป็น

- รูปแบบที่ 1 ทดลอง 1 แบบจำลองกระบวนการทดลองดังแสดงในรูปที่ 6

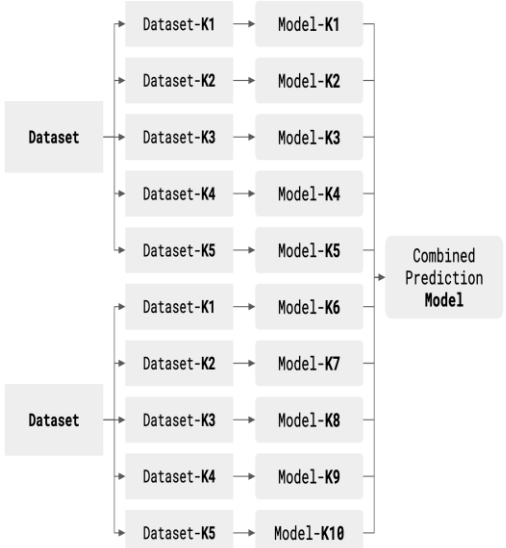
- รูปแบบที่ 2 ทดลอง 3 แบบจำลองกระบวนการทดลองดังแสดงในรูปที่ 7
- รูปแบบที่ 3 ทดลอง 3 แบบจำลองกระบวนการทดลองดังแสดงในรูปที่ 8

Training Process : Group 2 - 1



รูปที่ 6 การทดลองกลุ่มที่ 1

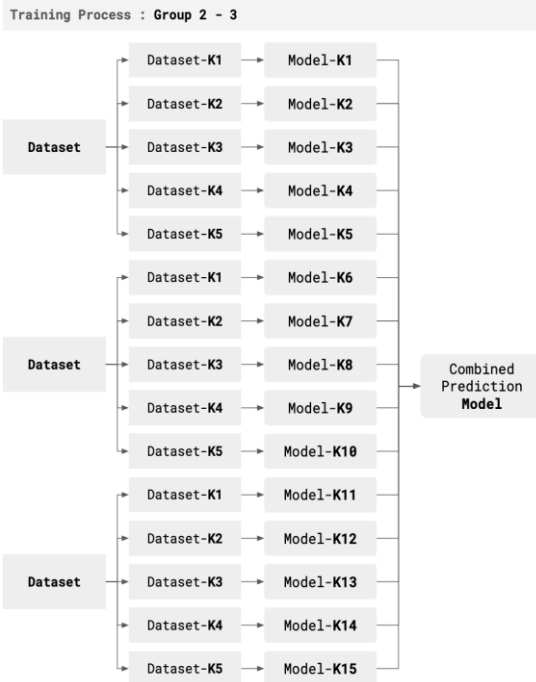
Training Process : Group 2 - 2



รูปที่ 7 การทดลองกลุ่มที่ 2 รูปแบบที่ 2



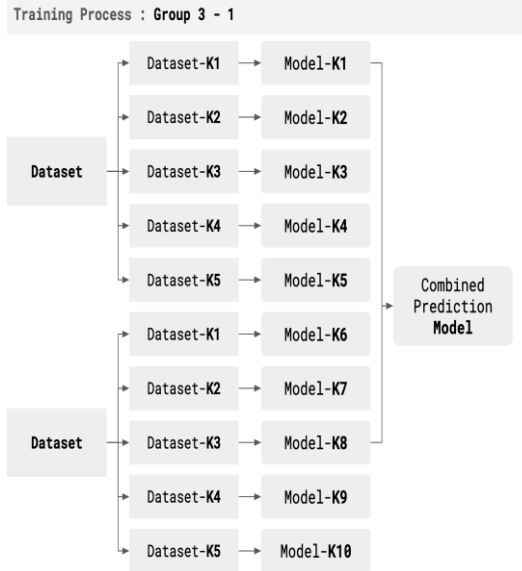
## บทความวิจัย



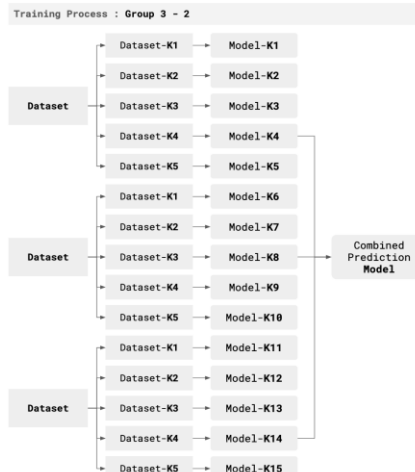
รูปที่ 8 การทดลองกลุ่มที่ 2 รูปแบบที่ 3

กลุ่มที่ 3 ทดลองในลักษณะเดียวกับกลุ่มการทดลองที่ 2 ทดลองด้วยวิธีการเชื่อมต่อแบบจำลองโดยใช้เทคนิค Bagging (Bootstrap Aggregating) และใช้แบบจำลองที่มีค่าความถูกต้องมากที่สุดในแต่ละแบบจำลองจับคู่การทดลองแบ่งออกเป็น

- รูปแบบที่ 1 ทดลองจับคู่ 2 แบบจำลองกระบวนการทดลองดังแสดงในรูปที่ 9
- รูปแบบที่ 2 ทดลองจับคู่ 3 แบบจำลองกระบวนการทดลองดังแสดงในรูปที่ 10



รูปที่ 9 การทดลองกลุ่มที่ 3 รูปแบบที่ 1



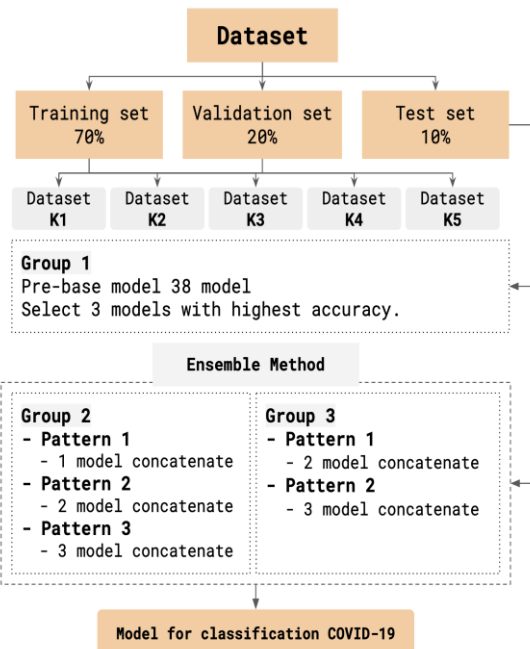
รูปที่ 10 การทดลองกลุ่มที่ 3 รูปแบบที่ 2



บทความวิจัย

**ตารางที่ 1** แบบจำลองที่ได้รับความนิยม 38 แบบจำลอง  
จาก Keras

แบบจำลอง (Model)	ขนาด (MB)
VGG16	528
VGG19	549
MobileNet	16
Xception	88
ConvNeXtTiny	109.42
ResNet50V2	98
MobileNetV2	14
ResNet50	98
EfficientNetB0	29
EfficientNetV2B0	29
EfficientNetV2B1	34
ConvNeXtLarge	755.07
ConvNeXtXLarge	1310
ConvNeXtSmall	192.29
EfficientNetB1	31
ConvNeXtBase	338.58
EfficientNetB2	36
InceptionV3	92
EfficientNetV2B2	42
ResNet101V2	171
ResNet101	171
EfficientNetB3	48
EfficientNetV2B3	59
DenseNet121	33
EfficientNetB4	75
EfficientNetV2S	88
ResNet152V2	232
ResNet152	232
EfficientNetB5	118
DenseNet169	57
EfficientNetB6	166
NASNetMobile	23
DenseNet201	80
EfficientNetV2M	220
EfficientNetB7	256
InceptionResNetV2	215
NASNetLarge	343
EfficientNetV2L	479



**รูปที่ 11** ขั้นตอนการพัฒนาแบบจำลองในการวิจัย

#### 4. ผลการดำเนินการวิจัย

การทดลองแบ่งออกเป็น 3 กลุ่ม กลุ่มที่ 1 สร้างแบบจำลองพื้นฐานจากแบบจำลองที่ได้รับความนิยม 38 แบบจำลองพบว่าแบบจำลองที่มีค่าความถูกต้อง 3 อันดับมากที่สุด ได้แก่ VGG16, MobileNet, DenseNet121 และนำไปใช้ในกลุ่มการทดลองที่ 2 และกลุ่มการทดลองที่ 3 รวมทั้งได้นำเทคนิค K-Fold Cross Validation มาใช้ในการทดสอบแบบจำลองทั้ง 3 กลุ่ม การทดลอง

- แบบจำลอง VGG16 มีค่าความถูกต้องร้อยละ 97.23 และค่าความสูญเสียร้อยละ 0.11
- แบบจำลอง MobileNet มีค่าความถูกต้องร้อยละ 96.96 และค่าความสูญเสียร้อยละ 0.34
- แบบจำลอง DenseNet121 มีค่าความถูกต้องร้อยละ 95.99 และค่าความสูญเสียร้อยละ 0.1



บทความวิจัย

## ตารางที่ 2 ผลการทดลองกลุ่มการทดลองที่ 1

ลำดับ (No.)	การทดลอง (Model)	ความถูกต้อง (Accuracy)
1	VGG16	97.23
2	MobileNet	96.96
3	DenseNet121	95.99

กลุ่มที่ 2 จับคู่การทดลองใช้แบบจำลอง 3 แบบจำลองจากกลุ่มการทดลองที่ 1 โดยใช้เทคนิค Bagging (Bootstrap Aggregating) ร่วมกับชุดข้อมูล 5 ชุด จำนวน 3 รูปแบบการทดลอง

- รูปแบบที่ 1 จับคู่ 1 แบบจำลองพบว่า
  - แบบจำลอง MobileNet มีค่าความถูกต้องร้อยละ 96.96
  - แบบจำลอง VGG16 มีค่าความถูกต้องร้อยละ 92.12
  - แบบจำลอง DenseNet121 มีค่าความถูกต้องร้อยละ 48.06
- รูปแบบที่ 2 จับคู่ 2 แบบจำลองพบว่า
  - แบบจำลอง VGG16 ร่วมกับ MobileNet มีค่าความถูกต้องร้อยละ 49.30
  - แบบจำลอง MobileNet ร่วมกับ DenseNet121 มีค่าความถูกต้องร้อยละ 49.03
  - แบบจำลอง VGG16 ร่วมกับ DenseNet121 มีค่าความถูกต้องร้อยละ 43.23
- รูปแบบที่ 3 จับคู่ 3 แบบจำลองพบว่า
  - แบบจำลอง VGG16 ร่วมกับ MobileNet และ DenseNet121 มีค่าความถูกต้องร้อยละ 52.20

## ตารางที่ 3 ผลการทดลองกลุ่มการทดลองที่ 2

ลำดับ (No.)	การทดลอง (Model)	ความถูกต้อง (Accuracy)
1	MobileNet	96.96
2	VGG16	92.12
3	DenseNet121	48.06
4	VGG16 + MobileNet	49.30
5	MobileNet + DenseNet121	49.03
6	VGG16 + DenseNet121	43.23
7	VGG16 + MobileNet + DenseNet121	52.20

กลุ่มที่ 3 จับคู่การทดลองใช้แบบจำลอง 3 แบบจำลองจากกลุ่มการทดลองที่ 1 โดยใช้เทคนิค Bagging (Bootstrap Aggregating) และใช้แบบจำลองที่มีค่าความถูกต้องมากที่สุดในแต่ละรูปแบบจากกลุ่มการทดลองที่ 2 จำนวน 2 รูปแบบการทดลอง

- รูปแบบที่ 1 จับคู่ 2 แบบจำลองพบว่า
  - แบบจำลอง VGG16 ร่วมกับ MobileNet มีค่าความถูกต้องร้อยละ 49.30
  - แบบจำลอง VGG16 ร่วมกับ DenseNet121 มีค่าความถูกต้องร้อยละ 50.00
  - แบบจำลอง MobileNet ร่วมกับ DenseNet121 มีค่าความถูกต้องร้อยละ 99.30
- รูปแบบที่ 2 จับคู่ 3 แบบจำลองพบว่า
  - แบบจำลอง VGG16 ร่วมกับ MobileNet และ DenseNet121 มีค่าความถูกต้องร้อยละ 42.54



บทความวิจัย

## ตารางที่ 4 ผลการทดลองกลุ่มการทดลองที่ 3

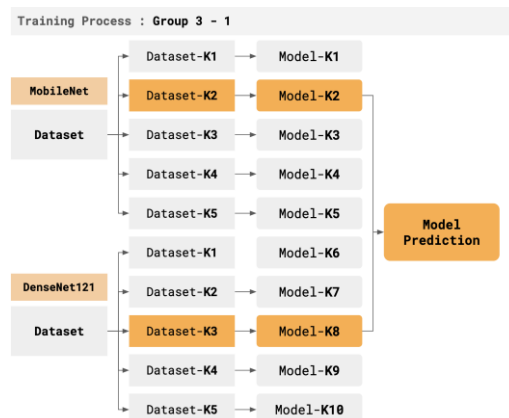
ลำดับ (No.)	การทดลอง (Model)	ความถูกต้อง (Accuracy)
1	MobileNet + DenseNet121	99.30
2	VGG16 + DenseNet121	50.00
3	VGG16 + MobileNet	49.86
4	VGG16 + MobileNet + DenseNet121	42.54

เมื่อเปรียบเทียบผลการทดลองในตารางที่ 5 ซึ่งแสดงให้เห็นว่าจำนวนพารามิเตอร์และเวลาในการเรียนรู้ของแบบจำลองไม่มีความสัมพันธ์กันและแบบจำลองที่มีความซับซ้อนไม่สามารถให้ผลที่ดีตามจำนวนพารามิเตอร์ได้เช่นการทดลองที่ 11 ในตารางที่ 5 มีพารามิเตอร์ 10.36 ล้านตัว ให้ค่าความถูกต้องที่ดีที่สุดเทียบกับการทดลองที่ 10 มีพารามิเตอร์ 125.33 ล้านตัวและเมื่อเปรียบเทียบเวลาที่ใช้ในการเรียนรู้ของแบบจำลองและจำนวนพารามิเตอร์แสดงให้เห็นว่ามีความสอดคล้องกันเมื่อมีจำนวนพารามิเตอร์ที่มากขึ้นเวลาที่ใช้ในการเรียนรู้ของแบบจำลองก็มากขึ้นตามไปด้วย เช่น การทดลองที่ 10 มีพารามิเตอร์มากที่สุด 125.53 ล้านตัว ใช้เวลามากที่สุด 24.20 นาทีขณะที่การทดลองที่ 2 มีพารามิเตอร์น้อยที่สุด 3.28 ล้านตัว ใช้เวลาน้อยที่สุด 1.70 นาที และเมื่อเปรียบเทียบระหว่างเวลาและค่าความถูกต้องไม่มีความสัมพันธ์กันกับแสดงให้เห็นการว่าเลือกแบบจำลองหรือโครงสร้างของแบบจำลองขึ้นหรือเทคนิคในการทดลองอยู่กับ

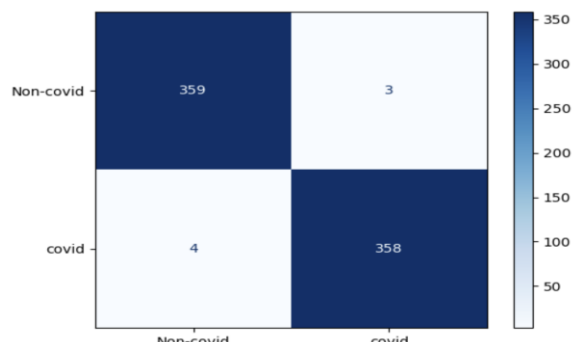
ลักษณะของข้อมูลที่ใช้ในการเรียนรู้รวมทั้งทรัพยากรและเวลา

จากการทดลองทั้ง 3 กลุ่มการทดลองพบว่ากลุ่มการทดลองที่ 3 รูปแบบที่ 1 จับคู่ 2 แบบจำลองดังแสดงในรูปที่ 12 ได้แก่แบบจำลอง MobileNet [15] ร่วมกับ DenseNet121 [16] มีค่าความถูกต้องร้อยละ 99.30 และแสดง Confusion matrix ในการจำแนกในรูปที่ 13 ซึ่งแบบจำลองสามารถจำแนกภาพไม่ติดเชื้อโควิด 19 (Non-covid) ได้อย่างถูกต้องจำนวน 359 ภาพ ( $TN = 359$ ) โดยมีข้อผิดพลาดในการจำแนกว่าติดเชื้อโควิด 19 (covid) เพียง 3 ภาพ ( $FP = 3$ ) และแบบจำลองมีความสามารถในการจำแนกติดเชื้อโควิด 19 (covid) ได้อย่างถูกต้องจำนวน 358 ภาพ ( $TP = 358$ ) มีข้อผิดพลาดในการจำแนกว่าไม่ติดเชื้อโควิด 19 (Non-covid) จำนวน 4 ภาพ ( $FN = 4$ )

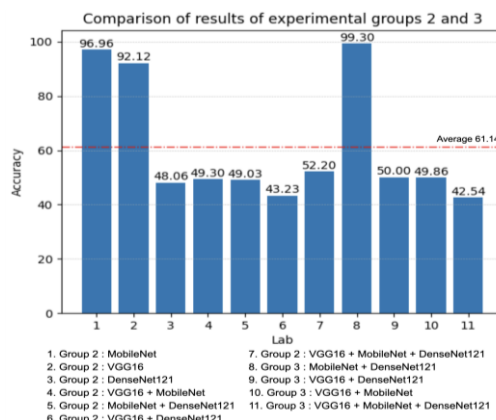
เมื่อเปรียบเทียบกับแบบจำลองในแต่ละกลุ่มพบว่าแบบจำลองกลุ่มที่ 2 รูปแบบที่ 1 แบบจำลอง MobileNet และ VGG16 ให้ค่าความถูกต้องมากที่สุดมากกว่าร้อยละ 90.00 ซึ่งแตกต่างจากแบบจำลอง DenseNet121 ให้ค่าความถูกต้องไม่ถึงร้อยละ 50 แต่เมื่อนำแบบจำลอง MobileNet ร่วมกับแบบจำลอง DenseNet121 ในกลุ่มการทดลองที่ 3 รูปแบบที่ 1 พบว่าให้ค่าความถูกต้องเพิ่มสูงขึ้น ซึ่งเป็นผลมาจากการเลือกแบบจำลองร่วมกับชุดข้อมูลที่ให้ค่าความถูกต้องมากที่สุดดังแสดงรูปแบบการพัฒนาในรูปที่ 12 ซึ่งแตกต่างจากการทดลองกลุ่มที่ 2 ที่นำทุกแบบจำลองจากชุดข้อมูลทั้ง 5 ชุดข้อมูลการรวมกัน และได้แสดงผลการเปรียบเทียบค่าความถูกต้องในรูปที่ 14 โดยเฉลี่ยค่าความถูกต้องคือร้อยละ 61.14



รูปที่ 12 รูปแบบการพัฒนาแบบจำลองที่มีค่าความถูกต้องมากที่สุด MobileNet ร่วมกับ DenseNet121  
(กลุ่มการทดลองที่ 3 รูปแบบที่ 1)



รูปที่ 13 Confusion matrix แบบจำลองกลุ่มที่ 3 MobileNet + DenseNet121 ที่มีค่าความถูกต้องมากที่สุด



รูปที่ 14 กราฟแสดงผลลัพธ์ค่าความถูกต้องกลุ่มทดลองที่ 2 และกลุ่มทดลองที่ 3



ตารางที่ 5 การเปรียบเทียบผลการทดสอบกลุ่มการทดสอบที่ 1 - 3

ลำดับ (No.)	การทดสอบ (Model)	ความถูกต้อง (Accuracy)	เวลา/นาที (Time)	พารามิเตอร์ (Parameter)
<b>กลุ่มการทดสอบที่ 1</b>				
1	VGG16	97.23	02.55	14,739,777
2	MobileNet	96.96	01.70	3,279,041
3	DenseNet121	95.99	01.78	7,087,681
<b>กลุ่มการทดสอบที่ 2</b>				
4	MobileNet	96.96	12.40	16,395,211
5	VGG16	92.12	03.23	73,698,891
6	DenseNet121	48.06	08.41	35,438,411
7	VGG16 + MobileNet	49.30	15.25	90,094,101
8	MobileNet + DenseNet121	49.03	20.41	51,833,621
9	VGG16 + DenseNet121	43.23	11.45	109,137,301
10	VGG16 + MobileNet + DenseNet121	52.20	24.20	125,532,511
<b>กลุ่มการทดสอบที่ 3</b>				
11	MobileNet + DenseNet121	99.30	03.16	10,366,725
12	VGG16 + DenseNet121	50.00	04.19	21,827,461
13	VGG16 + MobileNet	49.86	02.22	18,018,821
14	VGG16 + MobileNet + DenseNet121	42.54	04.49	25,106,503

## 5. สรุปผลการวิจัย

จากการทดสอบเพื่อพัฒนาแบบจำลองสำหรับการจำแนกโควิด 19 จากภาพ CT Scan โดยใช้การเรียนรู้แบบรวมกลุ่มเทคนิค Bagging (Bootstrap Aggregating) พบว่าแบบจำลอง MobileNet ร่วมกับ DenseNet121 ให้ค่าความถูกต้องมากที่สุดความถูกต้องอยู่ที่ 99.30 เป็นจำนวนมาก คลากรทางการแพทย์ที่เกี่ยวข้องกับการตรวจหาโรคโควิด 19 จากภาพ CT Scan ช่วยให้สามารถวินิจฉัยผู้ป่วยได้อย่างมีประสิทธิภาพมากขึ้น ลดความผิดพลาด มีความสะดวกรวดเร็วในการเข้ารับบริการของผู้ป่วย เพิ่มโอกาสการเข้ารักษาได้อย่างรวดเร็วมากยิ่งขึ้น

## 6. เอกสารอ้างอิง

- [1] M.M. Hossain, Md.A.A. Walid, S.M.S. Galib, M.M. Azad, W. Rahman, AS.M. Shafi and M.M. Rahman, COVID-19 detection from chest CT images using optimized deep features and ensemble classification, Systems and Soft Computing, 2024, 6, 200077.
- [2] M.A. Ganaie, M. Hu, A.K. Malik, K. Tanveer and P.N. Suganthan, Ensemble deep learning: A review, Engineering Applications of Artificial Intelligence, 2022, 115, 105-151.



## บทความวิจัย

- [3] H.-C. Kim, S. Pang, H.-M. Je, D. Kim and S.-Y. Bang, Support vector machine ensemble with bagging, *Pattern Recognition with Support Vector Machines*, 2002, 397-408.
- [4] M. LesBlanc and R. Tibshirani, Combining estimates in regression and classification, *Journal of the American Statistical Association*, 1996, 91(436), 1641-1650.
- [3] L. Breiman, Bagging predictors, *Machine learning*, 1997, 24, 123-140.
- [6] S. Chaurasia, A.K. Gupta, P.P. Tiwari, A. Smirti and M. Jangid, DSENetk: An efficient deep stacking ensemble approach for COVID-19 induced pneumonia prediction using radiograph images, *SN Computer Science*, 2025, 6, 68.
- [7] G.N. Chandrika, R. Chowdhury, P. Kumar, K. Sangamithrai, E. Glory and M.D. Saranya, Ensemble learning based convolutional neural network – depth fire for detecting COVID-19 in chest X-Ray images, *Journal of Electronics Electromedical Engineering, and Medical Informatics*, 2024, 7(1), 47-55.
- [8] T. Geroski, V. Rankovic, O. Pavic, L. Dasic, M. Petrovic, D. Milovanovic and N. Filipovic, Enhancing COVID-19 disease severity classification through advanced transfer learning techniques and optimal weight initialization schemes, *Biomedical Signal Processing and Control*, 2025, 100, Part C, 107103.
- [9] S. Kumar and H. Kumar, Efficient-VGG16: A novel ensemble method for the classification of COVID-19 X-ray images in contrast to machine and transfer learning, *Procedia Computer Science*, 2024, 235, 1289-1299.
- [10] S. Asif, M. Zhao, F. Tang and Y. Zhu, LWSE: a lightweight stacked ensemble model for accurate detection of multiple chest infectious diseases including COVID-19, *Multimedia Tools and Applications*, 2024, 83(8), 23967-24003.
- [11] S. Wang, J. Ren and X. Guo, A high-accuracy lightweight network model for X-ray image diagnosis: A case study of COVID detection, *PLoS ONE*, 2024, 19(6), e0303049.
- [12] <https://www.kaggle.com/datasets/tawsifurr-ahman/covid19-radiography-database/>.  
(Accessed on 10 January 2025)



บทความวิจัย

- [13] P. Chedsom and W. Kanarkard, Analysis of student engagement in online classroom using convolutional neural networks (CNN), ECTI Transaction on Application Research and Development, 2023, 3(3), 39-52.  
(in Thai)
- [14] D.P. Kingma and J. Ba, Adam: A method for stochastic optimization, The 3<sup>rd</sup> International Conference for Learning Representations, Proceeding, 2015.
- [15] A.G. Howard, M. Zhu, B. Chen, D. Kalenichenko, W. Wang, T. Weyand M. Andreetto and H. Adam, Mobilenets: Efficient convolutional neural networks for mobile vision applications, arXiv, 2017, 1704.04861.
- [16] G. Huang, Z. Liu, L. Maaten and Q. Weinberger, Densely connected convolutional networks, IEEE conference on computer vision and pattern recognition, Proceedings, 2017, 4700-4708.



# การออกแบบและพัฒนาเครื่องมือสอบเทียบมาตรฐานสำหรับเครื่องวัด ระนาบชนิดมีระดับน้ำ

วิศรุต คงสกุล<sup>1</sup> และ ฤกุวัลย์ จันทรสา<sup>2\*</sup>

<sup>1</sup> ศูนย์สอบเทียบเครื่องมือวัดสำหรับอุตสาหกรรม, คณะวิศวกรรมศาสตร์, มหาวิทยาลัยบูรพา

<sup>2</sup> ภาควิชาวิศวกรรมอุตสาหกรรม, คณะวิศวกรรมศาสตร์, มหาวิทยาลัยบูรพา

\* ผู้ประสานงานเผยแพร่ (Corresponding Author), E-mail: ruephuwc@eng.buu.ac.th

วันที่รับบทความ: 9 มกราคม 2568; วันที่ทบทวนบทความ: 6 มิถุนายน 2568; วันที่ตอบรับบทความ: 11 มิถุนายน 2568

วันที่เผยแพร่อนไลน์: 19 สิงหาคม 2568

บทคัดย่อ: งานวิจัยนี้มีวัตถุประสงค์เพื่อออกแบบและพัฒนาเครื่องมือมาตรฐานสำหรับใช้สอบเทียบเครื่องมือวัดระนาบชนิดมีระดับน้ำที่มีประสิทธิภาพในการใช้งานและใช้ขอรับการรับรองความสามารถห้องปฏิบัติการ ISO/IEC 17025 : 2017 ในขอบข่ายการสอบเทียบระดับน้ำได้ งานวิจัยเริ่มต้นจากการเก็บรวบรวมความต้องการการใช้งานเครื่องมือสอบเทียบฯ ของบุคลากรในห้องปฏิบัติการสอบเทียบจำนวน 30 คน โดยการสัมภาษณ์และการตอบแบบสอบถาม เทคนิคการกระจายหน้าที่เชิงคุณภาพ (QFD) ได้ถูกนำมาประยุกต์เพื่อถ่ายทอดความต้องการสู่ข้อกำหนดเชิงเทคนิคของเครื่องมือสอบเทียบฯ ขั้นตอนต่อมาได้ออกแบบแนวคิดทางเลือกของเครื่องมือสอบเทียบฯ จำนวน 3 แนวคิดและได้คัดเลือกแนวคิดที่ดีที่สุดด้วยเทคนิคการให้คะแนนแนวคิด (Concept Scoring) จากนั้นได้ปรับปรุงแนวคิดสุดท้ายตามคำแนะนำจากผู้เชี่ยวชาญด้านการสอบเทียบและด้านวิศวกรรม ก่อนนำมาสร้างเป็นเครื่องมือสอบเทียบต้นแบบ(Prototype) มีชื่อเรียกว่า Precision Bar การทดสอบเบรียบเทียบประสมประสิทธิภาพระหว่างเครื่องมือสอบเทียบฯ เก่าที่เคยใช้งานอยู่กับเครื่องมือสอบเทียบฯ ที่พัฒนาขึ้นในการศึกษาครั้งนี้ ได้ผลดังนี้ (1) เวลาที่ใช้ในการสอบเทียบลดลงจากเดิม 120 นาที เป็น 52 นาที คิดเป็นลดลง 57%, (2) สามารถสอบเทียบระดับน้ำได้ตามมาตรฐาน JIS B 7510 : 1993 เมื่อนอกนั้น (3) น้ำหนักของเครื่องมือสอบเทียบฯ ลดลงจากเดิม 25 กิโลกรัม เป็น 2 กิโลกรัม (4) เครื่องมือสอบเทียบฯ สามารถปรับพื้นอียงเล็กสุด 1 ช่องสเกล 0.02 มิลลิเมตร/เมตร ได้ และ (5) กำไรต่อการสอบเทียบระดับน้ำเพิ่มขึ้นจาก 200 บาทเป็น 600 บาท นอกจากนี้เครื่องมือสอบเทียบใหม่ยังมีความสามารถในการสอบเทียบได้ทั้งเทียมกับเครื่องมือสอบเทียบมาตรฐานที่นำเข้าจากต่างประเทศและมีราคาถูกกว่าถึง 110,000 บาท หรือคิดเป็นราคาก่อตัวที่ลดลง 73%

**คำสำคัญ:** การสอบเทียบ; เครื่องวัดระนาบชนิดมีระดับน้ำ; เทคนิคการกระจายหน้าที่เชิงคุณภาพ; มาตรฐาน ISO/IEC 17025 : 2017



## Design and Development of Standard Calibrator for Horizontal Spirit Level

Wissarut Kongsagul<sup>1</sup> and Ruephuwan Chantrasa<sup>2\*</sup>

<sup>1</sup> Calibration Center for Industry, Faculty of Engineering, Burapha University

<sup>2</sup> Department of Industrial Engineering, Faculty of Engineering, Burapha University

\* Corresponding author, E-mail: ruephuwc@eng.buu.ac.th

Received: 9 January 2025; Revised: 6 June 2025; Accepted: 11 June 2025

Online Published: 19 August 2025

**Abstract:** The objective of this research is to design and develop a standard calibrator for a horizontal spirit level that is efficient and can be used to obtain the laboratory accreditation ISO/IEC17025: 2017 in the scope of spirit level calibration. The research began with collecting needs for using the calibrator of 30 people in the calibration laboratory by face-to-face interviews and questionnaires. Quality Function Deployment (QFD) was then applied to translate these needs into technical requirements of the calibrator. The next step was to generate 3 design concepts of the calibrator, and the most prominent one was then selected using the concept scoring technique. Subsequently, the selected design concept was finally revised based on recommendations from calibration and engineering experts before developing the prototype, which was called the Precision Bar. A comparative test of performance between the previously used calibrator and the one developed in this study showed the following results; (1) Calibration time has been reduced from 120 minutes to 52 minutes, (2) Spirit levels can be calibrated according to the same JIS B 7510: 1993 standard, (3) The weight of the calibrator has been reduced from 25 kg to only 2 kg, (4) The floor slope of the calibrator can be adjusted as small as 0.02 mm/m per one scale, and (5) Profit from calibration service increased from 200 baht to 600 baht. Moreover, the new calibrator also has the same calibration capability as the standard calibrator imported from abroad, and its cost was 110,000 baht lower, or 73% price reduction.

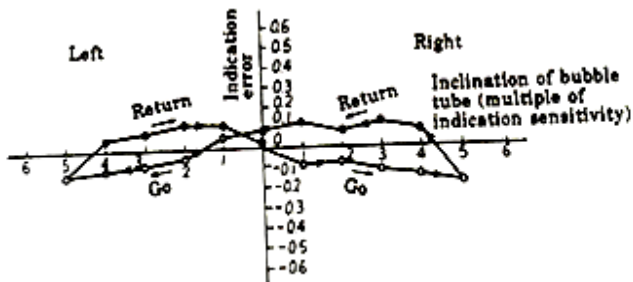
**Keywords:** Calibration; Horizontal spirit level; Quality Function Deployment (QFD); ISO/IEC 17025: 2017



## 1. บทนำ

การสอบเที่ยบเครื่องมือวัด (Calibration) เป็นกระบวนการตรวจสอบความถูกต้องและความแม่นยำของเครื่องมือวัด โดยการวัดเบริญเที่ยบกับเครื่องมือมาตรฐานซึ่งมีความละเอียดถูกต้องสูงมากกว่า เพื่อให้เครื่องมือวัดที่จะนำไปใช้งานมีผลการวัดที่ถูกต้องแม่นยำ เกิดความเป็นธรรมเชิงพาณิชย์เป็นที่ยอมรับได้ในระดับสากล [1-3] และสอดคล้องกับหลักการมาตรฐานวิทยาที่ระบุไว้ในพระราชบัญญัติพัฒนาระบบมาตรฐานวิทยาแห่งชาติ พ.ศ. 2559 ดังนั้นการสอบเที่ยบเครื่องมือวัดจึงเป็นกระบวนการที่มีความสำคัญต่ออุตสาหกรรมการผลิตเป็นอย่างมาก เพราะจะช่วยให้เกิดการตรวจสอบและสร้างความมั่นใจได้ว่าผลการวัดที่ได้จากเครื่องมือวัดนั้นจะมีความถูกต้องและมีความน่าเชื่อถือ เพราะการสอบเที่ยบเครื่องมือวัดนั้นจะส่งผลกระทบต่อทั้งประสิทธิภาพ ความปลอดภัย การบำรุงรักษา ความยั่งยืนของโรงงาน รวมไปถึงคุณภาพของสินค้าและผลิตภัณฑ์ที่ได้โดยตรง [4] ศูนย์สอบเที่ยบเครื่องมือวัดสำหรับอุตสาหกรรมมหาวิทยาลัยบูรพา (CIB-BUU) เป็นหน่วยงานภาครัฐที่มีการให้บริการดังนี้ (1) สอบเที่ยบเครื่องมือวัดทั้งด้านมิติและด้านมวล (2) วัดชิ้นงานตามแบบ GD&T และ (3) จัดฝึกอบรมด้านการวัดและการสอบเที่ยบ [5] โดยมีลูกค้าที่เข้ามาใช้บริการหลัก คือโรงงานอุตสาหกรรมในเขตพื้นที่ภาคตะวันออกและระเบียงเศรษฐกิจพิเศษ EEC ในปัจจุบัน CIB-BUU เป็นห้องปฏิบัติการสอบเที่ยบที่ได้รับการรับรองความสามารถห้องปฏิบัติการสอบเที่ยบตามมาตรฐาน ISO/IEC 17025: 2017 [6] แล้วจำนวนทั้งสิ้น 29 เครื่องมือ และมีแผนงานที่จะขยายขีดความสามารถ

ในการสอบเที่ยบให้เพิ่มขึ้น รวมไปถึงการสอบเที่ยบเครื่องวัดระนาบชนิดมีระดับน้ำ (Horizontal Spirit Level) หรือที่เรียกว่าระดับน้ำ อ้างอิงวิธีการสอบเที่ยบระดับน้ำตามมาตรฐาน JIS B 7510: 1993 [7] สามารถแสดงการเคลื่อนที่ของลูกน้ำภายในท่อ (Bubble Tube) ได้ตามกราฟรูปที่ 1 ในการสอบเที่ยบต้องวัดความเอียงของพื้นที่วางระดับน้ำทั้งทางขวาเมื่อโดยการเคลื่อนที่ของลูกน้ำในทิศทางไปและกลับทั้ง 2 ด้าน เครื่องมือสอบเที่ยบที่ CIB-BUU ใช้งานอยู่ในปัจจุบัน เรียกว่าเครื่อง Level Tester แสดงดังรูปที่ 2 มีลักษณะการทำงานคล้ายกับเครื่อง Angle Generator คือต้องปรับระดับความเอียงของพื้นที่วางระดับน้ำให้ได้ระดับก่อนแล้วจึงปรับค่าความเอียงของพื้น อ่านค่าความเอียงของพื้นด้วย Digital Indicator จำนวน 3 เครื่อง วัดหน่วยเป็น mm ใช้โปรแกรม MS Excel คำนวนหาค่าความเอียงของพื้นในหน่วย mm/m คำนวนหาค่าความคลาดเคลื่อนที่ระดับน้ำอ่านได้กับความเอียงของพื้นจริง โดยเครื่อง Level Tester มีข้อจำกัดการใช้งานได้แก่ (1) ใช้เวลาในการสอบเที่ยบระดับน้ำนานส่งผลให้ต้นทุนดำเนินการสูง (2) วิธีปรับระดับความเอียงของพื้นทำได้ยากและมีโอกาสเกิดความคลาดเคลื่อนมาก และ (3) เครื่องมีขนาดใหญ่และมีน้ำหนักมากทำให้เคลื่อนย้ายลำบากเป็นต้น ดังนั้น CIB-BUU จึงมีแนวคิดที่จะพัฒนาเครื่องมือมาตรฐานสำหรับสอบเที่ยบระดับน้ำขึ้นใหม่ ออกแบบใหม่เป็นประสิทธิภาพในการสอบเที่ยบที่สูงขึ้น เพื่อนำมาทดแทนเครื่องมือสอบเที่ยบที่ เครื่องเก่า และใช้สำหรับของการรับรองความสามารถห้องปฏิบัติการตามมาตรฐาน ISO/IEC17025: 2017 ต่อไป



รูปที่ 1 การสอบเทียบระดับน้ำ JIS B 7510 [8]



รูปที่ 2 เครื่องมือสอบเทียบฯ Level Tester ที่ CIB-BUU ใช้งานในปัจจุบัน

## 2. ทฤษฎีที่เกี่ยวข้อง

### 2.1 เครื่องมือวัดระนาบชนิดมีระดับน้ำ

เครื่องมือสำหรับวัดระดับความเอียงของพื้นชนิดมีฟองอากาศอยู่ในท่อหรือที่นิยมเรียกว่าระดับน้ำ เป็นเครื่องมือที่สามารถอ่านค่าความเอียงของพื้นได้ในหน่วยวัด mm/m นิยมใช้กันมากในโรงงานอุตสาหกรรม เนื่องจากให้ผลการวัดที่มีความถูกต้องสูง มีความละเอียดของผลการวัดมากกว่าระดับน้ำที่ใช้งานทั่วไปที่แสดงผลการวัดเพียงบอกว่าพื้นเอียงไปทางขวาหรือเอียงไปทางซ้ายเท่านั้น โดยเครื่องวัดระดับน้ำชนิดนี้จะมีลักษณะดังรูปที่ 3

สำหรับวิธีการอ่านค่าความเอียงของพื้นด้วยระดับน้ำจะวัดจากจำนวนช่องที่ฟองอากาศลอยผ่าน โดยฟองอากาศจะเคลื่อนที่ไปในทิศทางที่มีพื้นเอียงสูงกว่า

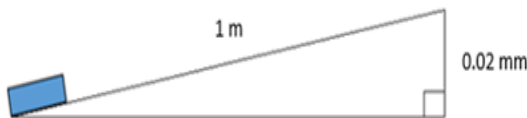


รูปที่ 3 เครื่องวัดระนาบชนิดมีระดับน้ำ

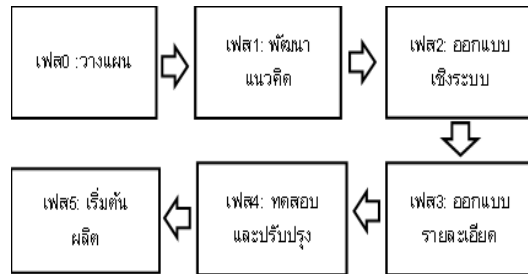
อีกด้านเสมอ เช่น ถ้าระดับน้ำมีฟองอากาศลอยไปทางขวามือ 1 ช่องสเกล ถ้า 1 ช่องสเกลมีค่า 0.02 mm/m จะหมายความว่าพื้นทางด้านขวาของระดับน้ำจะเอียงสูงกว่าด้านซ้าย 0.02 mm ที่ปลายความยาว 1 m ดังรูปที่ 4



บทความวิจัย



รูปที่ 4 พื้นด้านข้างเอียงขึ้น 0.02 mm/m



## 2.2 การพัฒนาผลิตภัณฑ์

การพัฒนาผลิตภัณฑ์ (Product Development) เป็นกระบวนการวิเคราะห์อย่างเป็นระบบ เริ่มต้นด้วยการกำหนดโอกาสของโครงการพัฒนาผลิตภัณฑ์และสิ้นสุดลงที่การผลิตและการส่งมอบผลิตภัณฑ์ให้กับลูกค้า กระบวนการพัฒนาผลิตภัณฑ์ประกอบด้วยขั้นตอนหลัก 6 ขั้นตอน ดังรูปที่ 5

เฟส 0: การวางแผน เป็นขั้นตอนเริ่มต้นก่อนที่โครงการพัฒนาผลิตภัณฑ์จะถูกอนุมัติและเริ่มดำเนินการ ขั้นตอนนี้จะเป็นการกำหนดโอกาส การประเมินสถานการณ์ด้านเทคโนโลยีและการตลาด

เฟส 1: การพัฒนาแนวคิด เป็นขั้นตอนของการเก็บรวบรวมข้อมูลความต้องการ การกำหนดคุณลักษณะ เชิงเทคนิคของผลิตภัณฑ์ การสร้างแนวคิดและคัดเลือกแนวคิดที่เหมาะสม

เฟส 2: การออกแบบเชิงระบบ เป็นขั้นตอนในการกำหนดสถาปัตยกรรมผลิตภัณฑ์ การออกแบบระบบย่อย โดยแสดงในลักษณะของรูปทรงเรขาคณิตของผลิตภัณฑ์

เฟส 3: การออกแบบรายละเอียด เป็นการออกแบบในรายละเอียดทางเทคนิคของชิ้นส่วนต่างๆ ของผลิตภัณฑ์ นิยมแสดงในรูปของพิมพ์เขียวเพื่อใช้ในการผลิตและการจัดซื้อชิ้นส่วน

รูปที่ 5 กระบวนการพัฒนาผลิตภัณฑ์ [8]

เฟส 4: การทดสอบและการปรับปรุง เป็นขั้นตอนในการสร้างผลิตภัณฑ์ต้นแบบ (Prototype) เพื่อทดสอบรูปลักษณะ และการใช้งานของผลิตภัณฑ์ว่าเป็นไปตามที่กำหนดไว้หรือไม่

เฟส 5: การเริ่มต้นผลิต เป็นขั้นตอนในการทดลองผลิตผลิตภัณฑ์ด้วยกระบวนการผลิตที่กำหนดขั้น และการฝึกพนักงานก่อนที่จะทำการผลิตจริงในปริมาณมาก [8]

## 2.3 เทคนิคการกระจายหน้าที่เชิงคุณภาพ

เทคนิคการกระจายหน้าที่เชิงคุณภาพ (Quality Function Deployment: QFD) เป็นเทคนิคที่นิยมใช้ในการศึกษาความต้องการของลูกค้าและสามารถถ่ายทอดความต้องการให้เป็นคุณลักษณะเชิงเทคนิคของผลิตภัณฑ์และงานบริการได้ QFD สามารถดำเนินการด้วยการสร้างเป็นบ้านคุณภาพ (House of Quality) ซึ่งมีส่วนประกอบที่สำคัญ 6 ส่วน ดังรูปที่ 6 การสร้างบ้านคุณภาพจะเริ่มต้นจากส่วน A ซึ่งเป็นการเก็บรวบรวมและกำหนดความต้องการของลูกค้า ส่วน B เป็นการประเมินความสำคัญและความพึงพอใจของลูกค้า ตลอดจนความพึงพอใจของผลิตภัณฑ์คู่แข่งขัน เพื่อคำนวณค่าคงทนดิบ ในส่วน C จะกำหนดคุณลักษณะ



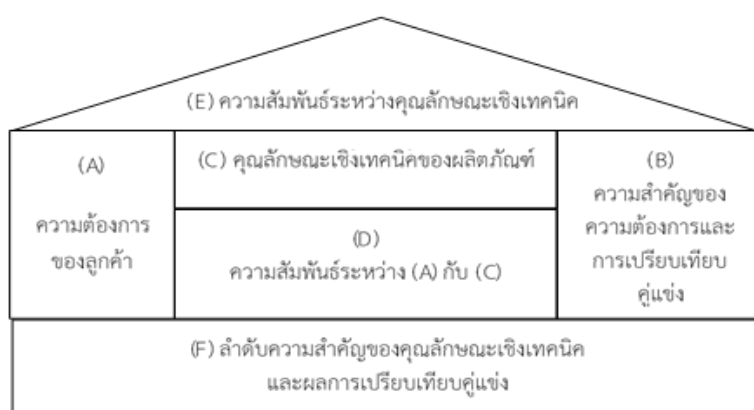
## บทความวิจัย

เชิงเทคนิคของผลิตภัณฑ์ที่สอดคล้องกับความต้องการลูกค้าแต่ละข้อ ในส่วน D เป็นการประเมินความสัมพันธ์ระหว่างส่วน A และ C ด้วยสเกล 0,1,3,9 ในส่วน E เป็นการประเมินความสัมพันธ์ระหว่างคุณลักษณะเชิงเทคนิค ว่ามีความสัมพันธ์ในเชิงบวกหรือเชิงลบต่อกัน ในส่วน F เป็นการคำนวณค่าคะแนนความสำคัญของคุณลักษณะเชิงเทคนิคหรือเรียกว่าค่าอิทธิพล โดยคุณลักษณะเชิงเทคนิคที่มีค่าอิทธิพลสูง หมายถึงมีอิทธิพลต่อความพึงพอใจของลูกค้ามาก ซึ่งในการออกแบบผลิตภัณฑ์ควรให้ความสำคัญต่คุณลักษณะเชิงเทคนิคเหล่านี้ [10]

QFD นับเป็นเครื่องมือที่มีประโยชน์และได้นำไปประยุกต์อย่างแพร่หลายในการออกแบบและพัฒนาผลิตภัณฑ์และสิ่งประดิษฐ์เชิงวิศวกรรม ดังที่ปรากฏในงานวิจัยหลายฉบับ เช่น การประยุกต์ QFD แบบ 2 เมตริกซ์ในการออกแบบผลิตภัณฑ์ชุดโต๊ะเก้าอี้เรียน [11] การบูรณาการ QFD และการยศาสตร์ในการออกแบบเครื่องเลือยก邦อกไม้ไฟ [12] การพัฒนาเครื่องย่อยเศษกิ่งไม้ใบไม้โดยประยุกต์กระบวนการ

ออกแบบผลิตภัณฑ์ร่วมกับ QFD [13] สำหรับการประยุกต์ QFD ในการออกแบบเครื่องมือสอบเทียบเน้นวิศรุต [14] ได้ประยุกต์ QFD เป็นเครื่องมือหลักในงานวิจัยเพื่อออกแบบและพัฒนาอุปกรณ์จับยืดสำหรับการสอบเทียบไขควงวัดแรงบิดตามมาตรฐาน ISO 6789: 2003 (E)

งานวิจัยนี้ จึงมุ่งเน้นประยุกต์ทฤษฎีกระบวนการพัฒนาผลิตภัณฑ์ในการดำเนินการออกแบบและพัฒนาเครื่องมือสอบเทียบระดับน้ำด้วยการใช้เฟสที่ 1 การพัฒนาแนวคิดจนถึงเฟสที่ 4 การทดสอบและการปรับปรุง เพื่อสร้างความมั่นใจว่ามีการดำเนินการที่เป็นระบบ ครบถ้วนและตรวจสอบได้ และประยุกต์หลักการ QFD เป็นแนวทางในการเก็บรวบรวมข้อมูลความต้องการและการกำหนดคุณลักษณะเชิงเทคนิค สร้างความมั่นใจว่าเครื่องมือสอบเทียบที่พัฒนาขึ้นสามารถแก้ไขปัญหาที่เกิดขึ้นจากการใช้งาน เครื่องเดิม ตอบสนองต่อความต้องการและนำมาใช้ในการสอบเทียบระดับน้ำได้อย่างมีประสิทธิภาพ



รูปที่ 6 บันคุณภาพ [9]



### 3. วิธีการดำเนินงานวิจัย

การดำเนินการวิจัยประกอบด้วย 6 ขั้นตอน มีรายละเอียดดังนี้

#### 3.1 รวบรวมข้อมูลความต้องการเกี่ยวกับเครื่องมือสอบเทียบฯ

ขั้นตอนแรกของงานวิจัยเป็นการเก็บรวบรวมข้อมูลความต้องการและปัญหาของเครื่องมือสอบเทียบฯ ที่ CIB-BUU ใช้งานอยู่ในปัจจุบัน โดยข้อมูลความต้องการที่รวบรวมได้จะถูกนำมาจัดกลุ่มเป็นความต้องการหลักด้วย Affinity Diagram ทำให้ได้เป็นความต้องการหลักของเครื่องมือสอบเทียบฯ จำนวน 13 ข้อ

ความต้องการทั้ง 13 ข้อนี้ได้นำมาสร้างเป็นข้อคำถามในแบบสอบถามปลายปิดเพื่อสำรวจระดับความสำคัญและระดับความพึงพอใจ ด้วยระดับคะแนน 1-5 ตาม Likert สเกล โดยกำหนดกลุ่มตัวอย่างเป็นบุคลากรผู้ปฏิบัติงานและมีประสบการณ์ในการสอบเทียบระดับน้ำหนาจำนวน 30 คน ดังตารางที่ 1

ตารางที่ 1 กลุ่มตัวอย่างในการสำรวจระดับความสำคัญของความต้องการ

หน่วยงาน	จำนวน (คน)
สถาบันมาตรฐานแห่งชาติ	5
ห้องปฏิบัติการสอบเทียบได้การรับรอง 17025	10
ห้องปฏิบัติการสอบเทียบไม่ได้การรับรอง 17025	10
บริษัทขายเครื่องมือวัด	5
รวม	30

โดยการสำรวจได้ใช้รูปแบบเป็นแบบสอบถาม Online ด้วย Google Form พร้อมทั้งมีการสัมภาษณ์เพิ่มเติมประกอบด้วย ผลการสำรวจระดับความสำคัญของความต้องการเรียงลำดับคะแนนจากมากไปน้อยดังตารางที่ 2

ตารางที่ 2 ผลการสำรวจความต้องการของเครื่องมือมาตรฐานฯ

ลำดับ	ความต้องการ	ความสำคัญ
1	สอบเทียบระดับน้ำใจทั้ง 2 ฝั่ง ตาม มาตรฐาน JIS B 7510: 1993	4.95
2	สามารถปรับความละเอียดเล็กสุด 1 ช่องสเกล 0.02 mm/m ได้	4.80
3	ใช้เวลาในการสอบเทียบระดับน้ำไม่นาน	4.76
4	เครื่องมือมาตรฐานฯ มีขนาดเล็ก น้ำหนักเบา เคลื่อนย้ายสะดวก	4.75
5	ค่าใช้จ่ายในการนำเครื่องมือ มาตรฐานฯ ไปสอบเทียบไม่สูง	4.60
6	เครื่องมือมาตรฐานฯ มีราคาถูก	4.51
7	มีค่าความไม่แน่นอนในการวัดต่ำ	4.40
8	แยกเฉพาะเครื่องมือวัดความสูงไปสอบเทียบ ไม่ต้องส่งทั้งเครื่อง	4.25
9	สามารถแสดงหน่วยวัด mm/m ขณะสอบเทียบได้	4.22
10	ทำจากวัสดุที่แข็งแรง ทนทาน บำรุงรักษาง่าย	4.20
11	ปรับพื้นอีียงง่าย ไม่เกิดความเมื่อยล้าขณะสอบเทียบ	4.15
12	มีไฟส่องสว่างช่วยในการอ่านขีด สเกล	3.90
13	ลดข้อผิดพลาดในการถ่ายโอน ข้อมูลเพื่อนำไปออกใบ Certificate	3.85



จากการที่ 2 ความต้องการที่ได้ค่านความสำคัญสูงสุด 3 อันดับแรกที่เครื่องมือมาตรฐานจะต้องทำให้ได้คือ (1) ต้องสามารถสอบเทียบระดับน้ำได้ทั้ง 2 ฝั่งตามมาตรฐาน JIS B 7510: 1993 คือลูกน้ำจะต้องลอยได้ทั้งทางด้านข้ามมือและทางด้านซ้ายมือโดยการวางระดับน้ำไว้ในตำแหน่งเดิม ไม่ต้องหมุนระดับน้ำ 180° แล้วมาเสียเวลาในการซ่อมระดับน้ำใหม่ (2) สามารถปรับความละเอียดเล็กสุด 1 ช่องสเกล 0.02 mm/m ได้ เพื่อให้มีขีดความสามารถในการสอบเทียบระดับน้ำให้ครอบคลุมระดับน้ำที่มีความละเอียดสูงได้ (3) ใช้เวลาในการสอบเทียบระดับน้ำไม่นาน ควรจะใช้ตัวปรับความสูงที่สามารถปรับละเอียดได้ง่ายจะช่วยลดเวลา และลดต้นทุนการดำเนินงานสอบเทียบของห้องปฏิบัติการลงได้

### 3.2 ประยุกต์ QFD เพื่อกำหนดคุณลักษณะเชิงเทคนิคของเครื่องมือสอบเทียบฯ

ขั้นตอนนี้เป็นการประยุกต์เทคนิค QFD เพื่อกำหนดและจัดลำดับความสำคัญของคุณลักษณะเชิงเทคนิค เพื่อจะนำไปเป็นแนวทางในการออกแบบเครื่องมือมาตรฐานการสอบเทียบระดับน้ำต่อไป การประยุกต์ QFD จะแสดงในรูปของบ้านคุณภาพ (House of Quality) ดังรูปที่ 7 ในส่วน A ของบ้านคุณภาพแสดงความต้องการ 13 ข้อ ส่วน B ประกอบด้วย B1 และ B2 เป็นคะแนนความสำคัญและความพึงพอใจซึ่งได้มาจากการสำรวจความต้องการ B3 เป็นคะแนนจุดมุ่งหมาย กำหนดโดย CIB-BUU ซึ่งจะมีค่าอย่างน้อยเท่ากับความพึงพอใจหรือสูงกว่าเพื่อเป็นแรงบันดาลใจที่จะให้บรรลุค่าเบื้องตนนี้ B4 เป็นอัตราส่วนการปรับปรุง ซึ่งเกิดจากการคำนวณสัดส่วนของ B3:B2 สำหรับ B5 เป็นค่า

จุดขายซึ่งกำหนดโดย BIE-BUU B6 เป็นการคำนวณค่านิดิบ มีการคำนวณแสดงดังสมการที่ (1)

$$B6 = B1 \times B4 \times B5 \quad (1)$$

ส่วน C ของบ้านคุณภาพแสดงถึงคุณลักษณะเชิงเทคนิคของเครื่องมือสอบเทียบฯ และค่าเบื้องตน โดยที่ค่าเบื้องตนนี้กำหนดขึ้นจากการเทียบเคียง (Benchmarking) ข้อ มูล การปฏิบัติงานของห้องปฏิบัติการสอบเทียบอื่น แล้วพิจารณากำหนดเป็นค่าเบื้องตนที่เหมาะสมสำหรับการออกแบบเครื่องมือสอบเทียบฯ ที่จะพัฒนาขึ้นเชิงน้ำที่ CIB-BUU ผลของบ้านคุณภาพได้คุณลักษณะเชิงเทคนิคของเครื่องมือสอบเทียบฯ จำนวน 10 ข้อ เรียงลำดับตามคะแนนค่าหนักได้ดังตารางที่ 3 โดยคุณลักษณะเชิงเทคนิคที่มีคะแนนค่าหนักสูงสุด ได้แก่ เวลาที่ใช้ในการสอบเทียบไม่เกิน 60 นาที ลำดับที่ 2 ได้แก่ สอบเทียบได้ตามมาตรฐาน JIS B 7510 : 1993 และลำดับที่ 3 ได้แก่น้ำหนักของเครื่องมือสอบเทียบฯ ไม่เกิน 5 กิโลกรัม

ตารางที่ 3 ลำดับความสำคัญและค่าเบื้องตนของคุณลักษณะเชิงเทคนิคเครื่องมือสอบเทียบฯ

ลำดับ	คุณลักษณะเชิงเทคนิค	ค่าเบื้องตน
1	เวลาที่ใช้ในการสอบเทียบ	ไม่เกิน 60 นาที
2	สอบเทียบได้ตามมาตรฐาน JIS B 7510 : 1993	ทำได้ (Yes)
3	น้ำหนักของเครื่องมือมาตรฐาน	ไม่เกิน 5 kg
4	กำไรต่อการสอบเทียบระดับน้ำ 1 เครื่อง	มากกว่า 500 บาท
5	ราคาเครื่องมือมาตรฐาน	ไม่เกิน 50,000 บาท
6	ใช้สุดที่แม่นยำไม่เกิดสนิม	ทำได้ (Yes)
7	แยกเฉพาะตัวสร้างความสูงไป สอบเทียบได้	ทำได้ (Yes)
8	ปรับพื้นอีองเล็กสุด 1 ช่อง สเกล	ทำได้ (Yes)
9	ค่าความไม่แน่นอนในการวัด	น้อยกว่า 0.0030 mm/m
10	แสดงหน่วยวัด mm/m	ทำได้ (Yes)



ทิศทางการพัฒนา											ค่าเป้าหมาย											
											ค่าเป้าหมาย											
ลำดับ	ความต้องการ	ตุณลักษณะเชิงเทคนิค										ตุณลักษณะเชิงเทคนิค										
		% <sup>a</sup> (yes)	C1	C2	C3	C4	C5	C6	C7	C8	C9	% <sup>a</sup> (yes)	C1	C2	C3	C4	C5	C6	C7	C8	C9	
1	สอบเทียบระดับน้ำได้ถูก 2 ฝั่ง ตาม JIS B 7510 : 1993	4.95	9									4.95 (yes)	≤ 50 น้ำตื้น	≥ 50 น้ำตื้น	≤ 500 น้ำตื้น	≥ 500 น้ำตื้น	≤ 50,000 น้ำตื้น	≥ 50,000 น้ำตื้น	≤ 0.030 กม./ชม.	≥ 0.030 กม./ชม.	≤ 0	0
2	สามารถปรับค่าความละเอียดเล็กสุด 1 ช่องเกล็ด 0.02 mm/m ได้	4.80	3	3								4.80 (yes)	≤ 50 น้ำตื้น	≤ 50 น้ำตื้น	≤ 500 น้ำตื้น	≥ 500 น้ำตื้น	≤ 50,000 น้ำตื้น	≥ 50,000 น้ำตื้น	≤ 0.030 กม./ชม.	≥ 0.030 กม./ชม.	≤ 0	0
3	ใช้วาลีในการสอนเพื่อบรรจุน้ำในหมานา	4.76		9								4.76 (yes)	≤ 50 น้ำตื้น	≤ 50 น้ำตื้น	≤ 500 น้ำตื้น	≥ 500 น้ำตื้น	≤ 50,000 น้ำตื้น	≥ 50,000 น้ำตื้น	≤ 0.030 กม./ชม.	≥ 0.030 กม./ชม.	≤ 0	0
4	เครื่องมือมาตรฐานมีขนาดเล็ก น้ำหนักเบา เครื่องมือย้ายสะดวก	4.75			9							4.75 (yes)	≤ 50 น้ำตื้น	≤ 50 น้ำตื้น	≤ 500 น้ำตื้น	≥ 500 น้ำตื้น	≤ 50,000 น้ำตื้น	≥ 50,000 น้ำตื้น	≤ 0.030 กม./ชม.	≥ 0.030 กม./ชม.	≤ 0	0
5	คำใช้ชื่อในการแก้ไขเครื่องมือมาตรฐานไปสอดคล้องไม่สูง	4.60				9						4.60 (yes)	≤ 50 น้ำตื้น	≤ 50 น้ำตื้น	≤ 500 น้ำตื้น	≥ 500 น้ำตื้น	≤ 50,000 น้ำตื้น	≥ 50,000 น้ำตื้น	≤ 0.030 กม./ชม.	≥ 0.030 กม./ชม.	≤ 0	0
6	เครื่องมือมาตรฐานมีรากฐาน	4.51					9					4.51 (yes)	≤ 50 น้ำตื้น	≤ 50 น้ำตื้น	≤ 500 น้ำตื้น	≥ 500 น้ำตื้น	≤ 50,000 น้ำตื้น	≥ 50,000 น้ำตื้น	≤ 0.030 กม./ชม.	≥ 0.030 กม./ชม.	≤ 0	0
7	มีค่าความไม่แน่นอนในการวัดค่า	4.40						9				4.40 (yes)	≤ 50 น้ำตื้น	≤ 50 น้ำตื้น	≤ 500 น้ำตื้น	≥ 500 น้ำตื้น	≤ 50,000 น้ำตื้น	≥ 50,000 น้ำตื้น	≤ 0.030 กม./ชม.	≥ 0.030 กม./ชม.	≤ 0	0
8	แยกเฉพาะเครื่องมือตัวความสูงไปสอดคล้องเท่านั้น	4.25				3			9			4.25 (yes)	≤ 50 น้ำตื้น	≤ 50 น้ำตื้น	≤ 500 น้ำตื้น	≥ 500 น้ำตื้น	≤ 50,000 น้ำตื้น	≥ 50,000 น้ำตื้น	≤ 0.030 กม./ชม.	≥ 0.030 กม./ชม.	≤ 0	0
9	สามารถและง่ายดาย	4.22							9			4.22 (yes)	≤ 50 น้ำตื้น	≤ 50 น้ำตื้น	≤ 500 น้ำตื้น	≥ 500 น้ำตื้น	≤ 50,000 น้ำตื้น	≥ 50,000 น้ำตื้น	≤ 0.030 กม./ชม.	≥ 0.030 กม./ชม.	≤ 0	0
10	ทำจากวัสดุที่แข็งแรง ทนทาน บำรุงรักษาง่าย	4.20										4.20 (yes)	≤ 50 น้ำตื้น	≤ 50 น้ำตื้น	≤ 500 น้ำตื้น	≥ 500 น้ำตื้น	≤ 50,000 น้ำตื้น	≥ 50,000 น้ำตื้น	≤ 0.030 กม./ชม.	≥ 0.030 กม./ชม.	≤ 0	0
11	ปรับที่แม่นยำง่าย ไม่เกิดความเมื่อยล้าและสะสมเพียง	4.15			3					9		4.15 (yes)	≤ 50 น้ำตื้น	≤ 50 น้ำตื้น	≤ 500 น้ำตื้น	≥ 500 น้ำตื้น	≤ 50,000 น้ำตื้น	≥ 50,000 น้ำตื้น	≤ 0.030 กม./ชม.	≥ 0.030 กม./ชม.	≤ 0	0
12	มีไฟส่องสว่างช่วยในการอ่านตัวเลข	3.90		3				3				3.90 (yes)	≤ 50 น้ำตื้น	≤ 50 น้ำตื้น	≤ 500 น้ำตื้น	≥ 500 น้ำตื้น	≤ 50,000 น้ำตื้น	≥ 50,000 น้ำตื้น	≤ 0.030 กม./ชม.	≥ 0.030 กม./ชม.	≤ 0	0
13	ผลข้อผิดพลาดในการถ่ายโอนข้อมูลเพื่อเข้าไปออกใบ Certificate	3.85	3					3		3		3.85 (yes)	≤ 50 น้ำตื้น	≤ 50 น้ำตื้น	≤ 500 น้ำตื้น	≥ 500 น้ำตื้น	≤ 50,000 น้ำตื้น	≥ 50,000 น้ำตื้น	≤ 0.030 กม./ชม.	≥ 0.030 กม./ชม.	≤ 0	0
ตัวหัวน้ำกุญแจลมระเบิดเชิงเทคนิค											127.95	133.26	116.20	101.60	99.41	71.62	87.61	69.35	80.48	98.93		
ตัวหัวน้ำกุญแจลมระเบิดเชิงเทคนิคปิด											13.0	13.5	11.8	10.3	10.1	7.3	8.9	7.0	8.2	10.0		
สัดส่วนความสำคัญ											2	1	3	4	5	9	7	10	8	6		

รูปที่ 7 บันคุณภาพของเครื่องมือสอนเทียนบานชันสำหรับเครื่องวัดระนาบชนิดมีระดับน้ำ



### 3.3 การออกแบบและคัดเลือกแนวคิดของเครื่องมือสอบเทียบฯ

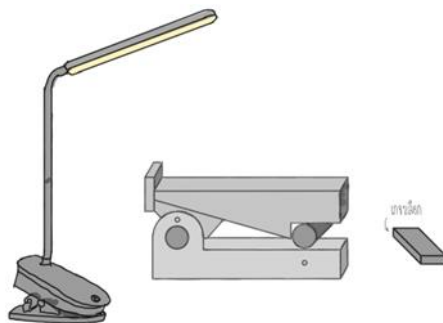
ขั้นตอนนี้เป็นการออกแบบแนวคิดทางเลือก (Concept Design) ของเครื่องมือสอบเทียบฯ โดยเริ่มจากการพิจารณาคุณลักษณะเชิงเทคนิคและค่าเบ้าหมาย 10 ข้อ ที่ได้จากบ้านคุณภาพ จัดให้เป็นองค์ประกอบหลักทางกายภาพของเครื่องมือสอบเทียบฯ และกำหนดวิธีการที่จะนำมาใช้สำหรับแต่ละองค์ประกอบหลัก ตัวอย่างเช่น คุณลักษณะเชิงเทคนิค 3 ข้อ ได้แก่ (1) เวลาที่ใช้ในการสอบเทียบ (2) สอบเทียบได้ตามมาตรฐาน JIS B 7510 : 1993 (3) ปรับพื้นเอียงเล็กสุด 1 ช่องสเกล พิจารณาจัดให้เป็นองค์ประกอบหลัก คือ วิธีการสร้างพื้นเอียง และกำหนดวิธีการ ไว้ 3 ข้อ ได้แก่ (1) ใช้ Gauge Block (2) ใช้ Digital Micrometer Head (3) ใช้เกลี่ยฯ

ละเอียดปรับระดับ เป็นต้น ผลการดำเนินการได้องค์ประกอบหลัก 4 ข้อ ได้แก่ (1) วิธีการสร้างพื้นเอียง (2) ชนิดเครื่องมือที่ส่งไปสอบเทียบ (3) วัสดุที่ใช้ทำตัวเครื่องฯ (4) วิธีการอ่านค่าหน่วยวัด แสดงดังตารางที่ 4

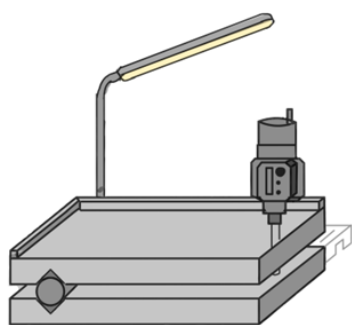
การกำหนดแนวคิดทางเลือกของเครื่องมือสอบเทียบฯ ได้ประยุกต์ใช้เทคนิค Concept Combination Table โดยการจับคู่ระหว่างวิธีการของแต่ละองค์ประกอบหลักให้เกิดเป็นแนวคิดทางเลือกแต่ละแบบขึ้น โดยจะพิจารณาจากความเป็นไปได้และความเหมาะสมในทางปฏิบัติและให้เกิดแนวคิดที่แตกต่างกัน งานวิจัยได้แนวคิดทางเลือกของเครื่องมือสอบเทียบฯ จำนวน 3 แบบ รายละเอียดดังตารางที่ 4 ภาพร่างแนวคิดทั้ง 3 แบบ ตั้งรูปที่ 8-10

ตารางที่ 4 องค์ประกอบหลักและแนวคิดของเครื่องมือสอบเทียบฯ

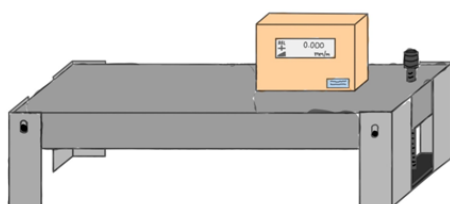
แนวคิดที่	วิธีการสร้างพื้นเอียง	ชนิดเครื่องมือฯที่ส่งไปสอบเทียบ	วัสดุที่ใช้ทำตัวเครื่องฯ	วิธีการอ่านค่าหน่วยวัด mm/m
1	ใช้ Gauge Block	Gauge Block	ทองเหลือง	มีค่าคงที่ตามขนาดของ Gauge Block
2	ใช้ Digital Micrometer Head	Digital Micrometer Head	สเตนเลส สตีล	อ่านค่าจาก Excel โดยใช้สูตรคำนวณ
3	ใช้เกลี่ยฯและเอียดปรับระดับ	Electronic Inclinometer	อลูมิเนียม	อ่านค่าจากเครื่องมือมาตรฐาน



รูปที่ 8 ภาพร่างแนวคิดเครื่องมือฯ แบบที่ 1



รูปที่ 9 ภาพร่างแนวคิดเครื่องมือฯ แบบที่ 2



รูปที่ 10 ภาพร่างแนวคิดเครื่องมือฯ แบบที่ 3

แนวคิดทางเลือกทั้ง 3 แบบจะถูกประเมินคัดเลือกแนวคิดที่ดีที่สุด โดยใช้วิธีการให้คะแนนแนวคิด (Concept Scoring) ด้วยการกำหนดปัจจัยในการคัดเลือกจากความต้องการเครื่องมือฯ ทั้ง 13 ข้อ แสดงดังตารางที่ 2 และใช้ค่าหนัก (Weight) จากคะแนนดิบปกติตามผลที่คำนวณได้จากบันคุณภาพ ประเมินโดยบุคลากรของ CIB-BUU ใช้ระดับคะแนน 1-5 Likert สเกล

ผลการประเมินคัดเลือกแนวคิดเรียงลำดับตามคะแนนมากไปน้อย ได้แก่ แนวคิดที่ 2 ได้ 437.11 คะแนน, แนวคิดที่ 1 ได้ 429.07 คะแนน, และแนวคิดที่ 3 ได้ 425.04 คะแนน งานวิจัยนี้จึงเลือกแนวคิดที่ 2 เป็นแนวคิดสำหรับเครื่องมือสอบเทียบฯ ซึ่งคุณสมบัติและความสามารถที่สำคัญ ดังตารางที่ 5

ตารางที่ 5 คุณสมบัติและความสามารถของเครื่องมือสอบเทียบฯ แนวคิดที่ 2

คุณสมบัติ	ความสามารถ
สอบเทียบได้ตาม JIS B 7510: 1993	ทำได้
วิธีปรับความเอียงของพื้น	ใช้ Digital Micrometer Head
เครื่องมือมาตรฐานที่ใช้ย่านค่าความสูง/ส่วนไปสอบเทียบ	Digital Micrometer Head / 0.001 mm
วัสดุที่ใช้	สเตนเลส สตีล
วิธีอ่านค่าหน่วย mm/m	บันทึกผลการวัดและใช้ Excel คำนวณ
ขนาด	300 mm x 150 mm
ราคประเมิน	50,000 บาท
วิธีสอบเทียบระดับน้ำ	อ่านค่าจากระดับน้ำและจดบันทึกค่าความเอียงของพื้นจากเครื่องมือมาตรฐาน



แนวคิดที่ 2 นี้ได้รับคำแนะนำสำหรับการปรับปรุง โดยผู้เชี่ยวชาญด้านการสอบเทียบ และผู้เชี่ยวชาญด้านวิศวกรรม โดยผู้เชี่ยวชาญด้านการสอบเทียบได้แนะนำให้ปรับปรุงเครื่องมือมาตรฐานฯ ให้มีลักษณะคล้ายกับ Sine Bar โดยการเซตค่าเริ่มต้น (Reference Line) ที่ต้องระดับ Surface Plate จะสามารถทำให้เครื่องมือมาตรฐานมีขนาดเล็กลง และไม่จำเป็นต้องมีฐานรองไว้ และผู้เชี่ยวชาญด้านวิศวกรรมได้แนะนำให้ใช้วัสดุที่เป็นอลูมิเนียมเกรด 1100 ที่มีคุณสมบัติทางเคมีที่โดดเด่นคือทนต่อการกัดกร่อน และมีความเหนียวตัวดีเยี่ยมสามารถตัดขึ้นรูปได้ง่าย, มีน้ำหนักเบา และยังรับน้ำหนักของระดับน้ำได้โดยที่ฐานวางไม่เกิดการเอ็นตัว

#### 4. ผลการวิจัย

##### 4.1 การสร้างต้นแบบเครื่องมือมาตรฐานฯ

###### 4.1.1 การออกแบบและสร้าง

ทำการออกแบบเครื่องมือมาตรฐานสำหรับสอบเทียบระดับน้ำ เครื่องใหม่เรียกว่า Precision Bar ประกอบด้วย

1. Precision Bar
2. Digital Micrometer Head
3. สายส่งสัญญาณผลการวัดไปคอมพิวเตอร์
4. ไฟส่องสว่าง

ประกอบรวมกันตามรูปที่ 11 โดยการปฏิบัติงานต้องวางบนโต๊ะหิน (Surface Plate) และใช้โต๊ะหินในการเซตค่าอ้างอิง(Reference Line) ของระดับน้ำก่อนดำเนินการสอบเทียบ

###### 4.1.2 การวัดขนาดและทดสอบการเอ็นตัว

ทำการวัดขนาด Precision Bar ด้วยเครื่อง CMM เพื่อตรวจสอบขนาดตามพิกัดเพื่อที่กำหนด มาตรฐาน Precision Bar มีขนาดเกินค่า Tolerance จะส่งผลกระทบต่อความเสียงของพื้นที่วางระดับน้ำ และจะส่งผลกระทบต่อค่าความถูกต้องของผลการสอบเทียบได้ สามารถแสดงลักษณะการวัด Precision Bar ด้วยเครื่อง CMM ได้ดังรูปที่ 12 แสดงค่าพิกัดเพื่อและผลการวัดของ Precision Bar ที่ได้จากเครื่อง CMM ดังตารางที่ 6



รูปที่ 11 เครื่องมือมาตรฐาน Precision Bar



รูปที่ 12 การวัด Precision Bar ด้วยเครื่อง CMM



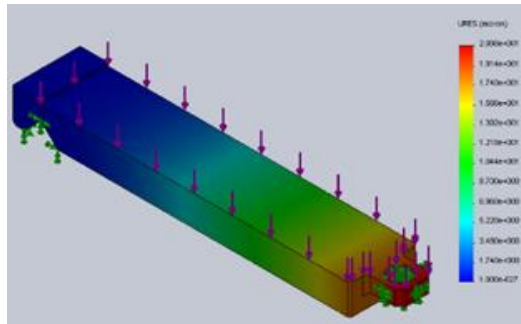
### ตารางที่ 6 ผลการวัด Precision Bar

ตำแหน่งที่วัด	พิกัดเพื่อ	ผลการวัด	เกณฑ์
ความเรียบ	$02 \pm 0.005$	0.016	ผ่าน
ของฐาน	mm	mm	
ความยาว	$290 \pm$	284.459	ผ่าน
ของฐาน	10 mm	mm	

ทำการตรวจสอบการเย่นตัวของ Precision Bar โดยวิธีการจำลอง(Simulation) ด้วยโปรแกรม Solidworks ได้ผลการทดสอบการเย่นตัวสูงสุด  $0.0014 \text{ mm}$  เมื่อโหลดน้ำหนักขนาด  $5 \text{ kg}$  ไว้บน Precision Bar โดยค่าการเย่นตัวสูงสุดที่ยอมรับได้ไม่ควรเกิน  $0.002 \text{ mm}$  แสดงภาพการ Simulation ได้ดัง รูปที่ 13 สังเกตได้ว่าจุดที่รับโหลดมากที่สุดคือบริเวณที่จับยึด Digital Micrometer Head จึงจำเป็นต้องใช้น็อตมากถึง 3 ตัวเพื่อช่วยกระจายแรง และ Precision Bar ไม่ควรยาวเกิน  $290 \text{ mm}$  ถ้าใช้สุดที่เป็นอุฐมิเนียมเกรด 1100 เพราะถ้ายาวกว่านี้จะทำให้ Precision Bar มีการเย่นตัวมากกว่า  $0.002 \text{ mm}$

#### 4.2 เปรียบเทียบผลการวัดระหว่างห้องปฏิบัติการ

ทำการประกอบ Precision Bar เข้ากับ Digital Micrometer Head วางบนโต๊ะระดับภายในสภาวะแวดล้อมที่ควบคุมอุณหภูมิไว้ที่  $20 \pm 2^\circ \text{ C}$  และความชื้นสัมพัทธ์  $55 \pm 15 \% \text{ RH}$  ซึ่งเป็นสภาวะแวดล้อมของห้องปฏิบัติการสอบเทียบด้านมิติ เพื่อทำการสอบเทียบระดับน้ำตามวิธีการมาตรฐาน JIS B 7510: 1993 สามารถแสดงภาพการสอบเทียบระดับน้ำด้วย Precision Bar ได้ดังรูปที่ 14



รูปที่ 13 ภาพจำลองการเย่นตัวของ Precision Bar



รูปที่ 14 ใช้ Precision Bar สอบเทียบระดับน้ำ

ได้ผลการสอบเทียบระดับน้ำ Serial No : PL-150-01 ช่วงการวัด  $0-0.08 \text{ mm/m}$  ตามในรายงานผล CIB24-DC-47014 ดังนี้ ผลการสอบเทียบท่างความมือ  $0.081 \text{ mm/m}$  และทางซ้ายมือ  $0.083 \text{ mm/m}$  และมีค่าความไม่แน่นอนในการวัด  $0.013 \text{ mm/m}$  โดย Precision Bar มีค่าความไม่แน่นอน  $0.0027 \text{ mm/m}$  มาจากการประเมินโอกาสผิดพลาดที่จะเกิดขึ้นของ Precision Bar และประเมินออกมานี่เป็นค่าความไม่แน่นอน อ้างอิงวิธีการประเมินค่าความไม่แน่นอน ตาม JCGM100: 2008 [15]



## บทความวิจัย

เพื่อเป็นการยืนยันถึงความถูกต้องของผลการสอบเทียบ ทางผู้วิจัยจึงได้ใช้ระดับน้ำด้วยกันท่าม การเปรียบเทียบผลการวัดระหว่างห้องปฏิบัติการ เพื่อหาค่า EN ratio สามารถหาค่าได้ตามสมการที่ 2

$$EN \text{ ratio} = \frac{X_{lab} - X_{ref}}{\sqrt{U_{lab}^2 + U_{ref}^2}} \quad (2)$$

เมื่อ  $X_{lab}$  คือ ผลจาก Precision Bar

$X_{ref}$  คือ ผลจากห้องปฏิบัติการมาตรฐาน

$U_{lab}$  คือ ค่าความไม่แน่นอนจาก Precision Bar

$U_{ref}$  คือ ค่าความไม่แน่นอนจากห้องปฏิบัติการ

โดยค่า EN ratio จะต้องมีค่าน้อยกว่า 1 อ้างอิงตาม มาตรฐาน ISO/IEC17043 : 2010 [16] จึงจะสามารถยอมรับผลการสอบเทียบได้ ผลการสอบเทียบจากห้องปฏิบัติการมาตรฐานตามใบรายงานผล S0-09100100/24 ได้ผลการสอบเทียบทางขวามีอ 0.076 mm/m และทางซ้ายมีอ 0.082 mm/m และมีค่าความไม่แน่นอนในการวัด 0.0051 mm/m พบว่าค่า EN ratio ที่ได้มีค่าสูงสุดคือ 0.36 ซึ่งน้อยกว่า 1 แสดงว่าผลการสอบเทียบระดับน้ำด้วย Precision Bar ให้ผลการวัดอยู่ในเกณฑ์ที่ยอมรับได้

ทำการขึ้นทะเบียนเครื่องมือมาตรฐาน Precision Bar ในเอกสารระบบคุณภาพ FR-EQM-01 เพื่อใช้เป็นเครื่องมือมาตรฐานในการสอบเทียบระดับน้ำภายในศูนย์สอบเทียบฯ และใช้ข้อการรับรองความสามารถห้องปฏิบัติการตามมาตรฐาน ISO/IEC17025 : 2017 ในข้อข่ายการสอบเทียบระดับน้ำ

#### 4.3 การประเมินประสิทธิภาพของเครื่องมือสอบเทียบฯ ตามข้อกำหนด ISO/IEC 17025: 2017

การประเมินประสิทธิภาพและความสามารถในการปฏิบัติงานระหว่างเครื่องมือสอบเทียบฯ เครื่องเก่ากับ

เครื่องใหม่ที่พัฒนาขึ้นในงานวิจัยนี้ จำนวน 10 ข้อ พบว่าเครื่องมือสอบเทียบฯ เครื่องใหม่ได้รับผลการประเมินที่ดีกว่าในทุกหัวข้อ ได้ดังตารางที่ 7

ตารางที่ 7 ผลการประเมินประสิทธิภาพระหว่างเครื่องมือสอบเทียบฯ เก่าและใหม่

ลำดับ	หัวข้อ	เครื่องมือ เครื่อง	เครื่องมือ <sup>ใหม่</sup>
1	เวลาที่ใช้ในการ สอบเทียบ	120 นาที	52 นาที
2	สอบเทียบได้ ตาม JIS B 7510	ทำได้	ทำได้
3	น้ำหนักของ เครื่องมือ <sup>มาตรฐาน</sup>	25 kg	2 kg
4	ปรับพื้นเรียบ ละเอียดสุด 0.02 mm/m	ทำไม่ได้	ทำได้
5	กำไรต่อการ สอบเทียบระดับ น้ำ 1 เครื่อง	200 บาท	600 บาท
6	ราคาเครื่องมือ <sup>มาตรฐาน</sup>	90,000 บาท	40,000 บาท
7	เครื่องมือ <sup>มาตรฐานต้อง</sup> รับน้ำหนักของ ระดับน้ำได้ ไม่แย่นตัว	ทำจากเหล็ก ท้าสี	ทำจาก อลูมิเนียม
8	ค่าความไม่ แน่นอนของ เครื่องมือ <sup>มาตรฐาน</sup>	0.0041 mm/m	0.0027 mm/m



## ตารางที่ 7 (ต่อ)

ลำดับ	หัวข้อ	เครื่องมือ เครื่องเก่า	เครื่องมือ <sup>พัฒนาใหม่</sup>
9	สังเครื่องมือ <sup>มาตรฐานไป สอบเทียบกับ ห้องปฏิบัติการ ที่ได้การรับรอง ISO/IEC17025</sup>	มหาวิทยาลัย นุรพาสอบ เทียบเอง <sup>ไม่ได้</sup>	มหาวิทยาลัย นุรพาสอบ เทียบเองได้
10	แสดงหน่วยวัด mm/m ระหว่างการ สอบเทียบ	ทำไม่ได้	ทำได้

### 4.4 พิจารณาคุณสมบัติของเครื่องมือสอบเทียบฯ ตามข้อกำหนด ISO/IEC 17025: 2017

เครื่องมือสอบเทียบฯ ที่ออกแบบและพัฒนาขึ้นใหม่ สำหรับสอบเทียบระดับน้ำเพื่อใช้ในการรับรอง ความสามารถห้องปฏิบัติการ ISO/IEC17025 จะต้องมี คุณสมบัติลดคลั่งตามข้อกำหนดดังนี้

ข้อที่ 6.4 เครื่องมือ (Equipment) เครื่องมือ มาตรฐานต้องมีความสามารถดีกว่าระดับน้ำอย่างน้อย 3 เท่า พ布ว่าเครื่องมือมาตรฐาน Precision Bar มีค่า ความไม่แน่นอน 0.0027 mm/m ระดับน้ำมีค่าความไม่แน่นอนในการวัด 0.013 mm/m แสดงว่า Precision Bar มีความสามารถดีกว่าระดับน้ำถึง 4.8 เท่า

ข้อที่ 6.5 การสอบกลับได้ทางมาตรฐาน (Metrological Traceability) เครื่องมือมาตรฐานต้อง สามารถสอบกลับไปยังมาตรฐานการวัดแห่งชาติหรือ SI Unit ได้ สามารถแสดงหลักฐานการสอบกลับได้จาก

รายงานผลการสอบเทียบของ Digital Micrometer Head ที่สอบเทียบมาจากห้องปฏิบัติการมาตรฐานที่ได้การรับรอง ISO/EIC17025: 2017 ตามใบรายงานผลการสอบเทียบเลขที่ CIB23-DC-43005

ข้อที่ 7.2 การเลือก การทวนสอบ และการตรวจสอบ ความใช้ได้ของวิธี (Selection, Verification and Validation of Methods) เครื่องมือมาตรฐาน Precision Bar จะต้องสามารถสอบเทียบระดับน้ำได้ตามวิธีการ มาตรฐาน JIS B 7510: 1993 ที่ไดரับไว้ว่าต้องสอบเทียบระดับน้ำในการเคลื่อนที่ทั้งทางขวางมือ และทางซ้ายมือในทิศทางไปและกลับตลอดช่วงการวัด

ข้อที่ 7.3 ความมั่นใจในความใช้ได้ของผล (Ensuring the Validity of Results) สามารถแสดงได้ จากค่า EN ratio จากการเบรี่ยบเทียบผลการวัดระหว่าง ห้องปฏิบัติการพบว่าค่า EN ratio มาสูงที่ค่า 0.36 ซึ่ง น้อยกว่า 1 แสดงว่าเครื่องมือมาตรฐาน Precision Bar สามารถสอบเทียบระดับน้ำได้

### 4.5 ประเมินต้นทุนเครื่องมือมาตรฐานเครื่องใหม่

โดยงานวิจัยนี้ได้ประยุกต์ใช้เทคโนโลยีสมัยใหม่ เข้ามาช่วยในการสอบเทียบทามให้ Precision Bar สามารถลดเวลาสอบเทียบลงเมื่อเบรี่ยบเทียบกับ เครื่องมือมาตรฐานเครื่องเก่าถึง 68 นาที คิดเป็น 57% และเครื่องมือมาตรฐานเครื่องใหม่ Precision Bar ยังมีความสามารถในการสอบเทียบระดับน้ำได้ ทัดเทียมกับเครื่องมือมาตรฐานที่นำเข้าจากต่างประเทศซึ่งมีราคาประมาณ 150,000 บาท โดย เครื่องมือมาตรฐานเครื่องใหม่มีราคา 40,000 บาทถูกกว่าถึง 110,000 บาท คิดเป็น 73%



## 5. สรุปผลการวิจัย

งานวิจัยนี้ได้ออกแบบและพัฒนาเครื่องมือมาตรฐานสำหรับสอบเทียบระดับน้ำขึ้นใหม่ ทัดแทนเครื่องเดิมซึ่งเคยใช้งานอยู่ที่ CIB-BUU การดำเนินการวิจัยได้ประยุกต์กระบวนการพัฒนาผลิตภัณฑ์และ QFD เพื่อให้มั่นใจว่าเครื่องมือสอบเทียบฯ ที่พัฒนาขึ้นใหม่สามารถปรับปรุงแก้ไขปัญหาที่เคยเกิดขึ้นในเครื่องเดิม ตอบสนองต่อความต้องการการใช้งาน นำมาใช้ในการสอบเทียบระดับน้ำได้อย่างมีประสิทธิภาพ โดยบทสรุปของงานวิจัยสามารถดำเนินการได้ตรงตามวัตถุประสงค์ดังนี้

- สามารถออกแบบและพัฒนาเครื่องมือสอบเทียบมาตรฐานรูปแบบใหม่สำหรับใช้สอบเทียบระดับน้ำ เรียกว่า Precision Bar ที่มีความสามารถในการสอบเทียบระดับน้ำได้ผลทัดเทียมกับเครื่องมือมาตรฐานที่นำเข้าจากต่างประเทศแต่ใช้เวลาในการสอบเทียบน้อยกว่า และมีราคาที่ถูกกว่า

- เครื่องมือมาตรฐานที่ออกแบบและพัฒนาขึ้นใหม่ Precision Bar ยังมีคุณสมบัติของเครื่องมือมาตรฐานสอดคล้องตามข้อกำหนด ISO/IEC17025: 2017 ได้ทั้ง 4 ข้อ จึงสามารถใช้เป็นเครื่องมือมาตรฐานในการสอบเทียบระดับน้ำ และใช้ข้อการรับรองความสามารถ ห้องปฏิบัติการสอบเทียบในขอบข่ายการสอบเทียบระดับน้ำต่อไปได้

ข้อเสนอแนะในการพัฒนาเครื่องมือสอบเทียบระดับน้ำให้มีประสิทธิภาพสูงขึ้นเน้นภาคต สามารถกระทำได้โดยปรับขนาดความยาวของ Precision Bar ให้มีความยาวเพิ่มขึ้นเป็น 350 mm เพื่อจะได้ใช้สอบเทียบเครื่องมือที่ยาวสุด 300 mm ได้โดยจะต้องเปลี่ยน

วัสดุจากอะลูมิเนียมเกรด 1100 เป็น สแตนเลส สตีล SUS304 ความหนา 12 mm และใช้หัวตอก gangplas M4 จำนวน 3 ตัวในการจับยึด Digital Micrometer Head กับ Precision Bar เพื่อลดผลกระทบจากการเอ่นตัวของ Precision Bar ให้มีค่าไม่เกิน 0.002 mm

## 6. กิตติกรรมประกาศ

ขอขอบคุณมหาวิทยาลัยบูรพาที่ได้มอบทุนสนับสนุนงานวิจัยสำหรับบุคลากร นำไปพัฒนากระบวนการปฏิบัติงานประจำส่วนงานวิจัย (Routine to Research : R2R) จากแหล่งเงิน กองทุนวิจัยและพัฒนา มหาวิทยาลัยบูรพา สัญญาเลขที่ R2R05/2565

## 7. เอกสารอ้างอิง

- [1] A. Chareansuk, and S. Sawatarree, Introduction of metrology by National Institute of Metrology (Thailand), 1<sup>st</sup> Ed., National Institute of Metrology (Thailand), Pathumthani, Thailand, 2005. (in Thai)
- [2] W. Kongsakul, C. Sukmak, and M. Charoenkun, Design and development of smart dial gauge tester, The conference of Industrial Engineering Network (IE Network 2019), Proceeding, 2019, 562-566. (in Thai)
- [3] W. Kongsakul, Design and development of standard instrument for calibration steel ruler with according to reference method JIS B 7516: 2005, The conference of Industrial Engineering Network (IE Network 2024), Proceeding, 2024, 8-13. (in Thai)



บทความวิจัย

- [4] <https://www.cal-laboratory.com/Article/Why calibrate instrument- How important /> (Accessed on 7 January 2025) (in Thai)
- [5] [https://www.cib-buu.com/17454134 /About us\\_](https://www.cib-buu.com/17454134 /About us_) (Accessed on 16 March 2024)
- [6] TISI 17025 – 2561, Laboratory Accreditation, Thai Industrial Standards Institute (TISI), 2017. (in Thai)
- [7] Japanese Standard Association, JIS Handbook Mechanical Instrumentation JIS B 7510: 1993, 2012.
- [8] K.T. Ulrich, and S.D. Eppinger, Product design and development, 5th Ed., McGraw-Hill, New York, USA 2012.
- [9] M. Sasananan, Product design for creating innovative and reverse engineering, 2<sup>nd</sup> Ed., Thammasat University Press, Bangkok, Thailand, 2007. (in Thai)
- [10] L. Cohen, Quality function deployment how to make QFD work for you, Addison-Wesley, MA, USA, 1995.
- [11] T. Pirom, S. Rawangwong, A. Thongkamkaew and C. Hutyee, Design and development product the kindergarten classroom furniture with rubber wood using quality function deployment, The journal of Industrial Technology, 2019, 15(3), 77-92. (in Thai)
- [12] S. Jitman, T. Chaibankud, P. Jamsai, B. Ariyajunya, R. Sukhasem and R. Chantrasa, Development of bamboo tube sawing machine by ergonomics and quality function deployment, Engineering Journal Chiang Mai University, 2021, 28(2), 100-115. (in Thai)
- [13] R. Chantrasa, T. Pedyod, C. Phontree and S. Chantasee, Development of garden waste shredder machine using quality function deployment, The Conference of Industrial Engineering Network (IE Network 2023), Proceeding, 2023, 299-306. (in Thai)
- [14] W. Kongsagul, Design and development of fixture for calibration of torque screwdriver in accordance with ISO 6789: 2003(E) using quality function deployment technique, Thai Industrial Engineering Network Journal, 2018, 4(1), 24-33. (in Thai)
- [15] JCGM100: 2008, Guide to the expression of uncertainty in measurement, Joint Committee for Guides in Metrology, 2008.
- [16] ISO/IEC 17043: 2010, General Requirement for Proficiency Testing, International Organization for Standardization, 2010.



บทความวิจัย

สารสารวิชาการเทคโนโลยีอุตสาหกรรม (The Journal of Industrial Technology)

ISSN (online): 2697-5548

DOI: 10.14416/j.ind.tech.2025.08.006

# การพัฒนาสมบัติการทนความร้อนของอิฐจีโอโพลิเมอร์จากถ้าloy และดินขาวเผาโดยการเติมถ้าชานอ้อย

พิสิทธิ์ พิพย์เสมอ<sup>1</sup> และ ไพบูล พารัน<sup>1\*</sup>

<sup>1</sup> สาขาวิชาวิศวกรรมโยธา, คณะวิศวกรรมศาสตร์, มหาวิทยาลัยศรีปทุม

\* ผู้ประสานงานเผยแพร่ (Corresponding Author), E-mail: paijit.pa@spu.ac.th

วันที่รับบทความ: 25 มีนาคม 2568; วันที่ทบทวนบทความ: 4 มิถุนายน 2568; วันที่ตอบรับบทความ: 13 มิถุนายน 2568

วันที่เผยแพร่อนไลน์: 19 สิงหาคม 2568

**บทคัดย่อ:** งานวิจัยนี้มุ่งศึกษาการพัฒนาอิฐจีโอโพลิเมอร์จากถ้าloyผสมดินขาวเผาและถ้าชานอ้อยเพื่อเพิ่มประสิทธิภาพการป้องกันความร้อน โดยศึกษาผลของการแทนที่ถ้าloyด้วยถ้าชานอ้อยในอัตราส่วนร้อยละ 0 10 20 และ 30 โดยนำหัวตอกคุณสมบัติทางกายภาพและเชิงกล ได้แก่ กำลังรับแรงอัด ความหนาแน่น ความพรุน การดูดซึมน้ำ ค่าสัมประสิทธิ์การนำความร้อน และความสามารถในการต้านทานความร้อนสูง ผลการวิจัยพบว่าการเพิ่มปริมาณถ้าชานอ้อยส่งผลให้ค่าการนำความร้อนลดลงอย่างมีนัยสำคัญ โดยสูตร BA30 มีค่าการนำความร้อนลดลงมากที่สุดถึง 41.1% ( $0.277 \text{ W/m}\cdot\text{K}$ ) ขณะที่กำลังรับแรงอัดมีแนวโน้มลดลงเมื่อเพิ่มปริมาณถ้าชานอ้อย โดยที่อายุ 28 วัน สูตร BA0 BA10 BA20 และ BA30 มีค่ากำลังรับแรงอัดเฉลี่ย 14.23 13.29 8.53 และ 9.18 MPa ตามลำดับ ทั้งนี้ เมื่อพิจารณาคุณสมบัติโดยรวมพบว่าสูตร BA10 มีความเหมาะสมที่สุดโดยมีกำลังอัดสูงกว่าเกณฑ์มาตรฐาน ของ ก.77-2565 ถึง 32.9% ค่าการนำความร้อนลดลง 12.8% มีความทนทานต่อความร้อนสูงสุด โดยรักษากำลังไว้ได้ 18.7% ที่อุณหภูมิ  $1000^\circ\text{C}$  การวิเคราะห์ดัชนีพบร่วมกับอิฐจีโอโพลิเมอร์มีดัชนีพรมาก 4 นาทีต่อก้อน ทั้งยังมีค่าการนำความร้อนต่ำกว่าอิฐมอญและอิฐรุนลือกว่าไปกว่า 40% และสามารถไฟเขียวนานกว่า 4 ชั่วโมง แสดงถึงคุณสมบัติในการป้องกันความร้อนที่เหนือกว่าอย่างชัดเจน

**คำสำคัญ:** อิฐจีโอโพลิเมอร์; ถ้าloyผสมดินขาวเผา; ถ้าชานอ้อย; วัสดุก่อสร้างยั่งยืน



บหคณวิจัย

วารสารวิชาการเทคโนโลยีอุตสาหกรรม (The Journal of Industrial Technology)

ISSN (online): 2697-5548

DOI: 10.14416/j.ind.tech.2025.08.006

## Development of Heat Resistance Properties of Geopolymer Bricks from Fly Ash and Metakaolin by Bagasse Ash Addition

Pisit Tippayasem<sup>1</sup> and Pajit Pawan<sup>1\*</sup>

<sup>1</sup> Department of Civil Engineering, Faculty of Engineering, Sripatum University

\* Corresponding author, E-mail: pajit.pa@spu.ac.th

Received: 25 March 2025; Revised: 4 June 2025; Accepted: 13 June 2025

Online Published: 19 August 2025

**Abstract:** This research aimed to develop geopolymer bricks using fly ash blended with metakaolin and bagasse ash to enhance thermal insulation properties. The study examined the effects of replacing fly ash with bagasse ash at proportions of 0%, 10%, 20%, and 30% by weight on the physical and mechanical properties, including compressive strength, density, porosity, water absorption, thermal conductivity coefficient, and high-temperature resistance. The results showed that increasing the bagasse ash content significantly reduced thermal conductivity, with the BA30 formulation achieving the greatest reduction of 41.1% (0.277 W/m·K). Meanwhile, compressive strength tended to decrease with increasing bagasse ash content. At 28 days, formulations BA0, BA10, BA20, and BA30 exhibited average compressive strengths of 14.23, 13.29, 8.53, and 9.18 MPa, respectively. Overall, the BA10 formulation was found to be optimal, with compressive strength exceeding the TIS 77-2565 standard by 32.9%, thermal conductivity reduced by 12.8%, and maximum heat resistance, retaining 18.7% of its strength at 1000°C. Cost analysis revealed that geopolymer bricks cost approximately 4 baht per unit. It also exhibited thermal conductivity values over 40% lower than those of conventional clay and concrete bricks, and withstood fire exposure for more than 4 hours, clearly demonstrating superior thermal insulation performance.

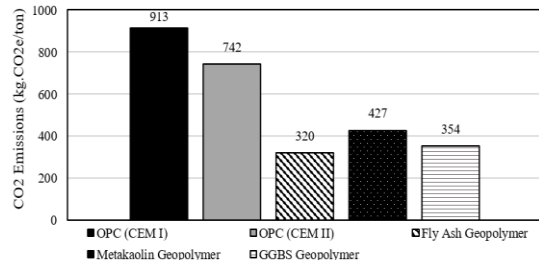
**Keywords:** Geopolymer Bricks; Fly ash mixed with metakaolin; Bagasse ash; Sustainable construction materials



## 1. บทนำ

อุตสาหกรรมการก่อสร้างนับเป็นหนึ่งในภาคส่วนที่ปริมาณการปลั่งงานและปล่อยก๊าซเรือนกระจกในปริมาณมหาศาล โดยเฉพาะอย่างยิ่งในกระบวนการผลิตปูนซีเมนต์ปอร์ตแลนด์ซึ่งเป็นวัตถุดิบหลักในการผลิตคอนกรีต ก่อให้เกิดการปล่อยก๊าซคาร์บอนไดออกไซด์ ( $\text{CO}_2$ ) ประมาณ 1 ton. $\text{CO}_2\text{e}$  ต่อการผลิตปูนซีเมนต์ 1 ตัน [1] ด้วยเหตุนี้ จึงมีการพัฒนาวัสดุทางเลือกชนิดใหม่ที่ปล่อย  $\text{CO}_2$  ต่ำ หนึ่งในนั้นคือ “อิฐโอโพลิเมอร์” ซึ่งเป็นวัสดุเชื่อมประสานชนิดใหม่ที่ไม่ใช้ปูนซีเมนต์ สังเคราะห์ได้จากวัสดุที่มีศิลิ吉และอะลูมิเนียม องค์ประกอบหลัก เช่น เก้าล้อย (Fly Ash) เก้าชานอ้อย (Bagasse Ash) หรือดินขาวเผา (Metakaolin) โดยทำปฏิกิริยากับสารละลายด่าง ซึ่งประกอบไปด้วยโซเดียมไฮดรอกไซด์ (Sodium Hydroxide:  $\text{NaOH}$ ) และโซเดียมซิลิกาเต (Sodium Silicate:  $\text{Na}_2\text{SiO}_3$ ) [2] และสามารถลดการปล่อย  $\text{CO}_2$  ได้ถึง 80% เมื่อเทียบกับคอนกรีตทั่วไป [3-5] ด้วยเหตุนี้ การพัฒนา “อิฐโอโพลิเมอร์” จึงได้รับความสนใจเพิ่มขึ้นในฐานะวัสดุก่อสร้างที่เป็นมิตรต่อสิ่งแวดล้อม

แม้ว่าอิฐโอโพลิเมอร์จะมีข้อดีหลายประการ แต่ยังมีข้อจำกัดที่ต้องพัฒนาปรับปรุง เช่น จากการศึกษาของ Ibrahim et al. [6] พบร่วมกับปูนซีเมนต์จากเก้าล้อยยังมีความหนาแน่นสูง และอิฐโอโพลิเมอร์จากเศษอิฐดินเผาของ El Naggar et al. [7] ที่มีค่าการนำความร้อนที่สูงกว่าอิฐมวลเบา การใช้เก้าชานอ้อยเป็นส่วนผสมเพิ่มในอิฐโอโพลิเมอร์จึงมีความน่าสนใจ เนื่องจากมีศิลิ吉เป็นองค์ประกอบหลักในปริมาณสูง (60-75%) อีกทั้ง มีโครงสร้างที่มีความพรุนสูง ซึ่งอาจช่วยลดความหนาแน่นและค่าการนำความร้อนของวัสดุได้



รูปที่ 1  $\text{CO}_2$  ระหว่างอิฐโอโพลิเมอร์กับปูนซีเมนต์ทั่วไป [3-5]

นอกจากนี้ ในประเทศไทยมีเก้าชานอ้อยเกิดขึ้นปีละประมาณ 0.6 ล้านตัน [8] การนำมาใช้เป็นวัสดุในอิฐโอโพลิเมอร์จึงเป็นการเพิ่มมูลค่าให้กับวัสดุเหลือทิ้งและลดปัญหาสิ่งแวดล้อมไปพร้อมกัน ดังนั้น งานวิจัยนี้จึงมุ่งเน้นการพัฒนาอิฐโอโพลิเมอร์ให้มีคุณสมบัติด้านการป้องกันความร้อนที่ดีขึ้น โดยใช้เก้าล้อย เก้าชานอ้อย และดินขาวเผาเป็นวัตถุดิบหลัก โดยมีวัตถุประสงค์ของงานวิจัยประกอบด้วย 1) เพื่อศึกษาผลของปริมาณเก้าชานอ้อยต่อค่าการนำความร้อนและกำลังอัดของอิฐโอโพลิเมอร์ 2) เพื่อพัฒนาประสิทธิภาพในการป้องกันความร้อนของอิฐโอโพลิเมอร์ที่ผสานเก้าล้อยกับดินขาวเผาโดยใช้เก้าชานอ้อย และ 3) เพื่อเบรริยนเทียนความคุ้มค่าในการผลิตอิฐโอโพลิเมอร์ที่ใช้เก้าล้อยผสานดินขาวเผาและเก้าชานอ้อยกับอิฐทั่วไปชนิดอื่นๆ

## 2. ขั้นตอนการทดลอง

การศึกษานี้ได้ดำเนินการทดลองอย่างเป็นระบบตามขั้นตอนต่อๆ ไปโดยรอบคุณทั้งการเตรียมและการวิเคราะห์ปอชโซล่าตั้งต้น การสังเคราะห์อิฐโอโพลิเมอร์ การทดสอบคุณสมบัติทางกายภาพและเชิงกล และการวิเคราะห์ความเหมาะสมในการนำไปใช้งาน



## 2.1 ขั้นตอนการเตรียมวัสดุในการทดลอง

วัสดุที่ใช้ในการศึกษานี้ประกอบด้วยเกลือย (FA)

Class F (โรงงานไฟฟ้า จ.ระยอง ประเทศไทย) และเกลือย (BA) ที่ได้จากการนำตัวในภาคกลางของประเทศไทย นอกจากนี้ยังใช้ดินขาวเผา (MK) ซึ่งได้จากดินขาวจังหวัดระนอง ประเทศไทย เป็นวัตถุดับหลักในการสังเคราะห์ซิโอลิเมอร์ วัสดุทั้งสามชนิดถูกบดจนมีขนาดอนุภาคผ่านตะแกรงมาตรฐานเบอร์ 325 (45 ไมโครเมตร)

สารละลายอัลคาไลน์ที่ใช้ประกอบด้วยสารละลายโซเดียมไฮดรอกไซด์ ( $\text{NaOH}$ ) ที่ความเข้มข้น 10 มоляร์ และสารละลายโซเดียมซิลิกา ( $\text{Na}_2\text{SiO}_3$ ) ชนิดที่ 2 ( $\text{Na}_2\text{O} 15.35\%$ ,  $\text{SiO}_2 33.3\%$  และ  $\text{H}_2\text{O} 51.81\%$ )

วัสดุเพิ่มเติมที่ใช้เป็นมวลรวมได้แก่ทรายแม่น้ำซึ่งถูกนำมา\_r่อนผ่านตะแกรงมาตรฐานเบอร์ 16 (1.18 มิลลิเมตร)

## 2.2 ขั้นตอนการวิเคราะห์วัสดุตั้งต้าน

2.2.1 การวิเคราะห์องค์ประกอบทางเคมีของวัสดุตั้งต้าน ดำเนินการด้วยเทคนิค X-ray Fluorescence (XRF) ตามมาตรฐาน ASTM C114 เพื่อประเมินปริมาณออกไซด์หลัก ได้แก่  $\text{SiO}_2$ ,  $\text{Al}_2\text{O}_3$  และ  $\text{Fe}_2\text{O}_3$  ตามเกณฑ์มาตรฐาน ASTM C618 ผลการวิเคราะห์ตามตารางที่ 1 พบว่า เกลือยและดินขาวเผามีผลกระทบของออกไซด์ทั้งสามสูงถึง 91.66% และ 94.69% ตามลำดับแสดงถึงศักยภาพที่ดีในการเป็นวัสดุหลักสำหรับการสังเคราะห์ซิโอลิเมอร์ ส่วนเกลือยอ้อย แม้มีปริมาณซิลิกาสูงแต่มีอะลูมิเนียมอยู่ในระดับต่ำ จึงไม่เหมาะสมสมที่จะใช้เป็นวัสดุตั้งต้านหลัก แต่สามารถนำมาใช้เป็นวัสดุเสริม ผสมเพิ่มเพื่อปรับปรุงคุณสมบัติเฉพาะได้

ตารางที่ 1 องค์ประกอบทางเคมีของวัสดุตั้งต้าน (% โดยน้ำหนัก)

องค์ประกอบ	เกลือย	เกลือย อ้อย	ดินขาว
$\text{SiO}_2$	67.50	63.10	53.52
$\text{Al}_2\text{O}_3$	20.04	2.91	39.76
$\text{Fe}_2\text{O}_3$	4.12	2.07	1.41
$\text{CaO}$	1.40	2.49	0.06
$\text{MgO}$	0.53	1.97	0.15
$\text{SO}_3$	0.26	0.20	0.03
$\text{Na}_2\text{O}$	0.30	0.20	0.04
$\text{K}_2\text{O}$	1.14	2.45	2.34
$\text{P}_2\text{O}_5$	0.36	1.72	0.03
$\text{TiO}_2$	1.28	0.21	0.06
$\text{MnO}$	0.05	0.21	0.07
$\text{ZrO}_2$	0.07	0.02	-
$\text{BaO}$	0.06	0.05	-
$\text{SrO}$	0.07	0.02	-
$\text{Rb}_2\text{O}$	-	-	0.08
$\text{ZnO}$	0.02	-	-
LOI	2.81	22.30	2.46

ทั้งนี้อัตราส่วนระหว่าง  $\text{SiO}_2$  ต่อ  $\text{Al}_2\text{O}_3$  ยังเป็นปัจจัยสำคัญที่มีผลต่อโครงสร้างภายในและสมบัติเชิงวิศวกรรมของซิโอลิเมอร์ โดยมีอัตราส่วน  $\text{Si}/\text{Al}$  อยู่ในช่วง 1.5–2.5 ตามงานวิจัยของ Wang et al. [9] เพื่อให้ได้โครงสร้างเจลที่มีความเสถียร และในกรณีที่ต้องการความทนทานต่ออุณหภูมิสูง ควร มีอัตราส่วนใกล้เคียง 3 ตามแนวคิดของ Davidovits (1994) [1] โดยเกลือยที่มีอัตราส่วน  $\text{SiO}_2/\text{Al}_2\text{O}_3$  ประมาณ 3.37 จึงมีความเหมาะสมอย่างยิ่งต่อการสังเคราะห์วัสดุซิโอลิเมอร์ที่ทนความร้อนสูง เนื่องจากมีปริมาณอะลูมินาเพียงพอที่จะทำหน้าที่เป็นตัวกระตุ้นการเกิดปฏิกิริยา และเชื่อมโยงโครงสร้างเจลอย่างมีประสิทธิภาพ ส่วนดินขาวเผาที่มีอัตราส่วนต่ำเพียง 1.34 ทำให้เหมาะสมสำหรับ



## บทความวิจัย

ปรับสมดุล Si/Al ในระบบ เพื่อลดอัตราส่วนลงให้อยู่ในช่วงที่เหมาะสม

ในทางตรงกันข้าม เถ้าชานอ้อยที่มีอัตราส่วน  $\text{SiO}_2/\text{Al}_2\text{O}_3$  สูงถึง 21.68 ซึ่งเกินช่วงที่เหมาะสมอย่างมีนัยสำคัญ จัดอยู่ในกลุ่มวัสดุที่มีซิลิกาสูง (High-silica Material) ที่ส่งผลให้มีความไวต่อการเกิดปฏิกิริยา (Reactivity) ต่ำกว่าวัสดุปอชโซล่าอนิ่น เนื่องจากกลไกการสังเคราะห์จีโอโพลิเมอร์ โครงสร้าง Si-O-Al จะก่อตัวขึ้นในลำดับแรก เนื่องจาก  $\text{Al}^{3+}$  มีประจุที่สูงกว่า และสามารถเห็นได้จากการเกิดปฏิกิริยาได้ง่ายกว่า  $\text{Si}^{4+}$  ส่วนพันธะ Si-O-Si จะเกิดในลำดับถัดไป เนื่องจากต้องใช้พลังงานกระตุ้นสูงกว่า ทำให้การสลายโครงสร้างซิลิกาตและการก่อตัวของเจลจีโอโพลิเมอร์ (Geopolymer Gel Formation) เกิดขึ้นได้ช้า ส่งผลให้ต้องใช้เวลานานกว่าในการบ่มแข็งและอาจได้กำลังอัดต่ำกว่าเมื่อเปรียบเทียบกับวัสดุที่มีอัตราส่วน Si/Al ในช่วงที่เหมาะสม

อย่างไรก็ตาม แม้ว่าจะไม่เหมาะสมแก่การใช้เป็นวัตถุคุบลักษณะเดียว แต่เมื่อใช้ร่วมกับวัสดุปอชโซล่าอนิ่น ในสัดส่วนที่เหมาะสม จะช่วยเพิ่มปริมาณซิลิกาในระบบ และเสริมสมบัติเชิงพาณิชย์ ของการของจีโอโพลิเมอร์ โดยเฉพาะในด้านการลดความหนาแน่น ซึ่งส่งผลดีต่อสมบัติการเป็นผนวานความร้อน ซึ่งเป็นประโยชน์ต่อการพัฒนาวัสดุก่อสร้างสมรรถนะสูงได้

2.2.2 การวิเคราะห์องค์ประกอบทางแร่ด้วยเทคนิค X-ray Diffraction (XRD) โดยใช้  $\text{CuK}\alpha$  Radiation (ที่ความต่างศักย์ 40 kV และกระแส 35 mA) ตั้งค่า Step Size ที่ 0.02° พ ร า ဝ า เ ლ า ต อ ห น ิ ง Step ที่ 0.4 วินาที ภายใต้ช่วงการสแกน 5°- 80° ตามมาตรฐาน ASTM C1365 แสดงดังรูปที่ 2

ผลวิเคราะห์ XRD แสดงความแตกต่างของโครงสร้างวัสดุตั้งต้น โดยถ้าลองมีลักษณะอันฐานสูง สังเกตจาก Broad Hump ในช่วง 20 ระหว่าง 15-35° ซึ่งเอื้อต่อการเกิดปฏิกิริยา เถ้าชานอ้อยมีโครงสร้างผลึกสูง โดยมีพีคของคาดตัวซึ่งคริสโตบาไลต์ที่ชัดเจน ส่วนดินขาวเมาลิกชนิดโครงสร้างกึ่งอันฐานผสมกับโครงสร้างผลึก ความแตกต่างนี้ส่งผลโดยตรงต่อความว่องไวในการทำปฏิกิริยา กับสารละลายต่าง

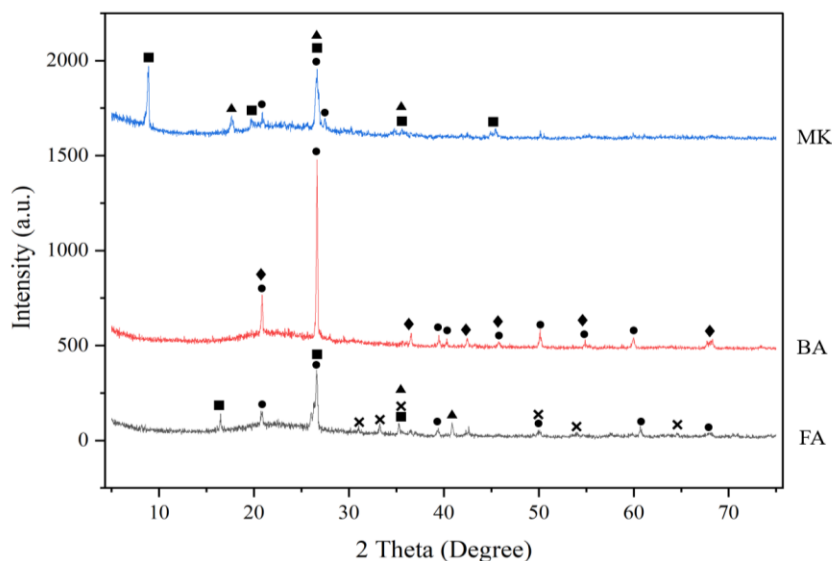
2.2.3 การวิเคราะห์ลักษณะทางจุลภาคด้วยกล้องจุลทรรศน์อิเล็กตรอนแบบส่อง粒 (SEM) ตามมาตรฐาน ASTM C1723 ร่วมกับ Energy Dispersive X-ray Spectroscopy (EDX) แสดงดังในรูปที่ 3 การวิเคราะห์โครงสร้างจุลภาคด้วย SEM แสดงความแตกต่างทางกายภาพที่ชัดเจน โดยถ้าลองมีอนุภาครูปร่างค่อนข้างกลม (Spherical Shape) ซึ่งช่วยให้มอร์ตาร์ไหลตัวได้ดี และเพิ่มความหนาแน่นของวัสดุ เถ้าชานอ้อยมีโครงสร้างรูพรุนสูง อนุภาคนี้ไม่สม่ำเสมอ และมีพื้นผิวขรุขระ ส่วนดินขาวเมาลิกส่องรั้งเป็นแผ่นบางซ้อนทับกัน (Platelet) มีขนาดอนุภาคลีก ( $<2 \mu\text{m}$ ) ซึ่งเอื้อต่อการละลายของอะลูมิโนซิลิกาในสารละลาย ต่าง ลักษณะเฉพาะเหล่านี้มีอิทธิพลโดยตรงต่อคุณสมบัติของจีโอโพลิเมอร์ที่ได้

### 2.3 ขั้นตอนการเตรียมตัวอย่าง

การศึกษานี้กำหนดสัดส่วนผสมโดยใช้ปริมาณเถ้าชานอ้อยแตกต่างกันที่ 0% 10% 20% และ 30% โดยน้ำหนัก เพื่อแทนที่ถ้าลอง และมีการกำหนดใช้รัลลส์สูตรผสมเป็น BAO BA10 BA20 และ BA30 ตามลำดับ ทั้งนี้ในทุกสูตรได้กำหนดให้ใช้ดินขาวเมาลิกขนาดที่ 20% ของวัสดุปอชโซล่าทั้งหมด โดยมีรายละเอียดสัดส่วนการผสม  $\text{SiO}_2/\text{Al}_2\text{O}_3$  แสดงดังตารางที่ 2

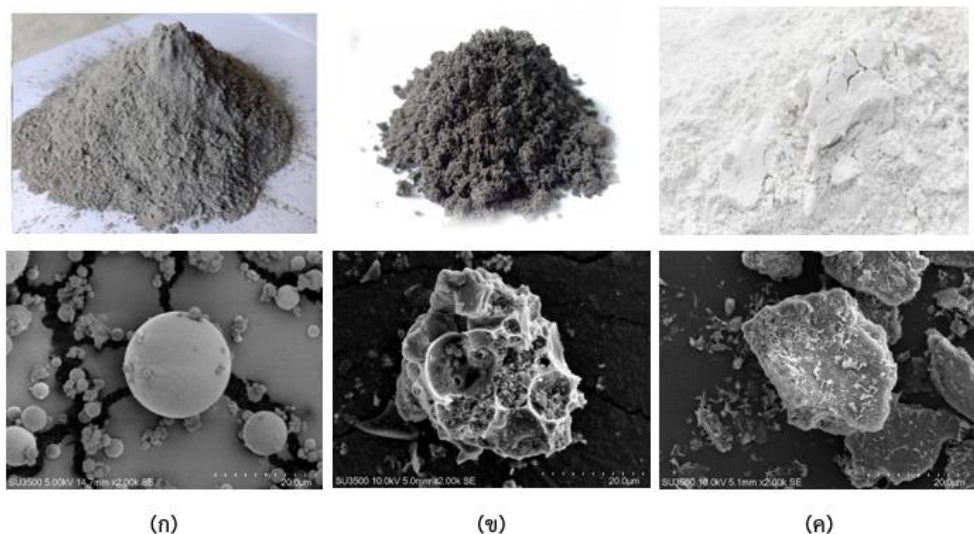


บทความวิจัย



หมายเหตุ: ● = Quartz ( $\text{SiO}_2$ , JCPDS 01-089-8934), ■ = Muscovite ( $\text{KAl}_2 \cdot \text{AlSi}_3\text{O}_{10} \cdot \text{OH}_2$ , JCPDS 00-007-0025),  
▲ = Mullite ( $3\text{Al}_2\text{O}_3 \cdot 2\text{SiO}_2$ , JCPDS 00-001-1059), ✕ = Hematite ( $\text{Fe}_2\text{O}_3$ , JCPDS 00-001-1053),  
◆ = Cristobalite ( $\text{SiO}_2$ , JCPDS 00-003-0257)

รูปที่ 2 รูปแบบการเลี้ยวเบนรังสีเอกซ์ของถ้าลอย เถ้าchanอ้อย และดินขาวเผา



รูปที่ 3 โครงสร้างจุลภาค ของ (ก) ถ้าลอย (ข) ถ้าchanอ้อย และ (ค) ดินขาวเผา ที่กำลังขยาย 2000 เท่า



## ตารางที่ 2 อัตราส่วนผสมเจือโพลิเมอร์ตัวร์จากถ้าลอยและดินขาวเพาผสกนกับถ้าชานอ้อย

Mix	FA (g)	BA (g)	MK (g)	NaOH 10M (g)	Na <sub>2</sub> SiO <sub>3</sub> (g)	Sand (g)	SiO <sub>2</sub> : Al <sub>2</sub> O <sub>3</sub>
<b>BA0 (Control)</b>	500	0	100	300	300	1,200	2.34
<b>BA10</b>	450	50	100	300	300	1,200	2.58
<b>BA20</b>	400	100	100	300	300	1,200	2.85
<b>BA30</b>	350	150	100	300	300	1,200	3.16

ก่อนการผสม เถ้าชานอ้อยจะถูกกระตุนให้ไวต่อการเกิดปฏิกิริยาด้วยการแขวนในสารละลายนาโนโซเดียมไฮดรอกไซด์ NaOH 10 โมลาร์ ตามวิธีการของ Kittisayarm et al. [10] โดยเป็นกระบวนการถ่ายโอนโครงสร้างซิลิเกตอสัมฐาน ที่ทำให้เกิดไอออน Si(OH)<sub>4</sub> และ Al(OH)<sub>4</sub><sup>-</sup> บนพื้นผิว ซึ่งเป็นขั้นตอนที่จำเป็นสำหรับการสังเคราะห์เจือโพลิเมอร์ที่มีประสิทธิภาพ จากนั้นจึงผสมกับวัสดุป้องโชลนอื่นๆ แล้วค่อยเติมสารละลายนโซเดียมซิลิเกตที่ทำหน้าที่เสริมปริมาณซิลิกาในระบบ อันเป็นองค์ประกอบหลักในการกระตุนโครงสร้างเจลชนิด N-A-S-H (Sodium Alumino-Silicate Hydrate gel) ของเจือโพลิเมอร์ จากนั้นผสมให้เข้ากันดีแล้วจึงเติมทราราย สุดท้ายนำส่วนผสมเทลงในแบบหล่อขนาด 2.5×2.5×2.5 ซม<sup>3</sup>. (สำหรับทดสอบกำลังอัด) และขนาด 15×15×2.5 ซม<sup>3</sup>. (สำหรับทดสอบค่าการนำความร้อน) เขย่าแบบหล่อเพื่อไล่ฟองอากาศบ่มที่อุณหภูมิห้อง ( $25\pm2^\circ\text{C}$ ) เป็นเวลา 48 ชั่วโมง จากนั้นถอดแบบ และบ่มต่อจนกว่าอายุทดสอบที่ 7 และ 28 วัน โดยเตรียมตัวอย่าง 3 ชิ้นต่อสูตรผสม และอายุทดสอบตามมาตรฐาน ASTM C109

### 2.4 ขั้นตอนการทดสอบคุณสมบัติ

การทดสอบกำลังรับแรงอัดดำเนินการตามมาตรฐาน ASTM C109 โดยใช้ตัวอย่างทรงลูกบาศก์ขนาด 2.5×2.5×2.5 ซม<sup>3</sup> ที่อายุ 7 และ 28 วัน ด้วยอัตราการให้แรงกด 1.4 kN/s ส่วนการทดสอบความหนาแน่น ความพรุน และการดูดซึมน้ำเป็นไปตามมาตรฐาน ASTM C642 ที่อายุ 28 วัน

ในด้านการทดสอบความสามารถในการต้านทานความร้อนสูงดำเนินการตามแนวทางของ RILEM TC 129-MHT โดยให้ความร้อนแก่ตัวอย่างที่อุณหภูมิ 500°C 800°C และ 1000°C ด้วยอัตราการเพิ่มอุณหภูมิ 2°C/นาที และคงอุณหภูมิไว้ 2 ชั่วโมง การทดสอบค่าสัมประสิทธิ์การนำความร้อนดำเนินการโดยใช้วิธี Guarded Hot Plate ตามมาตรฐาน ASTM C177 กับตัวอย่างแผ่นสีเหลี่ยมขนาด 15×15×2.5 ซม<sup>3</sup>. ที่อายุ 28 วัน โดยตั้งค่าความแตกต่างของอุณหภูมิระหว่างด้านร้อนและด้านเย็นที่ 20°C

ส่วนโครงสร้างจุลภาคของตัวอย่างถูกวิเคราะห์ด้วย SEM/EDX ทั้งก่อนและหลังการให้ความร้อน เพื่อศึกษาการเปลี่ยนแปลงภายในโครงสร้างจุลภาคของเจือโพลิเมอร์ที่สัดส่วนผสมต่างๆ



## 2.5 ขั้นตอนการวิเคราะห์สัดส่วนผสมที่เหมาะสม

การวิเคราะห์หาสัดส่วนผสมที่เหมาะสมสำหรับการวิเคราะห์ดัชนีประสิทธิภาพ (Performance Index: PI) [11] โดยกำหนดตัวแปรควบคุม ได้แก่ ความเข้มข้น NaOH 10 มอลาร์, อัตราส่วน Na<sub>2</sub>SiO<sub>3</sub>/NaOH 1:1, อุณหภูมิบ่มที่อุณหภูมิห้อง และอายุทดสอบ 7 และ 28 วัน ตัวแปรตัน คือ ปริมาณถ้าชานอ้อย 0% 10% 20% และ 30% ส่วนตัวแปรตาม ได้แก่ กำลังรับแรงอัด ค่าการนำความร้อน และความหนาแน่น ส่วนเกณฑ์การประเมินกำหนดให้กำลังอัดต้องไม่ต่ำกว่า 10.0 MPa (ตาม มอก.77-2565) และค่าการนำความร้อนควรลดลงอย่างน้อย 10% เทียบกับสูตรควบคุม

ดัชนีประสิทธิภาพ (PI) คำนวณโดยใช้สมการที่ 1:

$$PI = w_1(f_{c,req}/f_c) + w_2(\lambda_{ref}/\lambda) + w_3(\rho_{ref}/\rho) \quad (1)$$

เมื่อ	w <sub>x</sub>	= ค่าถ่วงน้ำหนัก (0.4, 0.4, 0.2)
	f <sub>c</sub>	= กำลังอัดที่ทดสอบได้
	f <sub>c,req</sub>	= กำลังอัดตามมาตรฐาน
	$\lambda$	= ค่าการนำความร้อนที่ทดสอบได้
	$\lambda_{ref}$	= ค่าการนำความร้อนสูตรควบคุม
	$\rho$	= ความหนาแน่นที่ทดสอบได้
	$\rho_{ref}$	= ความหนาแน่นของสูตรควบคุม

## 2.6 ขั้นตอนการวิเคราะห์ความเหมาะสมในการนำไปใช้งาน

สูตรผสมที่ให้ผลการทดสอบดีที่สุดถูกนำมาขึ้นรูปเป็นอิฐจีโอเพลิเมอร์ขนาด 14×4×6.5 เซนติเมตร ตามมาตรฐาน มอก.77-2565 และทดสอบความปลดภัยในการนำไปใช้งาน โดยการทดสอบพฤติกรรมการปลดปล่อยความเป็นด่าง (Alkalinity Leaching) ตามมาตรฐาน AS/NZS 4456.10 ส่วนการวิเคราะห์ความ

คุ้มค่าทางเศรษฐศาสตร์ดำเนินการโดยคำนวณต้นทุนการผลิตต่อหน่วย (บาทต่อ ก้อน) และต่อหน่วยพื้นที่ (บาทต่อตารางเมตร) เปรียบเทียบกับอิฐชนิดอื่นในห้องทดลอง ได้แก่ อิฐอ่อน อิฐล็อก และอิฐมวลเบา โดยพิจารณาทั้งด้านต้นทุน สมรรถนะทางกายภาพ สมรรถนะด้านการป้องกันความร้อน และความสามารถในการทนไฟ

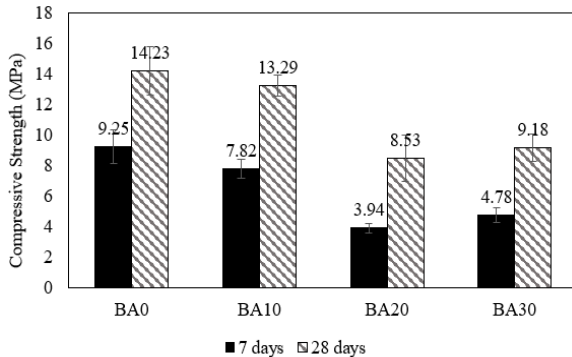
## 3. ผลการทดลองและอภิปรายผล

### 3.1 ผลการทดสอบกำลังรับแรงอัด

ผลการทดสอบกำลังรับแรงอัดของตัวอย่างจีโอเพลิเมอร์ที่อายุ 7 และ 28 วัน แสดงในรูปที่ 4 ผลการทดสอบแสดงแนวโน้มที่ชัดเจนว่าการเพิ่มปริมาณถ้าชานอ้อยส่งผลให้กำลังรับแรงอัดลดลง โดยที่อายุ 28 วัน สูตร BA0, BA10, BA20 และ BA30 มีค่ากำลังอัดเฉลี่ย 14.23, 13.29, 8.53 และ 9.18 MPa ตามลำดับ เฉพาะสูตร BA0 และ BA10 เท่านั้นที่มีกำลังอัดสูงกว่าเกณฑ์ขั้นต่ำตามมาตรฐาน มอก.77-2565 (10.0 MPa) ทั้งนี้การลดลงของกำลังอัดเกิดจากหลักปัจจัย ได้แก่ (1) การเปลี่ยนแปลงของอัตราส่วน Si/AI ในระบบเมื่อเพิ่มถ้าชานอ้อยที่มี SiO<sub>2</sub>/Al<sub>2</sub>O<sub>3</sub> สูง (2) ความแตกต่างของลักษณะทางกายภาพระหว่างถ้าชานอ้อยและถ้าล้อยรวมถึงการกระจายขนาดอนุภาค พื้นผิวจำเพาะ และความสามารถในการดูดซับ ส่งผลให้การสร้างเนื้อเยื่อของจีโอเพลิเมอร์ไม่เหมาะสมเท่าที่ควร และ (3) โครงสร้างแบบผลึกสูงของถ้าชานอ้อยส่งผลให้มีอัตราการละลายของซิลิกาและอะลูมินาในสารละลายด่างต่ำกว่าถ้าล้อยที่มีโครงสร้างอสัณฐานสูง ทำให้การสร้างเจลจีโอเพลิเมอร์เกิดขึ้นช้าและไม่สมบูรณ์ ตามงานวิจัยของ Fernández-Jiménez et al. [12] ที่ระบุว่าวัสดุที่มีโครงสร้างอสัณฐานสูงเกิดปฏิกิริยาได้ดีกว่า



## บทความวิจัย



รูปที่ 4 กำลังรับแรงอัดของจีโอโพลิเมอร์หลังบ่ม<sup>†</sup> ที่อายุ 7 วัน และ 28 วัน

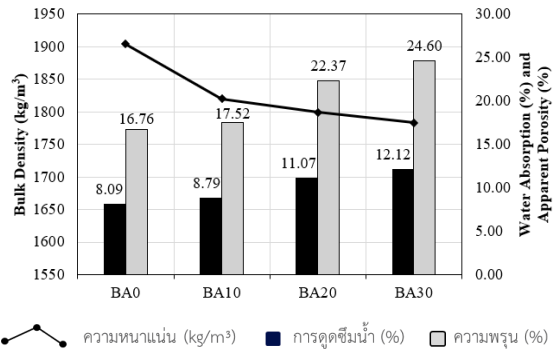
### 3.2 ผลการทดสอบความหนาแน่น ความพรุน และ การดูดซึมน้ำ

ผลการทดสอบที่อายุ 28 วัน (รูปที่ 5) แสดง ความสัมพันธ์แบบแปรผกผันระหว่างความหนาแน่นกับ ความพรุนและการดูดซึมน้ำ โดยการเพิ่มปริมาณถ่าน อ้อยส่งผลให้ความหนาแน่นลดลงเป็น 1,820, 1,800 และ 1,780 kg/m<sup>3</sup> สำหรับสูตร BA10, BA20 และ BA30 ตามลำดับ ในขณะที่การดูดซึมน้ำเพิ่มขึ้นเป็น 8.79% 11.07% และ 12.12% ตามลำดับ

ปรากฏการณ์นี้เกิดจากคุณลักษณะเฉพาะของถ่าน อ้อยที่มีรูพรุนสูง ส่งผลให้เกิดช่องว่างในโครงสร้าง มากขึ้น และปริมาณของสารที่สลายไปจากการเผาไหม้ (Loss on Ignition: LOI) ที่สูงถึง 22.30% ยังเป็นตัวบ่งชี้ ถึงปริมาณสารอินทรีย์และคาร์บอนที่ไม่เผาไหม้ ซึ่งจะ สลายตัวระหว่างกระบวนการเผาไหม้ของจีโอโพลิเมอร์ ส่งผลทำให้ช่วยลดความหนาแน่นและเพิ่มความพรุน

### 3.3 ผลการทดสอบความสามารถในการต้านทาน ความร้อน

ผลการทดสอบความต้านทานความร้อน (รูปที่ 6) พบว่าตัวอย่างทุกสูตรสามารถทนอุณหภูมิถึง 1000°C

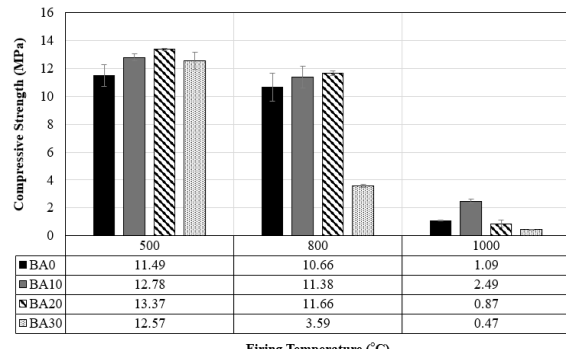


รูปที่ 5 ความสัมพันธ์ระหว่างความหนาแน่น ความพรุน และการดูดซึมน้ำกับปริมาณถ่านอ้อย

โดยไม่เกิดการแตกกร้าวรุนแรง แม้กำลังอัดจะลดลงตาม อุณหภูมิที่เพิ่มขึ้น ที่นำเสนอในสูตร BA20 และ BA30 แสดงการเพิ่มขึ้นของกำลังรับแรงอัดที่อุณหภูมิ 500°C อย่างมีนัยสำคัญ (+56.7% และ +37.0% ตามลำดับ) ซึ่งแตกต่างจาก BA0 และ BA10 ที่มีกำลังลดลงตาม พฤติกรรมปกติของวัสดุเมื่อได้รับความร้อน การ เพิ่มขึ้นของกำลังนี้คาดว่าเกิดจากกลไกสำคัญ 2 ประการ ได้แก่ (1) การเผาผลาญทางความร้อน (Thermal Crystallization) ของซิลิกาในถ่านอ้อยที่ เปเปลี่ยนโครงสร้างจากซิลิกาอัมโมรฟัส (Amorphous Silica) เป็นโครงสร้าง��ลีก (Crystalline) เช่น ควอตซ์ และคริสโตบาไลต์ ตามงานวิจัยของ Zhang et al. [13] และ (2) การเผาเชื้อมของอนุภาค (Particle Sintering) ที่ก่อให้เกิดการยึดเกาะระหว่างอนุภาคเดี่ยว โดยกลไก เหล่านี้จะเกิดขึ้นได้เมื่อมีปริมาณถ่านอ้อยเพียงพอ (>20%) ที่ทำหน้าที่เป็นแหล่งของซิลิกาอิสระสำหรับ การเปลี่ยนแปลงโครงสร้างที่อุณหภูมิ 500°C ในขณะที่ สูตร BA10 มีปริมาณถ่านอ้อยไม่เพียงพอที่จะเกิด กลไกดังกล่าว จึงแสดงพฤติกรรมการลดลงของกำลัง เช่นเดียวกับ BA0



## บทความวิจัย

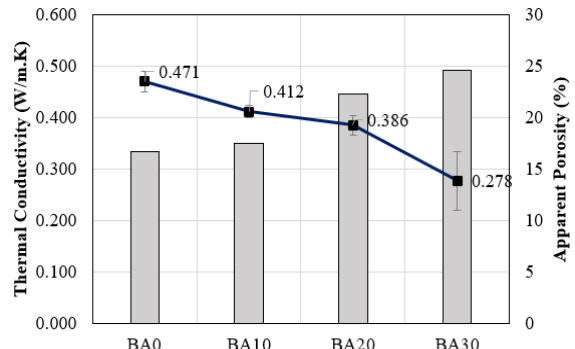


รูปที่ 6 ค่ากำลังรับแรงอัดหลังการเผาที่อุณหภูมิต่างๆ

หลังการเผาที่อุณหภูมิสูงเกิน 800°C สูตร BA20 และ BA30 เกิดการพองตัวคล้ายฟองน้ำ ซึ่งอธิบายได้ด้วยทฤษฎี Viscous Sintering โดย Fernández-Jiménez et al. [12] ที่อธิบายไว้ว่า ณ อุณหภูมิสูงกว่า 800°C ซิลิกาในโซลิโอลิเมอร์จะเริ่มหลอมเหลวและเกิดการเผาผลึก โดยเฉพาะในสูตรที่มีสัดส่วนปริมาณซิลิกาสูง จะเกิดพันธะ Si-O-Si แทนพันธะ Al-O-Si ทำให้โครงสร้างใกล้เคียงกับแก้ว ดังนั้นสูตร BA10 จึงเป็นสูตรที่แสดงเสถียรภาพที่ดีที่สุดหลังการเผาที่อุณหภูมิสูง โดยสามารถรักษาがらงไว้ได้สูงกว่าสูตรอื่น

### 3.4 ผลการทดสอบสัมประสิทธิ์การนำความร้อน

ผลการทดสอบค่าสัมประสิทธิ์การนำความร้อน (รูปที่ 7) แสดงถึงประสิทธิภาพของถ้วยชานอ้อยในการลดการนำความร้อน โดยค่าการนำความร้อนลดลงจาก 0.471 W/m·K ในสูตรควบคุม เหลือ 0.411 0.386 และ 0.277 W/m·K สำหรับสูตร BA10 BA20 และ BA30 ตามลำดับ คิดเป็นการลดลง 12.8% 18.1% และ 41.1% ซึ่งมีความสัมพันธ์โดยตรงกับการเพิ่มขึ้นของความพรุนทั้งนี้สูตร BA30 มีค่าการนำความร้อนใกล้เคียงกับอัตรา AAC (0.16-0.28 W/m·K) และต่ำกว่าอิฐมวลอยุ่ และอิฐบล็อกทั่วไป (0.8-0.9 W/m·K) อย่างมีนัยสำคัญ



รูปที่ 7 ค่าสัมประสิทธิ์การนำความร้อน

### 3.5 ผลการวิเคราะห์สัดส่วนผสมที่เหมาะสม

ผลการวิเคราะห์ดัชนีประสิทธิภาพ (PI) โดยให้ค่าถ่วงน้ำหนักแก่กำลังรับแรงอัด ค่าการนำความร้อน และความหนาแน่น ในสัดส่วน 0.4 0.4 และ 0.2 ตามลำดับ (ตารางที่ 3) พบว่าสูตร BA30 มีค่า PI สูงสุดที่ 1.26 และถึงความสมดุลระหว่างคุณสมบัติทั้งสาม แต่อย่างไรก็ตาม ยังต้องพิจารณาเรื่องคุณสมบัติด้านการป้องกันความร้อนและคุณสมบัติเชิงกลอื่นๆ ด้วย

เมื่อพิจารณาปัจจัยด้านกำลังอัดที่ต้องผ่านเกณฑ์มาตรฐานและความทนทานต่อความร้อน สูตร BA10 มีความเหมาะสมมากที่สุด โดยมี PI ที่ดี (1.20) มีกำลังอัดสูงกว่าเกณฑ์มาตรฐานถึง 32.9% ค่าการนำความร้อนลดลง 12.8% และมีความทนทานต่อความร้อนสูงโดยรักษาがらงไว้ได้ 18.7% ที่อุณหภูมิ 1000°C

การวิเคราะห์โครงสร้างจุลภาคหลังผ่านการให้ความร้อน (รูปที่ 8) ยืนยันว่าสูตร BA10 มีเสถียรภาพที่ดีที่สุด โดยแสดงให้เห็นถึงการกระจายรูพรุนที่เหมาะสมโดยมีรูพรุนขนาดเล็ก ( $1-8 \mu\text{m}$ ) กระจายเท่าๆ กัน ซึ่งช่วยรักษาความแข็งแรงและป้องกันการแตกกร้าวแม้ที่อุณหภูมิสูง ในขณะที่สูตร BA20 และ BA30 มีรูพรุนขนาดใหญ่ที่เชื่อมต่อกัน ( $15-50+ \mu\text{m}$ ) ซึ่งสร้างเส้นทาง



## บทความวิจัย

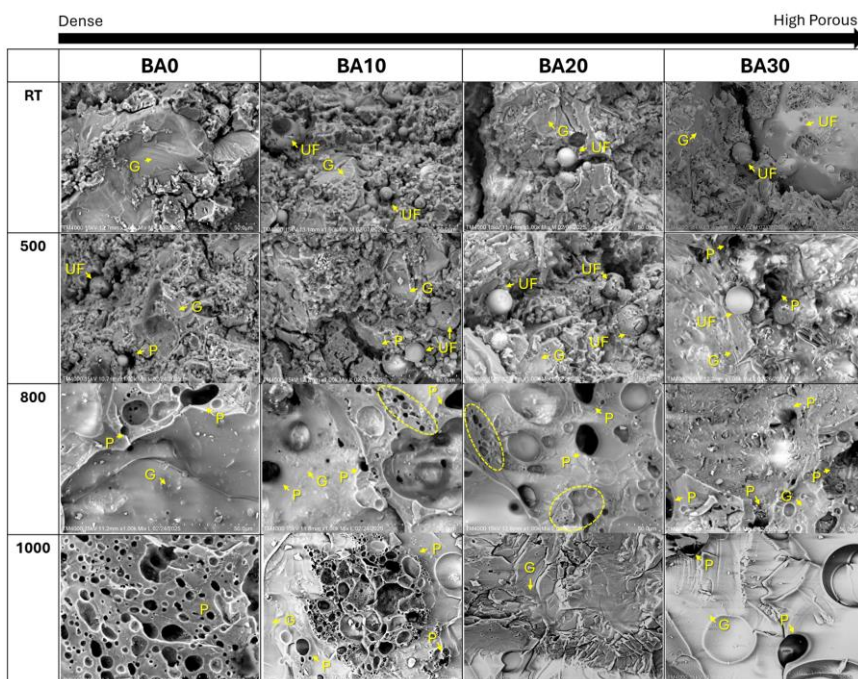
การแตกร้าวและลดความแข็งแรงของโครงสร้าง ประกอบกับการเกิดเฟสแก้ว (Glassy Phase) ที่มาก เกินไป จากการหลอมตัวของซิลิกาที่อุณหภูมิสูง ซึ่งเมื่อยืนตัวลงอย่างรวดเร็วจะทำให้โครงสร้างมี ความประทุน ส่งผลให้เกิดจุดอ่อนทางโครงสร้าง โดย

การเปลี่ยนแปลงโครงสร้างทางจุลภาคเหล่านี้ สอดคล้องกับผลการทดสอบที่พบว่า BA10 สามารถรักษากำลังอัด ไว้ได้ 18.7% ที่อุณหภูมิ 1000°C ขณะที่ BA20 และ BA30 มีการสูญเสียกำลังอัดมากกว่า

ตารางที่ 3 ดัชนีประสิทธิภาพของสูตรผสมต่างๆ

เก้าห้าห้ออย (%)	กำลังอัด (MPa)	ค่าการนำความร้อน (W/m·K)	ความหนาแน่น (kg/m³)	ดัชนี
	w <sub>1</sub> = 0.4	w <sub>2</sub> = 0.4	w <sub>3</sub> = 0.2	ประสิทธิภาพ
0%	14.23 (1.42)	0.471 (1.00)	1900 (1.00)	1.17
10%	13.29 (1.33)	0.411 (1.14)	1820 (1.04)	1.20
20%	8.53 (0.85)	0.386 (1.22)	1800 (1.05)	1.04
30%	9.18 (0.92)	0.277 (1.70)	1780 (1.07)	1.26

หมายเหตุ: ค่าในวงเล็บคือค่าที่ Normalize แล้ว



**Remarks:** G = Geopolymer gel, UF = Unreacted fly ash, P = Pore

รูปที่ 8 โครงสร้างจุลภาคของจีโอโพลิเมอร์หลังผ่านการให้ความร้อน ที่กำลังขยาย 1000 เท่า



### 3.4 ผลการวิเคราะห์ที่เหมาะสมในการนำไปใช้งาน

ผลการทดสอบคุณสมบัติของอิฐจีโอโพลิเมอร์สูตร BA10 (ตารางที่ 4) แสดงว่าผ่านเกณฑ์มาตรฐาน มอก. 77-2565 ทุกด้าน โดยมีค่าความต้านแรงอัดเฉลี่ย 13.29 MPa (สูงกว่าเกณฑ์ขั้นต่ำ 32.9%) และค่าการดูดซึมน้ำเฉลี่ยเพียง 8.79% (ต่ำกว่าเกณฑ์มาก) ผลการทดสอบพฤติกรรมการปลดปล่อยความเป็นด่างของ อิฐจีโอโพลิเมอร์สูตร BA10 พบว่าค่า pH ของน้ำกลั่นที่ใช้แซ่ตัวอย่างจีโอโพลิเมอร์ลดลงอย่างมีนัยสำคัญจาก 11.70 ในวันแรก เหลือ 10.92 ในวันที่ 9 โดยพบว่า ในช่วง 7 วันแรก ค่า pH ลดลงอย่างชัดเจนก่อนที่อัตราการลดลงจะชะลอตัวในช่วงปลายของการทดสอบ และงให้เห็นถึงแนวโน้มที่จะเข้าสู่ภาวะสมดุลทางเคมีของรัศดุ โดยพฤติกรรมดังกล่าวเป็นผลจากการระล้างของสารด่างตกค้างที่ลดลงตามเวลา ซึ่งสามารถสรุปได้ว่าอิฐจีโอโพลิเมอร์สูตรดังกล่าวจะมีเสถียรภาพทางเคมีเพิ่มขึ้นเมื่อเวลาผ่านไป และมีศักยภาพในการนำไปใช้งานเป็นวัสดุก่อสร้างได้อย่างปลอดภัยโดยไม่ก่อให้เกิดผลกระทบต่อผู้ใช้งานหรือสิ่งแวดล้อม

การวิเคราะห์ต้นทุนและการเบรี่ยนเทียนคุณสมบัติกับอิฐชนิดอื่น แสดงได้ดังตารางที่ 5 โดยพบว่าอิฐจีโอโพลิเมอร์สูตร BA10 มีต้นทุนในการผลิตเฉลี่ยประมาณ 4 บาทต่อ ก้อน โดยมีคุณสมบัติด้านการป้องกันความร้อนที่ดีกว่าอิฐมอญและอิฐล้อกอย่างชัดเจน (ค่า

การนำความร้อน 0.411 W/m·K เทียบกับ 0.700-0.900 W/m·K) ในด้านกำลังรับแรงอัด อิฐสูตร BA10 มีค่าอยู่ที่ 13.29 MPa ซึ่งมีประสิทธิภาพดีกว่ากับอิฐมอญ (15.0 MPa) และดีกว่าอิฐล้อก (11.0 MPa) และอิฐมวลเบา (7.0 MPa) ส่วนการดูดซึมน้ำของอิฐสูตร BA10 พบว่ามีค่าอยู่ที่ 8.79% ซึ่งเหมาะสมสำหรับการใช้งานในสภาพแวดล้อมที่ต้องการความทนทานสูง รวมทั้งมีความสามารถในการทนไฟได้นานกว่า 4 ชั่วโมง เทียบกับอิฐมอญ (2 ชั่วโมง) และอิฐมวลเบา (4 ชั่วโมง) ทั้งนี้ แม้จะมีคุณสมบัติทางเทคนิคที่เหนือกว่า แต่เพื่อประเมินศักยภาพในการนำไปใช้งานในเชิงพาณิชย์ อย่างครอบคลุม การวิเคราะห์ SWOT จึงมีความจำเป็น

จากการวิเคราะห์ SWOT พบจุดแข็งสำคัญของอิฐจีโอโพลิเมอร์ คือคุณสมบัติด้านการบังกันความร้อนที่ดี มีค่ากำลังรับแรงอัดสูง และปล่อย CO<sub>2</sub> ในกระบวนการผลิตต่ำ จุดอ่อนคือต้นทุนที่สูงกว่าอิฐทั่วไป และยังไม่เป็นที่รู้จักในห้องตลาด ส่วนด้านโอกาส อิฐจีโอโพลิเมอร์มีความสอดคล้องกับแนวโน้มความต้องการของตลาดวัสดุก่อสร้างที่ให้ความสำคัญกับความยั่งยืนและการลดผลกระทบต่อสิ่งแวดล้อม ขณะที่อุปสรรคสำคัญของการพัฒนาวัสดุดังกล่าว คือ การแข่งขันกับผลิตภัณฑ์เดิมที่มีต้นทุนต่ำและเป็นที่ยอมรับในตลาดมาอย่างยาวนาน ตลอดจนข้อจำกัดด้านมาตรฐานและข้อกำหนดทางวิศวกรรมที่ยังไม่ครอบคลุมวัสดุทางเลือกประเภทจีโอโพลิเมอร์

### ตารางที่ 4 ผลการทดสอบคุณสมบัติทางกายภาพและเชิงกลของจีโอโพลิเมอร์เทียบกับ มอก.77-2565

สมบัติ	มอก.77-2565	อิฐ BA10
ความต้านทานแรงอัดเฉลี่ย (MPa)	10.0 - 21.0	<b>13.29 ± 0.7</b>
ความต้านทานแรงอัดแต่ละก้อน (MPa)	9.0 - 17.0	<b>12.59 - 14.0</b>
การดูดซึมน้ำเฉลี่ย (%)	17.0 - 22.0	<b>8.79 ± 1.2</b>
ความหนาแน่นเชิงปริมาตร (kg/m <sup>3</sup> )	-	<b>1,820 ± 44</b>



## ตารางที่ 5 การเปรียบเทียบราคาและคุณสมบัติของอิฐชินไดต่างๆ

ปัจจัย	อิฐสูตร BA10	อิฐมอญ	อิฐบล็อก	อิฐมวลเบา
ราคา (บาท/ก้อน)	4	1.5-2.2	5.5-7.0	23-28
ความหนาแน่นเฉลี่ย ( $\text{kg}/\text{m}^3$ )	1,820	1,900	2,000	1,000
ค่ากำลังรับแรงอัดเฉลี่ย (MPa)	13.29	15.0	11.0	7.0
การดูดซึมน้ำเฉลี่ย (%)	8.79	20.0	8.0	15.0
ค่าการนำความร้อน ( $\text{W}/(\text{m}\cdot\text{K})$ )	0.411	0.700	0.900	0.280
ความสามารถด้านทนไฟ (ชั่วโมง)	>4	2	1	4
จำนวนก้อน/ตร.ม.	134-178	134	12.5	8.3
ราคาต่อตารางเมตร	536-712	201-295	69-88	191-232

### 4. สรุปผลการวิจัย

การวิจัยนี้มุ่งพัฒนาอิฐโจโพลิเมอร์ที่มีประสิทธิภาพในการป้องกันความร้อนโดยใช้ถ้วยชาขนาดอย่างเป็นวัสดุเสริมในอิฐโจโพลิเมอร์ที่ทำจากถ้วยชาโดยผสมกับดินขาวเผา ผลการวิจัยพบความสัมพันธ์ที่ชัดเจนระหว่างปริมาณถ้วยชาอย่างกับคุณสมบัติของอิฐโจโพลิเมอร์ โดยการเพิ่มปริมาณถ้วยชาอย่างจาก 0% เป็น 30% ส่งผลให้ค่าการนำความร้อนลดลงอย่างมีนัยสำคัญถึง 41.1% และที่ความหนาแน่นลดลงและความพรุนเพิ่มขึ้นอย่างไรก็ตาม กำลังอัดมีแนวโน้มลดลงตามปริมาณถ้วยชาอย่างที่เพิ่มขึ้น ยกเว้นในสูตร BA30 ที่มีกำลังอัดสูงกว่า BA20 เล็กน้อย

จากการวิเคราะห์ดังนี้ประสิทธิภาพและปัจจัยทางวิศวกรรม พบว่าอิฐโจโพลิเมอร์สูตร BA10 เป็นสูตรที่เหมาะสมที่สุด เนื่องจากสามารถลดค่าการนำความร้อนลง 12.8% เมื่อเทียบกับสูตรควบคุม ขณะที่ยังรักษากำลังอัดให้สูงกว่าเกณฑ์มาตรฐาน มาก.77-2565 ถึง 32.9% นอกจากนี้ ยังมีค่าการดูดซึมน้ำเพียง 8.79% และมีความหนาแน่นต่อความร้อนสูงโดยรักษากำลังไว้ได้ 18.7% ที่อุณหภูมิ 1000°C ซึ่งเหนือกว่าวัสดุก่อสร้างทั่วไปอย่างมีนัยสำคัญ

การวิเคราะห์ต้นทุนและเปรียบเทียบคุณสมบัติพบว่า อิฐโจโพลิเมอร์สูตร BA10 มีต้นทุนประมาณ 4 บาทต่อก้อน แม้จะมีต้นทุนต่อตารางเมตรสูงกว่าอิฐชินไดอื่น แต่มีคุณสมบัติด้านการป้องกันความร้อนที่ดีกว่าอย่างชัดเจน (ค่าการนำความร้อน 0.411  $\text{W}/(\text{m}\cdot\text{K})$  เทียบกับ 0.700-0.900  $\text{W}/(\text{m}\cdot\text{K})$  ของอิฐมอญ และอิฐบล็อก) มีความแข็งแรงสูงกว่าอิฐมวลเบา (กำลังรับแรงอัดที่ 13.29 MPa เทียบกับ 7 MPa) และมีความทนไฟสูงกว่า 4 ชั่วโมง เทียบกับอิฐมอญ (2 ชั่วโมง) และ อิฐบล็อก (1 ชั่วโมง)

นอกจากนี้ ยังพบว่าที่อุณหภูมิ 500°C อิฐสูตรที่มีถ้วยชาอย่างสูงมีแนวโน้มเพิ่มกำลังอัดซึ่งเกิดจากการเผาผึ้ง (Sintering) โดยเปลี่ยนแปลงโครงสร้างจาก Semi-crystalline เป็น Crystalline อย่างสมบูรณ์

งานวิจัยนี้แสดงให้เห็นศักยภาพของอิฐโจ-โพลิเมอร์ในการเป็นวัสดุก่อสร้างที่ทนความร้อน มีความแข็งแรง และเป็นมิตรต่อสิ่งแวดล้อม โดยช่วยลดการปล่อย  $\text{CO}_2$  จากปูนซีเมนต์ได้อย่างยั่งยืน



## 5. กิตติกรรมประกาศ

ผู้วิจัยขอขอบคุณบริษัท โทรัส พอซิโซลานซ์ จำกัด ที่ให้ความอนุเคราะห์ถ้าโดยสำหรับใช้ในงานวิจัย และขอขอบคุณภาควิชาศึกษาธรรมชาติ มหาวิทยาลัยศรีปทุม ศูนย์วิจัยพัฒนาวัสดุ วิศวกรรมศาสตร์ มหาวิทยาลัยศรีปทุม ศูนย์วิจัยพัฒนาวัสดุ วิศวกรรมศาสตร์ และภาควิชาเทคโนโลยี วิศวกรรมการเชื่อม วิทยาลัยเทคโนโลยีอุตสาหกรรม มหาวิทยาลัยเทคโนโลยีพระจอมเกล้าพระนครเหนือ ที่ให้ความอนุเคราะห์สถานที่และเครื่องมือที่ใช้ในการทดลองเพื่อให้งานวิจัยครั้งนี้เสร็จสมบูรณ์ด้วยดี

## 6. เอกสารอ้างอิง

- [1] J. Davidovits, Properties of geopolymers cements, The 1st International Conference on Alkaline Cements and Concretes, Proceedings, 1994, 131-149.
- [2] C. Tippayasam, P. Keawpapasson, P. Thavorniti, T. Panyathanmaporn, C. Leonelli and D. Chaysuwan, Effect of Thai kaolin on properties of agricultural ash blended geopolymers, Construction and Building Materials, 2014, 53, 455-459.
- [3] P. Cong, R. Du, H. Gao and Z. Chen, Comparison and assessment of carbon dioxide emissions between alkali-activated materials and OPC cement concrete, Journal of Traffic and Transportation Engineering, 2024, 11(5), 918-938.
- [4] J. Zhang, S. Fernando, D.W. Law, C. Gunasekara, S. Setunge, M. Sandanayake and G. Zhang, Life cycle assessment for geopolymer concrete bricks using brown coal fly ash, Sustainability, 2023, 15(9), 7718.
- [5] L.K. Turner and F.G. Collins, Carbon dioxide equivalent ( $\text{CO}_2\text{-e}$ ) emissions: A comparison between geopolymer and OPC cement concrete, Construction and Building Materials, 2013, 43, 125-130.
- [6] W. M. W. Ibrahim, M. M. A. B. Abdullah, K. Hussin, A. A. Kadir, and R. Ahmad, Technological properties of fly ash-based lightweight geopolymer brick, Lecture Notes in Civil Engineering, 2021, 129, 25-50.
- [7] K.A.M. El Naggar, M.M. Abd El-Razik, M. Kuku, M. Arishi, I.M. Maafa, A. Yousef and E.M. Abdel Hamid, Performance of geopolymer insulation bricks synthesized from industrial waste, Minerals, 2024, 14(10), 977.
- [8] S. Siriruekratana and N. Supakata, Development of geopolymer bricks from synergistic use of bagasse ash and concrete residue as an alternative for industrial waste management, Naresuan University Journal of Science and Technology, 2017, 25(4), 69-78.



บพคภาภวจชย

- [9] Y. Wang, X. Liu, W. Zhang, Z. Li, Y. Zhang, Y. Li, and Y. Ren, Effects of Si/Al ratio on the efflorescence and properties of fly ash based geopolymers, *Journal of Cleaner Production*, 2020, 244(3), 118852.
- [10] P. Kittisayarm, T. Pantongsuk, A. Srikhacha, D. Chaysuwan and C. Tippayasam, Development of high-strength geopolymers by high-reactive bagasse ash, *The Journal of Industrial Technology*, 2020, 16(3), 66-79. (in Thai)
- [11] R.S. Kaplan and D.P. Norton, The balanced scorecard: Measures that drive performance, *Harvard Business Review*, 2005, 83(7-8), 172.
- [12] A. Fernández-Jiménez, A. Palomo and M. Criado, Microstructure development of alkali-activated fly ash cement: A descriptive model, *Cement and Concrete Research*, 2005, 35(6), 1204-1209.
- [13] H.Y. Zhang, V.R. Kodur, B. Wu, L. Cao and F. Wang, Thermal behavior and mechanical properties of geopolymer mortar after exposure to elevated temperatures, *Construction and Building Materials*, 2016, 109, 17-24.



# คุณค่าของกลวงกันความร้อนมวลรวมจากการถ้าปาล์มน้ำมันผสม หน้ากากอนามัยและหน้ากาก KF94

ปรีชา สะแลง ภูติยา อ่องวุฒิวัตต์ และ อapeideeng หาวَا\*

หน่วยวิจัยโครงสร้างพื้นฐานและนวัตกรรมวัสดุ, สาขาวิชาวิศวกรรมโยธา, คณะวิศวกรรมศาสตร์,  
มหาวิทยาลัยนราธิวาสราชนครินทร์

\* ผู้ประสานงานเผยแพร่ (Corresponding Author), E-mail: abideng.hawa@gmail.com; dr.abideng@pnu.ac.th

วันที่รับบทความ: 23 มกราคม 2568; วันที่ทบทวนบทความ: 17 มิถุนายน 2568; วันที่ตอบรับบทความ: 26 มิถุนายน 2568

วันที่เผยแพร่อนไลน์: 19 สิงหาคม 2568

**บทคัดย่อ:** การศึกษานี้มีเป้าหมายของการนำวัสดุเหลือทิ้งมาคันหาส่วนผสมที่เหมาะสมในการประยุกต์เป็นคุณค่าของกลวงกันความร้อน โดยใช้มวลรวมจากการถ้าปาล์มน้ำมันและแทนที่บางส่วนด้วยหน้ากากอนามัยและหน้ากาก KF94 ในอัตราส่วนผสมร้อยละ 0, 2, 4 และ 6 โดยนำหักของการถ้าปาล์มน้ำมัน ทำการทดสอบกำลังอัด ความหนาแน่น การดูดซึมน้ำ ความต้านทานไฟฟ้า และโครงสร้างระดับจุลภาค ของตัวอย่างชีเมนต์มอร์ตาร์ และทดสอบความสามารถในการกันความร้อนในรูปของคุณค่าของกลวงขนาด  $70 \times 190 \times 390$  มิลลิเมตร ผลการทดสอบพบว่าการผสมหน้ากากอนามัยและหน้ากาก KF94 ส่งผลให้กำลังอัดและความหนาแน่นลดลง เมื่อทำการทดสอบตัวอย่างหล่อเป็นคุณค่าของกลวง พบร่วมกับคุณค่าของกลวงมวลรวมจากการถ้าปาล์มน้ำมันสามารถกันความร้อนได้ดีกว่าคุณค่าของกลวงที่มีจำนวนไข่ในห้องติดอย่างชัดเจน และเมื่อผสมหน้ากากอนามัยและหน้า KF94 ประสิทธิภาพกันความร้อนเพิ่มขึ้นอีกเล็กน้อย ดังนั้นคุณค่าของกลวงมวลรวมจากการถ้าปาล์มน้ำมันผสมหน้ากากอนามัยและหน้ากาก KF94 สามารถใช้เป็นแนวทางนำไปประยุกต์ใช้ในการผลิตคุณค่าของกลวงที่ไม่รับน้ำหนักและมีสมบัติเพิ่มเติมในการกันความร้อนได้

**คำสำคัญ:** การถ้าปาล์มน้ำมัน; หน้ากากอนามัย; หน้ากาก KF94; คุณค่าของกลวง



# Thermal Insulation Hollow Concrete Blocks using Palm Oil Clinker Containing Surgical Face Masks and KF94 Masks as Aggregate

Preecha Salaemae, Krittiya Ongwuttiwat and Abideng Hawa\*

Infrastructure and Materials Innovation Research Unit, Department of Civil Engineering,  
Faculty of Engineering, Princess of Naradhiwas University

\* Corresponding author, E-mail: abideng.hawa@gmail.com, dr.abideng@pnu.ac.th

Received: 23 January 2025; Revised 17 June 2025; Accepted: 26 June 2025

Online Published: 19 August 2025

**Abstract:** This study aimed to utilize waste materials to identify suitable compositions for developing thermally insulating hollow concrete blocks. The research incorporated palm oil clinker aggregates as the base material, partially replaced by surgical face masks and KF94 masks at substitution rates of 0%, 2%, 4%, and 6% by weight of the palm oil clinker. This study evaluated the compressive strength, density, water absorption, electrical resistivity, and microstructure of cement mortar specimens. Additionally, the thermal insulation performance was assessed using 70x190x390 millimeters hollow concrete blocks. The experimental results indicated that incorporating the surgical face and KF94 masks reduced the compressive strength and density. However, when tested in hollow concrete block form, palm oil clinker aggregate blocks demonstrated significantly superior thermal insulation compared to commercially available hollow concrete blocks. Furthermore, the inclusion of surgical face and KF94 masks slightly enhanced the thermal insulation performance. In conclusion, hollow concrete blocks composed of palm oil clinker aggregates blended with surgical face masks and KF94 masks present a viable approach for manufacturing nonloadbearing hollow concrete blocks with enhanced thermal insulation properties.

**Keywords:** Palm oil clinker; Surgical face masks; KF94 masks; Hollow concrete blocks



## 1. บทนำ

การจำดัดวัสดุที่ใช้แล้วที่มีปริมาณมากและยังเป็นวัสดุที่สามารถส่งผลเสียต่อสิ่งแวดล้อมอย่างรุนแรงนั้น การนำกลับมาใช้ใหม่น่าจะเป็นทางเลือกที่น่าสนใจ ในช่วงหลายปีที่ผ่านมาวัสดุเหลือทิ้งหลายชนิดได้ถูกนำกลับมาใช้ใหม่ในการผสมเข้าไปในมอร์ตาร์หรือคอนกรีตเพื่อใช้เป็นมวลรวม เช่น พลาสติก และเศษคอนกรีตเหลือทิ้ง เป็นต้น ซึ่งเป็นการช่วยลดปริมาณของเหลือทิ้งในสิ่งแวดล้อมได้อีกทางหนึ่ง โดยยังสามารถรักษาสมบัติของคอนกรีตให้อยู่ในเกณฑ์ที่สามารถใช้งานได้ นอกจากนั้นยังสามารถเพิ่มสมบัติบางประการของคอนกรีตให้ดีขึ้น

จากการสถานการณ์การระบาดของโรคโควิด-19 ที่ผ่านมาพบว่า มีหน้ากากอนามัยที่ใช้แล้วถูกทิ้งเป็นจำนวนมาก โดยที่นำไปแล้วการผลิตหน้ากากอนามัยแบบใช้แล้วทิ้งนั้นต้องใช้พลิเมอร์เป็นส่วนประกอบ ซึ่งจะมีผลเสียต่อสิ่งแวดล้อม และโดยเฉลี่ยอย่างยิ่งเมื่อไหลลงสู่ทะเล เมื่อเวลาผ่านไประยะหนึ่งทำให้เกิดไมโครพลาสติกจาก การย่อยสลายของหน้ากากอนามัยเหล่านี้ การที่หน้ากากอนามัยถูกผลิตและใช้งานมากขึ้นนี้เป็นการเพิ่มความเสี่ยงต่อสิ่งแวดล้อมอย่างมีนัยสำคัญ ในส่วนของหน้ากาก KF94 เข้ามาแทนที่หน้ากากอนามัยหน้ากาก KF94 สามารถป้องกันฝุ่น PM2.5 ได้ถึงร้อยละ 94 ได้รับมาตรฐานจากองค์กรความปลอดภัยและชื่อวอนามัยแห่งสาธารณรัฐเกาหลี ในขณะที่ฝุ่นขนาดมากกว่า 3 ไมครอน สามารถป้องกันได้ร้อยละ 100 ในขณะที่ละอองไอ jams มีละอองขนาดใหญ่กว่า 3 ไมครอน [1] จึงทำให้ได้รับความนิยม

ในทางวิชาการและอุตสาหกรรมก่อสร้างได้ให้ความสนใจในการใช้เส้นใยในงานคอนกรีตและวัสดุซ่อมแซมเนื่องจากทำให้สมบัติด้านการรับแรงดึงและแรงดัดดีกว่าคอนกรีตปกติที่ไม่มีการผสมเส้นใย เช่นเดียวกัน กับการผสมเส้นใยจากหน้ากากอนามัย Lynch และคณะ [2] ที่แสดงให้เห็นว่าเส้นใยหน้ากากอนามัยสามารถเพิ่มค่ากำลังอัดของคอนกรีตได้เป็นอย่างตี และในการศึกษาของ Thoudam และคณะ [3] ถึงการใช้เส้นใยหน้ากากอนามัยผสมเข้าไปในคอนกรีตบล็อก พบร่วมกับคอนกรีตบล็อกสามารถรับแรงดึงและแรงดัดได้ดีขึ้นเมื่อผสมเส้นใยหน้ากากอนามัยมากขึ้น อย่างไรก็ตาม นักวิจัยได้มีการศึกษาการนำหน้ากากอนามัยผสมซีเมนต์มอร์ตาร์เตรียมหน้ากากอนามัยโดยการตัดเป็นชิ้นขนาดกว้าง 5 มิลลิเมตร ยาว 10 มิลลิเมตร และ 5 มิลลิเมตร ยาว 20 มิลลิเมตร จากการศึกษาพบว่าเมื่อแทนที่หน้ากากอนามัยเพิ่มมากขึ้นมีผลทำให้กำลังอัดของซีเมนต์มอร์ตาร์ลดลง แต่กำลังตัดมีค่ามากขึ้น เมื่อเปรียบเทียบอธิพ้องขนาดหน้ากากอนามัยพบว่าหน้ากากอนามัยที่มีขนาดยาวรับแรงดึงและแรงดัดได้น้อยกว่าหน้ากากอนามัยขนาดที่สั้นกว่า [4] Aziz และคณะ [5] ใช้หน้ากากอนามัยขนาดกว้าง 5 มิลลิเมตร ยาว 20 มิลลิเมตร และ 5 มิลลิเมตร ยาว 40 มิลลิเมตร ผสมในคอนกรีตและพบว่าการใช้หน้ากากอนามัยทั้งสองขนาดมีผลให้กำลังอัดลดลงเมื่อเพิ่มหน้ากาก

หากาเก้าปาล์มน้ำมัน (Palm Oil Clinker) เป็นวัสดุเหลือทิ้งจากอุตสาหกรรมปาล์มน้ำมันและโรงไฟฟ้าเชื้อมวล พบนามในพื้นที่ที่มีการปลูกปาล์มจำนวนมาก โดยเฉพาะทางภาคใต้ของประเทศไทย หากาเก้าปาล์มน้ำมันหลังจากผ่านกระบวนการเผาไหม้อกมาพร้อม



## บทความวิจัย

ถ้าปาล์มน้ำมัน (Palm Oil Ash) ด้วยสมบัติที่มีน้ำหนักเบาและเป็นวัสดุเหลือทิ้ง ทั้งยังสร้างปัญหาทางสิ่งแวดล้อมในบริเวณที่มีการทิ้งรอบ ๆ อุตสาหกรรม ทำให้นักวิจัยมีการศึกษาการนำากาเก้าปาล์มน้ำมันใช้ประโยชน์ทางด้านงานก่อสร้าง คอนกรีตบล็อกกลวง (Hollow concrete blocks) แบ่งเป็น 2 ชนิด 1. คอนกรีตบล็อกกลวงรับน้ำหนัก (Hollow loadbearing concrete blocks) มาตรฐาน มอก. 57-2560 [6] 2. คอนกรีตบล็อกกลวงไม่รับน้ำหนัก (Hollow nonloadbearing concrete blocks) มาตรฐาน มอก. 58-2560 [7] โดยกำหนดกำหนดความสามารถรับแรงอัดเฉลี่ยได้ไม่น้อยกว่า 13.8 เมกะ帕斯คัล และ 4.14 เมกะ帕斯คัล ตามลำดับ นอกจากนั้นมาตรฐาน มอก. ยังพิจารณาถึงความหนาแน่น มิติของก้อนตัวอย่าง เป็นต้น

ในการศึกษารังนี้จะเป็นการใช้กาเก้าปาล์มน้ำมันเป็นมวลรวมผสมด้วยหน้ากากอนามัยและหน้ากาก KF94 โดยศึกษาถึงอิทธิพลของหน้ากากทั้งสองต่อ กำลังอัด ความหนาแน่น การดูดซึมน้ำ ความต้านทานไฟฟ้า ความสามารถในการกันความร้อนเมื่อทำการหล่อเป็นคอนกรีตบล็อกกลวง และศึกษาการโครงสร้างระดับจุลภาคของซีเมนต์มอร์ตาร์ เพื่อศึกษาถึงแนวทางความเป็นไปได้ในการนำ้วัสดุเหลือทิ้งและขยายมาประยุกต์ใช้เป็นคอนกรีตบล็อกกลวงกันความร้อน ซึ่งการศึกษารังนี้เน้นสมบัติด้านความสามารถในการกันความร้อนของคอนกรีตบล็อกกลวงเป็นหลัก

## 2. วิธีดำเนินงานวิจัย

## 2.1 วัสดุ

ปูนซีเมนต์ปอร์ตแลนด์ประเภทที่ 1 ที่มีจำนวนยาตามท้องตลาดจะมีแคลเซียมออกไซด์ ( $\text{CaO}$ ) เป็นองค์ประกอบของหินแม่หลาก มีสีเทาเข้ม มีลักษณะเป็นเหลี่ยม และรูปร่างไม่แน่นอน มีสมบัติการยึดประสานที่ดีเมื่อได้ผสมกับน้ำ

หากเก้าปาล์มน้ำมันที่ใช้ในการศึกษานี้ เป็นกาเก้าปาล์มน้ำมันที่ได้จากโรงงานในนิคมอุตสาหกรรมมา จะเจาะจังหวัดราชวิถี กาเก้าปาล์มน้ำมันหลังจากการเผาไหม้จะลายปาล์ม กะลาปาล์ม และเปลือกปาล์ม ปะปนกับกากพร้อมเก้าปาล์มน้ำมัน นำมาอบแห้งด้วยตู้อบที่อุณหภูมิ  $100 \pm 5$  องศาเซลเซียส เป็นเวลา 24 ชั่วโมง หลังจากนั้นนำมาร่อนผ่านตะแกรงเพื่อแยกกาเก้าปาล์มและเก้าปาล์ม นำกาเก้าปาล์มที่ผ่านการแยกไปล้างน้ำสะอาด แล้วนำกาเก้าปาล์มน้ำมันไปตากแดดให้แห้งแล้วนำไปเก็บไว้ในถังพลาสติก สมบัติของกาเก้าปาล์มน้ำมันดังแสดงในตารางที่ 1 มีค่าความถ่วงจำเพาะ 1.89 น้อยกว่าทรายแม่น้ำปกติทั่วไป แต่มีการดูดซึมน้ำสูงถึงร้อยละ 5.20 และมีความหนาแน่น 730 กิโลกรัมต่อตารางเมตร นับว่าเป็นสมบัติที่สำคัญอย่างหนึ่งเพื่อประยุกต์เป็นวัสดุก่อผนัง ซึ่งจะทำให้ผนังมีน้ำหนักเบาส่งผลการรับน้ำหนักต่อโครงสร้างอาคาร เมื่อทำการวิเคราะห์โดยการส่องกล้องกาเก้าปาล์มน้ำมันทดสอบจำนวน 3 ครั้ง การกระจายขนาดของกาเก้าปาล์มน้ำมันส่วนใหญ่อยู่ในเกณฑ์มาตรฐาน ASTM C33/C33M [8] ที่จัดเป็นมวลรวมละเอียดดังรูปที่ 1



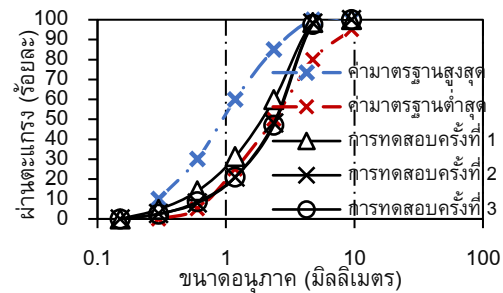
## ตารางที่ 1 สมบัติทางกายภาพของการถักปอล์มน้ำมัน หน้ากากอนามัย และหน้ากาก KF94

สมบัติ	การถักปอล์มน้ำมัน	หน้ากากอนามัย	หน้ากาก KF94
ความถ่วงจำเพาะ	1.89	-	-
การดูดซึมน้ำ (ร้อยละ)	5.20	5.91	6.20
ความหนาแน่นล้วม (กก./ลบ.ม.)	675	-	-
ความหนาอัดแน่น (กก./ลบ.ม.)	730	-	-

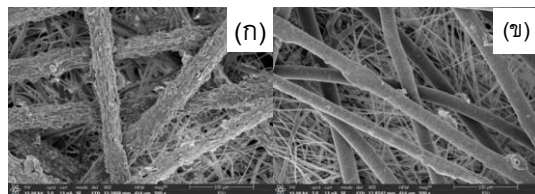
หน้ากากอนามัย (Surgical Face Mask) และหน้ากาก KF94 ที่ใช้ในการศึกษาครั้นี้ เป็นหน้ากากอนามัยที่ผ่านการใช้งาน นำหน้ากากอนามัยไปตากแดด 1 วัน จากนั้นนำเข้าอบในตู้อบที่อุณหภูมิ 70 องศาเซลเซียส เป็นเวลา 6 ชั่วโมง จากนั้นทำการเอواسยคล้องและเหล็กออกจากการถักปอล์มน้ำมันโดยการถักปอล์มน้ำมันโดยน้ำหนัก ซึ่งหน้ากากอนามัยและหน้ากาก KF94 ผลิตจากวัสดุเส้นใยโพลิโพรพิลีน Polypropylene สมบัติทางกายภาพของหน้ากากอนามัยและหน้ากาก KF94 ดังแสดงในตารางที่ 1 ลักษณะโครงสร้างระดับจุลภาคของหน้ากากทั้งสองแสดงดังรูปที่ 2 โดยรูปที่ 2(ก) ลักษณะโครงสร้างระดับจุลภาคของหน้ากากอนามัยของแผ่นชั้นนอก (3 ชั้น) มีลักษณะเส้นใยขนาดใหญ่และมีผิวขรุขระ ในขณะที่เส้นชั้นในจะมีขนาดเล็กและมีผิวเรียบซึ่งมีความแตกต่างกับลักษณะจุลภาคของหน้ากาก KF94 ที่เส้นชั้นนอกมีผิวลักษณะราบเรียบเช่นเดียวกันกับเส้นชั้นในดังรูปที่ 2 (ข)

### 2.2 ส่วนผสมและการเตรียมตัวอย่าง

การเตรียมตัวอย่างซีเมนต์มอร์ตาร์ตามอัตราส่วนผสมดังตารางที่ 2 ใช้อัตราส่วนซีเมนต์ต่อมวลรวม ละเอียด 1:2.75 โดยน้ำหนัก อัตราส่วนน้ำต่อซีเมนต์ 0.7 โดยน้ำหนัก และเปลี่ยนแปลงอัตราส่วนผสมของ



รูปที่ 1 การกระจายขนาดคละของการถักปอล์มน้ำมัน



รูปที่ 2 ลักษณะโครงสร้างระดับจุลภาคของหน้ากาก  
(ก) หน้ากากอนามัย และ (ข) หน้ากาก KF94

หน้ากากอนามัยและหน้ากาก KF94 ที่ใช้การแทนที่การถักปอล์มน้ำมันร้อยละ 0, 2, 4 และ 6 โดยน้ำหนัก ผสมซีเมนต์มอร์ตาร์ตัวร์ด้วยเครื่องผสมมอร์ตัร์จากนั้นเทเข้าแบบหล่อขนาด 50x50x50 มิลลิเมตร ตามมาตรฐาน ASTM C109/C109M [9] วางไว้ที่อุณหภูมิห้อง  $30 \pm 2$  องศาเซลเซียส เป็นเวลา 24 ชั่วโมงแบ่งแบบก้อนตัวอย่างแล้วนำไปบ่มอากาศจนครบอายุ 1, 7 และ 28 วัน สำหรับการทดสอบกำลังอัดประลัย



## ตารางที่ 2 อัตราส่วนผสมซีเมนต์มอร์ตาร์

สัญลักษณ์	ซีเมนต์	รัสดูผสมซีเมนต์มอร์ตัร์ (กรัม)			
		กากเก้าป้าล้มน้ำมัน	หน้ากากอนามัย	หน้ากาก KF94	น้ำ
CT	100	275	0	-	70
2SF	100	269.5	5.5	-	70
4SF	100	265	11	-	70
6SF	100	258.8	16.5	-	70
2KF	100	269.5	-	5.5	70
4KF	100	264	-	11	70
6KF	100	258.5	-	16.5	70

เมื่อได้ข้อมูลการทดสอบกำลังอัดประดับหัก ทดสอบการเลือกอัตราส่วนผสมที่ให้กำลังอัดที่สูง เมื่อผสมหน้ากากอนามัยและหน้ากาก KF94 มาหล่อเป็นคอนกรีตบล็อกกลวงขนาด 70x190x390 มิลลิเมตร เท่ากันกับขนาดคอนกรีตบล็อกกลวงที่มีจำหน่ายตามห้องตลาด เพื่อการทดสอบความสามารถในการกันความร้อนเทียบกับคอนกรีตบล็อกกลวงทั่วไป

### 2.3 การทดสอบ

การทดสอบกำลังอัดตัวอย่างซีเมนต์มอร์ตัร์ หลังจากแกะแบบหล่อที่ผ่านการหล่ออยู่ในแบบ 24 ชั่วโมง ก่อนตัวอย่างจะถูกบ่มต่อที่อุณหภูมิห้อง ( $30 \pm 2$  องศาเซลเซียส) ถึงอายุ 1, 7 และ 28 วัน เมื่อครบอายุบ่มนำไปทดสอบกำลังอัดตามมาตรฐาน ASTM C109/C109M [9] ด้วยเครื่อง Universal Testing Machine การทดสอบการดูดซึมน้ำใช้ก้อนตัวอย่างขนาด 50x50x50 มิลลิเมตร ที่ผ่านการบ่มอากาศที่อุณหภูมิห้องอายุ 28 วัน เริ่มจากการนำก้อนตัวอย่างไปซึ่งน้ำหนัก จากนั้นนำไปแข็งเป็นเวลา 1 ชั่วโมง แล้วยกก้อนตัวอย่าง ขึ้นมาเช็คผิวให้แห้งก่อนนำไปซึ่งน้ำหนัก หลังจากนั้นนำตัวอย่างแข็งน้ำต่ออีก 5 ชั่วโมง รวมเป็น 6 ชั่วโมง ทำต่อเนื่องที่อายุ 12 และ 24 ชั่วโมง

โดยรวมระยะเวลาแข็งก่อนหน้า นำค่าที่ได้มาคำนวณปริมาณการดูดซึมน้ำดังสมการที่ (1)

$$\left( \frac{W_x - W_{28}}{W_{28}} \right) \times 100 \quad (1)$$

$W_{28}$  = น้ำหนักก่อนแข็งน้ำ

$W_x$  = น้ำหนักหลังแข็งน้ำที่แต่ละอายุ

การทดสอบความต้านทานไฟฟ้าใช้ตัวอย่างซีเมนต์มอร์ตัร์ขนาด 50x50x50 มิลลิเมตร ทดสอบตัวอย่างที่อุณหภูมิห้องที่ผ่านการบ่ม 28 วัน ใช้เครื่อง UNI-T รุ่น UT210D โดยการใช้หัวจี้ที่ผิวของซีเมนต์มอร์ตัร์ 2 ด้าน ที่ตรงกันข้ามและอยู่ในแนวเดียวกัน เป็นเวลา 2 นาที ดังรูปที่ 3 นำค่าที่ได้ไปคูณกับความหนาของก้อนตัวอย่างดังสมการที่ (2)

$$\rho = R \times L \quad (2)$$

$\rho$  = ความต้านทานไฟฟ้า (เมกะโอร์ม-เซนติเมตร)

R = ความต้านทานไฟฟ้า (เมกะโอร์ม) ค่าจากเครื่อง

L = ความหนาตัวอย่าง (เซนติเมตร)



## บทความวิจัย

การทดสอบความสามารถในการกันความร้อนในลักษณะเดียวกันกับการทดสอบของ Salaemae และคณะ [10] ใช้ตัวอย่างขนาด  $70 \times 190 \times 390$  มิลลิเมตร ขนาดเดียวกันกับคอนกรีตบล็อกกลวงที่มีจำหน่ายในห้องทดลอง โดยทำการทดสอบในกล่องโฟมดังแสดงรูปที่ 4 ทำการติดตั้งเซ็นเซอร์วัดอุณหภูมิ 5 ตำแหน่ง เพื่อทำการวัดอุณหภูมิที่เปลี่ยนแปลงในแต่ละตำแหน่ง ในแต่ละช่วงเวลา เป็นเวลา 5 ชั่วโมง คอนกรีตบล็อกกลวงกันความร้อนมวลรวมมากกว่าเก้าปานัมนีลักษณะดังรูปที่ 5

การวิเคราะห์โครงสร้างระดับจุลภาคของซีเมนต์มอร์ต้าร์ ถ่ายรูปด้วยเครื่องถ่ายรูปอิเล็กตรอนแบบส่องกราด (Scanning Electron Microscope, SEM) รุ่น JSM 5800 ทั้งหน้ากากอนามัยและซีเมนต์มอร์ต้าร์ที่อายุ 28 วัน โดยใช้เศษตัวอย่างที่แตกหักจากกัดทดสอบกำลังอัด

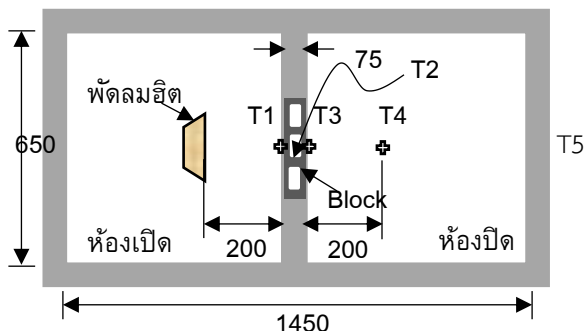
### 3. ผลการวิจัยและอภิปรายผล

#### 3.1 กำลังอัดซีเมนต์มอร์ต้าร์

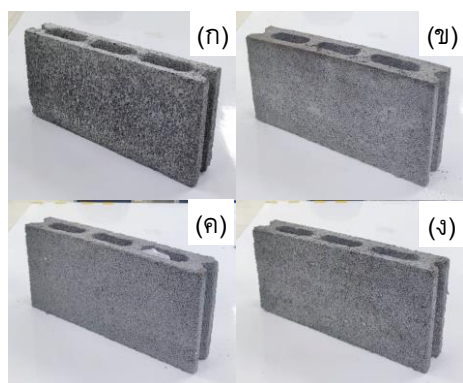
รูปที่ 6 แสดงผลการทดสอบกำลังอัดของซีเมนต์มอร์ต้าร์สมหน้ากากอนามัยและหน้ากาก KF94 แทนที่การเก้าปานัมนี (POC) ในอัตราส่วนร้อยละ 0, 2, 4 และ 6 โดยนำหัก (CT, 2SF, 4SF, 6SF, 2KF, 4KF และ 6KF) ดังตารางที่ 2 ผลการทดสอบการแทนที่ด้วยหน้ากากอนามัยดังรูปที่ 6(g) พบว่า เมื่อสมหน้ากากอนามัยค่ากำลังอัดมีค่าลดลงอย่างชัดเจน เนื่องจากการผสมหน้ากากอนามัยที่ไม่มีความแข็งในตัวนั้นเองเมื่อเทียบกับการเก้าปานัมนี จึงมีผลให้ซีเมนต์มอร์ต้าร์สามารถรับแรงได้น้อย และด้วยลักษณะทางกายภาพของหน้ากากอนามัยที่ได้ผ่าน



รูปที่ 3 การทดสอบความต้านทานไฟฟ้า



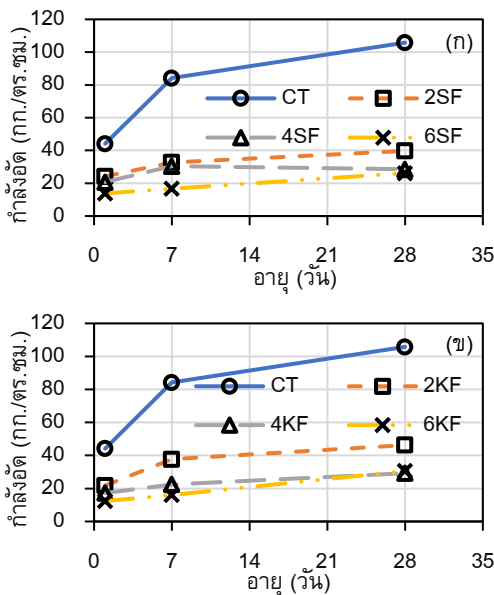
รูปที่ 4 การวางแผนตำแหน่งเซ็นเซอร์วัดอุณหภูมิและชุดทดสอบกันความร้อนคอนกรีตบล็อกกลวง



รูปที่ 5 ลักษณะทางกายภาพคอนกรีตบล็อกกลวง (g) ทั่วไป (h) CT (k) 2SF และ (j) 2KF



## บทความวิจัย



รูปที่ 6 กำลังอัดซีเม็นต์มอร์ตัร์ (ก) ผสมหน้ากากอนามัย และ (ข) ผสมหน้ากาก KF94

การตัดให้ได้ขนาด  $5 \times 5$  มิลลิเมตร นับว่าเป็นมวลรวมที่มีลักษณะแบบนอย่างชัดเจน และเป็นที่น่าสังเกตว่า ซีเม็นต์มอร์ตัร์ที่ผสมหน้ากากอนามัยมีลักษณะที่แห้งในระหว่างการผสม ซึ่งจะแตกต่างกับซีเม็นต์มอร์ตัร์ที่ไม่มีการผสมหน้ากากอนามัย เนื่องมอร์ตัร์มีความชุมเปียกทำให้ซีเม็นต์เพลต์สามารถเกิดปฏิกิริยาໄอดเรชั่น ทำให้เกิดการแข็งตัวและมีการยืดเกราะระหว่างมวลรวม ทำให้ได้กำลังอัดที่สูง แต่ด้วยการใช้อัตราส่วนน้ำต่อซีเม็นต์สูงถึง 0.7 โดยน้ำหนัก ส่งผลให้ซีเม็นต์มอร์ตัร์ควบคุม (CT) มีค่ากำลังอัดไม่สูง การผสมหน้ากากอนามัยเข้าไปทำให้เกิดการดูดซึมน้ำมากขึ้น จากที่มวลรวมหากถูกปั่นให้เป็นผงจะลดลงประมาณ 70% ซึ่งส่งผลให้มีการดูดซึมน้ำมากกว่าเดิม แต่เมื่อผสมหน้ากากอนามัยแล้ว มวลรวมจะลดลงเพียง 10% แสดงให้เห็นว่าการผสมหน้ากากอนามัยและหน้ากาก KF94 ไม่ส่งผลกระทบต่อคุณภาพของผลิตภัณฑ์มากนัก แต่เมื่อเทียบกับซีเม็นต์มอร์ตัร์ที่ไม่มีหน้ากาก ก็พบว่ามีค่ากำลังอัดที่ต่ำกว่า

ดังตารางที่ 1 เมื่อเกิดการดูดซึมน้ำมากขึ้นในระหว่างการผสมส่งให้เนื้อซีเม็นต์มอร์ตัร์แห้ง ด้วยน้ำในซีเม็นต์ถูกดูดจากหากถูกปั่นให้เป็นผงจะลดลงในทุกอัตราส่วน และเป็นที่น่าสังเกตว่าซีเม็นต์มอร์ตัร์ที่ผสมหน้ากากอนามัยค่ากำลังอัดมีการพัฒนาเล็กน้อยจาก 1 วัน ถึง 28 วัน โดยเฉพาะจาก 7 วัน ถึง 28 วัน เช่นเดียวกับซีเม็นต์มอร์ตัร์ผสมหน้ากาก KF94 ดังรูปที่ 6(ข) ค่ากำลังอัดที่ได้มีลักษณะคล้ายกันกับซีเม็นต์มอร์ตัร์ผสมหน้ากากอนามัย Miah และคณะ [11] รายงานว่า การผสมหน้ากากอนามัยในซีเม็นต์มอร์ตัร์ทำให้กำลังอัดลดลง เนื่องจากการอุดตันที่ไม่สามารถผ่านได้ แต่เมื่อเทียบกับซีเม็นต์มอร์ตัร์ที่ไม่มีหน้ากากอนามัยจะเพิ่มรูโพรงให้มากยิ่งขึ้น มีผลโดยตรงต่อค่ากำลังอัด Ghoniem และคณะ [12] กล่าวว่าเมื่อมีการผสมหน้ากากอนามัยจะส่งผลให้กำลังอัดคงทนลดลงร้อยละ 34 และกำลังดึงผ่าซีกลดลงร้อยละ 24 จากตัวอย่างการศึกษาที่ผ่านมาจะมีผลเป็นไปในลักษณะเดียวกันกับการศึกษาครั้งนี้

### 3.2 ความหนาแน่น

ความหนาแน่นซีเม็นต์มอร์ตัร์ผสมหน้ากากอนามัยและหน้ากาก KF94 ได้แสดงในรูปที่ 7 เป็นการทดสอบที่อายุ 28 วัน ของก้อนตัวอย่างที่บ่มอากาศ จากผลการทดสอบแสดงให้เห็นอย่างชัดเจนว่าการผสมหน้ากากอนามัยและหน้ากาก KF94 ส่งผลให้ความหนาแน่นซีเม็นต์มอร์ตัร์ลดลง ปริมาณหน้ากากมากเท่าใดความหนาแน่นลดลงมากเท่าใด นั่นแสดงให้เห็นว่าการผสมหน้ากากทั้งสองมีค่าความถ่วงจำเพาะน้อยกว่าการถูกปั่นให้เป็นผง แต่เมื่อเทียบกับซีเม็นต์มอร์ตัร์ที่ไม่มีหน้ากาก ก็พบว่าความหนาแน่นลดลงน้อยกว่า 10%



## บทความวิจัย

หน้ากากยังมีผลทำให้ก้อนตัวอย่างมีรูปทรงเพิ่มมากขึ้น [11] ด้วยนี้จึงส่งผลให้ตัวอย่างที่ทดสอบหน้ากากอนามัยหรือหน้ากาก KF94 มีค่าความหนาแน่น้อยกว่าตัวอย่าง CT และเมื่อพิจารณาเปรียบเทียบระหว่างหน้ากากอนามัยและหน้ากาก KF94 พบว่าความหนาแน่นของชีเมนต์มอร์ตาร์ทดสอบหน้ากาก KF94 มีค่าน้อยกว่าตัวอย่างที่ทดสอบหน้ากากอนามัย เป็นไปได้ว่าลักษณะทางกายภาพของหน้ากาก KF94 มีความหนามากกว่าหน้ากากอนามัยอย่างชัดเจน มีผลทำให้เกิดรูปทรงและซ่องว่างระหว่างกากระถางปั๊มน้ำมันได้มากกว่า ซึ่งมีความสัมพันธ์กับผลการทดสอบการดูดซึมน้ำ กล่าวคือตัวอย่างที่มีการทดสอบหน้ากาก KF94 มีการดูดซึมน้ำมากกว่าตัวอย่างที่ทดสอบหน้ากากอนามัย อย่างไรก็ตามชีเมนต์มอร์ตาร์ที่ใช้มีมวลรวมมากกว่ากากระถางปั๊มน้ำมันนีค่าน้อย เนื่องจากลักษณะทางกายภาพที่มีรูปทรงทำให้มีน้ำหนักน้อย Win และคณะ [4] พบว่าการเพิ่มปริมาณหน้ากากอนามัยมีผลให้ความหนาแน่นลดลง โดยให้เหตุผลว่าเกิดจากค่าความถ่วงจำเพาะที่มีค่าน้อยกว่ามวลรวม หากพิจารณาจากโครงสร้างระดับจุลภาคในรูปที่ 13 แสดงอย่างชัดเจนว่ามอร์ตาร์ที่ทดสอบหน้ากากอนามัยและหน้ากาก KF94 เนื้อภายในมอร์ตาร์มีรูปทรงและความไม่เป็นเนื้อเดียวกันมากกว่ามอร์ตาร์ที่ไม่มีการทดสอบหน้ากาก และด้วยการใช้กากระถางปั๊มน้ำมันเป็นมวลรวมหลักทำให้ความหนาแน่นน้อยกว่าชีเมนต์มอร์ตาร์ปกติที่ใช้ทรายแม่น้ำ

### 3.3 การดูดซึมน้ำ

การทดสอบการดูดซึมน้ำใช้ตัวอย่างขนาด  $50 \times 50 \times 50$  มิลลิเมตร โดยการบ่มจากตากที่อุณหภูมิห้อง ( $30 \pm 2$  องศาเซลเซียส) เป็นเวลา 28 วัน ผลการทดสอบพบว่าการดูดซึมน้ำมีแนวโน้มสูงขึ้น

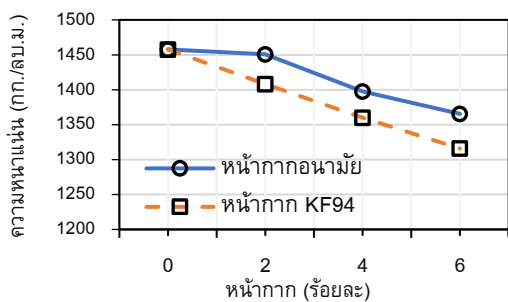
อย่างชัดเจนเมื่อระยะเวลาบ่มน้ำมากขึ้นในทุกอัตราส่วนผสม เนื่องจากระยะเวลาเช่นนี้ยังนานทำให้ก้อนตัวอย่างมีเวลาในการดูดซึมน้ำมากขึ้น ซึ่งมีลักษณะเป็นไปในทิศทางเดียวกันทั้งการทดสอบหน้ากากอนามัยและหน้ากาก KF94 ดังรูปที่ 8 เมื่อพิจารณาจากผลของปริมาณหน้ากากอนามัยพบว่า การเพิ่มปริมาณหน้ากากอนามัยมากขึ้นทำให้การดูดซึมน้ำยิ่งมากขึ้น โดยเฉพาะเมื่อใช้หน้ากากอนามัยร้อยละ 6 การดูดซึมน้ำเพิ่มขึ้นร้อยละ 66.5 ที่การแข็ง化 24 ชั่วโมง เช่นเดียวกันกับอย่างที่ทดสอบหน้ากาก KF94 การดูดซึมน้ำเพิ่มขึ้นร้อยละ 81.6 การเพิ่มขึ้นของค่าการดูดซึมน้ำเมื่อเพิ่มปริมาณหน้ากาก เนื่องจากหน้ากากทั้งสองมีค่าการดูดซึมน้ำมากกว่ากากระถางปั๊มน้ำมันดังตารางที่ 1 การดูดซึมน้ำที่มากขึ้นยังสอดคล้องกับผลการวิเคราะห์โครงสร้างระดับจุลภาค ที่แสดงให้เห็นว่าการทดสอบหน้ากากอนามัยและหน้ากาก KF94 ยังส่งผลให้เนื้อชีเมนต์มอร์ตาร์มีรูปทรงมากขึ้น เนื่องมอร์ตาร์ไม่มีความเป็นเนื้อเดียวกันเมื่อเทียบกับตัวอย่างที่ไม่ทดสอบหน้ากาก ผลการทดสอบการดูดซึมน้ำมีลักษณะเป็นไปในทิศทางเดียวกันกับการศึกษาของ Win และคณะ [4] ที่พบว่าการเพิ่มปริมาณหน้ากากอนามัยจะเพิ่มความพรุนและการดูดซึมน้ำมากขึ้น และยังพบอีกว่าหน้ากากอนามัยที่มีขนาดใหญ่กว่ามีผลทำให้การดูดซึมน้ำมากกว่า Ajam และคณะ [13] พบว่าชีเมนต์มอร์ตาร์ที่ทดสอบหน้ากากอนามัยทำให้น้ำไหลผ่านเนื้อมอร์ตาร์ได้มากขึ้น

### 3.4 ความต้านทานไฟฟ้า

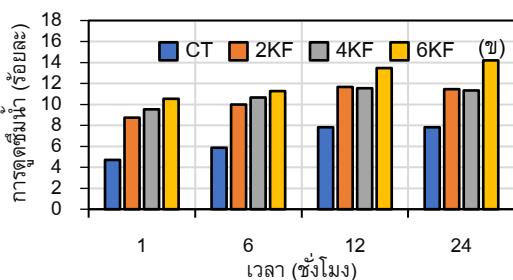
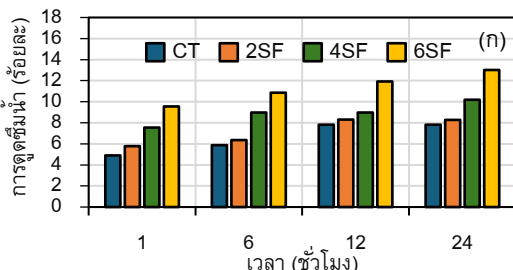
ความต้านทานไฟฟ้าของชีเมนต์มอร์ตาร์ดังรูปที่ 9 แสดงให้เห็นอย่างชัดเจนเมื่อเพิ่มปริมาณหน้ากากอนามัยและหน้ากาก KF94 ค่าความต้านไฟฟ้ามีค่า



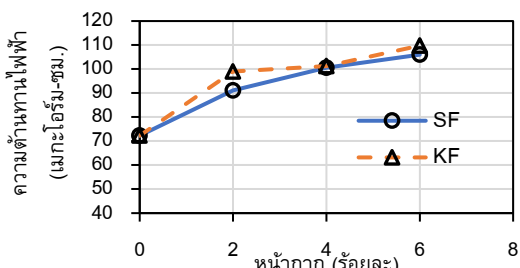
## บทความวิจัย



รูปที่ 7 ความหนาแน่นซีเมนต์มอร์ตัร์



รูปที่ 8 ค่าการดูดซึมน้ำซีเมนต์มอร์ตัร์ (g) ผสมหน้ากากอนามัย และ (g) ผสมหน้ากาก KF94



รูปที่ 9 ค่าความด้านทานไฟฟ้าซีเมนต์มอร์ตัร์

เพิ่มมากขึ้น โดยเฉพาะเมื่อเปรียบเทียบตัวอย่างที่ผสมหน้ากากร้อยละ 2 (2SF และ 2KF) กับตัวอย่างที่ไม่ผสมหน้ากาก พบว่าเมื่อผสมหน้ากากอนามัยร้อยละ 2 ความต้านทานไฟฟ้าเพิ่มขึ้นร้อยละ 26.18 และเมื่อผสมหน้ากาก KF94 ร้อยละ 2 ค่าความต้านทานไฟฟ้าเพิ่มขึ้นร้อยละ 36.96 การเพิ่มขึ้นของความต้านทานไฟฟ้าเมื่อผสมหน้ากากทั้งสองพบว่าได้สร้างความพรุนของซีเมนต์มอร์ตัร์จากการแทรกตัวของหน้ากากระหว่างซีเมนต์เพสต์ด้วยกันและระหว่างซีเมนต์เพสต์กับมวลรวม ความพรุนและความไม่เป็นเนื้อเดียวสามารถยืนยันจากการวิเคราะห์โครงสร้างระดับจุลภาคดังรูปที่ 13 ยิ่งไปกว่านั้นวัสดุหน้ากากอนามัยและหน้ากาก KF94 จะเป็นโพลิ-โพร์ไพลีน Polypropylene ซึ่งเป็นผ้าไส้สังเคราะห์ที่ไม่ผ่านการถักทอสามารถต้านทานไฟฟ้าได้ดี Horsakulthai [14] ได้แสดงให้เห็นว่าคุณค่าที่มีความพรุนสูงค่าความต้านทานไฟฟ้าเพิ่มมากขึ้นตามไปด้วย

### 3.5 ความสัมพันธ์ของกำลังอัดกับความต้านทานไฟฟ้า

ความสัมพันธ์ทางคณิตศาสตร์ของค่ากำลังอัดและค่าความต้านทานไฟฟ้าของซีเมนต์มอร์ตัร์ผสมหน้ากากที่มีการเต้าปালม์นำมันเป็นมวลรวมจะเป็นดังรูปที่ 10 รูปที่ 10(g) แสดงถึงการเปลี่ยนแปลงกำลังอัดต่อการเปลี่ยนแปลงความต้านทานไฟฟ้ามอร์ตัร์ที่อัตราส่วนหน้ากากอนามัยแตกต่างกัน ในขณะที่รูปที่ 10(ข) เปลี่ยนเป็นการใช้หน้ากาก KF94 แทนที่การเต้าปা�ลม์นำมัน ในทั้งสองกรณี กำลังอัดของซีเมนต์มอร์ตัร์มีความสัมพันธ์เชิงลบกับความ

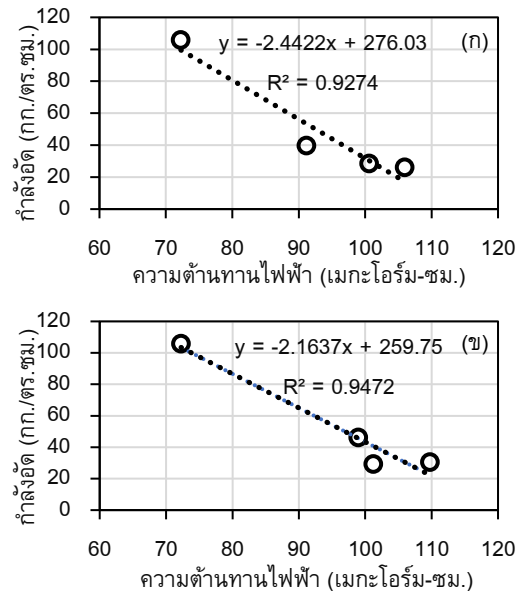


บทความวิจัย

ด้านทานไฟฟ้าดังรูปที่ 10(ก) และ 10(ข) เมื่อความดันไฟฟ้าเพิ่มขึ้นกำลังอัตราจะมีค่าลดลง ความสัมพันธ์ทางคณิตศาสตร์ที่พัฒนาขึ้นถูกประมาณด้วยค่าสัมประสิทธิ์การทดอยู่ที่สูง ( $R^2$ ) เท่ากับ 0.9274 และ 0.9472 สำหรับตัวอย่างที่ทดสอบหน้ากากอนามัยและหน้ากาก KF94 ตามลำดับ ความสัมพันธ์ของความดันทานไฟฟ้าและกำลังอัตราสามารถใช้ในการคาดการณ์คุณสมบัติหนึ่งจากอีกคุณสมบัติหนึ่งได้

### 3.6 ความสามารถกันความร้อน

การทดสอบความสามารถกันความของคอนกรีตบล็อกกลวงจากการศึกษาครั้งนี้ ใช้ตัวอย่างขนาดเดียวกันกับตัวอย่างคอนกรีตบล็อกกลวงที่มีจำหน่ายในห้องทดลองที่มีขนาด  $70 \times 190 \times 390$  มิลลิเมตร 3 ช่องว่างอากาศ ผลการทดสอบดังแสดงดังรูปที่ 11 เมื่อพิจารณาเส้นการกระจายตัวของอุณหภูมิของคอนกรีตบล็อกกลวงทั่วไปดังรูปที่ 11(ก) พบว่าเมื่อให้ความร้อนที่ต่ำแห่งผิวคอนกรีตบล็อกกลวง T1 (ผิวด้านที่รับความร้อน) ความร้อนจะเพิ่มขึ้นในอัตราที่เร็วในช่วง 1 ชั่วโมง แรก แล้วค่อย ๆ เพิ่มขึ้นในอัตราที่ช้าไปจนถึง 3 ชั่วโมง ในขณะที่คอนกรีตบล็อกกลวงที่ใช้มวลรวมเก้าปัลล์น้ำมันอัตราการเพิ่มของอุณหภูมิจะเกิดขึ้นที่ช้ามองแรก หลังจากนั้นอุณหภูมิเริ่มคงที่แต่คอนกรีตบล็อกกลวงที่ทดสอบหน้ากากอนามัยและหน้ากาก KF94 อุณหภูมิเริ่มคงที่หลังจากสองชั่วโมงผ่านไป เป็นไปได้ว่าการทดสอบหน้ากากทั้งสองชนิดทำให้คอนกรีตบล็อกกลวงมีอุณหภูมิเพิ่มขึ้นอย่างช้า ๆ และเมื่อพิจารณาถึงความแตกต่างของอุณหภูมิของผิวคอนกรีตบล็อกกลวงทั้งสองด้าน คือด้านที่รับความร้อน (T1) และด้านตรงกันข้าม (T3) พบว่าคอนกรีตบล็อกกลวงทั่วไปมีช่วงความต่างที่แคบกว่าคอนกรีต



รูปที่ 10 ความสัมพันธ์ของความดันทานไฟฟ้ากับกำลังอัตรา (ก) หน้ากากอนามัย และ(ข) หน้ากาก KF94

บล็อกกลวงมวลรวมมากสามารถเก้าปัลล์น้ำมันอย่างชัดเจนแสดงให้เห็นว่าการใช้มวลรวมมากสามารถเก้าปัลล์น้ำมันที่มีรูโพรงจำนวนมากสามารถป้องกันความร้อนได้ดีกว่าคอนกรีตบล็อกกลวงทั่วไปที่ใช้หินเกร็ดเป็นมวลรวมซึ่งเป็นมวลรวมที่มีความหนาแน่นสูง ไม่มีรูโพรงทำให้ความร้อนสามารถไหลผ่านได้ดี นอกจากนั้นยังพบอีกว่าระหว่างช่องของคอนกรีตบล็อกกลวง (T2) กับผิวด้านเย็น (T3) เส้นกราฟของคอนกรีตบล็อกกลวงทั่วไปมีความแคบ แสดงถึงความสามารถในการกันความร้อนได้น้อย ในขณะที่ผลการทดสอบของคอนกรีตบล็อกกลวงมวลรวมมากสามารถเก้าปัลล์น้ำมันกราฟทั้งสองเส้นมีระยะห่างกันอย่างชัดเจนเมื่อเทียบกับคอนกรีตบล็อกกลวงทั่วไป จากการทดสอบของ Singh และคณะ [15] พบว่าการทำให้ก้อนตัวอย่างมี

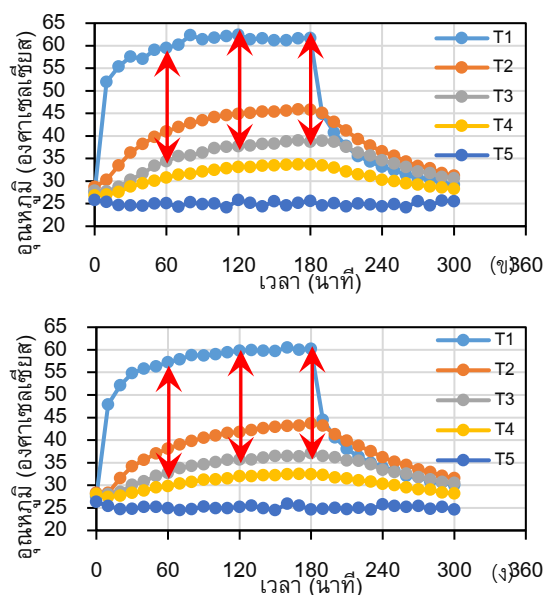
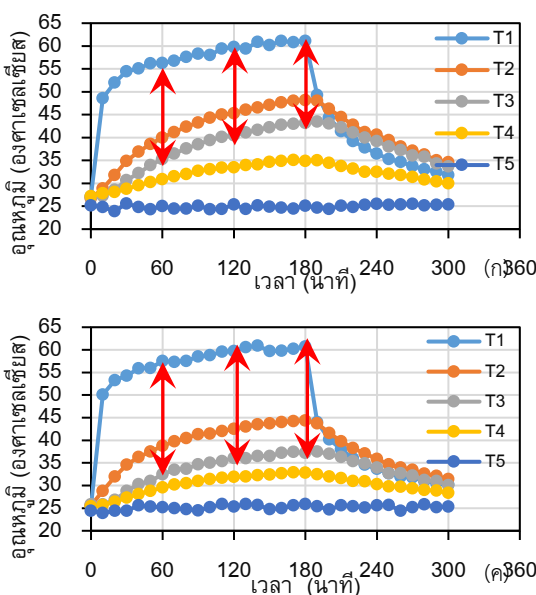


## บทความวิจัย

รูปทรงปริมาณมากขึ้นจะส่งผลให้การนำความร้อนลดลง หลังจากหยุดให้ความร้อนที่ผิวเมื่อเวลาผ่านไป 3 ชั่วโมง พบร่วมกับผิวด้านร้อน (T1) อุณหภูมิลดลงอย่างรวดเร็วในทุกด้านอย่างที่ทดสอบเนื่องจากที่ตำแหน่ง T1 จะสัมผัสน้ำหนักอุณหภูมิห้อง ในขณะที่ตำแหน่งอื่น ๆ อุณหภูมิลดลงอย่างช้า ๆ

รูปที่ 12 แสดงให้เห็นถึงความแตกต่างในความสามารถกันความร้อนของคอนกรีตบล็อกกลวงทั่วไปและอิฐบล็อกมวลรวมหากເถັ້ນປາລົມໜ້າມັນคอนกรีตบล็อกกลวงทั่วไปเมื่อได้รับความร้อนเป็นเวลา 40 นาที ความสามารถในการกันความร้อนลดลงอย่างชัดเจนเมื่อเทียบกับคอนกรีตบล็อกกลวง และลดลงอย่างรวดเร็วไปจนถึง 100 นาที หลังจากนั้นความสามารถในการกันความร้อนเริ่มคงที่ ในขณะที่ตัวอย่าง CT, 2SF และ 2KF ความสามารถในการกัน

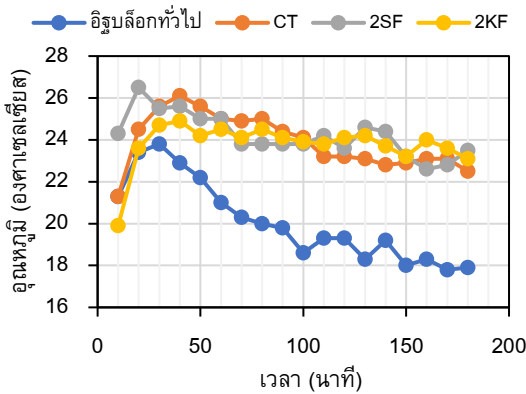
ความร้อนลดลงอย่างช้า ๆ ตั้งเวลา 40 นาที ความแตกต่างของความร้อนที่ผิวตำแหน่งร้อน (T1) มีอุณหภูมิลดลง (กันความร้อนได้น้อย) เมื่อเทียบกับผิวคอนกรีตบล็อกกลวงด้านตรงข้าม (T3) นั้นแสดงให้พิจารณาเห็นว่าคอนกรีตบล็อกกลวงมวลรวมหากເถັ້ນປາລົມໜ້າມັນด้วยกัน พบร่วมกับการทดสอบหน้ากากอนามัยและหน้ากาก KF94 สามารถกันความร้อนได้ดีขึ้นเล็กน้อยเมื่อเวลาผ่านไป 100 นาที ดังนั้นในการศึกษาความสามารถกันความร้อนของคอนกรีตบล็อกกลวงสามารถแสดงให้เห็นอย่างชัดเจนว่ามวลรวมหากເถັ້ນປາລົມໜ້າມັນที่มีความพรุนสูง มีผลกระทบต่อความสามารถกันความร้อนได้มาก ในขณะที่หน้ากากอนามัยและหน้า KF94 ส่งผลกระทบเพียงเล็กน้อย



รูปที่ 11 การเปลี่ยนแปลงอุณหภูมิแต่ละตำแหน่ง (ก) คอนกรีตบล็อกกลวงทั่วไป (ข) CT (ค) 2SF และ (ง) 2KF



บทความวิจัย

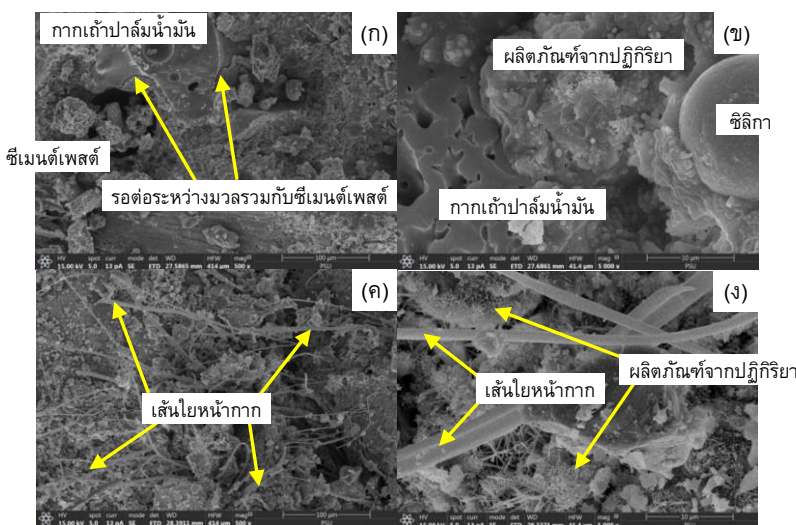


รูปที่ 12 อุณหภูมิที่เปลี่ยนแปลงระหว่าง T1 และ T3

### 3.7 โครงสร้างระดับจุลภาค

การวิเคราะห์โครงสร้างระดับจุลภาคของตัวอย่างมอร์ต้าร์ ใช้ชิ้นส่วนตัวอย่างที่แตกหักหลังจากการทดสอบกำลังอัดที่ 28 วัน โดยทำการวิเคราะห์โครงสร้างที่กำลังขยาย 500 เท่า และ 5,000 เท่า ดังรูปที่ 13 รูปกำลังขยายสูงแสดงถึงภาพรวมของ

เนื้อในของตัวอย่างมอร์ต้าร์ที่ไม่ผสานหน้ากาก (รูปที่ 13(ก)) แสดงให้เห็นซีเมนต์เพสต์ และการเก้าป้าล์มน้ำมัน และยังสามารถแสดงให้เห็นความเป็นเนื้อเดียวกันของมอร์ต้าร์ ก่อร่องคือ เนื้อมีความทึบแน่น มีรูโพรงของซีเมนต์เพสต์เล็กน้อย ซึ่งสอดคล้องกับผลการทดสอบความหนาแน่นและการดูดซึมน้ำดังรูปที่ 7 และ รูปที่ 8 ตามลำดับ ในขณะเดียวกันจะเห็นรูโพรงอย่างชัดเจนจำนวนหนึ่งในรูปที่ 13(ข) ที่เกิดจากมวลรวมการเก้าป้าล์มน้ำมัน รูปที่ 13(ข) แสดงให้เห็นอย่างชัดเจนของผลิตภัณฑ์หลังจากเกิดปฏิกิริยาแสดงการยึดเกาะที่ดีระหว่างการเก้าป้าล์มน้ำมันกับซีเมนต์เพสต์ อย่างไรก็ตามเมื่อซีเมนต์มอร์ต้าร์มีการผสานหน้ากากอนามัย เมื่อทำการวิเคราะห์โครงสร้างระดับจุลภาคแล้วพบว่า ตัวอย่างมอร์ต้าร์โดยภาพรวมมีชิ้นส่วนคล้ายเกล็ดบริเวณผิวเป็นจำนวนมาก ซึ่งแสดงถึงความไม่เป็นเนื้อเดียวกันอย่างชัดเจน



รูปที่ 13 โครงสร้างระดับจุลภาคซีเมนต์มอร์ต้าร์ (ก) CT 200x (ข) CT 5000x (ค) 2SF 200x และ (ง) 2SF 5000x



บทความวิจัย

ดังรูปที่ 12(ค) และยังพบอีกว่าเส้นไขหน้ากากอนามัยไม่มีการยึดหน่วงกับชีเมนต์เพสต์ สิ่งเหล่านี้นั้นสามารถอธิบายได้เป็นอย่างดีถึงผลกระทบด้านลบต่อกำลังอัดของชีเมนต์มอร์ต้าร์ ผิวของเส้นไขหน้ากากแบบไม่มีชีเมนต์เข้ามาบดหน่วง โดยการศึกษาครั้งนี้มีความสอดคล้องกับการทดสอบของ Win และ คณะ [4] ที่มีการใช้หน้ากากอนามัยผสมชีเมนต์มอร์ต้าร์ในอัตราส่วนต่าง ๆ

#### 4. สรุปผล

หน้ากากอนามัยและหน้ากาก KF94 ที่ผ่านการตัดให้มีขนาดเล็ก เมื่อนำมาทดสอบกับมวลรวมอากาศເຄົ້າປາລົມນ້ຳມັນບາງສ່ວນໃນชີເມັນຕົມອົບຕົມຕ້າຮ້າ ຊຶ່ງແນ່ວ່າມີການກຳລັງອັດທີ່ໄດ້ມີຄ່ານ້ອຍແຕ່ຍັງສາມາດປະຽກດີໃຫ້ເປັນວັສດຸທີ່ໄມ່ຕ້ອງຮັບແຮງເຊັ່ນ ຜັນງ ຄອນກົງຕົບລືອກກລວງເປັນຕົ້ນ

1. การใช้หน้ากากอนามัยและหน้ากาก KF94 ส่งผลให้ມີການກຳລັງອັດຈີ່ເມັນຕົມອົບຕົມຕ້າຮ້າມີຄ່າລດລົງທັງສອງ ໂດຍກຳລັງອັດທີ່ອາຍຸ 28 ວັນອູ້ງໃນຂ່າວ 26.2-39.7 ກິໂລກຣັມຕ່ອດຕາງເຊົນຕິເມີຕຣ ສໍາຮັບການພສມ ບັນຫາກອນນາມຍົກຍະລະ 2-6 ໂດຍນ້ຳທັກ ໃນຂະໜາດທີ່ການໃຊ້หน้าກາກ KF94 ກຳລັງອັດທີ່ໄດ້ອູ້ງໃນຂ່າວ 29.2-46.3 ກິໂລກຣັມຕ່ອດຕາງເຊົນຕິເມີຕຣ

2. ຄວາມໜ້າແນ່ນຂອງຈີ່ເມັນຕົມອົບຕົມຕ້າຮ້າມີມາລວມ ການເຄົ້າປາລົມມີຄ່າລດລົງມີເພື່ອພື້ນໜ້າກາກທັງສອງໜີດ ອຳຍ່າງໄກກີຕາມຄ່າຄວາມໜ້າແນ່ນທີ່ລດລົງໃນອັດຕະວຸນນ້ອຍເມື່ອເທີຍບັນກັນກຳລັງອັດ

3. ການເພີ່ມຂຶ້ນຂອງໜ້າກາກອນນາມຍົກຍະແລະໜ້າກາກ KF94 ທຳໄຫ້ການດູດຊືມນ້ຳເພີ່ມຂຶ້ນຍ່າງຊັດເຈັນ ແລະເມື່ອແຂ່້ນ້ານານຂຶ້ນການດູດຊືມນ້ຳຍິ່ງມາກີ່ນ

4. ຄວາມຕ້ານທານໄຟຟ້າຂອງຈີ່ເມັນຕົມອົບຕົມຕ້າຮ້າມີຄ່າເພີ່ມຂຶ້ນເມື່ອປະມານໜ້າກາກອນນາມຍົກຍະແລະໜ້າກາກ KF94 ນາກີ່ນ ທີ່ຈະມີຄວາມສັນພັນທີ່ຊັດເຈັນກັບຄ່າກຳລັງອັດ ກຳລັງອັດທີ່ມີຄວາມຕ້ານທານໄຟຟ້າມາກີ່ນຄ່າກຳລັງອັດຈີ່ເມັນຕົມອົບຕົມຕ້າຮ້າລດລົງ

5. ຄອນກົງຕົບລືອກກລວງມາລວມກາເຄົ້າປາລົມນ້ຳມີຜົນກຳລັງອັດໜ້າກາກອນນາມຍົກຍະແລະໜ້າກາກ KF94 ສາມາດໃຫ້ເຫັນຖື່ງຄວາມສາມາດໃນການກັນຄວາມຮ້ອນ (ອຸນຫະກົມີ) ໄດ້ເຖິງວ່າຄອນກົງຕົບລືອກກລວງທີ່ໄປທີ່ມີຈຳໜ່າຍໃນທົ່ວໂລກດອຍ່າງຊັດເຈັນ ໃນຂະໜາດທີ່ຄອນກົງຕົບລືອກກລວງພສມໜ້າກາກອນນາມຍົກຍະແລະໜ້າກາກ KF94 ຮ້ອຍລະ 2 ເມື່ອໃຫ້ຄວາມຮ້ອນເປັນເວລາ 100 ນາທີ ຂີ່ນໄປພວບວ່າສາມາດກັນຄວາມຮ້ອນໄດ້ເຖິງວ່າຄອນກົງຕົບລືອກກລວງໄມ່ພສມໜ້າກາກ

6. ກາຣົວເຄຣະໂຄຣສ້າງຮະດັບຈຸລາກຸດແສດງໃຫ້ເຫັນຍ່າງຊັດເຈັນຖື່ງເສັ້ນໄຟຟ້າມີຄວາມເປັນຕົວຍັບຍັງການຢືດໜ້າວ່າຈີ່ເມັນຕົມເພື່ອກັບກາກເຄົ້າປາລົມນ້ຳມັນ ສັ່ງຜູລໃຫ້ມອົບຕົມໄມ່ມີຄວາມເປັນເນື້ອເດີວັກນ ແລະ ທຳໄຫ້ເກີດໂປຣມາກີ່ນ ທີ່ຈີ່ມີຜົນໂດຍຕຽບຕ່ອງການລດລົງຂອງກຳລັງອັດ

ຈາກຜົນກົງຕົບລືອກກລວງບັນຫາປັດຈຸບັນມາລວມ ກາກເຄົ້າປາລົມນ້ຳມັນແລະໜ້າກາກອນນາມຍົກຍະແລະໜ້າກາກ KF94 ຊຶ່ງແນ່ວ່າມີການກຳລັງອັດທີ່ໄດ້ມີຄ່າໄມ່ສູງມາກັນນັກ ແຕ່ມີຄວາມໜ້າແນ່ນຕໍ່ແລະມີຄວາມສາມາດໃນການກັນຄວາມຮ້ອນໄດ້ຕື່ ແລະ ຍິ່ງໄປກວ່ານ້ຳມັນມາລວມເປັນວັສດຸເໜືອທີ່ກັ້ງທັງໝົດ ມາລວມກາເຄົ້າປາລົມນ້ຳມັນຈາກໂຮງໄຟຟ້າມີມາລ ແລະໜ້າກາກອນນາມຍົກຍະແລະໜ້າກາກ KF94 ວັສດຸເໜືອທີ່ກັ້ງຈາກການໃຊ້ງານໃນຈິວິດປະຈຳວັນ ການໃຊ້ວັສດຸເໜືອທີ່ກັ້ງຈະເປັນການຊ່າຍລົດປະມານຂະຍະໄດ້ອີກທາງໜຶ່ງ



## 5. กิตติกรรมประกาศ

คณะกรรมการวิจัยขอขอบคุณสำนักงานคณะกรรมการการส่งเสริมวิทยาศาสตร์ วิจัยและนวัตกรรม (สกสว) ให้การสนับสนุนทุนวิจัย ขอขอบคุณหน่วยวิจัยโครงสร้างพื้นฐานและนวัตกรรมวัสดุ และสาขาวิชาวิศวกรรมโยธา คณะวิศวกรรมศาสตร์ มหาวิทยาลัยราชภัฏวิชาชีวะ รatchaburi ให้การสนับสนุนเครื่องมืออุปกรณ์ในการทำวิจัยครั้งนี้

## 6. เอกสารอ้างอิง

- [1] [https://www.tcc.or.th/tcc\\_media/maskkf94-infographic-3/](https://www.tcc.or.th/tcc_media/maskkf94-infographic-3/) (Accessed on 8th June 2025)
- [2] S.K. Lynch, M. Saberian, J. Li, R. Poychand and G. Zhang, Preliminary evaluation of the feasibility of using polypropylene fibres from COVID-19 single-use face masks to improve the mechanical properties of concrete, *Journal of Cleaner Production*, 2021, 296, 126460.
- [3] K. Thoudam, N. Hossiney, S.L. Kumar, J. Alex, A. Bhakikar and A. Fathima, Assessing performance of alkali-activated bricks incorporated with processed surgical masks, *Journal of Materials Research and Technology*, 2023, 25, 6432-6445.
- [4] T.T. Win, P. Jongvivatsakul, T. Jirawattanasomkul, L. Prasittisopin and S. Likitlersuang, Use of polypropylene fibers extracted from recycled surgical face masks in cement mortar, *Construction and Building Materials*, 2023, 391, 131845.
- [5] M.T. Aziz, M.S.S. Hossain, M.A. Hasan and M.A. Mohiuddin, Utilization of face masks and ladle furnace slag in concrete: Insights from experimental study, *Cleaner Engineering and Technology*, 2023, 100653.
- [6] TIS 57-2560, Hollow Loadbearing Concrete Masonry Unit, 2560. (in Thai)
- [7] TIS 58-2560, Hollow Non-loadbearing Concrete Masonry Unit, 2560. (in Thai)
- [8] ASTM C33/C33M-23, Standard Specification for Concrete Aggregates, 2023.
- [9] ASTM C109/C109M-21, Standard Test Method for Compressive Strength of Hydraulic Cement Mortars (Using 2-in. or [50 mm] Cube Specimens), 2021.
- [10] P. Salaemae, A. Abdulmatin, W. Prachasaree and A. Hawa, Enhancing geopolymers: The role of surgical face masks in modifying mechanical and thermal properties, *Engineering and Applied Science Research*, 2025, 52(1), 1-16.
- [11] M.D.J. Miah, J. Pei, H. Kim, R. Sharma, J.G. Jang and J. Ahn, Property assessment of an eco-friendly mortar reinforced with recycled mask fiber derived from COVID-19 single-use face masks, *Journal of Building Engineering*, 2023, 66, 105885.



บพคามวจชย

วารสารวิชาการเทคโนโลยีอุตสาหกรรม (The Journal of Industrial Technology)

ISSN (online): 2697-5548

DOI: 10.14416/j.ind.tech.2025.08.007

- [12] A.G. Ghoniem, L.A. Nour, M. Zelenáková, E. Dolníková, D. Katunský and M.H. El-Feky, Axial compressive and cyclic lateral behavior of a structural masonry prism constructed from crushed COVID-19 face masks concrete bricks, *Engineering Reports*, 2024, e12895.
- [13] L. Ajam, A. Trabelsi and Z. Kammoun, Valorisation of face mask waste in mortar, *Innovative Infrastructure Solutions*, 2022, 7, 130.
- [14] V. Horsakulthai, Effect of recycled concrete powder on strength, electrical resistivity, and water absorption of self-compacting mortars, *Case Studies in Construction Material*, 2021, 15, e00725.
- [15] R.J. Singh, A. Raut, A.L. Murmu and M. Jameel, Influence of Glass Powder Incorporated Foamed Geopolymer Blocks on Thermal and Energy Analysis of Building Envelope, *Journal of Building Engineering*, 2021, 43, 102520.



## การปรับปรุงประสิทธิภาพการผลิตในกระบวนการผลิตเพลทคอล์ร้อน

สุชาดี สำราญสุข\*

ภาควิชาการบริหารอุตสาหกรรมการผลิตและบริการ, คณะพัฒนาธุรกิจและอุตสาหกรรม,  
มหาวิทยาลัยเทคโนโลยีพระจอมเกล้าพระนครเหนือ

\* ผู้ประสานงานเผยแพร่ (Corresponding Author), E-mail: suchadee.t@bid.kmutnb.ac.th

วันที่รับบทความ: 29 เมษายน 2568; วันที่ทบทวนบทความ: 25 มิถุนายน 2568; วันที่ตอบรับบทความ: 28 มิถุนายน 2568  
วันที่เผยแพร่อง่าฯลฯ: 19 สิงหาคม 2568

**บทคัดย่อ:** งานวิจัยนี้มีวัตถุประสงค์เพื่อปรับปรุงประสิทธิภาพกระบวนการผลิตเพลทคอล์ร้อน โดยปัญหาที่พบคือ ชิ้นงานผลิตไม่ทันเวลาและไม่ตรงตามแผน กระบวนการวิจัยเริ่มจากการศึกษากระบวนการทำงานของหน่วยงานผลิตเพลทคอล์ร้อน จากนั้นวิเคราะห์หาสาเหตุของปัญหาด้วยหลักการระดมสมอง และแผนผังสาเหตุ และผล จากการศึกษาพบว่าขั้นตอนการลับคอมครีบชิ้นงานทำให้เกิดความล่าช้า จึงนำหลักการ ECRS ใช้การจัดขั้นตอนการลับคอมชิ้นงาน จากการปรับปรุงค่าซ่องว่างของダイ (Die Clearance) เพื่อให้มีความเหมาะสมกับขนาดความหนาของชนิดวัสดุที่ใช้ในการลับคอมชิ้นงาน นำไปใช้ในการปรับปรุงกระบวนการพับเพลทด้านข้างคอล์เพื่อลดความสูญเปล่า หลังการปรับปรุง พบร่วมชิ้นงานไม่มีกิตครีบ (Burr) ที่ขوبชิ้นงาน ทำให้ลดขั้นตอนและเวลาการทำงานของชิ้นส่วน โครงสร้างเดิม 2,630.58 วินาที หลังปรับปรุง 1,363.81 วินาที หรือคิดเป็นร้อยละ 48.16 และชิ้นส่วนเพลท ต้านทานชัย-ขวาจากเดิม 3,769.96 วินาที หลังปรับปรุงเหลือ 1,886.62 วินาที หรือคิดเป็นร้อยละ 49.96 นอกจากร่นยังสามารถผลิตชิ้นส่วนโครงสร้างเดิมเฉลี่ย 170 ชิ้นต่อวัน หลังปรับปรุงเฉลี่ยเพิ่มขึ้น 295 ชิ้นต่อวัน คิดเป็นร้อยละ 73.53 และชิ้นส่วนเพลทด้านชัยขวาจากเดิมเฉลี่ย 213 ชิ้นต่อวัน หลังปรับปรุงเฉลี่ยเพิ่มขึ้นเป็น 427 ชิ้นต่อวัน คิดเป็นร้อยละ 100.00

**คำสำคัญ:** การปรับปรุงประสิทธิภาพในกระบวนการผลิต; กระบวนการผลิตเพลทคอล์ร้อน; แผนผังสาเหตุและผล; ECRS; ระยะซ่องว่างของแม่พิมพ์



## Improving Production Efficiency in Hot Coil Plate Production Process

Suchadee Tumrongsuk\*

Department of Manufacturing and Service Industry Management,

Faculty of Business and Industrial Development, King Mongkut's University of Technology North Bangkok

\*Corresponding author, E-mail: suchadee.t@bid.kmutnb.ac.th

Received: 29 April 2025; Revised 25 June 2025; Accepted: 28 June 2025

Online Published: 19 August 2025

**Abstract:** This research aimed to improve the production efficiency of hot coil plates. The main problems identified were production delays and deviation from the planned schedule. The study began with an analysis of the hot coil plate production process, followed by brainstorming and the use of a cause-and-effect diagram to identify the root causes. It was found that the deburring process caused significant delays. The ECRS principle was applied, specifically by eliminating the deburring step through the adjustment of die clearance to suit the thickness of the material type, in order to improve the edge folding process and reduce waste. After the improvement, burr formation at the workpiece edge was eliminated, leading to the removal of unnecessary steps and a reduction in processing time. The processing time for the fan frame component was reduced from 2,630.58 seconds to 1,363.81 seconds, a reduction of 48.16 percent. For the left and right plate components, the time was reduced from 3,769.96 seconds to 1,886.62 seconds, a reduction of 49.96 percent. Additionally, the average daily production of fan frame components increased from 170 to 295 units, an increase of 73.53 percent, and the left and right plate components increased from 213 to 427 units per day, an increase of 100.00 percent.

**Keywords:** Improving Efficiency in the Production Process; Hot Coil Plate Production Process;

Cause and Effect Diagram; ECRS, Die Clearance



## 1. บทนำ

อุตสาหกรรมทำความเย็นเป็นอุตสาหกรรมที่มีความสำคัญต่อประเทศ และมีบทบาทอย่างมากในชีวิตประจำวัน เนื่องจากเราราชั้ยเครื่องทำความเย็นในที่พักอาศัยรวมถึงอาคาร เพื่อให้บุคลากรหรือพนักงานทำงานได้อย่างมีประสิทธิภาพ แม้กระหงสินค้าบางอย่างของธุรกิจที่ยังมีความจำเป็นต้องใช้เครื่องทำความเย็น เพื่อเก็บรักษาคุณภาพของสินค้า ปัจจุบันที่มีความเจริญก้าวหน้าด้านเทคโนโลยี มีการคิดค้น พัฒนาสิ่งอำนวยความสะดวกต่าง ๆ และยังสามารถตอบสนองต่อความต้องการให้กับมนุษย์ เมื่อความต้องการมากขึ้น ธุรกิจประเภทเดียวกันได้ก่อตั้งขึ้นมาอย่างมาก มีการแข่งขันทางด้านราคา ด้านเทคโนโลยี ด้านคุณภาพ ซึ่งส่งผลให้กับผู้บริโภคได้มีตัวเลือกในการตัดสินใจเลือกซื้อมากขึ้น เช่นเดียวกับธุรกิจผลิตคอลล์ (ส่วนประกอบหลักของเครื่องปรับอากาศและเครื่องทำความเย็น) ที่จะต้องไม่หยุดพัฒนา เพื่อให้ได้สินค้าที่มีคุณภาพโดยต้องควบคุมกระบวนการผลิตให้มีประสิทธิภาพยิ่งขึ้น ทั้งในด้านของการเพิ่มประสิทธิภาพการทำงาน ด้านเวลา เพื่อให้ส่งมอบสินค้าได้ทันเวลาที่กำหนดและด้านคุณภาพ โดยการควบคุมกระบวนการผลิตให้มีประสิทธิภาพจะช่วยลดต้นทุนในการผลิต แต่คงคุณภาพเท่าเดิม หรือเพิ่มขึ้น ทำให้สามารถตอบสนองความต้องการ และสร้างความพึงพอใจให้กับลูกค้าได้มากยิ่งขึ้น บริษัทกรณีศึกษาเป็นบริษัทผู้ผลิตคอลล์ (ส่วนประกอบหลักของเครื่องปรับอากาศ และเครื่องทำความเย็น) ซึ่งมีสายการผลิตกระบวนการผลิตคอลล์ทั้งหมด 9 หน่วยงาน ได้แก่ หน่วยงานที่ทำการขึ้นรูป pin



รูปที่ 1 เวลาการทำงานของแต่ละหน่วยงาน

หน่วยงานที่ทำการตัดห่อหงแดง, หน่วยงานที่ขึ้นรูปเพลท, หน่วยงานประกอบคอลล์, หน่วยงานเอ็กซ์แบนด์, หน่วยงานที่ทำการตัด ดัด และเจาะห่อเอเดเตอร์, หน่วยงานบัดกรีแข็ง, หน่วยงานเทส และหน่วยงานแพ็คกิ้ง ผู้วิจัยจึงได้ทำการเก็บข้อมูลเวลาในการทำงานของแต่ละหน่วยงาน เพื่อเป็นแนวทางในการปรับปรุงประสิทธิภาพการผลิตให้ดียิ่งขึ้น สามารถสรุปข้อมูลได้ดังรูปที่ 1

จากรูปที่ 1 จะเห็นได้ว่า กระบวนการผลิตของหน่วยงานเพลท (Plate) ใช้ระยะเวลาผลิตเท่ากับ 10,386 วินาที ซึ่งใช้ระยะเวลาในการผลิตสูงที่สุดจากหน่วยงานทั้งหมด ผู้วิจัยจึงได้ทำการศึกษารูปแบบของการผลิตซึ่งส่วนเพลทด้านข้างคอลล์ที่ใช้กับผลิตภัณฑ์คอลล์ของบริษัท คือ แบบคอลล์โครงพัดลมประกอบด้วย 2 ชิ้น ส่วนโครงพัดลมและ 2) ชิ้น ส่วนเพลทด้านซ้าย-ขวา จากการศึกษาพบว่ากระบวนการพับเพลทด้านข้างคอลล์ของทั้งสองชิ้น ส่วนยังมีประสิทธิภาพไม่เป็นไปตามเป้าหมาย ส่งผลให้ปริมาณการผลิตไม่ตรงตามแผนที่วางไว้ ดังแสดงในตารางที่ 1 และพบว่ามีความล่าช้าเกิดขึ้นในงาน จึงจำเป็นต้องได้รับการปรับปรุงตามตารางที่ 3

และ 4



## บทความวิจัย

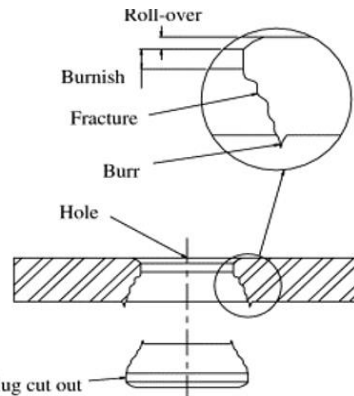
### ตารางที่ 1 เปรียบเทียบแผนการผลิตชิ้นส่วนโครงสร้าง และชิ้นส่วนเหล็กด้านซ้าย-ขวา

ชิ้นส่วนโครงสร้าง	ปี 2567		
	มิ.ย.	ก.ค.	ส.ค.
แผนการผลิตต่อวัน (ชิ้น)	200	200	200
จำนวนที่ผลิตได้แล้วต่อวัน (ชิ้น)	175	178	177
จำนวนที่ผลิตได้แล้วต่อเดือน (ชิ้น)	4,550	4,860	4,248
ชิ้นส่วนเหล็กด้านซ้าย-ขวา	ปี 2567		
	มิ.ย.	ก.ค.	ส.ค.
แผนการผลิตต่อวัน (ชิ้น)	400	400	400
จำนวนที่ผลิตได้แล้วต่อวัน (ชิ้น)	248	235	240
จำนวนที่ผลิตได้แล้วต่อเดือน (ชิ้น)	6,448	6,348	5,760

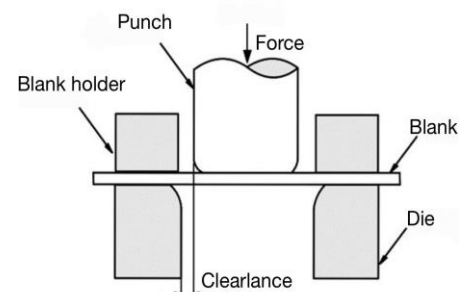
จากตารางที่ 1 พบว่าประสิทธิภาพการผลิตยังไม่เป็นไปตามเป้าหมาย ผู้วิจัยจึงให้ความสำคัญกับการปรับปรุงกระบวนการในหน่วยงานผลิตเหล็ก โดยเน้นที่ขั้นตอนการพับเหล็กด้านข้างอยู่ลึกซึ้งพบว่ามีกิจกรรมที่ไม่เกิดมูลค่าและเกิดความสูญเปล่า เช่น การเจียรขอบชิ้นงานก่อนพับ เพื่อขัดความคมหรือครีบ (Burr) บนขอบของหัวส่องชิ้นส่วน ดังแสดงในรูปที่ 2

จากรูปที่ 2 แสดงลักษณะของชิ้นงานที่เกิดครีบเกิดจากการเลือกใช้ค่าซองว่างที่ไม่เหมาะสมของคอมตัดแม่พิมพ์ในการบานการขึ้นรูปเหล็กด้านข้างอยู่ลึกซึ้งทั้ง 2 ชิ้นส่วน ดังรูปที่ 3

จากรูปที่ 3 กระบวนการขึ้นรูปเหล็กด้านข้างอยู่ลึกซึ้งจะใช้เครื่องจักรที่ประกอบไปด้วยแม่พิมพ์ 2 ส่วน คือ พันช์ (Punch) กับダイ (Die) ซึ่งลักษณะของダイจะมีขนาดใหญ่กว่าขนาดของพันช์ เพื่อให้พันช์สามารถทำหน้าที่กดชิ้นงานลงไปในตัวダイได้พอตี ทำให้แผ่นชิ้นงานนี้กักขាតออกจากกัน ส่วนด้วยเป็นแม่พิมพ์ที่ทำหน้าที่ตัดเนื้อโลหะส่วนที่ไม่ต้องการออกไป ซึ่งการ



รูปที่ 2 ลักษณะชิ้นงานที่เกิดครีบจากการใช้รยะซองว่างคอมตัดไม่เหมาะสม (Kim, Han, & Lee [1])



รูปที่ 3 กระบวนการขึ้นรูปเหล็กด้านข้างอยู่ลึกซึ้ง

นีกจากของโลหะจะขึ้นอยู่กับระยะซองว่าง (Clearance) ของคอมตัดระหว่างพันช์กับダイ และมีผลต่อการตัดชิ้นงานของแม่พิมพ์มาก ถ้าระยะซองว่างไม่เหมาะสมจะทำให้ผลิตชิ้นงานออกมาไม่ได้ด้านตามที่ต้องการผิวของชิ้นงานที่ถูกตัดไม่เรียบเนียน ทำให้พนักงานต้องทำการเจียรลับคอมครีบที่ขوبชิ้นงานทุกครั้ง ซึ่งทำงานได้ไม่ต่อเนื่องส่งผลให้กระบวนการพับเหล็กด้านข้างอยู่ลึกซึ้งเกิดความล่าช้าซึ่งขนาดของด้วยจะเปลี่ยนขนาดตามค่าซองว่างด้วย (Die Clearance) เสมอในการเลือกค่าซองว่างด้วยจะขึ้นอยู่กับความหนาของชนิดวัสดุที่ต้องการ



## บทความวิจัย

ใช้ขึ้นรูปชิ้นงาน ปั๊จุบันทางกรณีศึกษามีการใช้ชั้นิต ของวัสดุที่มีขึ้นรูปชิ้นส่วนโครงสร้าง และชิ้นส่วน เพลทด้านซ้าย-ขวาเหมือนกัน คือ เหล็กชุบสังกะสี (Mild Steel) โดยมีค่าช่องว่างด้วย (Die Clearance) ที่ใช้ตัดขอบเพลทด้านข้างค่อยล์ของทั้ง 2 ชิ้นส่วน ใน ปั๊จุบัน ดังตารางที่ 2

จากตารางที่ 2 เนื่องจากวัสดุที่ใช้เป็น เหล็กชุบ สังกะสี (Mild Steel) สำหรับการขึ้นรูปชิ้นส่วน โดย อ้างอิงข้อมูลค่าช่องว่างของแม่พิมพ์จากแหล่ง อุตสาหกรรมมาตรฐาน [2,3] ซึ่งแสดงในรูปของร้อยละ ของความหนาแผ่นโลหะ (% Total Clearance) แทน การใช้หัวแม่พิมพ์โดยตรง ทั้งนี้เพื่อให้สามารถ นำไปประยุกต์ใช้กับแผ่นโลหะที่มีความหนาต่างกันได้ อย่างยืดหยุ่นและแม่นยำ

จากปัญหาที่พบในกระบวนการผลิต ผู้วิจัยได้ กำหนดแนวทางในการขัดขันต่อนการลับคมชิ้นงาน โดยมุ่งเน้นการปรับปรุงค่าช่องว่างด้วย (Die Clearance) ให้เหมาะสมกับขนาดความหนาของวัสดุที่ ใช้ในการขึ้นรูปเพลทด้านข้างค่อยล์ของทั้งสองชิ้นส่วน โดย อ้างอิงวิธีการคำนวณค่าช่องว่างจากคู่มือ Thick Turret Tooling Solutions [4] เพื่อให้ได้ขนาดของด้วยที่ เหมาะสมและลดการเกิดครีบ (Burr) ที่ขوبชิ้นงาน ทั้งนี้ ได้นำเทคนิคการคำนวณค่าช่องว่างของแม่พิมพ์ร่วมกับ หลักการ ECRS (Eliminate, Combine, Rearrange, Simplify) มาประยุกต์ร่วมกันในการแก้ปัญหา โดยมี วัตถุประสงค์ ดังนี้

1. เพื่อศึกษากระบวนการผลิตเพลทด้านข้างค่อยล์ รูปแบบโครงสร้าง

2. เพื่อเพิ่มประสิทธิภาพในกระบวนการผลิตเพลทด้านข้างค่อยล์รูปแบบค่อยล์โครงสร้าง

ตารางที่ 2 ขนาดของด้วย และค่าช่องว่างก่อนปรับปรุง

ชื่อส่วนของเพลท ตัดชิ้นคงอยู่	ชนิดของด้วย ชุบ สังกะสี	ขนาดความหนาของ ชุดตัวตัดด้วย (mm)	ค่าช่องว่างด้วย (mm)	ขนาดด้วยผ้าห่ม ตัดชิ้นคงอยู่ ตัวหนาคงอยู่ (mm)
โครง สร้าง	เหล็ก ชุบ สังกะสี	0.55	0.25	Rectangle 5.11 x 50.11
				Rectangle 3.11 x 30.11
				Rectangle 5.11 x 100.11
เพลท ด้าน <sup>ซ้าย-ขวา</sup>	เหล็ก ชุบ สังกะสี	0.90	0.30	Rectangle 5.18 x 50.18
				Rectangle 3.18 x 30.18
				Rectangle 5.18 x 100.18

## 2. วิธีการวิจัย

## 2.1 ศึกษาข้อมูลที่เกี่ยวข้องเพื่อศึกษา และหา สาเหตุของปัญหาที่เกิดขึ้น

ผู้วิจัยได้ศึกษากระบวนการทำงานของหน่วยงาน ผลิตเพลทด้านข้างค่อยล์ มี 3 กระบวนการ คือ 1) กระบวนการเขียนโปรแกรม CNC 2) กระบวนการ ขึ้นรูปเพลทด้านข้างค่อยล์ และ 3) กระบวนการพับ เพลทด้านข้างค่อยล์ ซึ่งผู้วิจัยได้มุ่งเน้นการปรับปรุง กระบวนการพับเพลทด้านข้างค่อยล์รูปแบบค่อยล์โครง สร้างมี 2 ชิ้นส่วน คือ 1) ชิ้นส่วนโครงสร้าง และ 2) ชิ้นส่วนเพลทด้านซ้าย-ขวา เนื่องจากเป็นกระบวนการที่ เกิดความล่าช้า และส่งผลให้ผลิตชิ้นงานได้ไม่ตรง ตามแผน



## บทความวิจัย

2.2 เก็บรวบรวมข้อมูลงานย่อยของทั้ง 2 ชิ้นส่วน ก่อนปรับปรุง โดยทำการจับเวลาโดยตรง เพื่อหา ค่าเฉลี่ยเบื้องต้น ในการจับเวลาจะอ้างอิงตามทฤษฎีของ Maytag ถ้าวัสดุจัดในแต่ละงานย่อยสั้นกว่า 2 นาที ให้จับเวลามา 10 ค่า และถ้าวัสดุจัดในแต่ละงานย่อย ยาวกว่า 2 นาที ให้จับเวลามา 5 ค่า [5] จากนั้นทำการหารอบการจับเวลาที่เหมาะสม และนำข้อมูลที่ได้มาคำนวณหาราคาตราชานก่อนปรับปรุง

ผู้วิจัยได้จับเวลามาทั้งหมด 10 ค่า เพื่อนำมาคำนวณหารอบการจับเวลาที่เหมาะสม จากสมการ

$$\text{จำนวนรอบการจับเวลา} = \frac{R}{L} \quad (1)$$

$$\text{หา } R \text{ จากสมการ } R = H - L \quad (2)$$

โดย  $H$  คือ ค่ามากสุดของข้อมูล

$L$  คือ ค่าต่ำที่สุดของข้อมูล

จากนั้นนำค่าที่ได้มาเปรียบเทียบหารอบการจับเวลาที่เหมาะสมจากตาราง Maytag พบว่า จำนวนรอบในการจับเวลาทั้งหมด 10 ครั้ง มีค่าสัมประสิทธิ์คลาดเคลื่อน (Error Allowance) อよุ่ง่ายในเกณฑ์ที่กำหนด  $\pm 5\%$  และระดับความเชื่อมั่น 95% จึงถือว่าเพียงพอและเหมาะสมสำหรับการนำไปใช้เคราะห์เวลาในการทำงานได้อย่างน่าเชื่อถือ โดยไม่จำเป็นต้องเพิ่มจำนวนรอบการวัดเพิ่มเติม ดังแสดงในตารางที่ 3

### 2.2.1 ชิ้นส่วนโครงสร้าง

จากการที่ 3 เป็นค่ารวมของเวลาเฉลี่ยในแต่ละขั้นตอนงานของชิ้นส่วนโครงสร้างก่อนการปรับปรุง ซึ่งถือเป็นค่าเวลาเฉลี่ยที่สั้นเกตเวย์ได้ (Selected Time: ST) ทั้งสิ้นรวมเป็น 2,369.89 วินาที ตามหลักการวิเคราะห์เวลา จะต้องมีการปรับค่าตาม

ตารางที่ 3 เวลาเฉลี่ยงานย่อย ชิ้นส่วนโครงสร้าง ก่อนปรับปรุง

ขั้นตอน	งานย่อย	เวลาเฉลี่ย (วินาที)
1	เดินนำโครงสร้างที่ขึ้นรูปเสร็จไปทำการลับคม	21.92
2	ลับคมข้อเข็นงาน	739.75
3	เดินนำโครงสร้างไปที่เครื่องพับ	9.12
4	ดูบนงาน	128.99
5	ปรับตั้งเครื่องพับ	155.92
6	เปลี่ยนขนาดของมีดพับ	342.81
7	พับชิ้นงาน	759.16
8	ตรวจสอบชิ้นงาน	76.48
9	เขียนใบงาน	135.74
รวม (วินาที)		2,369.89

ประสิทธิภาพของผู้ปฏิบัติงาน โดยใช้ค่าความสามารถ (Rating Factor: RF) เพื่อให้ได้เวลาปกติ คำนวณดังสมการที่ (3)

$$\text{เวลาปกติรวม (NT)} = ST \times RF \quad (3)$$

โดย  $ST$  คือ เวลาเฉลี่ยที่ได้จากการสังเกตหรือจับเวลาในการทำงานแต่ละรอบ และนำมาหาค่าเฉลี่ย  $RF$  คือ ค่าปรับความสามารถของผู้ปฏิบัติงาน ซึ่งสะท้อนถึงระดับทักษะ ความคล่องตัว และประสิทธิภาพในการทำงาน

จากการประเมินความสามารถของผู้ปฏิบัติงานพบว่า  $RF = 1.00$  (หรือ 100%) เนื่องจากเป็นผู้ปฏิบัติงานที่มีทักษะในระดับมาตรฐาน เวลาปกติรวม เวลาปกติ ( $NT$ ) =  $2,369.89 \times 1.00 = 2,369.89$  วินาที เวลามาตรฐาน =เวลาปกติรวม ( $NT$ ) + เวลาเพิ่ม

$$= 2,369.89 \times 1.00 = 260.69 \text{ วินาที} \quad (4)$$

11

$$\text{เวลาเพิ่ม } 11\% = 2,369.89 \times 1.00 = 260.69 \text{ วินาที}$$



## บทความวิจัย

เมื่อนำค่าเวลาทั้งหมดรวมกับเวลาเพื่อ 11% จะได้  
เวลามาตรฐาน =  $2,369.89 + 260.69$  ดังนั้นจะได้เวลา  
มาตรฐาน 2,630.58 วินาที

### 2.2.2 ชิ้นส่วนเพลทด้านซ้าย-ขวา

จากตารางที่ 4 หลังจากจับเวลาเพื่อนำมา  
คำนวณหารอบการจับเวลาที่เหมาะสม และนำข้อมูล  
เพื่อหาเวลามาตรฐาน คำนวณตามสมการ (3),(4) จะได้  
เวลามาตรฐานก่อนปรับปรุงของชิ้นส่วนเพลทด้านซ้าย-  
ขวา 3,769.96 วินาที

### 2.3 วิเคราะห์สาเหตุปัญหา

2.3.1 คัดเลือกปัญหาโดยใช้แผนภูมิพาร็อต บันทึก<sup>3</sup>  
การจับเวลาของกระบวนการพับเพลทด้านข้างคอยล์  
ก่อนปรับปรุงของชิ้นส่วนโครงพัดลม และชิ้นส่วนเพลท  
ด้านซ้าย-ขวา เพื่อคัดเลือกงานย่อยที่ทำให้เกิดความ  
ล่าช้า ดังรูปที่ 4

จากรูปที่ 4 ขั้นตอนพับชิ้นงาน และขั้นตอนลง  
คอมขอชิ้นงาน รวมเวลาที่ใช้ในการผลิตที่เกิดจาก 2  
สาเหตุนี้ คิดเป็นร้อยละ 63.5 และทั้งสองขั้นตอนใช้เวลา  
เฉลี่ยมากที่สุด 1,498.91 วินาที

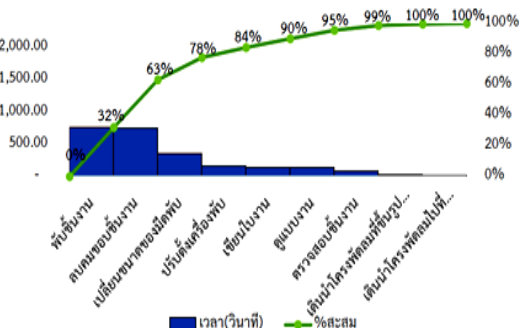
### 2.3.2 คัดเลือกปัญหาของเพลทด้านซ้าย-ขวา

นำเวลาของกระบวนการเพลทด้านซ้าย-ขวา มา  
จัดลำดับกิจกรรมตามเวลาเฉลี่ยที่ใช้ในแต่ละขั้นตอน  
โดยเรียงลำดับจากกิจกรรมที่ใช้เวลามากที่สุดไป  
ยังน้อยที่สุด เพื่อใช้เป็นข้อมูลประกอบการประเมิน  
กระบวนการทำงาน ดังรูปที่ 5

จากรูปที่ 5 ขั้นตอนพับชิ้นงาน และขั้นตอน  
ลงคอมขอชิ้นงาน รวมเวลาที่ใช้การผลิต ที่เกิดจาก 2  
สาเหตุนี้ คิดเป็นร้อยละ 65.5 และทั้งสองขั้นตอนใช้เวลา  
เฉลี่ยมากที่สุด 2,224.64 วินาที

ตารางที่ 4 เวลาเฉลี่ยงานย่อย ชิ้นส่วนเพลทด้านซ้าย-  
ขวา ก่อนปรับปรุง

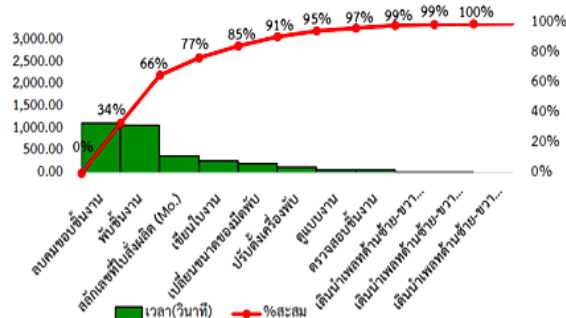
ขั้นตอน	งานย่อย	เวลาเฉลี่ย (วินาที)
1	เดินนำเพลทด้านซ้าย-ขวาที่ ขึ้นรูปเสร็จไปทำการลงคอม	20.80
2	ลงคอมขอชิ้นงาน	1,139.36
3	เดินนำเพลทด้านซ้าย-ขวาไป ที่เครื่องพินแมตต์	6.28
4	สลักเลขที่ใบสั่งผลิต (Mo.)	394.62
5	เดินนำเพลทด้านซ้าย-ขวาไป ที่เครื่องพับ	15.96
6	ดูแบบงาน	63.87
7	ปรับตั้งเครื่องพับ	132.94
8	เปลี่ยนขนาดของมีดพับ	205.88
9	พับชิ้นงาน	1,085.28
10.	ตรวจสอบชิ้นงาน	60.64
11.	เขียนใบงาน	270.73
รวม (วินาที)		3,396.36



รูปที่ 4 ความล่าช้าของงานย่อยกระบวนการพับเพลท  
ด้านข้างคอยล์ ชิ้นส่วนโครงพัดลม



## บทความวิจัย



### รูปที่ 5 ความล่าช้าของงานย่อกระบวนการพัฒนาผลิต ด้านข้างคอยล์ ชิ้นส่วนเพลทด้านซ้าย-ขวา

#### 2.3.3 การระดมความคิด (Brainstorming)

ผู้วิจัยได้พิจารณาถึงสาเหตุที่ทำให้เกิดเวลาอันสูญเปล่าจากขั้นตอนการลงบคุณของชิ้นส่วนโครง

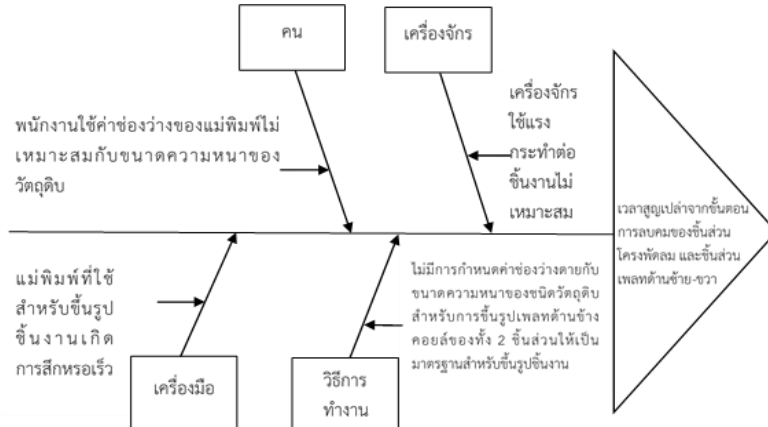
พัฒนาระบบและชิ้นส่วนเพลทด้านซ้าย-ขวา ในรูปแบบของการแสดงความคิดเห็นร่วมกัน โดยการระดมความคิดกับผู้ที่เกี่ยวข้องในหน่วยงานผลิตเพลทด้านซ้ายคอยล์ได้แก่ หัวหน้าหน่วยงานผลิต พนักงานควบคุมเครื่องจักรสรุปปัญหา และแนวทางแก้ไขได้ดังตารางที่ 5

#### 2.3.4 วิเคราะห์สาเหตุของปัญหาใช้ผังแสดงเหตุและผล (Cause and Effect Diagram)

จากการระดมสมองร่วมกับผู้ที่เกี่ยวข้อง ผู้วิจัยได้รวบรวมและจำแนกปัจจัยที่ส่งผลต่อปัญหาให้อยู่ในรูปแบบของ 4M1E และนำเสนอในรูปแบบผังแสดงสาเหตุและผลดังรูปที่ 6

### ตารางที่ 5 สรุปสาเหตุของปัญหาของปัญหา และแนวทางในการแก้ไข

ปัจจัย	สาเหตุ	ผลที่เกิดขึ้น	แนวทางแก้ไข
พนักงาน	พนักงานใช้คำชี้ง่วงว่างดายไม่เหมาะสมกับขนาดความหนาของชนิดวัสดุดินที่ใช้ในการขึ้นรูปของทั้ง 2 ชิ้นส่วน	ขั้นรูปชิ้นงานแล้วเกิดครีบ (Burr) ที่ขอบชิ้นงาน ทำให้ต้องเพิ่มขั้นตอนลบคุณ เสียเวลาและแรงงาน	ผู้วิจัยได้กำหนดค่าชี้ง่วงของด้วยใหม่ให้เหมาะสมกับความหนาและชนิดของวัสดุ ซึ่งเป็นการปรับปรุงด้านเครื่องมือ (Tooling) ที่ช่วยให้เครื่องจักร (Machine) ขึ้นรูปได้แม่นยำ ลดการเกิดครีบ ส่งผลให้พนักงาน (Man) ไม่ต้องเสียเวลาในการลบคุณงาน ลดขั้นตอนและเพิ่มประสิทธิภาพโดยรวม
เครื่องจักร	เครื่องจักรใช้แรงกระทำต่อชิ้นงานไม่เหมาะสมกับวัสดุ	ชิ้นงานเกิดครีบ และเกิดปัญหาในการพับ ทำให้คุณภาพงานลดลงและมีโอกาสเกิดของเสีย	
เครื่องมือ	แม่พิมพ์ที่ใช้สำหรับขั้นรูปชิ้นงานเกิดการสึกหรอเร็ว	คุณภาพการขึ้นรูปชิ้นงานลดลง เกิดครีบง่ายและแม่พิมพ์มีอายุการใช้งานสั้น ต้องซ่อมหรือเปลี่ยนบ่อย	
วิธีการ	ไม่มีการกำหนดค่าชี้ง่วงว่างดายกับความหนาของวัสดุให้เป็นมาตรฐาน	ความไม่สม่ำเสมอในการขึ้นรูปชิ้นงาน และเกิดครีบมากหรือน้อยต่างกันในแต่ละล็อตงาน	ทำการทดสอบชิ้นงานที่ได้จากการทำงานของแม่พิมพ์ขนาดใหม่ เพื่อกำหนดเป็นมาตรฐาน



รูปที่ 6 วิเคราะห์สาเหตุของบัญหาโดยใช้ผังกังปลา

จากตารางที่ 5 โดยสรุปพบบัญหาที่มาจากการเลือกใช้ค่าซ่องว่างด้วย (Die Clearance) ไม่เหมาะสมกับขนาดความหนาของนิคติดดูดสำหรับขึ้นรูปเหล็กด้านข้างค่อยล์ของทั้ง 2 ชิ้นส่วน เมื่อขึ้นรูปชิ้นงานออกมา ขอบชิ้นงานเจี้ยงไม่เรียบเนียน หรือเกิดครีบ (Burr) ที่ขอบชิ้นงาน จึงทำให้เกิดกิจกรรมที่ไม่เกิดประโยชน์ และเวลาอันสูญเปล่าเกิดขึ้น ส่งผลให้กระบวนการผลิตเกิดความล่าช้า

#### 2.4 ออกแบบวิธีการปรับปรุง

หลังจากการศึกษา และวิเคราะห์บัญหาที่เกิดขึ้นของทั้ง 2 ชิ้นส่วนศึกษานำหลักการลดความสูญเปล่า ECRS มาประยุกต์ใช้ [6,7] เพื่อลดเวลาอันสูญเปล่าอันนั้น และเพื่อเพิ่มประสิทธิภาพในการผลิตได้ยิ่งขึ้น ผู้วิจัยเลือกใช้ E หรือการกำจัด (Eliminate) มาปรับใช้ตามความเหมาะสม

##### 1) งานที่สามารถขัดออกໄไปได้ (Eliminate)

กระบวนการพับเหล็กด้านข้างค่อยล์ของชิ้นส่วนโครงหัดลม และชิ้นส่วนเหล็กด้านข้ายาว จะมีขั้นตอนในการทำงานที่คล้ายกัน แต่ต่างกันเพียงขั้นตอนเดียว

คือ ชิ้นส่วนเหล็กด้านข้ายาว จะมีขั้นตอนการลักเลเซที่ใบสั่งผลิตลงไปบนชิ้นงาน ผู้วิจัยจึงเลือกใช้วิธีการปรับปรุงกระบวนการทำงานของทั้ง 2 ชิ้นส่วน เป็นวิธีการเดี่ยว กัน โดยก่อนทำการเริ่มพับชิ้นงาน พนักงานจะนำชิ้นงานมาทำการเจียรขอบชิ้นงานของทั้ง 2 ชิ้นส่วนทุกชิ้น เพื่อลดความคม หรือครีบ (Burr) ที่ขอบชิ้นงาน หลังผ่านการขึ้นรูปแล้ว ซึ่งเป็นกิจกรรมที่เปล่าประโยชน์ และเกิดเวลาอันสูญเปล่าเนื่องจากชิ้นงานที่เกิดครีบ (Burr) เกิดจากการเลือกใช้ค่าซ่องว่างที่ไม่เหมาะสมของคมตัดแม่พิมพ์ จากการขึ้นรูปเหล็กด้านข้างค่อยล์ของทั้ง 2 ชิ้นส่วน เนื่องจากทางบริษัทกรณีศึกษาใช้ค่าซ่องว่างด้วยไม่เหมาะสมกับวัสดุดิบที่ใช้ขึ้นรูปชิ้นงาน โดยปัจจุบันไม่ได้มีการกำหนดหลักการตั้งค่าซ่องว่างด้วย (Die Clearance) ไว้อย่างชัดเจน ซึ่งก่อให้เกิดครีบ (Burr) บนชิ้นงาน ทำให้เครื่องจักรเพิ่มแรงที่มากกระทำต่อพันธ์กับด้วย ส่งผลให้แม่พิมพ์สึกหรอเร็วกว่าปกติ และเมื่อทำการขึ้นรูปชิ้นงาน ผิวของชิ้นงานที่ถูกตัดไม่เรียบเนียน เกิดความคมที่ขอบชิ้นงาน ผู้วิจัยจึงทำการปรับปรุงค่าซ่องว่างของด้วย



## บทความวิจัย

เพื่อหาค่าซ่องว่างด้วยที่เหมาะสมกับขนาดความหนาของชนิดวัตถุดิบที่ใช้สำหรับขึ้นรูปเหล็กด้านข้างโดยล็อกของทั้ง 2 ชิ้นส่วน และไม่จำเป็นต้องผ่านกระบวนการเจียรลับคอมอีกด้วย

จากตารางที่ 6 แสดงตัวอย่างการเจียรลับคอมผู้วิจัยได้ทำการปรับปรุงค่าซ่องว่างของด้วย (Die Clearance) ขึ้นใหม่ โดยปรับปรุงเฉพาะแม่พิมพ์ที่ใช้ตัดขอบชิ้นงาน เนื่องจากพนังกันงานเจียรลับคอมครีบเฉพาะขอบชิ้นงานของทั้ง 2 ชิ้นส่วนเท่านั้น และทำการคำนวณค่าซ่องว่างของด้วยที่เหมาะสมกับขนาดความหนาของชนิดวัตถุดิบที่ใช้สำหรับขึ้นรูปเหล็กด้านข้างโดยล็อกของทั้ง 2 ชิ้นส่วน อ้างอิงตามสมการคำนวณของคู่ มี อ ง อ ง Thick Turret Tooling Solutions [4] ดังตารางที่ 7

จากตารางที่ 7 ผู้วิจัยเลือกค่าซ่องว่างของแม่พิมพ์ประเภท Mild Steel ที่ Maximum คือ 20% เพื่อให้ครอบคลุมกับวัตถุดิบทุกขนาด างนั้นทำ การคำนวณหากค่าซ่องว่างของพนังกันด้วยที่เหมาะสมดังสมการที่ (5)

$$\text{Clearance} = \text{Material Thickness} \times 20\% \quad (5)$$

โดยที่ Clearance คือ ค่าซ่องว่างของด้วย Material Thickness คือ ขนาดความหนาของชนิดวัตถุดิบที่ใช้ (เหล็กชุบสังกะสี)

หลังจากการคำนวณค่าซ่องว่างของด้วย (Die Clearance) จากขนาดความหนาของชนิดวัตถุดิบที่ใช้ขึ้นรูปแล้วจะได้ค่าซ่องว่างด้วยชุดใหม่ ดังตารางที่ 8

## ตารางที่ 6 ตัวอย่างการเจียรลับคอมชิ้นงาน

ชิ้นส่วนเหล็ก	ภาพประกอบ
โครงพัดลม	
เหล็กด้านข้างขวา	

## ตารางที่ 7 การเลือกค่าซ่องว่างของแม่พิมพ์

## Die Clearance Selection Information

Material	% Total Clearance		
	Minimum	Best	Maximum
copper, 1/2 Hard	8%	12%	16%
Brass, 1/2 Hard	6%	11%	16%
Mild Steel	10%	15%	20%
Steel 0.50C	12%	18%	24%
Aluminum, Soft	5%	10%	15%
Stainless Steel	15%	20%	25%

หลังจากการแก้ไขปัญหาการเกิดครีบที่ขอบชิ้นงานด้วยการปรับเปลี่ยนขนาดของตัวด้วยที่ใช้ในการขึ้นรูปชิ้นงานตามค่าซ่องว่างของด้วย (Die Clearance) ที่คำนวณใหม่แล้ว และผ่านการยอมรับจากทางบริษัทแล้ว ซึ่งส่งผลให้พนังกันไม่ต้องเจียรลับคอมครีบที่ขอบชิ้นงานแล้วทำให้พนังกันที่เคยทำการเจียรชิ้นงานเกิดการว่างงาน ทางบริษัทจึงให้นำพนังกันมาปฏิบัติงานในขั้นตอนการพับชิ้นงานจากเครื่องจักรที่เพิ่มเข้ามาใหม่ เพื่อเป็นการช่วยเพิ่มกำลังในการผลิต และทำให้สามารถทำงานได้อย่างต่อเนื่อง



ตารางที่ 8 ขนาดของดาย และค่าช่องว่างหลังปรับปรุง

ชื่นส่วนของเพลท ด้านซ้าย-ขวา	ชนิดของวัสดุ	ขนาดความหนาของ ชนิดชิ้นงาน (มม.)	ด้าช่องว่างดาย (มม.)	ขนาดต่างสำหรับ ตัดของเพลท ด้านซ้าย-ขวา
โครง พัดลม	เหล็กชุบ สังกะสี	0.55	0.11	Rectangle 5.11 x 50.11
				Rectangle 3.11 x 30.11
				Rectangle 5.11 x 100.11
เพลท ด้าน <sup>ซ้าย-</sup> ช้าย- ขวา	เหล็กชุบ สังกะสี	0.9	0.18	Rectangle 5.18 x 50.18
				Rectangle 3.18 x 30.18
				Rectangle 5.18 x 100.18

### 3. ผลการทดลอง

จากการที่ผู้วิจัยนำหลักการลดความสูญเปล่ามาประยุกต์ใช้ โดยใช้หลักการ E (Eliminate) เพื่อจัดขั้นตอนการลบคอมชิ้นงานของทั้ง 2 ชิ้นส่วน โดยการปรับปรุงค่าช่องว่างของดาย (Die Clearance) ขึ้นใหม่แล้ว ผู้วิจัยได้ทำการตรวจสอบชิ้นงานหลังการขึ้นรูปทุกๆ 15 วัน พบว่า พนักงานไม่ต้องทำการเจียรลบคอมของชิ้นงานอีกต่อไป และขอบชิ้นงานไม่เกิดครีบ (Burrs) โดยเฉพาะบริเวณขอบด้านนอกของชิ้นส่วนโครงพัดลม และเพลทด้านซ้าย-ขวา ซึ่งเป็นจุดที่เคยเกิดครีบเป็นประจำก่อนการปรับปรุง ผลลัพธ์ดังกล่าวทำให้หลังเสร็จกระบวนการขึ้นรูป พนักงานสามารถทำงานได้อย่างต่อเนื่องมากขึ้น โดยพนักงานที่เคยทำการเจียรลบคอมชิ้นงานสามารถเข้ามาช่วยในขั้นตอนการพับชิ้นงานแทน ส่งผลให้สามารถเพิ่มกำลังในการผลิต และช่วยให้

ตารางที่ 9 เปรียบเทียบชิ้นงานก่อนและหลังปรับปรุง

ชิ้นส่วนเพลท ด้านซ้าย-ขวา	ก่อนปรับปรุง	หลังปรับปรุง
โครง พัดลม		
เพลทด้าน <sup>ซ้าย-</sup> ช้าย-ขวา		

ได้ปริมาณการผลิตเพิ่มขึ้น ดังแสดงในตารางที่ 9

หลังการปรับปรุงผู้วิจัยเก็บรวบรวมข้อมูลงานย่อยของทั้ง 2 ชิ้นส่วน โดยอ้างอิงตามทฤษฎีของ Maytag และนำข้อมูลที่ได้มาคำนวณหาเวลามาตรฐาน

#### 3.1 ชิ้นส่วนโครงพัดลม

จากตารางที่ 10 แสดงผลการดำเนินงานปรับปรุงของชิ้นส่วนโครงพัดลม โดยพบว่าเวลามาตรฐาน (Standard Time) ก่อนการปรับปรุงอยู่ที่ 2,630.58 วินาที และหลังการปรับปรุงสามารถนำชุดข้อมูลมาคำนวณหาเวลามาตรฐานหลังปรับปรุง คำนวณตามสมการ (3),(4) ที่ค่าเพื่อ 11% จะได้เวลามาตรฐานหลังปรับปรุงของชิ้นส่วนเพลทด้านซ้าย-ขวา 1,363.81 วินาที ซึ่งค่าดังกล่าวได้จากการคำนวณตามหลัก Time Study โดยนำเวลาเฉลี่ยของแต่ละขั้นตอน (จากการจับเวลา) มาปรับด้วย



## บทความวิจัย

ค่าความสามารถของผู้ปฏิบัติงาน (Rating Factor) และ เวลาเผื่อ (Allowance)

จากการคำนวณในตารางที่ 11 แสดงให้เห็นว่า รอบเวลาการผลิตชิ้นส่วนโครงสร้างก่อนการปรับปรุง อยู่ที่ 2,369.89 วินาทีต่อรอบ ลดลงเหลือ 1,363.81 วินาทีต่อรอบ ซึ่งคิดเป็นการลดเวลาลง 1,266.77 วินาที หรือลดลงร้อยละ 48.16 โดยในการทำงาน 1 รอบ จะสามารถผลิตชิ้นส่วนโครงสร้างได้ 14 ชิ้น จากการใช้แผ่นเหล็กชุบสังกะสีขนาด  $4 \times 8$  ฟุต จำนวน 1 แผ่น ดังนั้นหากคิดในช่วงเวลาทำงาน 8 ชั่วโมง (28,800 วินาที) จะสามารถผลิตได้

$$\begin{aligned} \text{ก่อนปรับปรุง} &= 28,800 / 2,630.58 \\ &\approx 12.15 \text{ รอบ} \times 14 = 170 \text{ ชิ้น} \\ \text{หลังปรับปรุง} &= 28,800 / 1,363.81 \\ &\approx 21.12 \text{ รอบ} \times 14 = 295 \text{ ชิ้น} \end{aligned}$$

ส่งผลให้ปริมาณการผลิตเพิ่มขึ้น 125 ชิ้น หรือคิดเป็นร้อยละ 73.53 เมื่อเปรียบเทียบกับก่อนการปรับปรุง

### 3.2 ชิ้นส่วนเหล็กด้านซ้าย-ขวา

ตารางที่ 12 แสดงผลการเปรียบเทียบประสิทธิภาพการทำงานของชิ้นส่วนเหล็กด้านซ้าย-ขวาก่อนและหลังการปรับปรุง พบว่า ก่อนการปรับปรุง มีเวลามาตรฐานรวม เท่ากับ 3,769.96 วินาที และหลังการปรับปรุงสามารถนำชุดข้อมูลมาคำนวณหาเวลามาตรฐาน คำนวณตามสมการ (3),(4) ที่ค่าเผื่อ 11% จะได้เวลามาตรฐานหลังปรับปรุงเท่ากับ 1,886.62 วินาที

จากตารางที่ 13 แสดงผลการเปรียบเทียบจำนวนชิ้นส่วนเหล็กด้านซ้าย-ขวาที่สามารถผลิตได้ภายในระยะเวลา 8 ชั่วโมงก่อนและหลังการปรับปรุง โดยใช้

ตารางที่ 10 เวลาเฉลี่ยงานอย่าง ชิ้นส่วนโครงสร้าง หลังปรับปรุง

ขั้นตอน	งานอย่าง	เวลาเฉลี่ย (วินาที)
1	เดินนำโครงสร้างไปที่เครื่องพับ	9.20
2	ดูแบบงาน	127.74
3	ปรับตั้งเครื่องพับ	157.00
4	เปลี่ยนขนาดของมีดพับ	342.43
5	พับชิ้นงาน	381.07
6	ตรวจสอบชิ้นงาน	76.49
7	เขียนใบงาน	134.73
รวม (วินาที)		1,228.66

ตารางที่ 11 เปรียบเทียบปริมาณชิ้นส่วนโครงสร้าง ก่อนและหลังปรับปรุง

โครงสร้าง	เวลามาตรฐานต่อรอบ	ปริมาณเชื้อหน้างาน/8ชั่วโมง
ก่อนปรับปรุง	2,630.58 วินาที	170 ชิ้น
หลังปรับปรุง	1,363.81 วินาที	295 ชิ้น
ผลต่าง	ลดลง 1,266.77 วินาที หรือ 48.16%	เพิ่มขึ้น 125 ชิ้น หรือ 73.53%

หลักการคำนวณเดียวกับตารางที่ 11 คือ คำนวณจากเวลามาตรฐานต่อรอบงานที่ได้จากการศึกษาแล้วเทียบกับเวลาทำงาน 8 ชั่วโมง (28,800 วินาที) โดยในแต่ละรอบสามารถผลิตชิ้นส่วนได้ 28 ชิ้น จะสามารถผลิตได้ก่อนปรับปรุง 213 ชิ้น หลังปรับปรุง 427 ชิ้น ส่งผลให้สามารถเพิ่มปริมาณการผลิตได้ 214 ชิ้น หรือคิดเป็นร้อยละ 100.00 เพิ่มขึ้นจากเดิมอย่างชัดเจน สะท้อนให้เห็นถึงประสิทธิภาพที่ดีขึ้นจากการปรับปรุงกระบวนการ



## บทความวิจัย

**ตารางที่ 12 เวลาเฉลี่ยงานย่อย ชิ้นส่วนเพลทด้าน  
ช้าย-ขวา หลังปรับปรุง**

ขั้นตอน	งานย่อย	เวลาเฉลี่ย (วินาที)
1	เดินนำเพลทด้าน ช้าย-ขวาที่ขึ้นรูปเสร็จ ไปที่เครื่องพินแสตนด์	6.72
2	สลักเลขที่ใบสั่งผลิต (Mo.)	394.68
3	เดินนำเพลทด้าน ช้าย-ขวาไปที่เครื่องพับ	15.08
4	ดูแบบงาน	62.82
5	ปรับตั้งเครื่องพับ	132.43
6	เบลี่ยนขนาดของมีดพับ	208.21
7	พับชิ้นงาน	548.61
8	ตรวจสอบชิ้นงาน	60.40
9	เขียนใบงาน	270.71
รวม (วินาที)		<b>1,699.66</b>

**ตารางที่ 13 เปรียบเทียบปริมาณชิ้นส่วนเพลทด้าน  
ช้าย-ขวาก่อนและหลังปรับปรุง**

เพลท ด้านช้าย-ขวา	เวลามาตรฐาน ต่อรอบ	ปริมาณชิ้นงาน / 8ชั่วโมง
ก่อนปรับปรุง	3,769.96 วินาที	213 ชิ้น
หลังปรับปรุง	1,886.62 วินาที	427 ชิ้น
ผลต่าง	ลดลง 1,883.34 วินาที หรือ 49.96%	เพิ่มขึ้น 214 ชิ้น หรือ เพิ่มขึ้น 100.00%

ผลการปรับปรุงในครั้งนี้มีความสอดคล้องกับงานวิจัยของบุญพร, สุรันนท์ชัย และชุดมา [8, 9] ที่นำหลักการ ECRS มาใช้ในการปรับปรุงกระบวนการทำงาน โดยมุ่งลดขั้นตอนและระยะเวลาที่ไม่จำเป็นในสายการผลิต ส่งผลให้สามารถดำเนินงานได้อย่างต่อเนื่องและมีประสิทธิภาพยิ่งขึ้น นอกจากนี้งานวิจัยของวิชญุตร์และคณะ [10] ซึ่งประยุกต์ใช้แนวคิด ECRS ในอุตสาหกรรมเสื้อผ้าสำเร็จรูป ยังแสดงให้เห็นถึงการลดขั้นตอนการผลิตและระยะเวลาการทำงานเฉลี่ยลงอย่างมีนัยสำคัญ ขณะที่เรืองระวี [11] รายงานว่าการประยุกต์ใช้แนวคิดดังกล่าวสามารถลดความช้าช้อนเพิ่มความคล่องตัว และยกระดับประสิทธิภาพของกระบวนการผลิตโดยรวมได้อย่างชัดเจน

ในด้านการเพิ่มประสิทธิภาพระบบการผลิต ผลการศึกษานี้ยังมีความสอดคล้องกับงานวิจัยของอำนวยและสินลภารชัย [12] ซึ่งได้ออกแบบแม่พิมพ์ใหม่ในกระบวนการขึ้นรูปชิ้นส่วนโลหะในอุตสาหกรรมยานยนต์ โดยใช้แนวทางการลดขั้นตอนที่ไม่จำเป็นในสายการผลิต เพื่อยกระดับความต่อเนื่องและประสิทธิภาพของระบบ เช่นเดียวกับงานของศินและอัมพร [13] ที่ศึกษาการปรับปรุงกระบวนการผลิตโลหะ แผ่น โดยประยุกต์ใช้ ECRS ร่วมกับการออกแบบแม่พิมพ์ให้เหมาะสมกับวัสดุและแรงเรื่อน ส่งผลให้กระบวนการผลิตสามารถดำเนินไปได้อย่างต่อเนื่องมากขึ้น และเพิ่มจำนวนชิ้นงานต่อรอบได้อย่างเป็นรูปธรรม

#### 4. บทสรุป

จากการศึกษากระบวนการผลิตเพลทด้านช้าย-ขวา รูปแบบค oy l's โครงพัดลม และการลดความสูญเปล่าในกระบวนการผลิต เพื่อเพิ่มประสิทธิภาพการผลิตให้ดียิ่งขึ้น ผู้วิจัยได้ศึกษากระบวนการผลิตเพลทด้านช้าย-



## บทความวิจัย

คอยล์ และได้เลือกเห็นถึงปัญหาของกระบวนการพับเพลทด้านข้างคอยล์ที่เกิดความล่าช้า ทำให้ปริมาณการผลิตไม่ตรงตามแผนงานที่ตั้งไว้ จึงได้ทำการเก็บรวบรวมข้อมูลเพื่อนำมาวิเคราะห์ปัญหา และหาสาเหตุจากนั้นทำการแก้ไขปัญหา โดยผู้วิจัยได้สรุปผลการดำเนินงานออกเป็น 3 ด้าน

1) ด้านกระบวนการทำงาน หลังจากการปรับปรุงกระบวนการพับเพลทด้านข้างคอยล์ของชิ้นส่วนโครงพัดลมและชิ้นส่วนเพลทด้านซ้าย-ขวา ผู้วิจัยได้ประยุกต์ใช้หลักการ ECRS ใน การปรับปรุงกระบวนการ โดยขัดขันตอนการลับคอมชิ้นงาน จากการปรับปรุงค่าช่องว่างของดาย (Die Clearance) เพื่อให้มีความเหมาะสมกับขนาดความหนาของชนิดวัสดุติดที่เชื่อมรูปเพลทด้านข้างคอยล์ของชิ้นส่วนโครงพัดลม และชิ้นส่วนเพลทด้านซ้าย-ขวา และเพื่อให้พนักงานสามารถทำงานได้อย่างต่อเนื่อง เมื่อทำการปรับปรุงแล้ว พบว่าขั้นตอนการทำงานลดลงจริง พนักงานไม่ต้องทำการลับคอมชิ้นงาน และขอบชิ้นงานไม่เกิดครีบ (Burr) หลังจากเสร็จสิ้นกระบวนการขึ้นรูป พนักงานเดิมที่มีหน้าที่เจียรลับคอมจึงสามารถเปลี่ยนไปทำงานในขั้นตอนการพับชิ้นงานแทน ซึ่งช่วยเพิ่มกำลังในการผลิต

2) ด้านเวลาในการทำงาน จากการปรับปรุงส่งผลให้กระบวนการพับเพลทด้านข้างคอยล์มีประสิทธิภาพมากยิ่งขึ้น ซึ่งสามารถลดระยะเวลาที่ใช้ในการกระบวนการพับเพลทด้านข้างคอยล์ของชิ้นส่วนโครงพัดลม และชิ้นส่วนเพลทด้านซ้าย-ขวา โดยชิ้นส่วนโครงพัดลมจากเดิม ก่อนปรับปรุงเฉลี่ยอยู่ที่ 2,630.58 วินาที ผลหลังปรับปรุงเฉลี่ยอยู่ที่ 1,363.81 วินาที หรือคิดเป็น

ร้อยละ 48.16 และกระบวนการพับเพลทด้านข้างคอยล์กรณีชิ้นส่วนเพลทด้านซ้าย-ขวา ก่อนปรับปรุงเฉลี่ยอยู่ที่ 3,769.96 วินาที

3) ด้านประสิทธิภาพในการผลิตและผลกระทบทางด้านเศรษฐศาสตร์ จากการปรับปรุงทำให้ประสิทธิภาพการผลิตเพิ่มมากขึ้น ดังตารางที่ 14 – 15

ตารางที่ 14 เปรียบเทียบก่อน และหลังปรับปรุงชิ้นส่วนโครงพัดลมหน่วยงานเพลท

เพลท โครงพัดลม	ก่อนการปรับปรุง			หลังการปรับปรุง		
	มี.ย.	ก.ค.	ส.ค.	ก.พ.	มี.ค.	เม.ย.
แผนที่ อ วัน (ชิ้น)	200	200	200	200	200	200
ผลิตต่อ วัน (ชิ้น)	175	178	177	330	329	320

ตารางที่ 15 เปรียบเทียบก่อน และหลังปรับปรุงชิ้นส่วนเพลทด้านซ้าย-ขวา

เพลท โครงซ้ายขวา	ก่อนการปรับปรุง			หลังการปรับปรุง		
	มี.ย.	ก.ค.	ส.ค.	ก.พ.	มี.ค.	เม.ย.
แผนการ						
ผลิตต่อ วัน (ชิ้น)	400	400	400	400	400	400
จำนวนที่ ผลิตต่อ เดือน (ชิ้น)	248	235	240	470	462	476



จากตารางที่ 14 และ 15 พบว่า จำนวนการผลิตชิ้นส่วนโครงสร้าง และชิ้นส่วนเหล็กด้านซ้าย-ขวา ก่อนการปรับปรุง ยังไม่สามารถบรรลุเป้าหมายตามแผนการผลิตที่กำหนดไว้ ซึ่งอยู่ที่ 200 ชิ้น และ 400 ชิ้นตามลำดับ อายุร์กีต้าม หลังจากการปรับปรุงกระบวนการของหน่วยงานผลิตเหล็กด้านข้างค่อยล งส่งผลให้สามารถผลิตได้ตามเป้าหมายที่กำหนด และยังช่วยลดระยะเวลาการทำงานโดยรวมในแต่ละหน่วยงาน

โดยสรุปได้ว่า หลังการปรับปรุงเวลาในการผลิตของหน่วยงานเหล็กด้านข้างค่อยล งนั้น ลดลงจากเดิม 10,386 วินาที เป็น 7,870.43 วินาที ลดจากเดิม 2,515.57 วินาที หรือ คิดเป็นร้อยละ 24.21 ในด้านผลกระทบทางเศรษฐศาสตร์ การตัดขั้นตอน “การลับคอมชิ้นงาน” ซึ่งแต่เดิมเป็นกิจกรรมที่ใช้เวลาในการดำเนินงานค่อนข้างสูง (ประมาณ 700–1,100 วินาทีต่อรอบ) ออกไป ส่งผลให้สามารถจัดสรรกำลังแรงงานไปสนับสนุนกระบวนการพับเหล็กได้โดยตรง ลดภาระงานซ้ำซ้อน และเพิ่มอัตราการใช้ประโยชน์แรงงาน (Labor Utilization Rate) ได้อย่างมีประสิทธิภาพ ทั้งนี้จากข้อมูลหลังการปรับปรุงพบว่า จำนวนชิ้นส่วนโครงสร้างและเหล็กด้านซ้าย-ขวา ที่ผลิตในระยะเวลาเท่าเดิมเพิ่มขึ้นอย่างชัดเจน ซึ่งสะท้อนถึงการเพิ่มผลิตภาพต่อแรงงาน (Labor Productivity) ส่งผลให้ต้นทุนเฉลี่ยต่อหน่วย (Average Cost per Unit) ลดลง และทำให้เกิดกำไรต่อหน่วยเพิ่มขึ้น

## 5. ข้อเสนอแนะสำหรับการวิจัยในอนาคต

5.1 ควรมีการทดสอบค่าช่องว่างของแม่พิมพ์กับวัสดุประเภทอื่น ๆ เช่น สแตนเลส หรืออลูมิเนียม เพื่อศึกษาความสัมพันธ์ของชนิดวัสดุกับปริมาณครึบที่เกิดขึ้น

5.2 แนะนำศึกษาผลกระทบของค่าช่องว่างแม่พิมพ์ต่ออายุการใช้งานของแม่พิมพ์ในระยะยาว เพื่อประเมินความคุ้มค่าทางเศรษฐศาสตร์ในระดับองค์กร

## 6. เอกสารอ้างอิง

- [1] S.S.Kim, C. S. Han and Y.-S. Lee, Development of a new burr-free hydro-mechanical punching, *Journal of Materials Processing Technology*, 2005, 162–163, 524-529.
- [2] <https://www.daytonlamina.com/technical-articles/article-detail/new-look-die-clearance>. (Accessed on 25 April 2025)
- [3] <https://moellerpunch.com/how-to-determine-punch-and-die-clearance>. (Accessed on 25 April 2025)
- [4] <https://myaccount.wilsontool.com/medias/Die-Clearance.pdf> (Accessed on 25 April 2025)
- [5] R. Karnchanapunyakom, *Industrial work study*, Top Publishing, Bangkok, Thailand. 2009.
- [6] <https://www.creativesafetysupply.com/glossary/ecrs>. (Accessed on 27 April 2025)
- [7] T. Ohno, *Toyota production system: Beyond large-scale production*, Productivity Press, Portland, OR, USA, 1988.
- [8] B. Boonsuk, Applying value stream mapping and the ECRS principle to reduce waste in the distribution process, *Journal of Industrial Engineering and Logistics*, 2025, 8(1), 45-55.



- [9] S. Nakawong, C. Udomphon, Application of lean management techniques and ergonomic principles to improve manual assembly processes, *Engineering Journal*, 2023, 30(2), 29-43.
- [10] W. Ngamsaad, P. Naksidee, N. Ingprasert, Applying the ECRS principle to improve garment manufacturing processes, *The 9th National Conference on Science and Technology*, Nakhon Pathom Rajabhat University, Proceeding, 2023.
- [11] R. Singh, Improving production efficiency using the ECRS principle: A case study in the plastic parts industry, *The Journal of Industrial Technology*, 2023, 19(1), 45-52.
- [12] A. Amonlak and S. Wattanasathien, Efficiency improvement using concurrent engineering and ECRS technique: A case study in a small automotive parts manufacturer, *Thai Industrial Engineering Network Journal*, 2019, 5(1), 21-27.
- [13] W. Patanachai and A. Intarasophon, Improvement of sheet metal production process using the ECRS principle and shear die design, *Journal of Industrial Engineering*, 2022, 29(2), 35-43.



บทความวิจัย

สารสารวิชาการเทคโนโลยีอุตสาหกรรม (The Journal of Industrial Technology)

ISSN (online): 2697-5548

DOI: 10.14416/j.ind.tech.2025.08.009

# การหาสภาวะที่เหมาะสมสำหรับการกำจัดโคลิฟอร์มแบคทีเรียในน้ำผิวดินโดยใช้ถังปฏิกรณ์แบบไฮโดรไดนามิกส์คาวิเตชันด้วยวิธีพื้นผิวนอกสนอง

ธนากรฤทธิ์ ชนกฤต หนู๊ชานะ<sup>1</sup> พรัตต์ อุดรัตต์<sup>2</sup> กุลเชษฐ์ เพียรทอง<sup>3</sup> และ อิทธิพล วรพันธ์<sup>4\*</sup>

<sup>1</sup> สาขาวิชาระบบสารเคมี คณะระบบสารเคมีและการขนส่ง มหาวิทยาลัยเทคโนโลยีราชมงคลล้านนา

<sup>2</sup> สาขาวิชาศึกษาพัฒนาและการปรับอากาศ คณะวิศวกรรมศาสตร์และเทคโนโลยี มหาวิทยาลัยเทคโนโลยีราชมงคลล้านนา

<sup>3</sup> ภาควิชาศึกษาพัฒนา คณะวิศวกรรมศาสตร์ มหาวิทยาลัยอุบลราชธานี

<sup>4</sup> สาขาวิชาศึกษาพัฒนา คณะวิศวกรรมศาสตร์และเทคโนโลยี มหาวิทยาลัยเทคโนโลยีราชมงคลล้านนา

\* ผู้ประสานงานเผยแพร่ (Corresponding Author), E-mail: ittipon.wo@rmuti.ac.th

วันที่รับบทความ: 7 มกราคม 2568; วันที่ทบทวนบทความ: 26 มิถุนายน 2568; วันที่ตอบรับบทความ: 1 กรกฎาคม 2568

วันที่เผยแพร่อนไลน์: 20 สิงหาคม 2568

**บทคัดย่อ:** งานวิจัยนี้มีจุดมุ่งหมายเพื่อหาสภาวะที่เหมาะสมในการกำจัดโคลิฟอร์มแบคทีเรียในน้ำผิวดินโดยใช้ถังปฏิกรณ์แบบไฮโดรไดนามิกส์คาวิเตชันเป็นตัวช่วย วิธีพื้นผิวนอกสนองถูกนำมาใช้สำหรับการวิเคราะห์อัตราการเจริญเติบโตของตัวแปรต่อปริมาณโคลิฟอร์มแบคทีเรียทั้งหมด ตัวแปรที่ศึกษา ได้แก่ ระยะเวลาในการกำจัดโคลิฟอร์มแบคทีเรีย จำนวนอนุภาคเส้นผ่าศูนย์กลางของรูบันแผ่นออริพิช จากผลการทดลองพบว่าค่าวิเตชันที่เกิดขึ้นภายในถังปฏิกรณ์สามารถช่วยลดปริมาณโคลิฟอร์มแบคทีเรียทั้งหมดได้อย่างมีประสิทธิภาพ โดยตัวแปรสำคัญที่มีผลต่อการลดลงของปริมาณโคลิฟอร์มแบคทีเรียทั้งหมดอย่างมีนัยสำคัญคือระยะเวลาในการกำจัดโคลิฟอร์มแบคทีเรีย จำนวนอนุภาคเส้นผ่าศูนย์กลางของรูบันแผ่นออริพิช ทั้งนี้แบบจำลองทางคณิตศาสตร์ที่ได้สามารถทำนายปริมาณโคลิฟอร์มแบคทีเรียทั้งหมดได้ด้วยค่าสัมประสิทธิ์การตัดสินใจ ( $R^2$ ) เท่ากับ 0.9462 และสภาวะที่เหมาะสมในการกำจัดโคลิฟอร์มแบคทีเรียคือระยะเวลาในการกำจัดโคลิฟอร์มแบคทีเรีย 89.33 นาที จำนวนอนุภาคเส้นผ่าศูนย์กลางของรูบันแผ่นออริพิช 3 มิลลิเมตรทำให้ปริมาณโคลิฟอร์มแบคทีเรียทั้งหมดในน้ำผิวดินลดลงจาก 200 ซี.เอฟ.ยู./ 100 มิลลิลิตรเหลือ 0 ซี.เอฟ.ยู./ 100 มิลลิลิตร

**คำสำคัญ:** โคลิฟอร์มแบคทีเรีย; วิธีพื้นผิวนอกสนอง; แผ่นออริพิชแบบหดหายรู; ถังปฏิกรณ์แบบไฮโดรไดนามิกส์คาวิเตชัน



บหคવมวจช

สารสารวิชาการเทคโนโลยีอุตสาหกรรม (The Journal of Industrial Technology)

ISSN (online): 2697-5548

DOI: 10.14416/j.ind.tech.2025.08.009

# Optimization of Coliform Bacteria Removal in Surface Water using a Hydrodynamic Cavitation Reactor with the Response Surface Methodology

Thanakrit Nonchana<sup>1</sup> Nopparat Amattirat<sup>2</sup> Kulachate Pianthong<sup>3</sup> and Ittipon Worapun<sup>4\*</sup>

<sup>1</sup> Department of Railway Systems, Faculty of Railway Systems and Transportation,  
Rajamangala University of Technology Isan

<sup>2</sup> Department of Energy and Air Conditioning Engineering, Faculty of Engineering and Technology,  
Rajamangala University of Technology Isan

<sup>3</sup> Department of Mechanical Engineering, Faculty of Engineering, Ubonratchathani University

<sup>4</sup> Department of Mechanical Engineering, Faculty of Engineering and Technology,  
Rajamangala University of Technology Isan

\* Corresponding Author, E-mail: ittipon.wo@rmuti.ac.th

Received: 7 January 2025; Revised: 26 June 2025; Accepted: 1 July 2025

Online Published: 20 August 2025

**Abstract:** This research aims to determine the optimal conditions for eliminating coliform bacteria in surface water using a hydrodynamic cavitation reactor. The response surface methodology was employed to analyze the influence of variables on the amount of total coliform bacteria. The studied variables included the duration of coliform bacteria removal, the number of holes, and the diameter of the holes on the orifice plate. The experimental results showed that the cavitation occurring within the reactor effectively reduced the amount of total coliform bacteria. The key variables significantly affecting the reduction of total coliform bacteria were the duration of removal, the number of holes, and the diameter of the holes on the orifice plate. The developed mathematical model was found to predict the amount of total coliform bacteria with high accuracy, with a coefficient of determination ( $R^2$ ) of 0.9462. The optimal conditions for eliminating coliform bacteria were determined to be a removal duration of 89.33 minutes, an orifice plate with 5 holes, and a hole diameter of 3 mm. Under these conditions, the amount of total coliform bacteria in surface water was reduced from 200 CFU/100 ml to 0 CFU/100 ml.

**Keywords:** Coliform bacteria; Response surface methodology; Multi-hole Orifice plates; Hydrodynamics cavitation react



## 1. บทนำ

ความมั่นคงด้านทรัพยากรน้ำถือเป็นหนึ่งในความท้าทายระดับโลกที่สำคัญยิ่ง การเพิ่มขึ้นของประชากรและการขยายตัวของภาคอุตสาหกรรมได้สร้างความต้องการน้ำปริมาณมหาศาลต่อแหล่งน้ำจืด โดยเฉพาะแหล่งน้ำผิวดิน เช่น แม่น้ำและทะเลสาบ ซึ่งมีความเปราะบางสูงต่อการปนเปื้อนทางจุลชีววิทยา อันเป็นความเสี่ยงโดยตรงต่อสุขภาพของประชาชน การปนเปื้อนแบคทีเรียกลุ่มโคลิฟอร์ม (Coliform Bacteria) และโดยเฉพาะอย่างยิ่ง *Escherichia coli* (*E. coli*) ในแหล่งน้ำ เป็นดัชนีชี้วัดที่ชัดเจนถึงการปนเปื้อนจากสิ่งปฏิกูล ซึ่งบ่งชี้ถึงความเป็นไปได้ที่จะมีเชื้อก่อโรคอื่นๆ ปะปนอยู่ด้วยและอาจนำไปสู่การบาดของโรคทางเดินอาหารที่รุนแรงได้ เพื่อรับมือกับความท้าทายนี้ กระบวนการฆ่าเชื้อ (Disinfection) จึงเป็นหัวใจสำคัญของระบบการผลิตน้ำประปาและการบำบัดน้ำเสีย วิธีการที่ใช้กันอย่างแพร่หลายที่สุดคือการใช้คลอรีน เนื่องจากมีประสิทธิภาพสูงและต้นทุนต่ำ อย่างไรก็ตาม ประสิทธิภาพของคลอรีนกลับมาพร้อมกับข้อเสียที่น่ากังวลหลายประการ ประการสำคัญที่สุดคือ เมื่อคลอรีนทำปฏิกิริยากับสารอินทรีย์ตามธรรมชาติในน้ำ ก่อให้เกิดผลิตผลลัพธ์ได้จากการฆ่าเชื้อ (Disinfection By-products, DBPs) โดยกลุ่มที่เป็นที่รู้จักและน่ากังวลมากที่สุดคือไตรฮาโลเมเทน (THMs) และกรดอาโลอะซิติก (HAAgs) ซึ่งสามารถก่อให้เกิดผลกระทบต่อสุขภาพของมนุษย์หากได้รับอย่างต่อเนื่อง [1,2] นอกจากนี้การใช้คลอรีนยังอาจส่งผลกระทบต่อระบบนิเวศและอาจไม่สามารถกำจัดจุลทรีย์บางชนิดที่มีความทนทานสูงได้

ด้วยข้อจำกัดเหล่านี้การแสวงหาเทคโนโลยีการบำบัดน้ำทางเลือกที่มีประสิทธิภาพสูง ปลอดภัยและเป็นมิตรต่อสิ่งแวดล้อมจึงมีความสำคัญอย่างยิ่ง โดยกระบวนการออกซิเดชันขั้นสูง (Advanced Oxidation Processes: AOPs) และไฮโดรไดนามิกส์ cavity เทคนิค (Hydrodynamic Cavitation, HC) มีความน่าสนใจในฐานะเทคโนโลยีที่อาศัยหลักการทำงานกล โดยไม่ต้องเติมสารเคมีใดๆ เพิ่ม ปรากฏการณ์ HC เกิดขึ้นเมื่อของเหลวไหลผ่านส่วนคอด เช่น แผ่นออริฟิซ (Orifice Plate) ด้วยความเร็วสูงทำให้ความดันลดลงต่ำกว่าความดันไอของของเหลว เกิดเป็นฟองไอขนาดเล็กจำนวนมากทางเดิน เมื่อฟองเหล่านี้เคลื่อนที่ไปยังบริเวณที่มีความดันสูงขึ้น จะเกิดการยุบตัวลงอย่างรุนแรงและนับพัน [3] การยุบตัวนี้ปลดปล่อยพลังงานมหาศาล ออกมาระบุคุณ สร้างกลไกการทำลายเซลล์จุลินทรีย์ที่ทรงพลังทั้งทางกายภาพและเคมีพร้อมกัน กลไกทางกายภาพประกอบด้วยแรงเฉือนรุนแรงที่ทำลายผนังเซลล์ ประกอบกับการเกิดจุดอุณหภูมิสูง (Hot Spots) ที่อุณหภูมิสูงถึง 3,000–5,000 K และคลื่นกระแทก (Shock Waves) ที่ความดันสูงกว่า 1,000 บาร์ ในขณะเดียวกันสภาวะนี้ยังก่อให้เกิดกลไกทางเคมีคือ การแตกตัวของโมเลกุลน้ำ ( $H_2O$ ) กลายเป็นอนุมูลไฮดรอกซิล ( $OH^-$ ) ซึ่งเป็นสารออกซิไดซ์ที่รุนแรง สามารถทำลายองค์ประกอบสำคัญของเซลล์ได้อย่างรวดเร็ว [4]

ถึงแม้ว่างานวิจัยที่ผ่านมาได้พิสูจน์ศักยภาพของ HC ในการกำจัดจุลทรีย์ โดยมุ่งเน้นศึกษาผลของตัวแปรเชิงการทำงาน เช่น ความดันและระยะเวลาในการบำบัด [3-6] แต่การศึกษาจำนวนมากยังคงใช้วิธีการ



บทความวิจัย

ทดลองแบบดึงเดินคือการปรับเปลี่ยนตัวแปรที่ละค่า (One Variable at a Time) ซึ่งมีข้อจำกัดสำคัญคือไม่สามารถอธิบายผลกระทบเชิงอันตรกิริยา (Interaction Effect) ระหว่างตัวแปรต่างๆ ได้ ซึ่งเป็นสิ่งสำคัญอย่างยิ่งในกระบวนการที่ซับซ้อนเช่นนี้ [7,8] เพื่อก้าวข้ามข้อจำกัดดังกล่าว วิธีพื้นผิวตอบสนอง (Response Surface Methodology, RSM) จึงเป็นเครื่องมือทางสถิติและการออกแบบการทดลองที่มีประสิทธิภาพสูงสามารถสร้างแบบจำลองทางคณิตศาสตร์ที่อธิบายความสัมพันธ์ระหว่างตัวแปรกับผลลัพธ์ของกระบวนการ และช่วยในการค้นหาสภาวะที่เหมาะสมที่สุด (Optimal Conditions) ได้อย่างแม่นยำและรวดเร็ว [9] ดังนั้นงานวิจัยนี้จึงมีวัตถุประสงค์เพื่อประยุกต์ใช้ RSM ร่วมกับการออกแบบการทดลองแบบ Box-Behnken เพื่อหาสภาวะที่เหมาะสมที่สุดในการจำกัดโคลิฟอร์มแบบที่เรียโดยใช้ถังปฏิกิริณแบบไฮโดรไดนามิกส์ cavity เนื่องจากในช่วงแรกของการทดลองแบบ Box-Behnken พบว่าค่าความดันทั้งทางด้านข้ามและทางออกเพื่อควบคุมและตรวจสอบสภาวะการทดลอง เพื่อให้แน่ใจว่าชุดทดลองสามารถสร้าง cavity เนื่องจากความสัมพันธ์ตามสมการที่ (1) เพื่อยืนยันว่าสภาวะการทดลองเอื้อต่อการเกิด cavity ในชุดทดลองที่รุนแรงสำหรับการนำดันน้ำ

## 2. อุปกรณ์และวิธีการทดลอง

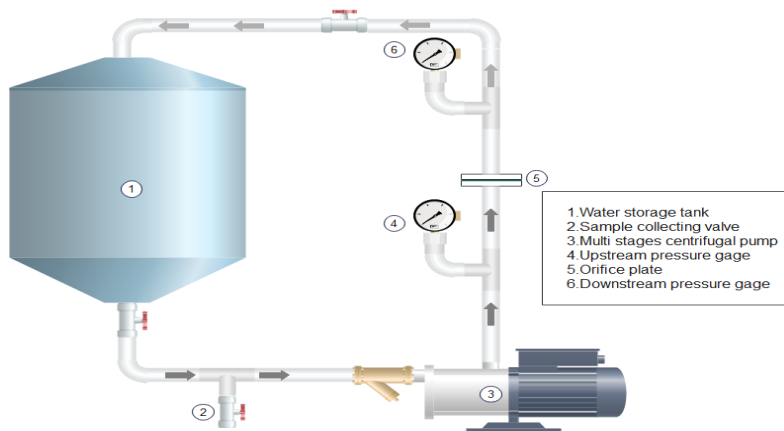
### 2.1 ชุดทดลองถังปฏิกิริณแบบไฮโดรไดนามิกคาวาเตชัน

งานวิจัยนี้อาศัยปราภูภารณ์ไฮโดรไดนามิกส์คาวาเตชันเพื่อกำจัดเชื้อโรคในน้ำ โดยเลือกใช้แผ่นอะคริลิคเป็นอุปกรณ์หนีน้ำคาวาเตชันภายในถังปฏิกิริณ ชุดทดลองที่ใช้ (ดังรูปที่ 1) ประกอบด้วย

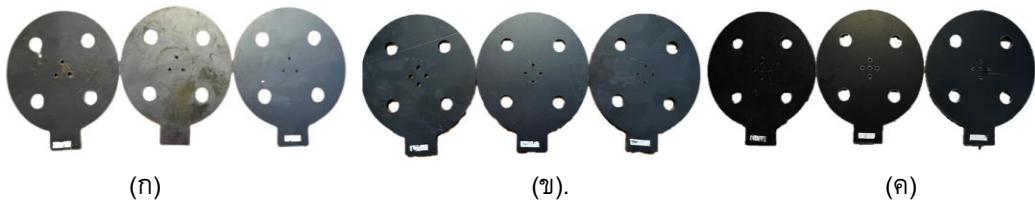
อุปกรณ์หลัก ได้แก่ ถังพักน้ำสเตนเลส (SUS 304) ขนาด 50 ลิตร และบีบัน้ำแรงดันสูง (Vertical Multi-stage, 0.75 kW) ซึ่งทำหน้าที่เพิ่มแรงดันให้น้ำสูงสุดถึง 0.8 เมกะ帕ascal ก่อนส่งเข้าสู่ถังปฏิกิริณ ส่วนสำคัญของถังปฏิกิริณคือห้องสำหรับติดตั้งแผ่นอะคริลิคแบบหลายชั้น (ดังรูปที่ 2) ซึ่งทำการเหล็กแต่ละเส้นผ่านศูนย์กลาง 29 มิลลิเมตร แผ่นอะคริลิคที่เป็นหัวใจสำคัญในการสร้างคาวาเตชัน ชุดทดลองยังมีวัลเวกเก็บตัวอย่างน้ำ และเกจวัดความดันทั้งทางด้านข้ามและทางออกเพื่อควบคุมและตรวจสอบสภาวะการทดลอง เพื่อให้แน่ใจว่าชุดทดลองสามารถสร้างคาวาเตชันได้อย่างมีประสิทธิภาพ ค่าณผู้วิจัยได้ทำการคำนวณหาค่า "เลขคาวาเตชัน" (Cavitation Number) ซึ่งเป็นตัวเลขไวร์มิตที่บ่งชี้ถึงความรุนแรงของปราภูภารณ์ โดยคำนวณจากความสัมพันธ์ตามสมการที่ (1) เพื่อยืนยันว่าสภาวะการทดลองเอื้อต่อการเกิดคาวาเตชันที่รุนแรงสำหรับการนำดันน้ำ

$$\sigma = \frac{P_u - P_d}{P_d - P_v} \quad (1)$$

โดยที่  $\sigma$  คือเลขคาวาเตชัน,  $P_u$  คือความดันทางเข้า แผ่นอะคริลิค,  $P_d$  คือความดันทางออกจากแผ่นอะคริลิค และ  $P_v$  คือความดันไอน้ำของน้ำ จากการคำนวณหาเลขคาวาเตชันตามสมการที่ 1 พบร้าชุดทดลองที่ใช้แผ่นอะคริลิคแบบต่างๆ ดังแสดงในรูปที่ 2 สามารถสร้างปราภูภารณ์คาวาเตชันได้แผ่นอะคริลิคแต่ละแบบให้เลขคาวาเตชันอยู่ในช่วง 0.6-1.9 ซึ่งถือว่าเป็นค่าที่ทำให้เกิดปราภูภารณ์คาวาเตชันที่รุนแรงทั้งนี้ค่าเลขคาวาเตชัน 0.2-0.8 จะให้ประสิทธิภาพสูงสุดสำหรับการฆ่าเชื้อโรคในน้ำผิดนิ [10]



รูปที่ 1 แผนผังแสดงรายละเอียดของชุดทดลองถังปฏิกรณ์แบบไฮโดรไดนามิกส์ค่าวิเดชัน



รูปที่ 2 ลักษณะของแผ่นอริฟิซแบบหลายรูที่ใช้ในงานวิจัยนี้:

(ก) แผ่นอริฟิซแบบ 3 รู (ข) แผ่นอริฟิซแบบ 4 รู และ (ค) แผ่นอริฟิซแบบ 5 รู

## 2.2 น้ำทึบผิดนิที่ใช้ในการทดลอง

น้ำผิดนิที่ใช้สำหรับการทดลองในงานวิจัยนี้เป็นน้ำผิดนิที่ได้มาจากการเก็บตัวอย่างน้ำทึบจากโรงอาหารกลางของมหาวิทยาลัยเทคโนโลยีราชมงคลล้านนา จังหวัดเชียงใหม่ ที่ปล่อยลงสู่บ่อบำบัดน้ำเสียของมหาวิทยาลัย ในส่วนของการเก็บตัวอย่างน้ำทึบสำหรับวิเคราะห์พิริมาณเชื้อโคลิฟอร์มทั้งหมดเริ่มต้นนั้นจะใช้วิธีการเก็บตัวอย่างแบบจุด (Grab Sampling) โดยจุดเก็บตัวอย่างในระบบบำบัดน้ำเสียคือจุดก่อนปล่อยสู่แหล่งน้ำธรรมชาติ ทั้งนี้ สามารถหาค่าปริมาณโคลิฟอร์มแบบที่เรียกว่าทั้งหมดเริ่มต้นได้เท่ากับ 200 ซีเอฟพี/100 มิลลิลิตร

## 2.3 การออกแบบการทดลอง

งานวิจัยนี้ใช้วิธีการออกแบบการทดลองแบบ Box-Behnken ซึ่งทำให้สามารถหาเงื่อนไขของการทดลองทั้งหมด ( $n$ ) ได้จากสมการที่ (2)

$$n=2k(k-1)+c_o \quad (2)$$

เมื่อกำหนดให้ค่า  $k$  คือ จำนวนของตัวแปรที่ทำการศึกษาและ  $c_o$  คือ จำนวนจุดศูนย์กลาง (Center Point) จากสมการที่ (2) งานวิจัยนี้ใช้วิธีการออกแบบการทดลองแบบ Box-Behnken ซึ่งกำหนดให้มีเงื่อนไขการทดลองทั้งหมด 17 การทดลอง



## บทความวิจัย

โดยใช้โปรแกรม Design-Expert® version 13 เป็นเครื่องมือในการออกแบบและวิเคราะห์ผลด้วยวิธีพื้นผ้าตอบสนอง (Response Surface Methodology: RSM) วัสดุประสงค์หลักของ RSM คือเพื่อวิเคราะห์ความสัมพันธ์ หาสภาวะที่เหมาะสมและพัฒนาแบบจำลองทางคณิตศาสตร์สำหรับทำนายปริมาณโคลิฟอร์มแบคทีเรีย ตัวแปรอิสระที่ทำการศึกษาซึ่งคัดเลือกจากการทบทวนวรรณกรรมที่เกี่ยวข้อง มี 3 ตัวแปรได้แก่ ระยะเวลาในการจำจัดโคลิฟอร์มแบคทีเรีย (T) จำนวนรูบన แผ่นออริพิช (N) และขนาดเส้นผ่าศูนย์กลางของรูบນแผ่นออริพิช (D) ส่วนผลตอบสนองที่สนใจคือปริมาณโคลิฟอร์มแบคทีเรีย ทั้งหมดในน้ำ ตัวแปรแต่ละตัวถูกกำหนดไว้ 3 ระดับ คือระดับต่ำ (-1), กลาง (0), และสูง (+1) โดยมีช่วงการศึกษาดังนี้ระยะเวลาในการจำจัดโคลิฟอร์มแบคทีเรีย 30-90 นาที จำนวนรูบນแผ่นออริพิช 3-5 รู และขนาดเส้นผ่าศูนย์กลางของรูบນแผ่นออริพิช 2-4 มิลลิเมตร ซึ่งระดับและช่วงของค่าเหล่านี้อ้างอิงมาจากงานวิจัยที่เกี่ยวข้อง โดยรายละเอียดสรุปในตารางที่ 1

## 2.4 วิธีการทดลอง

การทดลองดำเนินการโดยใช้ชุดทดลอง (รูปที่ 1) ตามเงื่อนไขทั้ง 17 รูปแบบที่ได้จากการออกแบบการทดลอง (ตารางที่ 2) ในแต่ละการทดลอง จะเริ่มต้นด้วยการบรรจุน้ำทึบตัวอย่าง 20 ลิตรลงในถังพักน้ำ จากนั้นปรับค่าตัวแปร ได้แก่ ระยะเวลาในการจำจัดโคลิฟอร์มแบคทีเรีย จำนวนรูบນแผ่นออริพิช และขนาดเส้นผ่าศูนย์กลางของรูบນแผ่นออริพิช ออริพิชให้ตรงตามเงื่อนไขที่กำหนดเมื่อตั้งค่าตัวแปรแล้วทำการเปิดปั๊มน้ำแรงดันสูงและควบคุมความดันทางด้านเข้าให้มีค่าคงที่ที่ 0.8 เมกะ-ปاسкаล ตลอดการทดลอง เมื่อครบตามเงื่อนไขของแต่ละการทดลอง จะมีการทำซ้ำอีก 2 ครั้ง รวมเป็นการทดลองทั้งหมด 3 ชั้ต่อหนึ่งเงื่อนไข จากนั้นจึงเก็บตัวอย่างน้ำเพื่อนำไปวิเคราะห์หาปริมาณโคลิฟอร์มแบคทีเรียทั้งหมด ค่าที่ได้จากการทดลองจะถูกนำมาคำนวณเป็นค่าเฉลี่ยเพื่อใช้เป็นผลตอบสนองสำหรับการวิเคราะห์ทางสถิติต่อไป

ตารางที่ 1 ตัวแปรและระดับของตัวแปรที่ทำการศึกษาในงานวิจัยนี้

ตัวแปร	หน่วย	ระดับ		
		-1 (ต่ำ)	0 (กลาง)	+1 (สูง)
ระยะเวลาในการจำจัดโคลิฟอร์มแบคทีเรีย (T)	นาที	30	60	90
จำนวนรูบນแผ่นออริพิช (N)	รู	3	4	5
ขนาดเส้นผ่าศูนย์กลางของรูบນแผ่นออริพิช (D)	มิลลิเมตร	2	3	4



## ตารางที่ 2 แสดงเงื่อนไขของการทดลองและค่าปริมาณโคลิฟอร์มแบคทีเรียทั้งหมด (ค่าผลตอบสนอง)

ทดลอง	ตัวแปร			ปริมาณโคลิฟอร์ม แบคทีเรียทั้งหมด (ซีเอฟพี/ 100 มิลลิลิตร)
	ระยะเวลาในการกำจัด	จำนวนรูบห	ขนาดเส้นผ่าศูนย์กลาง	
	โคลิฟอร์มแบคทีเรีย	แผ่นอะโรฟิช	ของรูบหแผ่นอะโรฟิช	
(นาที)	(รู)	(มิลลิเมตร)		
1	60	4	3	14.33
2	60	4	3	15.33
3	90	3	3	4.67
4	60	4	3	13.67
5	90	4	4	2.00
6	60	5	4	3.67
7	60	4	3	17.00
8	90	5	3	1.33
9	60	3	4	17.33
10	30	4	2	21.67
11	30	4	4	12.67
12	60	4	3	15.67
13	60	3	2	29.00
14	30	5	3	9.33
15	60	5	2	5.67
16	90	4	2	3.67
17	30	3	3	23.33

### 2.5 การวิเคราะห์ทางสถิติ

ข้อมูลผลการทดลองของค่าผลตอบสนอง (ปริมาณโคลิฟอร์มแบคทีเรีย) ที่ได้จากการที่ 2 จะถูกนำมาวิเคราะห์โดยใช้สมการพหุนามอันดับสอง (Second Order Polynomial Equation) ดังแสดงตามสมการที่ (3)

$$Y = \beta_0 + \sum_{i=1}^k \beta_i X_i + \sum_{i=1}^k \beta_{ii} X_i^2 + \sum_{i>j} \sum_j \beta_{ij} X_i X_j \quad (3)$$

เมื่อกำหนดให้ค่า  $Y$  คือผลตอบสนองที่ทำการศึกษา (ปริมาณโคลิฟอร์มแบคทีเรีย)  $\beta_0$ ,  $\beta_i$ ,  $\beta_{ii}$  และ  $\beta_{ij}$  คือค่าคงที่ ค่าสัมประสิทธิ์ของพจน์ตัวแปรกำลังหนึ่ง ค่าสัมประสิทธิ์ของพจน์ตัวแปรกำลังสองและค่าสัมประสิทธิ์ของพจน์ตัวแปรร่วม ตามลำดับโดยที่  $X_i$  และ  $X_j$  คือค่าตัวแปรอิสระและ  $k$  คือจำนวนตัวแปรอิสระที่ทำการศึกษา



สำหรับการวิเคราะห์ค่าทางสถิติของแบบจำลองทางคณิตศาสตร์จะใช้การทดสอบค่าความแปรปรวน (Analysis of Variance, ANOVA) โดยพิจารณาที่ระดับความเชื่อมั่น 95% ส่วนค่าความหมายสมและความพอดีของแบบจำลองทางคณิตศาสตร์นั้น พิจารณาจากค่าสัมประสิทธิ์การตัดสินใจ (Coefficient of Determination,  $R^2$ ) และค่านัยสำคัญทางสถิติของแต่ละพจน์จากแบบจำลองทางคณิตศาสตร์ที่พัฒนาขึ้น พิจารณาจากการใช้ค่าสัมประสิทธิ์การถดถอย (Regression Coefficient) ในส่วนของการวิเคราะห์หาค่าที่เหมาะสมของแต่ละตัวแปรที่ทำการศึกษาใช้วิธีการแก้ปัญหาจากการแก้สมการถดถอยและวิเคราะห์ด้วยกราฟพื้นผิวน๊อตบุ๊ก

## 2.6 การหาค่าปริมาณโคลิฟอร์มแบคทีเรียทั้งหมดในน้ำ

การหาค่าปริมาณโคลิฟอร์มแบคทีเรียทั้งหมดในน้ำผิวดินจะใช้วิธีการนับจำนวนโคลนีสีที่ปรากฏจากชุดตรวจสอบแบบสำเร็จรูป Compact Dry EC for *E.coli* / Coliform ของบริษัท ออสคอน จำกัด ซึ่งชุดตรวจสอบมีลักษณะเป็นจานอาหารเลี้ยงเชื้อสำเร็จรูปสำหรับตรวจสอบเชื้อโคลนี (*E.coli*) และโคลิฟอร์ม (Coliform) ประกอบไปด้วยอาหารเลี้ยงเชื้อแบบ Selective ที่มีการเติม Chromogenic enzyme substrate 2 ชนิดคือ (1) X-Glue ที่ทำปฏิกิริยากับเอ็นไซม์  $\beta$ -glucuronidase ทำให้โคลนีโคลนีโคลนีเป็นสีน้ำเงินและ (2) Magenta-GAL ที่ทำปฏิกิริยากับเอ็นไซม์  $\beta$ -galactosidase ทำให้โคลนีโคลิฟอร์มเป็นสีม่วง โดยมีขั้นตอนในการวัดค่าปริมาณโคลิฟอร์มแบคทีเรียทั้งหมดในน้ำผิวดินจะเริ่มจากการปีบต้น้ำตัวอย่างปริมาตร 1 มิลลิลิตรแล้วหยดลงลงกลางของจานอาหารเลี้ยงเชื้อ จากนั้นปิดฝา

จานอาหารเลี้ยงเชื้อแล้วนำเข้าสู่ตู้บ่มเพื่อทำการบ่มเชื้อที่อุณหภูมิ 37 องศาเซลเซียสเป็นระยะเวลา 24 ชั่วโมงทำการนับจำนวนโคลนีที่ปรากฏบนด้านหลังของจานเพาะเชื้อ โดยโคลนีที่มีสีม่วงบ่งชี้ถึงการมีอยู่ของโคลิฟอร์มแบคทีเรีย อย่างไรก็ตามการหาค่าปริมาณโคลิฟอร์มโดยวิธีนี้ (ชุดตรวจสอบ Compact Dry EC) เมื่อเทียบกับวิธีมาตรฐาน AOAC Official Method 966.24 ในการนับจำนวนอีโคลีโน่และโคลิฟอร์มแบคทีเรียพบว่า Compact Dry EC มีความคลาดเคลื่อนจากวิธีมาตรฐานประมาณ 7% ซึ่งถือว่าอยู่ในเกณฑ์ที่ยอมรับได้สำหรับการใช้งานในห้องปฏิบัติการ สำหรับการใช้งานกับน้ำ (CFU/100mL) ความคลาดเคลื่อนจะอยู่ในช่วง 5-15% ขึ้นอยู่กับระดับความเข้มข้นของเชื้อ [11]

## 3. ผลการทดลองและวิจารณ์ผล

### 3.1 ตัวแบบจำลองและสมการถดถอย

จากการทดลองที่ได้ตามตารางที่ 2 เมื่อนำมาวิเคราะห์เพื่อเลือกตัวแบบจำลองที่เหมาะสมจะได้ผลการวิเคราะห์ในรูปผลสรุปทางสถิติของแบบจำลอง (Model Summary Statistic) ดังแสดงไว้ในตารางที่ 3 ทั้งนี้ การยืนยันว่ารูปแบบสมการได้เป็นรูปแบบสมการที่เหมาะสมจะพิจารณาจากค่าสัมประสิทธิ์การตัดสินใจ ( $R^2$ ) โดยพบว่าตัวแบบจำลองกำลังสาม (Cubic) มีค่าสัมประสิทธิ์การตัดสินใจสูงที่สุดคือเท่ากับ 0.9937 รองลงมาคือตัวแบบจำลองกำลังสอง (Quadratic) มีค่าสัมประสิทธิ์การตัดสินใจเท่ากับ 0.9462 จากที่ได้กล่าวมาจะเห็นได้ว่าตัวแบบจำลองกำลังสามเป็นรูปแบบสมการที่เหมาะสมที่สุดสำหรับงานวิจัยนี้ แต่หากพิจารณาที่หมายเหตุ (Remark) จะพบว่ามีการแจ้งเตือนการเป็นคู่แฝดแห่ง (Aliased)



## บทความวิจัย

หมายความว่าการออกแบบการทดลองแบบ Box-Behnken ที่เลือกใช้มีจำนวนของการทดลองไม่เพียงพอที่ทำให้เกิดตัวแบบจำลองกำลังสามได้ดังนั้น จึงเลือกตัวแบบจำลองกำลังสองเป็นตัวแบบจำลองที่ใช้ในงานวิจัยนี้สำหรับการทำนายค่าปริมาณโคลิฟอร์มแบคทีเรียทั้งหมดในน้ำผิวดิน ทั้งนี้จากผลการทดลองดังแสดงในตารางที่ 2 เรายสามารถนำผลการทดลองดังกล่าวมาเขียนเป็นสมการทดถอยสำหรับแสดงความสัมพันธ์ระหว่างค่าตัวแปรที่ทำการศึกษา กับค่าผลตอบสนองโดยได้รูปแบบของสมการทดถอยที่เหมาะสมดังแสดงตามสมการที่ (4)

$$Y=15.20 - 6.92T - 6.79N - 3.04D - 4.72T^2 \quad (4)$$

### 3.2 การวิเคราะห์ค่าความแปรปรวน

การวิเคราะห์ค่าความแปรปรวนเพื่อประเมินความน่าเชื่อถือและความเหมาะสมของแบบจำลองทางคณิตศาสตร์ที่พัฒนาขึ้น (สมการที่ 4) ได้มีการวิเคราะห์ค่าความแปรปรวน (ANOVA) ที่ระดับความเชื่อมั่น 95% โดยมีผลดังแสดงในตารางที่ 4 ผลการวิเคราะห์พบว่าแบบจำลองที่ได้มีความสำคัญอย่างยิ่งทางสถิติ โดยมีค่า p-value เท่ากับ 0.0012 ซึ่งบ่งชี้ว่าตัวแปรที่ใช้ศึกษา มีอิทธิพลต่อผลการทดลองจริงคุณภาพของแบบจำลองได้รับการยืนยันด้วยค่าสัมประสิทธิ์การตัดสินใจ ( $R^2$ ) ที่สูงถึง 0.9462 ซึ่งหมายความว่าแบบจำลองสามารถอธิบายความแปรปรวนของข้อมูลที่ได้จากการทดลองได้ถึง 94.62% ส่วนอีก 5.38% เป็นผลจากปัจจัยอื่นที่ควบคุมไม่ได้ นอกจากนี้ ค่าสัมประสิทธิ์การตัดสินใจที่มีการปรับแก้ (Adj.  $R^2$ ) ก็มีค่าสูงถึง 0.8761 ซึ่งเป็น

การยืนยันความเหมาะสมของแบบจำลองเช่นกันอย่างไรก็ตาม การวิเคราะห์พบว่าความสมรูปของสมการ (Lack of Fit) มีนัยสำคัญทางสถิติ ( $p\text{-value} = 0.0244$ ) ซึ่งบ่งชี้ว่าอาจมีความสัมพันธ์ของข้อมูลที่ชับช้อนกว่าที่แบบจำลองกำลังสองนี้จะสามารถอธิบายได้ทั้งหมด แต่เนื่องจากค่า  $R^2$  ที่สูงมากแสดงให้เห็นว่าแบบจำลองยังคงมีความสามารถในการทำนายผลได้ดีเยี่ยมและเป็นที่ยอมรับได้สำหรับการประยุกต์ใช้งานจริง โดยมีค่าสัมประสิทธิ์การตัดสินใจทำนาย (Pred.  $R^2$ ) อยู่ที่ 0.229 ซึ่งอยู่ในเกณฑ์ที่ยอมรับได้ โดยสรุปแม้จะมีประเด็นเรื่อง Lack of fit แต่ด้วยค่า  $R^2$  และ Adj.  $R^2$  ที่สูงทำให้สามารถสรุปได้ว่าแบบจำลองทางคณิตศาสตร์นี้มีความน่าเชื่อถือและเป็นเครื่องมือที่มีประโยชน์อย่างไรก็ตามผู้ใช้งานควรคำนึงถึงข้อจำกัดคือไม่ควรนำแบบจำลองไปใช้ทำนายผลนอกช่วงของตัวแปรที่ทำการทดลองและควรพิจารณาถึงความคลาดเคลื่อนที่อาจเกิดขึ้น

### 3.3 การวิเคราะห์สัมประสิทธิ์ของสมการทดถอย

สำหรับการวิเคราะห์แบบจำลองทางคณิตศาสตร์ ได้มีการประเมินอิทธิพลของตัวแปรอิสระแต่ละตัวผ่านการวิเคราะห์สัมประสิทธิ์ของสมการทดถอย โดยพิจารณาจากค่า p-value ที่ระดับความเชื่อมั่น 95% (ตารางที่ 5) ผลการวิเคราะห์พบว่าตัวแปรที่มีอิทธิพลอย่างมีนัยสำคัญ ( $p < 0.05$ ) ต่อการลดลงของโคลิฟอร์มแบคทีเรีย ได้แก่ พจน์เชิงเส้นของระยะเวลาในการกำจัดโคลิฟอร์มแบคทีเรีย ( $T$ ) จำนวนรูบันแห่น ออริพิช ( $N$ ) ขนาดเส้นผ่าศูนย์กลางของรูบันแห่น ออริพิช ( $D$ ) และพจน์กำลังสองของระยะเวลาในการกำจัดโคลิฟอร์มแบคทีเรีย ( $T^2$ ) ในขณะที่พจน์อิทธิพล

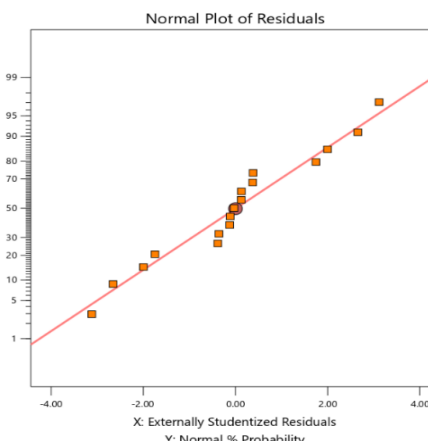


## บทความวิจัย

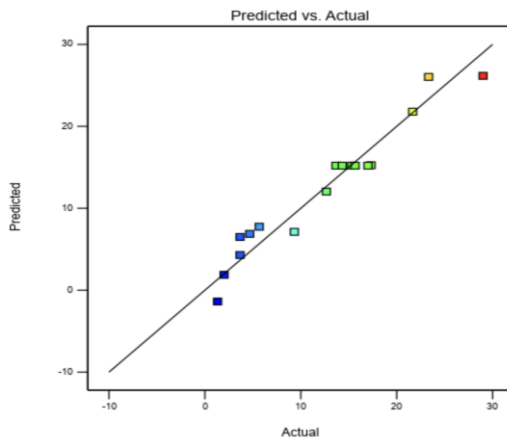
ร่วมและพจน์กำลังสองของตัวแปรอื่นไม่มีนัยสำคัญทางสถิติ นอกเหนือไปจากการที่มีการตรวจสอบความเหมาะสมของแบบจำลองผ่านกราฟวินใจนัยในรูปที่ 3 โดยภาพความน่าจะเป็นปกติของส่วนตอกดัง (รูปที่ 3 ก) แสดงข้อมูลที่กระจายตัวบนแนวเส้นตรง ซึ่งยืนยันว่าข้อมูลมีการแจกแจงแบบปกติและไม่มีความผิดพลาดอย่างมีนัยสำคัญ ขณะที่กราฟความสัมพันธ์ระหว่างค่าที่ได้จากการทดลองจริงและค่าที่ทำนายโดยแบบจำลอง (รูปที่ 3 ข) แสดงให้เห็นว่าจุดข้อมูลมีการเกากลุ่มใกล้กับเส้นที่แยกมุมเป็นอย่างดี สิ่งนี้ปั่งชี้ว่าแบบจำลองที่พัฒนาขึ้นมีความสามารถในการทำนายผลได้อย่างแม่นยำ ซึ่งสอดคล้องกับค่าสัมประสิทธิ์การตัดสินใจ ( $R^2$ ) ที่สูงถึง 0.9462 ดังนั้นการวิเคราะห์ทั้งหมดจึงเป็นการยืนยันว่าแบบจำลองมีความน่าเชื่อถือและเหมาะสมสำหรับการนำไปใช้งาน

### 3.4 อิทธิพลของตัวแปรต่อค่าปริมาณโคลิฟอร์มเบคที่เรียกว่าทั้งหมด

จากแบบจำลองทางคณิตศาสตร์ที่ได้พัฒนาขึ้นดังแสดงในสมการที่ (4) สามารถนำมาเพล็อตเป็นกราฟในรูป Contour เพื่ออธิบายถึงอิทธิพลของตัวแปรที่มีผลต่อค่าปริมาณโคลิฟอร์มเบคที่เรียกว่าทั้งหมดได้ดังแสดงตามรูปที่ 4 (ก-ค) เมื่อเริ่พิจารณาที่รูปที่ 4 (ก) ซึ่งเป็นกราฟแสดงอิทธิพลของระยะเวลาในการกำจัดโคลิฟอร์มเบคที่เรียกว่าและจำนวนรูบันแห่งօร์ฟิซต่อปริมาณโคลิฟอร์มเบคที่เรียดโดยได้กำหนดให้ระดับของขนาดเส้นผ่าศูนย์กลางของรูบันแห่งօร์ฟิซอยู่ที่ระดับกลวงคือ 3 มิลลิเมตร ในเมืองตันพบว่าระยะเวลาในการกำจัดโคลิฟอร์มเบคที่เรียกว่าและจำนวนรูบันแห่งօร์ฟิซมีอิทธิพลอย่างมากต่อค่าปริมาณโคลิฟอร์มเบคที่เรียกว่าทั้งหมดในน้ำผึ่วติดดังจะเห็นได้จากค่า P-value ของตัวแปรทั้งสองมีค่าเท่ากับ 0.0002 และ 0.0003 ตามลำดับ



(ก)

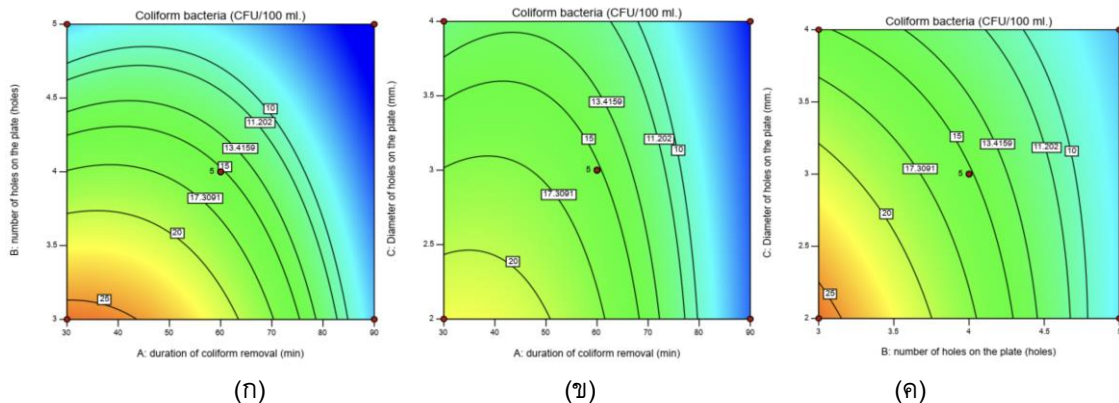


(ข)

รูปที่ 3 (ก) ความสัมพันธ์ระหว่างค่าความน่าจะเป็นปกติกับส่วนตอกดัง และ (ข) ความสัมพันธ์ระหว่างค่าปริมาณโคลิฟอร์มเบคที่เรียกว่าทั้งหมดที่ได้จากการทดลองกับค่าที่ได้จากการทำนาย



## บทความวิจัย



รูปที่ 4 (ก) อิทธิพลของระยะเวลาในการกำจัดโคลิฟอร์มแบคทีเรียและจำนวนรูบันแผ่นօอิพิซ (ข) อิทธิพลของระยะเวลาในการกำจัดโคลิฟอร์มแบคทีเรียและขนาดเส้นผ่าศูนย์กลางของรูบันแผ่นօอิพิซ และ (ค) อิทธิพลของจำนวนรูบันแผ่นօอิพิซและขนาดเส้นผ่าศูนย์กลางของรูบันแผ่นօอิพิซ

ทั้งนี้เมื่อใช้ระยะเวลาในการกำจัดโคลิฟอร์มแบคทีเรียนานขึ้นจะทำให้ค่าปริมาณโคลิฟอร์มแบคทีเรียทั้งหมดลดลงอย่างเห็นได้ชัด เช่นเดียวกันกับจำนวนรูบันแผ่นօอิพิซ ทั้งนี้เมื่อพิจารณาที่ระดับของตัวแปรทั้งสองที่ค่าสูง ๆ จะให้ค่าปริมาณโคลิฟอร์มแบคทีเรียทั้งหมดที่มีค่าต่ำ โดยค่าปริมาณโคลิฟอร์มแบคทีเรียทั้งหมดที่มีค่าน้อยสุดเท่ากับ 1.33 ซี.เอ.พ.ย./ 100 มิลลิตรที่ระยะเวลาในการกำจัดโคลิฟอร์มแบคทีเรีย 90 นาทีและจำนวนรูบันแผ่นօอิพิซ 5 รู เมื่อพิจารณารูปที่ 4 (ข) เป็นกราฟแสดงอิทธิพลของค่าระยะเวลาในการกำจัดโคลิฟอร์มแบคทีเรียและขนาดเส้นผ่าศูนย์กลางของรูบันแผ่นօอิพิซต่อปริมาณโคลิฟอร์มแบคทีเรียทั้งหมดโดยกำหนดให้ระดับของจำนวนรูบันแผ่นօอิพิซอยู่ที่ระดับกลางคือ 4 รูพบว่าเมื่อใช้ระยะเวลาในการกำจัดโคลิฟอร์มแบคทีเรียนานขึ้นจะทำให้ปริมาณโคลิฟอร์ม

แบคทีเรียทั้งหมดในน้ำผิดนัดลงอย่างต่อเนื่องและเมื่อเราพิจารณาที่ค่าขนาดเส้นผ่าศูนย์กลางของรูบันแผ่นօอิพิซก็จะมีลักษณะของแนวโน้มที่คล้ายกันกับระยะเวลาในการกำจัดโคลิฟอร์มแบคทีเรีย กล่าวคือถ้าขนาดเส้นผ่าศูนย์กลางของรูบันแผ่นօอิพิซมีค่าเพิ่มขึ้นจะทำให้ปริมาณโคลิฟอร์มแบคทีเรียทั้งหมดในน้ำผิดนัดลงอย่างต่อเนื่องเช่นกัน เมื่อพิจารณารูปที่ 4 (ค) เป็นกราฟแสดงอิทธิพลของจำนวนรูบันแผ่นօอิพิซและขนาดเส้นผ่าศูนย์กลางของรูบันแผ่นօอิพิซต่อปริมาณโคลิฟอร์มแบคทีเรียทั้งหมด โดยกำหนดให้ระดับของระยะเวลาในการกำจัดโคลิฟอร์มแบคทีเรียอยู่ที่ระดับกลางคือ 60 นาทีพบว่าจำนวนรูบันแผ่นօอิพิซและขนาดเส้นผ่าศูนย์กลางของรูบันแผ่นօอิพิซมีค่าเพิ่มสูงขึ้นจะทำให้ปริมาณโคลิฟอร์มแบคทีเรียทั้งหมดในน้ำผิดนัดลงเช่นกัน



### 3.5 สภาวะที่เหมาะสมของการกำจัดเชื้อโคลิฟอร์มแบบที่เรียกว่าหมดในน้ำผิวดิน

จากการคำนวณโดยใช้สมการถดถอยที่พัฒนาขึ้นเพื่อหาสภาวะที่เหมาะสมที่สุดในการกำจัดโคลิฟอร์มแบบที่เรียกว่าหมดพบว่าค่าที่ดีที่สุดตามทฤษฎีคือระยะเวลาในการกำจัดโคลิฟอร์มแบบที่เรียก 89.33 นาที จำนวนรูบันแพร่อนอริพิช 4.911 รู และขนาดเส้นผ่าศูนย์กลางของรูบันแพร่อนอริพิช 2.867 มิลลิเมตร ซึ่งคาดว่าจะลดปริมาณแบบที่เรียกเหลือ 0 ชีเอฟยู/100

มิลลิลิตรด้วยค่าความพึงพอใจ (Desirability) เท่ากับ 1.000 อย่างไรก็ตามเนื่องจากค่าจำนวนรูและขนาดเส้นผ่าศูนย์กลางของรูบันแพร่อนอริพิชเป็นเลขทศนิยมซึ่งไม่สามารถนำไปใช้ได้จริง จึงมีการปรับค่าเพื่อให้ง่ายต่อการประยุกต์ใช้ในทางปฏิบัติ โดยกำหนดสภาวะที่เหมาะสมใหม่เป็น ระยะเวลาในการกำจัดโคลิฟอร์มแบบที่เรียก 89.33 นาที จำนวนรูบันแพร่อนอริพิช 5 รู และขนาดเส้นผ่าศูนย์กลางของรูบันแพร่อนอริพิช 3 มิลลิเมตร

ตารางที่ 3 การวิเคราะห์หารูปแบบสมการที่เหมาะสมสำหรับการกำจัดโคลิฟอร์มแบบที่เรียกว่าหมดในน้ำผิวดิน

Source	Standard Derivative	R <sup>2</sup>	Adj. R <sup>2</sup>	Pred. R <sup>2</sup>	Remark
Linear	4.14	0.7874	0.7389	0.5977	Suggested
2FI	3.97	0.8495	0.7593	0.4049	
Quadratic	2.84	0.9462	0.8761	0.2290	Suggested
Cubic	1.28	0.9937	0.9978		Aliased

ตารางที่ 4 ผลการวิเคราะห์ค่าความแปรปรวน (ANOVA) ของแบบจำลองทางคณิตศาสตร์

Source	Sum of square	df	Mean square	F-value	p-value
Model	992.23	9	110.25	13.67	0.0012
Residual	56.47	7	50.47		
Lack of fit	49.90	3	16.63		0.0244
Pure error	6.58	4	1.64	10.12	
Corrected total	1048.70	16			

C.V. = 22.96%, R<sup>2</sup> = 0.9462, Adj. R<sup>2</sup> = 0.8769, Pred. R<sup>2</sup> = 0.229

ตารางที่ 5 ผลการวิเคราะห์สัมประสิทธิ์ของสมการถดถอย

Source	Coefficients	Standard error	p-value
intercept	15.20	1.27	
T	-6.92	1.00	0.0002
N	-6.79	1.00	0.0003
D	-3.04	1.00	0.0199
T <sup>2</sup>	-4.72	1.38	0.0112



## ตารางที่ 6 การเปรียบเทียบค่าที่ได้จากการทดลองและค่าที่ได้จากการทำนายภายใต้สภาวะที่เหมาะสมที่สุด

ค่าสภาวะที่เหมาะสมของตัวแปร	ปริมาณโคลิฟอร์มแบคทีเรียทั้งหมด (ซีเอฟยูต่อ 100 มิลลิลิตร)	ค่าอคติ (Bias)
	ค่าที่ได้จากการทดลอง	ค่าที่ได้จากการทำนาย
ระยะเวลาในการกำจัดโคลิฟอร์มแบคทีเรีย (นาที)	89.33	
จำนวนรูบนแพ่นอราฟิช (รู)	5	0
ขนาดเส้นผ่าศูนย์กลางของรูบันแพ่นอราฟิช (มิลลิเมตร)	3	0

ค่าอคติ หาได้จาก [(ค่าที่ได้จากการทำนาย - ค่าที่ได้จากการทดลอง)/ค่าที่ได้จากการทำนาย]×100

### 3.6 การยืนยันผลแบบจำลองทางคณิตศาสตร์

เมื่อได้สภาวะที่เหมาะสมที่สุดของการกำจัดโคลิฟอร์มแบคทีเรียทั้งหมดในน้ำผิวดินจากแบบจำลองทางคณิตศาสตร์แล้ว จึงได้นำสภาวะที่เหมาะสมของตัวแปรต่าง ๆ มาทำการทดลองจริง ทั้งนี้เพื่อเป็นการตรวจสอบความถูกต้องของแบบจำลองทางคณิตศาสตร์ที่พัฒนาขึ้นว่าสามารถนำแบบจำลองทางคณิตศาสตร์ดังกล่าวมาใช้ในการทำนายค่าปริมาณโคลิฟอร์มแบคทีเรียทั้งหมดได้หรือไม่ โดยมีรายละเอียดดังแสดงในตารางที่ 6 จากผลการทดลองเพื่อยืนยันผลพบว่าค่าปริมาณโคลิฟอร์มแบคทีเรียทั้งหมดที่ได้จากการทดลองมีค่าเท่ากับ 0 ซีเอฟยู/ 100 มิลลิลิตร ซึ่งเป็นค่าเดียวกันกับค่าปริมาณโคลิฟอร์มแบคทีเรียที่ได้จากการทำนายทำให้ค่าอคติ (Bias) มีค่าเป็นร้อยละ 0 จึงเป็นการยืนยันว่าสภาวะที่เหมาะสมที่สุดของการกำจัดโคลิฟอร์มแบคทีเรียทั้งหมดในน้ำผิวดินที่ได้จากการแบบจำลองทางคณิตศาสตร์มีความน่าเชื่อถือและอนุมานได้ว่าแบบจำลองทางคณิตศาสตร์ที่พัฒนาขึ้นมีความเหมาะสมสมสำหรับการนำไปใช้ทำนายค่าปริมาณโคลิฟอร์มแบคทีเรียทั้งหมดในน้ำผิวดินต่อไป

### 4. สรุปผลการวิจัย

จากการศึกษาสามารถสรุปได้ว่าวิธีพื้นผิวตอบสนองสามารถนำมาประยุกต์ใช้สำหรับสร้างแบบจำลองทางคณิตศาสตร์เพื่อหาสภาวะที่เหมาะสมที่สุดของตัวแปรในการกำจัดโคลิฟอร์มแบคทีเรียทั้งหมดในน้ำผิวดินได้เป็นอย่างดี ทั้งนี้จากการวิเคราะห์ค่าทางสถิติที่ระดับนัยสำคัญทางสถิติเท่ากับ 0.05 พบร่วยวัตถุประสงค์ที่มีอิทธิพลต่อค่าปริมาณโคลิฟอร์มแบคทีเรียทั้งหมดในน้ำผิวดินอย่างมีนัยสำคัญ ได้แก่ ระยะเวลาในการกำจัดโคลิฟอร์มแบคทีเรีย จำนวนรูบันแพ่นอราฟิช ขนาดเส้นผ่าศูนย์กลางของรูบันแพ่นอราฟิช จากแบบจำลองทางคณิตศาสตร์ที่ได้พัฒนาขึ้นมาได้สภาวะที่เหมาะสมของการกำจัดโคลิฟอร์มแบคทีเรียทั้งหมดในน้ำผิวดินคือที่ระยะเวลาในการกำจัดโคลิฟอร์มแบคทีเรีย 89.33 นาที จำนวนรูบันแพ่นอราฟิช 5 รู และขนาดเส้นผ่าศูนย์กลางของรูบันแพ่นอราฟิช 3 มิลลิเมตร จากสภาวะที่เหมาะสมดังกล่าวสามารถกำจัดโคลิฟอร์มแบคทีเรียทั้งหมดในน้ำผิวดินได้จนหมดก่อภัยคือจากปริมาณโคลิฟอร์มแบคทีเรียทั้งหมดเริ่มต้นในน้ำทั้ง 200 ซีเอฟยู/100 มิลลิลิตรก่อนเริ่มทดลองจนเหลือ 0 ซีเอฟยู/100 มิลลิลิตร หลังจากการทดลอง



## บทความวิจัย

ตามสภาวะที่เหมาะสมแล้วเพื่อตรวจสอบความแม่นยำของแบบจำลองทางคณิตศาสตร์ในการทำนายผลพบว่าปริมาณโคลิฟอร์มแบคทีเรียทั้งหมดที่ได้จากการทำนายกับค่าที่ได้จากการทดลองจริงมีค่าเท่ากันซึ่งแสดงให้เห็นว่าแบบจำลองทางคณิตศาสตร์ที่ได้สามารถทำนายค่าปริมาณโคลิฟอร์มแบคทีเรียทั้งหมดได้ตรงกับผลการทำทดลองจริงและเป็นการยืนยันได้ว่าสามารถที่จะนำแบบจำลองทางคณิตศาสตร์ที่พัฒนาขึ้นไปใช้งานจริงได้ต่อไป

## 5. เอกสารอ้างอิง

- [1] N. Parveen, S. Chowdhury and S. Goel, Environmental impacts of the widespread use of chlorine-based disinfectants during the COVID-19 pandemic, *Environmental Science and Pollution Research*, 2022, 29, 85742-85760.
- [2] A. Ahmed, T. Noonari, H. Magsi and D. A. Mahar, Risk assessment of total and faecal coliform bacteria from drinking water supply of badin city, Pakistan, *Journal of Environmental Professionals Sri Lanka*, 2013, 2(2), 52-64.
- [3] M. Sivakumar and A. B. Pandit, Wastewater treatment: a novel energy efficient hydrodynamic cavitation technique, *Ultrasonics Sonochemistry*, 2002, 9(3), 123-131.
- [4] S.S. Save, A.B. Pandit and J.B. Joshi, Use of hydrodynamic cavitation for large scale microbial cell disruption, *Ultrasonics-Sonochemistry*, 1997, 36(4), 259-264.
- [5] E. Karamah, F. Amalia, R. Gaudenson and S. Bismo, Disinfection of escherichia coli bacteria using combination of ozonation and hydrodynamic cavitation method with venturi injector, *International Journal on Advanced Science Engineering and Information Technology*, 2018, 8(3), 811-817.
- [6] E. Burzio, F. Bersani, G.C.A. Cardi, R. Vesipa, L. Ridolfi and C. Manes, Water disinfection by orifice-induced hydrodynamic cavitation, *Ultrasonics-Sonochemistry*, 2020, 60, 104740.
- [7] S. Charoenrat, Y. Pookamnerd and S. Prasomthong, Consideration of the optimizing condition in welding hardfacing on wear resistance with hot-wire gas tungsten arc welding process by response surface methodology (RSM), *The Journal of Industrial Technology*, 2021, 17(2), 87 – 102. (in Thai)
- [8] P. Peasura and P. Laophasit, Mathematic model by response surface methodology and artificial neural network for predict result of tensile shear and nugget size of zinc coated steel JIS G3313 welded by resistance spot welding, *The Journal of Industrial Technology*, 2019, 15(3), 42-60. (in Thai)



บพครวมวิจัย

วารสารวิชาการเทคโนโลยีอุตสาหกรรม (The Journal of Industrial Technology)

ISSN (online): 2697-5548

DOI: 10.14416/j.ind.tech.2025.08.009

- [9] I. Worapun, C. Chooppava and C. Thinvongpituk, Optimal conditions of friction welding process for AISI 1015 steel using response surface methodology, KGU Research Journal, 2013, 18(6), 909-924. (in Thai)
- [10] I. Worapun and A. Boonjaei, The study effect of orifice plates on intensifies degree of cavitation phenomenon inside hydrodynamic cavitation reactor, The Journal of Industrial Technology, 2020, 16(1), 78-92. (in Thai)
- [11] H. Kodaka, S. Mizuochi, H. Teramura, T. Nirazuka, D. Goins, J. Odumaru and Y. Kobubo, Comparison of the compact dry EC with the most probable number method (AOAC Official Method 966.24) for enumeration of escherichia coli and coliform bacteria in raw meats, Journal of AOAC International, 2006, 89(1), 100-114.



# สายอากาศพื้นผิวอวิวัสดุจัดเรียงกระแสแคลว์ลำดับสำหรับเก็บเกี่ยว พลังงานไร้สายจากการสื่อสาร 5G

คอมกฤษ บุญยิ่ง<sup>1\*</sup> กัทราดี บุญยิ่ง<sup>2</sup> และ คอมยุทธ ไชยวงศ์<sup>3</sup>

<sup>1</sup> สาขาวิชาวิศวกรรมโทรคมนาคม, คณะวิศวกรรมศาสตร์, มหาวิทยาลัยเทคโนโลยีราชมงคลรัตนโกสินทร์

<sup>2</sup> คณะวิทยาศาสตร์การกีฬาและสุขภาพ, มหาวิทยาลัยการกีฬาแห่งชาติ

<sup>3</sup> สาขาวิชาวิศวกรรมไฟฟ้าและอิเล็กทรอนิกส์, คณะเทคโนโลยีอุตสาหกรรม, มหาวิทยาลัยราชภัฏเลย

\* ผู้ประสานงานเผยแพร่ E-mail: komkris.boo@mutr.ac.th

วันที่รับบทความ: 1 มีนาคม 2568; วันที่ทบทวนบทความ: 14 กรกฎาคม 2568; วันที่ตอบรับบทความ: 16 กรกฎาคม 2568

วันที่เผยแพร่อนไลน์: 20 สิงหาคม 2568

**บทคัดย่อ:** บทความนี้นำเสนอแนวทางใหม่ในการเก็บเกี่ยวพลังงานไร้สายผ่านการใช้สายอากาศพื้นผิวอวิวัสดุและวงจรจัดเรียงกระแสที่ออกแบบมาในรูปแบบอาร์เรย์ขนาด  $4 \times 4$  ประกอบด้วย สายอากาศ 16 ตัว และวงจรจัดเรียงกระแส 32 วงจร โดยมีจุดประสงค์เพื่อเก็บพลังงานไร้สายจากสถานีฐาน 5G ที่ความถี่ 2.6 GHz สายอากาศได้รับการออกแบบชนิดخلفยอลอยพร้อมแผ่นแพร์กระจายคลื่นแบบวงกลม มีลักษณะโพลาไรซ์เชิงเส้นคู่ซึ่งช่วยเพิ่มประสิทธิภาพในการรับคลื่นและเหมาะสมกับระบบ 5G สำหรับชั้นวางช้อน หน่วยเซลล์ถูกสร้างในรูปแบบวงแหวนหากเหลี่ยมขนาด  $3 \times 3$  ซึ่งช่วยเพื่อให้การแพร์กระจายคลื่นเป็นไปในลักษณะเฉพาะจังทิศทาง และให้ค่าอัตราขยายสูงกว่า 9 dBi สำหรับทั้งสองโพลาไรซ์ที่ความถี่ 2.6 GHz วงจรจัดเรียงกระแสเลือกใช้ไดโอดซอตต์กรุน SMS7360 ซึ่งมีประสิทธิภาพการแปลงกำลังงานเท่ากับ 26.7% และสามารถสร้างแรงดันไฟฟ้ากระแสตรงได้สูงสุด 1.53 V เมื่อได้ระดับกำลังงานด้านเข้า 4 dBm และมีค่าความต้านทานเท่ากับ  $3 \text{ k}\Omega$  จากการทดสอบสายอากาศพื้นผิวอวิวัสดุอาร์เรย์  $4 \times 4$  พบร่วม การเชื่อมต่อวงจรแบบอนุกรมและแบบขนาน สามารถสร้างแรงดันไฟฟ้ากระแสตรงได้สูงสุด 9.78 V และ 0.42 V ตามลำดับ โดยวัดจากด้านหลังของสายอากาศ 5G มีระยะ 3.5 เมตร งานวิจัยนี้แสดงถึงศักยภาพของสายอากาศพื้นผิวอวิวัสดุจัดเรียงกระแสแคลว์ลำดับสำหรับเก็บเกี่ยวพลังงานไร้สายอย่างมีประสิทธิภาพในระบบ 5G โดยเน้นค่าอัตราขยายสูงของสายอากาศและความสามารถการแปลงกำลังงานของวงจรจัดเรียงกระแส

**คำสำคัญ:** เก็บเกี่ยวพลังงาน; สายอากาศพื้นผิวอวิวัสดุ; วงจรจัดเรียงกระแส และการสื่อสาร 5G



บทความวิจัย

วารสารวิชาการเทคโนโลยีอุตสาหกรรม (The Journal of Industrial Technology)

ISSN (online): 2697-5548

DOI: 10.14416/j.ind.tech.2025.08.010

## Metasurface Rectenna Array for Wireless Energy Harvesting from 5G Communications

**Komkris Boonying<sup>1\*</sup>, Patharawadee Boonying<sup>2</sup> and Komyuth Chaiwong<sup>3</sup>**

<sup>1</sup> Department of Telecommunication Engineering, Faculty of Engineering,  
Rajamangala University of Technology Rattanakosin

<sup>2</sup> Faculty of Sports Science and Health, Thailand National Sports University,

<sup>3</sup> Department of Electrical and Electronics Engineering, Faculty of Industrial Technology,  
Loei Rajabhat University

\* Corresponding author, E-mail: komkris.boo@rmutr.ac.th

Received: 1 March 2025; Revised 14 July 2024; Accepted: 16 July 2025

Online Published: 20 August 2025

**Abstract:** This article introduces a novel approach to wireless energy harvesting using a metasurface antenna array and rectifier circuits, designed in a 4×4 array configuration consisting of 16 antennas and 32 rectifier circuits. The system is aimed at harvesting wireless energy from 5G base stations operating at a frequency of 2.6 GHz. The antennas are designed with a suspended structure and circular radiating plate, featuring dual-linear polarization to enhance signal reception and ensure compatibility with 5G systems. For the superstrate layer, unit cells are arranged in a 3×3 hexagonal ring pattern, enabling unidirectional radiation and achieving a gain exceeding 9 dBi for both polarizations at the 2.6 GHz. The rectifier circuits utilize SMS736 Schottky diodes, offering a conversion efficiency of 26.7% and generating a maximum DC voltage of 1.53 V under an input power of 4 dBm with a load resistance of 3 kΩ. Experimental evaluation of the 4×4 metasurface antenna array revealed that series and parallel connections of the rectifier circuits produced maximum DC voltages of 9.78 V and 0.42 V, respectively, at a distance of 3.5 meters from the rear of the 5G antenna. This work demonstrates the potential of metasurface-based rectenna arrays for efficient wireless energy harvesting in 5G applications, highlighting their high gain performance and effective energy conversion capabilities.

**Keywords:** Energy harvesting; Metasurface antenna; Rectifying circuit and 5G communications



## 1. บทนำ

สายอาชีวศึกษาเรียนรู้และเป็นส่วนประกอบที่สำคัญในการเก็บเกี่ยวพลังงานไร้สาย (Wireless Energy Harvesting: WEH) โดยทำหน้าที่แปลงกำลังงานของคลื่นความถี่วิทยุให้กลายเป็นแรงดันไฟฟ้ากระแสตรง และถูกชาร์จแก่แบตเตอรี่หรือถูกนำไปใช้กับอุปกรณ์อิเล็กทรอนิกส์ขนาดเล็กต่างๆ [1-3] การเก็บเกี่ยวพลังงานไร้สายมีพื้นฐานจากเทคโนโลยีการส่งผ่านกำลังงานไร้สาย (Wireless Power Transfer: WPT) ซึ่งเกิดขึ้นครั้งแรกในปี ค.ศ. 1888 และหลังจากปี ค.ศ. 1891 นิโคลา เทสลา ได้ทำการแปลงคลื่นแม่เหล็กไฟฟ้าให้กลายเป็นแรงดันไฟฟ้ากระแสตรงได้สำเร็จครั้งแรกของโลก [4,5] ด้วยเทคโนโลยีการส่งผ่านกำลังงานไร้สายได้ถูกพัฒนาและถูกใช้งานในรูปแบบต่างๆ อาทิเช่น การส่งผ่านพลังงานแสงอาทิตย์บนสถานีฐานอวกาศ การส่งผ่านกำลังงานคลื่นไมโครเวฟในอวกาศ และเทคโนโลยีการระบุตัวตน เป็นต้น

โดยทั่วไป สายอาชีวศึกษาเรียนรู้และเป็นส่วนประกอบไปด้วยสายอาชีวศึกษาครั้งและวงจรจัดเรียนรู้และวงจรดังกล่าวจะถูกประกอบด้วย ตัวเก็บประจุเชื่อมต่อโดยจัดเรียงกระแส วงจรกรองความถี่ต่ำ และความต้านทาน (Load Resistor) สำหรับการเพิ่มประสิทธิภาพการแปลงกำลังงานสามารถทำได้หลากหลายเทคโนโลยี อาทิเช่น การออกแบบสายอาชีวศึกษาต่อลำดับแตกต่างๆ [6,7] การออกแบบวงจรจัดเรียงกระแสไฟฟ้าให้มีหลายวงจร หรือการเพิ่มกำลังงานความถี่วิทยุทางด้านขาเข้า [8,9] การแทรกวงจรตัดขาโนนิคเข้าไปยังวงจรจัดเรียงกระแสไฟฟ้า [10] และการเลือกประเภทไดโอดเพื่อให้ได้ประสิทธิภาพและแรงดันไฟฟ้ากระแสตรงข้ามกับสูงสุด เช่น ไดโอดตัวถัง

SOT-23 ชนิดอนุกรมคู่ (Series Pair) จากผลจำลองการเปรียบเทียบเพื่อใช้ในการตัดสินใจเลือกใช้งานประกอบด้วยไดโอดเบอร์ SMS7630 HSMS282x HSMS285x และHSMS286x ตามลำดับ [11] จากการทบทวนวรรณกรรมพบว่า ไดโอดเบอร์ SMS7630 มีความไวต่อการรับกำลังงานต่ำๆ ได้ดีกว่าไดโอดเบอร์อื่นๆ และมีประสิทธิภาพการแปลงกำลังงานเป็นไฟฟ้ากระแสตรงได้ดีกว่าไดโอดเบอร์อื่นๆ แต่ในทางกลับกันจะให้แรงดันไฟฟ้ากระแสตรงน้อยกว่าไดโอดเบอร์อื่นๆ แต่อย่างไรก็ตาม การเก็บเกี่ยวพลังงานไร้สายจากสถานีฐานโทรศัพท์เคลื่อนที่ 5G (Sub-6 GHz) ที่ความถี่ 2.6 GHz กำลังงานที่แพร่กระจายออกมายังสายอากาศมีระดับกำลังงานต่ำ ดังนั้น ไดโอดชອตต์กี SMS7630 จึงมีความสำคัญและได้ถูกเลือกใช้งานในบทความวิจัยนี้ และยังมีบทความวิจัยอื่นๆ ได้เลือกใช้ไดโอดชອตต์กี SMS7630 ร่วมกับการออกแบบสายอากาศ เช่น บทความนี้ได้ออกแบบสายอากาศเป็น 2 ชั้น โดยชั้นแรกเป็นชั้นบนสุด มีรูปลักษณะ 3 แขน ชั้นที่ 2 เป็นชั้นล่างสุดออกแบบให้เป็นร่องว่างรูปทรงดอกจิก วงจรจัดเรียงกระแสเลือกใช้ไดโอดชອตต์กี SMS7630 ผลทดสอบพบว่า มีประสิทธิภาพการแปลงกำลังงาน 43% โดยสามารถนำแรงดันไฟฟ้ากระแสตรงที่ได้ไปใช้งานกับอุปกรณ์เซนเซอร์ต่างๆ และ LED [12] ขณะนี้ก็วิจัยได้ทำการออกแบบสายอากาศล็อคพิล็อกดิกบันและวงจรพิมพ์ที่สามารถทำงานได้ถึง 4 ย่านความถี่ได้แก่ ย่าน FM GSM900 GSM1800 และ WIFI โดยใช้ไดโอดชອตต์กี SMS7630 ผลทดสอบพบว่า มีประสิทธิภาพการแปลงกำลังงานเท่ากับ 70.28%, 41.7%, 33.37% และ 27.69% ณ ความถี่ 89 MHz, 900 MHz, 1,800 MHz และ 2,400 MHz ที่ระดับกำลังงาน



## บทความวิจัย

-6 dBm และการทดสอบประสิทธิภาพการแปลงกำลังงานของสายอากาศนี้เท่ากับ 31.3% ที่ระดับกำลังงาน -15 dBm [13]

บทความวิจัยฉบับนี้นำเสนอสายอากาศพื้นผิวอภิวัสดุจัดเรียงกระแสไฟฟ้าลำดับขนาด  $4 \times 4$  จำนวน 16 ตัว และวงจรจัดเรียงกระแสจำนวน 32 วงจร เพื่อเก็บเกี่ยวไฟฟ้าลั้งงาน ไว้สายจากสถานีฐานโทรศัพท์เคลื่อนที่ 5G (2.6 GHz) การทดสอบได้อาศัยเครื่อง Anritsu MS2090 ต่อเข้ากับโพรบไอโซทรอปิก (Isotropic Probe) วัดในโหมดความเข้มข้นสนามแม่เหล็กไฟฟ้า (Electromagnetic Field: EMF) โดยค่าที่วัดได้เป็นความหนาแน่นกำลังงาน (Power density) มีหน่วยเป็น  $\text{W/cm}^2$  ซึ่งเครื่องที่ใช้ในการทดสอบดังกล่าวแสดงเป็นเปอร์เซ็นต์ และจะถูกนำไปเทียบกับแรงดันไฟฟ้ากระแสตรงที่ได้จากการจัดเรียงกระแสของสายอากาศที่ได้นำเสนอ

## 2. สายอากาศพื้นผิวอภิวัสดุจัดเรียงกระแส

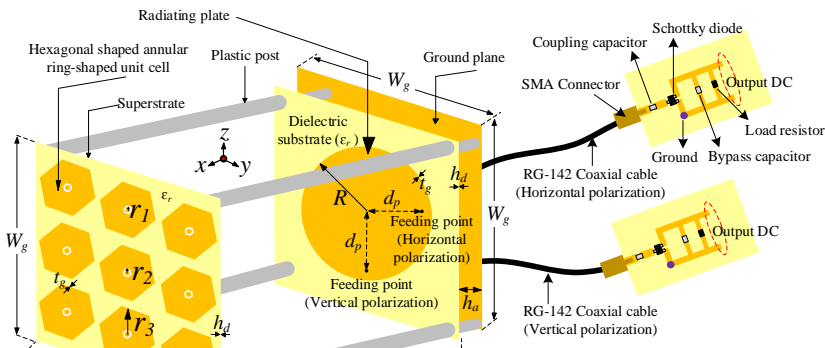
### 2.1 สายอากาศพื้นผิวอภิวัสดุ

สายอากาศที่ได้นำเสนอถูกจำลองผลด้วยโปรแกรม CST Studio Suit [14] และออกแบบโดยสร้างสายอากาศชนิดแขวนลอย (Suspended) [15] มีช่องว่างอากาศ (Air Gap:  $h_a$ ) คั่นกลางระหว่างแผ่นแพร์กระจายคลื่น (Radiating Plate) และระนาบกราวด์ (Ground Plane) โดยโครงสร้างชนิดนี้มีอัตราขยายสูงกว่าสายอากาศโครงสร้างพื้นฐาน ในส่วนของแผ่นแพร์กระจายคลื่นออกแบบให้มีรูปร่างเป็นวงกลมพร้อมกระตุนสัญญาณโคลแอคเชียล แบบโพลาไรซ์เชิงเส้นคู่ คือ โพลาไรซ์เชิงเส้นแนวตั้งและ

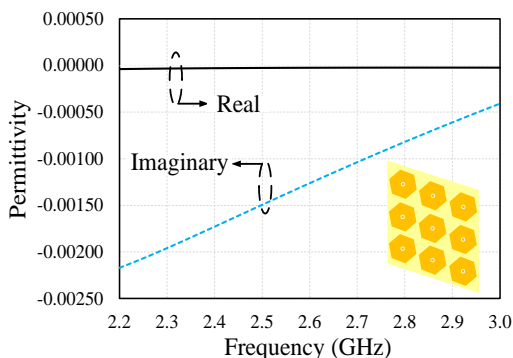
แนวอน (Vertical and Horizontal Polarizations) โดยมีระยะจุดศูนย์กลางแผ่นแพร์กระจายคลื่นถึงจุดกระตุนสัญญาณ ( $d_p$ ) ดังรูปที่ 1 สำหรับวัสดุแผ่นวางรองพิมพ์ที่ใช้ในการออกแบบสายอากาศเป็นชนิดอีพ็อกซี่ (Epoxy) มีความสูงเป็น  $h_d$  มีความหนา ( $t_g$ ) ของแผ่นทองแดงเท่ากับ 0.035 mm มีค่าไดอิเล็กตริกคงที่ ( $\epsilon_r$ ) เท่ากับ 3.2 และค่าการสูญเสียแทนเจนต์เท่ากับ 0.003 ตามลำดับ สำหรับชั้นวางช้อน (Superstrate) ถูกวางแผนให้อยู่ภายใต้สายอากาศชนิดแขวนลอยที่ได้กล่าวมาข้างต้น ประกอบด้วย หน่วยเซลล์ (Unit Cell) มีขนาด  $3 \times 3$  จำนวน 9 หน่วยเซลล์ แต่ละหน่วยเซลล์ออกแบบให้มีรูปร่างเป็นวงแหวนหกเหลี่ยม (Hexagonal Annular Ring-shaped) โดยมีรัศมีวงแหวนหกเหลี่ยมด้านใน ( $r_1$ ) รัศมีร่องว่างวงแหวนหกเหลี่ยม ( $r_2$ ) และรัศมีหกเหลี่ยมด้านนอก ( $r_3$ ) นอกจากนี้ยังมีระยะห่างแต่ละหน่วยเซลล์คือ  $S_{uc}$  และมีระยะห่างระหว่างสายอากาศชนิดแขวนลอยกับชั้นวางช้อนเป็น  $S_a$  และขนาดต่างๆ ดังตารางที่ 1

ตารางที่ 1 ขนาดและพารามิเตอร์ของสายอากาศพื้นผิวอภิวัสดุที่ได้นำเสนอความถี่ 2.6 GHz

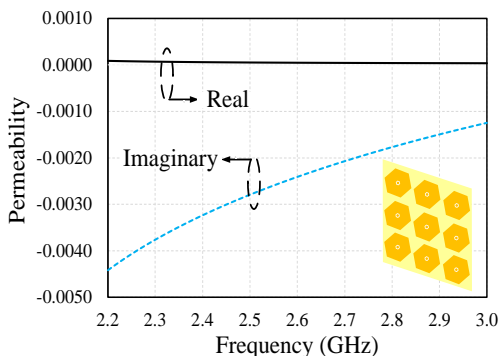
พารามิเตอร์	ขนาด	พารามิเตอร์	ขนาด
(มม.)		(มม.)	
$W_g$	80	$R$	28.62
$h_d$	1.6	$r_1$	1.26
$h_a$	6	$r_2$	1.96
$d_p$	18	$r_3$	11.24
$S_a$	100	$S_{uc}$	24.6



รูปที่ 1 โครงสร้างสายอากาศพื้นผิวอวิวัสดุจัดเรียงกระแสที่ได้นำเสนอ



รูปที่ 2 ผลจำลองค่าสภารยอมทางไฟฟ้าของพื้นผิวอวิวัสดุ 3x3 ที่ได้นำเสนอ



รูปที่ 3 ผลจำลองค่าความซึมซาบแม่เหล็กของพื้นผิวอวิวัสดุ 3x3 ที่ได้นำเสนอ

ในส่วนของชั้นวางซ้อนที่ได้นำเสนอได้ออกแบบเป็นวัสดุดั้นเป็นศูนย์ (Zero-index Materials: ZIMs) มีค่าสภารยอมทางไฟฟ้า (Permittivity:  $\epsilon$ ) และค่าความซึมซาบแม่เหล็ก (Permeability:  $\mu$ ) เป็นศูนย์หรือเข้าใกล้ศูนย์ซึ่งเหมาะสมใช้ในงานเก็บเกี่ยวพลังงานไว้ร้าย โดยพิสูจน์ว่าวัสดุดังกล่าวได้จากการจำลองผลดังรูปที่ 2 และ 3 ผลการจำลองค่าจริง (Real) ที่ความถี่ 2.6 GHz พบว่า มีค่าสภารยอมทางไฟฟ้าและค่าความซึมซาบแม่เหล็ก เท่ากับ 0.00002 และ 0.00005 ตามลำดับ ในส่วนของผลการจำลองค่าจินตภาพ (Imaginary) ที่ความถี่ 2.6 GHz พบว่า มีค่าสภารยอมทางไฟฟ้าและค่าความซึมซาบแม่เหล็กเท่ากับ -0.00125 และ -0.0024 ตามลำดับ

สำหรับวงจรสมมูลของหน่วยเซลล์ที่ได้นำเสนออุปแบบออกเป็น 4 ส่วน ประกอบด้วย 1) ส่วนของวัสดุฐานรองปราศจากระบบทราบกรานต์แทนด้วยตัวเหนี่ยวนำ ( $L_{sub}$ ) 2) รัศมีวงแหวนหกเหลี่ยมด้านใน ( $r_1$ ) แทนด้วยตัวเก็บประจุ 2 ตัว ( $C_{in1}$  และ  $C_{in2}$ ) 3) รัศมีร่องว่างวงแหวนหกเหลี่ยม ( $r_2$ ) แทนด้วยตัวเก็บประจุ 3 ตัว ( $C_{p1}$ ,  $C_{p2}$  และ  $C_s$ ) และ 4) รัศมีหกเหลี่ยมด้าน

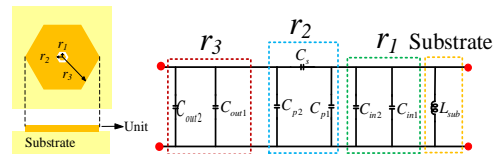


## บทความวิจัย

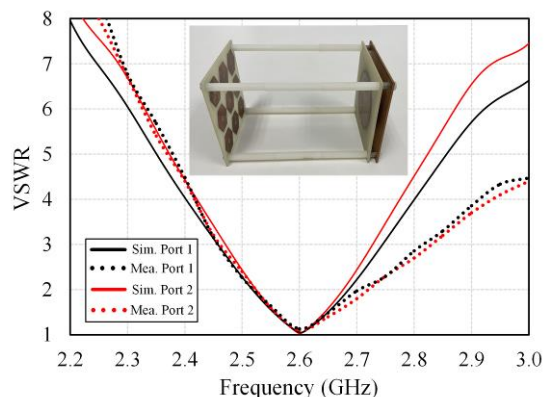
นอก ( $r_3$ ) แทนด้วยตัวเก็บประจุ 2 ตัว ( $C_{out1}$  และ  $C_{out2}$ ) โดยผลรวมของตัวเก็บประจุของ  $r_1$ ,  $r_2$  และ  $r_3$  จะบานานกับตัวเห็นี่ยวนำของวัสดุฐานรองจะเกิดเป็นวงจรรีโซเนเตอร์ (LC Resonator) ดังรูปที่ 4

รูปที่ 5 เป็นผลจำลองและผลทดสอบค่าอัตราส่วนคลื่นนิ่ง (Voltage Standing Wave Ratio: VSWR) ของสายอากาศที่ได้นำเสนอจากการจำลองผลพบว่าพอร์ตที่ 1 (Port 1) หรือโพลาไรซ์เชิงเส้นแนวตั้งครอบคลุมความถี่ตั้งแต่ 2.524-2.676 GHz และพอร์ตที่ 2 (Port 2) หรือโพลาไรซ์เชิงเส้นแนวอนกรอบคลุมความถี่ตั้งแต่ 2.518-2.686 GHz ด้วยเงื่อนไข  $VSWR \leq 2$  ในส่วนผลการทดสอบพบว่า พอร์ตที่ 1 ครอบคลุมความถี่ตั้งแต่ 2.57-2.72 GHz และพอร์ตที่ 2 ครอบคลุมความถี่ 2.56-2.71 GHz ที่ความถี่กลาง 2.6 GHz พอร์ตที่ 1 และ 2 มีค่า VSWR เท่ากับ 1.100 และ 1.135 ตามลำดับ รูปที่ 6 คือผลจำลองและผลทดสอบค่าประสิทธิภาพการแพร่กระจายคลื่น (Radiation Efficiency) ของโพลาไรซ์เชิงเส้นแนวตั้งและแนวอนจากผลจำลองพบว่า โพลาไรซ์เชิงเส้นแนวตั้งและแนวอน มีค่าประสิทธิภาพการแพร่กระจายคลื่นเฉลี่ย (2.5-2.7 GHz) เท่ากับ 94.31 และ 93.31% และที่ความถี่กลาง 2.6 GHz มีค่าประสิทธิภาพการแพร่กระจายคลื่นเท่ากับ 99% ทั้งสองโพลาไรซ์

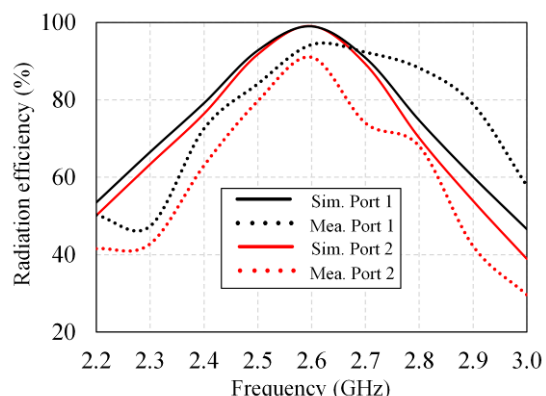
สำหรับในส่วนการทดสอบ ค่าประสิทธิภาพการแพร่กระจายคลื่นเฉลี่ยโพลาไรซ์เชิงเส้นตั้งและแนวอนพบว่า มีค่าประสิทธิภาพการแพร่กระจายกำลังงานเฉลี่ยโพลาไรซ์เชิงเส้นตั้งและแนวอนเท่ากับ 90.25 และ 81.55% และที่ความถี่ 2.6 GHz มีค่าประสิทธิภาพการแพร่กระจายคลื่นโพลาไรซ์เชิงเส้นแนวตั้งและแนวอนเท่ากับ 94.28 และ 91.00% ตามลำดับ



รูปที่ 4 วงจรสมมูลของหนึ่งหน่วยเซลล์ที่ได้นำเสนอ



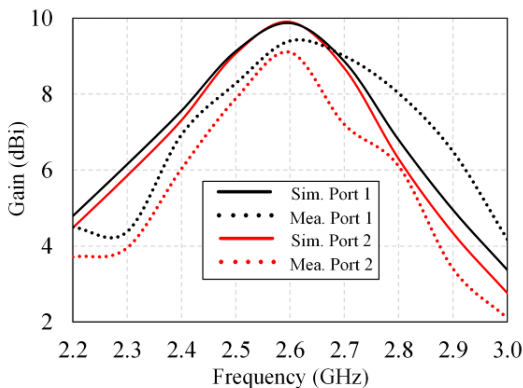
รูปที่ 5 ผลจำลองและผลทดสอบค่าอัตราส่วนคลื่นนิ่งของสายอากาศพื้นผิวอวิวัสดุที่ได้นำเสนอ



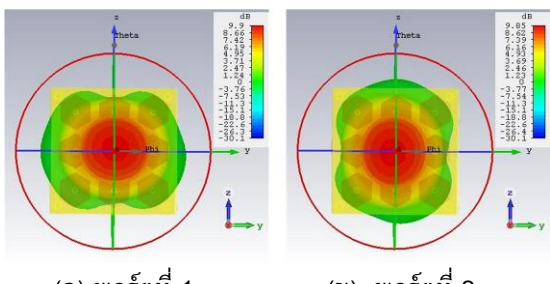
รูปที่ 6 ผลจำลองและผลทดสอบประสิทธิภาพการแพร่กระจายคลื่นของสายอากาศพื้นผิวอวิวัสดุ



บทความวิจัย



รูปที่ 7 ผลจำลองและผลทดสอบอัตราขยายของสายอากาศพื้นผิวอวิวัสดุที่ได้นำเสนอ

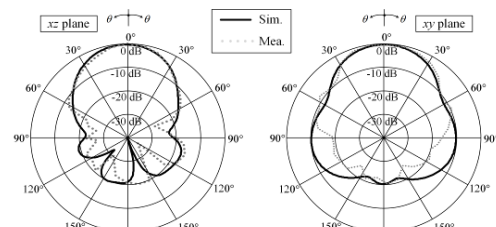


(ก) พортที่ 1

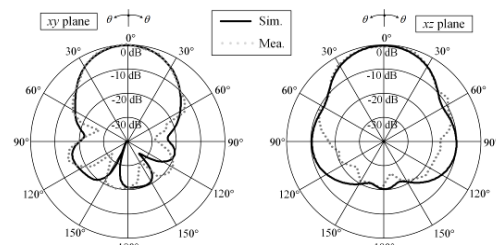
(ข) พортที่ 2

รูปที่ 8 ผลจำลองแบบบูรณาการแพร่กระจายคลื่น 3 มิติ ของสายอากาศพื้นผิวอวิวัสดุที่ได้นำเสนอ

จากรูปที่ 7 เป็นผลจำลองและผลทดสอบอัตราขยาย (Gain) สายอากาศพื้นผิวอวิวัสดุที่ได้นำเสนอผลจำลองพบว่า มีค่าอัตราขยายสายอากาศเฉลี่ยของพอร์ตที่ 1 และ 2 เท่ากับ 9.29 และ 9.22 dBi ที่ความถี่กลางมีค่าอัตราขยายสายอากาศที่พอร์ต 1 และ 2 เท่ากับ 9.90 และ 9.85 dBi ดังรูปที่ 7 และ 8 ในส่วนการทดสอบอัตราขยายสายอากาศ พบว่า มีค่าอัตราขยายเฉลี่ยพอร์ตที่ 1 และ 2 เท่ากับ 8.89 และ 8.06 dBi และที่ความถี่กลางมีอัตราขยายสูงสุดเท่ากับ 9.40 และ 9.10 dBi ที่พอร์ต 1 และพอร์ต 2 ตามลำดับ



(ก) พортที่ 1 (โพลาร์ไซร์เซ็นเน้นแนวตั้ง)



(ข) พортที่ 2 (โพลาร์ไซร์เซ็นเน้นแนวนอน)

รูปที่ 9 ผลจำลองและผลทดสอบแบบรูปการแพร่กระจายคลื่นของสายอากาศที่ได้นำเสนอ

รูปที่ 9 เป็นผลจำลองและผลการทดสอบแบบรูปการแพร่กระจายคลื่นสายอากาศที่ได้นำเสนอทั้งสองพอร์ตบนระนาบ xz และ xy พบว่า ทั้งผลจำลองและผลทดสอบสายอากาศที่ได้นำเสนอ มีแบบรูปการแพร่กระจายคลื่นชนิดเดียว即 Uni-directional Radiation ทั้งสองระนาบและทั้งโพลาร์ไซร์เซ็นเน้นแนวตั้งและแนวนอน

## 2.2 วงจรจัดเรียงกระแส

จากรูปที่ 1 และ 10 แสดงโครงสร้างวงจรจัดเรียงกระแสที่ได้นำเสนอประกอบด้วย ตัวเก็บประจุคู่ปัลลิ่ง ทำหน้าที่ป้องกันไฟฟ้ากระแสตรงไหลออกไปยังพอร์ต ด้านขาเข้าหรือแหล่งไฟฟ้าไปยังความถี่วิทยุ (RF) มีค่าเท่ากับ 100 pF ตัวเก็บประจุบานധำทำหน้าที่ลดการเพี้ยนและกรองแรงดันไฟฟ้ากระแสตรงให้เรียบ



## บทความวิจัย

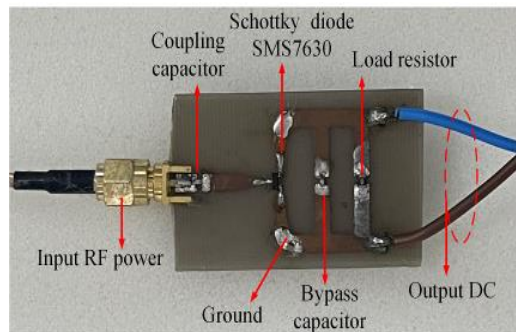
รวมถึงลดการเกิดขาโนนิคระดับสูง มีค่าเท่ากับ 100 pF ไดโอดชອตต์กีเบอร์ SMS7630 ชนิดอนุกรมคู่ มีตัวถังขนาด SOT-23 ทำหน้าที่แปลงกำลังงานให้เป็นแรงดันไฟฟ้ากระแสตรงและตัวต้านทานโหลดของวงจรมีค่าเท่ากับ 3 kΩ

วงจรจัดเรียงกระแสต้นแบบไม่ได้ส่วงจรแมตซิ่ง ส่งผลทำให้ค่า  $S_{11}$  ที่ความถี่ 2.6 GHz มีค่าเท่ากับ -8.04 dB ดังรูปที่ 11

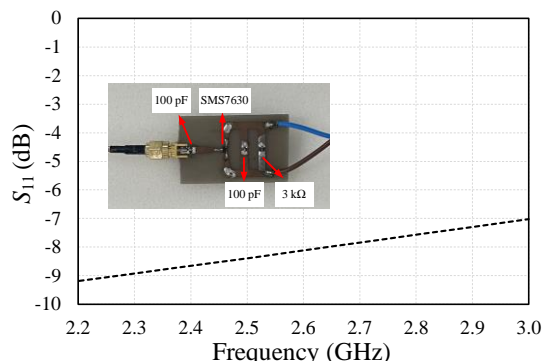
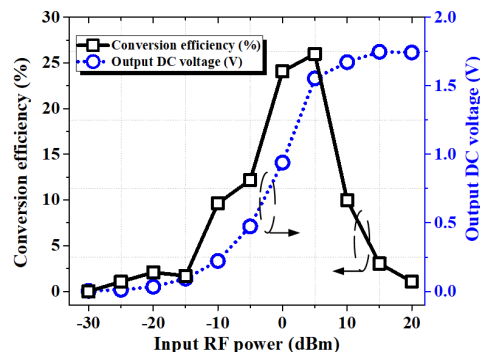
ส่วนการทดสอบวงจรจัดเรียงกระแสต้นแบบ ได้อาศัยเครื่องกำเนิดสัญญาณคลื่นความถี่วิทยุยี่ห้อ Rohde & Schwarz รุ่น SMC100A ป้อนความถี่ 2.6 GHz และทำการปรับเปลี่ยนระดับกำลังงานความถี่วิทยุด้านขาเข้าตั้งแต่ -30 dBm ถึง 20 dBm ในส่วนทางด้านขาออกของวงจรใช้มัลติมิเตอร์ในการวัดแรงดันไฟฟ้ากระแสตรงดังรูปที่ 12 จากการทดสอบพบว่า มีแรงดันไฟฟ้ากระแสตรงสูงสุดเท่ากับ 1.75 V ที่ระดับกำลังงานขาเข้า 15 dBm และดันไฟฟ้ากระแสตรงต่ำสุดเท่ากับ 0.01 V ที่ระดับกำลังงานขาเข้า -30 dBm และระดับกำลังงานขาเข้า 0 dBm จะให้แรงดันไฟฟ้ากระแสตรงเท่ากับ 0.94 V วงจรที่ได้นำเสนอพบว่า มีค่าประสิทธิภาพการแปลงสูงสุดเท่ากับ 26.7% ที่ระดับกำลังงาน 4 dBm และมีค่าประสิทธิภาพการแปลงเท่ากับ 10% มีระดับกำลังงานเท่ากับ -10 dBm ประสิทธิภาพการแปลงกำลังงานให้เป็นแรงดันไฟฟ้ากระแสตรง [13] สามารถหาได้จากสมการที่ 1

$$\eta = \frac{V_{DC}^2}{P_{in} R_L} \times 100 \quad (1)$$

เมื่อ  $V_{DC}$  คือ แรงดันไฟฟ้ากระแสตรง  $P_{in}$  คือ ระดับกำลังงานขาเข้า และ  $R_L$  คือ ตัวต้านทานโหลดของวงจร



รูปที่ 10 โครงสร้างวงจรต้นแบบ

รูปที่ 11 ผลการทดสอบค่า  $S_{11}$  ของวงจรจัดเรียงกระแส

ผลทดสอบวงจร

รูปที่ 12 วงจรจัดเรียงกระแสต้นแบบที่ได้นำเสนอ

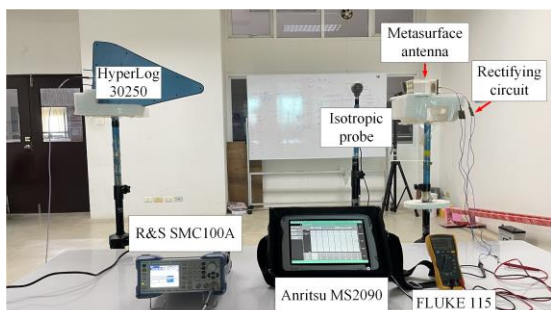


บทความวิจัย

### 3. สายอากาศพื้นผิวอภิวัสดุจัดเรียงกระแส ต้นแบบ

#### 3.1 การทดสอบสายอากาศพื้นผิวอภิวัสดุจัดเรียง กระแส

สายอากาศพื้นผิวอภิวัสดุต่อเข้ากับวงจรจัดเรียงกระแสดังรูปที่ 1 ในส่วนการติดตั้งเพื่อใช้ในการทดสอบแบ่งออกเป็น 2 ส่วนคือ 1) ส่วนของภาคส่งใช้สายอากาศมาตรฐานล็อกพริลิโอดิกิ ยี่ห้อ AARONIA AG รุ่น HyperLOG 30250 ต่อเข้ากับเครื่องกำเนิดสัญญาณคลื่นความถี่วิทยุยี่ห้อ Rohde & Schwarz รุ่น SMC100A และ 2) ส่วนของภาครับเป็นสายอากาศพื้นผิวอภิวัสดุจัดเรียงกระแสที่ได้นำเสนอและใช้มัลติมิเตอร์ยี่ห้อ FLUKE รุ่น 115 วัดแรงดันไฟฟ้ากระแสตรงทางด้านข้างออกของวงจรที่ความถี่ 2.6 GHz ได้ปรับเปลี่ยนระยะทางตั้งแต่ 0.5-2.5 m และทำการปรับเปลี่ยนระดับกำลังงานไฟฟ้าที่แพร่กระจายออกมายางสายอากาศที่เทียบกับสายอากาศไอโซโตรอปิก (Effective Isotopically Radiated Power: EIRP) ตั้งแต่ระดับกำลังงาน -18.6 ถึง 16.4 dBm ดังรูปที่ 13



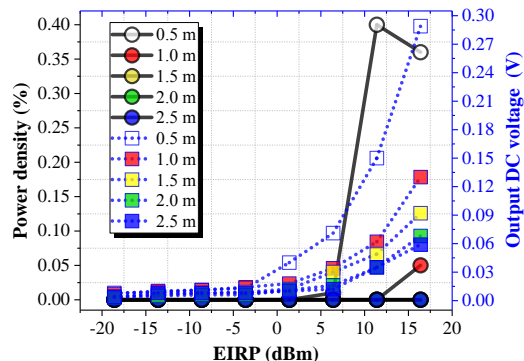
รูปที่ 13 การติดตั้งและการทดสอบสายอากาศพื้นผิวอภิวัสดุจัดเรียงกระแส

นอกเหนือเครื่องวิเคราะห์คลื่นความถี่วิทยุ Anritsu MS2090 ถูกต่อเข้ากับโปรดักโซิโซทรอปิกใช้ทดสอบความเข้มข้นสนามแม่เหล็กไฟฟ้าเพื่อวัดค่าความหนาแน่นกำลังงาน ซึ่งจะถูกเปรียบเทียบกับสายอากาศพื้นผิวอภิวัสดุจัดเรียงกระแสที่ได้นำเสนอในบทความวิจัยนี้ดังรูปที่ 13 โดยค่าความหนาแน่นกำลังงานมีความสัมพันธ์กับแรงดันไฟฟ้ากระแสตรงดังสมการที่ 2 และ 3

$$W_i = \frac{P_r}{A_{eff}} \quad (2)$$

$$A_{eff} = \frac{\lambda^2 D_o}{4\pi} = \frac{V_{DC}^2}{R_A W_i} \quad (3)$$

โดยที่  $P_r$  คือ กำลังงานที่รับได้ ( $W$ )  $A_{eff}$  คือ พื้นที่ประสิทธิผลของสายอากาศ ( $m^2$ ) และ  $R_A$  คือ ค่าความต้านทานสายอากาศ ( $\Omega$ )



รูปที่ 14 ผลการทดสอบสายอากาศพื้นผิวอภิวัสดุจัดเรียงกระแสที่ความถี่ 2.6 GHz (โลลาไรซ์เชิงเส้นแนวตั้ง)

การทดสอบวัดค่าความหนาแน่นกำลังงานที่ความถี่ 2.6 GHz พบว่า ที่ระยะทาง 0.5 m เมื่อปรับเปลี่ยนกำลังงาน EIRP เท่ากับ 6.4, 11.4 และ 16.4 dBm

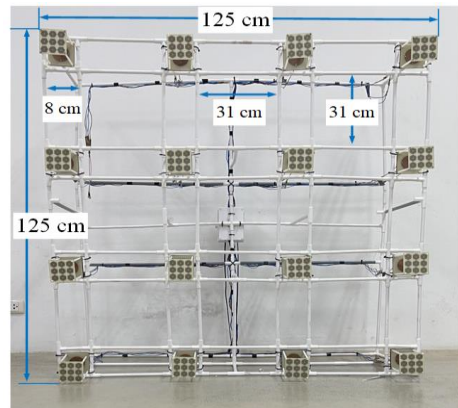


## บทความวิจัย

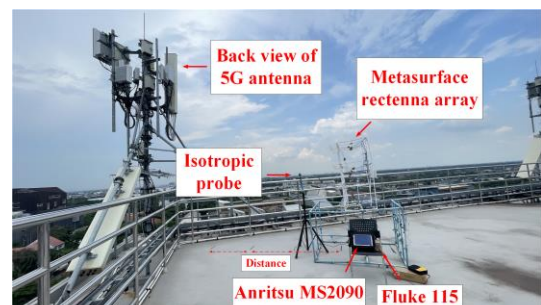
เครื่องวิเคราะห์ค่าความถี่วิทยุ MS2090 วัดค่า ความหนาแน่นกำลังงานได้เท่ากับ 0.01, 0.40 และ 0.36% บนระยะทาง 1.0 m เมื่อปรับเปลี่ยนกำลังงาน EIRP เท่ากับ 6.4, 11.4 และ 16.4 dBm เครื่องวิเคราะห์ค่าความถี่วิทยุ MS2090 วัดค่าความหนาแน่นกำลังงานได้เท่ากับ 0.00 และ 0.00% (ไม่สามารถอ่านค่าได้เนื่องจากมีระดับกำลังงานต่ำมาก) และ 0.05% ดังรูปที่ 14 สำหรับการทดสอบสายอากาศพื้นผิวอวิสส์ดูจัดเรียงกระแสที่ได้นำเสนอที่ความถี่ 2.6 GHz ด้วยโลหะ เชิงเส้นแนวตั้ง โดยกำหนดระยะทางการทดสอบเท่ากับ 0.5, 1.0, 1.5, 2.0 และ 2.5 m เมื่อกำลังงาน EIRP เท่ากับ -18.6 dBm จะให้แรงดันไฟฟ้ากระแสตรงทางด้านข้าออกเท่ากับ และ 0.008 0.007 0.004 0.003 และ 0.004 V ตามลำดับ เมื่อระดับกำลังงาน EIRP เท่ากับ -3.6 dBm ให้แรงดันไฟฟ้ากระแสตรงทางด้านข้าออกเท่ากับ 0.013 0.014 0.009 0.006 และ 0.008 V และเมื่อระดับกำลังงาน EIRP เท่ากับ 16.4 dBm จะให้แรงดันไฟฟ้ากระแสตรงเท่ากับ 0.289, 0.130, 0.092, 0.068 และ 0.059 V ตามลำดับ

### 3.2 การทดสอบสายอากาศพื้นผิวอวิสส์ดูจัดเรียงกระแสแบบลำดับ 4x4 ตัวแบบ

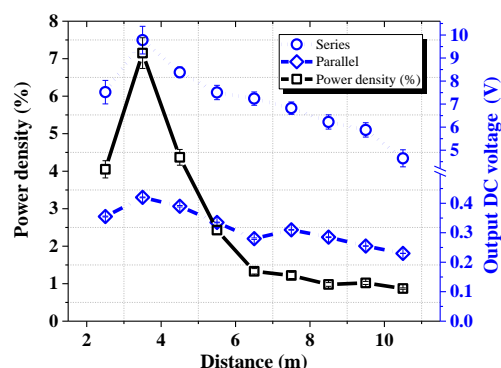
สายอากาศพื้นผิวอวิสส์ดูจัดเรียงกระแสแบบลำดับ (Array) ขนาด 4x4 จำนวน 16 ตัว และมีโลหะเชิงเส้นแนวตั้งและแนวอนุรวมกัน 32 โลหะเชิงๆ กับวงจรจัดเรียงกระแสทั้งหมด 32 วงจร โดยโครงสร้างสายอากาศพื้นผิวอวิสส์ดูจัดเรียงกระแสแบบลำดับมีขนาด  $125 \times 125$  cm สายอากาศพื้นผิวอวิสส์ดูจัดเรียงกระแสแต่ละตัววางห่างกัน 31 cm ดังรูปที่ 15 ในส่วนรูปที่ 16 (ก) เป็นการทดสอบวัดค่าความหนาแน่นกำลังงานที่แพร่กระจายกำลังงานออกจากด้านหลัง



รูปที่ 15 สายอากาศพื้นผิวอวิสส์ดูจัดเรียงกระแสแบบลำดับตัวแบบ



(ก) การทดสอบเก็บเกี่ยวพลังงานไร้สาย



(ข) ผลการทดสอบวัดค่าความหนาแน่นกำลังงานและผลการทดสอบการเก็บเกี่ยวพลังงานไร้สาย

รูปที่ 16 การทดสอบและผลการทดสอบ



สายอากาศ 5G ณ ชั้น 10 อาคารคณะวิศวกรรมศาสตร์ มหาวิทยาลัยเทคโนโลยีราชมงคลรัตนโกสินทร์ ต.ศาลายา อ.พุทธมณฑล จ. นครปฐม

จากการทดสอบพบว่า ระยะทางระหว่างด้านหลังสายอากาศ 5G กับโพรบไอโซทรอปิก ที่ระยะทาง 3.5 m มีค่าความหนาแน่นกำลังงานมากที่สุดเท่ากับ 7.15% และมีค่าเบี่ยงเบนมาตรฐาน (Standard Deviation: SD) เท่ากับ 0.41 สำหรับค่าความหนาแน่นกำลังงานน้อยที่สุด เท่ากับ 0.87% มีค่า SD เท่ากับ 0.02 ที่ระยะทาง 10.5 m ดังรูปที่ 16 (ข) ในส่วนการทดสอบเก็บเกี่ยวพลังงานไว้สายจากด้านหลังของสายอากาศ 5G การทดสอบดังกล่าวได้ทำการปรับเปลี่ยนระยะทางการทดสอบตั้งแต่ 2.5-10.5 m และการทดสอบนี้แบ่งออกเป็น 2 ส่วน คือ การต่อแบบอนุกรมและการต่อแบบขนาน การต่อแบบอนุกรมทั้ง 32 วงจร พบร่วมกับแรงดันไฟฟ้ากระแสตรงมากที่สุด 9.78 V ที่ระยะทาง 3.5 m และการต่อแบบขนานทั้ง 32 วงจร พบร่วมกับแรงดันไฟฟ้ากระแสตรงมากที่สุดเท่ากับ 0.42 V ที่ระยะทาง 3.5 m ดังรูปที่ 16 (ข)

#### 4. สรุป

บทความฉบับนี้นำเสนอสายอากาศพื้นผิวอวิวัสดุ จัดเรียงกระแสหรับเก็บเกี่ยวกำลังงานไว้สายจากสถานีฐานโทรศัพท์เคลื่อนที่ 5G ออกแบบให้มีขนาด 4x4 จำนวน 16 ตัว มีโพลาไรซ์เชิงเส้นแนวตั้งและแนวอนวนรวมกัน 32 พอร์ต แต่ละพอร์ตจะถูกต่อเข้ากับวงจรจัดเรียงกระแสรวมกับ 32 วงจร ในการทดสอบได้อาศัยเครื่องวัดค่าความหนาแน่นกำลังงาน ที่ถูกปล่อยออกจากด้านหลังสายอากาศ 5G และใช้เปรียบเทียบแรงดันไฟฟ้ากระแสตรงที่วัดได้จากสายอากาศที่นำเสนอ ในการทดสอบ เมื่อทำการต่ออนุกรมทางด้าน

ข้าอกของวงจรจัดเรียงกระแสทั้ง 32 วงจร พบร่วมกับแรงดันไฟฟ้ากระแสตรงมากที่สุดเท่ากับ 9.78 V มีค่าความหนาแน่นกำลังงานเท่ากับ 7.15% ที่ระยะทางห่างจากด้านหลังสายอากาศ 5G เท่ากับ 3.5 m แรงดันไฟฟ้ากระแสตรงที่ได้สามารถนำไปปะจุให้แก่แบตเตอรี่ขนาด 9 V หรือขับหลอด LED หรือนำไปเป็นแหล่งจ่ายไฟฟ้าให้กับอุปกรณ์อิเล็กทรอนิกส์ขนาดเล็กที่ใช้กระแสไฟฟ้าต่ำๆ ได้ สำหรับการทดสอบ เมื่อทำการต่อขนาดทางด้านข้าอกของวงจรจัดเรียงกระแสทั้ง 32 วงจร พบร่วมกับแรงดันไฟฟ้ากระแสตรงมากที่สุดเท่ากับ 0.42 V มีค่าความหนาแน่นกำลังงานเท่ากับ 7.15% ที่ระยะทางห่างจากด้านหลังสายอากาศ 5G เท่ากับ 3.5 m ซึ่งแรงดันไฟฟ้ากระแสตรงที่ได้ตั้งกล่าวไม่สามารถนำไปใช้งานได้เนื่องจากมีแรงดันไฟฟ้ากระแสตรงที่น้อยมาก

#### 5. กิตติกรรมประกาศ

งานวิจัยนี้ได้รับการสนับสนุนการดำเนินงานโดยสำนักงานคณะกรรมการส่งเสริมวิทยาศาสตร์ วิจัยและนวัตกรรม (สกสว.) ร่วมกับโครงการวิจัยมูลฐาน มหาวิทยาลัยเทคโนโลยีราชมงคลรัตนโกสินทร์ สัญญาเลขที่ FRB6710/2567 รหัสโครงการ 192856 โครงการวิจัย เรื่องการพัฒนาสายอากาศจัดเรียงกระแสสำหรับเก็บเกี่ยวพลังงานไว้สายจากสถานีฐานโทรศัพท์เคลื่อนที่ ปีงบประมาณ 2567

#### 6. เอกสารอ้างอิง

- [1] N. Shinohara, Development of rectenna with wireless communication system, The 5th European Conference on Antennas and Propagation, Proceedings, 2011, 3970-3973.



- [2] Z. Popović, S. Korhummel, S. Dunbar, R. Scheeler, A. Dolgov, R. Zane, E. Falkenstein and J. Hagerty, Scalable RF energy harvesting, *IEEE Transactions on Microwave Theory and Techniques*, 2014, 62(4), 1046-1056.
- [3] S. Tsukamoto, N. Iizasa, K. Yoshitomi, R. Pokharel, K. Yoshida, R. Hattori, H. Kanaya and D. Kanemoto, Development of a rectenna for batteryless electronic paper, *The IEEE Region 19 Conference, Proceedings*, 2013 1-4.
- [4] A.S. Marincic, Nikola tesla and the wireless transmission of energy, *IEEE Transactions on Power Apparatus and Systems*, 1982, PAS-101(10), 4064-4068.
- [5] W.C. Brown, The history of power transmission by radio wave, *IEEE Transactions on Microwave Theory and Techniques*, 1984, 32(9), 1230-1242.
- [6] N. Shinohara and H. Matsumoto, Experimental study of large rectenna array for microwave energy transmission, *IEEE Transactions on Microwave Theory and Technique*, 1998, 261-268.
- [7] J.A. Hagerty and Z. Popovic, An experimental and theoretical characterization of broadband arbitrarily polarized rectenna array, *IEEE International Microwave Symposium Digest*, 2001, 46(3), 1855-1858.
- [8] Y. H. Suh and K. Chang, A high-efficiency dual-frequency rectenna for 2.45 and 5.8-GHz wireless power transmission, *IEEE Transactions on Microwave Theory and Techniques*, 2002, 50(7), 1784-1789.
- [9] A. Slavova and A.S. Omar, Wideband rectenna for energy recycling, *IEEE Antenna and Propagation Society International Symposium*, 2003, 954-957.
- [10] J.H. Chou, D.-B. Lin, K.-L. Weng and H.J. Li, All polarization receiving rectenna with harmonic rejection property for wireless power transmission, *IEEE Transactions on Antennas and Propagation*, 2014, 62(10), 5242-5249.
- [11] C. Phongcharoenpanich and K. Boonying, A 2.4-GHz dual polarized suspended square plate rectenna with inserted annular rectangular ring slot, *International Journal of RF and Microwave Computer-Aided Engineering*, 2015, 26(2), 164-173.



- [12] D.H. Sadek, H.A. Shawkey and A.A. Zekry, Compact and high-efficiency rectenna for wireless power-harvesting applications, International Journal of Antennas and Propagation, 2021, 1109850.
- [13] F. Khalid, W. Saeed, N. Shoaib, M. U. Khan and H. M. Cheema, Quad-band 3D rectenna array for ambient RF energy harvesting, International Journal of Antennas and Propagation, 2020, 7169846.
- [14] CST® Microwave Studio, Research Base, 2020.
- [15] K. Boonying and C. Phongcharoenpanich, Analysis and design of circularly polarized capacitively-fed planar suspended antenna for universal UHF RFID applications, Przeglad Elektrotechniczny, 2020, 96(1), 100-107.



# การออกแบบการทดลองเพื่อวิเคราะห์ปัจจัยการปรับตั้งค่าเครื่องย่อยในโตรเจน ที่มีผลต่อการเกิดของเสียของหลอดกลั่นในโตรเจน

ยศวัจน์ ชีวรานันท์ตระ<sup>1\*</sup> กฤติธฤต ทองสิน<sup>1</sup> และ ปิยะ รณรงค์ลอง<sup>2</sup>

<sup>1</sup> สาขาวิชาการจัดการอุตสาหกรรม, คณะวิศวกรรมศาสตร์และเทคโนโลยีอุตสาหกรรม, มหาวิทยาลัยราชภัฏบ้านสมเด็จเจ้าพระยา

<sup>2</sup> สาขาวิชาชีวกรรมอุตสาหการและการจัดการโซ่อุปทาน, คณะวิศวกรรมศาสตร์และเทคโนโลยีอุตสาหกรรม, มหาวิทยาลัยราชภัฏบ้านสมเด็จเจ้าพระยา

\* ผู้ประสานงานเผยแพร่ (Corresponding Author), E-mail: yossawat.ch@bsru.ac.th

วันที่รับบทความ: 26 มิถุนายน 2567; วันที่ทบทวนบทความ: 22 เมษายน 2568; วันที่ตอบรับบทความ: 16 กรกฎาคม 2568

วันที่เผยแพร่อนไลน์: 20 สิงหาคม 2568

**บทคัดย่อ:** งานวิจัยนี้มีวัตถุประสงค์เพื่อลดของเสียของหลอดกลั่นในโตรเจนที่เกิดรอยร้าวจากการทดสอบหาปริมาณไนโตรเจน (Nitrogen) และโปรตีนหนาๆ (Crude Protein) ในห้องปฏิบัติการ โรงงานกรณีศึกษา โดยใช้หลักการออกแบบการทดลองแบบแฟกторเรียลเต็มรูปแบบ ( $2^k$  Full Factorial Design) ในการศึกษาหาปัจจัยและระดับปัจจัยในการปรับตั้งค่าของเครื่องย่อยในโตรเจน (Block Digestion Unit (Nitrogen)) ให้เหมาะสม สำหรับในการออกแบบการทดลองจะประกอบไปด้วย 3 ปัจจัยหลัก ได้แก่ อุณหภูมิ เวลาการเผา และเวลาการปรับสภาพความเย็น โดยการทดลองทำซ้ำ 3 ครั้ง รวมจำนวนห้องสิ้น 24 การทดลอง ผลที่ได้จากการทดลองพบว่าปัจจัยที่มีผลต่อการเกิดรอยร้าวของหลอดทดลองอย่างมีนัยสำคัญที่ระดับความเชื่อมั่น 95% คืออุณหภูมิ เวลาการเผา และเวลาปรับสภาพความเย็น และอันตรกิริยาระหว่างคู่ปัจจัย คือ อุณหภูมิ กับ เวลาการเผา และ อุณหภูมิ กับ เวลาปรับสภาพความเย็น จากนั้นจึงหาระดับปัจจัยในการปรับตั้งค่าของเครื่องย่อยในโตรเจนที่เหมาะสม คือ อุณหภูมิ 400 องศาเซลเซียล เวลาการเผา 120 นาที และเวลาการปรับสภาพความเย็น 50 นาที หลังจากนั้นนำปัจจัยและระดับปัจจัยที่เหมาะสมไปเก็บข้อมูล เพื่อเปรียบเทียบผลข้อมูลก่อนและหลังการปรับปรุง พบว่าก่อนการปรับปรุงมีจำนวนของเสียที่เกิดรอยร้าว 359 หลอด และหลังการปรับปรุงมีจำนวนของเสียที่เกิดรอยร้าวลดลงเหลือ 7 หลอด ทำให้ของเสียลดลงจากเดิมคิดเป็นร้อยละ 98.05 และเมื่อนำมาเปรียบเทียบค่าใช้จ่ายที่เกิดขึ้น พบว่าจำนวนของเสียก่อนการปรับปรุง 359 หลอด คิดเป็นเงิน 502,600 บาท ซึ่งต้นทุนต่อชิ้น เท่ากับ 1,400 บาท และหลังการปรับปรุง ลดลงเหลือ 7 หลอด คิดเป็นเงิน 9,800 บาท ดังนั้นสามารถลดค่าใช้จ่ายลง 492,800 บาท

**คำสำคัญ:** การออกแบบการทดลองเชิงแฟกторเรียล; การลดของเสีย; หลอดกลั่นในโตรเจน



## Design of Experiments to Analyze Factors for Block Digestion Affecting the Defect of Nitrogen Tubes

**Yossawat Cheewaworanontree<sup>1\*</sup> Kridtharit Thongsin<sup>1</sup> and Piya Rontlaong<sup>2</sup>**

<sup>1</sup> Program in Industrial Management, Engineering and Industrial Technology,

Bansomdejchaopraya Rajabhat University

<sup>2</sup> Program in Industrial Engineering and Supply Chain Management, Engineering and Industrial Technology,

Bansomdejchaopraya Rajabhat University

\* Corresponding author, E-mail: yossawat.ch@bsru.ac.th

Received: 26 June 2024; Revised 22 April 2025; Accepted: 16 July 2025

Online Published: 20 August 2025

**Abstract:** This research aims to reduce the waste of nitrogen tubes generated from testing for the quantities of Nitrogen and crude protein in laboratory settings of a case study factory, using  $2^k$  Full Factorial Design. The study aims to identify factors and their levels in adjusting the settings of the Block Digestion machine appropriately. The experimental design comprises three main factors: temperature, burning time, and cooling time. The experiments were repeated three times, totaling 24 trials. The experimental results indicated that temperature, burning time, and cooling time had a statistically significant effect on the occurrence of cracks in the test tubes at the 95% confidence level. Moreover, significant interaction effects were observed between temperature and burning time, as well as between temperature and cooling time and the appropriate factors and levels for adjusting the settings of the Block Digestion machine are: temperature at 400 degrees celsius, burning time of 120 minutes, and cooling time of 50 minutes. Subsequently, the appropriate factors and levels were used to collect data for comparison before and after adjustment. It was found that before adjustment, there were 359 instances of tube damage, whereas after adjustment, the instances reduced to 7, resulting in a reduction of waste by 98.05%. When comparing the expenses incurred, it was found that before adjustment, the cost of the 359 damaged tubes amounted to 502,600 baht, with a unit cost of 1,400 baht per tube. After adjustment, with only 7 damaged tubes, the cost amounted to 9,800 baht, resulting in a reduction in expenses by 492,800 baht.

**Keywords:** Factorial design; reducing defect; digestion tube



## 1. บทนำ

ในสถานการณ์ปัจจุบันธุรกิจอุตสาหกรรมทุกประเภทต่างมีการแข่งขันเพิ่มมากขึ้นเนื่องจากผู้บริโภค มีความต้องการสินค้าที่หลากหลายในเวลาที่รวดเร็ว การเพิ่มอัตราการผลิตและการปรับปรุงการทำงานนั้นจึงเป็นหัวใจสำคัญของการอยู่รอดทางธุรกิจ และการเดินทางอุตสาหกรรม เพื่อให้สามารถแข่งขันกับคู่แข่งรายอื่นๆ ได้ จึงจำเป็นต้องเตรียมพร้อมรับสถานการณ์ในอนาคต ผู้ประกอบการ จึงมีความจำเป็นที่จะผลิตผลิตภัณฑ์ที่มีคุณภาพ เป็นไปตามความต้องการของลูกค้า โดยมีต้นทุนต่ำ และมีประสิทธิภาพสูงสุด และเพื่อสร้างความความไว้วางใจ จึงต้องการยกระดับผลิตภัณฑ์ก่อนการส่งมอบให้แก่ผู้บริโภค เพื่อสร้างความพึงพอใจและไว้วางใจแก่ลูกค้า และสามารถที่จะแข่งขันกับคู่แข่งได้ อีกด้วย อีกทั้งเพื่อต้องการลดปริมาณของเสียที่เกิดขึ้นจากการกระบวนการทดลองทางวิทยาศาสตร์ ที่ใช้พัฒนาผลิตภัณฑ์ที่มีประสิทธิภาพก่อนนำไปสู่ตลาด การคัดต่อไป [1] เพื่อเพิ่มโอกาสในการแข่งขันทางการตลาดให้มากขึ้น ทั้งทางด้านราคาและคุณภาพของสินค้า ตลอดจนความต้องการของลูกค้าที่เพิ่มสูงขึ้น จึงจำเป็นอย่างยิ่งที่ต้องปรับปรุงประสิทธิภาพการทำงานเพื่อลดต้นทุนการผลิตให้น้อยลง และเพื่อเพิ่มโอกาสด้านการแข่งขันให้มากขึ้น [2] สำหรับโรงงานกรณีศึกษา เป็นโรงงานที่ผลิตเกี่ยวกับอาหารสัตว์ มีการคัดสรรวัตถุดิบที่มีคุณภาพ โดยวัตถุดิบหลักที่ใช้ในการผลิตอาหารสัตว์ ประกอบไปด้วย ข้าวโพด กากถั่วเหลือง ปลาป่น รำข้าว และส่วนประกอบ วิตามินและแร่ธาตุอื่นๆ วัตถุดิบที่มีคุณภาพตามมาตรฐานที่ได้รับการรับรอง โดยบริษัทฯ ดำเนิน

นโยบายการจัดซื้อวัตถุดิบจากแหล่งผลิตในประเทศไทย เป็นอันดับแรกเพื่อส่งเสริมผลผลิตจากเกษตรกร ท่องถิ่นมาผลิตเป็นสูตรอาหารที่ตรงความต้องการตามด้านโภชนาการของสัตว์ อีกทั้งมีการใช้เทคโนโลยีที่ทันสมัยเข้ามาช่วยควบคุมคุณภาพและบริหารการจัดการด้านต่างๆ เช่น ห้องปฏิบัติการที่มีความจำเป็นที่ต้องมีการทดลองและตรวจสอบคุณภาพก่อนส่งออก อยู่เสมอ จากสภาพปัจจุบันปัญหาของโรงงานกรณีศึกษาพบว่า หลอดกลั้นในโตรเจน (Digestion Tube) ที่ทำการทดสอบหาปริมาณในโตรเจน (Nitrogen) และโปรตีนหยาบ (Crude Protein) ทางวิทยาศาสตร์ในห้องปฏิบัติการ มีจำนวนของเสียเป็นจำนวนมาก ส่งผลให้ต้นทุนในการตรวจสอบมีปริมาณสูงเนื่องจากราคาของหลอดกลั้นในโตรเจนมีราคาเท่ากับ 1,400 บาทต่อหัว เนื่องจากการใช้ค่าความร้อนของเครื่องย่อยในโตรเจน (Block Digestion Unit (Nitrogen)) ที่ใช้อุณหภูมิสูง เวลาในการเผา และระยะเวลาปรับสภาพความเย็นของหลอดทดลอง มีระยะเวลาที่ไม่เหมาะสม ส่งผลทำให้หลอดกลั้นในโตรเจนที่ทำการทดสอบเกิดรอยร้าวและเสียหาย แสดงดังตารางที่ 1

ตารางที่ 1 ปริมาณหลอดกลั้นในโตรเจนที่เสียหายที่เกิดจากการกระบวนการทดลองทางวิทยาศาสตร์ในห้องปฏิบัติการในช่วงเดือนตุลาคม – ธันวาคม 2566

เดือน	จำนวนของเสีย (หลอด)	เปอร์เซ็นต์ของเสีย
ตุลาคม	96	26.74
พฤษภาคม	118	32.87
ธันวาคม	145	40.39
รวม	359	100
เฉลี่ย	120	33.33



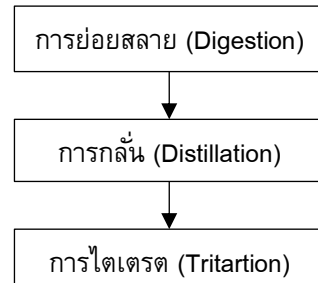
จากตารางที่ 1 พบว่าจำนวนของเสียจากหลอดกลั่นในโตรเจนที่ทำการทดสอบหาปริมาณในโตรเจน (Nitrogen) และโปรตีน hayab (Crude Protein) ทางวิทยาศาสตร์ในห้องปฏิบัติการมีปริมาณของเสียเฉลี่ยที่เกิดขึ้นในแต่ละเดือนเท่ากับ 120 หลอด ซึ่งปริมาณของเสียส่งผลทำให้เกิดตันทุนค่าใช้จ่ายในการทดสอบสูงขึ้น [3] ปัจจุบันการออกแบบการทดลองถูกนำมายังกันในการศึกษาเพื่อเพื่อวิเคราะห์ปัจจัย และหาค่าระดับปัจจัยที่เหมาะสม เช่น [4] การศึกษาปัจจัยเพื่อลดตันทุน peng kemีในการผลิตผ้าเบรก โดยปัจจัยที่ศึกษาได้แก่ ค่าความหนาแน่น peng kemี ค่าแรงดัน เวลาอัดชั้นงานต่อครั้ง และน้ำหนักผง kemี โดยปัจจัยเหล่านี้มีผลกระทบต่อความหนาของชั้นงาน ส่งผลทำให้ตันทุนการผลิตสูง [5] การศึกษาปัจจัยระยะห่างใบมีด ระยะเหลือใบมีด และความเร็วรอบมอเตอร์ ที่เหมาะสมเพื่อการปรับตั้งค่าเครื่องหันใบตะไคร้ [6] การลดของเสียในกระบวนการผลิตแบบเตอร์รีจักรยานยนต์โดยพบว่าปัจจัยที่มีผลต่อการเกิดของเสีย คือแบบเตอร์รีเย็บระเบิด เกิดจากปัจจัย ระยะหัดหัว Tip แรงดันลม และกระแสงไฟฟ้า [7] การลดการสูญเสียน้ำหนักในกระบวนการผลิตไส้พยาสับปะรด โดยพบว่าปัจจัยที่ส่งผลต่อการสูญเสียน้ำหนักไส้พยาสับปะรดได้แก่ อุณหภูมิ และระยะเวลาในการกรุไส้พยา

จากการวิจัยที่กล่าวมาพบว่าเทคนิคการออกแบบการทดลองมีความเหมาะสมกับการศึกษาระดับของปัจจัยที่มีความเหมาะสมต่อการผลิตผลิตภัณฑ์ให้ตรงตามคุณลักษณะที่กำหนด ดังนั้นงานวิจัยนี้จึงได้ประยุกต์ใช้หลักการออกแบบและวิเคราะห์การทดลอง (Design and Analysis of Experiment: DOE) แบบแฟกторเรียลเติมรูปแบบ ( $2^k$  Full Factorial Design)

เพื่อหาสภาวะที่เหมาะสม (Optimization) ของระดับของปัจจัยในปรับตั้งค่าเครื่องย่อยในโตรเจน (Block Digestion Unit (Nitrogen)) ประกอบด้วยปัจจัยดังนี้ (1) อุณหภูมิ (องศาเซลเซียส) (2) เวลาการเผา (นาที) และ (3) เวลาปรับสภาพความเย็น (นาที) เพื่อเพิ่มประสิทธิภาพในกระบวนการทดสอบในห้องปฏิบัติการและลดจำนวนของเสียที่เกิดขึ้น [1] ที่ส่งผลให้เกิดของเสียประเภทอยร้าวของหลอดกลั่นในโตรเจนมีปริมาณต่ำที่สุด

## 2. วิธีการดำเนินงานวิจัย

การทดสอบหาปริมาณในโตรเจน (Nitrogen) และโปรตีน hayab (Crude Protein) ของเครื่องย่อยในโตรเจน (Block Digestion Unit (Nitrogen)) ในห้องปฏิบัติการโดยกระบวนการวิเคราะห์ปริมาณในโตรเจน (Kjeldahl) ซึ่งเป็นกระบวนการวิเคราะห์ทางเคมีที่ใช้ในการหาปริมาณในโตรเจนทั้งหมดในตัวอย่าง โดยเฉพาะในสารอินทรีย์ เช่น อาหาร พืช ปุ๋ย หรือของเสียต่างๆ เพื่อใช้ในการคำนวณหาปริมาณ โปรตีน ซึ่งในโตรเจนเป็นองค์ประกอบสำคัญของโปรตีน โดยมีขั้นตอนดังรูปที่ 1



รูปที่ 1 ขั้นตอนการทดสอบหาปริมาณในโตรเจน (Nitrogen) และโปรตีน hayab (Crude Protein)



บทความวิจัย

จากรูปที่ 1 อธิบายแต่ละขั้นตอนดังนี้ (1) การย่อยสลาย (Digestion) เป็นขั้นตอนแรกในกระบวนการ Kjeldahl เพื่อเปลี่ยนไนโตรเจนในรูปของโปรตีนให้กลายเป็นรูปแบบที่สามารถวัดได้ (แอมโมเนียมไอออน,  $\text{NH}_4^+$ ) (2) การกลั่น (Distillation) เป็นขั้นตอนสำคัญในการแยกแอมโมเนีย ( $\text{NH}_3$ ) ออกจากตัวอย่างเพื่อใช้ในการวิเคราะห์ปริมาณในไนโตรเจน และ (3) การ titration ซึ่งเป็นขั้นตอนที่ใช้วัดปริมาณแอมโมเนีย ( $\text{NH}_3$ ) ที่จับไว้ในกรดบอริก เพื่อคำนวณปริมาณ ในไนโตรเจน (Nitrogen) และ โปรตีนหนาบ (Crude Protein) เพื่อให้สอดคล้องตรงกับวัตถุประสงค์ของงานวิจัยเรื่องการลดของเสียหลอดกลั่นในไนโตรเจนที่เกิดขึ้นจากการทดสอบหาปริมาณในไนโตรเจน (Nitrogen) และ โปรตีนหนาบ (Crude Protein) โดยประยุกต์ใช้การออกแบบการทดลอง โรงงานกรณีศึกษา ผู้วิจัยได้กำหนดขั้นตอนการออกแบบการทดลอง (Design of Experiment: DOE) โดยมีขั้นตอนดังนี้ [8]

## 2.1 การกำหนดปัญหา

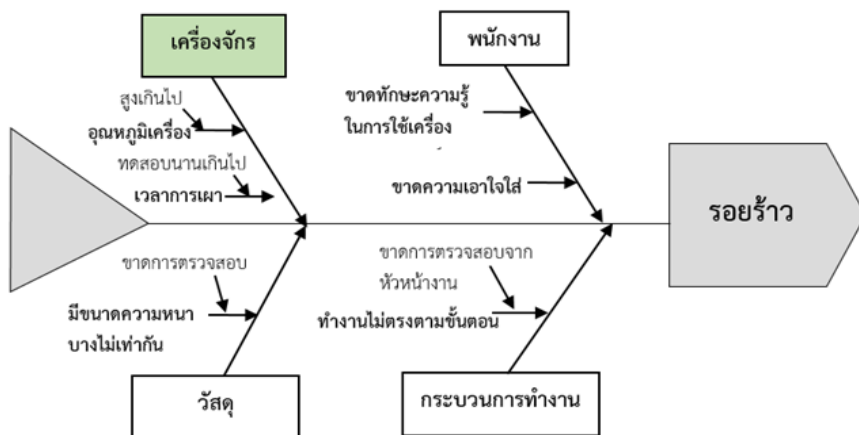
จากการศึกษาข้อมูลโรงงานกรณีศึกษา พบร่วมกันของเสียที่เกิดขึ้นจากการทดสอบทางวิทยาศาสตร์ในห้องปฏิบัติการเกิดจากการใช้ค่าความร้อนของเครื่องย่อยในไนโตรเจน (Block Digestion Unit (Nitrogen)) ที่ใช้อุณหภูมิสูง และใช้เวลาในการเผาไม่เหมาะสม และระยะเวลาปรับสภาพความเย็นของหลอดทดลองมีระยะเวลาที่ไม่เหมาะสม ส่งผลทำให้หลอดกลั่นในไนโตรเจนที่ทำการทดสอบเกิดเป็นรอยร้าว และเสียหายเป็นจำนวนมากแสดงดังรูปที่ 2 ส่งผลทำให้เกิดต้นทุนค่าใช้จ่ายในการทดสอบสูง

## 2.2 การกำหนดปัจจัย

จากแผนผังแสดงเหตุและผล (Cause and Effect Diagram) ในการวิเคราะห์หาสาเหตุของหลอดกลั่นในไนโตรเจนที่ทำการทดสอบเกิดการเป็นรอยร้าว ดังรูปที่ 2 พบว่า สาเหตุมาจากการปัจจัยพนักงาน (Man) วัสดุ (Material) กระบวนการทำงาน (Method) และเครื่องจักร (Machine) แสดงดังรูปที่ 3 โดยพบว่าสาเหตุหลักมาจากการที่มีการปรับตั้งค่าความร้อนของเครื่องย่อยในไนโตรเจน (Block Digestion Unit (Nitrogen)) ที่ไม่เหมาะสมโดยใช้อุณหภูมิสูงและใช้เวลาในการทดสอบนานเกินไปทำให้เกิดการเป็นรอยร้าวและเสียหาย ดังนั้นทางผู้วิจัยจึงได้ทำการระดมสมองกับผู้ที่เกี่ยวข้องในการปฏิบัติงานในห้องทดลอง โดยกำหนดปัจจัยที่ส่งผลกระทบต่อการเป็นรอยร้าวของหลอดกลั่นในไนโตรเจน ซึ่งสามารถสรุปปัจจัย ได้แก่ อุณหภูมิ เวลาการเผา และระยะเวลาการปรับสภาพความเย็นของหลอดกลั่นในไนโตรเจน ซึ่งเป็นปัจจัยในการปรับตั้งค่าพารามิเตอร์ต่างๆ ของเครื่องย่อยในไนโตรเจน (Block Digestion Unit (Nitrogen))



รูปที่ 2 รอยร้าวจากการทดสอบของหลอดกลั่นในไนโตรเจน



รูปที่ 3 ผังแสดงเหตุและผลในการวิเคราะห์หาสาเหตุรอยร้าวหลอดกลั่นในไตรเจน

### 2.3 การออกแบบการทดลอง

สำหรับการออกแบบการทดลอง ผู้วิจัยได้ดำเนินการทดลองแก้ไขปัญหาโดยใช้เทคนิคการออกแบบการทดลอง (Design of Experiment: DOE) เข้ามาประยุกต์เพื่อหาปัจจัยและระดับปัจจัยในการทดลองที่เหมาะสม ได้แก่ อุณหภูมิ เวลาการเผา และระยะเวลาการปรับสภาพความเย็น ซึ่งในการออกแบบการทดลองนี้ผู้วิจัยได้ใช้เทคนิคการออกแบบการทดลองแบบแฟกторเรียลเติมรูปแบบ ( $2^k$  Full Factorial Design) โดยการทำซ้ำ 3 ครั้ง รวมจำนวนทั้งสิ้น 24 การทดลอง โดยการทดลองจะเป็นการทดลองแบบสุ่มซึ่งเป็นปัจจัยในการทดลอง [5] โดยแต่ละปัจจัยประกอบด้วย 2 ระดับ แสดงดังตารางที่ 2

การกำหนดรูปแบบการทดลอง ผู้วิจัยได้ใช้วิธีการออกแบบการทดลองแบบแฟกטורเรียลเติมรูปแบบ ( $2^k$  Full Factorial Design) จากตารางที่ 2 สามารถทดลองจำนวนปัจจัยได้แก่ อุณหภูมิ 400 และ 420 องศาเซลเซียส เวลาการเผา 120 และ 150 นาที และ

ตารางที่ 2 ปัจจัยและระดับปัจจัยที่ใช้ในการทดลอง

ปัจจัย	สัญลักษณ์	ระดับปัจจัย	
		ต่ำ (-)	สูง (+)
อุณหภูมิ (องศาเซลเซียส)	A	400	420
เวลาการเผา (นาที)	B	120	150
เวลาการปรับสภาพ ความเย็น (นาที)	C	30	50

เวลาปรับสภาพความเย็น 30 และ 50 นาที โดยเป็นการกำหนดค่าแบบช่วงตามมาตรฐานของห้องปฏิบัติการสำหรับการปรับตั้งค่าเครื่องย่อยไนโตรเจน (Block Digestion Unit (Nitrogen)) โดยทำการทดลองซ้ำจำนวน 3 ครั้ง และผลลัพธ์ (Response) ที่ได้จากแต่ละรูปแบบการทดลองคือจำนวนของเสียงที่เกิดขึ้น ทำให้มีจำนวนการทดลองทั้งหมดเท่ากับ 24 การทดลอง โดยรูปแบบการทดลองเป็นแบบสุ่มแสดงดังตารางที่ 3



### ตารางที่ 3 การสุมตัวอย่างและการออกแบบการทดลองที่ใช้ในการทดลอง

Standard Order	Run Order	ปัจจัย			Response
		อุณหภูมิ (องศาเซลเซียล)	เวลาการเผา (นาที)	เวลาการปรับสภาพความเย็น (นาที)	
6	1	420	120	50	0
5	2	400	120	50	7
23	3	400	150	50	8
20	4	420	150	30	4
12	5	420	150	30	4
2	6	420	120	30	9
4	7	420	150	30	12
14	8	420	120	50	4
19	9	400	150	30	1
13	10	400	120	50	4
24	11	420	150	50	4
18	12	420	120	30	14
7	13	400	150	50	3
21	14	400	120	50	2
8	15	420	150	50	7
11	16	400	150	30	7
3	17	400	150	30	5
22	18	420	120	50	0
16	19	420	150	50	3
9	20	400	120	30	0
15	21	400	150	50	6
10	22	420	120	30	9
1	23	400	120	30	11
17	24	400	120	30	5

#### 2.4 การตรวจสอบความถูกต้องของรูปแบบการทดลอง

สำหรับในการวิเคราะห์ผลข้อมูลการทดลองทางผู้วิจัยได้ทำการวิเคราะห์ข้อมูลโดยก่อนที่จะนำข้อมูลที่ได้จากการทดลองมาวิเคราะห์ความแปรปรวน ค่าส่วนตาก็ค้าง (Residual) ของข้อมูลจากแบบจำลองการทดลอง โดยการตรวจสอบประกอบไปด้วยขั้นตอนทั้งหมด 3 ขั้นตอน ดังนี้

##### 2.4.1 การตรวจสอบการแจกแจงแบบปกติของข้อมูล (Normal Distribute)

จากการพิจารณาแผนภาพแสดงการกระจายตัวของค่าส่วนตาก็ค้าง เพื่อตรวจสอบการแจกแจงแบบปกติของข้อมูล พบร่วมค่าส่วนตาก็ค้างมีลักษณะการกระจายตัวตามแนวเส้นตรง และมีค่า P-value เท่ากับ 0.432 ซึ่งมากกว่าค่าระดับนัยสำคัญ จึงสรุปได้ว่ามีการแจกแจงแบบปกติ



บทความวิจัย

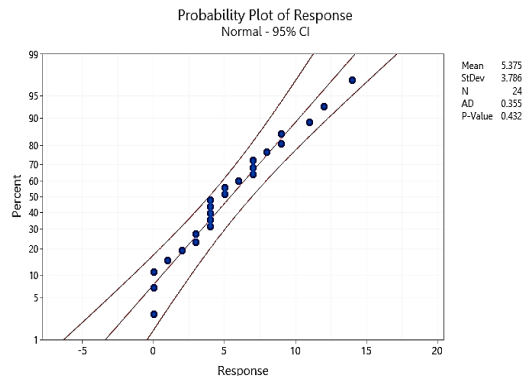
## 2.4.2 การตรวจสอบความเป็นอิสระของข้อมูล (Independently Distributed)

จากการพิจารณาแผนภาพแสดงการกระจายตัวของค่าส่วนตกลักษณะที่เทียบกับลำดับการทดลองเพื่อตรวจสอบความเป็นอิสระของข้อมูล พบว่าค่าส่วนตกลักษณะการกระจายตัวเป็นรูปแบบอิสระแสดงดังรูปที่ 5 เนื่องจากการกระจายตัวไม่มีลักษณะเป็นแนวโน้มหรือมีรูปแบบที่แน่นอน จึงสรุปได้ว่าค่าส่วนตกลักษณะมีความเป็นอิสระต่อ กัน

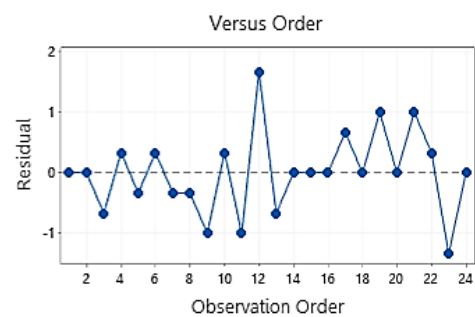
## 2.4.3 การตรวจสอบความมีเสถียรภาพของค่าความแปรปรวน (Constant Variance)

จากการพิจารณาแผนภาพแสดงการกระจายตัวของค่าส่วนตกลักษณะที่เทียบกับค่าของตัวแปรตอบสนองที่ได้จากแบบจำลองการทดลอง (Fitted Value) เนื่องจากกราฟมีลักษณะการเรียงตัวกระฉัดกระเจ่ายอยู่เหนือเส้นกลาง และการกระจายตัวไม่มีลักษณะที่เป็นรูปแบบหรือโครงสร้างใดๆ ที่แน่นอน จึงสรุปได้ว่าส่วนตกลักษณะมีเสถียรภาพของความแปรปรวนอยู่ในเกณฑ์ที่ยอมรับได้แสดงดังรูปที่ 6

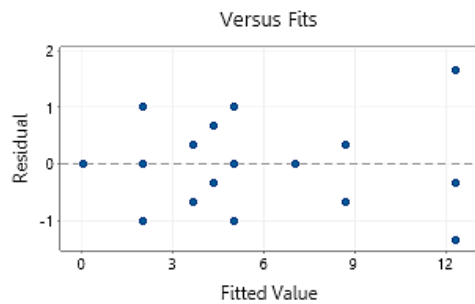
จากการตรวจสอบความถูกต้องของรูปแบบการทดลอง แสดงดังรูปที่ 4, 5 และ 6 พบว่ารูปแบบของค่าส่วนตกลักษณะเป็นไปตามสมมติฐาน 3 ข้อ ได้แก่ ข้อมูลของค่าส่วนตกลักษณะมีการแจกแจงแบบปกติ ค่าส่วนตกลักษณะมีความเป็นอิสระต่อ กัน และค่าความแปรปรวนมีเสถียรภาพ จึงกล่าวได้ว่าข้อมูลที่ได้จากการทดลองมีการกระจายตัวอย่างสม่ำเสมอและมีความเป็นอิสระ สามารถนำข้อมูลนี้ไปทำการวิเคราะห์ความแปรปรวนต่อไปได้



รูปที่ 4 แผนภาพแสดงการแจกแจงแบบปกติของค่าส่วนตกลักษณะ



รูปที่ 5 แผนภาพแสดงการกระจายตัวของค่าส่วนตกลักษณะที่เทียบกับลำดับการทดลอง



รูปที่ 6 แผนภาพการกระจายตัวของค่าส่วนตกลักษณะเทียบกับค่า Fitted Value



บทความวิจัย

## 2.5 การวิเคราะห์ความแปรปรวน (Analysis of Variance: ANOVA)

การวิเคราะห์ความแปรปรวนเพื่อทดสอบสมมติฐานทางสถิติในการทดลองที่มีปัจจัยที่ศึกษา 3 ปัจจัย คือ A, B และ C คือ

การทดสอบสมมติฐานเกี่ยวกับอิทธิพลหลักของปัจจัย A คือ

$$H_0 : \tau_1 = \tau_2 = \dots = \tau_a = 0$$

$$H_1 : \tau_i \neq 0 \text{ อย่างน้อย } 1 \text{ ค่า}$$

การทดสอบสมมติฐานเกี่ยวกับอิทธิพลหลักของปัจจัย B คือ

$$H_0 : \beta_1 = \beta_2 = \dots = \beta_b = 0$$

$$H_1 : \beta_j \neq 0 \text{ อย่างน้อย } 1 \text{ ค่า}$$

การทดสอบสมมติฐานเกี่ยวกับอิทธิพลหลักของปัจจัย C คือ

$$H_0 : \gamma_1 = \gamma_2 = \dots = \gamma_c = 0$$

$$H_1 : \gamma_k \neq 0 \text{ อย่างน้อย } 1 \text{ ค่า}$$

การทดสอบสมมติฐานเกี่ยวกับอิทธิพลร่วมของปัจจัย A และ B คือ

$$H_0 : (\tau\beta)_{ij} = 0; \forall i, j$$

$$H_1 : (\tau\beta)_{ij} \neq 0 \text{ อย่างน้อย } 1 \text{ ค่า}$$

การทดสอบสมมติฐานเกี่ยวกับอิทธิพลร่วมของปัจจัย A และ C คือ

$$H_0 : (\tau\gamma)_{ik} = 0; \forall i, k$$

$$H_1 : (\tau\gamma)_{ik} \neq 0 \text{ อย่างน้อย } 1 \text{ ค่า}$$

การทดสอบสมมติฐานเกี่ยวกับอิทธิพลร่วมของปัจจัย B และ C คือ

$$H_0 : (\beta\gamma)_{jk} = 0; \forall j, k$$

$$H_1 : (\beta\gamma)_{jk} \neq 0 \text{ อย่างน้อย } 1 \text{ ค่า}$$

การทดสอบสมมติฐานเกี่ยวกับอิทธิพลร่วมของปัจจัย A, B และ C คือ

$$H_0 : (\tau\beta\gamma)_{ijk} = 0; \forall i, j, k$$

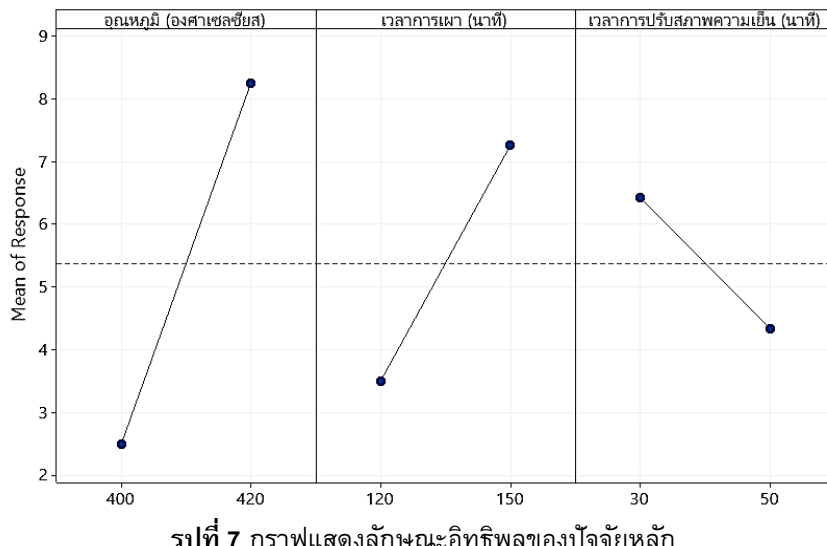
$$H_1 : (\tau\beta\gamma)_{ijk} \neq 0 \text{ อย่างน้อย } 1 \text{ ค่า}$$

จากการทดลองแบบแฟกทอรีอลเต็มรูปแบบ ( $2^k$  Full Factorial Design) แสดงผลการวิเคราะห์ความแปรปรวน แสดงดังตารางที่ 4 พบว่าปัจจัยที่ส่งผลกระทบต่ออยร้าวของหลอดกลั่นในโรงงาน โดยผู้จัดได้ใช้โปรแกรม Minitab Version 19 วิเคราะห์ความแปรปรวน พบว่าปัจจัยหลักที่มีอิทธิพลต่ออยร้าวของหลอดกลั่นในโรงงานอย่างมีนัยสำคัญ (P-value < 0.05) ได้แก่ อุณหภูมิ (องศาเซลเซียล) เวลาการเผา (นาที) และเวลาการปรับสภาพความเย็น (นาที) จากการวิเคราะห์ความแปรปรวนของข้อมูลการทดลองเชิงแฟกทอรีอลเต็มรูปแบบ [9] สามารถแสดงเป็นแผนภาพของอิทธิพลหลัก (Main Effect) จากปัจจัยต่างๆ ที่ส่งผลกระทบต่อผลลัพธ์ที่ทำให้เกิดอยร้าวของหลอดกลั่นในโรงงาน แสดงดังรูปที่ 7

จากรูปที่ 7 เมื่อพิจารณาปัจจัยหลักที่ส่งผลกระทบต่ออยร้าวของหลอดกลั่นในโรงงาน พบว่า (1) อุณหภูมิ มีเส้นกราฟลักษณะชันขึ้น หรือบานได้ว่า เมื่ออุณหภูมิเพิ่มขึ้นส่งผลกระทบต่อการมีอยร้าวของหลอดกลั่นในโรงงานมากขึ้นตามไปด้วย (2) เวลาการเผา มีเส้นกราฟลักษณะชันขึ้น หรือบานได้ว่า เมื่อเวลาการเผาเพิ่มขึ้นส่งผลกระทบต่อการมีอยร้าวของหลอดกลั่นในโรงงานมากขึ้นตามไปด้วย และ (3) เวลาการปรับสภาพความเย็น มีเส้นกราฟลักษณะชันลงหรือบานได้ว่า เมื่อเวลาปรับสภาพความเย็นลดลงส่งผลกระทบต่อการมีอยร้าวของหลอดกลั่นในโรงงานลดลงไปด้วย



Main Effects Plot for Response  
Fitted Means



รูปที่ 7 กราฟแสดงลักษณะอิทธิพลของปัจจัยหลัก

ตารางที่ 4 ผลการวิเคราะห์ความแปรปรวนของข้อมูลการทดลอง

**Factorial Fit: Response versus อุณหภูมิ, เวลาการเผา, เวลาการปรับสภาพความเย็น**

**Estimated Effects and Coefficients for Response (Coded Units)**

Term	Effect	Coef	SE Coef	T	P
อุณหภูมิ (องศาเซลเซียส)	5.750	2.875	0.167	17.25	0.000
เวลาการเผา (นาที)	3.750	1.875	0.167	11.25	0.000
เวลาการปรับสภาพความเย็น (นาที)	-2.083	-1.042	0.167	-6.25	0.000
อุณหภูมิ (องศาเซลเซียส)*เวลาการเผา (นาที)	0.750	0.375	0.167	2.25	0.039
อุณหภูมิ (องศาเซลเซียส)*เวลาการปรับสภาพความเย็น (นาที)	-0.750	-0.375	0.167	-2.25	0.039
เวลาการเผา (นาที)*เวลาการปรับสภาพความเย็น (นาที)	-0.083	-0.042	0.167	-0.25	0.806
อุณหภูมิ (องศาเซลเซียส)*เวลาการเผา (นาที)*เวลาการปรับสภาพความเย็น (นาที)	-0.750	-0.375	0.167	-2.25	0.039
S = 0.81		R-Sq = 96.76%		R-Sq (adj) = 95.35%	

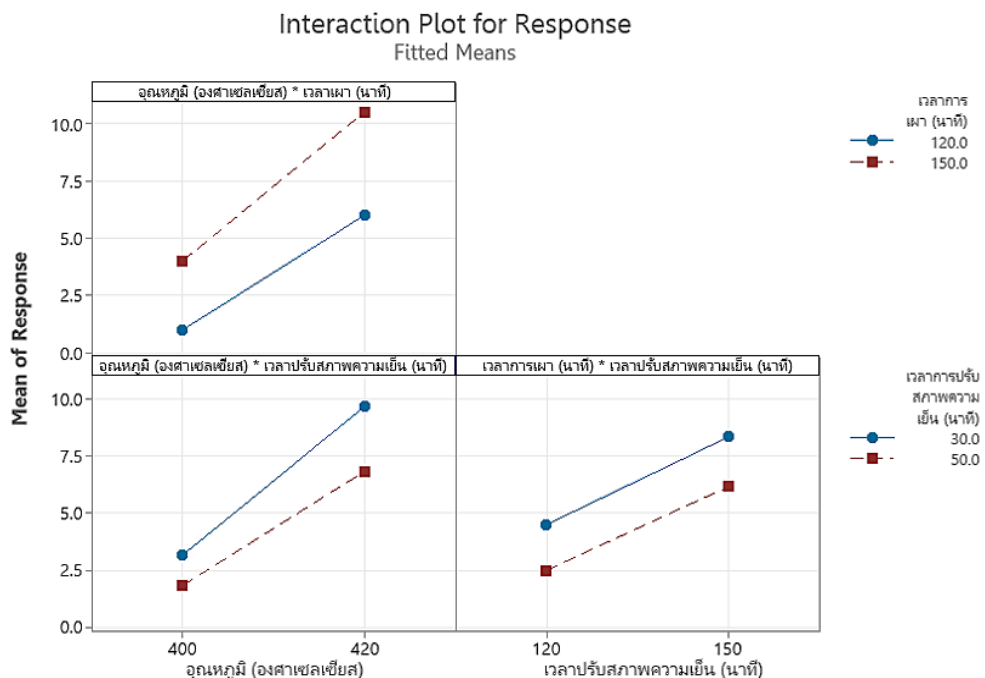


## บทความวิจัย

จากนั้นแสดงแผนภาพอิทธิพลร่วม (Interaction) ระหว่างปัจจัย แสดงดังรูปที่ 8

รูปที่ 8 สามารถอธิบายความสัมพันธ์ของปัจจัยที่มีผลกระทบร่วม 3 ปัจจัย พบร่วมกัน พบว่าปัจจัยอุณหภูมิ กับเวลาการเผา มีผลกระทบร่วมกัน (Interaction) คือมีผลต่อจำนวนรอยร้าวของหลอดกลั่น ในโตรเจนเพิ่มขึ้น สามารถอธิบายได้ว่า อุณหภูมิ กับเวลาการเผาร่วมกัน ทำให้เกิดการเปลี่ยนแปลงคือจำนวนของเสียคือรอยร้าว จากหลอดทดลองเพิ่มมากขึ้น เนื่องจากถ้ามีการปรับตั้ง เครื่องย่อยในโตรเจน (Block Digestion Unit (Nitrogen)) ที่ค่าอุณหภูมิต่ำ และเวลาการเผาต่ำ จะ ส่งผลให้จำนวนของเสียรอยร้าวของหลอดกลั่นอยู่ในระดับต่ำ และถ้าปรับตั้งเครื่องย่อยในโตรเจนที่ค่า

อุณหภูมิสูง และเวลาการเผาสูง จะส่งผลให้จำนวนของเสียรอยร้าวของหลอดกลั่นอยู่ในระดับสูง ในทำนองเดียวกับปัจจัยอุณหภูมิ กับเวลาปรับสภาพความเย็นมีผลกระทบร่วมกัน (Interaction) คือถ้ามีการปรับตั้ง เครื่องย่อยในโตรเจนที่ค่าอุณหภูมิต่ำ และเวลาการปรับสภาพความเย็นสูง จะส่งผลให้จำนวนของเสียรอยร้าวของหลอดกลั่นอยู่ในระดับต่ำ และถ้าการปรับตั้งเครื่องย่อยในโตรเจนที่ค่าอุณหภูมิสูง และเวลาการปรับสภาพความเย็นต่ำ จะส่งผลให้จำนวนของเสียรอยร้าวของหลอดกลั่นอยู่ในระดับสูง ส่วนปัจจัยเวลาการเผา และเวลาปรับสภาพความเย็น ไม่มีผลกระทบร่วมกัน ส่วนทั้ง 3 ปัจจัย คือ อุณหภูมิ เวลาการเผา และเวลาปรับสภาพความเย็นก็ไม่มีผลกระทบร่วมกัน



รูปที่ 8 กราฟแสดงลักษณะอิทธิพลของปัจจัยที่มีผลกระทบร่วม



### 3. ผลการวิจัย

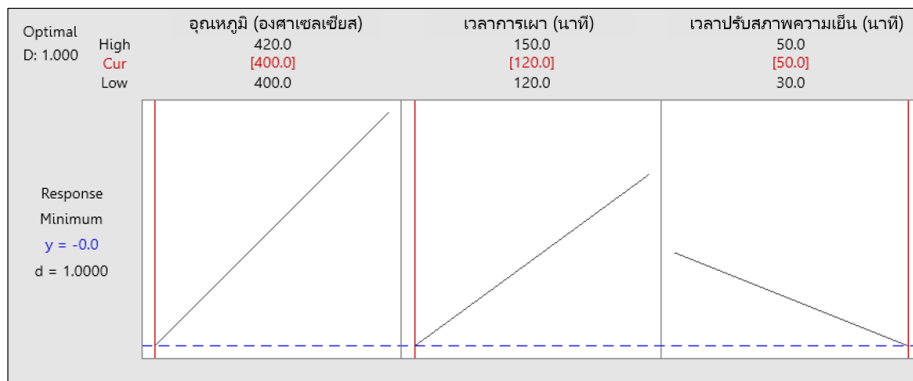
จากการศึกษาการลดของเสียหลอดกลั่นในไตรเจนที่เกิดขึ้นจากการทดสอบหาปริมาณไนโตรเจน (Nitrogen) และโปรตีนหยาบ (Crude Protein) ในห้องปฏิบัติการ โดยศึกษากระบวนการหาปัจจัยและระดับปัจจัย ที่เหมาะสมที่ทำให้เกิดของเสียร้อยร้าว โดยการใช้หลักการออกแบบการทดลอง (Design of Experiment: DOE) เข้ามาประยุกต์เพื่อเพิ่มประสิทธิภาพในการควบคุมการทดลองในห้องปฏิบัติการและลดจำนวนของเสียที่เกิดขึ้น พบว่า อุณหภูมิ เวลาการเผา และระยะเวลาการปรับสภาพความเย็น มีค่า P-value < 0.05 จึงส่งผลกระทบต่อการเกิดรอยร้าวของหลอดกลั่นในไตรเจนอย่างมีนัยสำคัญ และจากผลการทดลองการหาค่าที่เหมาะสมที่สุดของปัจจัย โดยใช้พังก์ชัน Response Optimization [10] ซึ่งเป็นพังก์ชันที่ใช้หาค่าที่เหมาะสมที่สุดของแต่ละปัจจัย และค่าวัดความพึงพอใจโดยรวมรวมผลตอบสนอง (Composite Desirability :D) จะมีค่าอยู่ระหว่าง 0-1 ซึ่งหมายถึงถ้าค่า D ที่ได้มีค่าเท่ากับ 1 หมายถึงว่า ผลตอบสนอง

ได้รับความพึงพอใจอย่างสมบูรณ์ [11] ผลจากการทดลองด้วยโปรแกรม Minitab Version 19 แสดงดังรูปที่ 9 และตารางที่ 5 ให้ค่าที่เหมาะสมในการปรับตั้งค่าเครื่องย่อยในไตรเจนให้มีประสิทธิภาพสูงสุด โดยเมื่อทำการตั้งค่าอุณหภูมิ 400 องศาเซลเซียล ระยะเวลาการเผา 120 นาที และระยะเวลาการปรับสภาพความเย็น 50 นาที ส่งผลให้ไม่เกิดของเสียที่เกิดจากการอยร้าวของหลอดทดลองขึ้นเลย

ตารางที่ 5 ค่าที่เหมาะสมที่สุดของแต่ละปัจจัยและระดับปัจจัยที่เหมาะสม

#### Response Optimization

Parameters						
Response	Goal	Lower	Target	Upper	Weight	Import
	Minimize		0	14	1	1
Global Solution						
อุณหภูมิ (องศาเซลเซียส) = 400						
เวลาการเผา (นาที) = 120						
ระยะเวลาการปรับสภาพความเย็น (นาที) = 50						
Predicted Response						
Response = 0.00000, Desirability = 1.00000						
Composite Desirability = 1.00000						



รูปที่ 9 ค่าที่เหมาะสมในการปรับตั้งเครื่องย่อยในไตรเจน



## บทความวิจัย

จากตารางที่ 5 ค่าที่เหมาะสมที่สุดของแต่ละปัจจัยที่ได้รับความพึงพอใจอย่างสมบูรณ์ จากผลการทดลองการวิเคราะห์หาปัจจัยและระดับปัจจัยที่เหมาะสมในการปรับตั้งค่าเครื่องย่อยในไตรเจนเพื่อลดของเสียหลอดกลั่นในไตรเจนที่เกิดรอยร้าวจากการทดสอบหาปริมาณในไตรเจน (Nitrogen) และโปรตีน หยาบ (Crude Protein) ในห้องปฏิบัติการ โรงงานกรณีศึกษา โดยใช้เทคนิคการออกแบบการทดลองเชิงแฟกเตอร์เรียงแบบสองระดับ ( $2^k$  Full Factorial Design) ซึ่งสามารถสรุปได้แสดงดังตารางที่ 6

จากตารางที่ 6 ผลการทดลองการวิเคราะห์หาปัจจัยและระดับปัจจัยที่เหมาะสม และเพื่อเป็นการยืนยันผลการวิจัยว่าสามารถลดของเสียหลอดกลั่นในไตรเจนที่เกิดรอยร้าวจากการทดสอบหาปริมาณในไตรเจน (Nitrogen) และโปรตีนหยาบ (Crude Protein) ในห้องปฏิบัติการโรงงานกรณีศึกษา ผู้วิจัยจึงทำการทดสอบและกำหนดค่าตามปัจจัยและระดับปัจจัยที่เหมาะสม (ค่าอุณหภูมิ 400 องศาเซลเซียล ระยะเวลาการเผา 120 นาที และระยะเวลาการปรับสภาพความเย็น 50 นาที) ในกระบวนการทดสอบหาปริมาณในไตรเจน (Nitrogen) และโปรตีนหยาบ (Crude Protein) ในห้องปฏิบัติการ โรงงานกรณีศึกษา ระหว่างเดือนมกราคม – เดือนมีนาคม 2567 แสดงดังรูปที่ 10

จากนั้น นำข้อมูลจำนวนของเสียมาทำการเปรียบเทียบผลก่อนปรับปรุงและหลังการปรับปรุง [12] แสดงดังตารางที่ 7 ผลการเปรียบเทียบก่อนการปรับปรุงและหลังการปรับปรุง แสดงดังตารางที่ 8

**ตารางที่ 6** ผลการทดลองการวิเคราะห์หาปัจจัยและระดับปัจจัยที่เหมาะสม

ปัจจัย	ก่อนปรับปรุง	หลังปรับปรุง
อุณหภูมิ (องศาเซลเซียล)	420	400
เวลาการเผา (นาที)	150	120
ระยะเวลาการปรับสภาพความเย็น (นาที)	30	50

**ตารางที่ 7** ข้อมูลของเสียหลังการปรับปรุง ระหว่างเดือนมกราคม – เดือนมีนาคม 2567

สาเหตุ	จำนวนของเสียจากกระบวนการทดลอง			
	ห้องปฏิบัติการ			
ของเสีย	ม.ค.	ก.พ.	มี.ค.	รวม
รอยร้าว	2	3	2	7

**ตารางที่ 8** ผลการเปรียบเทียบของเสียก่อนและหลังการปรับปรุง

ประเภทของเสีย	จำนวนของเสีย (หลอด)	
	ก่อนการปรับปรุง	หลังการปรับปรุง
รอยร้าว	359	7



**รูปที่ 10** ปรับตั้งค่าปัจจัยและระดับปัจจัยที่เหมาะสมของเครื่องย่อยในไตรเจน



จากตารางที่ 8 พบร่วมกับการปรับปรุงมีจำนวนของเสียงที่เกิดรอยร้าว 359 หลอด และหลังการปรับปรุงมีจำนวนของเสียงที่เกิดรอยร้าวลดลงเหลือ 7 หลอด ทำให้ของเสียงลดลงจากเดิมคิดเป็นร้อยละ 98.05 และเมื่อนำมาเปรียบเทียบค่าใช้จ่ายที่เกิดขึ้น พบร่วมกับจำนวนของเสียงก่อนการปรับปรุง 359 หลอด คิดเป็นเงิน 502,600 บาท ซึ่งต้นทุนต่อชิ้น ซึ่งละ 1,400 บาท และหลังการปรับปรุง ลดลงเหลือ 7 ชิ้น คิดเป็นเงิน 9,800 บาท ดังนั้นสามารถลดค่าใช้จ่ายลง 492,800 บาท แสดงดังรูปที่ 11

#### 4. สรุปผล

จากการศึกษากระบวนการทดสอบหาปริมาณในโตรเจน และโปรดีนหมายในห้องปฏิบัติการโรงงานกรณีศึกษา โดยพบว่าก่อนการปรับปรุงมีจำนวนของเสียงประเภทรอยร้าวของหลอดทดลองที่ใช้ในการทดสอบมีปริมาณ 359 หลอด หลังจากนั้นนำหลักการออกแบบการทดลองเชิงแฟคทอร์เรียลเต็มรูปแบบ ( $2^k$  Full Factorial Design) มาประยุกต์ใช้ในการปรับปรุง โดยพบว่าปัจจัยที่มีนัยสำคัญต่อการเกิดรอยร้าวของหลอดทดลองในห้องปฏิบัติการจากการทดสอบหาปริมาณในโตรเจน และโปรดีน ที่ระดับความเชื่อมั่นทางสถิติ 95% ได้แก่ (1) อุณหภูมิ (องศาเซลเซียล) (2) เวลาการเผา และ (3) เวลาปรับสภาพความเย็น จากนั้นทำการกำหนดระดับของปัจจัยในกระบวนการทดสอบจริง คือ อุณหภูมิ 400 องศาเซลเซียล เวลาการเผา 120 นาที และเวลาปรับสภาพความเย็น 50 นาที ส่งผลให้ปริมาณรอยร้าวที่เกิดขึ้นของหลอดทดลองก่อนการปรับปรุงมีจำนวน 359 หลอด หลังการปรับปรุงลดลงเหลือ 7 หลอด ซึ้ง คิดเป็นร้อยละ 98.05



รูปที่ 11 ผลการเปรียบเทียบจำนวนของเสียงจากสาเหตุรอยร้าวก่อนและหลังการปรับปรุง

#### 5. ข้อเสนอแนะ

- นำสถิติทางวิศวกรรมมาประยุกต์ในการออกแบบการทดลองให้เหมาะสมเพื่อให้ผลลัพธ์ที่ได้มีความสอดคล้องกับปัญหาที่เกิดขึ้น
- นำหลอดกลั่นในโตรเจนชนิดอื่นมาทำการทดสอบเพื่อเปรียบเทียบว่ามีการเกิดรอยร้าวหรือไม่เพื่อเป็นแนวทางการเลือกใช้และการลดค่าใช้จ่ายที่เกิดขึ้นจากการทดสอบ
- เพิ่มระดับของปัจจัย (ค่ากลาง) ในกระบวนการทดสอบเพื่อได้ผลการทดลองที่มีความเหมาะสมมากยิ่งขึ้น

#### 6. เอกสารอ้างอิง

- [1] Y. Cheewaworanontree, P. Rontlaong, K. Thongsin and T. Teekasap, Reducing waste in the clutch assembly pumping process case study: Automotive air compressor factory, The Journal of Industrial Technology, Suan Sunandha Rajabhat University, 2023, 11(2), 27-38. (in Thai)



## บทความวิจัย

- [2] T. Thepchu, S. Rakkran, P. Sriwichian and J. Plongmai, Defect reduction in process for shampoo a design of engineering, Journal of Science and Technology, Sukhothai Thammathirat Open University, 2022, 2(1), 47-55. (in Thai)
- [3] T. Sunarak, Defect reduction in the welding process of motorcycle STAY R-L Parts, The Journal of Industrial Technology, Suan Sunandha Rajabhat University, 2018, 6(1), 6-15. (in Thai)
- [4] S. Suwanauksorn and C. Pornsing, A Study of factors for chemical cost reduction in the brake pad manufacturing process, The Journal of Industrial Technology, 2021, 17(1), 31-52. (in Thai)
- [5] Y. Jantana and N. Rattanawai, Optimizing factors for lemongrass slicer using design of experiment, Science and Technology Nakhon Sawan Rajabhat University Journal, 2022, 14(19), 83-95. (in Thai)
- [6] K. Noirach and P. Chutima, Defective reduction from welding splash in motorcycle battery production process, Research and Development Journal, 2014, 25(3), 55-61. (in Thai)
- [7] P. Siri-O-Ran and J. Pummak, Weight loss reduction in pineapple pie production process, Thai Industrial Engineering Network Journal, 2022, 6(1), 48-53. (in Thai)
- [8] D.C. Montgomery, Introduction to statistical quality control, 4th Edition, John Wiley and Sons, Inc., NJ, USA, 2002.
- [9] B. Sao-siw and N. Sokul, Reducing defects in packaging by applying experimental results: A case study of a snack company, Industrial Technology Lampang Rajabhat University Journal, 2016, 9(2), 30-44. (in Thai)
- [10] H. Su, H.M. Yao, H. Zeng, The optimization research of the multi-response problems based on the SUR. Pakistan Journal of Pharmaceutical Sciences, 2015, 28(2 Supplement), 731-737.
- [11] A. Leenatham and P. Khemavuk, Process improvement of PTCA guide wire by using design of experiment, Srinakharinwirot University Engineering Journal, 2019, 14(2), 12-24. (in Thai)
- [12] P. Parakawong Na Ayuthaya, A design of experiment to waste reduction injection process of electronic parts, Thesis, Silpakorn University, Thailand, 2018. (in Thai)



บทความวิจัย

สารสารวิชาการเทคโนโลยีอุตสาหกรรม (The Journal of Industrial Technology)

ISSN (online): 2697-5548

DOI: 10.14416/j.ind.tech.2025.08.012

## ประเภทเส้นใยพลาสติกต่อสมบัติเชิงกลของชิ้นส่วนขึ้นรูปด้วยเครื่องพิมพ์ 3 มิติ

ธเนศ รัตนาวีไล<sup>\*</sup> พرنภา นุตบุตร อาริยา พรหมใหม่ และ นพณัฐ ชาตุรันต์ลักษณ์

สาขาวิชาศึกษาอุตสาหการและการผลิต, คณะศึกษาศาสตร์, มหาวิทยาลัยสงขลานครินทร์

\* ผู้ประสานงานเผยแพร่ (Corresponding Author), E-mail: thanate.r@psu.ac.th

วันที่รับบทความ: 28 มกราคม 2568; วันที่ทบทวนบทความ: 4 กรกฎาคม 2568; วันที่ตอบรับบทความ: 21 กรกฎาคม 2568

วันที่เผยแพร่อนline: 20 สิงหาคม 2568

**บทคัดย่อ:** กระบวนการผลิตชิ้นส่วนในอุตสาหกรรมได้มีการพัฒนาอย่างต่อเนื่อง การขึ้นรูปชิ้นงานด้วยเครื่องพิมพ์สามมิติเป็นหนึ่งในกระบวนการผลิตที่ได้รับความนิยมเป็นอย่างมากในปัจจุบัน งานวิจัยนี้จึงมีวัตถุประสงค์เพื่อศึกษาปัจจัยที่ส่งผลต่อสมบัติเชิงกลของชิ้นงานที่ขึ้นรูปด้วยเครื่องพิมพ์สามมิติ ได้แก่ ประเภทของพลาสติก ABS, PLA และ PETG ความเร็วในการพิมพ์ ความหนาแน่นของการเติมชิ้นงาน ความหนาของผนังชิ้นงาน และความสูงของแต่ละชั้น ผลการทดสอบและเปรียบเทียบสมบัติเชิงกลของชิ้นงานที่ขึ้นรูปด้วยเครื่องพิมพ์สามมิติ พบร่วมปัจจัยที่ส่งผลต่อสมบัติเชิงกลของชิ้นงานทดสอบ ได้แก่ ประเภทของพลาสติก ความหนาของผนังชิ้นงาน ความสูงของแต่ละชั้น ความเร็วในการพิมพ์ และความหนาแน่นของการเติมชิ้นงาน ตามลำดับ โดยปัจจัยทั้งหมดมีแนวโน้มเพิ่มขึ้นส่งผลต่อค่าความแข็งแรงที่เพิ่มมากขึ้น นอกจากนี้ผลการทดสอบสมบัติเชิงกลแสดงปัจจัยในการพิมพ์ที่ให้ความแข็งแรงแก่ชิ้นงานมากที่สุดในพลาสติกทุกกลุ่มที่มีความหนาของผนังจำนวน 3 ชั้น ความเร็วในการพิมพ์ 30 มิลลิเมตรต่อวินาที ที่มีความหนาแน่นของการเติมชิ้นงาน 20% และความสูงแต่ละชั้นที่ 0.3 มิลลิเมตร ขณะที่พลาสติกที่ให้ความแข็งแรงมากที่สุดในงานวิจัยนี้ คือ PLA ซึ่งมีความแข็งแรงอัด แรงดึง และแรงดัดที่ 25.29, 20.84 และ 63.44 MPa ตามลำดับ

**คำสำคัญ:** เส้นพลาสติก; เครื่องพิมพ์ 3 มิติ; พารามิเตอร์กระบวนการพิมพ์; สมบัติเชิงกล; การวิเคราะห์เชิงสถิติ



## Effect of Plastic Filament Type on Mechanical Properties of 3D-printed Parts

Thanate Ratanawilai\*, Pornnapa Nuttabut, Arisa Prommai, and Noppanat Jaturonlux

Department of Industrial and Manufacturing Engineering, Faculty of Engineering, Prince of Songkla University

\* Corresponding author, E-mail: thanate.r@psu.ac.th

Received: 28 January 2025; Revised 4 July 2025; Accepted: 21 July 2025

Online Published: 20 August 2025

**Abstract:** The manufacturing process has been continuously improved in the industry. The 3D-printer has become one of the most widely used new techniques for manufacturing. This study aims to investigate how the mechanical characteristics of the test samples are affected by the 3D-printing parameters. Types of plastic (ABS, PLA, PETG), printing speed, infill density, shell thickness, and layer height are all printing parameters. In the test findings, the mechanical characteristics of samples made using 3D-printers are compared. It was found that the printing parameters, which are plastic type, shell thickness, layer height, printing speed, and Infill density, respectively had a significant effect on the mechanical properties. The mechanical strength increases when the printing parameters are increased. Furthermore, the findings indicate that the shell thickness 3 layers, printing speed 30 mm/s, Infill density 20%, and layer height 0.3 mm are the printing parameters that provide the best mechanical qualities for all kinds of plastics. PLA is the plastic that exhibits the best mechanical qualities in this study which the compressive, tensile, and bending strengths are 25.29, 20.84, and 63.44 MPa, respectively.

**Keywords:** Plastics filament; 3D-printer; Printing process parameters; Mechanical properties; Statistical analysis



## 1. บทนำ

พลาสติกเป็นวัสดุที่ใช้ในการขึ้นรูปผลิตภัณฑ์ที่พบเห็นได้ทั่วไปในชีวิตประจำวัน นับว่ามีความสำคัญอย่างมากในการผลิตสินค้าต่าง ๆ โดยกระบวนการขึ้นรูปผลิตภัณฑ์จากพลาสติก สามารถทำได้หลากหลายวิธี ตามลักษณะของชิ้นงาน เช่น การอัดร้อนขึ้นรูป การอัดรีดขึ้นรูปชิ้นงาน หรือการอัดฉีดขึ้นรูปชิ้นงาน [1,2] อย่างไรก็ตาม กระบวนการผลิตเหล่านี้ยังมีข้อจำกัด หลายประการ เช่น เครื่องจักรและอุปกรณ์ที่มีราคาแพง และค่าใช้จ่ายที่ใช้ในการผลิต มีราคาสูง การเปลี่ยนแปลงรูปแบบผลิตภัณฑ์จะส่งผลให้ต้นทุนการผลิตเพิ่มสูงขึ้นทั้งในส่วนของเครื่องจักร เครื่องมือ หรือแรงงาน ปัจจุบันกระบวนการผลิตผลิตภัณฑ์จากพลาสติกได้ถูกพัฒนาอย่างต่อเนื่อง โดยหนึ่งในกระบวนการผลิตที่ได้รับความนิยมมากในปัจจุบัน คือ การผลิตแบบเพิ่มเนื้อ (Additive Manufacturing)

เครื่องพิมพ์สามมิติ (3D-printer) เป็นหนึ่งในเครื่องจักรที่มีการใช้เทคนิคกระบวนการผลิตแบบเพิ่มเนื้อวัสดุ โดยทำการฉีดเนื้อพลาสติกเป็นลำดับชั้น ขึ้นทับกันจนออกมารูปเป็นชิ้นงานตามรูปแบบที่ได้ออกแบบไว้ โดยอาศัยการควบคุมการผลิตผ่านระบบแบบดิจิตอล [3] สามารถนำไปประยุกต์ใช้ได้ในหลากหลายอุตสาหกรรม เช่น อุตสาหกรรมชิ้นส่วนยานยนต์ ชิ้นส่วนวัสดุการบิน อาวุโส ชิ้นส่วนวัสดุอิเล็กทรอนิกส์และอุตสาหกรรมอื่น ๆ [4,5] เป็นต้น ชิ้นงานที่ผลิตจากเครื่องพิมพ์สามมิติเหมาะสมกับการสร้างชิ้นงานตันแบบก่อนทำการผลิตจริง เนื่องจากมีขั้นตอนการผลิตที่ไม่ซับซ้อน ตันทุนต่ำ สามารถเพิ่มความซับซ้อนของโครงสร้างให้ได้ชิ้นงานที่เหมาะสมกับการใช้งาน และสามารถเปลี่ยนแปลงรูปแบบได้ง่าย วัสดุที่ใช้

ในการขึ้นรูปอาจแตกต่างกัน เช่น พลาสติก ผงฟูหรือชีเมนต์ โดยยังคงใช้หลักการขึ้นรูปชิ้นงาน 3 มิติที่อาศัยหลักการสร้างชิ้นงานเป็นชั้น ๆ เช่นเดียวกัน [6]

ระบบการทำงานของเครื่องพิมพ์สามมิติมีหลายระบบ แต่ที่พบแพร่หลาย ได้แก่ ระบบ Fused Deposition Modeling (FDM) หรือ Fused Filament Fabrication (FFF) [7] เครื่องพิมพ์สามมิติระบบ FFF เป็นเครื่องจักรที่ผลิตชิ้นงานจากวัสดุเส้นพลาสติก (Filament) ซึ่งมีหลากหลายประเภท ทั้งที่มีความแข็งแรงสูง เนื่นี่ยวน้ำไฟฟ้าได้ หรืออาจยืดหยุ่นเมื่ออย่าง ขึ้นกับความต้องการของผู้ใช้งาน เส้นพลาสติกที่มีการนำมาใช้งานกับเครื่องพิมพ์สามมิติระบบ FFF มากที่สุดมี 3 ประเภท ได้แก่ พลาสติกอะคริโลนไตรีล (Acrylonitrile Butadiene Styrene; ABS) พลาสติกโพลีแลคติกแอซิด (Polylactic Acid; PLA) และพลาสติกโพลิเอทิลีนเทเรฟทาเลตไกลคอล (Polyethylene Terephthalate glycol; PETG) นอกจากพลาสติกทั้ง 3 ชนิดแล้ว เครื่องพิมพ์สามมิติระบบ FFF ยังสามารถใช้งานกับพลาสติกกลุ่มเทอร์โมพลาสติก เช่น พอลิเอเธอร์อีเทอร์คิโตน (Polyether Ether ketone; PEEK) พอลิโพรไพลีน (Polypropylene; PP) เป็นต้น [8,9]

นอกจากประเภทของพลาสติกที่เป็นปัจจัยหลักที่ส่งผลต่อสมบัติของชิ้นงานแล้ว ปัจจัยการผลิต เช่น ความเร็วในการพิมพ์ชิ้นงาน (Printing Speed) ความหนาของผังชิ้นงาน (Shell Thickness) ความหนาแน่นของการเติมชิ้นงาน (Infill Density) หรือความสูงของแต่ละชั้น (Layer Height) ก็เป็นอีกส่วนสำคัญที่ส่งผลต่อสมบัติ และคุณภาพของชิ้นงาน เช่น ความหนาของชั้นที่ 0.2 มิลลิเมตรและเท่ากับความหนาของชิ้นงาน 0.2 มิลลิเมตรและเท่ากับความหนาของชิ้นงาน



## บทความวิจัย

มีส่วนช่วยให้ความแข็งแรงดีงที่เพิ่มมากขึ้น [10] เช่นเดียวกันกับการเพิ่มปริมาณความหนาแน่นของการเติมชิ้นงาน มีส่วนช่วยให้ชิ้นงานรับแรงดีงได้ดีมากยิ่งขึ้น และลักษณะโครงสร้างภายในมีความสามารถรับแรงดีงได้ใกล้เคียงกัน [11] ทั้งในด้านของวัสดุผสมที่มีการเพิ่มเส้นใยเสริมแรง ปัจจัยด้านความเร็วในการพิมพ์ชิ้นงานยังคงส่งผลเช่นเดียวกัน กับวัสดุพลาสติก [12] นอกจากปัจจัยการพิมพ์ที่ส่งผลต่อสมบัติวัสดุ ปัจจัยการพิมพ์ยังคงส่งผลต่อคุณภาพของชิ้นงาน เช่น ความสูงของแต่ละชั้นช่วยให้ผนังชิ้นงานมีความเรียบมากยิ่งขึ้น (Surface and Roughness) การเปลี่ยนขนาดหัวน้ำดี (Nozzle) ให้เล็กลงสามารถเพิ่มความซับซ้อนโครงสร้างทั้งภายในและภายนอกของชิ้นงานได้ [13]

จากการบททวนวรรณกรรมที่ผ่านมาพบว่างานวิจัยส่วนใหญ่เป็นการศึกษาปัจจัยเดียวของการพิมพ์ชิ้นรูปที่ส่งผลต่อการผลิตชิ้นงาน แต่ยังขาดการศึกษาปัจจัยร่วม (Two-way Interaction) ที่มีผลกระทบต่อสมบัติของชิ้นงาน ดังนั้นงานวิจัยนี้มีวัตถุประสงค์หลักในการศึกษาปัจจัยการพิมพ์ชิ้นงานด้วยการทดลองเชิงแฟกторเรียลแบบ 2 ระดับ ( $2^k$ ) ผ่านการวิเคราะห์ข้อมูลด้านความสัมพันธ์เชิงเส้นและปฏิสัมพันธ์สองทางที่ส่งผลต่อสมบัติเชิงกลของชิ้นงาน โดยมีปัจจัยในการศึกษา ได้แก่ ความเร็วในการพิมพ์ชิ้นงาน (30, 90 มิลลิเมตรต่อวินาที) ความหนาของผนังชิ้นงาน (1, 3 ชั้น) ความหนาแน่นของการเติมชิ้นงาน (10, 20 %) และความสูงของแต่ละชั้น (0.1, 0.3 มิลลิเมตร) นอกจากนี้ยังเลือกใช้วัสดุสำหรับการพิมพ์ชิ้นรูปชิ้นงานที่แตกต่างกัน 3 ชนิด ได้แก่ เส้นพลาสติก (Filament) ABS, PLA และ PETG โดยใช้การทดสอบสมบัติทางกล

ของชิ้นงานในการเปรียบเทียบชิ้นงาน ได้แก่ การทดสอบแรงอัด การทดสอบแรงดึงและการทดสอบแรงดักในการวัดผล โดยผลการศึกษาทั้ง 5 ปัจจัย จะเป็นแนวทางที่จะสามารถระบุปัจจัยหลักของการพิมพ์ที่มีต่อสมบัติของชิ้นงานได้อย่างชัดเจนและเหมาะสมได้มากยิ่งขึ้น

## 2. วิธีดำเนินงานวิจัย

ในการศึกษาการขึ้นรูปด้วยเครื่องพิมพ์ 3 มิติได้พิจารณาเลือกปัจจัยในการพิมพ์ชิ้นงานด้วยพลาสติก 3 ชนิด ได้แก่ ABS PLA และ PETG ขนาดเส้นผ่าศูนย์กลาง 1.75 มิลลิเมตร ดังแสดงในรูปที่ 1 จัดซื้อจากบริษัทพาสต์โทเนอร์ จำกัด (กรุงเทพมหานคร) ทำการออกแบบการทดลองเชิงแฟกทอเรียลแบบ 2 ระดับ ( $2^k$ ) โดยมีชุดปัจจัยการพิมพ์ชิ้นงาน 4 ปัจจัย ได้แก่ ความหนาของผนังชิ้นงาน ความเร็วในการพิมพ์ชิ้นงาน ความหนาแน่นของการเติมชิ้นงาน และความสูงของแต่ละชั้น แต่ละปัจจัยมี 3 ระดับดังแสดงในตารางที่ 1 โดยออกแบบการทดลองแต่ละชุดปัจจัยการพิมพ์ชิ้นงานดังตารางที่ 2 เพื่อขึ้นรูปด้วยเครื่องพิมพ์สามมิติ รุ่น FLASHFORGE FINDER 3.0 (รูปที่ 2) มีปัจจัยควบคุมการตั้งค่าเครื่องพิมพ์ นอกเหนือจากปัจจัยที่ได้ศึกษา ได้แก่ หัวน้ำดีขนาด 0.4 มิลลิเมตร อุณหภูมิหัวฉีด 245, 195 และ 225 องศาเซลเซียส อุณหภูมิฐานรอง 110, 60 และ 80 องศาเซลเซียส สำหรับพลาสติก ABS PLA และ PETG ตามลำดับ ทำการฉีดขึ้นรูปชิ้นงานและทดสอบสมบัติเชิงกลด้วยเครื่องทดสอบอเนกประสงค์ (Instron universal testing machine 5582) ได้แก่ ความแข็งแรงอัด ความแข็งแรงดึงและความแข็งแรงดัก



บทความวิจัย

ตารางที่ 1 ปัจจัยและระดับที่ใช้ในการทดลอง

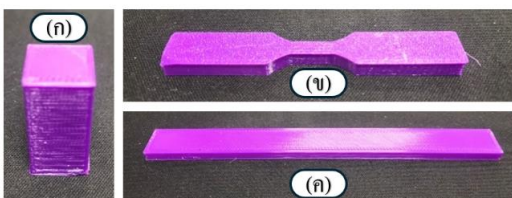
Factors	Level		
	Low	Medium	High
Printing speed (mm/s)	30	60	90
Shell thickness (line)	1	2	3
Infill density (%)	10	15	20
Layer height (mm)	0.1	0.2	0.3



รูปที่ 1 พลาสติก (Filament) 3 ประเภท



รูปที่ 2 เครื่องพิมพ์สามมิติ รุ่น FLASHFORGE FINDER 3.0



รูปที่ 3 ชิ้นงานทดสอบแรง (ก) อัด (ข) ดึง (ค) ดัด

ตารางที่ 2 การทดลองเชิงแฟคทอรีเรย์ลแบบ 2 ระดับ ( $2^k$ )

Formulation	Shell	Printing	Infill	Layer
	Thickness	Speed	Density	Height
Setting 1	1	30	10	0.1
Setting 2	1	30	10	0.3
Setting 3	1	30	20	0.1
Setting 4	1	30	20	0.3
Setting 5	1	90	10	0.1
Setting 6	1	90	10	0.3
Setting 7	1	90	20	0.1
Setting 8	1	90	20	0.3
Setting 9	2	60	15	0.2
Setting 10	3	30	10	0.1
Setting 11	3	30	10	0.3
Setting 12	3	30	20	0.1
Setting 13	3	30	20	0.3
Setting 14	3	90	10	0.1
Setting 15	3	90	10	0.3
Setting 16	3	90	20	0.1
Setting 17	3	90	20	0.3

โดยทำการทดสอบ 3 ชั้นในแต่ละการทดสอบตาม มาตรฐานการทดสอบความแข็งแรงอัตรา ASTM D695-15 ด้วยชิ้นงานปริซึมขนาด  $12.7 \times 25.4 \times 12.7$  มิลลิเมตร (กว้าง×ยาว×สูง) ดังแสดงในรูปที่ 3(ก) ใช้ความเร็วในการอัด 5 มิลลิเมตรต่อนาที [14] การทดสอบแรงดึงตาม มาตรฐาน ASTM D638 ด้วยชิ้นงานประเภท Type V ขนาด  $9.53 \times 63.5 \times 4$  มิลลิเมตร ดังแสดงในรูปที่ 3(ข) ใช้ ความเร็วในการดึง 5 มิลลิเมตรต่อนาที [15] และการ ทดสอบแรงดัดด้วยแบบ 3 จุด ตามมาตรฐาน ASTM D790 โดยมีชิ้นงานขนาด  $12.7 \times 12.7 \times 4$  มิลลิเมตร ดังแสดงในรูปที่ 3(ค) ทำการกดอัดด้วยความเร็ว 10 มิลลิเมตรต่อนาที [16]



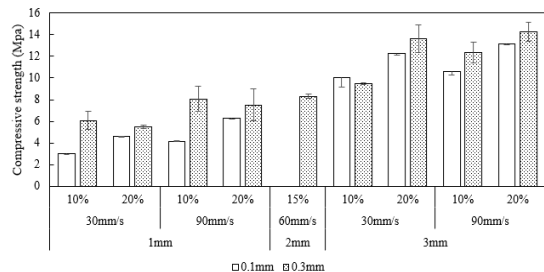
บทความวิจัย

### 3. ผลการวิจัยและอภิปราย

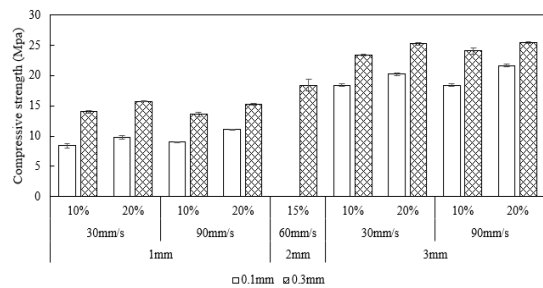
#### 3.1 ผลการทดสอบความแข็งแรงอัดของชิ้นทดสอบ

ผลการทดสอบความแข็งแรงอัดของชิ้นทดสอบจากพลาสติก ABS PLA และ PETG ที่มีการตั้งค่าปัจจัยการพิมพ์ชิ้นงานทั้ง 17 ชุด ดังแสดงในรูปที่ 4-6 และตารางที่ 3-4 พบว่าความแข็งแรงอัดของพลาสติก ABS อยู่ในช่วง 2.99-14.24 MPa พลาสติก PLA อยู่ในช่วง 8.40-25.51 MPa และพลาสติก PETG อยู่ในช่วง 3.34-14.65 MPa โดยที่พลาสติก PLA ให้ค่าความแข็งแรงอัดสูงสุดในบรรดาพลาสติกทั้งสามชนิด ที่ใช้ในการทดสอบ ผลการทดสอบของค่าความแข็งแรงอัดทำให้เห็นแนวโน้มจากปัจจัยในการพิมพ์ชิ้นงาน โดยค่าเฉลี่ยความแข็งแรงอัดแสดงให้เห็นจำนวนความหนาของผังนังชิ้นงานเพิ่มขึ้น ส่งผลให้ค่าความแข็งแรงอัดเพิ่มมากขึ้นตามไปด้วย เนื่องจากปริมาณของเนื้อวัสดุที่ผิวชิ้นงานที่สัมผัสต่อแรงที่กระทำต่อชิ้นงานเพิ่มมากขึ้นทำให้เนื้อวัสดุมีเนื้อชิ้นงานและปริมาณในการรับแรงเพิ่มมากยิ่งขึ้น

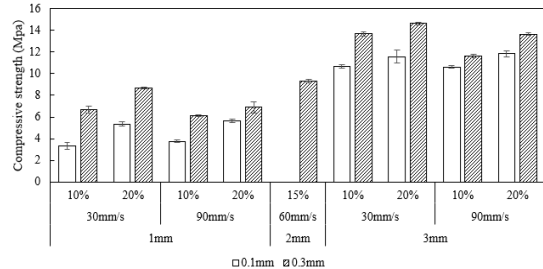
ในด้านปัจจัยความหนาแน่นของการเติมชิ้นงาน จะพบว่าเมื่อความหนาแน่นที่ค่า 10% มีค่าความแข็งแรงอัดที่น้อยกว่าความหนาแน่นที่ 20% เนื่องจากปริมาณความหนาแน่นของการเติมชิ้นงาน ที่เพิ่มมากขึ้นส่งผลทำให้ชิ้นงานมีปริมาณเนื้อด้านในมากขึ้นตามไปด้วย ดังนั้นจึงเป็นเหตุผลที่ทำให้ความหนาแน่นของ การเติมชิ้นงานที่ 20% รับแรงอัดที่มากกระทำต่อชิ้นงานได้มากขึ้น ผลดังกล่าวมีความสอดคล้องกับงานวิจัยที่ผ่านมาซึ่งพบว่า การเพิ่มขึ้นของความหนาแน่นของการเติมชิ้นงาน ส่งผลให้ค่าสมบัติแรงอัดของชิ้นงานทดสอบเพิ่มสูงขึ้น [14] ในขณะที่ปัจจัยความสูงของแต่ละชั้น ให้ผลการทดสอบไปในทิศทาง



รูปที่ 4 ค่าความแข็งแรงอัดของพลาสติก ABS



รูปที่ 5 ค่าความแข็งแรงอัดของพลาสติก PLA



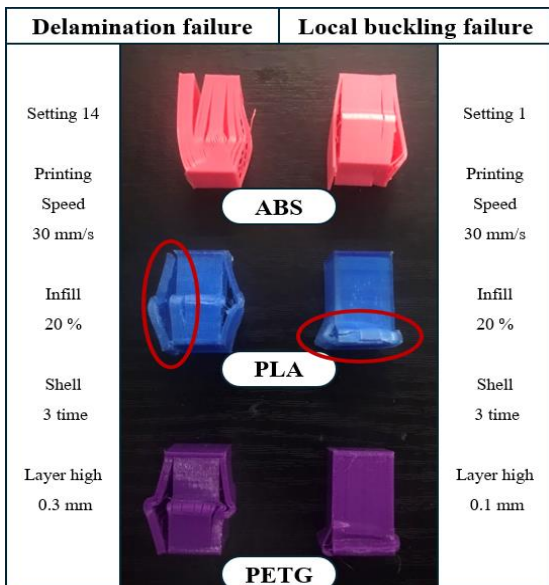
รูปที่ 6 ค่าความแข็งแรงอัดของพลาสติก PETG

ตรงกันข้าม เมื่อค่าความสูงของแต่ละชั้นเพิ่มขึ้น ค่าความแข็งแรงอัดเพิ่มขึ้น ซึ่งอาจเกิดจากพฤติกรรมของวัสดุที่มีโครงสร้างแพนเซอร์ โดยสามารถสังเกตจากรอยแตกหักของชิ้นงานดังแสดงในรูปที่ 7 พบว่า มีการแตกหักแบบชั้นแยกออกจากกัน (Delamination Failure) เนื่องจากระยะห่างระหว่างชั้นที่ระยะ 0.3 มิลลิเมตร ส่งผลให้ระหว่างชั้นของชิ้นงานเชื่อมติดกันได้ไม่ดี ขณะที่ระยะห่าง 0.1 มิลลิเมตรช่วยให้



## บทความวิจัย

ระหว่างชั้นของชิ้นงานเชื่อมติดกันได้ดีจนเกือบเป็นเนื้อเดียวกัน (Homogeneous) แต่เนื่องจากภายในชิ้นงานมีปริมาณความหนาแน่นภายในน้อย ทำให้เกิดการแตกหักแบบโถงเดาเฉพาะแห่ง (Local Buckling) ผนังไม่สามารถรับแรงได้อย่างเต็มที่ ด้วยสาเหตุนี้เลยทำให้ค่าความสูงของแต่ละชั้นที่ 0.3 มิลลิเมตรรับแรงอัดได้มากกว่าค่าความสูงชั้นที่ 0.1 มิลลิเมตร ในขณะที่ปัจจัยความเร็วในการพิมพ์ชิ้นงานให้ค่าแนวโน้มที่ไม่ชัดเจนมากนัก โดยแนวโน้มที่เกิดขึ้นกับพลาสติก ABS ให้แนวโน้มเช่นเดียวกันกับพลาสติก PLA และ PETG ที่พบว่าเมื่อค่าความเร็วในการพิมพ์ชิ้นงานมีการเปลี่ยนแปลงจะส่งผลกระทบต่อค่าความแข็งแรงอัดเพียงเล็กน้อย ดังแสดงในรูปที่ 5 และ 6



รูปที่ 7 ลักษณะการแตกหักของชิ้นงานจากแรงอัด

เมื่อทำการวิเคราะห์ผลทางสถิติของค่าความแข็งแรงอัด พบร่วงปัจจัยในการพิมพ์ชิ้นงาน ความหนาของผนังชิ้นงาน (A) ความเร็วในการพิมพ์ชิ้นงาน (B) ความหนาแน่นของการเติมชิ้นงาน (C) และความสูงของแต่ละชั้น (D) มีผลต่อค่าความแข็งแรงอัดอย่างมีนัยสำคัญ ( $P\text{-value} < 0.05$ ) ดังแสดงในตารางที่ 3 และ 4

ตารางที่ 3 ผลการทดสอบค่าความแข็งแรงอัด

<b>Formulation</b>	<b>Compressive strength (MPa)</b>		
	<b>ABS</b>	<b>PLA</b>	<b>PETG</b>
Setting 1	2.99 <sup>I</sup>	8.40 <sup>J</sup>	3.34 <sup>H</sup>
Setting 2	6.08 <sup>FGH</sup>	14.06 <sup>G</sup>	6.69 <sup>F</sup>
Setting 3	4.57 <sup>HI</sup>	9.79 <sup>I</sup>	5.36 <sup>G</sup>
Setting 4	5.47 <sup>GH</sup>	15.75 <sup>F</sup>	8.64 <sup>E</sup>
Setting 5	4.12 <sup>HI</sup>	9.02 <sup>IJ</sup>	3.74 <sup>H</sup>
Setting 6	8.05 <sup>DEF</sup>	13.61 <sup>G</sup>	6.14 <sup>FG</sup>
Setting 7	6.30 <sup>FGH</sup>	11.08 <sup>H</sup>	5.62 <sup>G</sup>
Setting 8	7.52 <sup>EFG</sup>	15.24 <sup>F</sup>	6.90 <sup>F</sup>
Setting 9	8.29 <sup>CDEF</sup>	18.42 <sup>E</sup>	9.33 <sup>E</sup>
Setting 10	10.04 <sup>BCD</sup>	18.42 <sup>E</sup>	10.68 <sup>D</sup>
Setting 11	9.50 <sup>CDE</sup>	23.43 <sup>B</sup>	13.67 <sup>B</sup>
Setting 12	12.24 <sup>AB</sup>	20.22 <sup>D</sup>	11.58 <sup>C</sup>
Setting 13	13.62 <sup>A</sup>	25.29 <sup>A</sup>	14.65 <sup>A</sup>
Setting 14	10.60 <sup>BC</sup>	18.41 <sup>E</sup>	10.62 <sup>D</sup>
Setting 15	12.34 <sup>AB</sup>	24.07 <sup>B</sup>	11.60 <sup>C</sup>
Setting 16	13.11 <sup>A</sup>	21.68 <sup>C</sup>	11.85 <sup>C</sup>
Setting 17	14.24 <sup>A</sup>	25.51 <sup>A</sup>	13.66 <sup>B</sup>



#### ตารางที่ 4 การวิเคราะห์ความแปรปรวนทางสถิติ (ANOVA) ของค่าสมบัติทางกลของชิ้นทดสอบ

Source	DF	Compressive strength			Tensile strength			Flexural strength					
		Adj SS	Adj MS	F-Value	P-Value	Adj SS	Adj MS	F-Value	P-Value	Adj SS	Adj MS	F-Value	P-Value
Model	10	1550.35	155.04	543.91	0.000	509.41	50.94	69.0	0.000	4411.13	441.11	35.35	0.000
Linear	4	1545.98	386.49	1355.93	0.000	498.94	124.73	169.0	0.000	4315.18	1078.79	86.44	0.000
A	1	1202.05	1202.05	4217.12	0.000	304.19	304.19	412.2	0.000	687.43	687.43	55.08	0.000
B	1	1.98	1.98	6.95	0.012	20.01	20.01	27.1	0.000	0.01	0.01	0.00	0.978
C	1	42.98	42.98	150.79	0.000	1.28	1.28	1.7	0.195	129.92	129.92	10.41	0.003
D	1	298.96	298.96	1048.84	0.000	173.44	173.44	235.0	0.000	3497.81	3497.81	280.28	0.000
2-Way Interactions	6	4.38	0.73	2.56	0.036	10.47	1.746	2.3	0.049	95.95	15.99	1.28	0.290
AB	1	0.34	0.34	1.18	0.284	4.81	4.81	6.5	0.015	1.14	1.14	0.09	0.764
AC	1	0.49	0.49	1.71	0.199	0.19	0.19	0.2	0.609	0.76	0.76	0.06	0.806
AD	1	0.12	0.12	0.41	0.523	0.35	0.35	0.4	0.491	6.83	6.83	0.55	0.464
BC	1	0.51	0.51	1.78	0.191	0.18	0.18	0.2	0.622	24.35	24.35	1.95	0.171
BD	1	2.25	2.25	7.89	0.008	4.31	4.31	5.8	0.021	58.41	58.41	4.68	0.037
CD	1	0.68	0.68	2.38	0.132	0.61	0.61	0.8	0.366	4.45	4.45	0.36	0.554
Error	37	10.55	0.29			27.30	0.73			461.75	12.48		
Lack-of-Fit	5	3.04	0.61	2.59	0.045	5.16	1.03	1.4	0.219	119.01	23.80	2.22	0.076
Pure Error	32	7.51	0.23			22.13	0.69			342.74	10.71		
Total	47	1560.90				536.71				4872.88			

\*A คือความหนาของผังชิ้นงาน B คือความเร็วในการพิมพ์ชิ้นงาน C คือความหนาแน่นของการเติมชิ้นงาน และ D คือความสูงแต่ละชั้น

นอกจากนี้ยังพบว่าอิทธิพลร่วมระหว่างความเร็วในการพิมพ์และความสูงของแต่ละชั้น (BD) มีผลต่อค่าความแข็งแรงอัดอย่างมีนัยสำคัญด้วยเช่นกัน ส่วนอิทธิพลร่วมของปัจจัยอื่นๆ ไม่ส่งผลค่าความแข็งแรงอัดอย่างมีนัยสำคัญ จึงสรุปได้ว่าความเร็วในการพิมพ์และความสูงของแต่ละชั้นเป็นปัจจัยหลักที่มีผลต่อค่าความแข็งแรงอัดของชิ้นงาน เมื่อทำการวิเคราะห์ความแปรปรวนทางสถิติ (ANOVA) โดยการแบ่งกลุ่มด้วยวิธี Fisher LSD Method ที่ระดับความเชื่อมั่น 95% ดังแสดงในตารางที่ 3 พบว่าการตั้งค่าปัจจัยการพิมพ์ชุดที่ 13 (Setting 13) มีความเหมาะสมต่อการนำไปใช้งานมากที่สุด

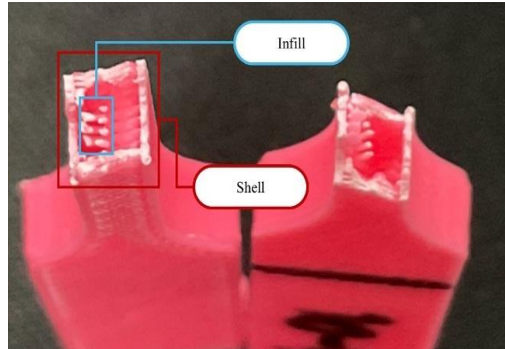
ดีที่สุด คือ ปัจจัยการตั้งค่าชุดที่ 13 (Setting 13) โดยมีความหนาของผังชิ้นงาน 3 ชั้น ความเร็วในการพิมพ์ 30 มิลลิเมตรต่อวินาที ที่ความหนาแน่นของการเติมชิ้นงาน 20% และความสูงของแต่ละชั้นที่ 0.3 มิลลิเมตร โดยการตั้งค่าปัจจัยการพิมพ์ดังกล่าวจัดอยู่ในกลุ่มเอ (^) ซึ่งหมายถึงกลุ่มที่มีค่าความแข็งแรงสูงสุดและให้ค่าความแข็งแรงอัดสูงสุดอีกด้วย ขณะที่กลุ่มเอ (^) ให้ค่าความแข็งแรงน้อยที่สุด จึงสามารถกล่าวได้ว่า การตั้งค่าปัจจัยการพิมพ์ชุดที่ 13 (Setting 13) มีความเหมาะสมต่อการนำไปใช้งานมากที่สุด



บทความวิจัย

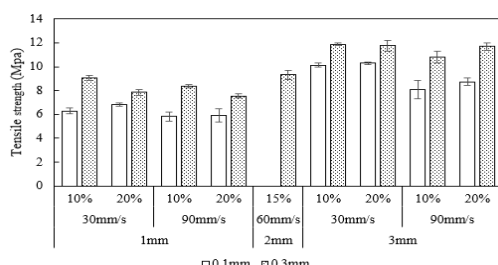
### 3.2 ผลการทดสอบความแข็งแรงดึง

ผลการทดสอบผลการทดสอบความแข็งแรงดึงของชิ้นทดสอบจากพลาสติก ABS PLA และ PETG ดังแสดงในรูปที่ 8-10 และตารางที่ 4 และ 5 พบว่าค่าความแข็งแรงดึงของพลาสติก ABS อยู่ในช่วง 5.81-11.89 MPa พลาสติก PLA อยู่ในช่วง 9.91-20.84 MPa และพลาสติก PETG อยู่ในช่วง 6.38-15.23 MPa โดยพลาสติกกลุ่ม PLA ให้ค่าความแข็งแรงดึงสูงที่สุดในบรรดาพลาสติกทั้ง 3 ชนิดที่ใช้ในการทดสอบ

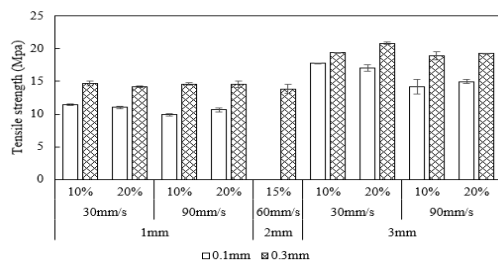


รูปที่ 11 จุดแตกหักของชิ้นงานแรงดึง

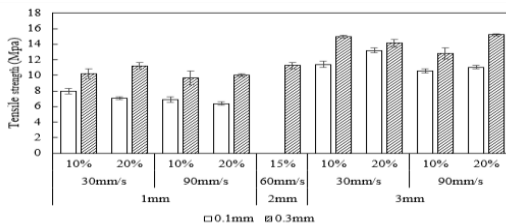
ผลการทดสอบแสดงให้เห็นแนวโน้มค่าความแข็งแรงดึงของชิ้นงานทดสอบเป็นไปในทิศทางเดียวกัน กับค่าความแข็งแรงอัด เมื่อความหนาของผนังชิ้นงานมีจำนวนเพิ่มมากขึ้นส่งผลให้ค่าความแข็งของแรงดึงเพิ่มมากขึ้นตามไปด้วย ส่วนปัจจัยความสูงของแต่ละชั้นมีการเพิ่มขึ้นจาก 0.1 มิลลิเมตร เป็น 0.3 มิลลิเมตร พบว่าให้ค่าความแข็งแรงดึงเพิ่มขึ้นเช่นกัน ส่วนปัจจัยของความเร็วในการพิมพ์ชิ้นงานและความหนาแน่นของ การเติมชิ้นงาน ไม่มีผลต่อค่าความแข็งแรงดึง ทั้งนี้เมื่อพิจารณาร่วมกับบริเวณที่เกิดความเสียหาย พบว่า บริเวณเกิดความเสียหายหลักจะเกิดขึ้นที่ผิวชิ้นงาน ขณะที่บริเวณเนื้อภายในชิ้นงาน เกิดการเสียหายที่น้อยกว่า โดยสามารถสังเกตจากชิ้นงานหลังการทดสอบ พบว่าจะเกิดรอยฉีกขาดบริเวณผนังภายในของชิ้นงาน มากกว่าบริเวณภายในเนื้อวัสดุ ดังแสดงในรูปที่ 11 เป็นผลจากการเคลื่อนที่หัวฉีดอย่างรวดเร็วส่งผลให้ระยะเวลาและปริมาณเนื้อวัสดุที่ฉีดออกจากหัวพิมพ์น้อย เป็นผลให้เนื้อวัสดุบุริเวณผนังชิ้นงานซึ่งที่ทำหน้าที่ในการยึดเกาะระหว่างชั้นรับแรงได้น้อยลง เกิดการฉีกขาดและแตกหักได้ง่ายกว่าการเคลื่อนที่หัวฉีดช้า ที่ทำให้มีปริมาณของวัสดุและมีระยะเวลาฉีดมากยิ่งขึ้น



รูปที่ 8 ค่าความแข็งแรงดึงของพลาสติก ABS



รูปที่ 9 ค่าความแข็งแรงดึงของพลาสติก PLA



รูปที่ 10 ค่าความแข็งแรงดึงของพลาสติก PETG



## บทความวิจัย

นอกจากนี้จากการวิเคราะห์แนวโน้มและลักษณะการแตกหักของชิ้นงาน การวิเคราะห์ผลทางสถิติ ดังแสดงในตารางที่ 4 พบว่าความหนาของผังชิ้นงาน (A) ความเร็วในการพิมพ์ชิ้นงาน (B) และความสูงของเต้ะลະชั้น (D) ส่งผลกระทบต่อค่าความแข็งแรงดึงของชิ้นงาน ทดสอบอย่างมีนัยสำคัญ ( $P\text{-value} < 0.05$ ) ยกเว้นความหนาแน่นของการเติมชิ้นงาน (C) ที่ไม่ส่งผลกระทบจากผลการทดลองและการวิเคราะห์ทางสถิติเป็นข้อยืนยันปัจจัยการพิมพ์ชิ้นงานที่ส่งผลต่อความแข็งต่อแรงดึงได้แก่ ความหนาของผังชิ้นงาน ความเร็วในการพิมพ์และความสูงของเต้ะลະชั้น ซึ่งผลการศึกษามีความสอดคล้องกับงานวิจัยที่ผ่านมาที่สรุปว่า ค่าความแข็งแรงดึงลดลงเมื่อความเร็วในการพิมพ์ชิ้นงานเพิ่มสูงขึ้น [16] ในด้านของบัวจ่ายปฏิสัมพันธ์สองทางพบว่า บัวจ่ายที่มีผลต่อค่าความแข็งแรงดึงอย่างมีนัยสำคัญได้แก่ ความเร็วในการพิมพ์กับความหนาของผังชิ้นงาน (AB) ที่  $P\text{-value} = 0.015$  และความเร็วในการพิมพ์กับความสูงของเต้ะลະชั้น (BD) ที่  $P\text{-value} = 0.021$  เป็นปัจจัยหลักเดียวกันที่มีอิทธิพลต่อค่าความแข็งแรงดึงของชิ้นงาน ได้แก่ ความเร็วในการพิมพ์ชิ้นงาน จึงสามารถสรุปได้ว่าความเร็วในการพิมพ์เป็นปัจจัยหลักที่มีผลกระทบต่อค่าความแข็งแรงดึงของชิ้นงาน โดยมีปัจจัยความหนาของผังชิ้นงานและความสูงของเต้ะลະชั้นเป็นอิทธิพลรอง เมื่อทำการแบ่งกลุ่มด้วย Fisher LSD Method ดังแสดงในตารางที่ 5 พบว่าการตั้งค่าบัวจ่ายการพิมพ์ชิ้นงานของพลาสติกทั้ง 3 ชนิดที่ให้ค่าความแข็งแรงดึงสูงที่สุด คือบัวจ่ายการตั้งค่าการพิมพ์ชุดที่ 13 (Setting 13) ซึ่งมีพลาสติก PLA และ ABS จัดอยู่ในกลุ่มเอ (<sup>A</sup>) และพลาสติก PETG อยู่ในกลุ่มเอบี (<sup>AB</sup>)

### ตารางที่ 5 ผลการทดสอบความแข็งแรงดึงของพลาสติก ABS PLA และ PETG

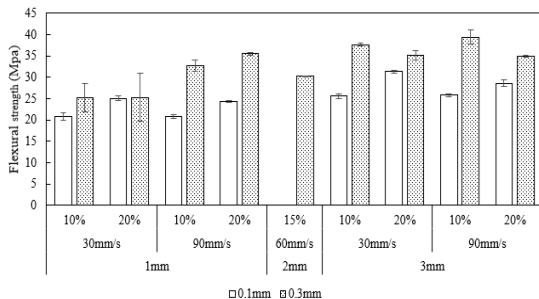
Formulation	Tensile strength (MPa)		
	ABS	PLA	PETG
Setting 1	6.29 <sup>J</sup>	11.48 <sup>F</sup>	7.97 <sup>F</sup>
Setting 2	9.08 <sup>DEF</sup>	14.66 <sup>E</sup>	10.23 <sup>CDE</sup>
Setting 3	6.83 <sup>J</sup>	11.04 <sup>FG</sup>	7.09 <sup>FG</sup>
Setting 4	7.85 <sup>GHI</sup>	15.19 <sup>E</sup>	11.23 <sup>CD</sup>
Setting 5	5.81 <sup>J</sup>	9.91 <sup>G</sup>	6.85 <sup>FG</sup>
Setting 6	8.34 <sup>EFGH</sup>	14.61 <sup>E</sup>	9.66 <sup>E</sup>
Setting 7	5.92 <sup>J</sup>	10.68 <sup>FG</sup>	6.38 <sup>G</sup>
Setting 8	7.54 <sup>HII</sup>	14.54 <sup>E</sup>	10.00 <sup>DE</sup>
Setting 9	9.31 <sup>CDE</sup>	13.86 <sup>E</sup>	11.26 <sup>CD</sup>
Setting 10	10.13 <sup>BCD</sup>	17.74 <sup>CD</sup>	11.41 <sup>C</sup>
Setting 11	11.88 <sup>A</sup>	19.42 <sup>AB</sup>	14.98 <sup>A</sup>
Setting 12	10.30 <sup>BC</sup>	17.04 <sup>D</sup>	13.21 <sup>B</sup>
Setting 13	11.77 <sup>A</sup>	20.84 <sup>A</sup>	14.15 <sup>AB</sup>
Setting 14	8.08 <sup>FGH</sup>	14.19 <sup>E</sup>	10.57 <sup>CDE</sup>
Setting 15	10.81 <sup>AB</sup>	18.93 <sup>BC</sup>	12.84 <sup>B</sup>
Setting 16	8.73 <sup>EFG</sup>	14.96 <sup>E</sup>	11.06 <sup>CDE</sup>
Setting 17	11.70 <sup>A</sup>	19.26 <sup>B</sup>	15.22 <sup>A</sup>

### 3.3 ผลการทดสอบแข็งแรงดัด

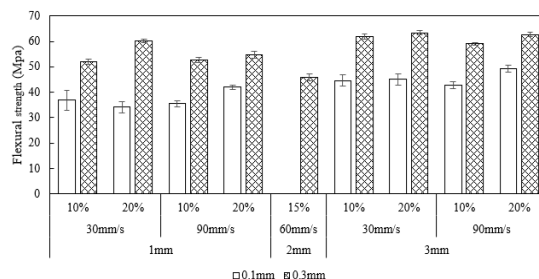
ผลการทดสอบค่าความแข็งแรงดัดของชิ้นทดสอบจากพลาสติก ABS PLA และ PETG ดังแสดงในรูปที่ 12-14 และตารางที่ 4 และ 6 พบว่าค่าความแข็งแรงดัดของพลาสติก ABS อยู่ในช่วง 20.81-39.45 MPa พลาสติก PLA อยู่ในช่วง 34.13-63.44 MPa และพลาสติก PETG อยู่ในช่วง 21.23-44.04 MPa โดยที่พลาสติกกลุ่ม PLA ให้ค่าความแข็งแรงดัดสูงที่สุดในบรรดาพลาสติก 3 ชนิด ที่ใช้ในการทดสอบ ผลทดสอบค่าความแข็งแรงดัดมีแนวโน้มไปในทิศทางเดียวกันกับค่าความแข็งแรงดึง โดยพบว่าเมื่อความหนาของผังชิ้นงานมีจำนวนเพิ่มมากขึ้น จะส่งผลให้ค่าความแข็งแรงดัดเพิ่มมากขึ้นไปด้วย



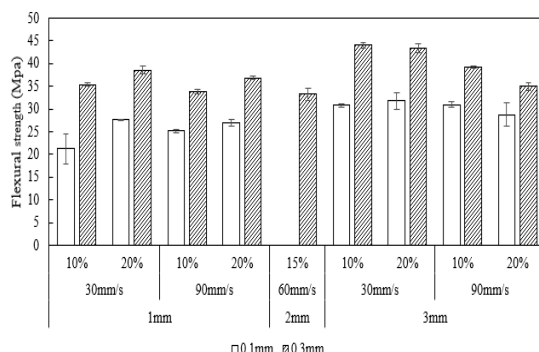
## บทความวิจัย



รูปที่ 12 ค่าความแข็งแรงดัดของพลาสติก ABS



รูปที่ 13 ค่าความแข็งแรงดัดของพลาสติก PLA



รูปที่ 14 ค่าความแข็งแรงดัดของพลาสติก PETG

ด้านปัจจัยความสูงของแต่ละชั้น เมื่อเพิ่มสูงขึ้นจาก 0.1 มิลลิเมตร เป็น 0.3 มิลลิเมตร ส่งผลให้ค่าความแข็งของแรงดัดเพิ่มขึ้น ในขณะที่ความเร็วในการพิมพ์ชิ้นงานและความหนาแน่นของการเติมชิ้นงาน ไม่ส่งผลต่อค่าความแข็งแรงดัด ผลการวิเคราะห์ทางสถิติพบว่า

ตารางที่ 6 ผลการทดสอบความแข็งแรงดัดของพลาสติก ABS PETG และ PLA

Formulation	Flexural strength (MPa)		
	ABS	PETG	PLA
Setting 1	20.87 <sup>H</sup>	21.23 <sup>K</sup>	36.88G <sup>H</sup>
Setting 2	25.14 <sup>FGH</sup>	35.39 <sup>CDE</sup>	52.09 <sup>CD</sup>
Setting 3	25.06 <sup>FGH</sup>	27.65 <sup>HIJ</sup>	34.13 <sup>H</sup>
Setting 4	25.32 <sup>FGH</sup>	38.59 <sup>CD</sup>	60.35 <sup>A</sup>
Setting 5	20.80 <sup>H</sup>	25.16 <sup>JK</sup>	35.47 <sup>H</sup>
Setting 6	32.78 <sup>BCD</sup>	33.80 <sup>EFG</sup>	52.6 <sup>CD</sup>
Setting 7	24.32 <sup>GH</sup>	27.05 <sup>IJ</sup>	41.99 <sup>FG</sup>
Setting 8	35.58 <sup>ABC</sup>	36.88 <sup>CDE</sup>	54.74 <sup>BC</sup>
Setting 9	30.28 <sup>CDEF</sup>	33.32 <sup>EFG</sup>	45.78 <sup>EF</sup>
Setting 10	25.57 <sup>FGH</sup>	30.83 <sup>GHI</sup>	44.62 <sup>EE</sup>
Setting 11	37.68 <sup>AB</sup>	44.03 <sup>A</sup>	61.88 <sup>A</sup>
Setting 12	31.38 <sup>CDE</sup>	31.8 <sup>FGH</sup>	45.02 <sup>EF</sup>
Setting 13	35.21 <sup>ABC</sup>	43.33 <sup>AB</sup>	63.44 <sup>A</sup>
Setting 14	25.84 <sup>EFGH</sup>	30.90 <sup>GHI</sup>	42.78 <sup>F</sup>
Setting 15	39.45 <sup>A</sup>	39.23 <sup>BC</sup>	59.03 <sup>AB</sup>
Setting 16	28.62 <sup>DEFG</sup>	28.73 <sup>HIJ</sup>	49.34 <sup>DE</sup>
Setting 17	34.90 <sup>ABC</sup>	34.94 <sup>DEFG</sup>	62.67 <sup>A</sup>

ความหนาของผังชิ้นงาน (A) ความหนาแน่นของการเติมชิ้นงาน (C) และความสูงของแต่ละชั้น (D) มีผลกระทบต่อค่าความแข็งแรงดัดอย่างมีนัยสำคัญ ดังแสดงในตารางที่ 6 ยกเว้นความเร็วในการพิมพ์ชิ้นงาน (B) ที่ส่งผลอย่างไม่มีนัยสำคัญต่อสมบัติชิ้นงาน สำหรับอิทธิพลระหว่างความเร็วในการพิมพ์และความสูงของแต่ละชั้น (BD) มีผลต่อค่าความแข็งแรงแรงดัดอย่างมีนัยสำคัญ นอกเหนือจากนั้นอิทธิพลร่วมปัจจัยอื่นๆ ส่งผลต่อค่าความแข็งแรงดัดอย่างไม่มีนัยสำคัญ จึงสรุปได้ว่าปัจจัยความสูงของแต่ละชั้นในการพิมพ์ชิ้นรูปชิ้นงานเป็นปัจจัยหลักที่มีผลต่อค่าความแข็งแรงดัด เมื่อพิจารณาร่วมกับบริเวณจุดแตกหักของชิ้นงานซึ่ง



## บทความวิจัย

เกิดขึ้นบริเวณฐานของชิ้นทดสอบ ดังแสดงในรูปที่ 15 จะเห็นได้ว่าบริเวณภายในได้รับความคืบหน้อย ขณะที่บริเวณของฐานชิ้นงานเป็นจุดที่รับความเด่นมากที่สุด จากรอยฉีดขาดสีขาว จากผลการศึกษาปัจจัยร่วมสรุปได้ว่า ความสูงของแต่ละชั้นที่เพิ่มมากขึ้นของฐานชิ้นงานอันเป็นผลจากปัจจัยการพิมพ์ด้านความสูงของแต่ละชั้น มีผลกระทบมากกว่าค่าความแข็งแรงดัดของชิ้นงานที่ได้รับจากเครื่องพิมพ์สามมิติ

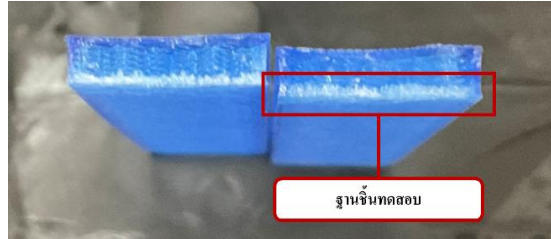
เมื่อทำการแบ่งกลุ่มข้อมูลด้วย Fisher LSD Method ดังแสดงในตารางที่ 4 พบว่าการตั้งค่าปัจจัยการพิมพ์ชิ้นงานของพลาสติกทั้ง 3 ชนิด ให้ค่าความแข็งแรงดัดเหมาะสมที่สุดจากการตั้งค่าปัจจัยที่ 11 (Setting 11) ซึ่งมีค่าความหนาของผนังจำนวน 3 ชั้น ความเร็วในการพิมพ์ 30 มิลลิเมตรต่อวินาที ที่ความหนาแน่นของการเติมชิ้นงาน 10% และ ความสูงของแต่ละชั้น ที่ 0.3 ซึ่งมีพลาสติก PLA และ PETG ถูกจะอยู่ในกลุ่มเอ (^) และพลาสติก ABS ในกลุ่มเอบี (^B)

#### 4. บทสรุป

ผลการศึกษาปัจจัยในการพิมพ์ชิ้นงานพลาสติก PLA, PETG และ ABS ด้วยเครื่องพิมพ์สามมิติระบบ FFF พบว่า

1. สมบัติความแข็งแรงอัดของชิ้นงานได้รับอิทธิพลจากปัจจัยการพิมพ์ทุกปัจจัยอย่างมีนัยสำคัญ โดยมีปัจจัยหลักคือความเร็วในการพิมพ์ชิ้นงานและความสูงของแต่ละชั้นเกิดปฏิสัมพันธ์สองทางอย่างมีนัยสำคัญ

2. ความหนาของผนังชิ้นงาน ความเร็วในการพิมพ์และความสูงของแต่ละชั้น มีผลต่อสมบัติความแข็งแรงดังโดยมีความเร็วในการพิมพ์เป็นปัจจัยหลักที่มีผลต่อสมบัติความแข็งแรงดี และมีปัจจัยความหนาของผนังชิ้นงานและความสูงของแต่ละชั้นมีอิทธิพลรอง



รูปที่ 15 จุดแตกหักของชิ้นงานแรงดัด

เนื่องจากชิ้นงานมีการรับแรงดึงมากที่สุดบริเวณผนังชิ้นงาน

3. ความหนาแน่นของการเติมชิ้นงาน และความสูงของแต่ละชั้น มีผลกระทบต่อค่าความแข็งแรงดัด โดยมีปัจจัยความสูงของแต่ละชั้นเป็นปัจจัยหลักที่มีผลต่อค่าความแข็งแรงดัดของชิ้นงาน เป็นผลให้เกิดปฏิสัมพันธ์สองทางระหว่างความเร็วในการพิมพ์และความสูงของแต่ละชั้นอย่างมีนัยสำคัญ การแตกหักของชิ้นงานแสดงให้เห็นจุดรับแรงดัดมากที่สุดที่บริเวณฐานของชิ้นงาน

4. ความสูงของแต่ละชั้นเป็นปัจจัยหลักที่ส่งผลต่อลักษณะโครงสร้างของชิ้นงานที่ได้รับจากเครื่องพิมพ์สามมิติ ที่ความสูง 0.3 มิลลิเมตร ชิ้นงานมีโครงสร้างแบบแซนวิชหรือลามิเนตที่จะมีพฤติกรรมการแตกหักในรูปแบบของการขาดแบบแยกชั้น ขณะที่ความสูง 0.1 มิลลิเมตรจะทำให้ชิ้นงานเข้าใกล้โครงสร้างวัสดุแบบเนื้อเดียวทำให้ชิ้นงานมีการแตกหักรูปแบบการโถงเดาเฉพาะแห่งซึ่งมีพฤติกรรมการแตกหักนี้มักจะเกิดขึ้นกับโครงสร้างวัสดุแบบเนื้อเดียวที่มีปริมาณเนื้อวัสดุภายนอกน้อย

5. ปัจจัยในการพิมพ์ชิ้นงานที่เหมาะสมได้แก่ ความหนาของผนังจำนวน 3 ชั้น ความเร็วในการพิมพ์ 30 มิลลิเมตรต่อวินาที ความหนาแน่นของการเติมชิ้นงาน 20% และ ความสูงของแต่ละชั้นที่ 0.3 มิลลิเมตร ให้ค่าความแข็งแรงดัดและแรงดึงดีที่สุด



## บทความวิจัย

ส่วนการพิมพ์ชิ้นงานที่ให้ค่าความแข็งแรงดัดได้ดีที่สุด คือชุดปั๊จัยการพิมพ์ชิ้นงานที่ความหนาของผนังจำนวน 3 ชั้น ความเร็วในการพิมพ์ 30 มิลลิเมตรต่อวินาที ความหนาแน่นของการเติมชิ้นงาน 10% และความสูงของแต่ละชั้น ที่ 0.3 มิลลิเมตร

การศึกษาปั๊จัยในสร้างชิ้นงานด้วยเครื่องพิมพ์สามมิติระบบ FFF ยังคงมีปั๊จัยอื่นที่ส่งผลต่อสมบัติของชิ้นงาน เช่น การลดระยะเวลาการพิมพ์ชิ้นงานแต่ยังคงได้ชิ้นงานที่มีความแข็งแรง อีกทั้งอิทธิพลร่วมระหว่างปั๊จัยที่กำลังมีการศึกษาอยู่ในปัจจุบัน แนวทางเหล่านี้ยังคงเป็นความท้าทายที่สำคัญต่อการศึกษากระบวนการผลิตแบบเพิ่มเนื้อวัสดุที่ทำให้ได้ชิ้นงานที่มีสมบัติและคุณภาพชิ้นงานที่ดีและเหมาะสมสมต่อการใช้งาน

## 5. กิตติกรรมประกาศ

ผลงานนี้ได้รับการสนับสนุนและสำเร็จลุล่วงไปได้ด้วยดีจากกลุ่มวิจัยเทคโนโลยีเม昀างพาราและการจัดการ สาขาวิชาวิศวกรรมอุตสาหกรรมและการผลิต คณะวิศวกรรมศาสตร์ มหาวิทยาลัยสงขลานครินทร์

## 6. เอกสารอ้างอิง

- [1] G. Singh and A. Verma, A brief review on injection moulding manufacturing process, Materials Today Proceedings, 2017, 4(2), 1423-1433.
- [2] M.S. Alam, J. Kaur, H. Khaira and K. Gupta, Extrusion and extruded products: Changes in quality attributes as affected by extrusion process parameters, A Review. Critical Reviews in Food Science and Nutrition, 2016, 56(3), 445-473.
- [3] F.A. Khan, H.K. Celik, O. Oral and A.E. Rennie, A short review on 4D printing, International Journal of 3D Printing Technologies and Digital Industry, 2018, 2, 59-67.
- [4] K. Pathak, R. Saikia, A. Das, D. Das, M.A. Islam, P. Pramanik, A. Parasar, P.P. Borthakur, P. Sarmah, M. Saikia and B. Borthakur, 3D printing in biomedicine: advancing personalized care through additive manufacturing, Exploration of Medicine, 2023, 4, 1135-67.
- [5] H. Vieyra, J.M. Molina-Romero, J.d.D. Calderón-Nájera and A. Santana-Díaz, Engineering, recyclable, and biodegradable plastics in the automotive industry: A review, Polymers, 2022, 14, 3412.
- [6] K.C. Datsiou, E. Saleh, F. Spirrett, R. Goodridge, I. Ashcroft and D. Eustice, Additive manufacturing of glass with laser powder bed fusion, Journal of the American Ceramic Society, 2019, 102(8), 4410-4414,
- [7] A.S. Ramírez, R. D'Amato, F.B. Haro, M.I. Marcos and J.M.d. Agustín del Burgo, Composite material created by additive manufacturing techniques FFF and robocasting for the manufacture of medical parts, The 6th International Conference on Technological Ecosystems for Enhancing Multiculturality, Proceedings, 2018, 410-415.



## บทความวิจัย

- [8] C.A. Chatham, C.E. Zawaski, D.C. Bobbitt, R.B. Moore, T.E. Long and C.B. Williams, Semi-crystalline polymer blends for material extrusion additive manufacturing printability: a case study with poly (ethylene terephthalate) and polypropylene, *Macromolecular Materials and Engineering*. 2019, 304(5), 1800764.
- [9] S. Ding, B. Zou, P. Wang and H. Ding, Effects of nozzle temperature and building orientation on mechanical properties and microstructure of PEEK and PEI printed by 3D-FDM. *Polymer Testing*, 2019, 78(1), 105948.
- [10] M. Fernandez-Vicente, W. Calle, S. Ferrandiz and A. Conejero, Effect of infill parameters on tensile mechanical behavior in desktop 3D printing, *3D Printing and Additive Manufacturing*, 2016, 3(3), 183-192.
- [11] F. Saenz, C. Otarola, K. Valladares and J. Rojas, Influence of 3D printing settings on mechanical properties of ABS at room temperature and 77 K, *Additive Manufacturing*, 2021, 39, 101841.
- [12] H. Dao, Y. Cheng, W. Ye, D Zhang, J. Li, Z. Miao and S. Rudykh, Effect of process parameters on tensile mechanical properties of 3D printing continuous carbon fiber-reinforced PLA composites, *Materials*, 2020, 13, 3850.
- [13] B.V.d. Voorde, A. Katalagarianakis, S. Huysman, A. Toncheva, J.M. Raquez, I. Duretek, C. Holzer, L. Cardon, K.V. Bernaerts, D.V. Hemelrijck, L. Pyl and S.V. Vlierberghe, Effect of extrusion and fused filament fabrication processing parameters of recycled poly (ethylene terephthalate) on the crystallinity and mechanical properties, *Additive Manufacturing*, 2022, 50(1), 102518.
- [14] S. Oudah, H. Al-Attrachi, and N. Nassir, The effect of process parameters on the compression property of acrylonitrile butadiene styrene produced by 3D printer, *Engineering and Technology Journal*, 2022, 40(1), 189-194.
- [15] S. Brischetto and R. Torre, Tensile and compressive behavior in the experimental tests for PLA specimens produced via fused deposition modelling technique, *Journal of Composites Science*, 2020, 4(3), 140.
- [16] G. Pelin, C. E. Pelin, M. Botan, A. Stefan, G.C. Cristea and A.A.M. Panait, Thermo-mechanical properties of fused filament fabricated PLA at elevated temperatures, *Incas Bulletin*, 2023, 15(1), 59-70.



# การพัฒนาชุดฝึกปฏิบัติด้วยระบบสมองกลฝังตัวอาดูโน่สำหรับควบคุมอุปกรณ์นิวแมติกส์ไฟฟ้า

สุรชัย นามพรหมมา<sup>1\*</sup> ราชญ อุดมคำ<sup>1</sup> และ ไตรทศ แก้วเหง้า<sup>2</sup>

<sup>1</sup> สาขาวิชาครุศาสตร์อุตสาหกรรมอุตสาหกรรม, คณะครุศาสตร์อุตสาหกรรม, มหาวิทยาลัยเทคโนโลยีราชมงคลล้านนา

วิทยาเขตขอนแก่น

<sup>2</sup> สาขาวิชาครุศาสตร์เครื่องกล, คณะครุศาสตร์อุตสาหกรรม, มหาวิทยาลัยเทคโนโลยีราชมงคลล้านนา

วิทยาเขตขอนแก่น

\* ผู้ประสานงานเผยแพร่ (Corresponding Author), E-mail: surachai.na@rmuti.ac.th

วันที่รับบทความ: 24 เมษายน 2568; วันที่ทบทวนบทความ: 16 กรกฎาคม 2568; วันที่ตอบรับบทความ: 21 กรกฎาคม 2568

วันที่เผยแพร่องônไลน์: 21 สิงหาคม 2568

**บทคัดย่อ:** การวิจัยครั้งนี้เป็นการวิจัยเชิงทดลอง (Experimental Research) มีวัตถุประสงค์เพื่อพัฒนาและประเมินประสิทธิภาพชุดฝึกปฏิบัติด้วยระบบสมองกลฝังตัวอาดูโน่สำหรับควบคุมอุปกรณ์นิวแมติกส์ไฟฟ้า โดยมีขั้นตอนการดำเนินงานวิจัย ดังนี้ (1) การสร้างเครื่องมือที่ใช้ในการวิจัย คือ ชุดฝึกปฏิบัติด้วยระบบสมองกลฝังตัวอาดูโน่สำหรับควบคุมอุปกรณ์นิวแมติกส์ไฟฟ้า (2) กลุ่มตัวอย่างที่ใช้ในการวิจัย คือ นักศึกษาหลักสูตรประกาศนียบัตรวิชาชีพชั้นสูง (ปวส.) โปรแกรมวิชาช่างกลโรงงาน คณะครุศาสตร์อุตสาหกรรม มหาวิทยาลัยเทคโนโลยีราชมงคลล้านนา วิทยาเขตขอนแก่น ชั้นปีที่ 2 จำนวน 30 คน ด้วยวิธีการเลือกแบบเจาะจง (Purposive Sampling) (3) การเก็บข้อมูลเพื่อหาประสิทธิภาพของชุดฝึก เริ่มต้นจากการสอนใช้ชุดฝึกเพื่อให้กับผู้เรียนเกิดความเข้าใจและเรียนรู้การใช้งานชุดฝึกแล้วทำการทดสอบตามแบบทดสอบปฏิบัติซึ่งแบ่งออก成 4 หัวข้อและเมื่อครบทุกหัวข้อแล้วให้ทำการทดสอบด้วยแบบทดสอบปฏิบัติซึ่งอีกครั้ง จากนั้นนำคะแนนที่ได้จากการทดสอบระหว่างเรียนและการทดสอบหลังเรียนมาคำนวณหาประสิทธิภาพของชุดฝึก ผลการวิจัยพบว่าชุดฝึกปฏิบัติด้วยระบบสมองกลฝังตัวอาดูโน่สำหรับควบคุมอุปกรณ์นิวแมติกส์ไฟฟ้ามีประสิทธิภาพคิดเป็นร้อยละ 93

**คำสำคัญ:** ชุดฝึก; นิวแมติกส์ไฟฟ้า; อาดูโน่; ระบบสมองกลฝังตัว



บหคณวจชย

วารสารวิชาการเทคโนโลยีอุตสาหกรรม (The Journal of Industrial Technology)

ISSN (online): 2697-5548

DOI: 10.14416/j.ind.tech.2025.08.013

## Development of the PLC Practical Set with the Arduino Embedded System for Electro-pneumatic Device Control

**Surachai Nampromma<sup>1\*</sup>, Rachan Udomkham<sup>1</sup> and Thaitot Kaewngao<sup>2</sup>**

<sup>1</sup> Department of Industrial Technical Education, Faculty of Technical Education, Rajamangala University of Technology Isan Khon Kaen Campus

<sup>2</sup> Department of Mechanical Technical Education, Faculty of Technical Education, Rajamangala University of Technology Isan Khon Kaen Campus

\* Corresponding author, E-mail: surachai.na@rmuti.ac.th

Received: 24 April 2025; Revised 16 July 2025; Accepted: 21 July 2025

Online Published: 21 August 2025

**Abstract:** This experimental research has the objective of developing and evaluating the effectiveness of the PLC practical set with the Arduino embedded system for electro-pneumatic device control. The steps for carrying out the research are as follows: (1) Creation of the tools used in the study, which is an Arduino embedded system practical set using a ladder for electro-pneumatic device control. (2) The sampling groups used in the research were students in the Higher Vocational Certificate program in Machine Tool Technology, Faculty of Technical Education, Rajamangala University of Technology Isan, Khon Kaen Campus, 2nd year, 30 students, using the Purposive Sampling method. (3) Data collection to determine the effectiveness of the practical set. Start by teaching the use of the practical set so that the learners can understand and learn to use the practical set according to each practice test topic and then test with the practice test again. Then, the scores obtained from the in-class practice test and the post-test practice were used to calculate the effectiveness of the practice practical set. The results of the research found that an Arduino-embedded system practical set using a ladder for electro-pneumatic device control was effective, accounting for 93 percent.

**Keywords:** Practical set; Electro-pneumatic; Arduino; Embedded system



## 1. ບ່ານໜຳ

ระบบฝังตัวหรือสมองกลฝังตัว (Embedded System) คือ ระบบคอมพิวเตอร์ที่มีการประยุกต์ใช้ในอุปกรณ์หรือระบบอื่นๆ ที่ไม่ใช่คอมพิวเตอร์ส่วนบุคคล (PC) หรือเซิร์ฟเวอร์ (Server) ระบบสมองกลฝังตัวจะประกอบด้วยชาร์ดแวร์และซอฟต์แวร์ที่ถูกออกแบบมาเพื่อประเมินและควบคุมอุปกรณ์ในระบบที่เฉพาะเจาะจง [1] ดังนั้นการพัฒนาและประยุกต์ใช้ระบบสมองกลฝังตัว จึงมีความสำคัญมากในงานอุตสาหกรรมระบบสมองกลฝังตัวเป็นเทคโนโลยีที่ช่วยให้เราสามารถควบคุมอุปกรณ์ในสถานการณ์ที่มีความซับซ้อนได้อย่างมีประสิทธิภาพ การประยุกต์ใช้ระบบสมองกลฝังตัวในงานอุตสาหกรรมยังสามารถช่วยลดต้นทุนการผลิต ประหยัดพลังงาน และเพิ่มประสิทธิภาพการทำงานในภาคอุตสาหกรรม ด้วยอย่างของกระบวนการที่มีระบบสมองกลฝังตัวสำหรับการควบคุมเครื่องจักรและกระบวนการในงานอุตสาหกรรม เช่น การควบคุมเครื่องจักรอัตโนมัติในสายผลิต ระบบควบคุมแสงสว่าง หรือระบบควบคุมการอ่านและเขียนข้อมูลในการผลิต [2,3] ระบบสมองกลฝังตัวมักมีการพัฒนาด้วยภาษาโปรแกรมที่เฉพาะเจาะจง เช่น C/C++ และมีเครื่องมือพัฒนา (Development tools) ที่เหมาะสมกับการสร้างและปรับแต่งระบบสมองกลฝังตัว รวมถึงระบบปฏิบัติการเรียลไทม์ (Real-Time Operating System, RTOS) ที่สามารถจัดการและจัดตารางงานในระบบได้อย่างมีประสิทธิภาพอีกด้วย

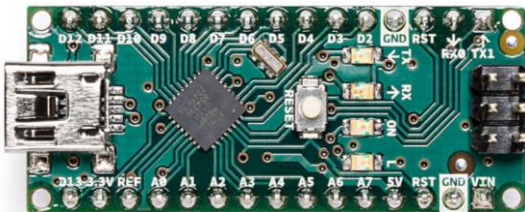
เทคโนโลยีอินเทอร์เน็ตของสรรพสิ่ง (Internet of Things, IoT) เป็นเทคโนโลยีที่อาศัยฐานความรู้เกี่ยวกับระบบสมองกลผังตัวและเป็นเทคโนโลยีที่กำลังได้รับ

ความสนใจอย่างมากในปัจจุบัน โดยแนวคิดเรื่องการเชื่อมต่อสิ่งต่าง ๆ นี้ มีมาตั้งแต่ยุคต้นปี ค.ศ. 1980 แต่ยังไม่มีการใช้งานอย่างแพร่หลาย เนื่องจากความสามารถในการเชื่อมต่อเครือข่ายของอุปกรณ์อิเล็กทรอนิกส์ในขณะนั้นยังไม่เพียงพอ ต่างกับในปัจจุบันที่ความสามารถทำให้อุปกรณ์อิเล็กทรอนิกส์ต่าง ๆ มีปฏิสัมพันธ์และแลกเปลี่ยนข้อมูลระหว่างกันได้โดยง่ายซึ่งเรียกว่า “อุปกรณ์ IoT” โดยองค์ประกอบพื้นฐานของสิ่งที่เรียกว่าอุปกรณ์ IoT จะแบ่งเป็น 2 ส่วน คือ ฮาร์ดแวร์ (Hardware) และซอฟต์แวร์ (Software) ซึ่งนวัตกรรมทั่วไปนั้นอาจจะมีเพียงส่วนเดียว คือ ฮาร์ดแวร์หรือซอฟต์แวร์ก็ได้ แต่สำหรับนวัตกรรมที่สร้างด้วยระบบสมองกลฝังตัวจะต้องมีองค์ประกอบทั้งสองส่วน

อาดูโน่ (Arduino) เป็นระบบสมองกลผังตัวที่มีการออกแบบมาเพื่อใช้งานในโปรเจกต์อิเล็กทรอนิกส์ โดยอาดูโน่จะมีชาร์ดแวร์และซอฟต์แวร์ที่ถูกพัฒนาขึ้นมาเพื่อควบคุมและประมวลผลอุปกรณ์ต่างๆ ซึ่งเป็นลักษณะของระบบสมองกลผังตัว บอร์ดอาดูโน่ (รูปที่ 1) มีชิปเซ็ตของ Atmel AVR หรือ Microchip SAMD เป็นส่วนหนึ่งของชาร์ดแวร์ในระบบสมองกลผังตัว [4] มีการออกแบบเพื่อรองรับการทำงานในอุปกรณ์หรือโปรเจกต์ที่มีขนาดเล็กและมีความสามารถในการติดต่อควบคุมอุปกรณ์อื่น ๆ อาทิ เช่น เซนเซอร์ โมเตอร์ หน้าจอ หลอดไฟ และ อี ดี (LED) และอื่น ๆ [5] นอกจากนี้ Arduino IDE (Integrated Development Environment) ซึ่งเป็นซอฟต์แวร์ที่ใช้ในการเขียนและอัปโหลดโปรแกรมลงบอร์ดอาดูโน่นั้นก็เป็นส่วนหนึ่งของซอฟต์แวร์ในระบบสมองกลผังตัวเช่นกัน



บทความวิจัย



รูปที่ 1 ระบบผังตัวแบบอาดูโน่-บอร์ด รุ่น NANO

พี แอล ซี (Programmable Logic Controller: PLC) [6] คือ อุปกรณ์ที่ใช้ในการควบคุมกระบวนการในระบบอุตสาหกรรม โดยเฉพาะอย่างยิ่งในการควบคุมเครื่องจักรและกระบวนการผลิตที่ซับซ้อน การใช้งาน พี แอล ซี ช่วยให้กระบวนการผลิตเป็นไปอย่างมีประสิทธิภาพ [7] นอกจากนี้ยังมีความสามารถในการเก็บข้อมูล มีความยืดหยุ่นในการโปรแกรมและปรับแต่งตามความต้องการของระบบ รวมถึงการจัดเก็บประวัติเหตุการณ์ที่เกิดขึ้นในกระบวนการผลิต เพื่อการวิเคราะห์และการปรับปรุงในอนาคต โดยภาษาโปรแกรมที่ใช้ในการควบคุมพี แอล ซี แบ่งออกได้หลายภาษา เช่น อยู่กับความชำนาญของผู้พัฒนาโปรแกรมและความต้องการของระบบควบคุม แต่โดยทั่วไปภาษาแลดเดอร์ (Ladder Logic: LD) จะเป็นภาษาโปรแกรมที่ใช้งานอย่างแพร่หลายในอุตสาหกรรมเนื่องจากความคล้ายคลึงกับวงจรไฟฟ้า (Circuit Diagrams) โดยใช้สัญลักษณ์และตัวอักษรต่าง ๆ [8] เพื่อกำหนดเงื่อนไขและกระบวนการที่ต้องการควบคุม ซึ่งมีความเป็นมาตรฐานและเป็นภาษาโปรแกรมที่พับได้มากในงานอุตสาหกรรม

ระบบนิวแมติกส์หรือระบบลม (Pneumatic System) เป็นระบบที่ใช้ลมอัดเป็นแหล่งพลังงานในการควบคุม

และขับเคลื่อนอุปกรณ์ในงานอุตสาหกรรม ระบบนิวแมติกส์มีความน่าเชื่อถือและมีประสิทธิภาพสูงในการทำงานในสภาวะที่ต้องการความรวดเร็วและความแม่นยำ ระบบนิวแมติกส์มีการใช้งานอย่างกว้างขวาง เช่น อุตสาหกรรมอาหารและเครื่องดื่ม อุตสาหกรรมยานยนต์ อุตสาหกรรมอิเล็กทรอนิกส์ และอุตสาหกรรมอื่น ๆ [9,10] ที่ต้องการขับเคลื่อนอุปกรณ์และการควบคุมเครื่องจักรกลหรือหุ้นยนต์ รวมทั้งการปรับปรุงและพัฒนาระบบการผลิตให้มีประสิทธิภาพมากยิ่งขึ้น

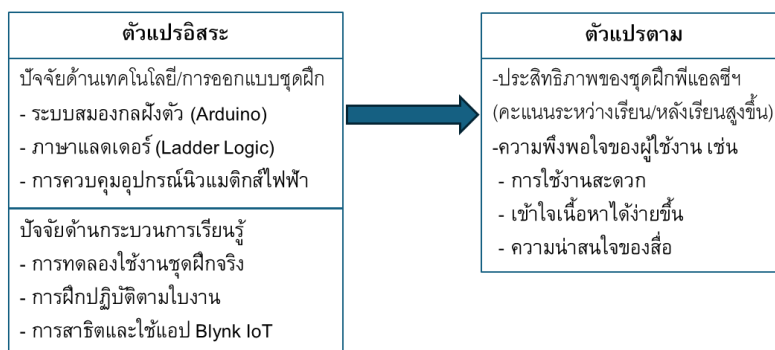
ดังนั้น คณะผู้วิจัยจึงมีแนวความคิดที่จะพัฒนาชุดฝึกโดยใช้บอร์ดอาดูโน่ (รูปที่ 1) ควบคุมการทำงานของอุปกรณ์นิวแมติกส์ไฟฟ้าแต่การเขียนด้วยภาษาโปรแกรมที่เฉพาะเจาะจง (C/C++) ผ่านซอฟต์แวร์ Arduino IDE แล้วอัปโหลดลงบอร์ดอาดูโน่นั้นมีความยากและซับซ้อนในขั้นตอนการเขียนโค้ด (Coding) สำหรับผู้ที่ไม่มีความรู้ในการเขียนโปรแกรม และจะเป็นการง่ายกว่าถ้าการควบคุมอุปกรณ์ดังกล่าวสามารถเขียนเป็นภาษาและเดอร์แล้วอัปโหลดลงบอร์ดอาดูโน่ได้ ทั้งนี้ วัตถุประสงค์งานวิจัยเพื่อนำเสนอระบบสมองกลผังตัวมาพัฒนาเป็นชุดฝึกพี แอล ซี จาบบอร์ดอาดูโน่ สำหรับควบคุมอุปกรณ์นิวแมติกส์ไฟฟ้าและยังเป็นการนำเอatechnology ในปัจจุบันมาประยุกต์ใช้เพื่อพัฒนางานและนวัตกรรมสำหรับอุตสาหกรรมต่อไป

## 2. วิธีการดำเนินงานวิจัย

งานวิจัยนี้เป็นการวิจัยเชิงทดลอง (Experimental Research) เพื่อพัฒนาชุดฝึกพี แอล ซี ด้วยระบบสมองกลผังตัวอาดูโน่สำหรับควบคุมอุปกรณ์นิวแมติกส์ไฟฟ้าซึ่งมีกรอบแนวคิดการวิจัยและขั้นตอนการดำเนินงานดังต่อไปนี้



## กรอบแนวคิดการวิจัย



**รูปที่ 2 กรอบแนวคิดการวิจัยเกี่ยวกับปัจจัยที่มีผลต่อประสิทธิภาพชุดฝึกไฟฟ้าอลูมิเนียมด้วยระบบสมองกลฝังตัวอาดูโน่ สำหรับควบคุมอุปกรณ์นิวแมติกส์ไฟฟ้า**

### 2.1 การเตรียมอุปกรณ์ในงานวิจัย

2.1.1 ศึกษาข้อมูลไมโครคอนโทรลเลอร์แบบสมองกลฝังตัวที่เกี่ยวกับอาดูโน่เพื่อเข้าใจความสามารถและข้อจำกัดของเทคโนโลยีและเรียนรู้วิธีการใช้งานอาดูโน่ โดยศึกษาจากแหล่งข้อมูลต่างๆ เช่น เอกสาร คู่มือ หนังสือ ตำราและงานวิจัยที่เกี่ยวข้องเพื่อเป็นแนวทางในการนำอาดูโน่มาใช้สำหรับควบคุมอุปกรณ์นิวแมติกส์ไฟฟ้า

2.1.2 ออกแบบโครงสร้างและการจัดวางตำแหน่งอุปกรณ์ซึ่งรายการอุปกรณ์สำหรับการทดลองมีดังนี้

2.1 บอร์ดอาดูโน่ นาโน	1 ตัว
2.2 บอร์ด ESP8266	1 ตัว
2.3 รีเลย์ 24 VDC	4 ตัว
2.4 รีเลย์ 5 VDC	4 ตัว
2.5 ตัวด้านทาน 1 kΩ	5 ตัว
2.6 สวิตช์แบบเลือกตำแหน่ง	1 ตัว
2.7 ไฟแสดงสถานะ 220 VAC	1 ตัว
2.8 อะแดปเตอร์แปลงไฟ 9 VDC	1 ตัว

2.1.3. ดำเนินการสร้างและติดตั้งอุปกรณ์ชุดฝึกไฟฟ้าอลูมิเนียมด้วยระบบสมองกลฝังตัวอาดูโน่ สำหรับควบคุมอุปกรณ์นิวแมติกส์ไฟฟ้า โดยมีขั้นตอนดังนี้

(1) การกำหนดภาคอินพุตและภาคเอาปุต (Input/Output Phase) ของบอร์ดอาดูโน่-นาโน ต้องสัมพันธ์กับ Address ในโปรแกรม Open PLC Editor ได้แก่ Digital In มีขาอินพุต 2, 3, 4, 5, 6 ตรงกับ Address %IX0.0 - %IX0.4 ส่วน Digital Out มีขาเอาปุต 7, 8, 12, 13 ตรงกับ Address %QX0.0 - %QX0.3 และ Analog In มีขาอินพุต A0, A1, A2, A3, A4, A5 ตรงกับ Address %IW0.0 - %IW0.5 Analog Out มีขาเอาปุต 9, 10, 11 ตรงกับ Address %QW0.0 - %QW0.2 และยังมีโมดูลคำสั่ง Timer, Counter สำหรับใช้ควบคุมงานแบบต่างๆ อีกด้วย

ทั้งนี้ หากต้องการจำนวนภาคอินพุตและเอาปุตที่มากกว่านี้ก็สามารถเลือกบอร์ดชนิดอื่นๆ ซึ่งมีข้อมูลในเว็บไซต์ของ Open PLC Editor โดยงานวิจัยนี้เลือกใช้บอร์ดอาดูโน่-นาโน เพราะมีขนาดเล็กสามารถ



## บทความวิจัย

ประกอบสีกล่องร่วมกับอุปกรณ์อื่นๆ ได้สะดวกและจำนวนขาอินพุตและเอาพุตมีเพียงพอ กับแบบทดสอบ ปฏิบัติการ

(2) การติดต่อระหว่างบอร์ดarduino-นาโน กับ อุปกรณ์นิวแมติกส์ไฟฟ้า เช่น เซนเซอร์ ลิมิตสวิตช์ ไฟฟ้าและโซลินอยด์ (Solenoid) จะใช้รีเลย์ (Relay) เป็นตัวรับ-ส่งสัญญาณ แต่ อุปกรณ์นิวแมติกส์ไฟฟ้าใช้ แรงดันไฟ 24 VDC ส่วนบอร์ดarduino-นาโน ใช้ แรงดันไฟ 5 VDC ดังนั้น ภาคอินพุตจึงใช้รีเลย์ 24 VDC เมื่ออุปกรณ์นิวแมติกส์ไฟฟ้าส่งสัญญาณ (Trigger) มา ยังรีเลย์ 24 VDC ขาดตอนแทค (Contact) เปเปลี่ยนสถานะแล้วดึงไฟ 5 VDC ส่งสัญญาณไปยังขา อินพุตของบอร์ดarduino-นาโน ตามข้อ 3.1 ส่วนภาคเอา พุตจะใช้รีเลย์ 5 VDC เมื่อบอร์ดarduino-นาโน ส่ง สัญญาณ (Trigger) จากขาเอาพุต มา ยังรีเลย์ 5 VDC ขาดตอนแทค (Contact) จะเปลี่ยนสถานะแล้วดึงไฟ 24 VDC ส่งสัญญาณไปยังโซลินอยด์ (Solenoid) ของ อุปกรณ์นิวแมติกส์ ทั้งนี้ภาคอินพุตของบอร์ดarduino-นาโน ต้องกำหนดสถานะให้กับขาอินพุตของบอร์ด เช่น HIGH, LOW หรือ 1, 0 เป็นต้น เพราะขณะที่ขาอินพุต ยังЛОอยู่หรือไม่มีล็อกจิก HIGH, LOW ส่งเข้ามาจะเกิด สัญญาณรบกวนซึ่งต้องแก้ไขด้วยการใช้ตัวต้านทาน (Resister) มาต่อครอมเพื่อทำไวจ์ร์ Pull Down ตาม รูปที่ 4 และรูปที่ 5

(3) บอร์ดarduino-นาโน จะใช้อะแดปเตอร์ (Adapter) 9 VDC ในการแปลงไฟฟ้าสำหรับใช้ในการทำงานของ บอร์ดและงานวิจัยนี้ได้สร้างปุ่มสวิตช์แบบออนไลน์จาก บอร์ดESP8266 หรือ NodeMCU ที่สามารถสั่งการ ทำงานของอุปกรณ์นิวแมติกส์ไฟฟ้าผ่านคอมพิวเตอร์ หรือโทรศัพท์มือถือได้เพื่อช่วยดึงดูด

ความสนใจของผู้เรียนให้กับชุดฝึกมากยิ่งขึ้น โดยมี ขั้นตอนการทำงานดังนี้

เริ่มต้นจากเขียนโค้ด (Coding) ด้วยโปรแกรม Arduino IDE แล้วอัปโหลดโค้ดลงในบอร์ด ESP8266 ซึ่งโค้ดที่เขียนจะควบคุมและสั่งการทำงานผ่านสัญญาณ ไวไฟ (Wi-Fi) ด้วยแอปพลิเคชัน Blynk IoT สำหรับ โทรศัพท์มือถือและเว็บไซต์ <https://blynk.io/> สำหรับ คอมพิวเตอร์ จากนั้นต่อสาย(Wiring) จากขาเอาพุต D0 ของบอร์ดESP8266 เชื่อกับขาอินพุต 6 ของบอร์ดarduino-นาโน สำหรับส่งสัญญาณ (Trigger) เพื่อเป็นปุ่ม สตาร์ทแบบออนไลน์สั่งให้อุปกรณ์นิวแมติกส์ไฟฟ้า ทำงาน ตามรูปที่ 6

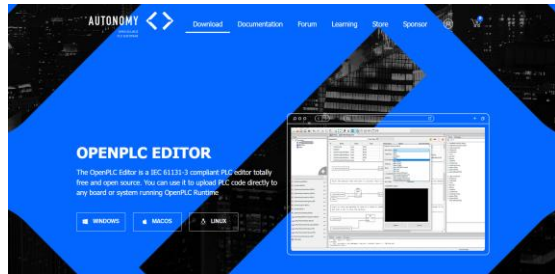
ทั้งนี้ การติดตั้งโปรแกรม Open PLC Editor สำหรับเขียนภาษาแลดเดอร์และอัปโหลดแลดเดอร์ลงใน บอร์ดarduino-นาโน เพื่อใช้ควบคุมอุปกรณ์นิวแมติกส์ไฟฟ้า หรือการเลือกใช้บอร์ดชนิดต่างๆ สามารถติดตั้ง ผ่านเว็บไซต์ <https://autonomylogic.com/download> ตามรูปที่ 3

(4) สร้างแบบประเมินคุณภาพชุดฝึกสำหรับให้ ผู้เชี่ยวชาญประเมิน โดยมีลักษณะเป็นแบบมาตราส่วน ประมาณค่า 5 ระดับ ประกอบด้วย 4 ด้าน คือ (1) ด้าน ลักษณะกายภาพ (2) ด้านลักษณะการใช้งาน (3) ด้าน การบำรุงรักษาและซ่อมแซม และ (4) ด้านความ เหมาะสมด้านการนำไปใช้ในการเรียนการสอน

(5) ประเมินคุณภาพชุดฝึกพี.แอล.ซี.ฯ โดย ผู้เชี่ยวชาญที่มีประสบการณ์ด้านการสอนนิวแมติกส์ ไฟฟ้า จำนวน 5 คน เพื่อประเมินคุณภาพของชุดฝึก พร้อมทั้งนำข้อมูลข้อเสนอแนะที่ได้จากผู้เชี่ยวชาญมา ปรับปรุงชุดฝึกให้มีความเหมาะสมมากยิ่งขึ้น โดย เกณฑ์ให้คะแนนแสดงตามตารางที่ 1



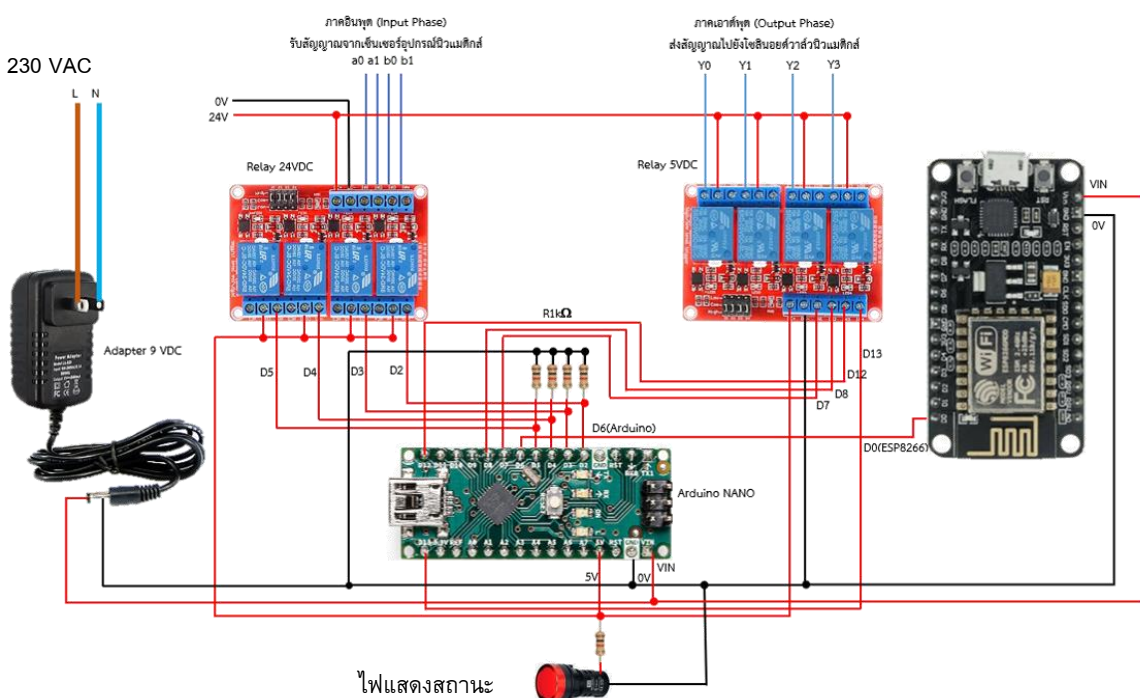
บทความวิจัย



รูปที่ 3 เว็บไซต์สำหรับการติดตั้งโปรแกรม Open PLC Editor และข้อมูลการเลือกใช้ออร์ดแบบต่าง ๆ

### ตารางที่ 1 ระดับน้ำหนักการให้คะแนน

ค่าน้ำหนัก	คะแนนเฉลี่ย	ระดับความคิดเห็น
5	4.51-5.00	มากที่สุด
4	3.51-4.50	มาก
3	2.51-3.50	ปานกลาง
2	1.51-2.50	น้อย
1	1.00-1.50	น้อยที่สุด



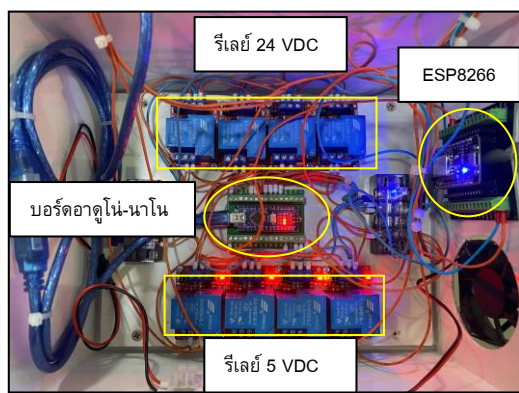
รูปที่ 4 วงจรชุดผึ้งพีแอลซีด้วยระบบสมองกลผังตัวอาทิตย์สำหรับควบคุมอุปกรณ์นิวแม่ดิจิส์ไฟฟ้า



บทความวิจัย



(a) Panel สำหรับต่ออุปกรณ์ภาคอินพุตและเอาปุ่ม



(b) การวางแผนและต่อวงจรชุดฝึกฟีล์ฟ้า

รูปที่ 5 การติดตั้งอุปกรณ์ชุดฝึกฟีล์ฟ้าด้วยระบบสมองกลผังตัวอาดูโน่สำหรับควบคุมอุปกรณ์นิวแมติกส์ไฟฟ้า

```
Blynk Online | Arduino IDE 2.3.5
File Edit Sketch Tools Help
NodeMCU 1.0 (ESP-12E Module)
BlynkSimpleEsp8266.h
1 #define BLYNK_TEMPLATE_ID "EMPL6QWrefce"
2 #define BLYNK_TEMPLATE_NAME "startlamp"
3 #define BLYNK_AUTH_TOKEN "kfjICOCmVkpds-tlmcAQEfCq-qPae"
4
5 #define BLYNK_PRINT Serial
6 #define lamp_out_08
7 #define switch_out_01
8
9 #include <ESP8266WiFi.h>
10 #include <BlynkSimpleEsp8266.h>
11
12 // Your WiFi credentials.
13 // Set passed to "for using networks.
14 char ssid[] = " ";
15 char pass[] = " ";
16 BLYNK_WRITE(0x0) //when blynk is connected
17 {
18   int lamp = param.asInt();
19   if(lamp==1){
20     digitalWrite(lamp_out,HIGH);
21   }else{
22     digitalWrite(lamp_out,LOW);
23   }
24 }
25 BLYNK_WRITE(V1) //when blynk is
26 {
27   int switch1 = param.asInt();
28   if(switch1==1){
29     digitalWrite(switch_out,HIGH);
30   }else{
31     digitalWrite(switch_out,LOW);
32   }
33 }
```

(a)

การเขียนโค้ดสำหรับ  
อัปโหลดลงบอร์ด ESP8266



(b)

การทดลองใช้ชุดฝึกต่อ กับ  
อุปกรณ์นิวแมติกส์



(c)

การสั่งอุปกรณ์นิวแมติกส์ไฟฟ้าผ่าน  
โทรศัพท์มือถือด้วยแอป Blynk IoT

รูปที่ 6 การเขียนโค้ด (Coding) และการอัปโหลดโค้ดลงในบอร์ด ESP8266 ที่ควบคุมและสั่งการทำงานผ่าน  
สัญญาณไวไฟ (Wi-Fi) ด้วยแอปพลิเคชัน Blynk IoT



บทความวิจัย

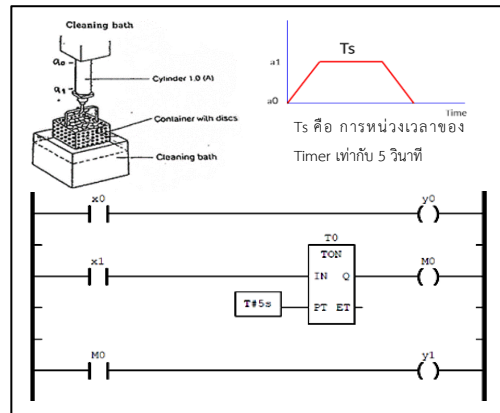
(6) ประเมินความพึงพอใจของผู้ใช้งานต่อชุดฝึกพีเอลซีด้วยระบบสมองกลฝังตัวอาดูโน่สำหรับควบคุมอุปกรณ์นิวแมติกส์ไฟฟ้า โดยเป็นผู้มีประสบการณ์ในการทำงานหรือด้านการสอนเกี่ยวกับนิวแมติกส์ไฟฟ้าจำนวน 10 คน เพื่อเป็นข้อมูลในการพัฒนาชุดฝึกให้มีความเหมาะสมต่อการเรียนการสอนในรายวิชาต่อไป

## 2.2 ขั้นตอนการทดลอง

การทดสอบชุดฝึกพีเอลซีด้วยระบบสมองกลฝังตัวอาดูโน่สำหรับควบคุมอุปกรณ์นิวแมติกส์ไฟฟ้าจะเป็นการนำแบบทดสอบการควบคุมนิวแมติกส์ไฟฟ้าด้วยพีเอลซีในรายวิชาห้องแมติกส์และไฮดรอลิกส์มาทำการเขียนวงจรเดอร์ร์และทดสอบการทำงานของชุดฝึก จากนั้นประเมินการทำงานของอุปกรณ์นิวแมติกส์ว่าตรงตามวัตถุประสงค์ของใบงานทดสอบหรือไม่ โดยมีรายละเอียดการดำเนินการ ดังนี้

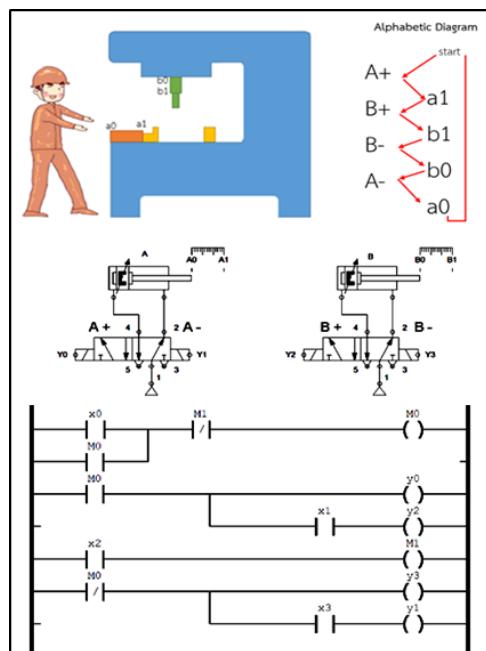
1. แนะนำเกี่ยวกับการเรียนการสอนด้วยชุดฝึกพีเอลซีด้วยระบบสมองกลฝังตัวอาดูโน่สำหรับควบคุมอุปกรณ์นิวแมติกส์ไฟฟ้าเพื่อให้ผู้เรียนได้เข้าใจในการใช้งานชุดฝึกพีเอลซี

2. ดำเนินการสอนด้วยชุดฝึกที่ได้สร้างขึ้นและเมื่อจบในแต่ละหัวข้องานให้ผู้เรียนฝึกปฏิบัติการในแต่ใบงานการทดลองโดยแบ่งออกเป็น 2 รูปแบบ คือ (1) การทดสอบการควบคุมระบบกลม 1 ตัว ได้แก่ วงจร Self-Holding, วงจร Inter-Lock, วงจร Timer และวงจร Counter (2) การทดสอบการควบคุมระบบกลม 2 ตัว ได้แก่ วงจร Sequence-Control, วงจร Self-Holding, วงจร Inter-Lock, วงจร Timer และวงจร Counter



รูปที่ 7 ตัวอย่างแบบทดสอบการควบคุมระบบกลม

1 ตัว ด้วยวงจร Timer



รูปที่ 8 ตัวอย่างแบบทดสอบการควบคุมระบบกลม

2 ตัว ด้วยวงจร Sequence-Control



## บทความวิจัย

3. ทดสอบหลังเรียน (Post-test) เมื่อผู้เรียนได้ผ่านการเรียนครบถ้วนทั้งหัวข้องานแล้ว ให้ทำการทดสอบด้วยแบบทดสอบปฏิบัติการอีกครั้ง

4. นำผลคะแนนที่ได้จากการฝึกปฏิบัติการทดลองระหว่างเรียน และการทดสอบปฏิบัติการหลังเรียนมาวิเคราะห์หาค่าเฉลี่ย ส่วนเบี่ยงเบนมาตรฐาน เปอร์เซ็นต์ร้อยละเพื่อหาประสิทธิภาพของชุดฝึกต่อไป

## 3. ผลการวิจัย

1. ผลการประเมินคุณภาพของชุดฝึก โดยให้ผู้เชี่ยวชาญจำนวน 5 คน ประเมินคุณภาพของชุดฝึกตามตารางที่ 2 พบว่าชุดฝึกมีคุณภาพอยู่ในระดับมาก 1 ด้านและระดับมากที่สุด 3 ด้าน เมื่อพิจารณาค่าเฉลี่ย เรียงตามลำดับเป็นรายด้าน ดังนี้ คือ ด้านการบ่มารุงรักษาและซ่อมแซม (ค่าเฉลี่ย 4.80, S.D.= 0.41) ด้านความเหมาะสมสมด้านการนำไปใช้ในการเรียนการสอน (ค่าเฉลี่ย 4.65, S.D.= 0.49) ด้านลักษณะการใช้งาน (ค่าเฉลี่ย 4.60, S.D.= 0.50) และด้านลักษณะทางกายภาพ (ค่าเฉลี่ย 4.10, S.D.= 0.72) จากนั้นทำการวิเคราะห์ CRV (Content Validity Ratio)

โดยการใช้ความรู้และเหตุผลในการประเมินคุณภาพของชุดฝึกพีแอลซีฯ จากผู้เชี่ยวชาญ (Panel of Experts) เป็นผู้พิจารณาซึ่งเป็นการหาความเที่ยงตรงเชิงเนื้อหา (Content Validity) และความเหมาะสมในการนำไปใช้งาน (Usability) ตามสูตรดังนี้ [11]

$$CVR = \frac{2N_e}{N} - 1 \quad (1)$$

เมื่อ

CVR แทน คุณภาพเชิงเหตุผล

$N_e$  แทน จำนวนผู้เชี่ยวชาญที่ยอมรับ

$N$  แทน จำนวนผู้เชี่ยวชาญทั้งหมด

เมื่อให้ผู้เชี่ยวชาญประเมินชุดฝึกพีแอลซีฯ ด้วยระบบสมองกลผังตัวอัตโนมัติรับควบคุมอุปกรณ์ นิวแม็ติกส์ไฟฟ้า จำนวน 5 คน และแต่ละคนคำนวณเป็นค่าเฉลี่ยที่ได้ คือ 4.59 4.59 4.65 4.29 และ 4.59 ทั้งนี้ ค่าเฉลี่ยของผู้เชี่ยวชาญที่จะยอมรับต้องอยู่ในระดับมากขึ้นไป (3.50-5.00) เท่านั้น และเมื่อพิจารณาค่าเฉลี่ยของผู้เชี่ยวชาญแต่ละคน พบว่าได้ค่าเฉลี่ยมากกว่า 3.50 ทุกคน ดังนั้น  $N_e$  จึงมีค่าเท่ากับ 5 แทนค่าในสูตร

$$CVR = \frac{2(5)}{5} - 1$$

$$CVR = 1.00$$

จากการแทนค่าตามสมการที่ (1) พบว่า ชุดฝึกพีแอลซีฯ ด้วยระบบสมองกลผังตัวอัตโนมัติรับควบคุมอุปกรณ์ นิวแม็ติกส์ไฟฟ้า มีคุณภาพเชิงเหตุผล (Rational Approach) จึงสามารถนำไปใช้งานได้ (โดยค่าที่คำนวณได้มากกว่าค่าการยอมรับขึ้นต่ำที่กำหนดไว้คือ 0.99)

2. ผลการวิเคราะห์ประสิทธิภาพของชุดฝึกพีแอลซีฯ ด้วยระบบสมองกลผังตัวอัตโนมัติรับควบคุมอุปกรณ์ นิวแม็ติกส์ไฟฟ้า โดยนำไปทดลองใช้กับกลุ่มตัวอย่างจำนวน 30 คน ผลการวิเคราะห์ข้อมูล ตามตารางที่ 4 พบว่า คะแนนจากการทดสอบระหว่างเรียนของกลุ่มตัวอย่าง จำนวน 30 คน ได้คะแนนเฉลี่ยเท่ากับ 85.37 คะแนน (S.D.เท่ากับ 2.11) คิดเป็นร้อยละ 85 ส่วนคะแนนทดสอบหลังเรียน ได้คะแนนเฉลี่ยเท่ากับ 92.83 คะแนน (S.D.เท่ากับ 2.43) คิดเป็นร้อยละ 93 และจากการทดสอบความแตกต่างของคะแนนสอบเฉลี่ยที่ใช้ชุดฝึกพีแอลซีฯ ด้วยการทดสอบแบบที--test (*t*-test)



## บทความวิจัย

จากโปรแกรมเอ็กเซล (Excel Programming) พบว่า คะแนนทดสอบเฉลี่ยหลังเรียนสูงกว่าคะแนนทดสอบเฉลี่ยระหว่างเรียนอย่างมีนัยสำคัญ [12]

ทั้งนี้ ได้ใช้วิธีการหาประสิทธิภาพเชิงประจักษ์ (Empirical Approach) ซึ่งจะพิจารณาประสิทธิภาพจากเปอร์เซ็นต์คะแนนการแบบทดสอบด้วยเกณฑ์ ( $E_1/E_2=80/80$ ) โดย 80 ตัวแรก ( $E_1$ ) คือ นักเรียนทั้งหมดที่ทดสอบระหว่างเรียนได้คะแนนเฉลี่ยร้อยละ 80 คือประสิทธิภาพของกระบวนการส่วน 80 ตัวหลัง ( $E_2$ ) คือ นักเรียนทั้งหมดที่ทดสอบหลังเรียนได้คะแนนเฉลี่ยร้อยละ 80 ใช้สูตรดังนี้

$$E_1 = \frac{\sum x}{N} \times 100 \quad (2)$$

$$E_2 = \frac{\sum x}{B} \times 100 \quad (3)$$

เมื่อ

$E_1$  แทน ประสิทธิภาพกระบวนการ

$E_2$  แทน ประสิทธิภาพของผลลัพธ์

$\sum x$  แทน คะแนนรวมของแบบทดสอบ

$N$  แทน จำนวนนักศึกษาทั้งหมด

$A$  แทน คะแนนเต็มของแบบทดสอบระหว่างเรียน

$B$  แทน คะแนนเต็มของแบบทดสอบหลังเรียน

เมื่อนำคะแนนทดสอบระหว่างเรียนและหลังเรียนมาคำนวณตามสูตรที่ (2)-(3) และกำหนดเกณฑ์ประสิทธิภาพไว้ที่ 80/80 พบว่าค่า  $E_1 = 85.37$  และ  $E_2 = 92.87$  ซึ่งค่า ( $85.37/92.87$ ) มากกว่าเกณฑ์ประสิทธิภาพ ( $80/80$ ) แสดงว่า ชุดฝึกพีแอลซีด้วยระบบสมองกลฝังตัวอาดูโน่สำหรับควบคุมอุปกรณ์นิวแมติกส์ไฟฟ้ามีประสิทธิภาพเชิงประจักษ์สามารถนำไปใช้งานได้จริง

3. ผลการวิเคราะห์ความพึงพอใจของผู้ใช้งานต่อชุดฝึกพีแอลซีด้วยระบบสมองกลฝังตัวอาดูโน่สำหรับควบคุมอุปกรณ์นิวแมติกส์ไฟฟ้า ผลการวิเคราะห์ตามตารางที่ 3 พบว่าผู้ใช้งานมีความพึงพอใจโดยรวมอยู่ในระดับมากที่สุด (ค่าเฉลี่ย 4.51 S.D. = 0.57) เมื่อพิจารณาเรียงตามลำดับเป็นรายข้อดังนี้ คือ การเรียนด้วยชุดทดลองในลักษณะนี้ ช่วยให้เข้าใจเนื้อหาที่เรียน (ค่าเฉลี่ย 4.80, S.D. = 0.42) ชุดฝึกนี้สามารถใช้ฝึกเป็นรายบุคคลหรือเป็นกลุ่มได้ (ค่าเฉลี่ย 4.70, S.D. = 0.48) ชุดฝึกมีรูปร่างและขนาดมีความเหมาะสมต่อการใช้งาน และขั้นตอนการต่อใช้งานไม่ยุ่งยากซับซ้อน มีค่าเฉลี่ยเท่ากัน (ค่าเฉลี่ย 4.60, S.D. = 0.52) การใช้งานชุดทดลองและการปฏิบัติทำได้สะดวก (ค่าเฉลี่ย 4.50, S.D. = 0.53) การเรียนด้วยชุดฝึกนี้ มีความปลอดภัยในขณะปฏิบัติการทดลอง และสามารถใช้ฝึกปฏิบัติได้ตามใบทดลองจริง มีค่าเฉลี่ยเท่ากัน (ค่าเฉลี่ย 4.40, S.D. = 0.52) และชุดฝึกมีการออกแบบได้เหมาะสมและกระตุนความสนใจ (ค่าเฉลี่ย 4.10, S.D. = 0.88)

**ตารางที่ 2 ผลการประเมินคุณภาพของชุดฝึกพิแออลซีด้วยระบบสมองกลผังตัวอาทูโน่สำหรับควบคุมอุปกรณ์นิวแมติกส์ไฟฟ้าโดยผู้เชี่ยวชาญ**

หัวข้อ	ค่าเฉลี่ย	S.D.	ระดับคุณภาพ
<b>ด้านลักษณะทางกายภาพ</b>			
1. การออกแบบดึงดูดและเร้าความสนใจ	3.60	0.55	มาก
2. การออกแบบสามารถประกอบได้ง่าย	4.60	0.55	มากที่สุด
3. รูปร่างและขนาดมีความเหมาะสมต่อการใช้งาน	4.60	0.55	มากที่สุด
4. ชิ้นส่วนมีความแข็งแรงทนทาน	3.60	0.55	มาก
<b>ค่าเฉลี่ยรวม</b>	<b>4.10</b>	<b>0.72</b>	<b>มาก</b>
<b>ด้านลักษณะการใช้งาน</b>			
1. มีความคล่องตัวในการใช้งานและการปฏิบัติทำได้สะดวก	4.60	0.55	มากที่สุด
2. สามารถใช้ฝึกปฏิบัติได้ตามใบงานทดลอง	5.00	0.00	มากที่สุด
3. มีประสิทธิภาพในการทดลองและผลการทดลองถูกต้อง	4.40	0.55	มาก
4. การใช้งานสะดวกและปลอดภัยในขณะปฏิบัติการทดลอง	4.60	0.55	มากที่สุด
5. การเตรียมอุปกรณ์และการปฏิบัติทำได้ง่าย	4.40	0.55	มาก
<b>ค่าเฉลี่ยรวม</b>	<b>4.60</b>	<b>0.50</b>	<b>มากที่สุด</b>
<b>ด้านการบำรุงรักษาและซ่อมแซม</b>			
1. การบำรุงรักษาทำได้งาน สะดวกในการใช้และเก็บรักษา	4.60	0.55	มากที่สุด
2. การจัดหาอุปกรณ์เพื่อการซ่อมแซมทำได้สะดวก	4.80	0.45	มากที่สุด
3. วัสดุอุปกรณ์ที่นำมาเป็นชุดทดลองสามารถจัดหาได้สะดวก	5.00	0.00	มากที่สุด
4. การซ่อมแซมไม่ทำให้อุปกรณ์เสื่อมหาย	4.80	0.45	มากที่สุด
<b>ค่าเฉลี่ยรวม</b>	<b>4.80</b>	<b>0.41</b>	<b>มากที่สุด</b>
<b>ด้านความเหมาะสมในการนำไปใช้สำหรับการเรียนการสอน</b>			
1. พัฒนาผู้เรียนทั้งด้านความรู้และการฝึกปฏิบัติ	4.40	0.55	มาก
2. ลดเวลาในการปฏิบัติงานและเหมาะสมกับระดับผู้เรียน	4.60	0.55	มากที่สุด
3. ผู้เรียนมีโอกาสปฏิบัติและมีส่วนร่วมในการพัฒนาชุดทดลอง	4.60	0.55	มากที่สุด
4. สามารถใช้เรียนเป็นรายบุคคลหรือเป็นกลุ่มได้	5.00	0.00	มากที่สุด
<b>ค่าเฉลี่ยรวม</b>	<b>4.65</b>	<b>0.49</b>	<b>มากที่สุด</b>



บทความวิจัย

### ตารางที่ 3 ประเมินความพึงพอใจของผู้ใช้งานต่อชุดผีกีฟีแลร์ซีด้วยระบบสมองกลผังตัวอัตโนมัติสำหรับควบคุมอุปกรณ์นิวแมติกส์ไฟฟ้า

ข้อที่	รายการประเมิน	ค่าเฉลี่ย	S.D.	ระดับความพึงพอใจ
1	ชุดผีกีฟีออกแบบได้เหมาะสมและกระตุ้นความสนใจ	4.10	0.88	มาก
2	ชุดผีกีฟีร่างและขนาดมีความเหมาะสมต่อการใช้งาน	4.60	0.52	มากที่สุด
3	การใช้งานชุดผีกีฟีและการปฏิบัติทำได้สะดวก	4.50	0.53	มาก
4	มีความปลอดภัยในขณะนิวแมติกส์	4.40	0.52	มาก
5	การเรียนด้วยชุดผีกีฟีในลักษณะนี้ ช่วยให้เข้าใจเนื้อหาที่เรียน	4.80	0.42	มากที่สุด
6	สามารถใช้ผีกีฟีได้ตามใบทดลองจริง	4.40	0.52	มาก
7	ขั้นตอนการต่อใช้งานไม่ยุ่งยากซับซ้อน	4.60	0.52	มากที่สุด
8	ชุดผีกีฟีสามารถใช้ผีกีฟีเป็นรายบุคคลหรือเป็นกลุ่มได้	4.70	0.48	มากที่สุด
ค่าเฉลี่ยรวม		<b>4.51</b>	<b>0.57</b>	<b>มากที่สุด</b>

### ตารางที่ 4 ผลคะแนนทดสอบระหว่างเรียนและหลังเรียนการใช้ชุดผีกีฟีแลร์ซี ด้วยโปรแกรมเอ็กเซล (Excel Programming)

การทดลอง	คะแนนทดสอบ	
	ระหว่างเรียน	หลังเรียน
จำนวน (คน)	30	30
ค่าเฉลี่ย	85.37	92.83
S.D.	2.11	2.43
คะแนนเต็ม	100	100
ร้อยละ	85	93
t	-12.9569	
p-value	< 0.05	

#### 4. อภิปรายผลและสรุปผลการวิจัย

- ผลการประเมินคุณภาพชุดผีกีฟีแลร์ซีด้วยระบบสมองกลผังตัวอัตโนมัติสำหรับควบคุมอุปกรณ์นิวแมติกส์ไฟฟ้า พบว่าอยู่ที่ระดับคุณภาพมากที่สุด ทั้งนี้เป็น เพราะว่าชุดผีกีฟีที่สร้างขึ้นนี้ ได้ทำการทดสอบการทำงานและผ่านการตรวจสอบคุณภาพจากผู้เชี่ยวชาญด้านต่างๆ ซึ่งได้ผ่านการปรับปรุงแก้ไขตามคำแนะนำ

ของผู้เชี่ยวชาญก่อนนำมาทดลองใช้จริง โดยมีเนื้อหาสาระครบถ้วน มีความกระชับและชัดเจน อีกทั้งผู้เรียนยังได้รับคำแนะนำในการเรียนรู้จากผู้สอน ทำให้สามารถเรียนรู้ด้วยความเข้าใจถูกต้องตามขั้นตอน และนำไปใช้จัดการเรียนการสอนได้เป็นอย่างดี

- ผลการวิเคราะห์ประสิทธิภาพของชุดผีกีฟีแลร์ซี ด้วยระบบสมองกลผังตัวอัตโนมัติสำหรับควบคุมอุปกรณ์นิวแมติกส์ไฟฟ้า พบว่าคะแนนทดสอบระหว่างเรียนค่อนข้างสูง คิดเป็นร้อยละ 85 ของคะแนนเต็ม เพราะอาจารย์ผู้สอนได้อธิบายและสาธิตวิธีการใช้ชุดผีกีฟีให้กับผู้เรียนจนเกิดความเข้าใจก่อนเข้าไปปฏิบัติการทดลองจริง ทั้งนี้คะแนนทดสอบหลังเรียนที่เพิ่มขึ้นมากกว่าคะแนนทดสอบระหว่างเรียน คิดเป็นร้อยละ 93 ของคะแนนเต็ม โดยมีค่าส่วนเบี่ยงเบนมาตรฐาน (S.D.) เท่ากับ 2.43 แสดงให้เห็นว่าคะแนนของผู้เรียนส่วนใหญ่อยู่ใกล้เคียงกับค่าเฉลี่ย กล่าวคือมีความสม่ำเสมอในการเรียนรู้ที่ดี เพราะหลังจากการทดลองระหว่างเรียนแล้ว อาจารย์ผู้สอนได้อธิบายถึงข้อผิดพลาดและคะแนนที่หักไปด้วยอย่างเช่น การเลือกใช้สีของสายไฟในการต่อวงจรนิว



## บทความวิจัย

แม่ติกส์ไฟฟ้าให้ถูกต้องหรือวิธีการถอดสายลมออกจากข้อต่อ瓦ล์วที่ถูกต้องเพื่อไม่ทำให้瓦ล์วเกิดการชำรุดเสียหาย รวมถึงการต่อวงจรไฟฟ้าจะต้องปิดแหล่งจ่ายไฟหรือเพาเวอร์ซัพพลายก่อนทุกครั้ง ซึ่งเป็นพื้นฐานความปลอดภัยในการทำงาน เป็นต้น ทำให้ผู้เรียน不但จำและเกิดการเรียนรู้จากข้อผิดพลาดต่างๆ ส่งผลให้ผู้เรียนมีคะแนนทดสอบปฏิบัติหลังการเรียนเพิ่มขึ้น

3. ความพึงพอใจของผู้ใช้งานต่อชุดฝึกไฟแอลซีด้วยระบบสมองกลฝังตัวอยู่ในสำหรับควบคุมอุปกรณ์นิวแม่ติกส์ไฟฟ้า มีค่าเฉลี่ยอยู่ในระดับมากที่สุด โดยผลการประเมินความพึงพอใจที่มีค่าเฉลี่ยมากสุด คือ การเรียนด้วยชุดฝึกในลักษณะนี้ช่วยให้เข้าใจเนื้อหาที่เรียน (ค่าเฉลี่ย 4.80 S.D. = 0.42) เนื่องจากโปรแกรม Open PLC Editor สามารถจำลองการทำงานของภาคอินพุตและภาคเอาพุตของวงจรแล็ตเตอร์และการที่นักศึกษาสามารถสั่งการทำงานของอุปกรณ์นิวแม่ติกส์ไฟฟ้าด้วยโทรศัพท์มือถือหรือคอมพิวเตอร์ผ่านสวิตช์แบบออนไลน์ด้วยแอปพลิเคชัน Blynk IoT ยังช่วยกระตุ้นความสนใจในการเรียนการสอน อีกทั้งผู้เรียนยังสามารถศึกษาเอกสารที่ใช้เป็นสื่อประกอบการสอนที่มีเนื้อหาเกี่ยวกับหัวข้อและใบงานแบบทดสอบก่อนเข้าเรียนได้เป็นอย่างดี

4. แบบประเมินที่ใช้ในงานวิจัยครั้งนี้ไม่ได้ทำการวิเคราะห์ดัชนีความสอดคล้อง (Index of Item Objective Congruence: IOC) เนื่องจากผู้วิจัยเพียงต้องการคำแนะนำและข้อเสนอแนะหรือความคิดเห็นบางส่วนเพื่อนำมาใช้ในการปรับปรุงชุดฝึกให้ดีขึ้นเท่านั้น ทั้งนี้หากมีการพัฒนาชุดฝึกครั้งต่อไปและกำหนดตัวชี้วัด

สมรรถนะที่ชัดเจน จึงควรที่จะใช้ (IOC) มาวิเคราะห์แบบประเมินเพื่อความถูกต้องสอดคล้องกับสิ่งที่ต้องการวัดผลซึ่งเป็นคุณลักษณะที่สำคัญของแบบประเมินหรือแบบทดสอบต่อไป

5. ช่องว่างงานวิจัย (Research Gab) ในงานวิจัยครั้งนี้ พบว่า (1) กลุ่มตัวอย่างเป็นนักศึกษาระดับปวส. ซึ่งกล่องงาน เท่านั้น ซึ่งควรทดสอบกับนักศึกษาระดับ ป.ตรี กลุ่มอุตสาหกรรมเพื่อศึกษาประสิทธิภาพชุดฝึก ตามสาขาวิชาชีพและขยายผลไปยังบุคลากรภาครัฐอุตสาหกรรม (2) ระบบปัจจุบันใช้การควบคุมวงจรระบบอุปกรณ์ 1–2 ตัว โดยใช้ Arduino Nano, ESP8266 และ Ladder อย่างง่าย ยังไม่ครอบคลุมเทคโนโลยีขนาดใหญ่ เช่น PLC หรือระบบสื่อสารอุตสาหกรรม IoT ขั้นสูง

6. ข้อเสนอแนะเชิงพัฒนาเพื่อการวิจัยในอนาคตมีดังนี้

6.1 พัฒนาคู่มือและสื่อการสอนแบบดิจิทัล เช่น วิดีโอสาธิต, คู่มือออนไลน์, หรือแบบฝึกหัดอินเทอร์แอคทีฟ เพื่อให้ผู้เรียนสามารถศึกษาด้วยตนเองทั้งก่อนและหลังเรียนได้สะดวกยิ่งขึ้น ลดการพึงพาครูผู้สอนและส่งเสริมการเรียนรู้แบบ Blended Learning

6.2 ขยายความสามารถของชุดทดลองให้รองรับระบบควบคุมที่ซับซ้อนยิ่งขึ้น โดยพัฒนาให้ชุดฝึกรองรับการควบคุมอุปกรณ์หลายชนิดพร้อมกัน เช่น เชอร์ตัวจับ, มอเตอร์ไฟฟ้า, หรือแขนกลอุตสาหกรรม รวมถึงรองรับการเขียนโปรแกรมควบคุมแบบลำดับเหตุการณ์ (Sequence Control) ที่ซับซ้อนมากขึ้น เพื่อฝึกให้นักศึกษามีทักษะใกล้เคียงกับงานในโรงงานจริง



6.3 เชื่อมต่อระบบกับเทคโนโลยี IoT และระบบผู้ร่วมระยะไกล โดยเพิ่มฟังก์ชันการควบคุมและติดตามผลแบบออนไลน์ (Remote Monitoring) ผ่านเว็บหรือแอปพลิเคชันเพิ่มเติม เพื่อให้สามารถดูสถานะและสั่งการระบบระยะไกลได้จริง นำไปสู่การเรียนรู้แนวคิดของ Smart Factory และอุตสาหกรรม 4.0 ได้ชัดเจนยิ่งขึ้น

## 5. กิตติกรรมประกาศ

งานวิจัยนี้ได้รับทุนสนับสนุนจาก คณะกรรมการ มหาวิทยาลัยเทคโนโลยีราชมงคลล้านนา วิทยาเขตขอนแก่น ขอขอบคุณคณาจารย์ปีแปรగเมธิชา ช่างกลโรงงานและสาขาวิชาวิศวกรรมอุตสาหการ ที่ให้คำปรึกษาตลอดจนสถานที่ในการดำเนินงานวิจัยครั้งนี้

## 6. เอกสารอ้างอิง

- [1] A.S. Ismailov and Z.B. Jo'Rayev, Study of arduino microcontroller board, Science and Education, 2022, 3(3), 172-179.
- [2] R. Escobar and C.A. Pérez Herrera, Low-cost USB interface for operant research using Arduino and Visual Basic, Journal of the Experimental Analysis of Behavior, 2015, 103(2), 427-435.
- [3] H. Zheng, J. Duan, Y. Dong and Y. Liu, Real-time fire detection algorithms running on small embedded devices based on MobileNetV3 and YOLOv4, Fire Ecology, 2023, 19, 31.
- [4] <https://www.arduino.cc/en/hardware#nanofamily>. (Accessed on 25 March 2025)
- [5] A. Al Fahim, M.M. Rahman, M.W. Hridoy and K.R. Uddin, Development of a PLC based automation cell for industry, Journal of Integrated and Advanced Engineering, 2023, 3(2), 87-100.
- [6] S. Niauronis, OPENPLC hardware speed performance comparison, Professional Studies: Theory and Practice, 2023, 27(1), 65-71.
- [7] P.C. Varma and G. Venkateswarlu, Automatic pneumatic power based object sorting system by using MITSUBISHI PLC, Journal of Science and Technology, 2015, 9, 91-97.
- [8] K. Meshram, R. Mekhe, Y. Meshram, A. Meshram and Y. Narule, Home automation using arduino, International Journal for Research in Applied Science and Engineering Technology, 2022, 10(12), 948-951.
- [9] J. Walker, T. Zidek, C. Harbel, S. Yoon, F.S. Strickland, S. Kumar and M. Shin, Soft robotics: A review of recent developments of pneumatic soft actuators, Actuators, 2020, 9(1), 3.
- [10] M.L. Dezaki, S. Hatami, A. Zolfagharian and M. Bodaghi, A pneumatic conveyor robot for color detection and sorting, Cognitive Robotics, 2022, 2, 60-72.



[11] S. Sukamolson, Various Methods to Find Content Validity of a Quantitative Research Tool and How to Choose the Appropriate Ones, Pasaa Paritat Journal, 2024, 39(1), 75-102. (in Thai)

[12] T. Chagpad and S. Duangbubpha, Development of Online Learning Material to Promote Decision-Making Ability in Morphine Administration in Clinical Simulation among the Third Year Nursing Students, Journal of Health and Nursing Education, 2023, 29(3), 1-18. (in Thai)



# การเพิ่มผลิตภาพและลดต้นทุนการขนถ่ายสินค้าด้วยการกำหนดเวลา มาตรฐานและการศึกษาการเคลื่อนไหว: กรณีศึกษาธุรกิจบริการคลังสินค้า สุกฤษฎี ลิมโพธิ์ทอง<sup>1\*</sup> และ คงฤทธิ์ ปิติฤกษ์<sup>2</sup>

<sup>1</sup> สาขาวิชาวิศวกรรมอุตสาหการ, คณะวิศวกรรมศาสตร์, มหาวิทยาลัยขอนแก่น

<sup>2</sup> ภาควิชาวิศวกรรมอุตสาหการ, คณะวิศวกรรมศาสตร์ มหาวิทยาลัยขอนแก่น

\* ผู้ประสานงานเผยแพร่ (Corresponding Author), E-mail: sugris.l@kku.ac.th

วันที่รับบทความ: 8 เมษายน 2568; วันที่ทบทวนบทความ: 15 กรกฎาคม 2568; วันที่ตอบรับบทความ: 24 กรกฎาคม 2568

วันที่เผยแพร่อนไลน์: 21 สิงหาคม 2568

**บทคัดย่อ:** งานวิจัยนี้มีวัตถุประสงค์เพื่อเพิ่มผลิตภาพและลดต้นทุนของกระบวนการขนถ่ายสินค้าในคลังสินค้าที่ให้บริการจัดเก็บเครื่องดื่มแอลกอฮอล์ประเภทเบียร์และสุรา โดยใช้แนวคิดการศึกษาการทำงาน (Work Study) ด้วยเทคนิคการวิเคราะห์เวลามาตรฐาน (Standard Time Analysis) และการศึกษาการเคลื่อนไหว (Motion Study) ครอบคลุม 7 งานย่อย ได้แก่ การขนสินค้าลงจากรถขนส่ง (Unloading), การตรวจสอบสินค้าเข้า (Inbound Checking), การจัดเก็บสินค้า (Put-Away), การหยิบสินค้า (Picking), การตีตรา (Stamping), การตรวจสอบสินค้าออก (Outbound Checking) และการขนสินค้าขึ้นรถขนส่ง (Loading) พร้อมการประยุกต์ใช้หลักการ ECRS (Eliminate, Combine, Rearrange, Simplify) และแนวคิดความสูญเปล่า 7 ประเภท เพื่อลดความสูญเปล่าในกระบวนการ และเพิ่มผลิตภาพ ผลการศึกษาพบว่า งาน Put-Away และ Stamping เป็นกิจกรรมකองขวดที่ใช้เวลาสูงกว่างานอื่นอย่างเห็นได้ชัด หลังการปรับปรุงพบว่าสามารถลดจำนวนรถยกได้ 4 คัน ลดจำนวนพนักงานได้ทั้งหมด 17 คน ส่งผลให้ลดต้นทุนได้มากกว่า 4.97 ล้านบาทต่อปี โดยยังสามารถรองรับปริมาณงานได้เท่าเดิม แสดงให้เห็นว่าการกำหนดเวลามาตรฐานและการจัดสรรทรัพยากรอย่างมีประสิทธิภาพสามารถลดต้นทุนได้จริง งานวิจัยนี้จึงแนะนำให้รับคลังสินค้าที่มีข้อจำกัดด้านงบประมาณ และต้องการแนวทางที่ประหยัด คุ้มค่า และนำไปประยุกต์ใช้ได้ทันที โดยไม่ต้องพึ่งพาระบบขนถ่ายสินค้าอัตโนมัติหรือเทคโนโลยีราคาแพง

**คำสำคัญ:** เวลามาตรฐาน; การศึกษาการเคลื่อนไหว; ผลิตภาพ; ต้นทุนการขนถ่ายสินค้า; การดำเนินงานคลังสินค้า



บหคવมวจช

สารสารวิชาการเทคโนโลยีอุตสาหกรรม (The Journal of Industrial Technology)

ISSN (online): 2697-5548

DOI: 10.14416/j.ind.tech.2025.08.014

## Enhancing Productivity and Reducing Handling Cost through Standard Time and Motion Study: A Case Study of a Warehouse Service Business

Sugris Limphothong<sup>1\*</sup> and Komkrit Pitiruek<sup>2</sup>

<sup>1</sup> Industrial Engineering Program, Faculty of Engineering, Khon Kaen University

<sup>2</sup> Department of Industrial Engineering, Faculty of Engineering, Khon Kaen University

\* Corresponding Author, E-mail: sugris.l@kku-mail.com

Received: 8 April 2525; Revised: 15 July 2025; Accepted: 24 July 2025

Online Published: 21 August 2025

**Abstract:** This research aims to enhance productivity and reduce handling costs in a warehouse storing alcoholic beverages such as beer and spirits. The research applies Work Study concepts, including Standard Time Analysis and Motion Study, across seven subprocesses: unloading, inbound checking, put-away, picking, stamping, outbound checking, and loading. It also integrates ECRS principles (Eliminate, Combine, Rearrange, Simplify) and the concept of the seven types of waste to eliminate inefficiencies and improve labor productivity. The findings indicate that put-away and stamping were identified as bottleneck activities with noticeably higher time consumption than other tasks. After implementing improvements, the number of forklifts was reduced by four, and 17 personnel positions were eliminated, resulting in annual cost savings of over 4.97 million baht—without compromising the warehouse's service capacity. These results demonstrate that effective standard time setting and resource allocation can significantly improve warehouse operations. The proposed approach is practical for warehouses facing budget constraints and seeking cost-effective, immediately applicable solutions without relying on high-cost automation systems or advanced technologies.

**Keywords:** Standard Time; Motion Study; Productivity; Handling Cost; Warehouse Operations



## 1. บทนำ

อุตสาหกรรมโลจิสติกส์เป็นกลไกสำคัญในการขับเคลื่อนเศรษฐกิจของประเทศไทย โดยรายงานโลจิสติกส์ประเทศไทย ปี 2566 ระบุว่า ต้นทุนคลังสินค้าคิดเป็น 6.4% ของ GDP รองจากต้นทุนขนส่งที่ 6.7% และสูงกว่าต้นทุนการบริหารโลจิสติกส์ที่ 1.0% ส่งผลให้ต้นทุนโลจิสติกส์รวมอยู่ที่ 14.1% ของ GDP [1] ซึ่งสูงกว่าค่าเฉลี่ยในเอเชียแปซิฟิกที่ 12.9% [2] และภายเป็นอุปสรรคต่อขีดความสามารถในการแข่งขันของประเทศ ในระดับปฏิบัติการ ต้นทุนคลังสินค้าคิดเป็น 45.27% ของต้นทุนโลจิสติกส์ทั้งหมด [1] โดยเฉพาะต้นทุนการขนถ่ายสินค้า ซึ่งสูงถึง 65% ของต้นทุนคลังสินค้า [3] คลังกรณีศึกษานี้พบว่าต้นทุนของถ่ายสินค้าสูงถึง 63% ของต้นทุนคลังสินค้า และมีผลิตภาพเพียง 12.97 พาเลท/ชั่วโมง สะท้อนถึงปัญหาการใช้แรงงานและรatoryอย่างไม่มีประสิทธิภาพ งานวิจัยนี้จึงมุ่งหาแนวทางเพิ่มผลิตภาพและลดต้นทุนของถ่ายสินค้า โดยไม่ต้องพึ่งพาการลงทุนระบบอัตโนมัติราคาแพง

จากการวิจัยที่ผ่านมา พบว่า Gopalan et al. [4] ได้ใช้ Time and Motion Study เพื่อวิเคราะห์เวลาทำงานและการเคลื่อนไหวของแรงงานและอุปกรณ์ในกระบวนการโลจิสติกส์ภายในโรงงาน เพื่อลดความสูญเปล่าและจัดสรรทรัพยากรอย่างมีประสิทธิภาพ ผลลัพธ์แสดงให้เห็นถึงการใช้แรงงานและเวลาได้คุ้มค่ามากขึ้น แนวทางดังกล่าวสะท้อนแนวคิดของผู้วิจัยในการเพิ่มผลิตภาพและลดต้นทุนด้วยเทคนิคง่าย ๆ ที่ไม่ต้องพึ่งเทคโนโลยีขั้นสูงในคลังสินค้า

การศึกษาของ Ahmad et al. [5] มุ่งเน้นการใช้เครื่องมือ ECRS เพื่อรับและลดภาระที่ไม่เพิ่ม

คุณค่าในคลังสินค้า โดยสามารถลดความสูญเปล่าได้ถึง 25% และลดค่าแรงในจุดคงขวด ผลลัพธ์นี้สอดคล้องกับปัญหาที่พบในคลังสินค้าของผู้วิจัย และช่วยยืนยันแนวทางการจัดการจุดคงขวด เช่น การตรวจสอบและการตีตราสินค้า เพื่อเพิ่มประสิทธิภาพและลดต้นทุน

งานวิจัยของ Ivanov et al. [6] ได้ใช้ ECRS ควบคู่กับวิเคราะห์เวลาและการงาน ช่วยเพิ่มประสิทธิภาพ 15% และลดเวลาเรอ 20% โดยจัดสรรงรภยากรตามเวลามาตรฐาน ผสมประยุกต์แนวคิดนี้ในรูปแบบ Forklift Pool และ Worker Pool เพื่อบริหารทรัพยากระหว่างขาเข้าและขาออกให้มีความยืดหยุ่นมากขึ้น

จากข้อมูลดังกล่าว งานวิจัยนี้ขอเสนอการเพิ่มผลิตภาพและลดต้นทุนของกระบวนการถ่ายสินค้าในคลังสินค้าที่ให้บริการจัดเก็บเครื่องตีมและกล่องออล์ โดยมีวัตถุประสงค์หลักดังนี้ (1) เพื่อกำหนดเวลามาตรฐานให้ทุกงานย่อของกระบวนการถ่ายสินค้าขาเข้าและขาออก (2) เพื่อลดต้นทุนการขนถ่ายสินค้าโดยยังคงรองรับปริมาณงานได้เท่าเดิม และ (3) เพื่อเพิ่มผลิตภาพของกระบวนการถ่ายสินค้าของคลังสินค้า

## 2. วิธีการดำเนินงานวิจัย

การวิจัยนี้มุ่งวิเคราะห์กระบวนการขนถ่ายสินค้าขาเข้าและขาออก ด้วยรายละเอียดต่อไปนี้

### 2.1 กระบวนการศึกษาประกอบด้วย 2 ส่วนหลัก

2.1.1 กระบวนการขนถ่ายสินค้าขาเข้าประกอบด้วยงานย่ออย Unloading, Inbound Checking, และ Put-Away

2.1.2 กระบวนการขนถ่ายสินค้าขาออกประกอบด้วยงานย่ออย Picking, Stamping, Outbound Checking, และ Loading



## 2.2 กลุ่มตัวอย่าง

2.2.1 ขั้นตอนการคัดเลือกกลุ่มตัวอย่าง ตามเกณฑ์คุณสมบัติ ดังนี้

### 2.2.1.1 คุณสมบัติด้านประสบการณ์

- พนักงานต้องมีประสบการณ์ในตำแหน่งอย่างน้อย 2 ปี
- พนักงานขับรถยกต้องได้รับใบรับรองการควบคุมรถยกตามมาตรฐานความปลอดภัยมาแล้วไม่น้อยกว่า 2 ปี

### 2.2.1.2 คุณสมบัติด้านพฤติกรรมการทำงาน

- ปฏิบัติงานได้อย่างสม่ำเสมอ ไม่เร่งรีบหรือช้าจนเกินไป
- มีทัศนคติที่ดีต่องาน และสามารถทำงานได้อย่างมีประสิทธิภาพ

### 2.2.1.3 ความเข้าใจในวัตถุประสงค์ของการศึกษา

- เข้าใจวัตถุประสงค์ของการศึกษาเกี่ยวกับการกำหนด เวลามาตรฐาน
- แสดงความสมัครใจและให้ความร่วมมือในการเก็บข้อมูล เพื่อความแม่นยำและสามารถนำไปใช้ในการปรับปรุงงานได้จริง

2.2.2 จำนวนกลุ่มตัวอย่างที่ใช้จริง จากการคัดเลือกตามเกณฑ์ข้างต้น ได้กลุ่มตัวอย่างที่เข้าร่วมในการเก็บข้อมูลรวมทั้งสิ้น 12 คน ดังนี้

- พนักงานขับรถยก 6 คน ตำแหน่งที่ Unloading, Put-Away, Picking, Loading
- พนักงานตรวจสอบสินค้าเข้าและออก 3 คน
- พนักงานตีตราสินค้า (Stamping) 3 คน

## 2.3 เครื่องมือที่ใช้ในการวิจัย

แบบฟอร์มต่างๆ และนาฬิกาจับเวลาเป็นเครื่องมือสำคัญในการเก็บข้อมูลภาคสนาม

## 2.4 ข้อมูลที่ใช้ในการวิเคราะห์

ข้อมูลปัจจุบัน ดังแสดงในตารางที่ 1, 2 และ 3

ตารางที่ 1 เวลามาตรฐานและผลิตภาพของงานย่อยก่อนศึกษา ภายใต้ Utilization 100%

งานย่อย	ก่อนศึกษา	
	เวลามาตรฐาน (วินาที/พาเลท)	ผลิตภาพ (พาเลท/ชม.)
Unloading	53	67.92
Inbound Checking	60	60
Put-Away	85.4	42.15
Picking	127.5	28.24
Stamping	277.5	12.97
Outbound Checking	75	48
Loading	75	48

หมายเหตุ: Utilization = 100% หมายถึง การที่พนักงานหรือทรัพยากรถูกใช้งานอย่างเต็มประสิทธิภาพในทุกนาทีของเวลาทำงานที่กำหนด [7,8]

ตารางที่ 2 สรุปต้นทุนการขนถ่ายสินค้ารวมของคลังสินค้ากรณีศึกษา แยกตามประเภททรัพยากร

ประเภททรัพยากร	จำนวน	ต้นทุนรวม (บาท/ปี)
รถยก (Forklift) และค่าเชื้อเพลิง	22 คัน	20,671,204.31
พนักงานขับรถยก	22 คน	12,590,438.66
Inbound Checker	5 คน	3,484,407.38
Outbound Checker	8 คน	5,575,051.81
พนักงานตีตรา	37 คน	16,405,303.84
ต้นทุนขนถ่ายสินค้ารวม		58,726,406.00



บทความวิจัย

### ตารางที่ 3 ปริมาณสินค้าขาเข้าและขาออกเฉลี่ยรายชั่วโมงในคลังสินค้ากรณีศึกษา

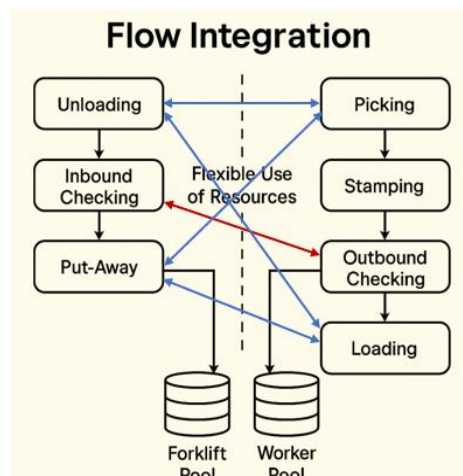
ช่วงเวลา	ปริมาณสินค้า ปัจจุบันตั้งแต่	ปริมาณสินค้า ขาเข้า
	(พาเลท)	ขาออก (พาเลท)
07:00-08:00	260	n/a
08:01-09:00	208	92
09:01-10:00	104	56
10:01-11:00	102	224
11:01-12:00	80	176
12:01-13:00	79	120
13:01-14:00	78	113
14:01-15:00	78	112
15:01-16:00	76	112
16:01-17:00	52	88
17:01-18:00	26	56
รวมทั้งหมด	1,143	1,149

ผู้วิจัยศึกษาข้อมูลปัจจุบันของคลังสินค้ากรณีศึกษา โดยวิเคราะห์ปัญหาเชิงระบบของการจัดการทรัพยากรุ่นถ่ายสินค้าระหว่างกระบวนการขาเข้าและขาออก ดังรายละเอียดแสดงใน ตารางที่ 1, ตารางที่ 2 และ ตารางที่ 3 รวมทั้งแผนการจัดสรรทรัพยากรที่ใช้อยู่ในปัจจุบัน

2.4.2 การวิเคราะห์กระบวนการ พ布ว่า ฝั่งขาเข้ามี 3 งานย่อย ได้แก่ Unloading, Inbound Checking, และ Put-Away ส่วนขาออกมี 4 งานย่อย ได้แก่ Picking, Stamping, Outbound Checking, และ Loading แม้จะมีความแตกต่างกันเชิงโครงสร้าง แต่การจัดสรรทรัพยากรถูกแยกออกจากกันโดยสิ้นเชิง (Silo Operations) ขาดการแบ่งปันทรัพยากร เช่น รถยกหรือพนักงานตรวจสอบสินค้า ทำให้บางช่วงเวลาฝั่งหนึ่งเกิดภาระงานสูงแต่ขาดทรัพยากร ขณะที่อีกฝั่งมีทรัพยากรเหลือ

ใช้ นำไปสู่ต้นทุนที่ไม่จำเป็นและ ผลิตภาพต่ำกว่าศักยภาพจริง ผู้วิจัยเห็นว่า Flow Process Chart ไม่เพียงพอในการอธิบายการจัดสรรทรัพยากรข้ามกระบวนการ จึงเสนอแนวทาง Flexible Resource Integration โดยออกแบบระบบบริหารจัดการทรัพยากรแบบ Dynamic ที่สามารถปรับใช้รถยกและแรงงานข้ามฝั่งตามปริมาณงานในแต่ละช่วงเวลา เพื่อเพิ่มประสิทธิภาพการใช้ทรัพยากรและลดความสูญเปล่า [9,10] ดังภาพ Flow Integration Diagram ต่อไปนี้

ลูกศร 2 ทิศทางแสดงการไหลเวียนของทรัพยากรแบบยืดหยุ่นตามลักษณะงานที่มีความต้องการสูงในแต่ละช่วงเวลา ระหว่างงาน Inbound และ Outbound นอกจากนี้ ผู้วิจัยยังได้ขยายขอบเขตของแนวคิด ECRS และ 7 Wastes จากระดับการวิเคราะห์ภายในกระบวนการ (micro-level) ไปสู่ระดับการจัดการทรัพยากรแบบระบบ (system-level management) คือระหว่างกระบวนการ หรือขั้มกระบวนการ (รูปที่ 1) ดังนี้



รูปที่ 1 ภาพการบูรณาการไหลของงาน

**ECRS**

- **Eliminate** ยกเลิกการกำหนดการใช้รถยกและพนักงานตรวจสอบสินค้าและกระบวนการ และให้รวมการใช้ทรัพยากรดังกล่าว เพื่อความยืดหยุ่น
  - **Combine** รวมกลั้งคนและรถยกจาก Inbound และ Outbound ให้สามารถสนับสนุนชึ้นกันและกัน
  - **Rearrange** ปรับรูปแบบการทำงานจากแยกกระบวนการ เป็นการบริหารตาม Demand-based Scheduling
  - **Simplify** แนวคิด “Forklift Pool” และ “Worker Pool” ช่วยรวมการวางแผนรถยกและพนักงานระหว่างงานขาเข้า-ขาออก แทนการแยกฝ่ายแบบเดิม ทำให้จัดสรรทรัพยากรได้ยืดหยุ่นตามปริมาณงาน ลดความซับซ้อน และเพิ่มประสิทธิภาพในการควบคุมทรัพยากรโดยรวม
- 7 Wastes** (เมื่อขยายแนวคิดสู่ระดับการจัดการระบบ)

- **Waiting** ในช่วงขากอกมีปริมาณงานต่า ลดเวลารอคอยของรถยกและพนักงานตรวจสอบสินค้าขาออก โดยส่งไปช่วยทำงานขาเข้าในช่วงขาเข้า Peak ในทางกลับกัน ขาเข้าก็ส่งไปช่วยขาออก เพื่อลดเวลาการอคอย
- **Motion** ลดการเคลื่อนไหวที่เกินความจำเป็นชึ่งเกิดจากการจัดการทรัพยากรที่ไม่มีประสิทธิภาพ แม้ดูเหมือนทำงานแต่ทรัพยากรอึกผึ่งกลับว่างเปล่า ปัญหานี้สามารถแก้ไขได้ด้วยแนวทาง Cross-functional Allocation ที่เน้นความยืดหยุ่นในการใช้ทรัพยากรร่วมกัน [11,12]

- **Underutilized talent** แก้ปัญหาพนักงานหรือรถยกที่ไม่ได้ใช้งานในช่วงเวลาทำงานน้อย โดยให้ไปช่วยกระบวนการที่ Peak

**● Overproduction / Inventory:**

ในคลังกรณีศึกษา ช่วง 7:00–9:00 น. ขาเข้างานแน่นรถยกและพนักงานขาเข้าไม่พอ ขณะเดียวกันขาออกไม่ค่อยมีงาน แต่รถยกและพนักงานก็ “อยู่เฉย” (ว่าง)

ให้มองว่า “ทรัพยากรที่ว่าง” เป็น Inventory ที่ต้องหมุนเวียนใช้งานให้เร็ว วางแผน Flow Integration ให้รถยกจากขาออกมาช่วยขาเข้าช่วงครัว ปรับการจัดตารางทำงานและ Cross-Training เพื่อให้พนักงานตรวจสอบสินค้าสามารถลับทำงานขาเข้าและขาออกได้

**2.5 จับเวลาเบื้องต้น ( $N'$ ) ของการทำงาน**

เมื่อได้ค่า  $N'$  ของแต่ละงานย่ออย่างแล้ว นำไปคำนวณหาค่าต่างๆ [13] ดังนี้

- 2.5.1 จับเวลาเบื้องต้นของการทำงาน โดย
  - 2.5.1.1 ถ้าวันนี้จัดการของงานย่ออยสั้นกว่าหรือเท่ากับ 120 วินาที ให้จับเวลางานย่ออยนั้นมา 10 ค่า ดังนี้

Unloading: **29,35,31,29,35,35,31,34,35,32**

Ib. Checking: **21,27,24,26,27,24,26,27,27,24**

Put-Away: **48,58,53,56,50,50,49,54,49,49**

Picking: **71,81,72,73,72,78,79,77,71,78**

Ob. Checking: **11,14,11,12,14,11,13,14,12,14**

Loading: **58,68,58,58,64,67,61,61,61,66**

- 2.5.1.2 ถ้าวันนี้จัดการของงานย่ออย่างมากกว่า 120 วินาที ให้จับเวลางานย่ออยนั้นมา 5 ค่า ดังนี้

Stamping: **123, 125, 125, 114, 124**

**2.5.2 หาค่าพิสัย (Range, R) ของเวลาเบื้องต้น ( $N'$ )**

$$\text{จาก } R = H - L \quad (1)$$

เมื่อ  $H$  คือ ค่าเวลาสูงสุด และ  $L$  คือ ค่าเวลาต่ำสุด จากสมการ (1) ได้ค่า  $R$  ของทุกงานย่ออย่างดังนี้

Unloading:  $R=6$ , Ib. Checking:  $R=6$ , Put-Away:  $R=10$ , Picking:  $R=10$ , Stamping:  $R=11$ , Ob. Checking:  $R=3$ , Loading:  $R=10$



### 2.5.3 คำนวณค่าเฉลี่ย ( $\bar{X}$ ) จาก

$$\bar{X} = (H+L) \div 2 \quad (2)$$

จากสมการ (2) หาค่า  $\bar{X}$  ของทุกงานย่อย ได้ดังนี้  
 Unloading:  $\bar{X}=32$ , lb. Checking:  $\bar{X}=24$ , Put-Away :  $\bar{X}=53$ , Picking:  $\bar{X}=76$ , Stamping:  $\bar{X}= 119.5$ , Ob. Checking:  $\bar{X}=12.5$ , Loading:  $\bar{X}=63$

### 2.5.4 คำนวณหาค่า $R/\bar{X}$ ของทุกงานย่อย ได้ดังนี้

Unloading:  $R/\bar{X}=0.19$ , lb. Checking:  $R/\bar{X}=0.25$ , Put-Away:  $R/\bar{X}=0.19$ , Picking:  $R/\bar{X}=0.13$ , Stamping:  $R/\bar{X}=0.09$ , Ob. Checking:  $R/\bar{X}= 0.24$ , Loading:  $R/\bar{X}= 0.16$

### 2.5.6 นำค่า $R/\bar{X}$ ของแต่ละงานย่อย ไปเปิดหาค่า N ในตารางที่ 4

ตารางที่ 4 จำนวนครั้งในการจับเวลาที่เหมาะสมที่ระดับความเชื่อมั่น 95% และความคลาดเคลื่อน  $\pm 5\%$  [13]

$\frac{R}{\bar{X}}$	ข้อมูลจากกลุ่ม		ข้อมูลจากกลุ่ม		ข้อมูลจากกลุ่ม	
	5	10	5	10	5	10
0.10	3	2	0.42	52	30	0.74
0.12	4	2	0.44	57	33	0.76
0.14	6	3	0.46	63	36	0.78
0.16	8	4	0.48	68	39	0.80
0.18	10	6	0.50	74	42	0.82
0.20	12	7	0.52	80	46	0.84
0.22	14	8	0.54	86	49	0.86
0.24	17	10	0.56	93	53	0.88
0.26	20	11	0.58	100	57	0.90
0.28	23	13	0.60	107	61	0.92
0.30	27	15	0.62	114	65	0.94
0.32	30	17	0.64	121	69	0.96
0.34	34	20	0.66	129	74	0.98
0.36	38	22	0.68	137	78	1.00
0.38	43	24	0.70	145	83	n/a
0.40	47	27	0.72	153	88	n/a

จากการเปิดหาค่า N ในตารางที่ 4 ได้ค่า N ของแต่ละงานย่อยทั้งหมด และค่า N สูงสุด=11 จึงปัดขึ้นเป็นค่า N=20 นำมาใช้เป็นจำนวนครั้งที่เหมาะสมในการจับเวลาของทุกงานย่อย ค่า N ยิ่งมากยิ่งดี [13] และบันทึกค่าเวลาที่จับได้ทั้งหมด 20 ค่า (N=20) ของแต่ละงานย่อยลงในตารางที่ 6

### 2.6 การคำนวณเวลาปกติ

นำเวลาที่จับได้เฉลี่ย (Average Time, AT) คูณ กับค่าความเร็ว การทำงานของพนักงาน (Rating Factor, RF) ดังสมการ (3)

$$NT = AT \times RF \quad (3)$$

การประเมินค่า RF ดังแสดงในตารางที่ 5



### ตารางที่ 5 การประเมินค่า RF ตามวิธีเวสติงเฮาส์ [14]

ทักษะการทำงาน	ความพิเศษ	ผู้อนุมัติการทำงาน	ความสม่ำเสมอ
ดีเยี่ยมสุด	มากเกินไป	ดีเลิศ	สมบูรณ์
A1=+0.15	A1=+0.13	A=+0.06	A= +0.04
A2=+0.13	A2=+0.12		
ดีมาก	ดีมาก	ดีมาก	ดีมาก
B1=+0.11	B1=+0.10	B=+0.04	B= +0.03
B2=+0.08	B2=+0.08		
ดี	ดี	ดี	ดี
C1=+0.06	C1=+0.05	C=+0.02	C= +0.01
C2=+0.03	C2=+0.02		
ปานกลาง	ปานกลาง	ปานกลาง	ปานกลาง
D=0.00	D=0.00	D=0.00	D= 0.00
พอใช้	พอใช้	พอใช้	พอใช้
E1=-0.05	E1= -0.04	E= -0.03	E= -0.02
E2=-0.10	E2= -0.08		
แย่	แย่	แย่	แย่
F1= -0.16	F1= -0.12	F= -0.07	F= -0.04
F2= -0.22	F2= -0.17		

หมายเหตุ: พนง.ขับรถยก RF = 1.08 และพนง.ตรวจสอบสินค้าและพนง.ตีตรา RF=1.10 ตามแนวทางของ [8,10]

เมื่อได้ค่าเวลาปกติแล้ว นำไปคำนวณหาค่าเวลา มาตรฐาน โดยนำเวลาปกติ และค่าเพิ่ม (Allowance) ซึ่ง ค่าเพิ่อมความเมื่อยล้าวนนี้ สรุปได้ ดังนี้

- พนักงานขับรถยกและตรวจสอบสินค้า มี ช่วงเวลาอุดຍอย จึงกำหนด AF=9% ซึ่งสอดคล้องกับ [8,10]
- สำหรับพนักงานตีตราสินค้า ต้องใช้กล้ามเนื้อ ยกกล่องเบรียร์หนัก 6–8 กิโลกรัมทุกกล่อง ทำให้ กล้ามเนื้อเกิดความเมื่อยล้าสูง จึงได้กำหนด AF=11% ตามแนวทางของ [8] ไปแทนลงในสมการที่ (4)

### 2.7 การคำนวณเวลามาตรฐาน

$$\text{เวลามาตรฐาน (ST)} = NT \times 100 / (100 - \%AF) \quad (4)$$

รายละเอียดและผลการคำนวณเวลามาตรฐานของ แต่ละงานย่อยแสดงในตารางที่ 7

### 2.8 การคำนวณหาอัตรากำลังและจำนวนรถยกที่ เหมาะสม

หลังจากได้เวลามาตรฐานของแต่ละงานย่อยครบ แล้ว นำมาคำนวณหาอัตรากำลังและจำนวนรถยกที่ เหมาะสม ด้วยสมการ (5), (6), และ (7) [10]



## ตารางที่ 6 ผลการจับเวลา การประเมินอัตราความเร็วในการทำงาน (RF) และการคำนวณเวลาปกติ [13]

ใบบันทึกการจับเวลา																				
กระบวนการ: ขยนถ่ายสินค้าเข้ามา			ประเภทสินค้า: เมียร์ 620						ว/ด/ป ที่บันทึก 3-26 กันยายน 2567											
วิธีการ: บันทึก ปรับปรุง		จำนวนสินค้าเต็มพาเลท: 75 กล่อง	ผู้จับเวลา: .....																	
งาน Unloading, Put-Away, Picking, และ Loading ใช้รถยก (Forklift) เป็นอุปกรณ์หลักในการเคลื่อนย้ายสินค้าที่ลงทะเบียน งาน ib_check, ob_check เป็นงานตรวจสอบข้อมูลบน PDA กับข้อมูลบนพาเลทที่ลงทะเบียน ไม่ได้ใช้แรงกายยกสินค้า งาน Stamping ยกสินค้าขึ้นมาที่ลงทะเบียน เพื่อติดตรา บันกล่องทุกใบหงุด 75 กล่อง ต่อ พาเลท กล่องสินค้ามี น้ำหนักประมาณ 6-8 กก. ต่อ กล่อง																				
ลำดับ	งานย่อย	1	2	3	4	5	6	7	8	9	10	Avg. Time (AT)	Rating Factor (RF)	NT= AT x RF						
1	Unloading	29	35	31	29	35	35	31	34	35	32	32.20	108%	34.78						
		34	32	29	35	35	34	29	29	29	32									
2	Inbound Checking	21	27	24	26	27	24	26	27	27	24	23.87	110%	26.26						
		22	25	22	23	21	20	23	20	23	25									
3	Put-Away	48	58	53	56	50	50	49	54	49	49	53	108%	57.24						
		58	56	50	58	56	58	55	53	52	48									
4	Picking	71	81	72	73	72	78	79	77	71	78	75	108%	81						
		74	77	75	77	76	77	71	75	73	73									
5	Stamping	123	125	126	114	114	125	124	121	125	112	120.5	110%	132.55						
		108	126	107	122	126	124	125	124	124	115									
6	Outbound Checking	11	14	11	12	14	11	13	14	12	14	12.7	110%	13.97						
		13	11	13	13	12	13	11	14	14	14									
7	Loading	58	68	58	58	64	67	61	61	61	66	63.25	108%	68.31						
		59	65	67	62	63	65	61	67	67	67									

### หมายเหตุ:

RF มากกว่า 1 หมายถึง พนักงานทำงานได้เร็วกว่ามาตรฐานทั่วไป จึงต้องปรับเวลาที่จับได้ให้สูงขึ้น เพื่อให้สะท้อน 'เวลาทำงานตามมาตรฐานของคนทั่วไป' ได้อย่างยุติธรรม" หรือ ค่า RF มากกว่า 1 ใช้เพื่อชดเชยกรณีที่พนักงานทำงานได้เร็วกว่าค่าเฉลี่ยมาตรฐาน เพื่อให้เวลาปกติ ที่คำนวณได้สะท้อนระดับความสามารถทั่วไปของพนักงานปกติ ไม่ใช่พนักงานที่มีความสามารถข้างๆเป็นพิเศษ [8]



## บทความวิจัย

### ตารางที่ 7 ผลการคำนวณเวลามาตรฐาน (ST) ของแต่ละงานอยู่ (หน่วย:วินาที/พาเลท)

Unloading	$ST_{unloading} = 34.78 \times 100 / (100-9) = 38.22$
Inbound Checking	$ST_{inb\_check} = 26.26 \times 100 / (100-9) = 28.86$
Put-Away	$ST_{put\_away} = 57.24 \times 100 / (100-9) = 62.90$
Picking	$ST_{pick} = 81 \times 100 / (100-9) = 89$
Stamping	$ST_{stamp} = 132.55 \times 100 / (100-11) = 148.93$
Outbound Checking	$ST_{ob\_check} = 13.97 \times 100 / (100-9) = 15.35$
Loading	$ST_{load} = 68.31 \times 100 / (100-9) = 75.07$

1. หาเวลามาตรฐานรวม (Total Standard Time) ที่ใช้จัดการกับปริมาณงานตามจริงรายชั่วโมงจากสมการ (5) ดังนี้

$$\text{เวลามาตรฐาน} = \frac{\text{ปริมาณงานรายชั่วโมง}}{\text{รวม}} \times \text{เวลามาตรฐาน} \quad (5)$$

2. คำนวณเวลาทำงานที่มีประสิทธิภาพ (Effective Working Time) ที่ใช้ต่อรายกิจ 1 คัน หรือต่อพนักงาน 1 คน หรือต่อ 1 ทีม ได้จากการที่ (6)

$$\text{เวลาทำงานที่มี} \frac{\text{ประสิทธิภาพ}}{\text{ประสิทธิภาพ}} = 3,600 \text{ วินาที} \times \% \text{ Utilization} \quad (6)$$

3. หาจำนวนทรัพยากรที่ต้องใช้ เช่น จำนวนรถยก หรือจำนวนพนักงาน หรือจำนวนทีมพนักงานที่ต้องใช้ ได้จากการที่ (7)

$$\text{จำนวนพนักงาน} = \frac{\text{เวลามาตรฐานรวม}}{\text{เวลาทำงานที่มี} \frac{\text{ประสิทธิภาพ}}{\text{ประสิทธิภาพ}}} \quad (7)$$

หากผลลัพธ์มีค่าทศนิยม ไม่ว่าจะน้อยกว่า 5 หรือไม่ ให้ปัดขึ้นเป็นจำนวนเต็มเสมอ เนื่องจากการปัดลงอาจส่งผลกระทบเชิงลบต่อความสามารถในการให้บริการ ดังตัวอย่างแสดงวิธีการคำนวณ ต่อไปนี้

**ตัวอย่าง** การคำนวณหาอัตรากำลังของพนักงานขับรถยกและจำนวนรถยก กรณีงานอยู่ Unloading ที่มีเวลามาตรฐาน = 38.22 วินาทีต่อพาเลท ภายใต้ Utilization = 85% โดยในช่วงเวลา 07:00-08:00 น. (1 ชั่วโมง) มีสินค้าเข้า 260 พาเลท

#### วิธีทำ

$$\begin{aligned} \text{เวลามาตรฐานรวม} &= \text{ปริมาณพาเลทรายชั่วโมง} \times ST \\ &= 260 \times 38.22 = 9,937.2 \text{ วินาที} \end{aligned}$$

$$\text{เวลาทำงานที่มีประสิทธิภาพ} = 3,600 \times \% \text{ Utilization}$$

$$= 3,600 \times 0.85$$

$$= 3,060 \text{ วินาที ใน 1 ชั่วโมง}$$

$$\text{จำนวนรถยกที่ใช้} = 9,937.2 \div 3,060 = 3.25 \text{ คัน}$$

$$\text{ปัดขึ้น ทำให้จำนวนรถยกที่ใช้} = 4 \text{ คัน}$$

$$\text{จำนวนพนักงานขับรถยก} = 4 \text{ คน}$$

ในทำนองเดียวกัน สามารถคำนวณหาอัตรากำลังและจำนวนรถยกของแต่ละงานอยู่ที่เหลือ ในแต่ละช่วงเวลา โดยผลการวิเคราะห์อัตรากำลังและจำนวนรถยกที่เหมาะสม ได้แสดงไว้ในตารางที่ 8 ดังนี้



บทความวิจัย

### ตารางที่ 8 การลดทรัพยากรและต้นทุนการขนถ่ายสินค้า ภายใต้เวลามาตรฐานและ Utilization 85%\*

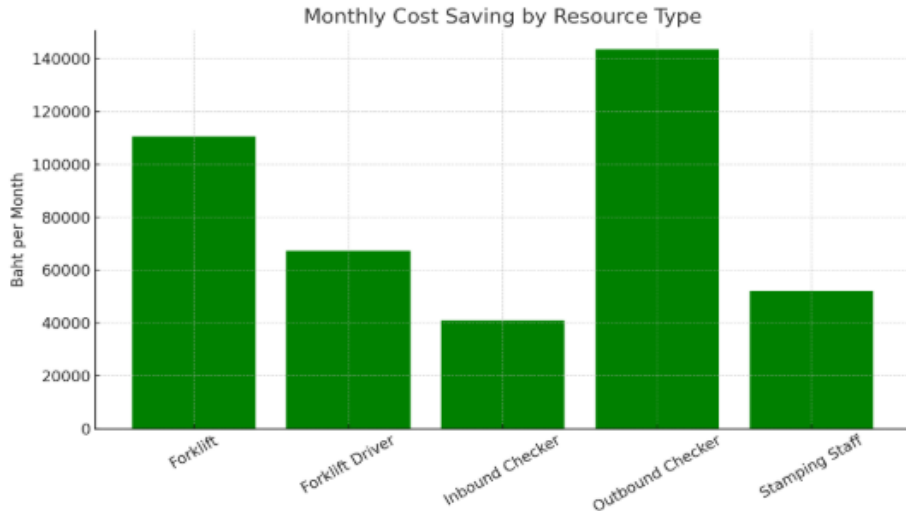
ประเภท	ก่อน	หลัง	รวม	ประหยัด
ทรัพยากร	การ	การ	จำนวน	ค่าใช้จ่าย
	ศึกษา	ศึกษา	ที่ลดลง	(บาท/เดือน)
รถยก	22 คน	18 คน	4 คน	110,560.00
พนักงาน	22 คน	18 คน	4 คน	67,340.00
ขับรถยก	คน	คน	คน	
Inbound Checker	5 คน	3 คน	2 คน	41,000.00
Outbound Checker	8 คน	1 คน	7 คน	143,500.00
พนักงานตีตรา	37 คน	33 คน	4 คน	52,172.00
จำนวนพนักงานทั้งหมด	72 คน	55 คน	17 คน	n/a
ประหยัดต้นทุนขนถ่ายสินค้าทั้งหมด (บาท/เดือน)				414,572.00

**หมายเหตุ:** ภายใต้ Utilization 85% หมายถึง การวางแผนให้ทรัพยากร เช่น พนักงานหรือรถยก ทำงานจริงในอัตรา 85% ของเวลาทั้งหมด โดยคงเวลาเพิ่ม 15% สำหรับการพัก การรอ การจัดเตรียมอุปกรณ์ หรือการสื่อสารภายใน Utilization 85% ถือว่า เหมาะสมและเป็นที่ยอมรับในทางอุตสาหกรรม [10]

ผลการลดทรัพยากรและต้นทุนที่แสดงในตารางที่ 8 เป็นผลลัพธ์โดยตรงจากการประยุกต์ใช้แนวคิด ECRS และ 7 Wastes ร่วมกับ Flexible Resource Integration ซึ่งออกแบบระบบบริหารจัดการทรัพยากรแบบ Dynamic และสนับสนุนด้วยการกำหนดเวลามาตรฐานภายใต้ Utilization 85% ทำให้สามารถวิเคราะห์และจัดสรร อัตรากำลังคนและจำนวนรถยกอย่างแม่นยำ ลดความลังเลในการจัดการในแต่ละช่วงเวลา การลดจำนวนพนักงานลง 17 คน และรถยก 4 คน โดยไม่กระทบต่อคุณภาพบริการ ไม่เพียงสะท้อนถึง ความคุ้มค่าทางเศรษฐศาสตร์ (ลดต้นทุนได้ 414,572 บาท/เดือน หรือกว่า 4.97 ล้านบาท/ปี) แต่ยังแสดงให้เห็นถึงศักยภาพของคลังสินค้าในการสร้างผลิตภัณฑ์โดยไม่ต้องพึ่งพาเทคโนโลยีราคาแพง ซึ่งเป็นประโยชน์อย่างยิ่งสำหรับประเทศไทย

ผลลัพธ์นี้พิสูจน์ว่าการจัดการ “คน + เวลา + ทรัพยากร” อย่างมีระบบ คือ คำตอบของการเพิ่มประสิทธิภาพที่ยั่งยืน

เพื่อให้เข้าใจง่ายขึ้น จึงนำข้อมูลจากตารางที่ 8 มาสร้างกราฟแสดงผลการประหยัดต้นทุนรายเดือน ในแต่ละประเภททรัพยากรการขนถ่ายสินค้า (รูปที่ 2) ในชื่อ "Monthly Cost Saving by Resource Type" เพื่อให้เห็นภาพรวมของต้นทุนที่ลดลงในแต่ละประเภททรัพยากรได้ชัดเจนและเข้าใจง่าย



รูปที่ 2 กราฟแสดงผลการประหยัดต้นทุนรายเดือนในแต่ละประเภททรัพยากรการขนถ่ายสินค้า

รูปที่ 2 เป็นกราฟแสดงให้เห็นผลประหยัดต้นทุนรายเดือนจากการลดจำนวนการใช้ทรัพยากรในแต่ละประเภทอย่างเป็นรูปธรรม โดยใช้แนวทางการวิเคราะห์เวลามาตรฐาน ร่วมกับหลัก ECRS และการจัดการความซ้ำซ้อนเพล่า 7 ประเภท ผลลัพธ์ชี้ให้เห็นว่า การจัดสรรแรงงานและทรัพยากรอย่างเหมาะสม โดยอ้างอิงจากความสามารถการทำงานจริง สามารถลดต้นทุนได้มากกว่า 4.97 ล้านบาทต่อปี ซึ่งเป็นทางเลือกที่คุ้มค่าและยังยืนสำหรับคลังสินค้าที่มีข้อจำกัดด้านงบประมาณ การลดจำนวนพนักงานลง 17 คน และรถยก 4 คัน โดยไม่กระทบต่อคุณภาพบริการ ไม่เพียงสะท้อนถึง ความคุ้มค่าทางเศรษฐศาสตร์ (ลดต้นทุนได้ 414,572 บาท/เดือน หรือกว่า 4.97 ล้านบาท/ปี) แต่ยังแสดงให้เห็นถึงศักยภาพของคลังสินค้าในการสร้างผลิตภัณฑ์ใหม่โดยไม่ต้องพึ่งเทคโนโลยีราคาแพง ซึ่งเป็นประโยชน์อย่างยิ่งสำหรับประเทศกำลังพัฒนา

**2.9 การคำนวณหาผลิตภัณฑ์** กระบวนการขนถ่ายสินค้าของคลังสินค้ากรณีศึกษา ประกอบด้วยงานย่อยหัวหมุด 7 งานย่อย โดยมีเวลามาตรฐาน ดังแสดงในตารางที่ 9

**2.9.1 การคำนวณหาผลิตภัณฑ์ของหัวหมุด 7 งานย่อย** จำนวนได้จากการ (8) [15] ภายใต้ Utilization 85% ดังนี้

$$\text{ผลิตภัณฑ์} = \text{เวลาทำงานที่มีประสิทธิภาพ} \div ST$$

$$= 3,060 \div ST \quad (8)$$

ตัวอย่างเช่น การคำนวณหาผลิตภัณฑ์ของงาน Unloading ที่มี ST=38.22 วินาทีต่อพาเลท จากสมการ (8)

$$\begin{aligned} \text{ผลิตภัณฑ์} &= 3,060 \div ST \\ \text{ดังนั้น Unloading มี ผลิตภัณฑ์} &= 3,060 \div 38.22 \\ &= 80.06 \text{ พาเลท/ชม.} \end{aligned}$$

ในทำนองเดียวกัน ผลิตภัณฑ์งานย่อยอื่นๆ สามารถคำนวณได้ในลักษณะเดียวกัน ผลการคำนวณแสดงในตารางที่ 9 ดังนี้



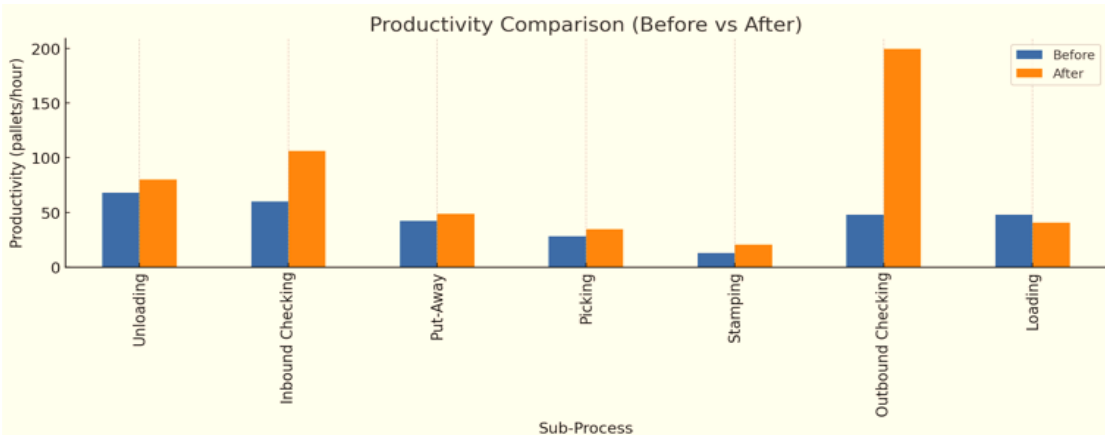
**ตารางที่ 9 การเปรียบเทียบเวลาตามมาตรฐานและผลิตภาพของงานย่อยก่อนศึกษา ภายใต้ Utilization 100% และ หลังศึกษา ภายใต้ Utilization 85%**

งานย่อย	ก่อนศึกษา		หลังศึกษา	
	เวลา	ผลิต	เวลา	ผลิต
	มาตรฐาน	ภาพ	มาตรฐาน	ภาพ
(วินาที/ พาเลท)	(พาเลท/ ชั่วโมง)	(วินาที/ พาเลท)	(พาเลท/ ชั่วโมง)	
Unloading	53	67.92	38.22	80.06
Inbound Checking	60	60	28.86	106.03
Put-Away	85.4	42.15	62.90	48.65
Picking	127.5	28.24	89	34.38
Stamping	277.5	12.97	148.93	20.55
Outbound Checking	75	48	15.35	199.35
Loading	75	48	75.07	40.76

จากตารางที่ 9 แสดงให้เห็นถึงผลของการปรับปรุงกระบวนการข่ายสินค้าในคลังสินค้าโดยใช้แนวทาง Work Study ซึ่งครอบคลุมการกำหนดเวลา มาตรฐานใหม่และการวิเคราะห์การเคลื่อนไหวที่ไม่จำเป็น ผลการศึกษาพบว่า เมื่อกำหนด Utilization ที่ 85% การปรับปรุงดังกล่าวสามารถลดระยะเวลาในการทำงานแต่ละกิจกรรมได้อย่างเห็นได้ชัด พร้อมกับเพิ่มผลิตภาพอย่างเด่นชัดในทุกระบวนงานย่อย เช่น ในงาน Picking เวลามาตรฐานลดลงจาก 127.5 วินาทีต่อพาเลท เหลือเพียง 89 วินาทีต่อพาเลท ขณะที่ผลิตภาพเพิ่มขึ้นจาก 42.15 เป็น 48.65 พาเลทต่อชั่วโมง

และงาน Outbound Checking ที่มักเกิดความล่าช้า ยังแสดงการเพิ่มผลิตภาพได้มากที่สุด จาก 48 เป็น 199.35 พาเลท/ชั่วโมง ซึ่งสะท้อนถึงการเพิ่มประสิทธิภาพกระบวนการโดยไม่ต้องใช้เงินลงทุน จำนวนมาก ซึ่งสอดคล้องกับหลักการของแนวคิด ECRS ที่องค์กรชั้นนำในภาคโลจิสติกส์นำมายังกว้างขวาง [12] โดยรวมการปรับปรุงนี้แสดงให้เห็นถึง ความคุ้มค่าในเชิงเวลาและต้นทุน รวมถึงความยืดหยุ่นของการใช้ทรัพยากรที่เหมาะสมยิ่งขึ้นในทุก กิจกรรมของกระบวนการข่ายสินค้า

จากการวิเคราะห์ใน ตารางที่ 9 พบว่า การประยุกต์ใช้แนวทาง Work Study โดยใช้เทคนิค Time Study และ Motion Study สามารถลดเวลาทำงาน มาตรฐานในแต่ละงานย่อยได้อย่างมีนัยสำคัญ โดยเฉพาะในขั้นตอน Put-Away และ Stamping ที่เดิมเป็นคุณวัฒน์ของการทำงาน ภายหลังการปรับปรุง พบว่า ผลิตภาพแรงงาน เพิ่มขึ้นอย่างชัดเจน เช่น กรณี Put-Away ผลิตภาพเพิ่มจาก 42.15 เป็น 48.65 พาเลทต่อชั่วโมง และ Outbound Checking เพิ่มจาก 48 เป็น 199.35 พาเลทต่อชั่วโมง สะท้อนถึง การใช้ทรัพยากรได้คุ้มค่าและยืดหยุ่นมากขึ้น การวิเคราะห์นี้อยู่ภายใต้เงื่อนไข Utilization 85% ซึ่ง สะท้อนสภาพการทำงานจริงมากกว่าการใช้งานเต็ม 100% ที่อาจไม่สอดคล้องกับภาคปฏิบัติ ข้อมูลจาก ตารางสามารถนำเสนอในรูปกราฟเปรียบเทียบผลิตภาพก่อนและหลังการปรับปรุง (รูปที่ 3) เพื่อให้เห็น แนวโน้มได้ชัดเจน และใช้สนับสนุนการตัดสินใจเชิงนโยบายหรือการจัดการได้อย่างมีประสิทธิภาพ



รูปที่ 3 กราฟเปรียบเทียบผลิตภาพ (วินาทีต่อพาเลท) ของแต่ละงานย่อยก่อนและหลังการปรับปรุง

รูปที่ 3 แสดงการเปรียบเทียบผลิตภาพก่อนและหลังการปรับปรุง โดยพบว่าทุกภาระสามารถเพิ่มผลิตภาพ (พาเลทต่อชั่วโมง) ได้อย่างต่อเนื่อง (ยกเว้น Loading) โดยเฉพาะงาน Outbound Checking ที่ผลิตภาพเพิ่มขึ้นมากกว่า 4 เท่า สะท้อนถึงการบริหารทรัพยากรที่มีประสิทธิภาพมากยิ่งขึ้น โดยไม่ต้องเพิ่มกำลังคนหรืออุปกรณ์เพิ่มเติม ซึ่งสอดคล้องกับวัตถุประสงค์ของงานวิจัยในการยกระดับผลิตภาพและลดต้นทุนโดยไม่เพิ่งพากแรงทุนทางเทคโนโลยีที่มีค่าใช้จ่ายสูง

2.9.2 การคำนวณผลิตภาพรวมของกระบวนการ ขันถ่าย สินค้าขาเข้า ( $Pdty_{inb\_proc}$ ) พิจารณาจากงานย่อยที่มีผลิตภาพต่ำสุดจะเป็นค่าขาด ซึ่งจำกัดความสามารถของขาเข้า ดังนั้น

$$\begin{aligned}
 Pdty_{inb\_proc} &= \text{Min.}\{Pdty_{unload}, Pdty_{inb\_check}, Pdty_{put\_away}\} \\
 &= \text{Min.}\{80.06, 106.03, 48.65\} \\
 &= 48.65 \text{ (pallets/hr.)}
 \end{aligned}$$

Put Away มีผลิตภาพต่ำสุด จึงเป็นค่าขาดของขาเข้า

2.9.3 การคำนวณผลิตภาพรวมของกระบวนการขันถ่าย สินค้าขาออก ( $Pdty_{ob\_proc}$ ) พิจารณาจากงานย่อยที่มีผลิตภาพต่ำสุดจะเป็นค่าขาด ซึ่งจำกัดความสามารถของขาออก ดังนั้น

$$\begin{aligned}
 Pdty_{ob\_proc} &= \\
 &= \text{Min.}\{Pdty_{pick}, Pdty_{stamp}, Pdty_{ob\_check}, Pdty_{load}\} \\
 &= \text{Min.}\{34.38, 20.55, 199.35, 40.76\} \\
 &= 20.55 \text{ pallets/hr.}
 \end{aligned}$$

Stamping มีผลิตภาพต่ำสุด จึงเป็นค่าขาดของขาออก

2.9.4 การคำนวณผลิตภาพรวมของคลังสินค้า ( $Pdty_{warehouse}$ ) พิจารณาจากการที่มีผลิตภาพต่ำกว่าจะเป็นค่าขาด ซึ่งจำกัดความสามารถของคลังสินค้า

$$\begin{aligned}
 Pdty_{warehouse} &= \text{Min.}\{Pdty_{inb\_proc}, Pdty_{ob\_proc}\} \\
 &= \text{Min.}\{48.65, 20.55\} \\
 &= 20.55 \text{ (pallets/hr.)}
 \end{aligned}$$

กระบวนการข้าอกมีผลิตภาพต่ำกว่าขาเข้า จึงเป็นค่าขาดของคลังสินค้า การณ์ศึกษา รายละเอียดผลิตภาพ ดังแสดงในตารางที่ 10



### ตารางที่ 10 ผลิตภาพ 3 ระดับของกระบวนการขนถ่ายสินค้าในคลังสินค้ากรณีศึกษา

กระบวนการขนถ่าย สินค้า	Task	Productivity (Pallets/Hr.)		
		Task- Level	Process-Level	WH-Level
ขาเข้า	Unloading	80.06		
	Inbound Checking	106.03		
	Put-Away	48.65	48.65	20.55
ขาออก	Picking	34.38		
	Stamping	20.55	20.55	
	Outbound Checking	199.35		
	Loading	40.76		

จากข้อมูลในตารางที่ 10 แสดงผลระดับ Process-Level และระดับคลังสินค้า ดังนี้

- ระดับ Process-Level: กระบวนการขาเข้ามีผลิตภาพ = 48.65 พาเลท/ชั่วโมง ส่วนขาออกที่มีผลิตภาพ = 20.55 พาเลท/ชั่วโมง แสดงว่า ขาออก มีข้อจำกัดด้านประสิทธิภาพ ทำให้ต้องใช้เวลานานกว่า
- ระดับคลังสินค้า (WH-Level): มีผลิตภาพ = 20.55 พาเลท/ชั่วโมง ซึ่งเท่ากับผลิตภาพของกระบวนการขาออก ที่เป็นคอกขวดหลักที่ควรต้องเร่งปรับปรุง

### 3. ผลการวิจัยและการอภิปรายผล

การประยุกต์ใช้ Work Study ร่วมกับ Time และ Motion Study ช่วยเพิ่มประสิทธิภาพการดำเนินงานในคลังสินค้า โดยเฉพาะในจุดคงขวดอย่าง Put-Away และ Stamping ที่สามารถลดเวลาในการตรวจสอบและเพิ่มผลิตภาพได้อย่างชัดเจน สอดคล้องกับแนวคิดของ [4,8] ที่ชี้ว่าการศึกษาความสามารถเพิ่มผลิตภาพโดยไม่ต้องพึ่งเทคโนโลยีราคาแพง อีกทั้ง

แนวทางนี้ยังสนับสนุนหลักการ ECRS และแนวคิด Standard Work ขององค์กรชั้นนำ เช่น Toyota และ DHL [5,12] ซึ่งมุ่งเน้นการจัดการทรัพยากรอย่างยืดหยุ่นและยั่งยืน

#### 3.1 ข้อจำกัดของงานวิจัย

แม้งานวิจัยนี้จะแสดงผลลัพธ์ด้านผลิตภาพและการลดต้นทุนได้อย่างชัดเจน แต่ยังมีข้อจำกัดเช่นพำนักในคลังสินค้าเครื่องดื่มแบบ Full Pallet และวิธีเก็บข้อมูลด้วยการจับเวลาอาจก่อให้เกิดอคติ อีกทั้งยังไม่ครอบคลุมประเด็นคุณภาพซึ่งมีผลต่อการทำงานและความพึงพอใจของพนักงาน ซึ่งควรศึกษาเพิ่มเติมในอนาคต

#### 3.2 ข้อเสนอแนะสำหรับการวิจัยในอนาคต

เพื่อเสริมความครอบคลุม งานวิจัยในอนาคตควรขยายไปยังคลังสินค้าประเภทอื่น และใช้เทคนิควัดงานอื่น ๆ เช่น Work Sampling หรือ MTM เพื่อเปรียบเทียบประสิทธิภาพ นอกจากนี้ ควรศึกษาผลกระทบด้านความพึงพอใจของพนักงาน และประเมินผลในระยะยาว



#### 4. บทสรุป

การวิจัยเริ่มจากการวิเคราะห์กระบวนการขนถ่ายสินค้า พนักงานทรัพยากรไม่สมดุลและเกิดความชัดที่ Put-away และ Stamping จึงเสนอแนวทางปรับปรุงด้วย Flow Integration, ECRS และการกำหนดเวลามาตรฐาน เพื่อคำนวณอัตรากำลังและวิเคราะห์ผลิตภาพเพิ่ม ภาพภายใต้ Utilization 85% ผลลัพธ์คือ ผลิตภาพเพิ่มสูงสุด 58.44% ลดระยะเวลา 4 คัน พนักงาน 17 คน และลดต้นทุนได้กว่า 4.97 ล้านบาทต่อปี โดยไม่ต้องใช้เทคโนโลยีราคาแพง

#### 5. เอกสารอ้างอิง

- [1] <https://www.nesdc.go.th/download/logistics/report/LogisticsReportEN.pdf> (Accessed on 7 January 2025). (in Thai)
- [2] <https://www.ttbbank.com/th/newsroom/detail/tba-transportation-jan-2025> (Accessed on 11 February 2025). (in Thai)
- [3] <https://asean.org/wp-content/uploads/2023/02/CHAPTER-04-WAREHOUSING-ACTIVITIES.pdf> (Accessed on 09 June 2024).
- [4] V. Gopalan, P. Jayaraman and M. Sundarakani, Improving internal logistics process by time and motion study: A case study, Procedia Computer Science, 2023, 218, 3171-3176.
- [5] F. Ahmad, M.K. Hasan, S.J. Lee and M. Hussain, Waste identification and reduction using lean tools in warehouse: A case of beverage company, Journal of Industrial Engineering and Management, 2023, 16(1), 89-102.
- [6] D. Ivanov, A. Dolgui and B. Sokolov, A practical application of lean methods for warehouse performance improvement, International Journal of Production Research, 2023, 61(2), 495-509.
- [7] B.W. Niebel and A. Freivalds, Methods, standards, and work design, 13th Ed., McGraw-Hill Education, NY, USA, 2014, 379-415.
- [8] R.M. Barnes, Motion and time study: Design and measurement of work, 7th Ed., John Wiley and Sons, NY, USA, 1980, 257-287.
- [9] L.J. Krajewski, M.K. Malhotra and L.P. Ritzman, Operations management: Processes and supply chains, 12th Ed., Pearson, NJ, USA, 2019, 385-410.
- [10] B.W. Niebel and A. Freivalds, Methods, standards, and work design, 11th Ed., McGraw-Hill, NY, USA, 2003, 481-520.
- [11] T. Ohno, Toyota production system: Beyond large-scale production, Trans. G.M. Bodek, Productivity Press, OR, USA, 1988, 33-40.



บพคแมวจั้ย

วารสารวิชาการเทคโนโลยีอุตสาหกรรม (The Journal of Industrial Technology)

ISSN (online): 2697-5548

DOI: 10.14416/j.ind.tech.2025.08.014

- [12] J.K. Liker, *The toyota way: 14 management principles from the world's greatest manufacturer*, McGraw-Hill, NY, USA, 2004, 45–70.
- [13] R. Kanchanapanyakom, *Industrial work study*, Rev. Ed., Top Publishing Co., Ltd., Bangkok, Thailand, 2019, 229-330. (in Thai)
- [14] K. Sirikasemsuk, *Work study and productivity improvement*, SE-ED, Bangkok, Thailand, 2022, 257-297. (in Thai)
- [15] M.P. Groover, *Work systems and the methods, measurement, and management of work*, 2nd Ed., Pearson, NY, USA, 2015, 60-75.



บทความวิจัย

สารสารวิชาการเทคโนโลยีอุตสาหกรรม (The Journal of Industrial Technology)

ISSN (online): 2697-5548

DOI: 10.14416/j.ind.tech.2025.08.015

# ประสิทธิภาพในการต้านทานความล้าของแผ่นพื้นคอนกรีตผสมยางรถยนต์เก่าบดละเอียดขนาดเล็กเมื่อ时间

คุณภูรัชัย เขียวอุด<sup>1</sup> และ กิตติภูมิ รอดสิน<sup>2\*</sup>

<sup>1</sup> ภาควิชาเทคโนโลยีวิศวกรรมโยธาและสิ่งแวดล้อม, วิทยาลัยเทคโนโลยีอุตสาหกรรม, มหาวิทยาลัยเทคโนโลยีพระจอมเกล้าพระนครเหนือ

<sup>2</sup> ศูนย์วิจัยพลศาสตร์โครงสร้างและการจัดการเมือง (CESD), วิทยาลัยเทคโนโลยีอุตสาหกรรม, มหาวิทยาลัยเทคโนโลยีพระจอมเกล้าพระนครเหนือ

\* ผู้ประสานงานเผยแพร่ (Corresponding Author), E-mail: kittipoom.r@cit.kmutnb.ac.th

วันที่รับบทความ: 3 เมษายน 2568; วันที่ทบทวนบทความ: 21 กรกฎาคม 2568; วันที่ตอบรับบทความ: 30 กรกฎาคม 2568  
วันที่เผยแพร่อนไลน์: 22 สิงหาคม 2568

**บทคัดย่อ:** การแตกร้าวของพื้นสะพานคอนกรีตเป็นปัญหาที่ทำให้ต้องซ่อมแซมสะพานก่อนเวลาอันควร สาเหตุหลักเกิดจากพื้นสะพานรับแรงกระทำเข้าไปมาก ซึ่งทำให้เกิดความล้าและผลของความล้าทำให้พื้นสะพานแตกกร้าวจนเกิดความเสียหาย การใช้เม็ดยางรถยนต์เก่าบดละเอียดเป็นส่วนผสมในคอนกรีตนั้นได้รับการพิสูจน์แล้วว่าเป็นวิธีที่มีประสิทธิภาพในการลดการแตกร้าว งานวิจัยนี้มีวัตถุประสงค์เพื่อแก้ไขปัญหาการแตกร้าวเนื่องจากความล้าของพื้นสะพานคอนกรีต โดยมีการกำหนดตัวแปรของการทดลองให้ใกล้เคียงกับการใช้งานจริง และเปรียบเทียบผลการลดรอยแตกกร้าวของพื้นคอนกรีต ขนาด  $2.00 \times 8.00 \times 0.20$  เมตร ที่ก่อสร้างด้วยคอนกรีตปกติและคอนกรีตผสมเม็ดยางรถยนต์เก่าบดละเอียดที่ร้อยละ 25 ของปริมาตรทราย โดยนำพื้นสะพานมาทดสอบในรูปแบบการรับแรงแบบสองทาง (Two Way Slab) จำนวน 8 ตัวอย่าง ตัวอย่างทดสอบแรกของคอนกรีตทั้ง 2 ประเภทถูกนำมาทดสอบ ความสามารถในการรับน้ำหนักบรรทุกของพื้นสะพานเป็นตัวอย่างที่ 1 และ 2 หลังจากนั้นจะทำการทดสอบความล้าโดยการให้แรงกระทำเป็น 40, 55 และ 70 เปอร์เซ็นต์ของกำลังรับแรงสูงสุดเป็นตัวอย่างที่ 3 ถึง 8 ตามลำดับเพื่อหาความสามารถของความต้านทานความล้าของการผสมเม็ดยางรถยนต์เพื่อลดรอยแตกกร้าว การทดสอบจะนำร้อยละ 40 เปอร์เซ็นต์ของพื้นที่ เทียบกับจำนวนรอบของแรงกระทำและอัตราส่วนแรงกระทำต่อกำลังรับน้ำหนักของพื้นสะพานเพื่อวิเคราะห์ ผลการทดสอบแสดงให้เห็นว่า ในช่วงอัตราส่วนแรงกระทำต่อกำลังรับน้ำหนักของพื้นสะพานที่มีค่าน้อยกว่า 0.5 พื้นสะพาน CRC มีความสามารถในการต้านทานความล้าสูงกว่าพื้นสะพาน NC 93.08% และในช่วงอัตราส่วนแรงกระทำต่อกำลังรับน้ำหนักของพื้นสะพานที่มีค่ามากกว่า 0.5 พื้นสะพาน CRC มีค่าใกล้เคียงกับพื้นสะพาน NC

**คำสำคัญ:** ยางรถยนต์เก่าบดละเอียด; ความสามารถการต้านทานความล้า; การทดสอบความล้า; แผ่นพื้นคอนกรีต



บทความวิจัย

สารวิชาการเทคโนโลยีอุตสาหกรรม (The Journal of Industrial Technology)

ISSN (online): 2697-5548

DOI: 10.14416/j.ind.tech.2025.08.015

## Fatigue Performance of Full-scale Crumb Rubber Concrete Slabs

Supanatchai Khieorod<sup>1</sup> and Kittipoom Rodsin<sup>2\*</sup>

<sup>1</sup> Construction Engineering Technology, Department of Civil and Environmental Engineering Technology,  
College of Industrial Technology, King Mongku's University of Technology North Bangkok

<sup>2</sup> Center of Excellence in Structural Dynamics and Urban Management (CESD),  
College of Industrial Technology, King Mongku's University of Technology North Bangkok

\* Corresponding author, E-mail: kittipoom.r@cit.kmutnb.ac.th

Received: 3 April 2025; Revised: 21 July 2025; Accepted: 30 July 2025

Online Published: 22 August 2025

**Abstract:** Cracking of concrete bridge decks is a significant issue that leads to premature maintenance and repair of bridges. The primary cause of this problem is the repeated loading applied to the bridge decks, which induces fatigue and eventually results in cracking and damage. The use of finely ground recycled rubber particles from waste tires as a concrete additive has been proven to be an effective method for reducing cracking. This research aims to address the problem of fatigue-induced cracking in concrete bridge decks. The experimental variables were designed to closely simulate real-life applications. The study compares the crack reduction performance of concrete bridge decks with dimensions of 2.00 x 8.00 x 0.20 meters, constructed using both conventional concrete and concrete incorporating finely ground recycled rubber particles, replacing 25% of the sand volume. A total of 8 specimens were tested under two-way slab loading conditions. The first specimens of each concrete type were subjected to static loading tests to determine the maximum load-bearing capacity (specimens 1 and 2). Subsequently, fatigue tests were conducted on specimens 3 through 8 by applying loads at 40% 55% and 70% of the maximum load capacity to evaluate the fatigue resistance provided by the rubberized concrete in reducing cracking. The fatigue performance was assessed by measuring the area of cracking equivalent to 40% of the total slab surface, comparing the number of load cycles and the load ratio relative to the ultimate load capacity of the slabs. The test results indicated that, in the range where the load ratio to the ultimate load capacity was less than 0.5, the CRC slabs exhibited 93.08% higher fatigue resistance compared to the NC slabs. In the range where the load ratio exceeded 0.5, the fatigue performance of CRC slabs was comparable to that of NC slabs.

**Keywords:** Crumb rubber concrete; Fatigue performance; Fatigue Test; Concrete slab

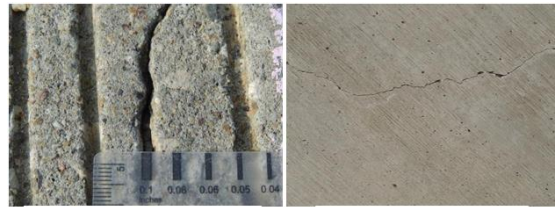


## 1. บทนำ

พื้นสะพานถือเป็นส่วนประกอบของโครงสร้างที่ได้รับแรงกระทำโดยตรงจากการจราจร และป้องครั้งพื้นสะพานเกิดความเสียหายจากการใช้งานเป็นระยะเวลากว่า ดังรูปที่ 1 ถึงแม้ขนาดของแรงกระทำมีขนาดน้อยกว่ากำลังรับน้ำหนักบรรทุกสูงสุดที่ได้ออกแบบหรือเรียกว่าความล้า ซึ่งความเสียหายส่งผลกระทบโดยรวมต่อการรับน้ำหนักของโครงสร้างสะพานอันตรายต่อผู้ใช้งานและเป็นภาระในการบำรุงรักษา

การแก้ไขปัญหาความล้าของพื้นสะพานสามารถทำได้โดยการเพิ่มกำลังรับน้ำหนักของโครงสร้าง เช่น การเพิ่มความหนาของพื้นสะพาน และ การเพิ่มจำนวนคานรองรับ วิธีดังกล่าวถึงแม้จะทำให้กำลังรับน้ำหนักของโครงสร้างเพิ่มขึ้น แต่จะเป็นการเพิ่มน้ำหนักบรรทุกคงที่ให้กับโครงสร้างเดิมโดยไม่จำเป็น

อีกหนึ่งทางเลือกที่ได้รับความสนใจคือการนำเม็ดยางรถยนต์เก่าบดละอี้ดมาแทนที่ทรายในส่วนผสมคอนกรีต (Crumb Rubber Concrete, CRC) การแทนที่เม็ดยางเข้าไปในคอนกรีตสามารถช่วยเพิ่มความเหนียว (Toughness) ความสามารถในการดูดซับพลังงาน (Damping Ratio) ความทนทานต่อความล้า (Fatigue Resistance) และ ความสามารถในการต้านทานแรงกระแทก (Impact Resistance) [1,2] วิธีนี้จึงเหมาะสมกับการนำไปใช้ในงานคอนกรีตที่ต้องการความเหนียว และ ทนแรงกระแทกสูง เช่น พื้นกันกระแทก โครงสร้างที่ต้องการลดแรงสั่นสะเทือน หรือ โครงสร้างที่ต้องรับแรงกระทำช้า เช่น พื้นสะพาน เป็นต้น [3] การพัฒนาการของความเครียดซึ่งแสดงถึงความสามารถในการลดแรงเค้น (Stress) และ ภายใน



รูปที่ 1 ความเสียหายของพื้นสะพาน

(Internal Stress Development) ของ CRC นั้นต่างกว่าคอนกรีตปกติ เมื่อยูไนไฟฟาร์บแล็ปล้อมที่ต่างกัน CRC นั้นมีความสามารถในการคลายความเครียดที่เกิดจากอุณหภูมิได้ดีกว่าคอนกรีตปกติ [4] CRC สามารถช่วยลดปัญหาสิ่งแวดล้อม จากขยายรถยนต์ ช่วยลดการใช้ทรัพยากรากธรรมชาติ และ เป็นมิตรกับสิ่งแวดล้อม [5]

ในปัจจุบันได้มีการศึกษาคุณสมบัติของ CRC เพื่อแก้ปัญหาด้านความล้าจำนวนมาก สำหรับงานทางเท้าได้มีการสังเกตลักษณะความเสียหายโดยใช้เม็ดยางแทนที่มวลรวมพบว่าการผสมเม็ดยางในคอนกรีตสามารถช่วยปรับปรุงสมบัติด้านความล้า และ เพิ่มความสามารถในการดูดซับพลังงานจากแรงกระทำได้ดีขึ้น ส่งผลให้ความสามารถในการต้านทานความล้า และความสามารถในการลดการแตกร้าวเนื่องจากความล้าเพิ่มมากขึ้น [6] การประเมินสมรรถนะของ CRC ภายใต้แรงกระทำแบบความล้า โดยการใช้ขนาดของเม็ดยางที่



แตกต่างกัน และ นำมาแทนที่ทรายในปริมาณที่แตกต่าง กัน พบร่วมกับค่าคงรักษ์ผสมเม็ดยางนั้นสามารถช่วยลด การแตกร้าว และ เพิ่มความสามารถในการด้านทาน ความล้ำได้ [7] ในทางกลับกัน ได้มีการศึกษาคุณสมบัติ ของ CRC โดยได้ทำการทดลองแทนที่มวลรวมละเอียด และ หยาบในคอนกรีตด้วยเม็ดยาง ในสัดส่วน 5% 7.5% และ 10% ทดสอบกำลังรับแรงอัด และ กำลังรับ แรงดัด ของ CRC พบร่วม ความสามารถในการรับแรงดัด เพิ่มขึ้นเมื่อเพิ่มปริมาณเม็ดยาง แต่กำลังรับแรงอัดลด ต่ำลงเรื่อยๆ เมื่อเพิ่มปริมาณของเม็ดยาง [8] เพื่อแก้ไข ปัญหาจึงมีการศึกษาผลกระทบของการใช้เม็ดยางผสม ในคอนกรีต โดยการผสมคอนกรีตที่มีส่วนผสมของเม็ด ยางในสัดส่วน 0%, 10% และ 20% หล่อแผ่นพื้น คอนกรีตเสริมเหล็กแบบรับแรงทางเดียวจำนวน 8 แผ่น นำมาทดสอบกำลังรับแรงดัดแบบ 4 จุด พบร่วมการใช้ CRC ส่งผลให้กำลังอัด และ โมดูลัสยึดหยุ่นของ คอนกรีตลดลง ปริมาณเม็ดยางที่สูงเกินไปส่งผลให้ ความสามารถในการด้านทานความล้ำลดลงเนื่องจาก การยึดเกาะระหว่างเม็ดยาง และ ซีเมนต์เพสต์ลดลง [9] ด้วยเหตุนี้การศึกษาคุณสมบัติเชิงกลของ CRC ที่ผ่าน การปรับปรุงสภาพยึดเกาะระหว่างเม็ดยางกับเนื้อ ซีเมนต์ นำมาทดสอบกำลังอัด และ กำลังดัดตาม มาตรฐาน ASTM พบร่วมเมื่อแทนที่เม็ดยางในส่วนผสม คอนกรีต 25% สามารถเพิ่มกำลังรับแรงดัดได้ 22% และ สามารถลดดัชนีพลังงานมากขึ้น 9-28% เมื่อเทียบ กับคอนกรีตปกติ [10] ความสามารถในการลดการ แตกร้าวของโครงสร้าง CRC ทางจุลภาค พบร่วมการใช้ เม็ดยางรถยนต์เก่าบดละเอียดทำให้เกิดช่องว่างระหว่าง เมทริกซ์ซีเมนต์ และ อนุภาคยาง ซึ่งช่วยป้องกันการ

แตกร้าวของโครงสร้างได้ดี [11] พฤติกรรมความล้ำด้าน แรงดัดของ CRC เมื่อแทนที่มวลรวมละเอียด 15% และ 20% ของปริมาตรทราย และ ทำการทดสอบความล้ำ ภายใต้เครื่องทดสอบโดยใช้น้ำหนักกระทำที่ 0.9 0.85 0.80 0.75 0.70 และ 0.60 ของกำลังรับแรงสูงสุด ผลการ ทดสอบพบว่ากำลังด้านทานทานความล้ำของ CRC นั้นมี ได้รับน้ำหนักกระทำเข้าในระดับที่สูงขึ้น จะส่งผลให้ ความสามารถในการด้านทานความล้ำของ CRC นั้นมี ค่าใกล้เคียงกับ NC มากขึ้นไปด้วย [12]

ในแง่ของโครงสร้างสะพานยังมีการศึกษาการใช้ คอนกรีตผสมเม็ดยางอย่างจำกัด และ จำเป็นต้องมี ความเข้าใจพฤติกรรมการรับน้ำหนัก พฤติกรรมความ ล้ำของพื้นสะพาน โดยทั่วไปงานวิจัยที่ผ่านมาเน้น ศึกษาผลกระทบใช้งาน และ ประสิทธิภาพของ CRC ใน บริบทของงานขนาดเล็ก แต่เมื่อ拿来ไปใช้กับโครงสร้าง สะพานจริงที่มีขนาดใหญ่อาจส่งผลให้พฤติกรรม เปลี่ยนแปลงไปจากห้องปฏิบัติการ ดังนั้น งานวิจัยนี้จึง มุ่งเน้นศึกษาความสามารถในการลดการแตกร้าวของ พื้นสะพาน CRC และ พฤติกรรมของพื้นสะพาน CRC ขนาดสมมติจริงเมื่อรับแรงกระทำแบบความล้ำในระดับ 40% 55% และ 70% เพื่อให้การทดสอบสะท้อน พฤติกรรมที่ใกล้เคียงกับการใช้งานจริงมากที่สุด [13]

## 2. ขั้นตอนการศึกษา

### 2.1 สมบัติวัสดุที่ใช้ในการทดลอง

คอนกรีตที่ใช้ในการทดสอบแบ่งออกเป็น 2 ประเภท ได้แก่ คอนกรีตปกติ (Normal Concrete: NC) และ คอนกรีตผสมเม็ดยางบดละเอียด (Crumb Rubber Concrete: CRC) โดยคอนกรีตปกติมีกำลังอัดเฉลี่ยที่



อายุ 28 วันเท่ากับ 320 กิโลกรัมต่อตารางเซนติเมตร ค่าการไอลอยู่ที่ประมาณ 13.5 เซนติเมตร และ มีความหนาแน่นเฉลี่ยประมาณ 2,245 กิโลกรัมต่อลูกบาศก์เมตร ขณะที่ CRC มีกำลังอัดเฉลี่ยที่อายุ 28 วันเท่ากับ 270 กิโลกรัมต่อตารางเซนติเมตร มีค่าการไอลอยู่ที่ประมาณ 14.1 เซนติเมตร และ มีความหนาแน่นเฉลี่ยประมาณ 1,756 กิโลกรัมต่อลูกบาศก์เมตร ผลการทดสอบกำลังอัดของตัวอย่างคอนกรีตแสดงดังรูปที่ 2 สมบัติและแหล่งที่มาของวัสดุแสดงดังตารางที่ 1

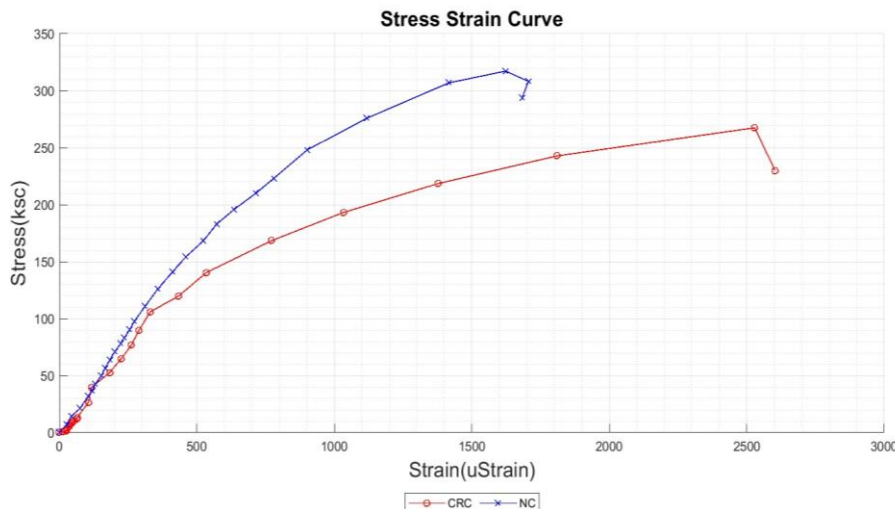
## 2.2 อัตราส่วนของการผสมยาง

การศึกษานี้จะนำส่วนผสมคอนกรีตที่ได้ทำการออกแบบ นำมาแทนที่ทรายด้วยเม็ดยางบดละเอียดขนาดประมาณ 2 - 3 มิลลิเมตร (Coarse Crumb Rubber) เพื่อเพิ่มความสามารถในการต้านทานความล้าของคอนกรีต การนำเม็ดยางแทนที่ทรายในส่วนผสมคอนกรีตจะติดเป็นเปอร์เซ็นต์จากปริมาตรของ

ทรายทั้งหมด ซึ่งในการศึกษานี้ได้นำเม็ดยางบดละเอียดมาแทนที่ 25 เปอร์เซ็นต์ของปริมาตรทรายซึ่งเป็นอัตราส่วนที่เหมาะสม โดยอ้างอิงจากการศึกษา ก่อนหน้า [14]

## 2.3 ตัวอย่างแผ่นพื้นสะพานที่ใช้ในการทดลอง

ตัวอย่างทดสอบแรกของคอนกรีตทั้ง 2 ประเภท ถูกนำมาทดสอบกำลังรับแรงของพื้นสะพานเป็นตัวอย่างที่ 1 และ 2 โดยกำลังรับแรงสูงสุดที่ได้จะนำมาใช้ในการออกแบบการทดสอบความล้า ซึ่งกำลังรับแรงสูงสุดของพื้นสะพานคอนกรีตปกติมีค่าเท่ากับ 55.62 ตัน และ พื้นสะพานคอนกรีตผสมเม็ดยางมีค่ากำลังรับแรงสูงสุดเท่ากับ 47.6 ตัน หลังจากนั้นจะทำการทดสอบความล้าโดยการให้แรงกระทำเป็น 40 55 และ 70 เปอร์เซ็นต์ของกำลังรับแรงสูงสุดเป็นตัวอย่างที่ 3 ถึง 8 ของแผ่นพื้นที่ไม่ผสมยาง และ ผสมยางตามลำดับ ดังตารางที่ 2



รูปที่ 2 ผลการทดสอบกำลังอัดของตัวอย่างคอนกรีต (Stress – Strain curve)



## ตารางที่ 1 สมบัติและที่มาของวัสดุ

วัสดุ	สมบัติ	แหล่งที่มา
ปูนซีเมนต์	ปอร์ตแลนด์ประเภทที่ 1 ได้มอก. 15 เล่ม 1-2555	บริษัท ทีพีโอ โพลีน จำกัด (มหาชน)
ทราย	ทรายหยาบผ่านการล้าง ได้มาตรฐาน มอก. 102-2514	บริษัท เค.จี.เทรดดิ้ง (ประเทศไทย) จำกัด
หิน	หินเบอร์ 1 ขนาด 3/4 ถึง 1 นิ้ว	
เม็ดยาง	ขนาด 2-3 มม. ความหนาแน่น 750 kg/m³	บริษัท เค.เค.ไอ. รีไซเคิล จำกัด
เหล็กเสริม	กำลังดึงขาด 4,338 kg/cm² ได้มอก. 20-2543	บริษัท ไทยสตีลโปรดิฟล์ จำกัด

## ตารางที่ 2 ตัวอย่างแผ่นพื้นที่ใช้ทดสอบความล้ำ

ตัวอย่าง	เปอร์เซ็นต์การผสมเม็ดยาง	เปอร์เซ็นต์ของกำลังรับแรงสูงสุด
3	-	40%
4	-	55%
5	-	70%
6	25%	40%
7	25%	55%
8	25%	70%

### 2.4 การเตรียมตัวอย่างทดสอบ

ในการศึกษาครั้งนี้ได้จัดเตรียมแผ่นพื้นคอนกรีตขนาดกว้าง 2.00 เมตร ยาว 8.00 เมตร และ หนา 0.20 เมตร จำนวนทั้งสิ้น 8 ตัวอย่าง โดยแบ่งออกเป็น คอนกรีตปกติ (Normal Concrete: NC) จำนวน 4 ตัวอย่าง และ คอนกรีตผสมเม็ดยางรถยนต์เก่า บดละเอียด (Crumb Rubber Concrete: CRC) อีก 4 ตัวอย่าง ซึ่งในส่วนของ CRC มีการแทนที่มวลรวม ละเอียด (ทราย) ด้วยเม็ดยางในอัตรารอยละ 25 โดย ปริมาตรของทราย การออกแบบส่วนผสมคอนกรีต และ รายละเอียดการเสริมเหล็กเป็นไปตามแบบ มาตรฐานของสำนักสำรวจและออกแบบกรมทางหลวง

เพื่อเพิ่มความสามารถในการรับแรงดึงของโครงสร้าง จึงได้ทำการเสริมเหล็กข้ออ้อย DB16 ในแนวยาว จำนวน 8 เส้น โดยเวนระยะห่างเท่ากัน 0.25 เมตร และ เสริมเหล็กในแนวขวางจำนวน 17 เส้นที่ระยะห่าง 0.50 เมตร พร้อมเวนระยะคอนกรีตหุ้มเหล็ก (Covering) เท่ากัน 2.5 เซนติเมตร ตามมาตรฐานที่ใช้ ในการสะพานคอนกรีต ก่อนการหล่อคอนกรีตได้ ดำเนินการติดตั้งแบบหล่อ และ วางเหล็กเสริมตาม แบบดังแสดงในรูปที่ 3 และรูปที่ 4 พร้อมตรวจสอบ ความมั่นคงของแบบ และ ความถูกต้องของตำแหน่ง เหล็กเสริม จากนั้นผสมคอนกรีตตามอัตราส่วนที่ ออกแบบไว้ โดยเฉพาะกางลุ่ม CRC ได้มีการเตรียมเม็ด

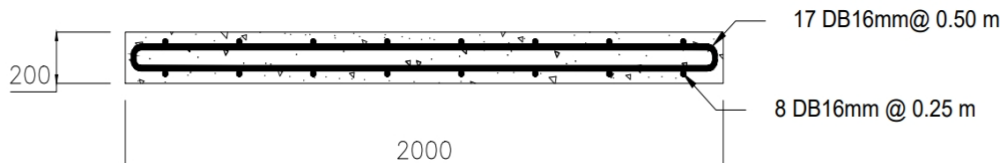


ยางขนาด 2 - 3 มิลลิเมตร และ นำมาแทนที่ทรายในอัตราร้อยละ 25 โดยปริมาตรของทราย คอนกรีตที่ผสมแล้วถูกเทลงในแบบหล่อ ใช้เครื่องสับเพื่อไล่เศษออก และ อัดแน่นเนื้อคอนกรีตให้เต็มพื้นที่แบบอย่างสม่ำเสมอ หลังการหล่อคอนกรีตได้คัลลูมด้วยผ้าใบพลาสติก และ รดน้ำเพื่อปั๊มคอนกรีตอย่างต่อเนื่องเป็นเวลา 7 วัน จากนั้นปล่อยให้คอนกรีตปั๊มตัวในสภาวะอากาศปกติจนครบอายุ 28 วัน ก่อนเข้าสู่กระบวนการทดสอบ

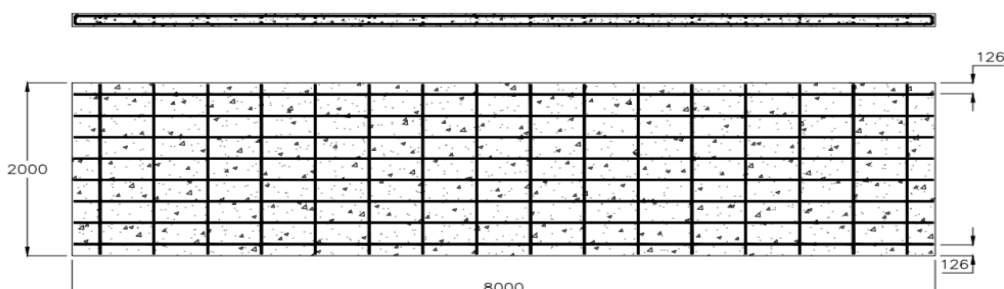
## 2.5 ขั้นตอนการทดสอบ

การทดสอบพื้นสะพานจะกระทำภายใต้โครงเหล็ก  
ทดสอบดังแสดงในรูปที่ 5 พร้อมติดตั้งอุปกรณ์ตรวจวัด  
แรง และ บันทึกค่าเพื่อหาความสัมพันธ์ระหว่างแรงกด<sup>รูป</sup>  
และ การเสียรูปของพื้นสะพาน โดยเริ่มจากการติดตั้ง

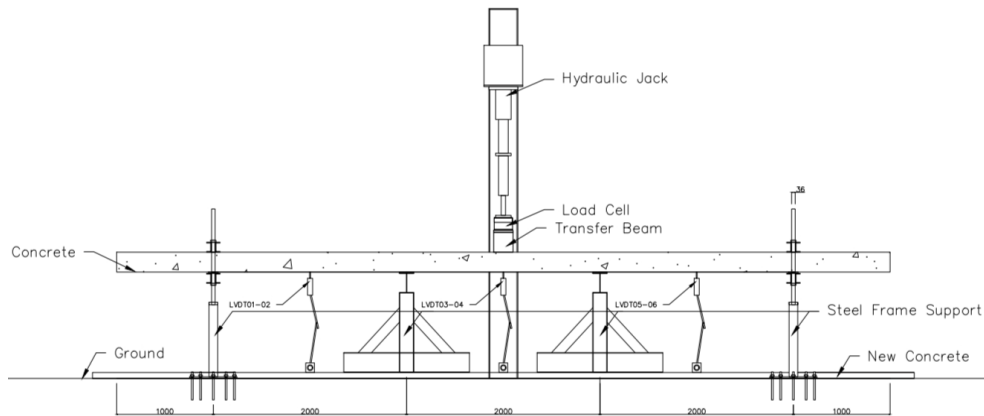
แผ่นพื้นสะพานเข้ากับโครงเหล็ก โดยการทดสอบจะนำพื้นสะพานวางลงบนคานทดสอบ ดังแสดงในรูปที่ 6 เพื่อจำลองการรับน้ำหนัก และ แรงเบรคจากล้อรถบรรทุก ติดตั้งอุปกรณ์ตรวจวัดแรง (Load Cell) คานเหล็กกระจายแรง (Transfer Beam) และ กระบวนการ ไอล์ด รอลิคเข้ากับโครงเหล็กทดสอบ และ ทำการทดสอบที่พื้นทดสอบเพื่อช่วยให้สามารถสังเกตุเห็นรอยแตกร้าวได้ชัดเจนขึ้น แล้วจึงเริ่มทำการทดสอบกำลังต้านทาน ความล้าของพื้นสะพานดำเนินการโดยให้แรงกระทำแบบวัฏจักร (Cyclic) ความถี่ประมาณ  $0.67 - 1.70$  รอบต่อวินาที (Hz) ที่กึ่งกลางแผ่นพื้นสะพานจำลอง ขนาดของแรงกระทำมี 3 ระดับ ได้แก่ 40% 55% และ 70% ของกำลังรับแรงสูงสุดของพื้นสะพาน ระหว่างการทดสอบได้ทำการบันทึกข้อมูล และ ภาพถ่ายห้องพื้นสะพานเพื่อนำมาคำนวณเปอร์เซ็นต์การแตกร้าว



### รูปที่ 3 รายละเอียดพื้นสะพานจำลอง



รูปที่ 4 รายละเอียดการเสริมเหล็กของพื้นสะพานจำลองความหนา 0.20 เมตร



รูปที่ 5 การติดตั้งอุปกรณ์ตรวจการเสียรูปของพื้นสะพานจำลอง



รูปที่ 6 การทดสอบกำลังรับแรงในห้องปฏิบัติการ

ซึ่งในงานวิจัยนี้ได้ทำการสร้างตารางจำนวน 100 ช่อง เพื่อยึดกับจำนวนรอบของแรงกระทำ และ ในการศึกษานี้ ได้เลือกใช้ เปอร์เซ็นต์รอยแตกร้าว 40% ของพื้นที่ห้อง พื้นสะพานเป็นเกณฑ์สำหรับการประเมินพฤติกรรม ความล้าของคอนกรีต เนื่องจากเป็นระดับความเสียหาย ที่ แสดงให้เห็นถึงการเสื่อมสภาพที่มีนัยสำคัญเชิง โครงสร้าง ซึ่งสามารถใช้เป็นตัวแทนของช่วงเปลี่ยน ผ่านจากพฤติกรรมยืดหยุ่น (Elastic) ไปสู่ช่วง เสื่อมสภาพอย่างถาวร (Plastic Failure Tendency) ได้อย่างเหมาะสม โดยจากการวิจัยที่ได้ศึกษามามีการใช้

เกณฑ์ 30% ถึง 50% ของพื้นที่รอยร้าว เพื่อประเมิน พฤติกรรมความล้า เช่นเดียวกัน ทั้งนี้ เกณฑ์ 40% จึง อยู่ในช่วงที่เหมาะสมต่อการประเมิน และ เปรียบเทียบ ประสิทธิภาพของวัสดุ ในระดับที่สามารถแสดง พฤติกรรมแตกต่างได้อย่างชัดเจนโดยไม่ถึงขั้นวิกฤต จนเกิดความล้มเหลวโดยสมบูรณ์ และ นำเปอร์เซ็นต์ การแตกร้าวที่ 40% ของพื้นที่ห้องพื้นสะพานมา วิเคราะห์ และ จัดทำเส้นโค้งความล้า (Fatigue Curve) เพื่อประเมินความสามารถในการด้านทานความล้าของ พื้นสะพาน [15]



บทความวิจัย

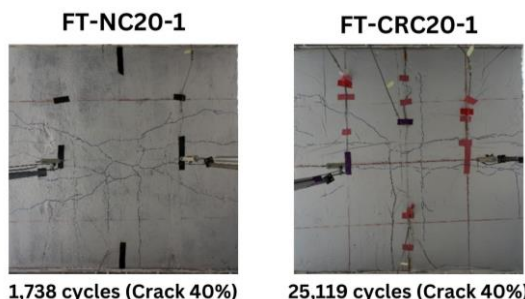
### 3. ผลการทดสอบและอภิปรายผล

#### 3.1 พฤติกรรมการวินิจฉัยของตัวอย่างทดสอบ

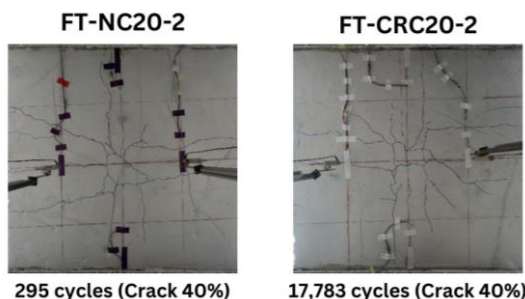
เพื่อนำเสนอผลการทดสอบพฤติกรรมความล้าของพื้นสะพานภายใต้แรงกระทำซ้ำอย่างชัดเจน ได้จัดทำ ตารางเปรียบเทียบแสดงดังตารางที่ 3 ที่ส่งผลให้เกิดรอยแตกครั้วคิดเป็น 40% ของพื้นที่ห้องพื้นสะพาน โดยเปรียบเทียบระหว่างพื้นสะพาน NC และ พื้นสะพาน CRC จากผลการทดสอบพบว่า พื้นสะพาน CRC มีค่าต้านทานต่อแรงกระทำซ้ำในช่วง  $P/P_u = 0.4$  สูงกว่าพื้น NC ถึง 13.5 เท่า ( $CRC = 25,119$  รอบและ  $NC = 1,738$  รอบ) แสดงให้เห็นถึงประสิทธิภาพในการต้านทานความล้าที่ยอดเยี่ยมของ CRC ในช่วงแรงกระทำระดับต่ำ ( $P/P_u = 0.40\text{--}0.55$ ) โดยสามารถรองรับจำนวนรอบได้มากกว่าหลายเท่าตัว ขณะที่ในช่วงแรงกระทำสูง ( $P/P_u = 0.70$ ) พื้น CRC ยังคงแสดงความสามารถในการต้านทานความล้าได้ดีกว่าเล็กน้อย นอกจากนี้ ได้มีการนำเสนอภาพความเสียหายของพื้นสะพานที่เกิดจากการทดสอบบริเวณกึ่งกลางพื้นสะพาน จำลอง ขณะที่เกิดรอยแตกครั้ว 40% เพื่อใช้ประกอบการวิเคราะห์ โดย แสดงให้เห็นถึงลักษณะการกระจายตัวของรอยร้าวในแต่ละระดับของแรงกระทำซ้ำแสดงดังรูปที่ 7 ถึง รูปที่ 9 ซึ่งพบว่าอย่าง CRC ในพื้น CRC กระจายตัวจะเอียง และต่อเนื่องมากกว่าใน NC ซึ่งเกิดรอยแตกครั้วที่เร็วกว่าที่จำนวนรอบน้อยกว่า สะท้อนถึงพฤติกรรมเชิงบางกอกของ CRC ต่อการใช้งานภายใต้สภาวะความล้า

ตารางที่ 3 ตารางเปรียบเทียบความล้าระหว่าง NC และ CRC

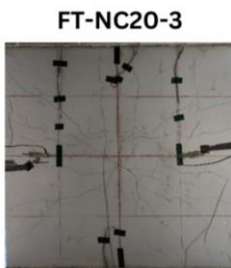
อัตราส่วนของ แรงกระทำ ( $P/P_u$ )	พื้นสะพาน	พื้นสะพาน
	NC (รอบ)	CRC (รอบ)
40%	1,738	25,119
55%	295	17,783
70%	16	25



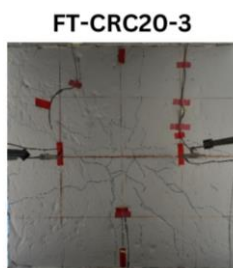
รูปที่ 7 ผลทดสอบพื้นสะพานเมื่อแรงกระทำซ้ำที่ 40%



รูปที่ 8 ผลทดสอบพื้นสะพานเมื่อแรงกระทำซ้ำที่ 55%



16 cycles (Crack 40%)



25 cycles (Crack 40%)

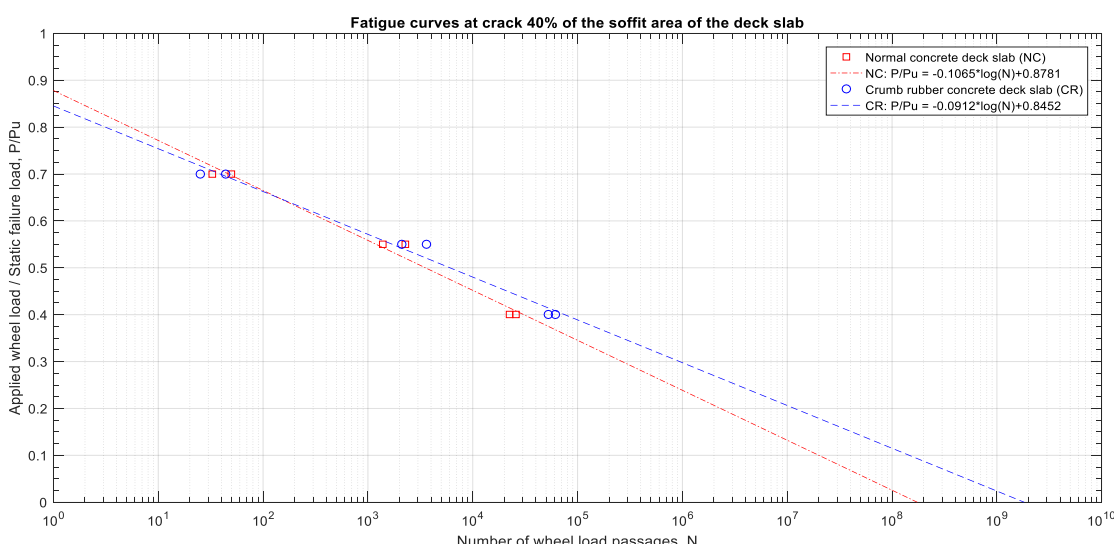
รูปที่ 9 ผลทดสอบพื้นสะพานเมื่อแรงกระทำซ้ำที่ 70%

### 3.2 การเปรียบเทียบความสามารถในการต้านทานความล้าของพื้นสะพาน

ในการวิเคราะห์ความสามารถล้าของโครงสร้างจำเป็นที่ต้องมีเส้นโค้งความล้า (Fatigue Curve) ของโครงสร้าง เส้นโค้งความล้าเป็นเส้นโค้งที่แสดงความสามารถสัมพันธ์ระหว่างแรงกระทำต่อกำลังรับน้ำหนักของพื้นสะพาน ( $P/P_u$ ) กับจำนวนรอบที่ทำให้โครงสร้าง

เกิดเบอร์เซ็นต์การแตกร้าว 40% ของพื้นที่ห้องพื้นสะพาน (N) ซึ่งเส้นโค้งความล้าสร้างจากการทดสอบโครงสร้างภายใต้แรงกระทำซ้ำขนาดคงที่ ที่ระดับแรงกระทำ 40% 55% และ 70% แสดงดังรูปที่ 10

รูปที่ 10 แสดงให้เห็นถึงเส้นแนวโน้มจำนวนรอบของแรงกระทำกับปริมาณรอยแตกร้าวที่ 40% ของพื้นที่ห้องพื้นสะพาน ซึ่งแสดงให้เห็นถึงความสามารถในการต้านทานความล้าของพื้นสะพาน CRC โดยเมื่อพื้นสะพานถูกกระทำด้วยอัตราส่วนแรงกระทำต่อกำลังรับน้ำหนักของพื้นสะพานที่มีค่าน้อยกว่า 0.5 ( $P/P_u < 0.5$ ) จะทำให้พื้นสะพาน CRC มีความสามารถในการต้านทานความล้าสูงกว่าพื้นสะพาน NC และ เมื่อแรงกระทำต่อกำลังรับน้ำหนักของพื้นสะพานมีขนาดสูงขึ้น พื้นสะพาน CRC จะมีกำลังต้านทานความล้าใกล้เคียงกับพื้นสะพาน NC อย่างไรก็ตาม การทดสอบในครั้งนี้



รูปที่ 10 เส้นโค้งความล้า (Fatigue Curve)



## บทความวิจัย

มีความสอดคล้องกับสภาวะการใช้งานจริง เนื่องจาก เป็นการทดสอบตัวอย่างขนาดใหญ่ที่มีลักษณะเสมือน จริง จึงไม่สามารถดำเนินการทดสอบในปริมาณมากได้ ส่งผลให้ข้อมูลที่ได้จากการทดสอบด้านความล้า ครอบคลุมเฉพาะบางกรณีศึกษาเท่านั้น ทั้งนี้ผลการ ทดสอบ ยังคงสะท้อนพฤติกรรมของโครงสร้างใน ภาพรวมได้อย่างเหมาะสมสมiliar ให้ในการวิเคราะห์ และ เปรียบเทียบประสิทธิภาพเชิงวิศวกรรมต่อไป

#### 4. สรุปผลการทดลอง

ผลการทดสอบพบว่าแนวโน้มของเส้นโค้งความล้าที่ ได้จากการวิจัยนี้สอดคล้องกับงานวิจัยก่อนหน้า อย่างไร ก็ตาม ค่าความต้านทานความล้าของคอนกรีตผสมเม็ด ยางบดละเอียดมีแนวโน้มเพิ่มขึ้นอย่างชัดเจน เนื่องจาก มีการแทนที่เม็ดยางถึง 25% ของปริมาตรทราย ซึ่งสูง กว่างานวิจัยก่อนหน้าที่ใช้เพียง 15% ส่งผลให้พื้น สะพาน CRC มีค่าต้านทานความล้าที่สูงกว่า หรือ ใกล้เคียงกับ NC ในบางระดับของแรงกระทำชำเรา โดย สามารถสรุปผลการทดสอบได้ดังนี้

##### 1. ช่วงแรงกระทำต่ำ ( $P/P_u < 0.5$ )

พื้นสะพาน CRC แสดงค่าด้านทานความล้าสูง กว่าพื้น NC อย่างชัดเจน โดยเฉลี่ยมากกว่า 93.08% ของจำนวนรอบที่ทนได้ก่อนเกิดรอยแตกร้าว 40% เช่น ที่  $P/P_u = 0.4$  NC แตกร้าวที่ 1,738 รอบ CRC แตกร้าว ที่ 25,119 รอบ เพิ่มขึ้นกว่า 13.5 เท่า เนื่องจาก CRC มี โครงสร้างที่สามารถดูดซับพลังงาน และ ยึดหยุ่นได้ ดีกว่า ทำให้หอยร้าวเกิดขึ้นช้ากว่า

##### 2. ช่วงแรงกระทำสูง ( $P/P_u > 0.5$ )

พื้น CRC และ NC แสดงค่าความล้าใกล้เคียงกัน เช่น ที่  $P/P_u = 0.7$  NC แตกร้าวที่ 16 รอบ CRC แตกร้าว

ที่ 25 รอบ เนื่องจากแรงกระทำเริ่มต้นมีค่ามาก ทำให้ เกิดรอยร้าวrun แรงตั้งแต่รอบแรก ส่งผลให้ CRC ไม่ สามารถแสดงคุณสมบัติยึดหยุ่นได้อย่างเต็มที่ในสภาพ โหลดสูงแบบทันที (Quasi-static High Stress)

##### 3. ข้อเสนอแนะการใช้งานในภาคสนาม

พื้นสะพาน CRC มีศักยภาพสูงสำหรับการใช้ งานในพื้นที่ที่มี โหลดช้าจากการจราจรในระดับปาน กกลางถึงต่ำ เช่น สะพานในพื้นที่ชนบท หรือจุดเชื่อมถนน ที่มีการเคลื่อนไหวต่อเนื่อง แต่ไม่ใช่จุดรับน้ำหนัก จุดสูงสุด แนะนำให้ใช้งานกับสภาวะโหลดเฉลี่ย ไม่เกิน 50% ของกำลังรับน้ำหนักที่ออกแบบ ( $P/P_u \leq 0.5$ ) เพื่อให้ CRC แสดงประสิทธิภาพสูงสุดด้านความล้า ทั้งนี้ ควรมีการศึกษาเพิ่มเติมในด้านของการวิเคราะห์ความ หนาของพื้นสะพาน และ จัดทำรายละเอียดการออกแบบ เชิงไฟเบอร์ เพื่อความเหมาะสมในการนำไปใช้ในงานจริง

#### 5. ข้อจำกัดของการศึกษา

1. ผลการทดสอบขึ้นอยู่กับสัดส่วนเม็ดยาง บดละเอียดขนาดเดียว (2-3 มม.) และ ปริมาณการ แทนที่ 25% โดยไม่มีการเปรียบเทียบปริมาณการ แทนที่เม็ดยางในระดับอื่นๆ เช่น 10% หรือ 15%

2. ขนาดของพื้นสะพานที่ใช้ในการทดสอบมีเพียง ขนาดเดียว (ขนาดกว้าง 2.00 เมตร ยาว 8.00 เมตร และ หนา 0.20 เมตร)

#### 6. ข้อเสนอแนะสำหรับการวิจัยต่อไป

1. ศึกษาผลของการแทนที่เม็ดยางใน หลายระดับ (เช่น 10% 15% 20% 25% และ 30%) เพื่อ สร้าง เส้นแนวโน้มทางวิศวกรรมที่แม่นยำยิ่งขึ้น

2. ศึกษาในด้านการวิเคราะห์ และ ออกแบบ ความหนาพื้นสะพาน โดยอาศัยข้อมูลเชิงพฤติกรรม ความล้าที่ได้จากการศึกษา



บทความวิจัย

3. ศึกษาในด้านการจัดทำรายละเอียดการออกแบบเชิงไฟน์เดล (Finite Element Detail) และการพัฒนาแบบจำลองการวิเคราะห์ให้ครบถ้วนตามหลักเกณฑ์ของมาตรฐานที่เกี่ยวข้อง (Design code)

## 7. กิตติกรรมประกาศ

วิจัยนี้รับทุนสนับสนุนจาก วิทยาลัยเทคโนโลยีอุตสาหกรรม มหาวิทยาลัยเทคโนโลยีพระจอมเกล้าพระนครเหนืออุดมสัญญาเลขที่ CIT-2023-GRAD-26 จึงขอขอบคุณมา ณ โอกาสนี้

## 8. เอกสารอ้างอิง

- [1] J. Xu, Z. Yao, G. Yang and Q. Han, Research on crumb rubber concrete: From a multi-scale review, *Construction and Building Materials*, 2020, 232, 117282.
- [2] R.A. Assaggaf, M.R. Ali, S.U. Al-Dulaijan and M. Maslehuddin, Properties of concrete with untreated and treated crumb rubber – A review, *Journal of Materials Research and Technology*, 2021, 11, 1753–1798.
- [3] N.N. Gerges, C.A. Issa and S.A. Fawaz, Rubber concrete: Mechanical and dynamical properties, *Case Studies in Construction Materials*, 2018, 9, 00184.
- [4] P. Baah, Cracking behavior of structural slab bridge decks, Thesis, The University of Akron, USA, 2014.
- [5] R.A. Assaggaf, M. Maslehuddin, S.U. Al-Dulaijan, M.A. Al-Osta, M.R. Ali and M. Shameem, Cost-effective treatment of crumb rubber to improve the properties of crumb-rubber concrete, *Case Studies in Construction Materials*, 2022, 16, 00881.
- [6] L. Feng, M. Liang-yu, N. Guo-Fang and L. Li-juan, Fatigue performance of rubber-modified recycled aggregate concrete (RRAC) for pavement, *Construction and Building Materials*, 2015, 95, 207-217.
- [7] R. Pacheco-Torres, E. Cerro-Prada, F. Escolano and F. Varela, Fatigue performance of waste rubber concrete for rigid road pavements, *Construction and Building Materials*, 2018, 176, 530-548.
- [8] A. Tayal, R. Garg, R. Singh, K. Arora and A. Sharma, Elastic crumb rubber concrete (ECRC)-I, *International Journal of Engineering Research and Technology*, 2019, 8(3), 216-219.
- [9] J. Xie, Y. Zheng, Y. Guo, R. Ou, Z. Xie and L. Huang, Effects of crumb rubber aggregate on the static and fatigue performance of reinforced concrete slabs, *Composite Structures*, 2019, 228, 111371.



บทความวิจัย

สารวิชาการเทคโนโลยีอุตสาหกรรม (The Journal of Industrial Technology)

ISSN (online): 2697-5548

DOI: 10.14416/j.ind.tech.2025.08.015

- [10] M. Alizadeh, M. R. Eftekhar, P. Asadi and D. Mostofinejad, Enhancing the mechanical properties of crumb rubber concrete through polypropylene mixing via a pre-mixing technique, *Case Studies in Construction Materials*, 2024, 23, 025690.
- [11] X. Sun, S. Wu, J. Yang and R. Yang, Mechanical properties and crack resistance of crumb rubber modified cement-stabilized macadam, *Construction and Building Materials*, 2020, 250, 118708.
- [12] N. Ganesan, J. Bharati Raj and A.P. Shashikala, Flexural fatigue behavior of self compacting rubberized concrete, *Construction and Building Materials*, 2013, 44, 7-14.
- [13] G. Xue, H. Zhu, S. Xu and W. Dong, Fatigue performance and fatigue equation of crumb rubber concrete under freeze-thaw cycles, *International Journal of Fatigue*, 2023, 166, 107436.
- [14] M. Liu, J. Lu, W. Jiang and P. Ming, Study on fatigue damage and fatigue crack propagation of rubber concrete, *Journal of Building Engineering*, 2022, 65, 105718.
- [15] F. Liu, W. Zheng, L. Li, W. Feng and G. Ning, Mechanical and fatigue performance of rubber concrete, *Construction and Building Materials*, 2020, 231, 117118.



## ข้อมูลสำหรับผู้เขียนและการเตรียมต้นฉบับ

วารสารวิชาการเทคโนโลยีอุตสาหกรรมพิมพ์ปีละ 3 ฉบับ โดยวิทยาลัยเทคโนโลยีอุตสาหกรรมมหาวิทยาลัยเทคโนโลยีพระจอมเกล้าพระนครเหนือบทความที่พิจารณาตีพิมพ์ต้องไม่เคยตีพิมพ์เผยแพร่ในวารสารใดมาก่อน และไม่อยู่ในระหว่างการพิจารณาของวารสารอื่น เรื่องที่ตีพิมพ์จะต้องได้รับการกลั่นกรองจากผู้ทรงคุณวุฒิในสาขาที่เกี่ยงข้องแบบปกปิดข้อมูล (Double-Blind Peer-Review) และได้รับความเห็นชอบจากบรรณาธิการวารสาร

บทความต้องมีความยาวไม่น้อยกว่า 5 หน้ากระดาษ B5 หรือไม่น้อยกว่า 2500 คำ โดยนับคำด้วยคำสั่ง word count ใน MS Word (ไม่รวมเกิน 15 หน้ากระดาษ) บทความประกอบด้วยชื่อเรื่อง ชื่อผู้เขียน สถานที่ทำงาน การติดต่อผู้เขียน บทคัดย่อและคำสำคัญ (3 - 5 คำ) โดยเนื้อหาดังกล่าวทั้งหมดต้องจัดเตรียมในรูปแบบภาษาไทย 1 หน้ากระดาษและภาษาอังกฤษ 1 หน้ากระดาษ

เนื้อเรื่องของบทความวิจัยประกอบด้วย 5 - 6 ส่วน คือ (1) บทนำ (2) วิธีการดำเนินงานวิจัย/ทดลอง (3) ผลการวิจัย/ทดลองและการอภิปรายผล (4) บทสรุป (5) กิตติกรรมประกาศ (ถ้ามี) และ (6) เอกสารอ้างอิง

สำหรับเนื้อเรื่องของบทความวิชาการให้เตรียมเป็นบทความที่เรียบเรียงเนื้อหาจากหนังสือ งานวิจัย ประสบการณ์ หรือเรื่องราว เพื่อเผยแพร่ความรู้ในสาขาต่างๆ หรือแสดงข้อคิดเห็นที่เป็นประโยชน์มีคุณค่าทางวิชาการ โดยองค์ประกอบของบทความวิชาการอาจคล้ายคลึงกับบทความวิจัย แต่ไม่มีเนื้อหาของการดำเนินงานวิจัยและผลการวิจัย ซึ่งผู้เขียนสามารถกำหนดได้เองตามความเหมาะสมของบทความวิชาการ

ผู้เขียนบทความสามารถดาวน์โหลดรูปแบบบทความสำเร็จรูปและแบบฟอร์มนำเสนอส่งบทความได้จากเว็บไซต์: [ojs.kmutnb.ac.th/index.php/joindtech](http://ojs.kmutnb.ac.th/index.php/joindtech)

## Authors Guideline and Manuscript Preparation

JIT is published tri-annually by College of Industrial Technology, King Mongkut's University of Technology North Bangkok. All considered articles have not been published elsewhere and are not currently submitted for consideration in other journals. All articles are independently assessed by specialist in their relevant fields (Double-Blind Peer Review), and must be approved by the editor.

The length of the manuscript is not less than 5 pages in B5 paper size or not less than 2500 words using a word count of MS Word (should not exceed 15 pages). The first page of the manuscript should contain the full title, author's name(s), affiliation, contact address of correspondence, abstract and keywords (3–5 words).

The content of the research article consists of 5-6 parts, arranged in the following details; (1) introduction (2) experimental procedure (3) results and discussion (4) conclusion (5) acknowledgement (if any) and (6) references.

For review or academic article, the contents may prepare from text book, research experiences, or translation for publishing knowledge in various fields or provide useful and valuable comments. The main contents may contain a similar section to the research article but without sections of the experimental and results. The topic and content can be specified by the author as appropriate for the article.

The author can download manuscript templates and submission form in the journal's website: [ojs.kmutnb.ac.th/index.php/joindtech](http://ojs.kmutnb.ac.th/index.php/joindtech).



## Manuscript Submission Form

1. Title \_\_\_\_\_

2. Type of manuscript  Research Article  Academic Article (Review)

3. Corresponding Author Name \_\_\_\_\_

4. Affiliation \_\_\_\_\_

Tel. \_\_\_\_\_ Fax. \_\_\_\_\_ E-mail. \_\_\_\_\_

5. List of co-author(s) and address

Name	Affiliation	Telephone	E-mail

6. Suggested reviews (Author must suggest the reviewer at least three people in the field of research presented in manuscript including name, organization, contact address and e-mail)

1. \_\_\_\_\_ Tel. \_\_\_\_\_ Email. \_\_\_\_\_

2. \_\_\_\_\_ Tel. \_\_\_\_\_ Email. \_\_\_\_\_

3. \_\_\_\_\_ Tel. \_\_\_\_\_ Email. \_\_\_\_\_

7. Manuscript's certification

I certify that this manuscript has not been accepted nor submitted for publication elsewhere.

Corresponding's author name \_\_\_\_\_ (Signature)

8. Together with this form, I (we) have been attached other documents included:

- Manuscript submission by system online at <http://ojs.kmutnb.ac.th/index.php/joindtech/index>
- Manuscript submission by e-mail: [JIT.journal@gmail.com](mailto:JIT.journal@gmail.com)
- Manuscript submission by self or post-mail

I hereby certify that the information above is true and accurate.

Signature \_\_\_\_\_ Corresponding author \_\_\_\_\_

( \_\_\_\_\_ )

Date \_\_\_\_\_ Month \_\_\_\_\_ Year \_\_\_\_\_



## แบบฟอร์มนำส่งบทความ

## 1. ชื่อบทความวิจัย/บทความวิชาการ

ภาษาไทย .....  
ภาษาอังกฤษ .....

## 2. ประเภทบทความ

บทความวิจัย       บทความวิชาการ

## 3. ชื่อ-สกุลเจ้าของบทความ หรือผู้แทนส่งบทความ .....

4. สถานที่ติดต่อเจ้าของบทความหรือผู้แทนส่งบทความ  
ที่อยู่.....

โทรศัพท์ ..... โทรสาร ..... E-mail .....

## 5. รายชื่อและที่อยู่ของผู้ร่วมบทความ (สามารถเพิ่มรายชื่อได้ในเอกสารแนบเพิ่มเติม)

ชื่อ-สกุล (ภาษาไทย ตัวบรรจง)	ชื่อ-สกุล (ภาษาอังกฤษ ตัวบรรจง)	หน่วยงาน	โทรศัพท์	E-mail

## 6. เสนอรายชื่อผู้ประเมิน

1. ..... โทรศัพท์ ..... E-mail .....  
2. ..... โทรศัพท์ ..... E-mail .....  
3. ..... โทรศัพท์ ..... E-mail .....

## 7. การรับรองบทความ

ขอรับรองว่าบทความด้านบนนี้ยังไม่เคยได้รับการเผยแพร่และพิมพ์ในวารสารอื่นใดมาก่อน

เจ้าของบทความ ..... (ลงชื่อ)

## 8. แบบฟอร์มนี้ข้าพเจ้าได้แนบตัวฉบับบทความดังรายการต่อไปนี้ครบถ้วนแล้ว

- ส่งบทความทางระบบออนไลน์ที่เว็บไซต์ <http://ojs.kmutnb.ac.th/index.php/joindtech/index>  
 ส่งบทความทางไปรษณีย์อิเล็กทรอนิกส์ ที่ e-mail: [JIT.journal@gmail.com](mailto:JIT.journal@gmail.com)  
 ส่งบทความด้วยตัวเอง หรือทางไปรษณีย์

ขอรับรองว่าข้อความดังกล่าวข้างต้นเป็นจริงทุกประการ

ลงชื่อ ..... เจ้าของบทความ หรือผู้แทนส่งบทความ  
( ..... )  
วันที่ ..... เดือน ..... พ.ศ. .....

# The Journal of Industrial Technology

วารสารวิชาการเทคโนโลยีอุตสาหกรรม ปีที่ ๒๑ ฉบับที่ ๒ ประจำปี ๒๕๖๘

## บทความ (Articles)

- Application of geographic information system for benzene impact analysis and spatial measure development in Bangkok metropolitan area, The Journal of Industrial Technology, 2025, 2(2), 1-15.
- The Production Process Improvement to Reduce Defect in Hamburger Buns by Applying DMAIC Technique: A Case Study of President Bakery Public Company Limited, The Journal of Industrial Technology, 2025, 21(2), 16-29.
- Physical and Mechanical Properties of Mortar Containing Marine Waste for Product Development, The Journal of Industrial Technology, 2025, 21(2), 30-41.
- Classification of COVID-19 from Chest CT Images Using Ensemble Techniques, The Journal of Industrial Technology, 2025, 21(2), 42-58.
- Design and Development of Standard Calibrator for Horizontal Spirit Level, The Journal of Industrial Technology, 2024, 21(2), 59-75.
- Development of Heat Resistance Properties of Geopolymer Bricks from Fly Ash and Metakaolin by Bagasse Ash Addition, The Journal of Industrial Technology, 2025, 21(2), 76-90.
- Thermal Insulation Hollow Concrete Blocks using Palm Oil Clinker Containing Surgical Face Masks and KF94 Masks as Aggregate, The Journal of Industrial Technology, 2025, 21(2), 91-106.
- Improving Production Efficiency in Hot Coil Plate Production Process, The Journal of Industrial Technology, 2025, 21(2), 107-122.
- Optimization of Coliform Bacteria Removal in Surface Water using a Hydrodynamic Cavitation Reactor with the Response Surface Methodology, The Journal of Industrial Technology, 2025, 21(2), 123-137.
- Metasurface Rectenna Array for Wireless Energy Harvesting from 5G Communications, The Journal of Industrial Technology, 2025, 21(2), 138-150.
- Design of Experiments to Analyze Factors for Block Digestion Affecting the Defect of Nitrogen Tubes, The Journal of Industrial Technology, 2025, 21(2), 151-165.
- Effect of Plastic Filament Type on Mechanical Properties of 3D-printed Parts, The Journal of Industrial Technology, 2025, 21(2), 166-179.
- Development of the PLC Practical Set with the Arduino Embedded System for Electro-pneumatic Device Control, The Journal of Industrial Technology, 2025, 21(2), 180-195.
- Enhancing Productivity and Reducing Handling Cost through Standard Time and Motion Study: A Case Study of a Warehouse Service Business , The Journal of Industrial Technology, 2025, 21(2), 196-212.
- Fatigue Performance of Full-scale Crumb Rubber Concrete Slabs, The Journal of Industrial Technology, 2025, 21(2), 213-225.

จัดพิมพ์โดย: หน่วยวิจัยและส่งเสริมวิชาการ วิทยาลัยเทคโนโลยีอุตสาหกรรม มหาวิทยาลัยเทคโนโลยีพระจอมเกล้าพระนครเหนือ

1518 ถนนประชาราษฎร์ 1 แขวงวงศ์สว่าง เขตบางซื่อ กรุงเทพฯ 10800

โทร. +66 2 555-2000 ต่อ 6615 Email: JIT.journal@gmail.com